

# E&G

Eiszeitalter und Gegenwart  
Quaternary Science Journal



Vol. 63  
No 1  
2014

SCHLESWIG-HOLSTEIN AND ADJOINING AREAS [Germany]  
RHINE GLACIER AND NORTHERN SWITZERLAND [Germany/Switzerland]  
RATTLESNAKE MOUNTAIN, WASHINGTON [USA]  
KOTYCHI LAGOON, NORTHERN ELIS, PELOPONNESE [Greece]  
WIESENT RIVER VALLEY OF UPPER FRANCONIA, BAVARIA [Germany]

# E&G

## Eiszeitalter und Gegenwart Quaternary Science Journal

Volume 63 / Number 1 / 2014 / DOI: 10.3285/eg.63.1 / ISSN 0424-7116 / www.quaternary-science.net / Founded in 1951

### EDITOR

DEUQUA  
Deutsche Quartärvereinigung e.V.  
Office  
Stilleweg 2  
D-30655 Hannover  
Germany  
Tel: +49 (0)511-643 36 13  
E-Mail: info [at] deuqua.de  
www.deuqua.org

### PRODUCTION EDITOR

SABINE HELMS  
Geozon Science Media  
Pettenkoferstr. 16-18  
D-10247 Berlin  
Germany  
Tel. +49 (0)30-20 23 83 19 0  
E-Mail: helms [at] geozon.net  
www.geozon.net

### EDITOR-IN-CHIEF

HOLGER FREUND  
ICBM – Geoeontology  
Carl-von-Ossietzky Universität Oldenburg  
Schleusenstr. 1  
D-26382 Wilhelmshaven  
Germany  
Tel.: +49 (0)4421-94 42 00  
Fax: +49 (0)4421-94 42 99  
E-Mail: holger.freund [at] uni-oldenburg.de

### ASSOCIATE EDITORS

PIERRE ANTOINE, Laboratoire de Géographie Physique, Université Paris i Panthéon-Sorbonne, France  
JÜRGEN EHLERS, Wittenberg, Germany  
MARKUS FUCHS, Department of Geography, Justus-Liebig-University Giessen, Germany  
RALF-DIETRICH KAHLENBERG, Senckenberg Research Institute, Research Station of Quaternary Palaeontology Weimar, Germany  
THOMAS LITT, Steinmann-Institute of Geology, Mineralogy and Paleontology, University of Bonn, Germany  
LESZEK MARKS, Institute of Geology, University of Warsaw, Poland  
HENK J. T. WEERTS, Physical Geography Group, Cultural Heritage Agency Amersfoort, The Netherlands

### FORMER EDITORS-IN-CHIEF

PAUL WOLDSTEDT (1951–1966)  
MARTIN SCHWARZBACH (1963–1966)  
ERNST SCHÖNHALS (1968–1978)  
REINHOLD HUCKRIEDE (1968–1978)  
HANS DIETRICH LANG (1980–1990)  
JOSEF KLOSTERMANN (1991–1999)  
WOLFGANG SCHIRMER (2000)  
ERNST BRUNOTTE (2001–2005)

### ADVISORY EDITORIAL BOARD

FLAVIO ANSELMETTI, Department of Surface Waters, Eawag (Swiss Federal Institute of Aquatic Science & Technology), Dübendorf, Switzerland  
KARL-ERNST BEHRE, Lower Saxonian Institute of Historical Coastal Research, Wilhelmshaven, Germany  
PHILIP GIBBARD, Department of Geography, University of Cambridge, Great Britain  
VOLLI E. KALM, Institute of Ecology and Earth Sciences, University of Tartu, Estonia  
CESARE RAVAZZI, Institute for the Dynamics of Environmental Processes, National Research Council of Italy, Italy  
JAMES ROSE, Department of Geography, Royal Holloway University of London, Great Britain  
CHRISTIAN SCHLÜCHTER, Institute of Geological Sciences, University of Bern, Switzerland  
DIRK VAN HUSEN, Altmünster, Austria  
JEF VANDENBERGHE, Faculty of Earth and Life Sciences, VU University Amsterdam, The Netherlands  
ANDREAS VÖTT, Institute of Geography, Johannes Gutenberg-Universität Mainz, Germany

### AIMS & SCOPE

The *Quaternary Science Journal* publishes original articles of quaternary geology, geography, palaeontology, soil science, archaeology, climatology etc.; special issues with main topics and articles of lectures of several scientific events.

### MANUSCRIPT SUBMISSION

Please upload your manuscript at the online submission system at our journal site [www.quaternary-science.net](http://www.quaternary-science.net). Please note the instructions for authors before.

### FREQUENCY

2 numbers per year

### SUBSCRIPTION

Free for DEUQUA-Members! Prices for standing order: single number 27,- Euro; double number 54,- Euro; plus shipping costs. We offer discounts for libraries and bookstores. Please subscribe to the journal at the publisher *Geozon Science Media*.

### JOURNAL EXCHANGE

If you are interested in exchange your journal with the *Quaternary Science Journal*, please contact: Universitätsbibliothek Halle Tauschstelle, Frau Winther August-Bebel-Straße 13 06108 Halle (Saale), Germany

### PRINT

Printed in Germany on 100% recycled paper climate neutral produced



### COVER FIGURE

Cluster of moderately weathered, banded argillite boulders [Fig. p. 48]

### RIGHTS

Copyright for articles by the authors

### LICENSE

Distributed under a Creative Commons Attribution License 3.0



<http://creativecommons.org/licenses/by/3.0/>

# Climato-stratigraphic subdivision of the Pleistocene in Schleswig-Holstein, Germany and adjoining areas

status and problems

Hans-Jürgen Stephan

Dedicated to Burchard Menke (1932–1993)

**How to cite:**

STEPHAN, H.-J. (2014): Climato-stratigraphic subdivision of the Pleistocene in Schleswig-Holstein, Germany and adjoining areas – status and problems. – E&G Quaternary Science Journal, 63 (1): 3–18. DOI: 10.3285/eg.63.1.01

**Abstract:**

In Schleswig-Holstein detailed petrographical and palynological studies were undertaken with samples from exposures and core drillings examined over the last four decades. Analyses of the gravel fraction and ‘indicator rocks’ of glacial deposits were used for stratigraphical interpretations and correlation. Glaciofluvial sediments were dated by TL and OSL. Combined with the stratigraphical information from organic deposits, a new climato-stratigraphic table of the Pleistocene for Schleswig-Holstein with a revised subdivision of the Middle and Late Pleistocene could be established. The pollen sequence of the oldest Pleistocene warm phase (Warmhörn-Thermomer) is published for the first time. The complete Early Pleistocene and lower Middle Pleistocene stratigraphical sequence is documented at Lieth and at Gorleben (Lower Saxony) in two continuous successions of organic beds developed during warm phases alternating with cold phase deposits. The uppermost part of the Lieth succession and the lowermost part of Gorleben overlap. The combined succession provides a unique reference for correlations through Europe. No more than three cold stages involving glaciation are demonstrated to exist currently in Schleswig-Holstein, the Elsterian and the Saalian in the upper Middle Pleistocene, and the Weichselian in the Late Pleistocene. A possible pre-Elsterian glaciation is discussed. The Holsteinian is correlated with MIS 9e. The Saalian includes a lower part with non-glacial cold phases and warm phases, the ‘Wacken-Warmzeit’ (=Dömnitz) and the ‘Leck-Warmzeit’ correlated with MIS 7e and MIS 7c respectively, and a glacial upper part. During the Weichselian probably two phases of glaciation existed, the first in the early Middle Weichselian (Ellund-Phase); late MIS 4 or/and the early MIS 3), the second in the Upper Weichselian (MIS 2). The Weichselian glaciation of Schleswig-Holstein ends around 15 ka BP when huge stagnant and dead ice masses of the Young Baltic glacier advance (‘Mecklenburg-Phase’) melted.

**Klimastratigraphische Gliederung des Pleistozäns in Schleswig-Holstein, Deutschland und angrenzenden Gebieten – Stand und Probleme**

**Kurzfassung:**

In Schleswig-Holstein wurden in den zurückliegenden vier Jahrzehnten detaillierte Untersuchungen an Probenmaterial aus Aufschlüssen und Kernbohrungen durchgeführt. Analysen der Kiesfraktion und von ‚Leitgeschieben‘ aus glazialen Ablagerungen wurden für die Interpretation und Korrelation genutzt. Glazifluviatile Sedimente wurden TL- und OSL-datiert. Zusammen mit der stratigraphischen Information aus organischen Ablagerungen konnte eine neue klimatostratigraphische Tabelle des Pleistozäns für Schleswig-Holstein mit revidierter Gliederung des Mittel- und Oberpleistozäns erstellt werden. Die Pollensequenz der ältesten pleistozänen Warmzeit (Warmhörn-Thermomer) wird erstmals veröffentlicht. Das Unterpleistözän (Altpleistözän) und das untere Mittelpleistözän sind bei Lieth und bei Gorleben (Niedersachsen) in zwei kontinuierlichen Schichtfolgen vollständig dokumentiert, abgelagert in einem Wechsel von warmen und kalten Klimaphasen. Der oberste Abschnitt der Abfolge von Lieth und der unterste der Abfolge von Gorleben überlappen. Die kombinierte Abfolge bietet ein einzigartiges Referenzprofil für Korrelationen innerhalb Europas. Bisher wurden in Schleswig-Holstein nur drei Kaltzeiten mit Vergletscherungen nachgewiesen, Elster- und Saale-Kaltzeit im oberen Mittelpleistözän und die Weichsel-Kaltzeit im Oberpleistözän. Eine mögliche prä-elsterzeitliche Vergletscherung wird diskutiert. Die Holstein-Warmzeit wird mit MIS 9e korreliert. Das Saale umfasst einen unteren Abschnitt mit nicht-glaziären Kaltzeiten und mit Warmzeiten, der ‚Wacken-Warmzeit‘ (=Dömnitz) und der ‚Leck-Warmzeit‘, korreliert mit MIS 7e und MIS 7c, und einen glaziären oberen Abschnitt. Während des Weichsel gab es wahrscheinlich zwei Phasen mit Vergletscherung, die erste im frühen Mittelweichsel (Ellund-Phase, spätes MIS 4 oder/und frühes MIS 3), die zweite im oberen Weichsel (MIS 2). Die weichselzeitliche Vergletscherung Schleswig-Holsteins endet um 15 ka BP, als großflächige stagnierende Eisflächen und Toteismassen des Jungbaltischen Gletschervorstoßes (‘Mecklenburg-Phase’) schmolzen.

**Keywords:**

Pleistocene, climato-stratigraphic table, correlations, Schleswig-Holstein

**Address of author:** H.-J. Stephan, Köhlstr. 3, 24159 Kiel. E-Mail: hjuergenstephan@t-online.de

## 1 Introduction

The paper outlines the evidence for the Pleistocene of Schleswig-Holstein, Germany. It presents a stratigraphic scheme that is based on a correlation with the Quater-

nary stratigraphy of the Netherlands and the Lower Rhine area and has been revised as a consequence of recent OSL and  $^{230}\text{U}/\text{Th}$  dates of deposits from Schleswig-Holstein and Lower Saxony. The oldest part of the Pleistocene sequence in Schleswig-Holstein is the ‘Lieth-Serie’ Beds (MENKE 1970,

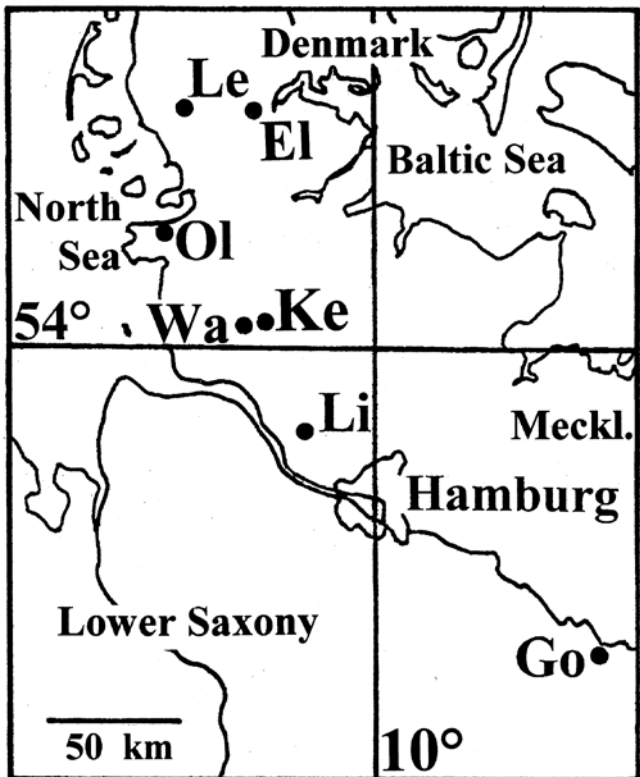


Fig. 1: Location map. El = Ellund, Go = Gorleben, Ke = Keller, Le = Leck, Li = Lieth, Ol = Oldenswort, Wa = Wacken.

Abb. 1: Lagekarte.

1975) (Fig. 2, 3). In the neighbourhood (northeastern Lower Saxony), according to palynological investigations on cores from the top of the Gorleben salt dome (Fig. 1) by MÜLLER (1986, 1992), the upper part of the ‘Lieth-Serie’ (Fig. 3: ‘Dannesch-Komplex’) is found again, however, there as the lowest part of the very long sequence of Gorleben. The ‘Dannesch-Komplex’ is followed by the pre-Elsterian middle part of the Gorleben succession, here named ‘Gorleben-Complex’. Evidence is presented for Elsterian, Saalian and Weichselian glaciations (cf. BENDA 1995; EHLERS et al. 2004) which appear to be characterized by a cyclic pattern of ice-flow directions. It is suggested that ice advanced first from a northerly or northeasterly direction, to be succeeded by an ice stream from the east (e.g. WENNERBERG 1949; WOLDSTEDT & DUPHORN 1974; EISSMANN & MÜLLER 1979). Northeast and eastward sourced ice reached North Germany in all glaciations, but there is evidence for ice from the north only during the Elsterian Glaciation. Each glaciation is represented by several ice advances (Fig. 3, blue bars at the right), which more or less differ in source area, flow direction, extent and composition of their deposits. German terms are given in quotation marks or – for better understanding – occasionally added in paraphrases behind the English terms. For cold phases (German: Kaltzeit) often the neutral term ‘kryomer’ is used (cf. LÜTTIG 1965, MENKE 1980, MÜLLER 1992: kryomere), for warm phases the term ‘thermomer’ (German: Warmzeit). The term ‘interglacial’ is only used in citations, because none of the described thermometers seem to have separated glaciations.

All important sites mentioned in the text are given in Fig. 1.

## 2 Early Pleistocene (Lower Pleistocene)

The evidence for the ‘Lieth-Serie’ is recorded in a former limestone pit at Lieth in Holstein. The depositional site is a sinkhole on top of a salt dome and the sediments consist of a succession of lignite-like organic beds separated by sandy units. Palynological and stratigraphic investigations were carried out on the organic units by MENKE (1970, 1975) revealing gyttjas and a boreal *Sphagnum-Ericales*-peat. MENKE correlated the ‘Lieth-Serie’ with the Quaternary sequence of the Netherlands (ZAGWIJN 1960, 1963) and suggested that it is part of the Early Pleistocene (Fig. 2) and named it ‘Ältest-quartär’ beginning at c. 2.6 Ma BP. [This age has only recently been formally fixed as the base of the Pleistocene by the IUGS (GIBBARD et al. 2010)]. Later MENKE (cf. STEPHAN & MENKE 1993) additionally compared it with Early Quaternary deposits of the Lower Rhine (URBAN 1978) and palynological investigations published by ZAGWIJN & DE JONG (1984). A full description of the stratigraphic members within this succession is given briefly by Behre in LITT et al. (2007).

The lowest part of the ‘Lieth-Serie’ consists of fluvial sands with some organic material in thin layers or streaks. In its upper portion organic material is more frequent and silty muds occur with pollen assemblages providing evidence for a warm phase, named the ‘Warmhörn-Thermomer’. At Lieth these deposits are disturbed by salt-tectonic processes and are incomplete, but in a borehole from Oldenswort in western Schleswig-Holstein that succession was found well preserved, documented as a 40 m thick sequence (STEPHAN & MENKE 1993). At this site, glaciogenic Elsterian deposits cover the sediments of the ‘Warmhörn-Thermomer’, however, only their uppermost part has been eroded by the Elsterian glacier. The main elements of the pollen spectra are depicted in Fig. 4 and it can be seen that the typical Pliocene flora disappears at the base of the Quaternary. The break begins with the ‘Kaltenhörn-Kaltzeit’ which is the first cold phase (Kryomer) of the Lieth succession and the overlying organic beds reveal a stepwise decrease of ‘exotic’ pollen (Tertiary relicts). STEPHAN & MENKE (1993) used this vegetational evidence to derive a temperature curve (Fig. 2). The coldest phase of the Early Pleistocene seems to have been the ‘Ekholt cold phase’ (‘Ekholt-Kaltzeit’). During this and other cold phases coarse sandy fluvial sediments were deposited over large areas of Northwest Germany, presumably in a subarctic environment. These deposits are exposed on the island of Sylt where they are known as the upper part of the ‘Kaolinsand’. This unit contains sand blocks that could only have been transported in a frozen state and are considered to be indicators for very cold winters. Likewise very angular quartzite blocks within the ‘Kaolinsand’ indicate transport without edge abrasion and therefore are considered to have been transported by ice floes (EHLERS 1987, HACHT 1987). Similarities exist with a probably fluvial lag sediment exposed in the Rehburger end moraine in Lower Saxony containing up to boulder-sized Scandinavian erratics that are interpreted as belonging to the ‘Complex of Hattem’ (EHLERS, MEYER & STEPHAN 1984). Evidence of a glaciation in North Germany at that stage has not been found.

The first warm phase of the ‘Gorleben Complex’, the ‘Osterholz-Warmzeit’, still belongs to the Early Pleistocene (cf. LITT et al. 2007: supplement 1).

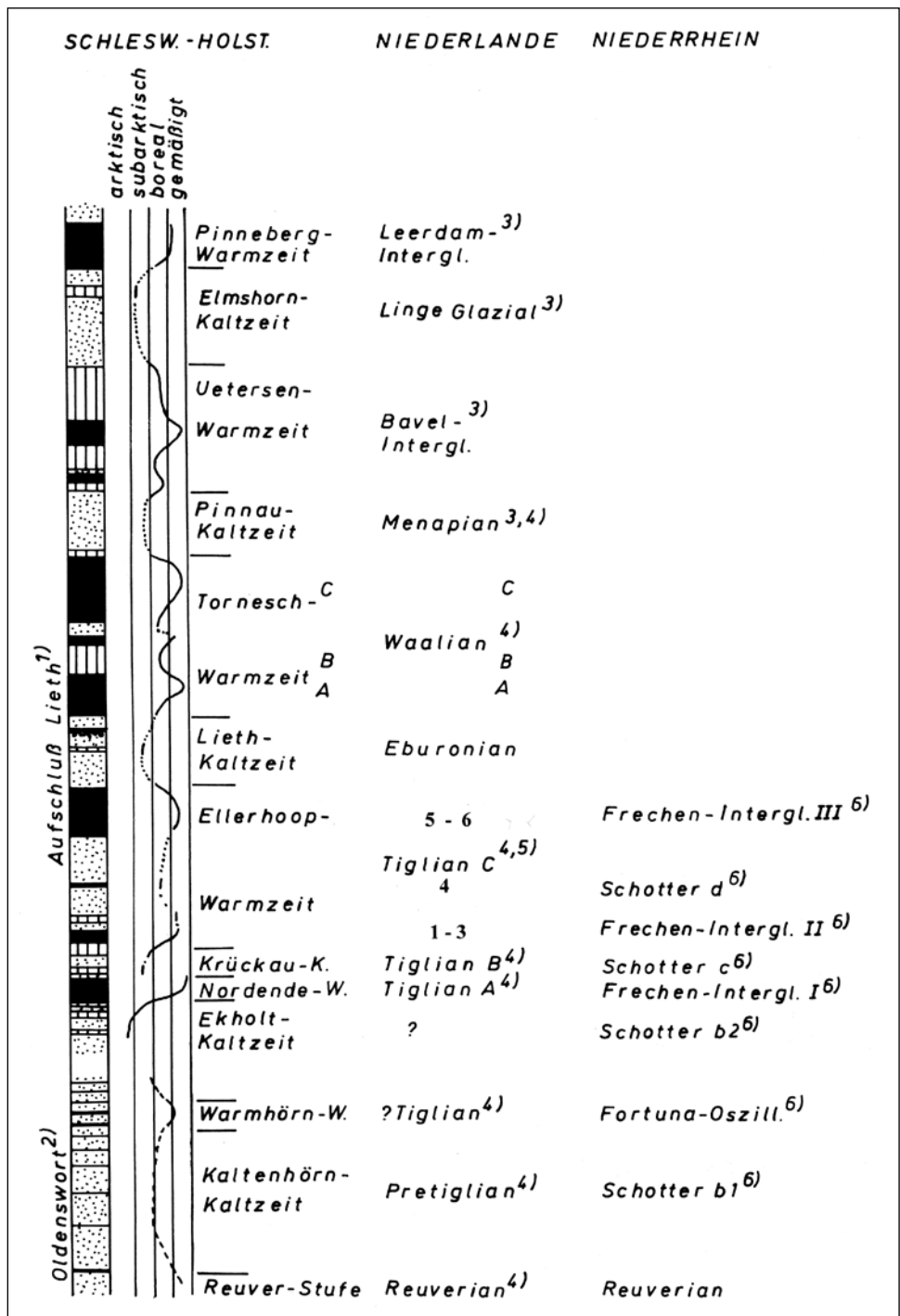


Fig. 2: The Early Pleistocene ("Ältestquartär"), correlations and temperature curve. Original drawing by MENKE (STEPHAN & MENKE 1993, Abb. 1). Petrographical column: Black = brown coal-like mud and peat; dotted = sand; vertical signature = silty/sandy brown coal (silt in cold phases). 1) MENKE 1975, 2) STREMME & MENKE 1980, 3) ZAGWIJN & DE JONG 1984, 4) ZAGWIJN 1960, 5) ZAGWIJN 1963, 6) URBAN 1978.

Abb. 2: Das Frühpleistozän („Ältestquartär“), Korrelationen und Temperaturkurve. Originalzeichnung von MENKE (STEPHAN & MENKE 1993, Abb. 1). Petrographie-Säule: Schwarz = Braunkohleartige Gytta und Torf; gepunktet = Sand; senkrecht liniert = siltige/sandige Braunkohle (Silt in Kaltzeiten).

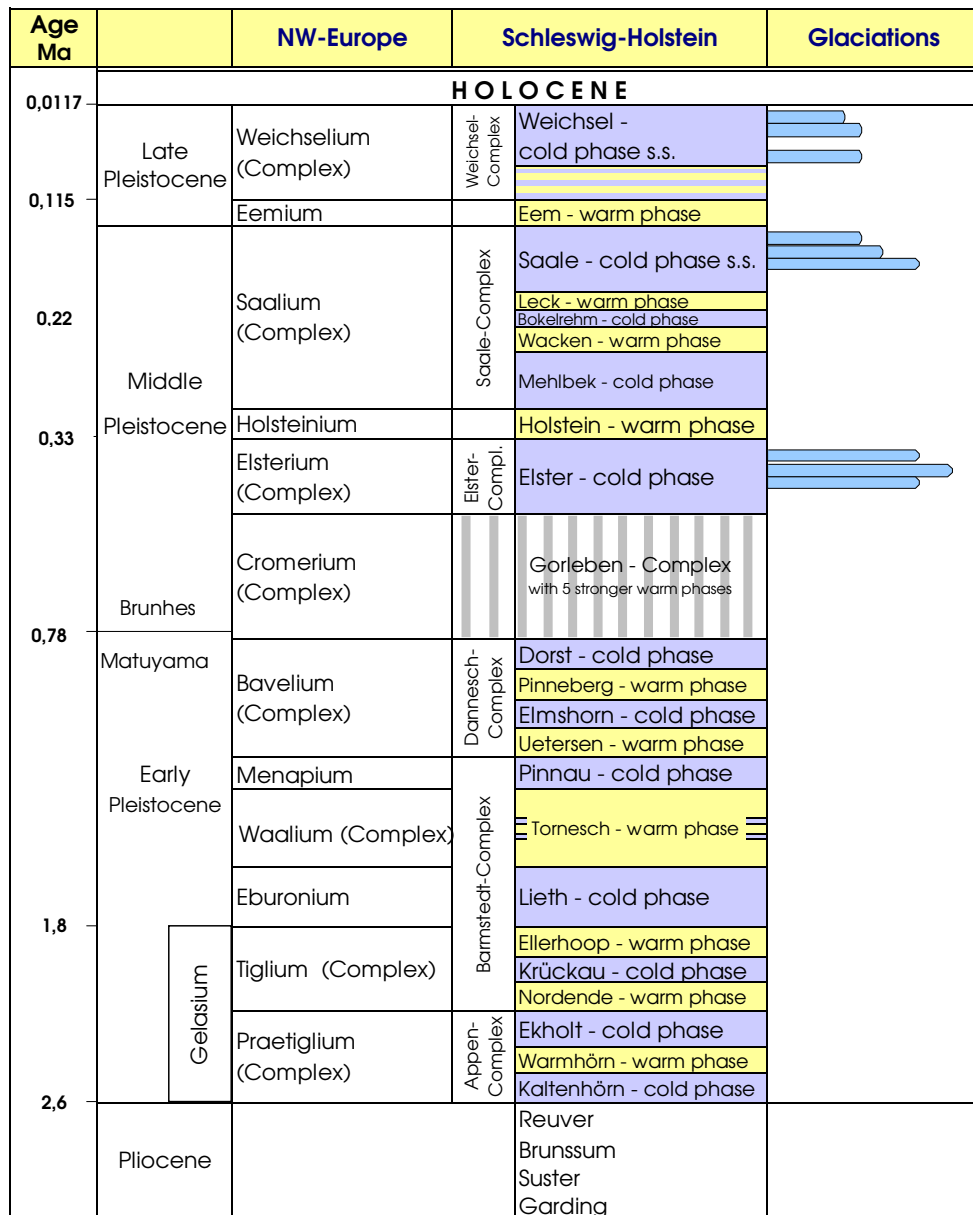
Sediments of the 'Gorleben-Complex' are not yet known from Schleswig-Holstein. They were preserved in a sinkhole formed by subrosion, quite similar to the conditions at Lieth. There, sediments of the 'Gorleben Complex' are underlain by deposits of the 'Dannesch Complex' (= Bavelium) comprising the upper part of the Lieth sequence, including the Uetersen warm phase, Elmshorn cold phase, Pinneberg warm phase and Dorst cold phase.

#### Problems

The age of the 'Lieth-Serie' could not be determined by physical methods. Magnetostriatigraphic investigations failed, because magnetic grains in the sands between the organic beds are extremely rare. The correlation with the Early Pleis-

tocene stratigraphy of the Netherlands as depicted in Fig. 2 and 3 seems questionable in some parts. In contrast to the Lieth succession, the Dutch organic layers represent shorter sequences with the organic beds showing hardly complete vegetational development, and have not yet been found in superposition.

In Fig. 3 the transition between the magnetostriatigraphic Matuyama and Brunhes chronozones is used as the boundary between the Early Pleistocene and the Middle Pleistocene, as proposed by HEAD, PILLANS & FARQUHAR (2008). In this case at least the first warm phase ('Osterholz warm phase') and eventually also the second ('Hunteburg warm phase') of the 'Gorleben Complex' would be regarded as Early Pleistocene, as both show a reverse magnetization. LITT et al.



Draft: H.-J. Stephan July 2003  
 Digital layout: M. Jagusch / C. Verdieck  
 Last update : July 2010

*Fig. 3: Climato-stratigraphical table of the Pleistocene in Schleswig-Holstein. Last updated September 2010. Layout influenced by the 'Stratigraphische Tabelle von Deutschland (STD)' (DSK 2000) and LITT et al. (2005). Vertical signature: Unit not found in Schleswig-Holstein so far.*  
*Abb. 3: Klimastratigraphische Tafel des Pleistozäns in Schleswig-Holstein. Zuletzt überarbeitet im September 2010. Gestaltung angelehnt an die 'Stratigraphische Tabelle von Deutschland (STD)' (DSK 2000) und LITT et al. (2005). Senkrechte Signatur: In Schleswig-Holstein bisher nicht nachgewiesen.*

(2007) include the second warm phase in the Middle Pleistocene and suggest correlation with the Lishi-Event with a reverse magnetization within the Brunhes chronozone, but discuss an alternative inclusion in the Early Pleistocene. From a vegetational point of view, the base of the cold phase succeeding the 'Osterholz warm phase' would represent a convincing boundary. After this cold phase the Tertiary relic *Eucommia* did not return (HAHNE et al. 1994).

### 3 Middle Pleistocene

The Middle Pleistocene is divided into an upper succession with glaciations and a lower non-glacial succession represented by the main part of the 'Gorleben Complex' (early Middle Pleistocene) in Fig. 3. The sediments of this complex were deposited during five major warm phases of interglacial rank and 7 shorter and weaker warm phases of interstadial character, interrupted by phases of cold but non-glacial

climate (MÜLLER 1992). Two of the warm phases have not been given names until now. The upper Middle Pleistocene comprises the deposits of the Elsterian, the Holsteinian and the Saalian.

#### Problems

The correlation of the early Middle Pleistocene of the well-documented 'Gorleben Complex' with the units of the so-called 'Cromer Complex' in Western Europe (ZAGWIJN, VAN MONTFRANS & ZANDSTRA 1971; ZAGWIJN 1996) is still in discussion (e.g. URBAN in STEPHAN et al. 2011). It seems to be not clear so far how to combine the 12 thermometers of the 'Gorleben Complex', especially the 5 warm phases of 'interglacial' rank with the warm events of the 'Gorleben Complex'. The number of known Cromerian warm stages in Western Europe is obviously incomplete yet. The same is true regarding the early Middle Pleistocene deposits of East Germany (e.g. EISSMANN 2004).

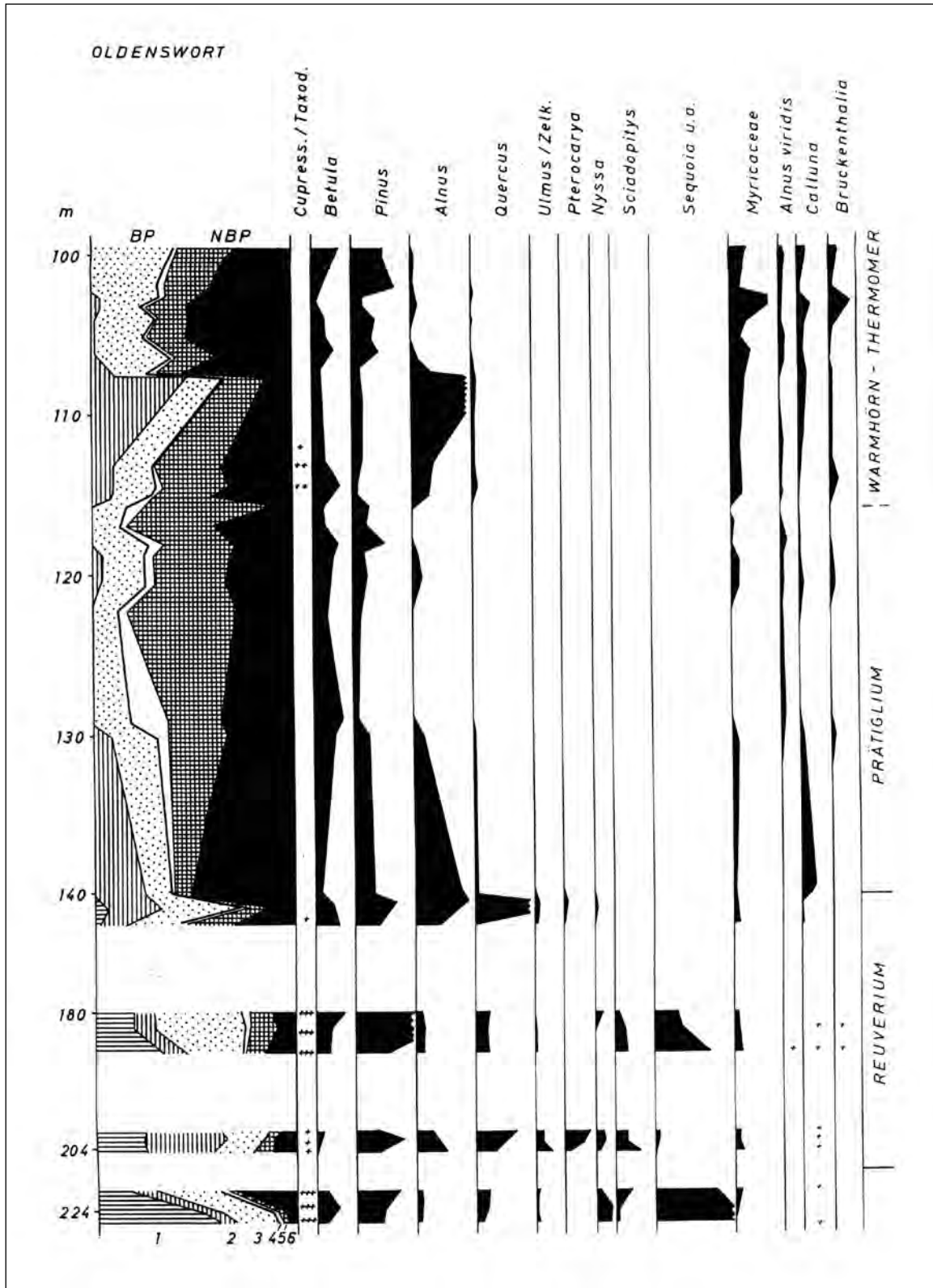


Fig. 4: Simplified pollen diagram (selected species) of the 'Warmhörn warm phase' ('Warmhörn-Warmzeit') (Lower Pleistocene) above Pliocene. Oldenswort drilling. Counts and original drawing by Menke (without year). BP = pollen of trees and shrubs: 1 = *Sequoia* and other typical Pliocene species, 2 = other thermophile species, 3 = boreal species, including Myricaceae. NBP = non-arboreal pollen: 4 = herbs, 5 = Poaceae, Cyperaceae, 6 = Ericales.

Abb. 4: Vereinfachtes Pollendiagramm (ausgewählte Arten) der 'Warmhörn-Warmzeit' (Unter-Pleistozän) über Pliozän. Bohrung Oldenswort. Zählung und Originalzeichnung von Menke (ohne Jahresangabe). BP = Pollen von Bäumen und Sträuchern: 1 = *Sequoia* und andere typisch pliozäne Arten, 2 = andere wärmeliebende Arten, 3 = Boreale Arten, einschließlich Myricaceae. NBP = Nichtbaumpollen: 4 = Kräuter, 5 = Poaceae, Cyperaceae, 6 = Ericales.



Fig. 5: The Lower Pleistocene Lieth succession in the Lieth open cast mine; dark bands = brown coal-like organic beds, white bands = sands (cf. EHRLERS 1983, Fig. 243). In front: Helmut Stremme (with megaphone) and Burchard Menke. Photograpgh: H.-J. Stephan 1970.

Abb. 5: Die unterpleistozäne Lieth-Abfolge in der Grube Lieth; dunkle Lagen = braunkohlenartige organische Ablagerungen, weiße Lagen = Sande (vgl. EHRLERS 1983, Fig. 243). Vorne Helmut Stremme (mit Megaphon) und Burchard Menke. Foto: H.-J. Stephan 1970.

#### *Elsterian (Elster Complex; Elster-Kaltzeit)*

Deposits of the Elsterian are found close to the surface in a relatively narrow fringe in eastern Germany, in other regions in few elevated areas with only a thin cover of younger sediments and in some ‘geological windows’, or in disturbed positions where Elsterian beds were thrust upwards by younger glaciations. In most areas, however, Elsterian deposits were more or less eroded by younger glaciations. They are then most likely found in depressions and on the shoulders of deeply incised tunnel valleys, sometimes completely filling the valleys. Based on the well-investigated areas of Saxony, it was believed for a long time that there were two larger ice advances during the Elsterian (LITT et al. 2007). However, in Schleswig-Holstein evidence was found recently for three different till sheets, so that now a minimum of three glacier advances is proved (cf. KRONBORG 1986 for Denmark). During the youngest of these, a ‘Baltic ice stream’ formed, with a source area in eastern Fennoscandia (STEPHAN 2007: Goldelund-Formation). The Elsterian ‘red till’ described from eastern Lower Saxony (e.g. MEYER 1976) probably belongs to this advance. Between the youngest glacier advance and the preceding glaciations a short period of subarctic climate with a regional decay of the ice sheets seems probable (STEPHAN et al. 2011).

At the end of the Elster cold phase, glaciolacustrine ‘Lauenburg Clay’ or equivalent mostly fine-grained deposits are found widespread in North Germany, especially on top of the infill of tunnel valleys. Within this late glacial deposit an early and short ingressions of the sea is documented by an arctic macrofauna in deep tunnel valleys of southwestern Holstein (HINSCH 1993) and in western Mecklenburg by arctic species of foraminifera (MÜLLER & OBST 2008). After this event, probably due to fast isostatic uplift, the marine influence ceased. A second transgression occurred shortly before the onset of the Holsteinian warm stage, but still under arctic or subarctic conditions.

Due to its complex development the Elsterian is now often referred to as ‘Elster Complex’ (Fig. 3). The Elsterian is correlated with MIS 10 (LITT et al. 2007). Its age is indirectly

determined by dating deposits of the youngest thermomer of the ‘Gorleben Complex’ (‘Rhume-’ or ‘Bilshausen-Warmzeit’; MÜLLER 1992) and of the Holsteinian (see below).

#### Problems

No older sediments of glacial origin than Elsterian have been reliably found in North Germany so far. VINX, GRUBE & GRUBE (1997), however, discuss an older till, found at the base of the glacial sequence at Lieth. They regard this local till as a ‘pre-Elster-1 Till’, because they interpret the overlying clayey till as Elsterian-1. However, it has to be kept in mind that Elsterian tills are extremely variable in composition, resulting from mostly strong reworking and incorporation of material from the local to regional subsurface. In North Germany it is mainly reworked Tertiary material that makes up the clayey, silty, and sandy till matrix. So, for instance, the existence of an extremely sandy till of the second glacier advance in northwestern Lower Saxony (MEYER 1976, 1987) does not exclude a clayey till of the same glaciation phase deposited at Lieth. Both the first and the second till and also the so-called ‘pre-Elster-1 till’ contain pebbles and blocks from western Scandinavian source areas with a distinctive component of rocks from the Oslo region.

It can, however, not be ruled out that North Germany was reached by a pre-Elsterian glaciation. In Central Jutland (Denmark) ANDERSEN (1965) found ‘pre-Harreskovian’ glacial deposits including a clayey till. As the ‘Harreskov-Thermomer’ – according to Urban (in STEPHAN et al. 2011) – correlates with the second thermomer of the ‘Gorleben Complex’ (Hunteburg warm phase) at least north of the Danish/German borderline an early Middle Pleistocene glaciation is proved.

Hitherto no evidence for such old glaciation was found in Schleswig-Holstein. However, erosion by Elsterian glaciers and meltwater was obviously very strong. It seems possible that deposits of an older glaciation were more or less completely eroded during that period, perhaps with the exception of some local remnants in protected depressions. It is, for instance, not clear how the sediments below the organic

bed of Surheide that has been correlated with the Ferdinandovian by BEHRE (2004) must be interpreted. According to Urban (in STEPHAN et al. 2011) the vegetational history of the really warm ‘Surheide-Thermomer’ was found to be similar to the ‘Huntenburg-Thermomer’. If this correlation is correct and if the underlying sediments are glacial, as believed, one must deduce a pre-Elsterian glaciation extending at least into northwestern Lower Saxony. It might have reached North Germany as early as the end of the Early Pleistocene or the onset of the Middle Pleistocene, i.e. much earlier than ever thought previously. Behre alternatively discusses the inclusion of the Ferdinandovian into the ‘Elster Complex’ which would result in a much broader definition of the term Elsterian.

The solution of this problem depends on a detailed investigation of the petrographical composition and origin of the sediments below the organic bed of Surheide.

Hitherto it is not known whether the two Elsterian tills of East Germany (WANSA in LITT et al. 2007) can be correlated with the tills found in Northwest Germany. It is also unknown, how far the individual ice advances reached. The late Elsterian ‘Baltic ice’ must have covered at least northwestern and southern Lower Saxony where LÜTTIG (e.g. 1999) and Meyer (LÜTTIG & MEYER 2002) found Elsterian tills with the majority of erratics from more easterly source areas (‘Elster-E-tills’) than deduced for other Elsterian tills.

#### *Holsteinian (Holstein warm phase; Holstein-Warmzeit)*

The ‘classical’ Holsteinian is well documented in North Germany, and several detailed investigations of marine deposits and non-marine organic beds have been published. Its name was introduced by GEIKIE (1894: 441). He called the marine deposits in southwestern Schleswig-Holstein ‘Holstein bed’. Its lower and upper boundaries are clearly defined by INQUA and the Subcommission on European Quaternary Stratigraphy (SEQS) (JERZ & LINKE 1987). Type region is the Lower Elbe area. According to  $^{230}\text{U}/\text{Th}$ -dating (GEYH & MÜLLER 2005), it is synchronous with Marine Isotope Stage 9 (MIS 9), which is supported by ages of Infrared-Radiofluorescence (IR-RF)-dated early Saalian sands (KRIBETSCHEK, DEGERING & ALEXOWSKY 2008; KRIBETSCHEK & STEPHAN 2010) with ages between 141 ka BP and c. 300 ka. IR-RF-dated ‘flaser sands’ of the Wacken succession in western Holstein lying between Holsteinian marine beds and sands of the Mehlbek cold phase yielded an age of  $296 \pm 21$  ka (KRIBETSCHEK & STEPHAN 2010).

A brief definition and description of the Holsteinian is given by Litt (in LITT et al. 2007).

#### Problems

The age of the Holsteinian is increasingly debated. Several scientists (e.g. KOUTSODENDRIS et al. 2010; SARNTHEIN, STREMME & MANGINI 1986, publishing U/Th- and ESR-ages of shells), especially from western Europe, believe this strong thermomer belongs to MIS 11 (cf. TURNER 1996, EHLERS 2010). The question arises whether both, the ‘Holsteinian’ from western Europe and the Holsteinian from North Germany, in fact describe different warm phases.

At Schöningen (brown coal mine) in Lower Saxony organic deposits overlying late Elsterian sediments were palynologically investigated by URBAN (e.g. 1995, 2007; URBAN et

al. 2011). Beside clear Holsteinian sequences Urban described profiles with different palynological successions, one of them displaying a distinct ‘interglacial’ character. She named it the ‘Reinsdorf Interglacial’ and interpreted it as a thermomer younger than the Holstein warm phase. Contrary to her several scientists correlate this organic bed with the Holsteinian (e.g. MEYER 2012), an interpretation that seems to be no longer completely rejected by URBAN (URBAN & SIERRALTA 2012). However, during an excursion of the *Subkommission Quartär der deutschen Stratigraphische Kommission* (DSK) in 2011 to the Schöningen mine Urban presented a carefully prepared section with the Holsteinian bed at the base and the Reinsdorf horizon several metres above.

The age of this warm phase is strongly debated.  $^{230}\text{U}/\text{Th}$  data (e.g. SIERRALTA et al. 2012) seem to fix this thermomer approximately in the range of MIS 9 thus intensifying the debate about the age of the ‘classic Holsteinian’. Regarding the weakness of the climatic optima of MIS 9a or 9c in the δD record of ice cores (e.g. JOUZEL et al. 2007), a connection of the Reinsdorf as a clearly warm thermomer with them seems to be unlikely.

Hitherto deposits of the Reinsdorf thermomer and succeeding interstadials are unknown in Schleswig-Holstein.

#### *Saalian (Saale Complex)*

The Saalian can be roughly divided into a non-glacial lower and a glacial upper part, the ‘Saale cold phase s.s.’ (STEPHAN 2005: ‘Glaziäre Saale-Subgruppe’). However, at closer inspection the Saalian comprises a complex succession of cold and warm phases as depicted in Fig. 3. The ‘Wacken warm phase’ and the ‘Leck warm phase’ are recently recognized as members of the Saalian. In the Wacken clay pit a continuous stratigraphical sequence was exposed, reaching from late Elsterian glaciolacustrine Lauenburg Clay via marine Holsteinian clay, fine grained sands with ripple marks (‘flaser sands’), several metres thick deposits of the Mehlbek kryomer (so-called ‘white sands’ coarsening upwards and including a thick kerkoboloid-layer in its upper part), to peat and gyttja of the Wacken warm phase (Fig. 6, 7) (MENKE 1968; DÜCKER 1969). The organic bed is overlain by fine-grained white sands very similar to the underlying periglacial sands, probably deposited in a succeeding cold phase, named ‘Bokelrehm cold phase’ in Fig. 3. (This new name was derived from the village of Bokelrehm located c. 2 km NW of the Wacken clay pit). Upwards they rapidly become coarser and are discordantly cut by meltwater(?) sands.

According to IR-RF dating by KRIBETSCHEK, the Wacken warm phase seems to correlate with MIS 7e (KRIBETSCHEK & STEPHAN 2010).

The Leck succession was described by STEPHAN (2006b), results of different studies were published by STEPAN et al. (2011). In the drillings north of Leck (North Frisia) a c. 9 m thick fluvial sand was found containing streaks or layers with organic sand or silt and a thicker bed with a sandy-silty mud of the ‘Leck-Warmzeit’ s.s.. The vegetational development of the Leck warm phase is different from that of the Eemian, Holsteinian, the Wacken and also the Reinsdorf succession as described by URBAN (e.g. 1995, 2007); URBAN, SIERRALTA & FRECHEN (2011). It is believed to correlate with MIS 7c (STEPHAN et al. 2011). An organic bed in the clay pit Nachtigall near Höxter, Northrhine-Westfalia, with very similar pollen assemblages (cf. also KLEINMANN et al. 2011)



Fig. 6: Wacken clay pit. Periglacial deposits of the 'Mehlbek cold phase' ('Mehlbek-Kaltzeit') displaying a horizon with strong involutions (kerkoboloids), at the right overlain by the organic bed of the 'Wacken warm phase' ('Wacken-Warmzeit'). Photograph: H.-J. Stephan 1978.

Abb. 6: Tongrube Wacken. Periglaziale Ablagerungen der 'Mehlbek-Kaltzeit' mit einem Horizont mit starker Verbrodelung (Kerkoboloide). Rechts Überlagerung durch die organischen Ablagerungen der Wacken-Warmzeit. Photo: H.-J. Stephan 1978.



Fig. 7: Wacken clay pit. The organic bed of the 'Wacken warm phase' (peat beneath gyttja) below sands of the 'Bokelrehm cold phase' (new term) overlying sands of the 'Mehlbek cold phase'. Photograph: H.-J. Stephan 1978.

Abb. 7: Tongrube Wacken. Die organischen Ablagerungen der Wacken-Warmzeit (Torf unter Gyttja) unter Sanden der Bokelrehm-Kaltzeit (neuer Begriff) und Sande der Mehlbek-Kaltzeit überlagernd. Foto: H.-J. Stephan 1978.

show  $^{230}\text{U}/\text{Th}$  ages ranging from 227 +9/-8 ka to 201 +15/-13 ka (KLEINMANN, LEPPER & WAAS 2011).

The two Saalian glaciation phases found in Saxony can probably both be correlated with the first Saalian glacial phase of North Germany, the Drenthe Stadium (LITT et al. 2007). Between the Drenthe Stadium and the succeeding Warthe Stadium an ice-free phase occurred in North Germany, either due to a weak amelioration of climate, or to a decrease of snowfalls in the southern Scandinavian highlands. It is not known where the active ice margin was located during the 'interphase'. At least in the westernmost areas of NW Germany, for instance in Dithmarsia, the ice sheet melted down and the landscape became partly ice-free. The land surface was altered by periglacial processes, and features typical for an arctic environment formed. The climate obviously never reached interstadial conditions. Neither soils nor organic beds have been found anywhere (cf. STEPHAN 1980; MEYER 1987, 2005; MÜLLER 2004). The bleached loam in the Saalian Drenthe till of the 'Rotes Kliff' (red cliff) sec-

tion on the island of Sylt was originally interpreted as an 'interglacial' and later as an interstadial soil (FELIX-HENNIGSEN & URBAN 1982; FELIX-HENNIGSEN 1983), covered by a Warthian till. STEPHAN & MENKE (1993) questioned this interpretation. Most likely the older Saalian (Drenthian) till was bleached during the Eemian and the Early Weichselian interstadials and then, during the cold phases of MIS 4 and MIS 3 (see chapter Weichselian), covered by a fresher sheet of periglacially reworked (not bleached) till material from nearby. Both, the Drenthian till and its periglacial cover then underwent further weathering during the Middle and Late Weichselian interstadials and the Holocene.

In Schleswig-Holstein, south of Kiel, meltwater deposits overlain by a Saalian basal till yielded OSL ages between  $164 \pm 27$  ka and  $199 \pm 19$  ka (PREUSSER 1999) and TL ages between c.  $127 \pm 19$  ka and  $131.4 \pm 19.7$  ka BP (MARKS et al. 1995). According to recent IF-RF-dating by KRIBETSCHKE, DEGERING & ALEXOWSKY (2008), sandy sediments of the glacial upper part of the Saalian in Central and East Germany are no older than

150 ka BP and no younger than 130 ka BP, thus having been deposited within a period of only 20 ka.

### Problems

The subdivision of the glacial Saalian is not at all clear. According to WOLDSTEDT (1926, 1954) glaciers reached North Germany during two different large stadials, the 'Drenthe-Stadium' and the 'Warthe-Stadium'. However, in Northwest Germany three different widespread Saalian till sheets exist and even more till facies are to be found. For many decades glacial geologists tried to find out methods for associating Saalian deposits with either the first or the second stadium. Petrographical analyses of tills, especially gravel analyses and counts of Scandinavian 'indicator rocks' ('Leitgeschiebe') were used. Deposits of the Drenthe Stadium were supposed to be characterized by a 'Swedish-dominated' drift, deposits of the Warthe Stadium by a stronger 'Baltic' influence (rocks from East Fennoscandia and the base of the eastern Baltic Sea), due to (climate-induced?) fundamental changes in the main source areas and stream directions of the ice sheet. Consequently, all Saalian deposits not characterized by a 'Baltic' composition, were associated with the Drenthe Stadium (LÜTTIG 1957, 1991, 1999; LÜTTIG & MEYER 2002; MEYER 1976, 2005). However, STEPHAN (1980, 1998) pointed out that both stadia showed a cyclic development with an earlier drift characterized by mainly Swedish rocks and a later drift characterized by relatively frequent Baltic- or East Baltic components. A 'Baltic to East Baltic facies' is revealed by the so-called 'red Drenthe till' in Northwest Germany overlying a succession with a Swedish-dominated composition and also by the typical Warthian drift (in SE-Holstein and NE-Lower Saxony often again with a 'red till'; EHLERS 1992) overlying Swedish-dominated deposits. Using this model STEPHAN (1980) attributes all tills younger than the 'red Drenthe till' to the Warthian, including the so-called 'Kreidemoräne', rich in flint and often also in chalk, which corresponds to the description of WOLDSTEDT (1954) but not of WOLDSTEDT (1926). MEYER (2005) disregards those results and refers to that till as 'Drenthe-2 Till' or the 'younger Drenthe Till', in agreement with LÜTTIG (e.g. 1991, 1999).

To avoid confusion and in agreement with the stratigraphical rules in Schleswig-Holstein (STEPHAN 1995) and partly in Hamburg (GRUBE 1981) regional terms are applied. In publications focussing on larger national or international correlation, often the neutral terms Saalian 'older', 'middle' and 'younger advance' (or till) have been used (e.g. KABEL 1982, STEPHAN 1982, 1987, 1998, EHLERS 1990) (see LithoLex at [www.bgr.bund.de/litholex](http://www.bgr.bund.de/litholex)).

The 'Kreidemoräne' is often regarded as the typical facies of the middle Saalian ice advance in NW-Germany deposited by a 'Northeast Ice' that had derived abundant Cretaceous material from the southern Danish islands. It is normally used as the stratigraphically defining horizon. However, lately this facies has also been found in older Saalian (for instance in Dithmarsia) and – in northern Schleswig-Holstein and in neighbouring Denmark – in younger Saalian deposits. There till rich or extremely rich in chalk was deposited by an 'East Ice'. Furthermore, it became evident that middle Saalian tills in southwestern Schleswig-Holstein and northwestern Lower Saxony accumulated much chalk and flint from glacial erosion on the tops of salt domes in south-

western and central Holstein. At least, a 'Kreidemoräne' of Weichselian age has lately been detected at the outermost Weichselian margin in southern Holstein (hills of 'Kisdorfer Wohld') (STEPHAN 2011). Much fresh chalk and unweathered flint without abrasion (observed in the fine gravel fraction) prove the till as a 'local till' that had incorporated Cretaceous material from the top of a salt dome nearby. These hills, interpreted as a Saalian endmoraine previously, now can be understood as a Weichselian push moraine. Similarities exist with chalk-rich deposits of the oldest Weichselian glacier advance in Mecklenburg during the Warnow stadial (RÜHBERG et al. 1995, MÜLLER 2004).

Thus incorporation of abundant chalk and flint in tills is not restricted to one stratigraphical horizon in large parts of Northwest Germany and can no longer be used there for stratigraphical correlations. The only exception might be East Holstein situated east of the belt of high-lying salt domes.

In Mecklenburg only two widespread Saalian till horizons are known, and none of them is a 'Kreidemoräne' (MÜLLER 2004). In Brandenburg tills rich in chalk and flint have been associated with the 'younger stadium of the Saalian' by LIPPSTREU, BROSE & MARCINEK (1995). However, until now no overlying Eemian deposits have been found, and this till facies might eventually be determined to be of Weichselian age.

It is still controversially discussed how far the youngest Saalian ice sheet reached in Schleswig-Holstein. Due to finds of 'East Ice' material in fine gravel samples from northwestern Schleswig-Holstein, STEPHAN (1998) drew the ice margin through the island of Sylt towards the northwest, following RICHTER (1937). This line seems to correspond with the extent of the 'Warthian' in Jutland (HOUMARK-NIELSEN 2007). However, this concept is rejected by LÜTTIG (2009). Relying on counts of indicator rocks in northernmost Schleswig-Holstein, he interprets all deposits in the northwest as older Saalian (Drenthian facies or his lately defined North Frisian facies).

Also in southern Schleswig-Holstein the outermost limit of the younger Saalian ice advance is still unknown.

During the early decay of the Saalian ice shield, temporary re-advances in Schleswig-Holstein terminated increasingly in the east. Their deposits are progressively 'Baltic-dominated' probably due to increased ice supply via the recent Baltic Sea Basin. Extremely Baltic to East Baltic ice advanced through this depression presumably caused by a faster melting of West Swedish ice that had blocked westward drainage of the eastern ice masses previously (cf. the Weichselian 'Young Baltic Advance'; STEPHAN 2001). Baltic and finally East Baltic ice reached Mecklenburg, northeastern Lower Saxony, and Schleswig-Holstein. Baltic ice even reached Jutland, time-transgressive from southeast towards northwest and north. The northernmost 'red tills' of East Baltic origin are found southwest of Kiel. Further to the north reddish tills of Baltic origin occur, characterized by abundant reddish-violet sandstones and quartzites derived from the sedimentary rocks covering the crystalline basement of East Fennoscandia (Jotnian and Eocambrian sandstones). Both facies overlap in Central Holstein.

However, it must be emphasized that the younger Saalian ice also deposited tills with a facies similar to Drenthian tills besides Baltic and East Baltic facies (c.f. KABEL 1982). One reason is the fact that the ice sheet eroded and incorporated



Fig. 8: Eemian and Early Weichselian soils in the sand pit of Hof Keller, type section of the Keller Interstadial. From bottom to top: Distinct Eemian podsol (Keller I), Brörup podsol (Keller II), relic of the Odderade podsol (Keller III), and a thin and weak podsol of the Keller Interstadial (Keller IV), in the right half bipartited. Photograph: H.-J. Stephan 1976.

Abb. 8: Eem- und früh-weichselzeitliche Böden in der Sandgrube Hof Keller, Typprofil des Keller-Interstadials. Von unten nach oben: Ausgeprägter Podsol des Eem (Keller I), Podsol des Brörup (Keller II), Erosionsrest des Odderade-Podsol (Keller III) und ein dünner, schwach entwickelter Podsol des Keller-Interstadials (Keller IV), in der rechten Hälfte zweigeteilt. Foto: H.-J. Stephan 1976.

much older glacial material resulting in ‘mixed facies’. They are difficult to interpret by counts of erratics or by gravel analyses. The degree of mixing probably increased the further to the west or south the ice sheet advanced.

Furthermore, a primary mixing could already have occurred when ‘tributary ice streams’ flowing down the Swedish mainland towards southeast (cf. drawing by STEPHAN in EHLLERS, MEYER & STEPHAN 1984: Fig.11) added their drift to the ‘Baltic ice stream’ flowing through the Baltic Basin. As a result the northwestern ice band of the Baltic ice stream transported material with a composition similar to older Saalian tills. South of Sweden it turned towards west and even northwest (now as the northern band). Till deposited by this stream band would erroneously not be interpreted as deposit of the younger Saalian ice (‘Warthe-Till’) by counting indicator rocks.

#### 4 Late Pleistocene [Upper Pleistocene]

##### *Eemian (Eem warm phase, Eem-Warmzeit)*

Eemian deposits were found and investigated in numerous sites in Schleswig-Holstein (e.g. MENKE 1976) and other parts of North Germany and Europe. The Eemian vegetational and climatic development seems well known. The correlation with MIS 5e is nowhere called in question. For a short description see LITT et al. (2007).

In North Germany the marine transgression flooded all river valleys along the coasts of the Baltic Sea and the North Sea (cf. HÖFLE, MERKT & MÜLLER 1985). Remarkably, Eemian deposits lie deeper than one would expect considering that a warm thermomer with higher than recent temperatures should be accompanied by a higher sea level. South of Lübeck a typical Eemian beach sediment was found in a drilling at c. -28 m below the recent sea level (NN). This means a subsidence of that region by c. 0.25 mm p.a. on average since 120 ka, which agrees with the epirogenetic sinking of the Lower Elbe region in geological time.

In land areas not affected by the transgression, Eemian

peats or gyttjas developed in many depressions, later covered either by periglacial sediments or – in the ‘young morainic landscape’ – by glacial Weichselian deposits. Eemian soils are frequently found (cf. Figs. 8, 9), providing a good base for the stratigraphical separation of Middle and Late Pleistocene deposits.

##### *Weichselian (Weichsel Complex, Weichsel-Kaltzeit)*

The Weichselian is subdivided into the Lower (or Early) Weichselian, usually correlated with MIS 5d to 5a, the Middle Weichselian, correlated to MIS 4 and 3, and the Upper (or Late) Weichselian (MIS 2). The lower part is characterized by cold phases (stadials) alternating with interstadials. In contrast to conventional stratigraphic tables (DSK 2002, LITT et al. 2007), the Eemian in Fig. 3 is followed at least by three Lower Weichselian interstadial horizons (cf. Fig. 8, 9, 10). Short descriptions of the first 2 interstadials (Brörup, Odderade) were given by BEHRE (in LITT et al. 2007). For more detailed descriptions see e.g. MENKE (1975) and AVERDIECK (1967). The third interstadial (Keller) was described by MENKE (1980). In exposures in Schleswig-Holstein frost cracks, thin convoluted layers, and horizons with ventifacts prove that the Lower Weichselian cold phases saw at least temporary subarctic to arctic conditions. In an exposure in the northernmost Schleswig-Holstein (Osterbylund) in the stadial sediment separating the interstadial Brörup- and Odderade-soils, a mass flow deposit (‘Fließerde’) with stones and even blocks derived from a thrust Saalian till body has recently been observed (cf. Fig 9), proving a temporary moist arctic climate.

The lower Weichselian interstadials precede a very cold arctic phase between c. 72 and 60 ka BP (JOUZEL et al. 2007, WOLFF et al. 2010). Its base is thought to mark the beginning of the Middle Weichselian (MIS 4) (see below). In 1994 in northern Schleswig-Holstein first hints were found for a glaciation probably taking place during this phase. TL dating of meltwater deposits yielded ages between  $59.4 \pm 8.9$  ka and  $52.5 \pm 7.9$  ka (MARKS et al. 1995). Later PREUSSER (1999) pub-



Fig. 9: Osterbylund sand pit WNW of Ellund (Fig. 1). At the base (right) Saalian till transformed to an Eemian gley (Ee), overlain by Early Weichselian sediments with a thick podsol of the Brörup Interstadial (Br), a podsol of the Odderade (Od), and a very weak podsol of the Keller Interstadial (Ke) at the top. Between the Brörup podsol and the Odderade podsol a mass flow deposit of the Rederstall Stadial is visible in the centre and further left. Photograph: H.-J. Stephan 2012.

Abb. 9: Sandgrube Osterbylund WNW von Ellund (s. Abb. 1). Rechts unten saalezeitlicher Till, zu einem eemzeitlichen Gley (Ee) verwittert, überlagert von früh-weichselzeitlichen Sedimenten mit einem mächtigen Podsol des Brörup (Br), einem Podsol des Odderade (Od) und einem sehr schwachen Podsol des Keller-Interstadials (Ke) (z. T. verwaschen). Zwischen Brörup- und Odderade-Podsolen kann man in der Bildmitte und links davon eine Fließerde erkennen. Foto: H.-J. Stephan 2012

lished OSL-dates between  $92 \pm 24$  ka and  $61 \pm 16$  ka. The consistency of ages pointing to the lower Weichselian or early Middle Weichselian is the main reason for the assumption of such an early glaciation. The cold phase was named 'Ellund-Phase' by STEPHAN (2003) (cf. STEPHAN 2006a: Ellund-Formation). It is in rough agreement with the postulated age of the so-called 'Old Baltic ice advance' in Denmark (PETERSEN & KRONBORG 1991) or the synonymous 'Ristinge Glaciation' (HOUMARK-NIELSEN 2007). This glaciation was probably induced by the arctic 'Ellund-Phase'. HOUMARK-NIELSEN (2010) using OSL dates of meltwater deposits believes that glaciation to have taken place not earlier than 54 ka ago in the north-western Baltic region, that means during the early phase of the succeeding weak warming.

Recently a Lower Weichselian glaciation has also been deduced by MÜLLER (2004: 'Warnow-Stadial', 2007: 'Warnow-Formation'), based on core samples from northwest Mecklenburg. There, marine deposits or an organic horizon ('Saßnitz-Interstadial') overlay the glacial deposits. According to Müller (2004, 2007) it was the strongest of all Weichselian glaciations terminating in most cases south of the LGM-line drawn by EHLERS et al. (2004). Its till (qw0-till) is often rich in flint and chalk (RÜHBERG et al. 1995) and is thought to have been commonly mistaken as the 'Saale III till' in older publications (e.g. CEPEK et al. 1975).

After the 'Ellund-Phase' the Middle Weichselian continued as a mainly cold period with several slightly milder interruptions. It lasted c. 30 ka.

The upper Weichselian comprises the pleniglacial with glacier advances during the 'Brandenburg-Phase', 'Frankfurt-Phase', 'Pommern-Phase' and 'Mecklenburg-Phase' (LITT et al. 2007; cf. LithoLex data bank) and the phase of late Weichselian interstadials. It ends at 11.7 ka BP, based on correlation with the NGRIP ice core (RASMUSSEN et al. 2006; WALKER et al. 2009). During the 'Mecklenburg-Phase', which is synonymous with the 'Young Baltic advance' in Schleswig-Holstein and Denmark (STEPHAN 2001), again a

'Baltic ice stream' originated, called the 'Young Baltic ice advance' (STEPHAN 2001), similar to the end phases of Elsterian and Saalian glaciations (cf. last paragraph of chapter Saalian). Ice masses, especially from an ice dome in the northeast of Scandinavia and from tributary ice streams from Central Sweden, flowed along the recent Baltic Sea Basin turning west and then northwest towards the Kattegat and Skagerak, very likely due to the melting of former blocking ice in the west. This was probably augmented by a simultaneous isostatic uplift of the southern areas of Pomerania and North Germany in response to deglaciation. 'Baltic ice' covered the northern Mecklenburg and the east of Schleswig-Holstein. In tills of this phase layers or streaks of 'red till' occur, characterized by many clasts of reddish or violet sandstones or quartzites (most are Jotnian sandstones) and Palaeozoic limestones. 'Baltic crystalline' (e.g. Åland rocks or Baltic porphyries) is rather rare in deposits of the Young Baltic ice advance in Schleswig-Holstein. Probably a northwestern to northern band of the Baltic ice stream reached its coastal regions (cf. EHLERS, STEPAN & MEYER 1984: Fig. 11) predominantly depositing a 'Svecobaltic facies' (STEPHAN 2003) that was mainly derived from eastern Sweden, the adjacent subground of the recent Baltic Sea and the islands of Öland and Gotland.

In the western Baltic area, the Young Baltic ice advance probably ended at about 15 ka BP, when kame sediments TL- and OSL-dated by PREUSSER (1999) were deposited between stagnant and melting ice masses, approximately contemporaneous with the end of the last pleniglacial cold phase that was followed by rapid warming (STUIVER, GROOTES & BRAZIUNAS 1995).

#### Problems

Dating of the Weichselian deposits in Schleswig-Holstein is still uncertain. It is, for instance, debatable whether TL dates and OSL dates for the assumed early Middle Weichselian glaciation are reliable or not. It cannot be ruled out that

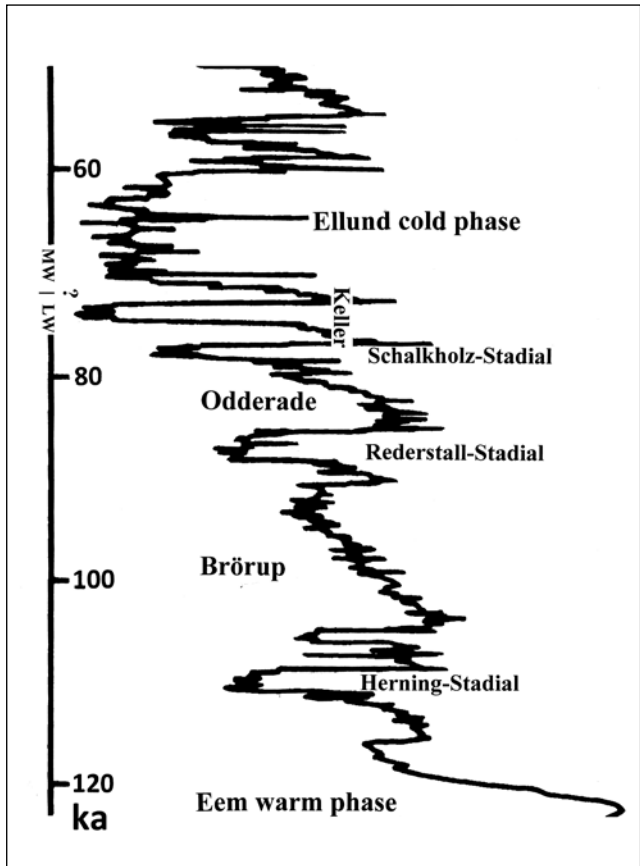


Fig. 10: Stratigraphical table of the Lower Weichselian of Schleswig-Holstein correlated with the  $\delta^{18}\text{O}$  record (simplified curve) of NGRIP ice core. MW / LW: Transition Lower Weichselian - Middle Weichselian? The period Odderade – Keller corresponds with stage MIS 5a (cf. BOND et al. 1993).

Abb. 10: Stratigraphische Tabelle des Unterweichsel von Schleswig-Holstein, korreliert mit der vereinfachten  $\delta^{18}\text{O}$ -Kurve des NGRIP Eiskerns. MW / LW: Übergang Unterweichsel – Mittelweichsel? Der Abschnitt Odderade – Keller entspricht dem marinen Isotopen-Stadium 5a (MIS 5a) (vgl. BOND et al. 1993).

measured grains were not completely bleached by sunlight before deposition, resulting in an overestimation of their age.

The position of the ‘Keller-Interstadial’ could be debated. MENKE (1980) proposed to include the Keller into the Lower Weichselian. He assumed that it correlates with the ‘Oerel-Interstadial’ of Lower Saxony that was found above a Lower Weichselian sequence including peats of the Brörup and Odderade. The Oerel peat was  $^{14}\text{C}$ -dated (BEHRE & VAN DER PLICHT 1992) revealing an age between 53.5 and 57.7 ka. Behre (in LITT et al. 2007) associated the Oerel to the Middle Weichselian. This discrepancy could have several reasons:

1. Correlation of the Keller interstadial and the Oerel interstadial is wrong. However, the continuous sequences with Lower Weichselian interstadial soils (or sometimes organic layers) above clear organic Eemian in Schleswig-Holstein and the continuous sequence with organic horizons above organic Eemian at Oerel in Lower Saxony (BEHRE & LADE 1986) plead for synchronism of these successions.

2. The inclusion of the Keller interstadial in the Lower Weichselian could be wrong. However, in the four known depressions in Schleswig-Holstein where the complete succession Eemian – Brörup – Odderade – Keller separated by stadials was found (cf. Fig. 8, 9) continuous deposition of

periglacial niveofluviatile to eolian sediments was observed in the stadial beds. Intensive cryoturbations as indications for a strong change of climatic conditions which must be expected during a glacial event as the succeeding cold Ellund phase and glaciation occur first above the Keller horizon. Therefore, the association of the Keller interstadial to the Lower Weichselian seems to be plausible.

3. The inclusion of the Oerel interstadial in the Middle Weichselian could be wrong. This connection was supported by the  $^{14}\text{C}$ -dating of the peat of the Oerel bed. The question arises whether conventional radiocarbon dates of more than 50 ka published by BEHRE & VAN DER PLICHT (1992) are reliable or not. Important arguments for the assumption that the radiocarbon dates yield too young ages are the climatic records observed in the ice cores of Greenland and Antarctica (STUIVER & GROOTES 2000, GROOTES et al. 2001, JOUZEL et al. 2007, WOLFF et al. 2010). In the NGRIP ice core of Greenland the uppermost part of the Odderade thermomer has an age around 80 ka BP (cf. Fig. 10), quite different to the  $^{14}\text{C}$ -age of c. 60.8 ka BP of the analogous part of the Odderade peat from the Oerel drilling (BEHRE & VAN DER PLICHT 1992).

In Schleswig-Holstein, in three depressions with the Lower Weichselian sequence one soil of the ‘Keller-Interstadial’ was observed hitherto above the Odderade soil, succeeding the ‘Schalkholz-Stadial’ (cf. Fig. 10). In  $\delta^{18}\text{O}$  records of Weichselian successions the attributive thermomer is marked as Dansgaard-Oeschger Event 20 and part of the Lower Weichselian (cf. WOLFF et al. 2010). Special problems arise, however, because Menke at the type locality of Hof Keller used the name ‘Keller-Interstadial’ for a short complex of two separated thin and weak soil horizons. It is the only site where two post-Odderade soils have been found. Probably they document weathering during the weak thermometers of the Dansgaard-Oeschger Events 19 and 20. Unfortunately WOLFF et al. (2010) and others place the transition Lower/Middle Weichselian between these events. As a consequence the older soil would be part of the Lower Weichselian (MIS 5), the younger soil part of the Middle Weichselian (MIS 4). Dansgaard-Oeschger Events 19 and 20 are interrupted by a short but very cold phase (perhaps caused or at least strongly influenced by the Lake Toba ‘Mega-eruption’?). On the one hand this sharp interruption could be well used for the establishment of a boundary. On the other hand, however, in marine environments climatic records are less detailed. There the strong drop of temperature and the transition to a long-lasting cold period (Ellund cold phase) are commonly found at c. 70 ka BP (e.g. JOUZEL et al. 2007). The same is true for the  $\delta^{18}\text{O}$  record of Taylor Dome in Antarctica (GROOTES et al. 2001). The onset of the Ellund cold phase after the Dansgaard-Oeschger Event 19 therefore seems to fit better with the beginning of the Middle Weichselian and MIS 4 (cf. BOND et al. 1993).

It cannot be ruled out that the two thin and weak soil horizons of Keller in fact correlate with both the Oerel and the Glinde interstadial of Lower Saxony. The thin organic bed of the ‘Glinde-Interstadial’ would then represent the last weak thermomer of the Lower Weichselian.

The age of the first upper Weichselian glacier advances cannot be finally determined in North Germany. It might be younger than 24 ka BP (cf. STEPHAN in LITT et al. 2007). That suggests a delay between the strong cooling around 26

ka BP (STUIVER & GROOTES 2000), the climatic onset of the Upper Weichselian (or even around 30 ka BP, cf. WOLFF et al. 2010), and the advance of the ice sheet. LÜTHGENS et al. (2010), however, according to new OSL dates of fluvioglacial sediments in north-eastern Germany suggest a first ice advance already during early MIS 2.

The Brandenburg and the Frankfurt Advances were originally morphostratigraphically defined by WOLDSTEDT (1926, 1928). It is unclear whether they are independent advances or whether the latter was just a readvance of the former without deposition of an individual till sheet. The complicated petrographical and stratigraphical situation was briefly discussed by STEPHAN, MÜLLER & VON BÜLOW (2008). LÜTHGENS, BÖSE & KRIBETSCHKE (2009) found evidence for a complex origin of the so-called Frankfurt end moraine. They question its origin as the terminal ridge of the ‘Frankfurt(Oder) Phase’. A similar debate concerns the glacier advances during the ‘Pommern-Phase’ and the ‘Mecklenburg- Phase’. Some scientists are of the opinion that both advances belong to the same glaciation phase (e.g. SCHULZ 2003; LÜTTIG 2005). Theoretically all glacier advances of the Weichselian Pleniglacial might be combined into only two larger glacial events separated by a phase of gradual melting (‘interphase’).

The extent of the Weichselian ice advances in W-Mecklenburg and Schleswig-Holstein is not yet clear. The morphological connection of end moraines from Pomerania and Brandenburg to the west is partly debatable. In northern East Holstein the end moraine-lines are interrupted by a landscape dominated by Saalian uplands and strong Weichselian erosion. Stratigraphical correlations using counts of indicator rocks (TGZ-method) by LÜTTIG (e.g. 2004, 2005) provide no solution. Lüttig concludes that the Brandenburg Advance did not reach western Mecklenburg and Schleswig-Holstein and that the Pomeranian Advance ended in East Holstein, and that no evidence for the Mecklenburg Advance exists. So in eastern Central Holstein, in the Schleswig district, and further to the north, all Weichselian deposits should belong to the ‘Frankfurt(Oder) Phase’. However, at least the distribution of two ‘Young Baltic’ tills in Denmark (HOUMARK-NIELSEN 2007) and their continuation southwards (STEPHAN 2001) contradict this view.

The dating of Weichselian end moraines or deposits results in different ages, depending on the methods used. The youngest controversy arose regarding the age of the Pomeranian end moraine. <sup>10</sup>Be exposure dates of erratic blocks by RINTERKNECHT et al. (e.g. 2006) yielded an average age of  $14.6 \pm 0.3$  ka BP. This seems to be much too young (cf. MÜLLER, STEPHAN & VON BÜLOW 2009). The postulated age lies in the time of the Late Weichselian strong warming (STUIVER, GROOTES & BRAZIUNAS 1995; RASMUSSEN et al. 2006). The main reason might be that the investigated blocks did not reach their final position at the time of the formation of the end moraine due to long-lasting melt of stagnant and buried ice and continuing periglacial movements (MÜLLER, STEPHAN & VON BÜLOW 2009; STEPHAN & MÜLLER 2007; cf. HOUMARK-NIELSEN et al. 2012). LÜTHGENS, BÖSE & KRIBETSCHKE (2009) found an OSL age about 20 ka BP for Pomeranian outwash sediments in north-eastern Brandenburg, an age that seems to be much more convincing.

The first Late Weichselian climatic amelioration is often correlated with the Bölling Interstadial. However, USINGER

(1995) made it clear that the Bölling is synonymous to the lower part of the Alleröd and not identical with the first Late Weichselian interstadial that occurred earlier (*Hippophae* maximum). The latter was defined by MENKE in BOCK et al. (1985) and named ‘Meiendorf-Interstadial’. Calibrated <sup>14</sup>C dates suggest an age of more than 14 ka BP. This corresponds to the first intensive Late Weichselian warming between 14.7 ka and 14.2 ka BP (STUIVER, GROOTES & BRAZIUNAS 1995; RASMUSSEN et al. 2006).

## 5 Conclusions

By evaluating all information about the stratigraphic position of Pleistocene deposits in Schleswig-Holstein and adjoining areas including detailed petrographical studies of the sediments, palynological investigations, and dating by physical methods it has been possible to establish a reliable stratigraphical table, based on the regional climatic development. This table is valid not only for Schleswig-Holstein but for North Germany in general and can provide an update for the Pleistocene in the stratigraphical table for Germany (STD), (LITT et al. 2005, 2007: Beilage 1). It can be used as an actual base for chronostratigraphical correlations of Pleistocene successions throughout Europe.

## Acknowledgements

This work is an extended and updated version of a poster presentation at the ‘Exploratory workshop on the frequency and timing of glaciations in northern Europe (including Britain) during the Middle and Late Pleistocene’ in Berlin, February 2009. For the invitation I have to thank Margot Böse, FU Berlin.

I would like to thank the members of the laboratory for geotechnics of the Geological Survey of Schleswig-Holstein (former LANU S.-H.), especially Wanda Bienert, Barbara Kaczirek and Siegfried Neumann, for petrographical analyses and preparation of samples for gravel and stone counts, Marion Jagusch and Christina Verdieck (LLUR S.-H.) for their help during the construction of the stratigraphical table. I am grateful to reviewers of E&G and Jürgen Ehlers, Peter Kershaw, and Jim Rose for helpful professional comments and improving the English of the manuscript.

## References

- ANDERSEN, S.T. (1965): Interglaciale og Interstadiale i Danmark. – Meddelelser fra Dansk Geologisk Forening, 15(4): 486–506.
- AVERDIECK, F.-R. (1967): Die Vegetationsentwicklung des Eem-Interglazials und der Frühwürm-Interstadiale von Odderade / Schleswig-Holstein. – Fundamenta, B2 (Frühe Menschheit und Umwelt, Teil II): 101–125, Taf. 24–28; Köln/Graz (Böhlau Verlag).
- BEHRE, K.-E. (2004): Das mittelpaläozäne Interglazial von Surheide. – Eiszeitalter und Gegenwart, 54: 36–47.
- BEHRE, K.-E. & LADE, U. (1986): Eine Folge von 4 Weichsel-Interstadialen in Oerel/Niedersachsen und ihr Vegetationsablauf. – Eiszeitalter und Gegenwart, 36: 11–36.
- BEHRE, K.-E. & VAN DER PLICHT, J. (1992): Towards an absolute chronology for the last glacial period in Europe: radiocarbon dates from Oerel, northern Germany. – Vegetation, History and Archaeobotany, 1: 111–117; Berlin.
- BENDA L. (1995): Das Quartär Deutschlands. – 408 S.; Berlin (Gebr. Borntraeger).
- BOCK, W., MENKE, B., STREHL, E. & ZIEMUS, H. (1985): Neuere Funde des Weichselspätglazials in Schleswig-Holstein. – Eiszeitalter und Gegenwart, 35: 161–180, 2 Taf..

- BOND, G., BROECKER, W., JOHNSEN, S., McMANUS, J., LABEYRIE, L., JOUZEL, J. & BONANI, G. (1993): Correlations between climate records from North Atlantic sediments and Greenland ice. – *Science*, 365: 143–147.
- CÉPEK, A., HELLWIG, D., LIPPSTREU, L., LOHDE, H., ZIERMANN, H. & ZWIRNER, R. (1975): Zum Stand der Gliederung des Saale-Komplexes im mittleren Teil der DDR. – *Zeitschrift geologischer Wissenschaften Berlin*, 3(8): 1049–1075.
- DSK (Hrsg.) (2002): Stratigraphische Tabelle von Deutschland (STD) 2002.
- DÜCKER, A. (1969): Der Ablauf der Holstein-Warmzeit in Westholstein. – *Eiszeitalter und Gegenwart*, 20: 46–57.
- EHLERS, J. (1983): Glacial Deposits in North-West Europe. – 470 pp., Rotterdam (A.A.Balkema).
- EHLERS, J. (1987): Die Entstehung des Kaolinsandes von Sylt. – In: HACHT, U. von (Hrsg.): *Fossilien von Sylt II*: 249–267; Hamburg.
- EHLERS, J. (1990): Reconstructing the dynamics of the North-West European ice sheets. – *Quaternary Science Reviews*, 9: 71–83.
- EHLERS, J. (1992): Origin and distribution of red tills in North Germany. – *Sveriges Geologiska Undersökning*, Ca 81: 97–105.
- EHLERS, J. (2010): Das Eiszeitalter. – 363 S.; Heidelberg (Spektrum Akademischer Verlag).
- EHLERS, J., MEYER, K.-D. & STEPHAN, H.-J. (1984): The pre-Weichselian glaciations of North-West Europe. – *Quaternary Science Reviews*, 3: 1–40; Oxford etc. (Pergamon).
- EHLERS, J., EISSMANN, L., LIPPSTREU, L., STEPHAN, H.-J. & WANSA, S. (2004): Pleistocene Glaciations of North Germany. – In: EHLERS, J. & GIBBARD, P.L. (eds.): *Quaternary Glaciations – Extent and Chronology, Part I: Europe: Developments in Quaternary Science*, Vol. 2a: 135–145; Amsterdam (Elsevier).
- EISSMANN, L. (2004): Reduced to the Maximum: Mitteleuropäisches Quartär im Spiegel hochverdichteter geologischer Schnitte. – *Mauritiana*, 19(1): 1–16; Altenburg.
- EISSMANN, L. & MÜLLER, A. (1979): Leitlinien der Quartären Entwicklung im norddeutschen Tiefland. – *Zeitschrift geologischer Wissenschaften Berlin*, 7(4): 451–462.
- FELIX-HENNINGSEN, P. (1983): Paleosols and their stratigraphical interpretation. – In: EHLERS, J. (ed.): *Glacial Deposits in North-West Europe*: 289–295; Rotterdam (Balkema).
- FELIX-HENNINGSEN, P. & URBAN, B. (1982): Paleoclimatic interpretation of a thick Intra-Saalian paleosol, the “Bleached Loam” on the Drenthe Moraines of Northern Germany. – *Catena*, 9: 1–8.
- GEIKIE, J. (1895): Classification of European glacial deposits. – *The Journal of Geology*, III(3): 241–269; Chicago.
- GEYH, M.A. & MÜLLER, H. (2005): Numerical  $^{230}\text{U}/\text{Th}$  dating and a palynological review of the Holsteinian/Hoxnian interglacial. – *Quaternary Science Reviews*, 24: 1861–1872.
- GIBBARD, P.L., HEAD, M.J., WALKER, M.J.C., and the SUBCOMMISSION ON QUATERNARY STRATIGRAPHY (2010): Formal ratification of the Quaternary System/Period and the Pleistocene Series/Epoch with a base at 2.58 Ma. – *Journal of Quaternary Sciences*, vol. 25: 96–102.
- GROOTES, P.M., STEIG, E.J., WADDINGTON, E.D., MORSE, D.L. & NADEAU, M.-J. (2001): The Taylor Dome Antarctica  $^{18}\text{O}$  record and globally synchronous changes in climate. – *Quaternary Research*, 56(3): 289–298.
- GRUBE, F. (1981): The subdivision of the Saalian in the Hamburg Region. – *Mededelingen Rijks Geologische Dienst*, 34(4): 15–25.
- HACHT, U. von (1987): Spuren früher Kaltzeiten im Kaolinsand von Braderup / Sylt. – In: HACHT, U. von (Hrsg.): *Fossilien von Sylt II*: 269–278; Hamburg.
- HAHNE, J., MENGELING, H., MERKT, J. & GRAMANN, F. (1994): Die Hunteburg-Warmzeit („Cromer-Komplex“) und Ablagerungen der Elster-, Saale- und Weichsel-Kaltzeit in der Forschungsbohrung Hunteburg GE 58 bei Osnabrück. – *Geologisches Jahrbuch*, A 134: 117–166.
- HEAD, M.J., PILLANS, B. & FARQUHAR, S. (2008): The Early – Middle Pleistocene Transition: characterization and proposed guide for the defining boundary. – *Episodes, Journal of International Geoscience*, 31(2): 255–259.
- HINSCH, W. (1993): Marine Molluskenfaunen in Typusprofilen des Elster-Saale-Interglazials und des Elster-Spätglazials. – *Geologisches Jahrbuch*, A138: 9–34.
- HÖFLE, H.-C., MERKT, J. & MÜLLER, H. (1985): Die Ausbreitung des Eem-Meeres in Norddeutschland. – *Eiszeitalter und Gegenwart*, 35: 49–59.
- HOUMARK-NIELSEN, M. (2007): Extent and age of Middle and Late Pleistocene glaciations and periglacial episodes in southern Jylland, Denmark. – *DGF, Bulletin of the Geological Society of Denmark*, 50: 9–35.
- HOUMARK-NIELSEN, M. (2010): Extent, age and dynamics of Marine Isotope Stage 3 glaciations in the southwestern Baltic Basin. – *Boreas*, 39: 343–359.
- HOUMARK-NIELSEN, M., LING, H., FABEL, D., SCHNABEL, C., XU, S., WILCKEN, K.M. & BINNIE, S. (2013): Cosmogenic surface exposure dating the last deglaciation in Denmark: Discrepancies with independent age constraints suggest delayed periglacial landform stabilisation. – *Quaternary Geochronology*, 13: 1–17.
- JERZ, H. & LINKE, G. (1987): Arbeitsergebnisse der Subkommission für Europäische Quartärstratigraphie: Typusregion des Holstein-Interglazials (Berichte der SEQS 8). – *Eiszeitalter u. Gegenwart*, 37: 165–148.
- JOUZEL, J., MASSON-DELMOTTE, V., CATTANI, O., DREYFUS, G., FALOURD, G., HOFFMANN, G., MINSTER, B., NOUET, J., BARNOLA, J.M., CHAPPELLAZ, J., FISCHER, H., GALLET, J.C., JOHNSEN, S., LEUENBERGER, M., LOULERGUE, L., LUETHI, D., OERTER, H., PARRENIN, F., RAISBECK, G., RAYNAUD, D., SCHILT, A., SCHWANDER, J., SELMO, E., SOUCHEZ, R., STAFFER, B., STEFFENSEN, J.P., STENNI, B., STOCKER, T.F., TISON, J.L., WERNER, M. & WOLFF, E.W. (2007): Orbital and millennial Antarctic climate variability over the past 800,000 years. – *Science*, Vol. 317: 793–796.
- KABEL, C. (1982): Geschiebeestratigraphische Untersuchungen im Pleistozän Schleswig-Holsteins und angrenzender Gebiete. – Dissertation Univ. Kiel: 1–132 und 47 S. Anhang.
- KLEINMANN, A., MÜLLER, H., LEPPER, J. & WAAS, D. (2011): A continental sediment and pollen sequence of the Saalian Complex in NW-Germany and its relationship to the MIS-framework. – *Quaternary International*, 241(1–2): 97–110.
- KOUTSODENDRIS, A., MÜLLER, C.U., PROSS, J., BAUER, A., KOTTHOFF, U. & LOTTER, A.F. (2010): Vegetation dynamics and climate variability during the Holsteinian interglacial based on a pollen record from Dethlingen (northern Germany). – *Quaternary Science Reviews*, 29(23/24): 3298–3307.
- KRBETSCHEK, M., DEGERING, D. & ALEXOWSKY, W. (2008): Infrarot-Radiofluoreszenz-Alter (IR-RF) unter-saalezeitlicher Sedimente Mittel- und Ostdeutschlands. – *Zeitschrift der deutschen Gesellschaft für Geowissenschaften*, 159(1): 13–140.
- KRBETSCHEK, M. & STEPHAN, H.-J. (2010): Dating of sediments (Infrared-Radiofluorescence method IR-RF) at the type locality of the Wacken peat [Kurzfassung und Poster]. – DEUQUA 2010, Tagungsunterlagen/Conference Proceedings: 117–118; Greifswald (Inst. f. Geografie u. Geologie, Universität Greifswald).
- KRONBORG, C. (1986): Fine Gravel Content of Tills. In: MØLLER, J.T. (ed.): Twentyfive years of geology in Aarhus. Geological essays. – *Geoskrift*, 24: 189–210; Aarhus (Geologisk Institut, Universitet).
- LIPPSTREU, L., BROSE, F. & MARCINEK, J. (1995): Brandenburg. – In: BENDA, L. (ed.): *Das Quartär Deutschlands*: 116–147; Berlin (Gebr. Borntraeger).
- LITHOLEX: Lithostratigraphisches Lexikon, lithostratigraphische Einheiten Deutschlands (Online data bank for lithostratigraphic units of Germany); available from [www.bgr.bund.de/litholex](http://www.bgr.bund.de/litholex)
- LITT, T., ELLWANGER, D., VILLINGER, E. & WANSA, S. (2005): Das Quartär in der Stratigraphischen Tabelle von Deutschland 2002. – *Newsletter on Stratigraphy*, 41: 385–99; Stuttgart.
- LITT, T., BEHRE, K.-E., MEYER, K.-D., STEPHAN, H.-J. & WANSA, S. (2007): Stratigraphische Begriffe für das Quartär des norddeutschen Vereisungsgebietes. – *E&G Quaternary Science Journal*, 56(1–2): 7–65; Hannover.
- LÜTHGENS, C., BÖSE, M. & KRIBETSCHEK, M. (2009): Towards a new understanding of the Last Glacial Maximum (LGM) in NE-Germany – results from optically stimulated luminescence (OSL) dating and their implications. – Exploratory workshop on the frequency and timing of glaciations in northern Europe (including Britain) during the Middle and Late Pleistocene. Abstracts: 17–18; Berlin (FU).
- LÜTHGENS, C., KRIBETSCHEK, M., BÖSE, M. & FUCHS, M.C. (2010): Optically stimulated luminescence dating of fluvioglacial (sandur) sediments from north-eastern Germany. – *Quaternary Geochronology*, doi:10.1016/j.quageo.2009.06.007.
- LÜTTIG, G. (1957): Geschiebezählungen als Hilfsmittel für die Erforschung des Eiszeitalters und seiner wirtschaftlich wichtigen Lagerstätten. – *Die Umschau*, 57: 403–405; Frankfurt.
- LÜTTIG, G. (1965): Interglacial and interstadial periods. – *Journal of Geology*, 73: 579–591.
- LÜTTIG, G. (1991): Erratic boulder statistics as stratigraphic aid – Examples from Schleswig-Holstein. – *Newsletter of Stratigraphy*, 25(2): 61–74.
- LÜTTIG, G. (1999): Geschiebestatistische Anmerkungen zur Quartärstratigraphie des nordischen Vereisungsgebietes. – *Eiszeitalter und Gegenwart*, 49: 144–163.
- LÜTTIG, G. (2004): Ergebnisse geschiebestatistischer Untersuchungen im Umland von Hamburg. – *Archiv für Geschiebekunde*, 3(8–12): 729–746; Greifswald.
- LÜTTIG, G. (2005): Geschiebezählungen im westlichen Mecklenburg. – *Archiv für Geschiebekunde*, 4(9): 569–600, 3 Taf.; Greifswald.

- LÜTTIG, G. (2009): Die Bedeutung der Bohrungen von Leck (Quartär, Nordfriesland) für die Geschiebekunde. – Archiv für Geschiebekunde, 5(6): 417–436; Hamburg/Greifswald.
- LÜTTIG, G. & MEYER, K.-D. (2002): Geschiebezählungen in der nördlichen Lüneburger Heide. – Der Geschiebesammler, 34(4): 155–172; Hamburg.
- MARKS, C., PIOTROWSKI, J.A., STEPHAN, H.-J., FEDOROWICZ, S. & BUTRYM, J. (1995): Thermoluminescence indications of the Middle Weichselian (Wisconsinian) Glaciation in Northwest Germany. – Meyniana, 47: 69–82; Kiel.
- MENKE, B. (1968): Beiträge zur Biostratigraphie des Mittelpaläozäns in Norddeutschland. – Meyniana, 18: 35–42.
- MENKE, B. (1970): Ergebnisse der Pollenanalyse zur Pleistozän-Stratigraphie und zur Pliozän-Pleistozän-Grenze in Schleswig-Holstein. – Eiszeitalter und Gegenwart, 21: 5–21.
- MENKE, B. (1975): Vegetationsgeschichte und Florenstratigraphie Nordwestdeutschlands im Pliozän und Frühquartär. Mit einem Beitrag zur Biostratigraphie des Weichselfrühglazials – Geologisches Jahrbuch, A26: 3–151, 8 Taf.; Hannover.
- MENKE, B. (1976): Neue Ergebnisse zur Stratigraphie und Landschaftsentwicklung im Jungpaläozän Westholsteins. – Eiszeitalter und Gegenwart, 27: 53–68.
- MENKE, B. (1980): Schalkholz. – In: STREMME, H.E. & MENKE, B. (Hrsg.): Quartär-Exkursionen / Quaternary Excursions in Schleswig-Holstein: 70–74; Kiel (Geologisches Landesamt Schleswig-Holstein).
- MEYER, K.-D. (1976): Studies on ground moraines in the northwest part of the German Federal Republic. In: Till, its genesis and diagenesis, panel discussion. – UAM, Geografia, 1976: 217–221; Poznań (Uniw. Mickiewicz).
- MEYER, K.-D. (1987): Ground and end moraines in Lower Saxony. – In: VAN DER MEER, J.J. (ed.): Tills and Glaciotectonics: 197–204; Rotterdam (Balkema).
- MEYER, K.-D. (2005): Zur Stratigraphie des Saale-Glazials in Niedersachsen und zu Korrelationsversuchen mit Nachbargebieten. – Eiszeitalter und Gegenwart, 55: 25–42.
- MEYER, K.-D. (2012): Stratigraphie des Saale-Komplexes in Niedersachsen und die Schöninger Profile. – In: BEHRE, K.-E. (Hrsg.): Die chronologische Einordnung der paläolithischen Fundstellen von Schöningen. Forschungen zur Urgeschichte aus dem Tagebau von Schöningen, Bd. 1: 61–76; Mainz (Römisch-Germanisches Museum).
- MÜLLER, H. (1986): Altquartäre Sedimente im Deckengebirge des Salzstocks Gorleben. – Zeitschrift der deutschen geologischen Gesellschaft, 137: 85–95.
- MÜLLER, H. (1992): Climate changes during and at the end of the interglacials of the Cromerian Complex. In: Start of a Glacial, NATO ASI Series I: Global Environmental Change, Vol. 3: 51–70.
- MÜLLER, U. (2004): Weichsel-Frühglazial in Nordwest-Mecklenburg. – Meyniana, 56: 81–115; Kiel.
- MÜLLER, U. (2007): Warnow-Formation. – In: LithoLex [Online-Datenbank]. Hannover: BGR. Last updated 05.12.2007 [cited 24.10.2012]. Record No. 1006014. Available from: <http://www.bgr.bund.de/litholex>
- MÜLLER, U. & OBST, K. (2008): Junge halokinetische Bewegungen im Bereich der Salzkissen Schlieven und Marnitz in Südwest-Mecklenburg. – Brandenburgische Geowissenschaftliche Beiträge, 15(1): 147–154.
- MÜLLER, U., STEPHAN, H.-J. & VON BÜLOW, W. (2009): Pommern-Formation. – In: LithoLex [Online-Datenbank]. Hannover: BGR. Last updated 07.05.2009 [cited 01.06.2009]. Record No. 1006001. Available from: <http://www.bgr.bund.de/litholex>.
- PETERSEN, K.S. & KRONBORG, C. (1991): Late Pleistocene history of the inland glaciation in Denmark. – In: FRENZEL, B. (Hrsg.): Klimageschichtliche Probleme der letzten 130 000 Jahre; Paläoklimaforschung, Bd. 1: 331–342.
- PREUSSER, F. (1999): Lumineszenzdatierung fluviatiler Sedimente; Fallbeispiele aus der Schweiz und Norddeutschland. – Kölner Forum für Geologie und Paläontologie, 3: 1–62.
- RASMUSSEN, S.O., ANDERSEN, K.K., SVENSSON, A.A., STEFFENSEN, J.P., VINTHØ, B.M., CLAUSEN, H.B., SIGGARD-ANDERSEN, M.-L., JOHNSEN, S.J., LARSEN, L.B., DAHL-JENSEN, D., BIGLER, M., RÖTHLISBERGER, R., FISCHER, H., GOTO-AZUMA, K., HANSSON, M.E. & RUTH, U. (2006): A new Greenland ice core chronology for the last glacial termination. – Journal of Geophysical Research, 111: D06 102, DOI: 10.1029/2005JD006079; 15pp.
- RICHTER, K. (1937): Die Eiszeit in Norddeutschland. – 1–137; Berlin (Gebr. Borntraeger).
- RINTERKNECHT, V.R., CLARK, P.U., RAISBECK, G.M., YIOU, F., BITINAS, A., BROOK, E.J., MARKS, L., ZELCS, V., LUNKKA, J.-P., PAVLOVSKAYA, I.E., PIOTROWSKI, J.A. & RAUKAS, A. (2006): The last deglaciation of the southeastern sector of the Scandinavian ice sheet. – Science, vol. 311: 1449–1452.
- RÜHBERG, N., SCHULZ, W., v. BÜLOW, W., MÜLLER, U., KRIENKE, H.-D., BREMER, F. & DANN, T. (1995): Mecklenburg-Vorpommern. – In: BENDA, L. (Hrsg.): Das Quartär Deutschlands: 95–115; Berlin (Gebr. Borntraeger).
- SARNTHEIN, M., STREMME, H.E. & MANGINI, A. (1986): The Holstein Interglacial: Time-stratigraphic position and correlation to stable-isotope stratigraphy of deep-sea sediments. – Quaternary Research, 26: 283–293.
- SCHULZ, W. (2003): Geologischer Führer für den norddeutschen Geschiebesammler. – 508 S.; Schwerin (cw-Verlagsgruppe).
- SIERRALTA, M., FRECHEN, M. & URBAN, B. (2012): Review and new  $^{230}\text{U}/\text{Th}$  dating results from opencast mine Schöningen. – In: BEHRE, K.-E. (Hrsg.): Die chronologische Einordnung der paläolithischen Fundstellen von Schöningen. Forschungen zur Urgeschichte aus dem Tagebau von Schöningen, Bd. 1: 143–154; Mainz (Römisch-Germanisches Zentralmuseum).
- STEPHAN, H.-J. (1980): Glazialgeologische Untersuchungen im südlichen Geestgebiet Dithmarschens. – Schriften des Naturwissenschaftlichen Vereins für Schleswig-Holstein, 50: 1–36; Kiel.
- STEPHAN, H.-J. (1982): The subdivision of the glacial Pleistocene in Schleswig-Holstein and problems of correlations with adjacent areas. – XI. INQUA-Congress 1982, Moskva, Abstracts, Vol. II: 313; Moscow.
- STEPHAN, H.-J. (1987): Moraine stratigraphy in Schleswig-Holstein and adjacent areas. – In: VAN DER MEER, J.J.M. (ed.): Tills and Glaciotectonics: 23–30; Rotterdam (Balkema).
- STEPHAN, H.-J. (1995): Schleswig-Holstein. – In: BENDA, L. (Hrsg.): Das Quartär Deutschlands: 1–13; Berlin/Stuttgart (Gebr. Borntraeger).
- STEPHAN, H.-J. (1998): Geschiebemergel als stratigraphische Leithorizonte in Schleswig-Holstein; ein Überblick. – Meyniana, 50: 113–135; Kiel.
- STEPHAN, H.-J. (2001): The Young Baltic advance in the western Baltic depression. – Geological Quarterly, 45(4): 359–363; Warszawa.
- STEPHAN, H.-J. (2003): Zur Entstehung der eiszeitlichen Landschaft Schleswig-Holsteins. – Schriften des Naturwissenschaftlichen Vereins für Schleswig-Holstein, 67: 101–118; Kiel.
- STEPHAN, H.-J. (2004): Karte der Stauchgebiete und Haupt-Gletscherrandlagen in Schleswig-Holstein 1: 500.000. – Meyniana, 56: 149–154, 1 Karte; Kiel.
- STEPHAN, H.-J. (2005): Zur weichselzeitlichen Landschaftsentwicklung der wagrischen Halbinsel. – 72. Tagung der Norddeutschen Geologen in der Hansestadt Lübeck 2005, Tagungsband und Exkursionsführer (Exkursion B1): 129–140; Flintbek (LANU Schleswig-Holstein).
- STEPHAN, H.-J. (2006a): Ellund-Formation. – In: LithoLex [Online-Datenbank]. Hannover: BGR. Last updated 14.05.2007 [cited 06.12.2008]. Record No. 1006002. Available from: <http://www.bgr.bund.de/litholex>.
- STEPHAN, H.-J. (2006b): Leck-Formation. – In: LithoLex [Online-Datenbank]. Hannover: BGR. Last updated 14.05.2007 [cited 06.12.2008]. Record No. 1006003. Available from: BGR. <http://www.bgr.bund.de/litholex>.
- STEPHAN, H.-J. (2007): Goldelund-Formation. – In: LithoLex [Online-Datenbank]. Hannover: BGR. Last updated 15.11.2007 [cited 06.12.2008]. Record No. 1006022. Available from: <http://www.bgr.bund.de/litholex>.
- STEPHAN, H.-J. (2011): Geschiebestratigraphische Untersuchungen im Bereich der Stauchmoräne Kisdorfer Wohld, Südholstein und in ihrem Hinterland. – Geschiebekunde aktuell. Sonderh. 9: 113–124.
- STEPHAN, H.-J. & MENKE, B. (1993): Das Pleistozän in Schleswig-Holstein. – GLA SH, 3: 19–62, 1 Fototaf. (Abb. 3–4); Kiel (Geologisches Landesamt Schleswig-Holstein).
- STEPHAN, H.-J. & MÜLLER, U. (2007): Brandenburg-Formation. – In: LithoLex [Online-Datenbank]. Hannover: BGR. Last updated 06.09.2011 [cited 24.10.2012]. Record No. 1006010. Available from: <http://www.bgr.bund.de/litholex>.
- STEPHAN, H.-J., MÜLLER, U. & VON BÜLOW, W. (2008): Frankfurt(Oder)-Formation. – In: LITHOLEX [Online-Datenbank]. Hannover: BGR. Last updated 05.12.2008 [cited 01.06.2009]. Record No. 1006011. Available from: <http://www.bgr.bund.de/litholex>.
- STEPHAN, H.-J., URBAN, B., LÜTTIG, G., MENKE, B. & SIERRALTA, M. (2011): Palynologische, petrographische und geochronologische Untersuchungen an Ablagerungen der Leck-Warmzeit (spätes Mittelpaläozän) und begleitender Sedimente. – Geologisches Jahrbuch, 160: 3–80.
- STREMME, H.E. & MENKE, B. (Hrsg.) (1980): Quartär-Exkursionen, Quaternary-Excursions in Schleswig-Holstein. – 132 S., 4 Ktn.; Kiel (Geologisches Landesamt Schleswig-Holstein).
- STUIVER, M., GROOTES, P.M. & BRAZUNAS, T.F. (1995): The GISP2  $\delta^{18}\text{O}$  climate record of the past 16 500 years and the role of the sun, ocean, and volcanoes. – Quaternary research, 44: 341–354.
- STUIVER, M. & GROOTES, P.M. (2000): Isotope Ratios. – Quaternary Research, 53: 277–284.
- TURNER, C. (1996): A brief survey of the early Middle Pleistocene of Europe. – In: TURNER, C. (ed.): The early Middle Pleistocene in Europe: 295–317; Rotterdam (A.A. Balkema).

URBAN, B. (1978): Vegetationsgeschichtliche Untersuchungen zur Gliederung des Altquartärs der Niederrheinischen Bucht. – Sonderveröffentlichungen des geologischen Instituts der Universität Köln, 34: 1–165; Köln.

URBAN, B. (1995): Younger Middle Pleistocene Interglacials (Holsteinian, Reinsdorf, Schöningen) in the Schöningen open cast lignite mine (Eastern Lower Saxony/Germany). – Mededelingen Rijks Geologische Dienst, 52: 175–186.

URBAN, B. (2007): Quartäre Vegetations- und Klimaentwicklung im Tagebau Schöningen. – In: THIEME, H.: Die Schöninger Speere – Mensch und Jagd vor 400 000 Jahren: 65–75; Stuttgart (Theiss Verlag).

URBAN, B., SIERRALTA, M. & FRECHEN, M. (2011): New evidence for vegetation development and timing of Upper Middle Pleistocene interglacials in Northern Germany and tentative correlations. – Quaternary International, 241: 125–142.

URBAN, B. & SIERRALTA, M. (2012): New palynological evidence and correlation of Palaeolithic sites Schöningen 12 B and 13 II, Schöningen open lignite mine. – In: BEHRE, K.-E. (Hrsg.): Die chronologische Einordnung der paläolithischen Fundstellen von Schöningen. Forschungen zur Urgeschichte aus dem Tagebau von Schöningen, Bd. 1: 77–96; Mainz (Römisch-Germanisches Zentralmuseum).

USINGER, H. (1985): Pollenstratigraphische, vegetations- und klimageschichtliche Gliederung des Bölling-Alleröd-Komplexes in Schleswig-Holstein und ihre Bedeutung für die Spätglazial-Stratigraphie in benachbarten Gebieten. – Flora, 177: 1–430; Leipzig.

VINXS, R., GRUBE, A.T. & GRUBE, F. (1997): Lithologie, Geschiebeführung und Geochemie eines Prä-Elster I-Tills von Lieth bei Elmshorn. – Leipziger Geowissenschaften, 5: 83–103; Leipzig.

WALKER, M., JOHNSEN, S., RASMUSSEN, S.O., POPP, T., STEFFENSEN, J.-P., GIBBARD, P., HOEK, W., LOWE, J., ANDREWS, J., BJÖRCK, S., CWYNAR, L.C., HUGHEN, K., KERSHAW, P., KROMER, B., LITT, T., LOWE, D.J., NAKAGAWA, T., NEWNHAM, R. & SCHWANDER, J. (2009): Formal definition and dating of the GSSP (Global Stratotype Section and Point) for the base of the Holocene using the Greenland NGRIP ice core, and selected auxiliary records. – Journal of Quaternary Science, vol. 24(1): 3–17.

WENNBERG, G. (1949): Differentialrörer i Inlandsisen sista Istiden i Danmark, Skåne och Östersjön. – Meddelanden Lunds Geologisk-Mineralogiske Institut, 114: 1–201, 1 pl, 46 p. tab.; Lund (Carl Blohm).

WOLDSTEDT, P. (1926): Die großen Endmoränenzüge Norddeutschlands. – Zeitschrift der Deutschen Geologischen Gesellschaft, 77 (für 1925): 172–184, 1 Kt.

WOLDSTEDT, P. (1928): Die Parallelisierung des nordeuropäischen Diluviums mit dem anderer Vereisungsgebiete. – Zeitschrift für Gletscherkunde, 16(3/4): 230–241; Berlin.

Woldstedt, P. (1954): Saaleeiszeit, Warthestadium und Weichseleiszeit in Norddeutschland. – Eiszeitalter und Gegenwart, 4/5: 34–48.

WOLDSTEDT, P. & DUPHORN, K. (1974): Norddeutschland und angrenzende Gebiete im Eiszeitalter. – 500 S.; Stuttgart (K.F. Köhler).

WOLFF, E.W., CHAPPELLAZ, J., BLUNIER, T., RASMUSSEN, S.O. & SVENSSON, A. (2010): Millennial-scale variability during the last glacial: The ice core record. – Quaternary Science Reviews, 29(21–22): 2828–2838.

ZAGWIN, W.H. (1960): Aspects of the Pliocene and early Pleistocene vegetation in the Netherlands. – Mededelingen van de Geologische Stichting, Ser. C-III-1(5): 1–78.

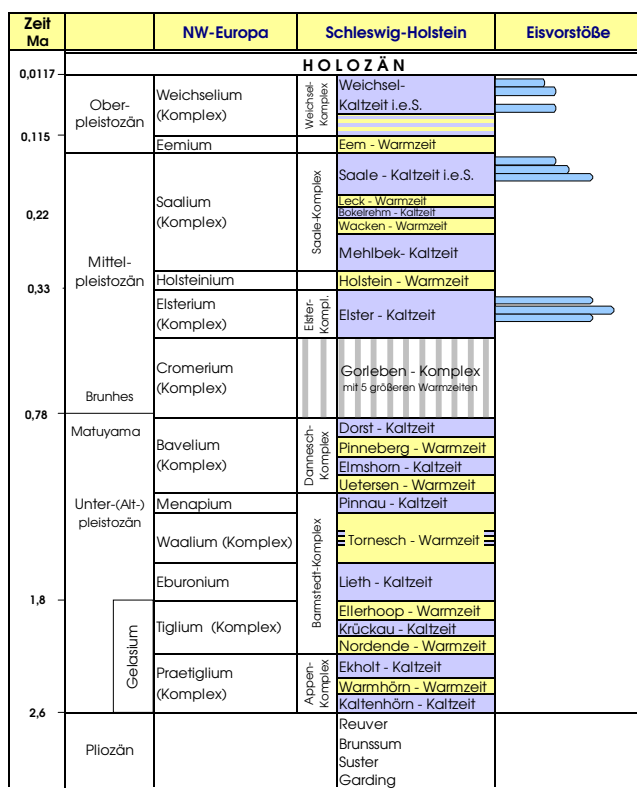
ZAGWIN, W.H. (1963): Pollenanalytical investigations in the Tigian of the Netherlands. – Mededelingen van de Geologische Stichting. N.S., 16: 49–71.

ZAGWIN, W.H. (1996): The Cromerian Complex Stage of the Netherlands and correlation with other areas in Europe. – In: TURNER, C. (ed.): The Middle Pleistocene in Europe: 145–172; Rotterdam (Balkema).

ZAGWIN, W.H. & DE JONG (1984): Die Interglaziale von Bavel und Leerdam und ihre stratigraphische Stellung im niederländischen Früh-Pleistozän. – Mededelingen Rijks Geologische Dienst, 37: 155–169.

ZAGWIJN, W.H., VAN MONTFRANS, H.M., ZANDSTRA, J.G. (1971): Subdivision of the “Cromerian” in the Netherlands, pollenanalysis, paleomagnetism and sedimentary petrology. – Geologie en Mijnbouw, 50: 41–58.

### Klimastratigraphische Gliederung des Pleistozäns in Schleswig-Holstein



Entwurf: H.-J. Stephan Juli 2003  
Digitale Bearbeitung: M. Jagusch / C. Verdick  
Überarbeitet: Juli 2010

Appendix Fig. 11: Original German version of the climato-stratigraphical table of Fig. 3.

Anhang Abb. 11: Die originale deutsche Version der klimastratigraphischen Tafel von Abb. 3.

# Erwägungen zur Korrelation mittelpaläozäner Relikte des Rheingletschers mit der Nordschweizer Stratigraphie

Oskar Keller

**How to cite:** KELLER, O. (2014): Erwägungen zur Korrelation mittelpaläozäner Relikte des Rheingletschers mit der Nordschweizer Stratigraphie. – E&G Quaternary Science Journal, 63 (1): 19–43. DOI: 10.3285/eg.63.1.02

**Kurzfassung:** Für die Nordschweiz wird in PREUSSER, GRAF, KELLER, KRAYSS & SCHLÜCHTER (2011) dargelegt, dass vor den bekannten Glazialen Würm = Birrfeld und Riss = Beringen zwei (eventuell drei) weitere mittelpaläozäne Glaziale einzuschieben sind: Habsburg und Möhlin. In dieser Arbeit werden an ausgewählten Schlüsselstellen in Süddeutschland litho- und morphostratigraphische Befunde ausgewertet, die es ermöglichen diese zwei neu eingeführten Glaziale auch auf den Rheingletscher zu übertragen. Dem Zeitraum der Deckenschotter-Eiszeiten schliesst sich die Periode der MPR (Mittelpaläozäne Reorganisation) mit einer markanten fluviyalen Ausräumung des Bodenseegebiets an. Es wird gezeigt, dass die Gletscher der nachfolgenden mittelpaläozänen Becken-Eiszeiten das übertiefe Bodenseebecken ausschürften. Die älteste dieser Eiszeiten wird als Größtes Rheinisches Glazial (GRG) = Möhlin bezeichnet und entspricht dem von ELLWANGER (2003) eingeführten Hosskirch. Ihm können im nördlichen Rheingletschergebiet alle äußersten glazialen Bildungen zugewiesen werden. Im Nordwesten wurden diese früher als risszeitlich interpretiert, im Nordosten hingegen als mindelzeitlich. Das GRG ist nachweisbar älter als Riss, aber jünger als die jüngeren Deckenschotter. Mindel im Nordosten des Rheingletschers würde daher zur Becken-Eiszeit. Das Habsburg-Glazial erreichte in der Nordschweiz ungefähr Ausmaße wie Würm. Im Rheingletschergebiet konnten in der entsprechenden Bandbreite, aber auch außerhalb Zeugen und/oder Indizien gefunden werden, die dieses Glazial wahrscheinlich machen. Bisher ist diese eiszeitliche Großvergletscherung im nördlichen Rheingletschergebiet nicht erkannt worden, weil ihre Hinterlassenschaften von den nachfolgenden Glazialen Riss und Würm größtenteils zerstört wurden. Für die chronostratigraphische Einordnung des Größten Rheinischen Glazials GRG sowie des Habsburg-Glazials können zwischen geschaltete Interglaziale als Zeitmarken beigezogen werden: IG Unterpfauenzwald – GRG – IG Holstein – Habsburg – IG Meikirch – Riss – IG Eem. Demgemäß ergibt sich folgende zeitliche Ordnung für die Glaziale: GRG  $\pm 350$  ka BP (MIS 10), Habsburg  $\pm 250$  ka BP (MIS 8), Riss  $\pm 150$  ka BP (MIS 6).

## Considerations on the correlation of relics of the Rhine Glacier in the Middle Pleistocene with the stratigraphy of Northern Switzerland

**Abstract:** In the glaciation history of Switzerland (PREUSSER, GRAF, KELLER, KRAYSS & SCHLÜCHTER 2011) is shown that two (possibly three) older glacials had happened before the well known glacials Würm = Birrfeld and Riss = Beringen. These are the Habsburg- and the Möhlin-Glacials. In this paper selected key regions in Southern Germany are analysed litho- and morphostratigraphically. This analysis enables us to find the two older glacials proved also at the Rhine Glacier.

The period of the „Deckenschotter“-glaciations is followed by a time of striking fluviyal erosion (MPR = Middle Pleistocene Reorganisation) in the region of Lake Constance. It is demonstrated that the glaciers of the subsequent Middle Pleistocene glacials exigrated the overdeepened Lake Constance basin. The oldest of these „Becken-Glacials“ is named „Größtes Rheinisches Glazial“ (GRG) = Möhlin in the northern part of Switzerland. It corresponds to the Hosskirch introduced by ELLWANGER (2003). In the northern Rhine Glacier region the most external glacial deposits belong to this glaciation. Earlier in the northwestern part these deposits are interpreted as Riss-Glacial, but in the northeast as Mindel-Glacial. The GRG evidently must be older than Riss, but younger than the „Younger Deckenschotter“. Therefore Mindel in the northeastern region would be a Becken-Glacial.

In the northern part of Switzerland the Habsburg-Glacial nearly reached the extension of the Würm-Glacial. In the region of the Rhine Glacier references and/or indications of the Habsburg-Glacial could be found in a band width corresponding to the Würm, but outside it as well. In the northern region of the Rhine Glacier this vast glaciation has not been discovered up to now because the subsequent glacials Riss and Würm mainly destroyed its relics.

To classify the „Greatest Rhine Glacial“ GRG as well as the Habsburg-Glacial chronologically interpolated interglacials with time marks can be applied: IG Unterpfauenzwald – GRG – IG Holstein – Habsburg – IG Meikirch – Riss – IG Eem. Accordingly a temporal classification for the glacials results as follows: (GRG)  $\pm 350$  ka BP (MIS 10), Habsburg  $\pm 250$  ka BP (MIS 8), Riss  $\pm 150$  ka BP (MIS 6).

**Keywords:** Alpine foreland, Rhine Glacier, chronostratigraphy, glacial deposits, glacial drainage

**Address of author:** O. Keller, Falzigenweg 1, CH-9450 Lüchingen. E-Mail: o.keller@paus.ch

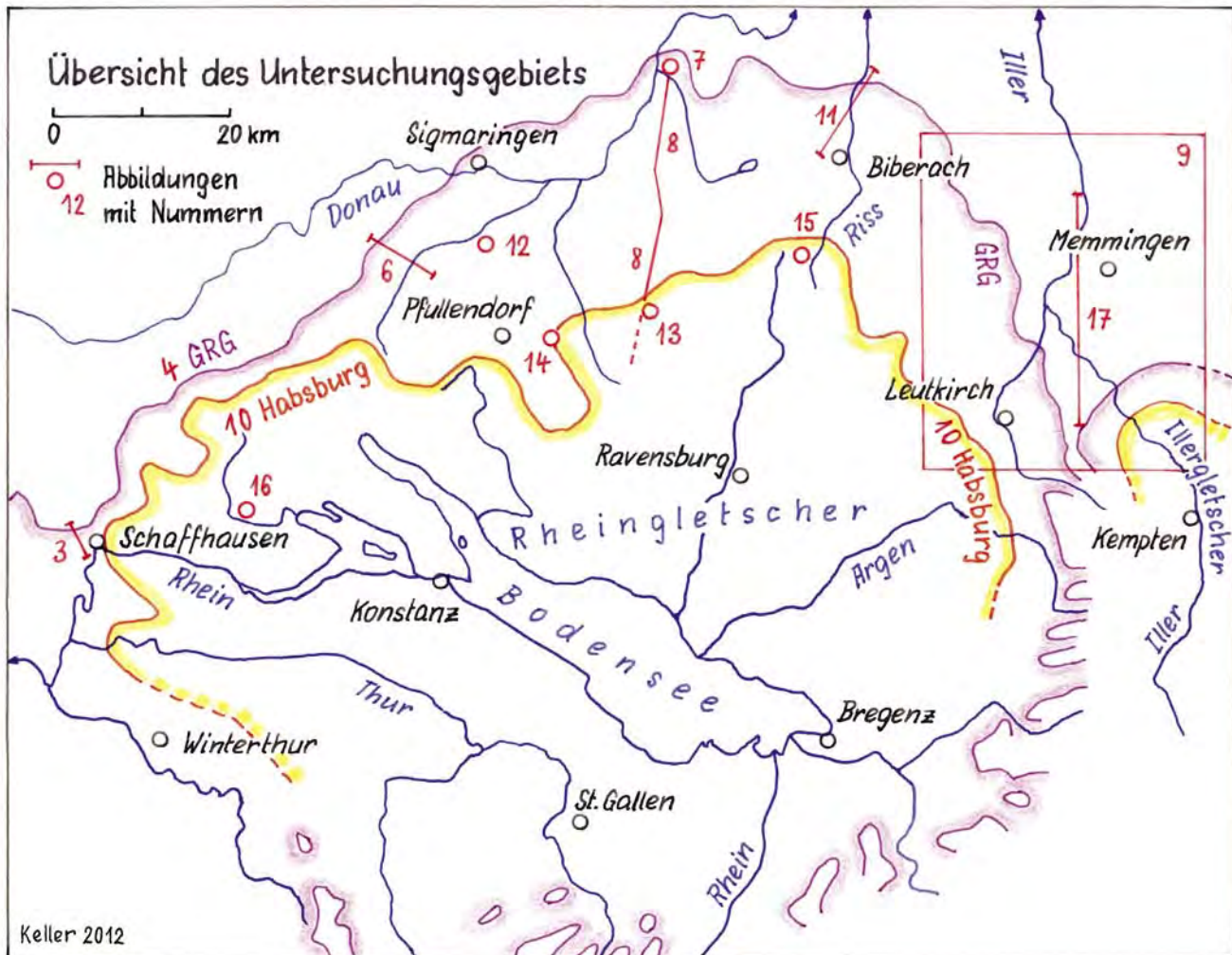


Abb. 1: Übersichtskarte des Untersuchungsgebiets des nördlichen Rheingletschers. Rot = Nummern der Abbildungen.

Fig. 1: Overview map of the study region of the northern Rhine Glacier. Red = Numbers of figures.

## 1 Einführung und Zielsetzung

Seit wenigen Jahren liegen drei Publikationen vor, die sich mit dem mittel- und spätpleistozänen Quartär in der Nordschweiz befassen. Als Beitrag zur Geologischen Karte der Schweiz erschien von GRAF (2009a) eine umfassende Untersuchung zur Lithostratigraphie, Morphogenese und Gliederung jener pleistozänen Bildungen in der Nordschweiz, die bisher den Hoch- und Niederterrassen zugeordnet wurden. Eine zusammenfassende Neuinterpretation von sieben Schlüsselregionen, zu denen eine Reihe neuerer Forschungsergebnisse vorlag (Graf, Hofmann, Kempf, Preusser, Schindler, Schlüchter, Wyssling u. a.), erarbeiteten KELLER & KRAYSS (2010). Sie konnten sich dabei insbesondere auch auf Befunde von GRAF (2009a) stützen, die ihnen ab 2002 in einem Typoskript zur Einsicht offen standen.

In der jüngsten Publikation legen PREUSSER, GRAF, KELLER, KRAYSS & SCHLÜCHTER (2011) eine revidierte Vergletscherungsgeschichte der nördlichen Schweiz vor. Den derzeitigen Forschungsstand hinsichtlich der Schweizer Chronostratigraphie zeigt das Schema der Abb. 2, das hier aus PREUSSER et al. (2011, Fig. 19) unverändert übernommen wird. Demnach ist eine Gruppe frühpleistozäner Glaziale (Höhere und Tiefere Deckenschotter) durch eine Periode

bedeutender Ausräumung (MPR = Mittelpaläozäne Reorganisation) von den mittelpaläozänen Bildungen getrennt. Das Mittel- und Spätpleistozän enthält vier oder fünf Großvergletscherungen des Alpenvorlandes, die gemäß einem Vorschlag von GRAF (2009a) als Möhlin-, Habsburg-, Hagenholz-, Beringen- und Birrfeld-Glazial angesprochen werden. Nachdem das stratigraphische Schema gemäß Abb. 2 als Kompilation der an PREUSSER et al. (2011) Beteiligten zu verstehen ist, wird in der vorliegenden Arbeit die dort von Keller und Krayss vertretene Auffassung zu Grunde gelegt. Im Unterschied zu GRAF (2009b), der in der Korrelationstabelle Tafel 19 die Habsburg-Vergletscherung als Wiedervorstoß der Möhlin-Vergletscherung aufführt, ist das Habsburg-Ereignis als selbständige Eiszeit zu verstehen. Im Weiteren wird die im Schema Abb. 2 als fraglich markierte Hagenholz-Glaciation lediglich als Aufbauphase zur Beringen-Glaciation interpretiert.

Für das süddeutsche Gebiet des Rheingletschers sind neuerdings zwei Artikel publiziert von ELLWANGER et al. (2011a) zur Quartärgeologie des Rheingletschergebietes und von ELLWANGER et al. (2011b) zum Quartär des süddeutschen Alpenvorlandes, in denen der derzeitige Stand der Kenntnisse aufgezeigt wird. Es wird eine Gliederung des Mittel- und Spätpleistozäns präsentiert, bei der Würm als letzte, Riss als

zweitletzte und, vor kurzem neu eingeführt (ELLWANGER in LGRB 2003), Hosskirch als drittletzte und grösste Vergletscherung betrachtet werden.

Das gesamte rheinische hydrographische System von der Aare bis zum Alpenrhein bildet bezüglich der Topographie eine Einheit, charakterisiert durch tief ausgeschürfte Auslasstälern aus den Alpen und stark übertiefe Vorlandbecken. Unzweifelhaft ist das Bodenseebecken, wenn auch besonders ausgedehnt, Teil dieser glazial ausgeformten Großregion. In Anbetracht des vorstehend erwähnten Kenntnisstandes zu den mittel- und spätpleistozänen Eiszeiten in der Nordschweiz liegt es auf der Hand zu versuchen diese Erkenntnisse auch im nördlichen Rheingletscherraum anzuwenden. Gemäss LGRB (2003), VILLINGER (2011) dürfte eine Entsprechung des nordschweizerischen Birrfeld mit Würm, Berlingen mit Riss und Möhlin mit Hosskirch anzunehmen sein.

Bereits in den 1990er Jahren wurde für den Rheingletscher im Bodenseeraum eine grösste Vergletscherung nach der Deckenschotterzeit postuliert (KELLER 1994, KELLER & KRAYSS 1999), für die damals die Bezeichnung GHV (Grösste Helvetische Vergletscherung) eingeführt worden ist. Sie wird von GRAF (2009a) und KELLER & KRAYSS (2010) aufgrund ihrer äußersten Frontlage als Möhlin-Glazial bezeichnet und als Entsprechung zu Hosskirch gemäss ELLWANGER (2003) und ELLWANGER et al. (2011a und b) betrachtet. Im vorliegenden Artikel wird sie für den Rheingletscher in ihren Ausmaßen, ihrem Frontverlauf, ihren proglazialen Relikten und in ihrer chronostratigraphischen Stellung diskutiert.

Zwischen die grösste Vergletscherung = Möhlin und Riss = Beringen schiebt sich in der Nordschweiz das Habsburg-Glazial ein, das aufgrund der dortigen Untersuchungen deutlich geringere Ausmaße aufwies als jene beiden Vergletscherungen (GRAF 2009a, KELLER & KRAYSS 2010). Diese Habsburg-Vorlandvergletscherung wurde bisher im Rheingletschergebiet in Oberschwaben nicht identifiziert. Für sie sollen in dieser Arbeit Argumente beigebracht werden, die eine solche Vergletscherung als wahrscheinlich erscheinen lassen.

Die vorliegende Publikation beruht auf gemeinsamen Vorarbeiten und Begehungungen mit Edgar Krayss bis Sommer 2011. Nun hat sich E. Krayss per Ende 2011 altershalber von der Weiterbearbeitung des Projekts „Rheingletscher in Oberschwaben“ zurückgezogen. Damit übernimmt der Autor O. Keller die alleinige Verantwortung für diese Veröffentlichung.

## 2 Terminologie

Mit der Publikation von PENCK & BRÜCKNER (1901/09, 396) lag ein Kärtchen im Massstab 1 : 700 000 vor, in welchem der äußerste Eisrand des Rheingletschers nachgezeichnet ist. Das Moränen-Gebiet zwischen der Aitrach und dem Risstal wurde der Mindel-Eiszeit zugeordnet, dasjenige von dort bis zum Hegau der Riss-Eiszeit. Und so blieb es fast hundert Jahre.

Im Zuge der Neuordnung der Eiszeitgliederung im Schweizer Mittelland postulierte SCHLÜCHTER (1988, Fig. 1) vor dem bisherigen Riss eine viertletzte Eiszeit als Most Extensive Glaciation (MEG). In der Arbeit von GRAF (2009a, Tab. 19) figuriert diese Grösste Eiszeit unter dem Namen Möhlin-Eiszeit.

In ihrem Beitrag in den Erläuterungen zur Geologischen Übersichtskarte des Kantons Thurgau führten KELLER &

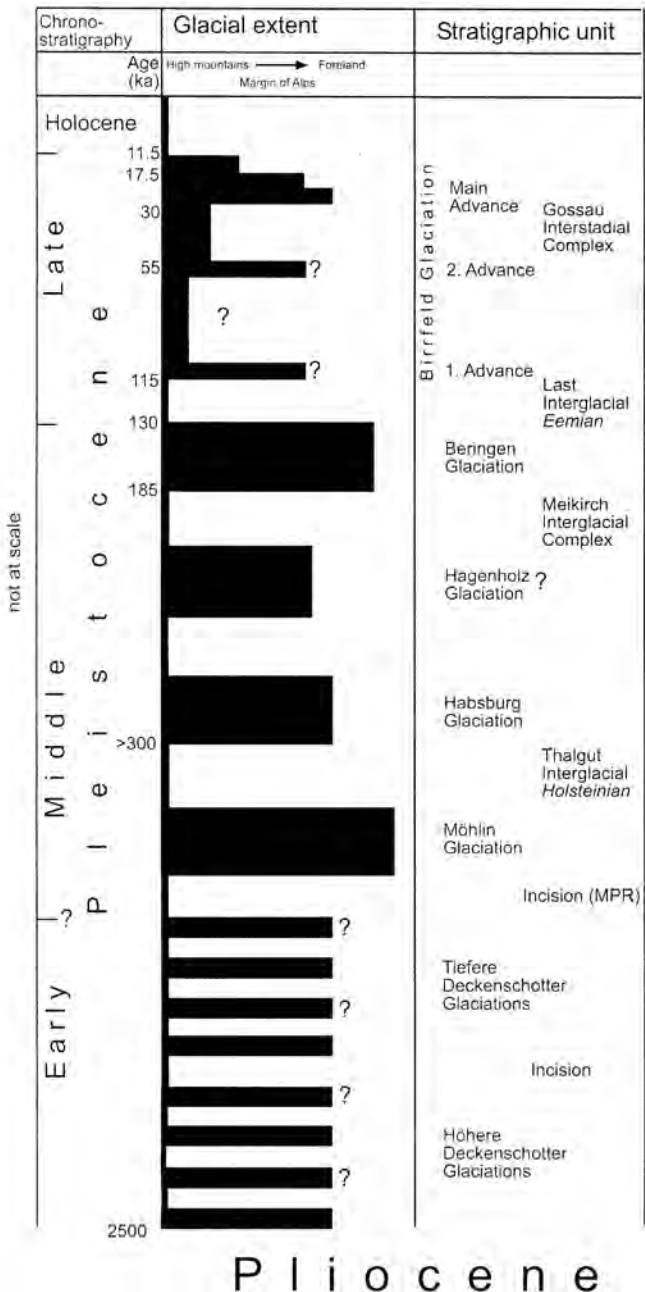


Abb. 2: Stratigraphisches Schema der Vergletscherungsgeschichte der Schweiz (nach PREUSSER et al. 2011).

Fig. 2: Stratigraphy scheme of the glaciation history of Switzerland (after PREUSSER et al. 2011).

KRAYSS (1999) vor der Riss-Eiszeit eine Grösste Helvetische Vergletscherung (GHV) ein, gültig für die Vorlandvergletscherungen der Nordschweiz und des Rheingletschers.

Ellwanger verwendete für die grösste Vergletscherung verschiedene Bezeichnungen: Älteres Riss (ELLWANGER 1995), MEG (ELLWANGER in LGRB 2003, 2005). VILLINGER (2011) bezeichnet die „drittletzte/grösste Vergletscherung im Rheingletschergebiet“ mit dem Namen Hosskirch. Dieser bezieht sich topographisch einerseits auf einen früher als Riss angesprochenen Geländestreifen zwischen Messkirch und Riedlingen und anderseits auf den externen Gletscherrand vom Raum Biberach bis zum Aitrachtal, womit sämtliche äußersten Glazialrelikte der gleichen Eiszeit zugewiesen werden. Im Gelände-Abschnitt Riss-Aitrach wurden bisher die

# Glaziale Dynamik (Raum Schaffhausen)

Referenzen: Schindler 1985, Hofmann 1994,  
Graf 2009, Keller & Krayss 2010

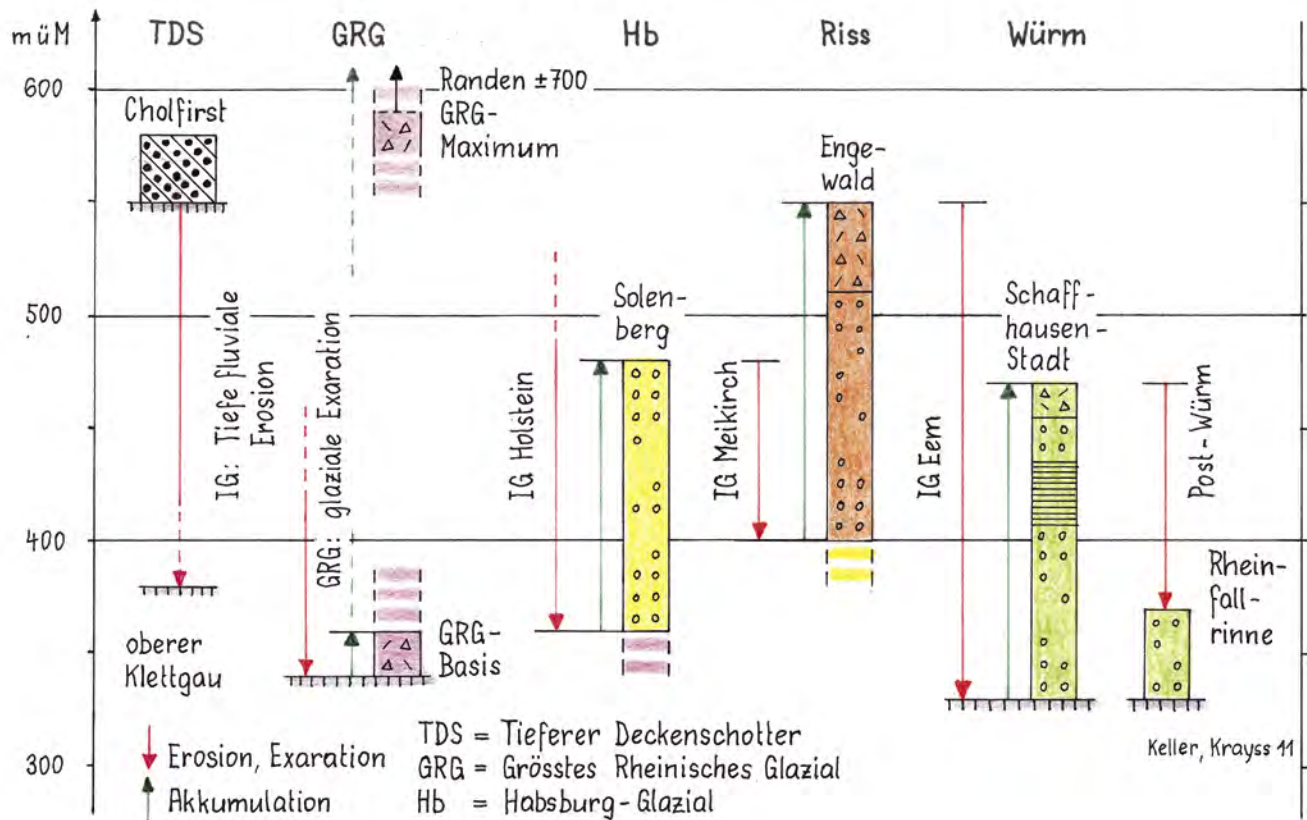


Abb. 3: Morphologische Dynamik der Eiszeiten mit Phasen der Akkumulation und Erosion.

Fig. 3: Morphological dynamics of the glacials shown by phases of accumulation and erosion.

entsprechenden Elemente Mindel zugeordnet. Das Bayerische Landesamt für Umwelt, Geologischer Dienst sowie auch DOPPLER et al. (2011) halten an den Bezeichnungen Mindel und Haslach für die größte Ausdehnung des Bayern zugewandten Rheingletschers fest.

Mit den Begriffen MEG, Möhlin, GHV, Hosskirch und Mindel liegen also im letzten Vierteljahrhundert mehrere Namen für die ausgedehnteste Vergletscherung von der Nordschweiz bis zur Iller vor. Aktuell wird im süddeutschen Raum im nördlichen Rheingletschergebiet für die größte Vergletscherung der Name „Hosskirch“ verwendet, in der Nordschweiz, inklusive Rheingletscher südlich und westlich des Bodensees, hingegen „Möhlin“. Das bedeutet, dass für dieselbe Vorlandvergletscherung zwei Bezeichnungen im Gebrauch sind. Es wird daher in dieser Arbeit hierfür die neutrale Sammelbezeichnung „Größtes Rheinisches Glazial GRG“ verwendet.

Zwischen dem Größten Rheinischen Glazial = Möhlin und dem Riss-Glazial = Beringen ist in der Nordschweiz eine weitere Großvergletscherung des Vorlandes, das Habsburg-Glazial erkannt worden (GRAF 2009b, KELLER & KRAYSS 2010). Für diese Vergletscherung, deren Nachweis hier für das nördliche Rheingletschergebiet angestrebt wird, findet vorläufig die Bezeichnung „Habsburg-Glazial“ Verwendung. Somit wird in der vorliegenden Arbeit für das Mittel- und Spätpleistozän hinsichtlich der Eiszeitengliederung folgende

Terminologie verwendet:

Nordschweiz:	Rheingletschergebiet:
Birrfeld	Würm
Beringen	Riss
Habsburg	Habsburg
Möhlin	GRG (Größtes Rheinisches Glazial) = Hosskirch

## 3 Der Rheingletscher im Mittel- und Spätpleistozän

### 3.1 Geländestruktur

Zwischen Berner Aaretal und Bodensee ist das Nordschweizer Alpenvorland durch ein tief reichendes fluvielles Entwässerungssystem, das auf die niedrig gelegene Oberrheinische Tiefebene ausgerichtet ist, gekennzeichnet. Die Umlenkung des Alpenrheins weg von der Donau nach Westen zum Oberrhein (KELLER 2009) führte zu einer massiven fluviatilen Durchtalung des Hochrhein- und des Aaresystems. Die mächtigen Eisströme der anschliessenden größten Vergletscherung schürften in der Folge die meisten übertieften Becken der Nord- und Ostschweiz aus, darunter insbesondere auch das ausgedehnte Bodenseebecken. Dieses nimmt eine Sonderstellung ein, indem die Entwässerung zwar nach Westen gerichtet war, aber während den Maximalständen der Vergletscherungen auch nordwärts in das hoch liegende danubische System übergriff.

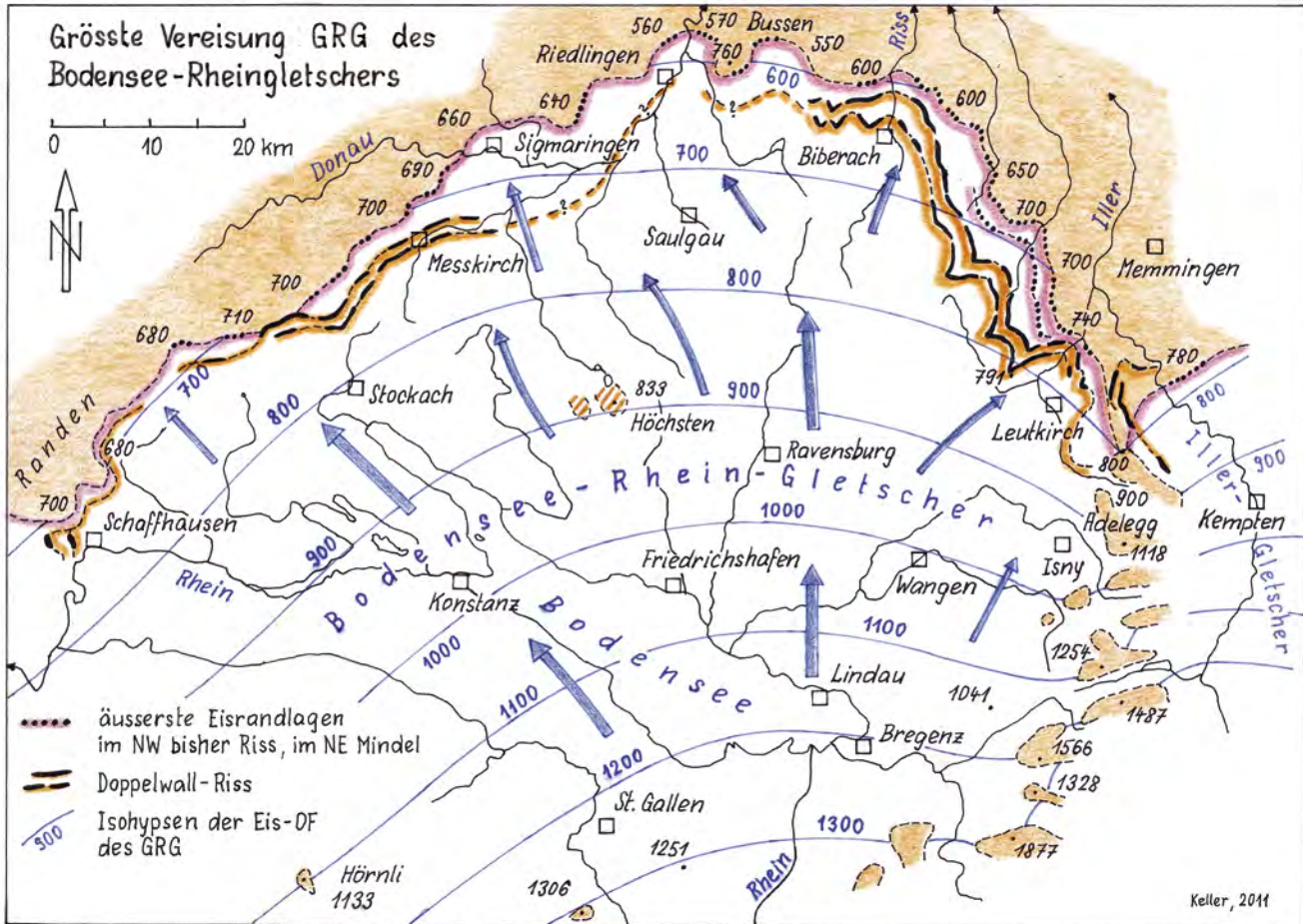


Abb. 4: Maximale Eisausdehnung des Grössten Rheinischen Glazials (GRG) im Vorland.

Fig. 4: Maximal ice extension of the Greatest Rhine-Glacial (GRG) in the foreland.

Eiszeiten, deren Eisströme den nördlichen Rand des Bodenseebeckens, die Wasserscheide zur Donau, überschritten, hinterliessen zur Donau hin glaziale Sedimente, den direkten Nachweis einer Gletscherpräsenz. Erreichten sie aber nicht diese Mindestausmaße, so konnten nur deren Schmelzwasserströme allenfalls kurzfristig Richtung Donau glazifluviatile Sedimente ablagern. Lithostratigraphisch sind daher im Nord- und Ostsektor des Rheingletschers ausserhalb des Bodensee-Beckenrandes Eiszeiten mit geringeren Vergletscherungsausmaßen mit Hilfe glazärer Sedimente nicht fassbar. Auch die Morphostratigraphie mit Terrasseneinschachtelungen und glazialen Serien ist kaum anwendbar.

### 3.2 Glaziologie

Vorlandvergletscherungen im Alpenrhein- und Bodenseeraum stellen sich dann ein, wenn im inneralpinen Rhein-Einzugsgebiet die regionale Schneegrenze von den interglazialen Hochlagen auf weniger als 1500 m ü. M. absinkt. Dadurch vergletschern die Alpentäler, deren Eisströme sich vereinigen und durch die Auslasstäler ins Vorland vorstoßen. Bei Schneegrenzen um 1000 m ü. M., wie sie beim Rheingletscher im letzten Glazial auftraten (KELLER & KRAYSS 2005), baut sich ein das ganze Bodenseebecken bis zur Donau-Wasserscheide oder darüber hinaus erfüllender Eiskörper auf.

Bedingt durch die in den jüngeren Glazialen bereits niedrig gelegene Diffluenz von Sargans zweigt jeweils ein Ast

des Rheingletschers westwärts ab, was zusammen mit dem Linthgletscher zu einem weiteren Vorlandgletscher im Limmat- und Glatttal-Gebiet führt. Die Ausmaße dieses Linth-Rheingletschers machten allerdings gegenüber dem Bodensee-Rheingletscher nur ca. 1/5 des eisbedeckten Gebietes aus (KELLER & KRAYSS 2005).

Rekonstruktionen und Berechnungen für das letzteiszeitliche Maximum des Bodensee-Rheingletschers ergaben für das Vorland ein vergletschertes Areal von 7200 km<sup>2</sup> und ein Eisvolumen von 2400 km<sup>3</sup>. Die älteren mittelpaläozänen Vergletscherungen erreichten vergleichbare Ausmaße (Kapitel 4.4).

Der Aufbau der Vorlandvereisung im letzten Glazial nahm nur rund 5000 Jahre in Anspruch, das Rückschmelzen bis in die Alpentäler erfolgte in einem ebenfalls kurzen Zeitrahmen von ca. 6500 Jahren (KELLER & KRAYSS 1993, 2005). Es ist davon auszugehen, dass auch die mittelpaläozänen Eiszeiten für Auf- und Abbau ihrer Vorlandgletscher einen ähnlichen Zeitbedarf hatten.

Außer der größten Vergletscherung, die am Randen hoch hinaufreichte (HOFMANN 1994, KELLER & KRAYSS 2010), stießen die Gletscher stets bis in den Raum Schaffhausen-Klettgau vor, von wo aus sie zum Hochrhein entwässerten. Über das Mittel- und Spätpleistozän hinweg ergibt sich ein charakteristisches Wechselspiel zwischen Akkumulation glazialer Sedimente und interglazialer Erosion (Abb. 3). Die kaltzeitliche Schüttung der Tieferen Deckenschotter erfolgte auf

einem noch hoch liegenden Niveau um 500 m ü. M. auf dem Cholfirst südlich Schaffhausen. In der anschließenden Interglazialzeit führte die Umlenkung des Alpenrheins Richtung Westen (KELLER 2009) zu einer besonders ausgeprägten fluviyalen Erosion, die MPR (Mittelpaläozäne Reorganisation) (SCHLÜCHTER 1988), die im oberen Klettgau das Flussniveau um rund 200 Höhenmeter absenkte. Während den weiteren interglazialen Phasen war die Tiefenerosion stets markant, sodass die Entwässerungsbahnen des Rheins niedrig lagen. Sie verließen anfangs durch den Klettgau, nach dem Riss durch das noch heute benutzte Rheintal. Die in jedem Glazial anfallenden Schotter und Feinsedimente wurden an den Gletscherfronten zu mächtigen Sedimentstapeln akkumuliert, bevor sie wieder interglazial mindestens teilweise erodiert wurden (GRAF 2009a, KELLER & KRAYSS 2010).

#### 4 Zum Größten Rheinischen Glazial (GRG)

Aus den morphostratigraphischen Untersuchungen zu den jüngeren Eiszeiten in der Nordschweiz geht hervor, dass die ausgedehnteste Vergletscherung nicht Riss sein kann, sondern deutlich älter ist (GRAF 2009a, KELLER & KRAYSS 2010, PREUSSER et al. 2011). Es ist zudem anzunehmen, dass dieses Glazial aufgrund von Paläoböden, Pollensequenzen und pflanzlichen Makroresten, die das Holstein-Interglazial widerspiegeln und im Hangenden über den Sedimenten dieser grössten Vergletscherung auftreten, älter sein muss als dieses Interglazial.

Im nördlichen Bodensee-Rheingletschergebiet wurde bis vor wenigen Jahren von einer einzigen Vergletscherung, die die externsten Glazialrelikte hinterlassen hätte, abgesehen. Hier hingegen wird von einer solchen Vergletscherung aus gegangen, die gemäß LGRB (2003, 2005), ELLWANGER et al. (2011a), VILLINGER (2011) als Hosskirch bezeichnet wird. In der Karte der Größten Rheinischen Vergletscherung GRG (Abb. 4) bilden alle äußersten glazialen Zeugen den Eisrand.

Der Außensaum der größten Vorland-Vereisung des Rheingletschers setzt im Westen dort ein, wo seit dem Endabschnitt der Deckenschotter-Eiszeiten die Erosionsbasis des gesamten Rheingletschergebiets lag, an der Klettgauer-Pforte bei Schaffhausen am Hochrhein (PENCK 1939). Die Peripherie dieser Vergletscherung schwingt sich in weitem Bogen über den Hegau und das oberschwäbische Donautal hinüber ins Illergebiet bis zum Bergland der Adelegg. Seit PENCK & BRÜCKNER (1909) wurde bis vor kurzem der nordwestliche Randstreifen dieser äussersten Vergletscherung bis zum Bussen ausnahmslos der Riss-Eiszeit zugeordnet. Ab dem Raum Biberach südostwärts bis zur Aitrach und zur Adelegg wurde hingegen postuliert, dass die äußersten Moränen in der Mindel-Eiszeit gebildet worden seien (Abb. 5). Erst Ellwanger (2003) verknüpfte alle äußersten glazialen Bildungen zu einem einzigen Eisrand unter der von ihm eingeführten Bezeichnung MEG.

##### 4.1 Nordwestliches Rheingletschergebiet

Angesprochen ist der Geländestreifen von Messkirch bis Riedlingen beidseits der Donau, respektive von der Homberg bis zum Bussen. Detaillierte und auf eine Grosszahl von Bohrungen gestützte Daten aus dem Gebiet von Messkirch finden sich bei WERNER (1975, Beil. 8). Er stellt sämtli-

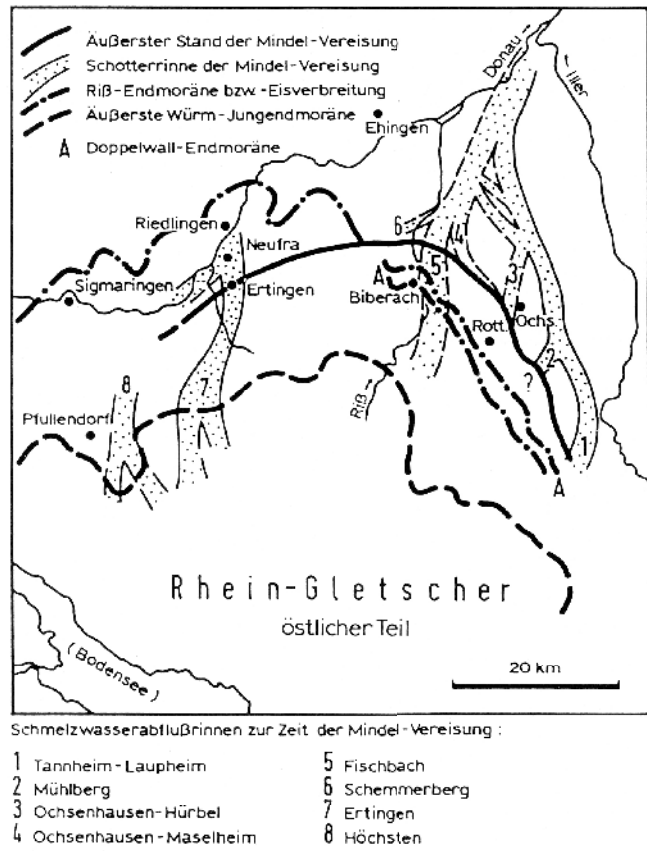


Abb. 5: Nordrand der Mindel- und der Riss-Vergletscherung nach Haag 1982. Beachte die Überkreuzung der Gletscherfronten.

Fig. 5: Northern margin of the Mindel- and the Riss-Glaciation according to Haag 1982. Notice the crossing-over of the glacier frontiers.

che glazialen Bildungen in die Riss-Eiszeit. Hinsichtlich der frühen „risszeitlichen“ Gletscherbewegungen unterscheidet er einen ersten Vorstoß auf so genannte Messkircher Stände und, nach einem Eisrückzug, den Hauptvorstoß zum äußeren Stand bei Vilsingen. Nach einer weiteren Rückzugsphase verbunden mit der Anlage des heutigen Ablachtals sowie der Entstehung des heutigen Donautals kam es zum Vorstoß auf den von ihm definierten Waldbühlstand (Abb. 6). Ausgewiesen durch eine Abfolge von Endmoränenkuppen zwischen Gallmannsweil und Messkirch wird diese Eisrandlage mit dem Biberacher Riss-Doppelwall korreliert (WERNER 1994). Gemäß diesem Szenario soll die bedeutende morphologische Umgestaltung des Donau-Ablach-Systems in einem Interstadial zwischen Zungen-Riss und Doppelwall-Riss sensu SCHREINER (1985, Tab. 6) erfolgt sein.

Auf die Interpretation von WERNER (1975) stützen sich die umfassenden Untersuchungen von VILLINGER (1985, 166-174, Abb. 4) zur Fluss- und Landschaftsgeschichte im Raum Sigmaringen-Riedlingen. Zwar wird dort in Abb. 4 ein Mindel-Maximum zwischen Scheer und Kanzach angedeutet, die grossen Ereignisse

- der Donau-Staubildungen
- der Verschüttung der altpaläozänen Donaurinnen,
- der Anlage eines neuen breiten Donaulaufes

bleiben jedoch auch hier der älteren bis jüngeren Riss-Eiszeit zugeordnet.

Die von SCHREINER (1980) detailliert untersuchten Ertinger Schotter (Abb. 8) wurden aufgrund des hangenden Pa-

## Quartärgeologisches Sammelprofil Raum Messkirch

Nicht masstäblich, horizontal ca. 10km, stark überhöht, Höhen korrekt  
 Grundlagen: Werner 1975; Geol. Karte und Erläuterungen Blatt Messkirch 1994

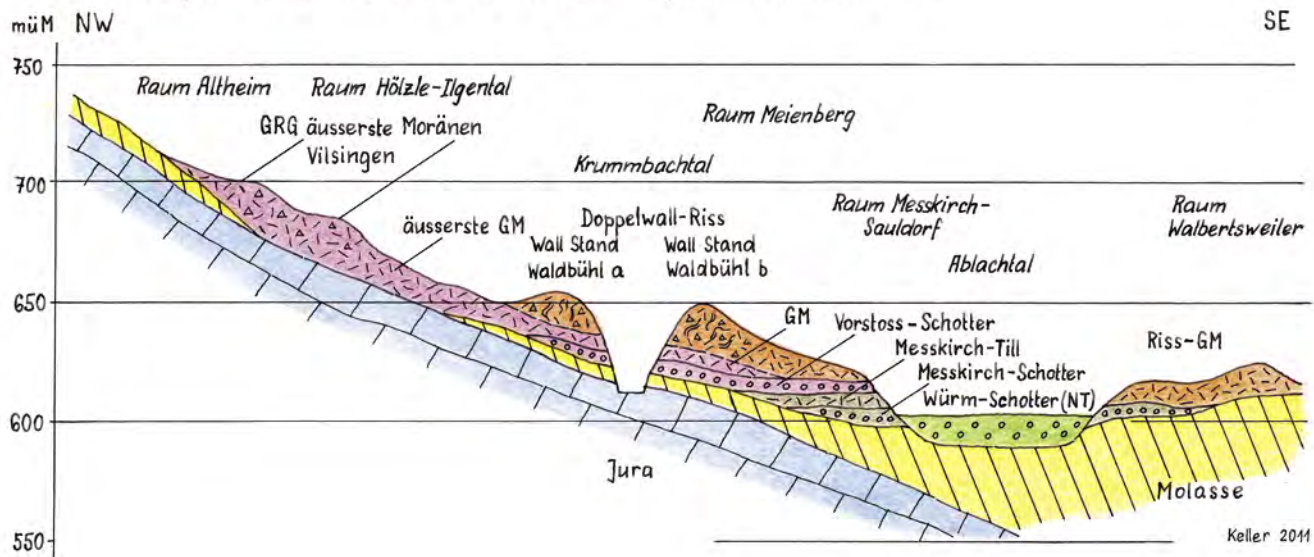


Abb. 6: Quartärgeologisches Sammelprofil der äußersten Randzone im Nordwesten des Rheingletschers bei Messkirch.

Fig. 6: Quaternary geological composite section of the most external margin in the northwest of the Rhine Glacier near Messkirch.

läbodens von Neufra und der abdeckenden Riss-Moräne als älter erkannt und demzufolge als mindelzeitlicher Deckenschotter angesehen. In der paläopedologischen Untersuchung des Bodens von Neufra (BIBUS & KÖSEL 2001) wird als Altersstellung eine mögliche mehrphasige Bildung während mehr als einem Interglazial vor dem Doppelwall-Riss in Betracht gezogen.

Der Schritt zur Erkenntnis, dass im äußersten, glazial überfahrenen Gebiet zwischen Messkirch und Riedlingen eine ältere Eiszeit vorliegt, beruht auf Beobachtungen in zwei Kiesgruben: Krauchenwies/Bittelschiess und Datthausen (ELLWANGER et al. 2011a, 404–407). In Krauchenwies findet sich unter mächtigen Abfolgen von Diamikten und Schottern eine Feinsedimentlage, in der pollenanalytisch ein Holstein-Interglazial nachgewiesen wurde (Abb. 12 in Kap. 5.2). An der Lokalität Datthausen stiess eine Bohrung unter einem 45 m mächtigen Stapel alpiner Schotter mit Rissmoränen im Top auf Rheingletscher-Till über Molassefels (Abb. 7). Diese Eiszeit älter als Riss bezeichnet ELLWANGER (2003) mit dem Namen MEG.

### Diskussion und Interpretation

Aufgrund der Befunde in den Aufschlüssen Krauchenwies/Bittelschiess und Datthausen hat die Vergletscherung des GRG, gleichzusetzen mit „Hosskirch“, die älter als Riss einzustufen ist, zwischen Sigmaringen und Riedlingen die Donau überschritten und das äußerste Band glazialer Ablagerungen hinterlassen (Abb. 4). Südwestlich Sigmaringen ziehen sich die äußersten Glazialrelikte in einem Band von flachen Kuppen hin, die abschnittsweise undeutlich in zwei Reihen angeordnet sind (Abb. 6). Bei der Homburg über der Hegau-Niederung schieben sich markantere, unzweifelhafte Riss-Wälle bis zur Außengrenze der glazialen Bildungen vor. Von hier an bleibt Riss deutlich intern und ist wie bei Biberach zu ei-

nem Doppelwallsystem entwickelt, das sich von Honstetten über Gallmannsweil und Messkirch bis gegen Krauchenwies als Waldbühl-Eisrandlage (WERNER 1975, 1994) verfolgen lässt (Abb. 6). Zwischen Mengen und Datthausen sind keine morphologischen Anhaltspunkte für eine Riss-Randlage auszumachen.

Von diesen Erkenntnissen ausgehend würden die von VILLINGER (1985) der Riss-Eiszeit zugeschriebenen Verschüttungen, Staubbildungen und Laufverlegungen der Donau im Raum Sigmaringen-Riedlingen in die Zeit des GRG fallen.

Das Profil des Ertinger Schotterbandes (SCHREINER 1980) kann zwangslässig bis Datthausen verlängert werden, womit dort die liegenden Schotter dem Ertinger Schotter zuzuordnen wären (Abb. 8). Das Paket der hangenden Schotter würde damit als Vorstoß-Schotter der Riss-Eiszeit zu deuten sein, wobei die auflagernde Moräne durch den Rissgletscher abgelagert worden wäre. Der basale Diamikt in der Bohrung von Datthausen (Abb. 7) dürfte gemäß seiner nördlichen Lage dem GRG = Hosskirch angehören, was auch ELLWANGER et al. (2011a) annehmen. Dies legt nahe, dass der Ertinger Schotter im Größten Rheinischen Glazial beim etappenweisen Rückschmelzen abgelagert wurde.

Diese Vorstellung kann durch die den Ertinger Schotter kreuzende Mottschiesser Rinne untermauert werden. Diese verläuft in SW-NE-Richtung von Pfullendorf Richtung Federsee und folgt einer Molasse-Störung. Sie weist ein geringes Gefälle von ca. 1‰ auf, was aus GK 25, Blatt 8021, Pfullendorf hervorgeht (VILLINGER 2003). Es ergibt sich, dass das S-N verlaufende Ertinger Schotterband westlich Saulgau von der Mottschiesser Rinne, die jüngere Deckenschotter führt, gekreuzt wird. Ihre Rinnenbasis liegt östlich Pfullendorf auf 630 m ü. M., womit sie den Ertinger Schotter auf rund 615 m queren dürfte. Das Top der Ertinger Schotter reicht knapp bis auf dieses Niveau, die Schotterbasis

befindet sich auf ca. 590 m (Abb. 8). Daraus darf geschlossen werden, dass der Ertinger Schotter nicht mit den Deckenschottern der Mottschieser Rinne zu verbinden ist, sondern eine jüngere Schüttung darstellt, wofür das GRG in Frage kommt.

Im Weiteren verläuft das nach Süden als Extrapolation verlängerte Band der Ertinger Schotter um 50 m tiefer als der jüngere Deckenschotter von Königseggwald (Abb. 8). Demzufolge wären die Ertinger Schotter keine Deckenschotter, sie müssen jünger sein als diese, aber älter als Riss, was ihre Zuordnung zum GRG annehmen lässt.

In der Nordschweiz wird die größte Vergletscherung als Möhlin-Glazial bezeichnet (GRAF 2009a, KELLER & KRAYSS 2010, PREUSSER et al. 2011) und vor dem Holstein-Interglazial positioniert. Diese Eiszeit entspricht gemäß ihrer räumlichen Ausbreitung dem Größten Rheinischen Glazial im hier diskutierten nordwestlichen Gebiet des Rheingletschers. Aufgrund des Nachweises des Holstein-Interglazials in der Sedimentabfolge von Bittelschiess steht einer Gleichsetzung Möhlin = Hosskirch = Größtes Rheinisches Glazial (GRG) nichts im Wege.

#### 4.2 Zur Bildung der tiefen Becken

Die frühpleistozänen Deckenschotter des westlichen Bodenseeraums sind durch eine Periode erhöhter Eintiefung von den mittel- und spätpleistozänen Ablagerungen getrennt (SCHREINER 1974, 1992; GRAF 1993, 2009b; KELLER & KRAYSS 1999, 2010). Neben Absenkungen im Oberrheingraben spielte die Umlenkung des Alpenrheins von der Donau zum Oberrhein die Hauptrolle, die im Anschluss an die Zeit der Tieferen Deckenschotter erfolgte (KELLER 2009). Sie brachte dem Hochrhein ab der Aare-Mündung nahezu die doppelte Wassermenge und damit verstärkte Erosionskraft. Für das Flusssystem des Alpenrheins bis zur Aare setzte eine äußerst intensive fluviale Ausräumung des Bodensee-Hochlandes mit dem Resultat einer tiefen Durchtalung ein.

Waren die Gletscher der Deckenschotter-Eiszeiten im Bodensee-Vorland noch auf das hoch liegende, frühpleistozäne danubische Entwässerungsnetz ausgerichtet, so folgten nun die mittelpaläolithischen Eisströme den vorgezeichneten tiefen Flusstälern. Durch subglaziale Erosion verbreiterten sie die Talzüge und schürften übertiefe Becken und Tröge aus, weshalb diese Glaziale im Rhein- und Aareraum als Becken-Eiszeiten bezeichnet werden (KELLER & KRAYSS 1999; PREUSSER et al. 2011).

Häufig findet sich in den tiefen Becken über dem Felsboden Moräne. In den hangenden, warmzeitlichen Sedimenten konnte mehrfach das Holstein-Interglazial direkt nachgewiesen oder zumindest wahrscheinlich gemacht werden. Alpennah betrifft dies beispielsweise das Aaretal südöstlich Bern mit dem Thalgrat (SCHLÜCHTER 1989; WELTEN 1982) oder das Linthbecken mit dem Günterstall-Delta (JEANNET 1923; SCHINDLER 2004; KELLER & KRAYSS 2010). Alpenfern bildet das Singener Becken den westlichsten Teil des Bodenseebeckens. Die dem Felsgrund aufsitzenden Diamikte gehören ebenfalls der größten Vergletscherung an (Szenkler & Bock 1999), indem typische Pollen für Samerberg-Holstein nachgewiesen wurden. Die Becken selbst müssen daher vorwiegend in der ersten und größten Becken-Eiszeit, dem

## Kiesgrube Maucher bei Datthausen Aufschlussprofil und Bohrprofil

Grundlagen: Ellwanger et al. 2011a

Feldaufnahmen Keller und Krayss

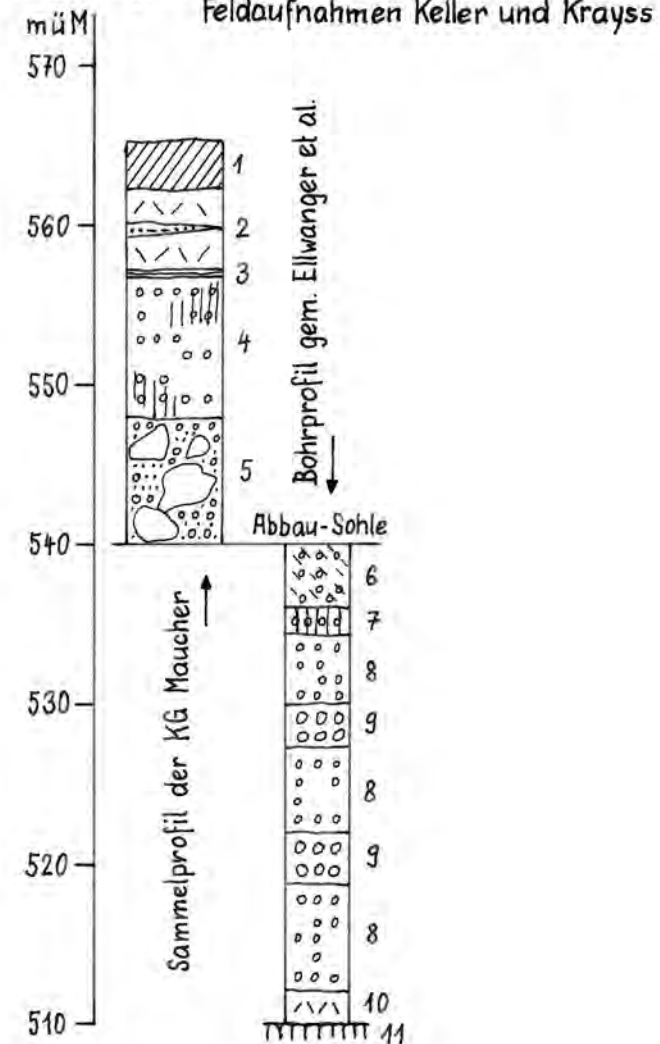


Abb. 7: Quartärgeologisches Profil Datthausen (Kiesgrube und Bohrung) im äußersten Norden des Rheingletschergebietes. Auswertung siehe Tabelle.

Fig. 7: Quaternary geological section of Datthausen (gravel pit and drilling) in the most northern part of the Rhine Glacier. Analysis see table.

Größten Rheinischen Glazial GRG = Möhlin = Hosskirch, ausgeschürft worden sein.

Auch die an die Hauptbecken nach außen ins weitere Vorland vorgeschobenen Neben- und Zweigbecken sind überwiegend im Größten Rheinischen Glazial von den von den Eiskörpern der Hauptbecken ausstrahlenden Gletscherzungen ausgeschürft worden. Belegt wird dies in den Becken von Hosskirch oder Wattenweiler durch Funde von Pollen, die auf das Holstein-Interglazial schließen lassen (ELLWANGER et al. 1995; BLUDAU in ELLWANGER et al. 1999).

#### 4.3 Raum Risstal [Biberach] – Aitrachtal

Ab Biberach galt bisher für den äußersten Eisrand das Konzept von PENCK & BRÜCKNER (1909), das diesen Mindel zuwies. Der Geländestreifen dieser größten Vergletscherung

Auswertung Profil Datthausen (Abb. 7)			
Lithologie	Genetische Interpretation	Glazialchronologie gemäß ELLWANGER et al. 2011a	Glazialchronologie gemäß Autor
1 Verwitterungszone Bodenbildung	Ältere Verwitterung und Paläoboden, bis 3 m mächtig		Eem-Interglazial und rezenter Boden
2 Moräne Rheingletscher, im E zweigeteilt	Eisüberfahrung, Gletscher-Vorstoß mit Oszillation	Riss-Eiszeit, Maximalvorstoß Außenwall-Riss	Riss-Glazial, Maximalvorstoß bis Datthausen
3 siltig-tonige Feinsedimente	lokale Stausedimente		Tümpel vor der Riss-Eisfront
4 Kies mit alpinem Material, teils verkittet	Vorstoß-Schotter, örtlich durch Kalkkrusten verfestigt	Riss-Eiszeit, Hochterrassenschotter	Riss-Gletschervormarsch, Vorstoß-Schotter
5 Grobblock-Horizont aus Oberjura & Tertiär, kiesreiche Matrix	Katastrophene-Ereignis: Bergsturz und See-Ausbruch? Flutwelle aus der Alb	Prä-Riss?	Prä-Riss, interglaziales Ereignis oder während Habsburg-Glazial?
6 Kiese mit alpinen Geröllen, Entkalkung	Entkalkung: Hinweis auf Sedimentationspause		Interglazial? Entkalkung als Unterbruch in der Ablagerung
7 verkittete Kiese, alpin zurückschmelzenden	Schotter eines etappenweise	Riss-Hochterrasse oder älter in Etappen während	GRG Mindel-Schotter, Schüttung
8 Kiese mit alpinem Material	Gletschers		dem Abschmelzen
9 Grobkiese mit Alpin und Oberjura	Begrenzte Wiedervorstöße angezeigt durch Grobmateriel		
10 Till Rheingletscher mindestens Datthausen	Gletschervorstoß bis oder Älteres Riss	Hosskirch-Vorstoß? äußerste Glazialgrenze	GRG: Gletscher-Vorstoß bis
11 Untere Süßwassermolasse			GRG Mindel-Glazialwanne

ist dadurch gekennzeichnet, dass er intern durch den äußeren Moränenwall des Doppelwall-Riss und das Zungenriss morphologisch eindeutig überfahren ist (SCHREINER & EBEL 1981; HAAG 1982 Abb. 10). Als bedeutende Typuslokalität innerhalb des Mindel-Geländestreifens gelten die zum Illertal gerichteten Querprofile von Hauerz und Seibranz (SCHREINER 1996, Fig. 2–5). Hier demonstrierten SCHREINER & EBEL (1981) die Einführung der Haslach-Eiszeit, einer im Penck'schen System neuen Eiszeit zwischen Günz und Mindel. In der Bohrung von Unterpfauzenwald belegt eine polyanalytisch gesicherte Interglazialschicht (GÖTTLICH & WERNER 1974) ein älteres Interglazial als Holstein (BLUDAU gemäß SCHREINER 1992). Sie trennt die Mindelmoräne im Hangenden von der Haslachmoräne im Liegenden. Dieses Interglazial dürfte dem Cromer Komplex angehören (BIBUS et al. 1996). Unter dieser finden sich nach einer Erosionsdiskordanz und einem Paläoboden Schotter, die als Zeiler Schotter (= Günz) angesprochen werden. Daraus ergab sich die Eiszeitenabfolge Günz – Haslach – Mindel – Riss, wobei Günz als Ältere, Haslach und Mindel als Jüngere Deckenschotter verstanden werden.

Zur Entwässerung des Mindel-Glazials im nordöstlichen Rheingletschergebiet liegt die fundierte Untersuchung von HAAG (1982) vor. In seiner Abb. 1 lassen sich zwei Typen von Schottersträngen erkennen. Ein System (1) verweist offensichtlich auf die Eisrandentwässerung während dem Maximalstand der Mindel-Vergletscherung. Schotterstränge des Typs (2) hingegen haben ihren Ursprung am Südrand des oberschwäbischen Plateaus und beziehen sich somit auf in-

terne Stände der Vergletscherung. Dem Höchststand entsprechen (1) die Schemmerhofer Schotter, der Ochsenhausen-Maselheimer und -Hürbeler Schotter sowie sehr ausgeprägt der Tannheim-Laupheimer Schotter. Zum Typ (2) gehören der Fischbachschotter sowie der Mühlberger Schotter. Von allen diesen Abflussbahnen finden sich bei HAAG (1982, Abb. 4) detaillierte Längsprofile. Speziell auf den Typ (2) verweisen die Ertinger Schotter (SCHREINER 1980), die sich aus dem Raum Saulgau-Hosskirch bis zur Donau bei Datthausen erstrecken (Abb. 8 in Kap. 4.1).

Über die Verhältnisse im oberen Aitachtal gibt die GK Leutkirch-Ost (WENNINGER 1994, Abb. 1) einen guten Einblick. Offensichtlich reichte die Mindel-Vergletscherung als ansgedehnteste Vereisung bis Altmannshofen und südlich bis auf die Linie der heutigen Hofser Ach, wo sie auf die Ausläufer des Adelegg-Berglandes stieß. Demnach lag bei Altmannshofen auch das Gletschertor, an dem die Tannheim-Laupheimer Schotter ihren Ursprung hatten (Abb. 9).

### Diskussion und Interpretation

Im Raum Risstal-Aitachtal ist gemäß den dargelegten Be funden die größte Vergletscherung mit den äußersten Glazialzeugen älter als Riss. Im Nordosten des Rheingletscher gebiets sowie im Nordwesten ist aufgrund der bisherigen Erkenntnisse und Darlegungen nur eine einzige Vergletscherung ausgedehnter als Riss nachweisbar. Für den Nordwesten konnte glaubhaft gemacht werden (Kap. 4.1), daß es sich dabei um das Größte Rheinische Glazial GRG = Hosskirch handelt, das sich vor Riss, aber nachfolgend zu den Decken-

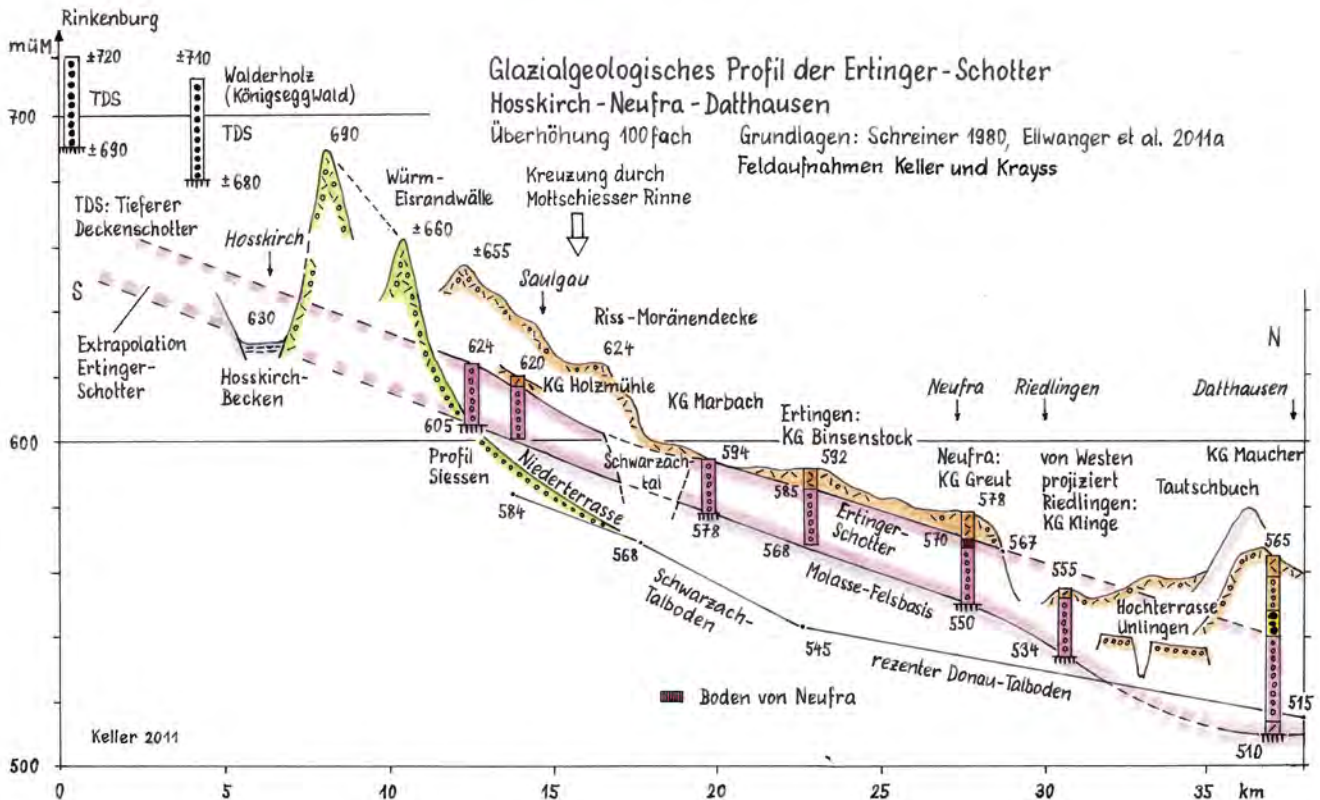


Abb. 8: Glazialgeologisches Längsprofil der Ertlinger Schotter zwischen Hosskirch und Datthausen (nördlicher Rheingletscher), ergänzt nach Schreiner 1980.  
Fig. 8: Glacial geological longitudinal profile of the Ertlinger gravel between Hosskirch and Datthausen (northern Rhine Glacier), completed after Schreiner 1980.

schottern einschiebt. Falls diese Befunde akzeptiert werden, ergeben sich daraus für den Nordosten des Rheingletschers schwerwiegende Konsequenzen:

1. Es muss wohl davon ausgegangen werden, dass auch im Nordosten die äussersten Vergletscherungszeugen dem GRG = Hosskirch angehören. Sie wurden bisher Mindel zugewiesen, das damit hier zum GRG wird.

2. SCHREINER & EBEL (1981) sowie HAAG (1982) konnten zeigen, dass der Hauptstrang der Entwässerung, der Tannheim-Laupheimer-Schotter im Süden im Aitralthal mit Moräne verzahnt ist, was die Schotter als Mindel-Schüttungen ausweist. Wenn die Mindel-Moränenwälle dem GRG zugeordnet werden, so ist daraus zu schließen, dass die zugehörigen bisherigen Mindel-Schotterstränge zu GRG-Sandern werden.

3. Da das GRG eine Becken-Eiszeit ist (Kap. 4.2), die nachfolgend nach den Deckenschottern einzustufen ist, so muss hier im Nordosten Mindel zur Becken-Eiszeit werden, womit es jünger wäre als die Deckenschotter.

4. Die bisherigen Mindel-Schotterstränge im Nordosten des Rheingletschers würden zu Schüttungen des GRG. Sie wären damit keine Deckenschotter, da diese ihrerseits älter sind als die Becken-Eiszeiten. Die jüngeren Deckenschotter würden sich somit auf Haslach beschränken.

Welche Folgen sich aus diesen Interpretationen für den östlich anschliessenden Illergletscher ergeben würden, kann in diesem Zusammenhang nicht abgeschätzt werden.

#### 4.4 Ausmasse der Vorlandvergletscherung

Für den Versuch der paläoglazialen, kartographischen Re-

konstruktion des Vorlandgletschers im Größten Rheinischen Glazial GRG (Abb. 4) wurden Eisrandmarken am Außensaum des Gletschers und höchste glaziale Spuren in den Voralpen verwendet. Die alpenwärtige Begrenzung des Vorlandgletschers ist festgelegt durch die dem tektonischen Alpenrand vorgelagerten hohen Molasse-Berge, die das Eisstromnetz noch überragten. Im Rheintal ist das Alpentor von Oberriet-Koblach massgebend. Das Isohypsenbild beruht auf diesen Marken sowie auf Analogieschlüssen zum Rhein-Linth-Gletscher während der Würm-Eiszeit (KELLER & KRAYSS 1982, 1993, 2005). Für die Vorlandvergletscherung des GRG ergibt sich ein plausibles Bild, das den Eisflussrichtungen aus den Alpen heraus und der Geometrie des Eiskörpers gerecht wird.

Methodisch standen als Grundlage die Berechnungen und Abschätzungen zur Würm-Vergletscherung zur Verfügung (KELLER & KRAYSS 1993), die von BENZ (2003) durch digitale Datenerfassung und Modellierung im GIS bestätigt worden sind. Für die Volumenberechnung wurden für 260 Punkte in einem 5x5 km<sup>2</sup> Raster die Höhendifferenzen zum Eiskörper des Würm-Maximums bestimmt. Bei Rasterpunkten, die in ein dem GRG zugewiesenes Becken fielen, wurden die Höhen des Felsbodens für die Volumenberechnung mit einbezogen, dies unter der Annahme, dass die Beckenausräumung sich im Wesentlichen im GRG abgespielt hat (Kap. 4.2). Die über den Würm-Eisrand hinaus reichenden Areale wurden mit einem Flächenraster von 2,5 x 2,5 km<sup>2</sup> ausplanimetriert. Zusätzlich musste das Eisvolumen außerhalb der Würm-Grenze bestimmt werden.

Auf diesen Grundlagen basierend konnten Fläche und Volumen des Vorlandgletschers bestimmt werden. Resultate:

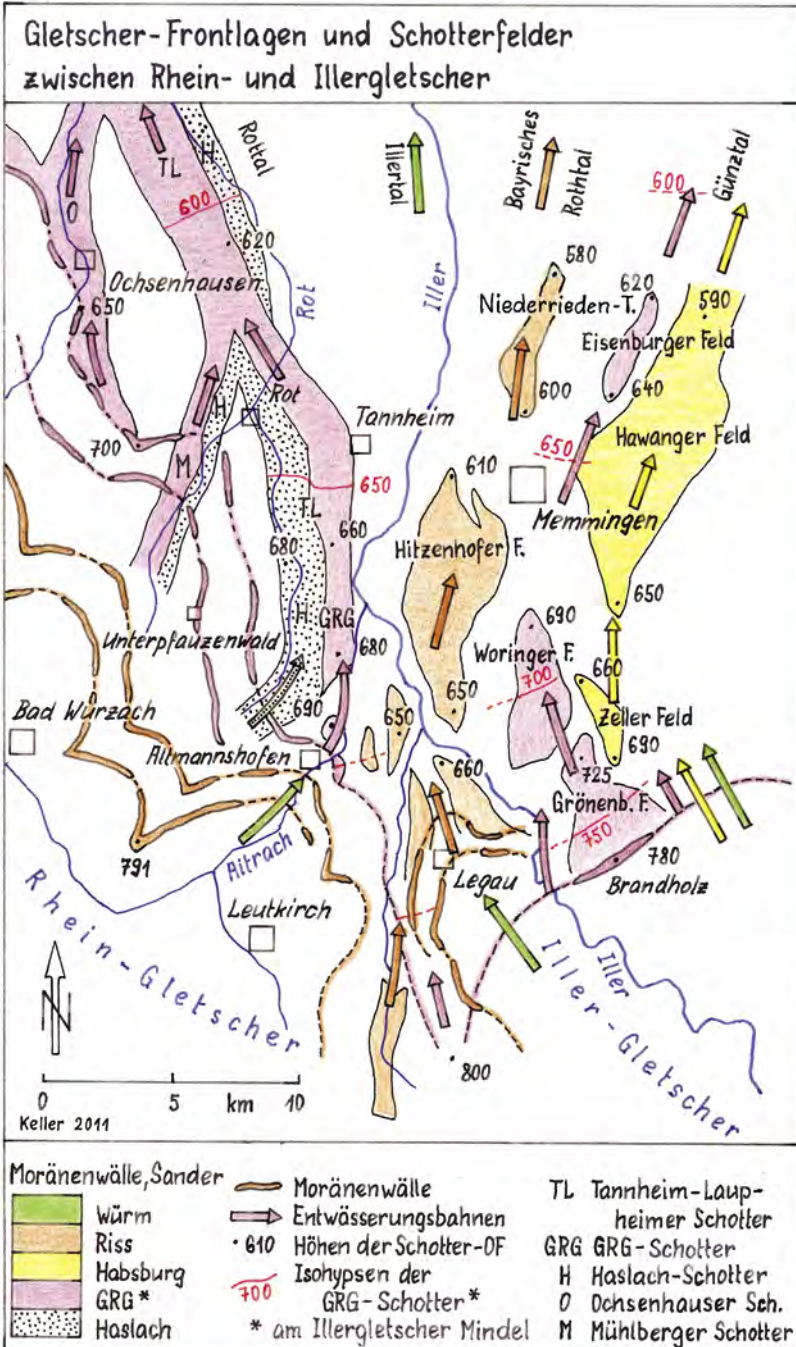


Abb. 9: Gletscherfronten, Sander und Entwässerung zwischen dem nordöstlichen Rheingletscher und dem Illergletscher.

Fig. 9: Frontiers of glaciers, outwash plains and drainage between the northeastern Rhine Glacier and the Iller Glacier.

Vorlandvergletscherung des Größten Rheinischen Glazials = Hosskirch

Zum Vergleich die Vorlandvergletscherung des Würm-Maximums

zung erreichte und von deren Frontpositionen aus Schmelzwasserströme die Hochterrassen schütteten. Diese als Habsburg-Glazial bezeichnete drittletzte Eiszeit ist in den überlieferten Becken in den Sedimentstapeln mehrfach zu erkennen (GRAF 2009a, KELLER & KRAYSS 2010, PREUSSER et al. 2011).

Damit stellt sich die Frage, ob nicht auch im überlieferten Bodenseebecken und in seinen Randgebieten das Habsburg-Glazial erkennbar ist. In diesem Sinne wird eine Modellvorstellung entwickelt und anschließend versucht, Indizien, die für dieses Glazial sprechen, beizubringen.

#### Vergletschtes Areal

9000 km<sup>2</sup> (125% zu Würm)

7200 km<sup>2</sup>

#### Volumen des Eiskörpers

3300 km<sup>3</sup> (137% zu Würm)

2400 km<sup>3</sup>

#### Mittlere Eismächtigkeit

370 m

335 m

## 5 Modell eines Habsburg-Glazials

Für die Nordschweiz konnte plausibel gezeigt werden, dass sich zwischen das Größte Rheinische Glazial (GRG) = Möhlin und die Riss-Eiszeit = Beringen eine Vorlandvergletscherung einschiebt, die in etwa die Ausmaße der Würm-Vergletscherung

In der Karte der Abb. 10 sind zu Vergleichszwecken die in der Nordschweiz anhand der Ansatzstellen der Hochterrassen rekonstruierten Zungenlagen der Habsburg-Vergletscherung (KELLER & KRAYSS 2010) für den Reuss- und den Linthglet-

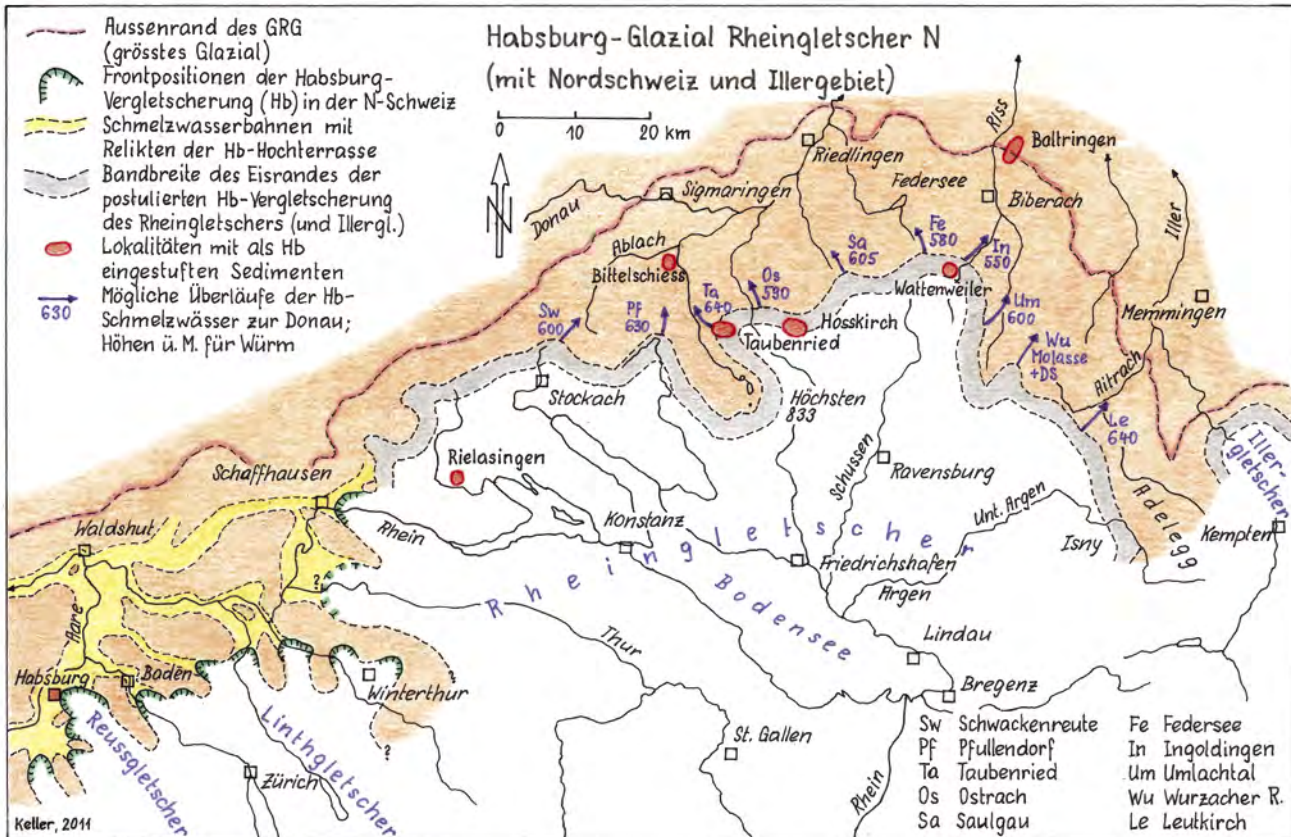


Abb. 10: Geschätzte Eisausdehnung der postulierten Habsburg-Vergletscherung.

Fig. 10: Estimated ice extension of the postulated Habsburg glaciation.

scher, bei Schaffhausen auch für den westlichen Rheingletscher, eingetragen. In Erkenntnis, dass dieses Frontenbild sehr gut mit der Würm-Vergletscherung vergleichbar ist, ist im nördlichen Rheingletschergebiet modellmäßig und basierend auf der Würmausdehnung ein Bandstreifen eingezeichnet, in dem allenfalls Indizien für eine Habsburg-Vergletscherung zu erwarten sind. Beim Illergletscher ist in der Karte Abb. 10 ebenfalls das für eine Habsburg-Vergletscherung in Frage kommende Band für den Frontbereich dargestellt.

Im Gegensatz zur Nordschweiz, wo die Entwässerung nach Westen vorgegeben ist, müssen beim nördlichen Rheingletscher die Eisfronten die Wasserscheide zur Donau mindestens erreichen, damit Schmelzwässer nach Norden abfließen können. Dabei ist auch zu bedenken, dass in einem Glazial dieser Ausdehnung nur während den Hochständen Richtung Donau Schotter durch Schmelzwasserströme abgelagert werden können. Die für eine Habsburg-Vergletscherung in Frage kommenden Überlaufschwellen sind in der Abb. 10 eingefügt.

Die nach Norden gerichteten Überläufe der würmeiszeitlichen Vergletscherung wurden, ausgenommen Ostrach und Riss bei Ingoldingen, nur im Würm-Maximum als der Donau zustrebende Entwässerungswege benutzt. Es sind in der Anlage ältere Rinnen, die vermutlich zum Teil schon im GRG funktionierten. Die in der Karte der Abb. 10 eingetragenen Schwellenhöhen sind würmeiszeitlich und dürften im GRG noch um Einiges höher gelegen haben, wie es das Südende der Ertlinger Schotter nahe legt (Abb. 8).

Im Osten existiert auch noch heute aus dem Bodenseebecken heraus nur der Überlauf der Aitrach zur Iller, der

während der Würm-Eiszeit aktiv war. Hoch liegende risszeitliche Moränenwälle nördlich und südlich der Aitrach bei Altmannshofen deuten an, dass der Abfluss zur Iller risszeitlich noch hoch lag und erst würmeiszeitlich tief ausgestaltet worden ist. Somit steht diese Schmelzwasserbahn für ein allfälliges Habsburg-Glazial außer Betracht.

Im mit 150 m sehr tiefen Wurzacher Becken, das sich weit nach Nordosten erstreckt, sind in den Beckensedimenten Würm und Riss nachgewiesene GRÜGER & SCHREINER (1993). Es dürfte daher im Zuge älterer Glaziale ausgeschürft worden sein. Es scheidet aber, da nordöstlich anschließend Höhenrücken mit Deckenschottern vorhanden sind, als Entwässerungsweg für eine angenommene Habsburg-Vergletscherung zum Vorneherein aus.

Ausgehend vom Austritt der Unterer Argen aus dem Adelegg-Bergland kann eine hypothetische Randentwässerung der Habsburg-Vergletscherung entlang dem Band des Modells (Abb. 10) angenommen werden. Sie setzt in dem in Molasse angelegten Tal der Unterer Argen an, das einen flachen Talboden mit geringer Lockermaterialbedeckung bei 4‰ Gefälle aufweist. Bis zum Riss-Überlauf bei Ingoldingen beträgt das Gefälle 3,5‰. Die Fortsetzung Rissabwärts zum Niveau der Baltringer Hochterrasse reduziert sich auf 2,5‰. Werte dieser Größenordnung weisen auch würmeiszeitlich gesicherte Täler auf. Dieses Randsystem ist so ausgeprägt, dass es zeitlich weiter als Würm in die älteren Becken-Eiszeiten zurückreichen dürfte, dabei aber noch etwas höher gelegen hätte.

Aus dem Modell abgeleitet kann zusammenfassend für eine angenommene Habsburg-Eiszeit höchstens mit sechs

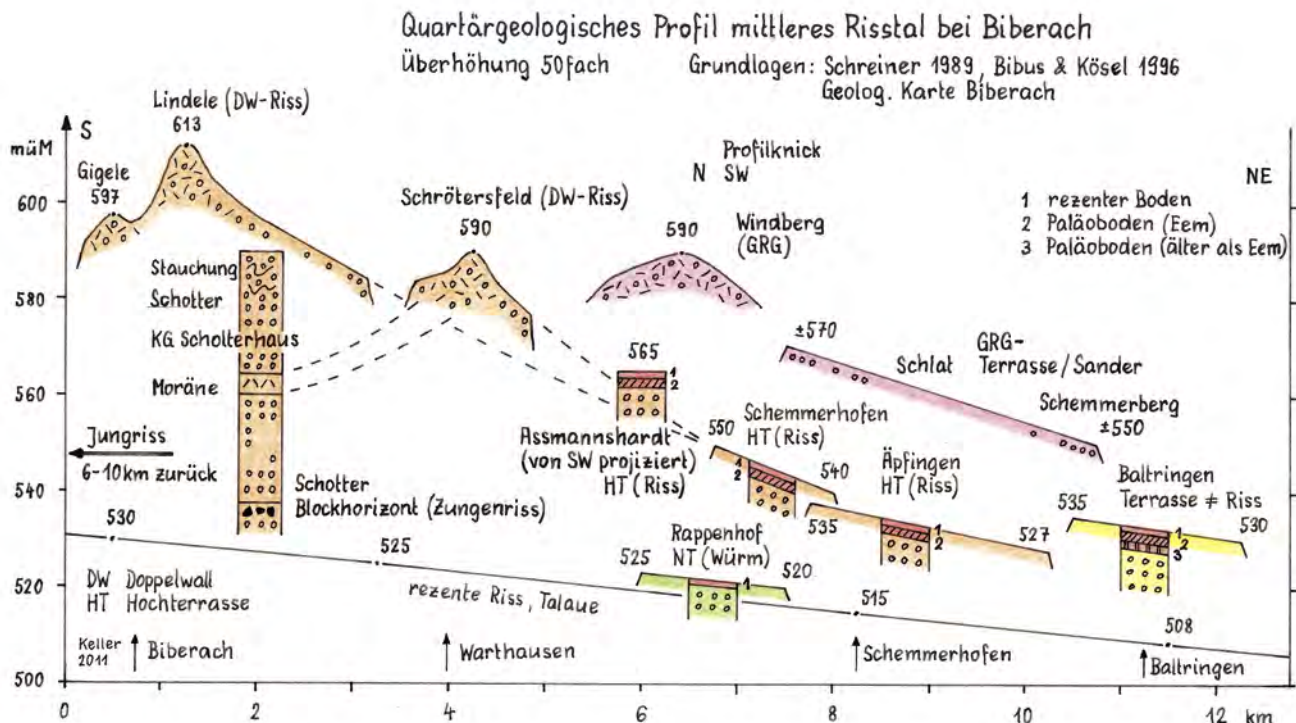


Abb. 11: Profil durch die Frontpositionen der GRG- und der Riss-Vergletscherung im Zusammenhang mit den Sanderresten im Raum Biberach (teilweise nach SCHREINER 1989).

Fig. 11: Longitudinal profile through the front positions of the GRG- and the Riss-glaciation in context with the relics of outwash plains in the region of Biberach (partly after SCHREINER 1989).

möglichen Schmelzwasser-Überläufen, alle zur Donau nach Norden ausgerichtet, gerechnet werden (Abb. 10).

## 5.2 Mögliche Relikte im Donau-wärtigen Bereich

Um einer vorerst modellmäßig postulierten Habsburg-Eiszeit auf die Spur zu kommen, sind einerseits periglazial mögliche Aufschotterungen und/oder Terrassenrelikte zu diskutieren. Andererseits muss intraglazial im Beckenseitigen Randbereich der anzunehmenden Habsburg-Vergletscherung (Bandstreifen in Abb. 10) oder im Inneren des Bodenseebeckens nach Indizien gesucht werden. In diesem Sinne wurde versucht die zur Verfügung stehenden quartärgeologischen Profile, bearbeiteten Aufschlüsse und Bohrungen zusammen mit den vorhandenen Bodenbestimmungen und Pollenanalysen neu zu interpretieren. Dabei ist festzuhalten, dass die bisherigen sorgfältigen Bearbeitungen als Grundlage verwendet und als solche in keiner Weise angezweifelt werden.

### Risstal-Biberach

Seit Penck (PENCK & BRÜCKNER 1909) werden die Frontmoränen bei und südöstlich von Biberach mit der Hochterrasse verknüpft und gelten als Riss-Glazial. Im Gebiet Biberach im Norden und der Aitrach im Süden sind drei Riss-Eisrandlagen gefunden worden (SCHREINER & HAAG 1982, SCHREINER 1985, 1989). Detaillierte Untersuchungen haben SCHREINER (1992) zur Unterscheidung von Zungenriss, Doppelwall-Riss und Jungriß veranlasst, die er durch Interstadiale voneinander abgetrennt hat. In seiner späteren Publikation (SCHREINER 1996) bleibt offen, ob es sich eventuell um Interglaziale handeln könnte, die aber nicht belegt sind. Stratigraphisch wird dem Zungenriss (Älteres Riss) keine Terrasse zugeord-

net, dem Doppelwall-Riss (Mittleres Riss) die obere Hochterrasse: Assmannshardt, Schemmerhofen, Baltringen, dem Jungriß die Untere Hochterrasse: Äpfingen oder 13 m-Terrasse (Abb. 11). Im Gegensatz dazu wurden früher (PENCK & BRÜCKNER 1909) die Frontmoränen des Doppelwall-Riss mit der Unteren Hochterrasse von Äpfingen verknüpft.

Paläopedologische Forschungen (BIBUS & KÖSEL 1996, 2001) erbrachten auf der 13 m-Terrasse von Äpfingen (Untere Hochterrasse) einen warmzeitlichen Paläoboden, weshalb die Schotter der vorletzten Eiszeit, dem als eigenständiges Glazial betrachteten Jungriß, zugewiesen wurden. Hingegen wird die Baltringer Terrasse mit zwei Paläoböden als Obere Hochterrasse ins Doppelwall-Riss gestellt, das daher durch ein Interglazial vom Jungriß zu unterscheiden wäre. Miara (MIARA et al. 1996) fand auf der Baltringer Terrasse einen Horizont mit intensiver Kiesverwitterung und davon getrennt auch einen fossilen Boden. Dementsprechend nimmt er für die Schüttung der Terrasse die drittletzte Eiszeit an.

### Diskussion und Interpretation

Die paläopedologischen Untersuchungen von BIBUS & KÖSEL (1996) ergaben für die Deckschichten und Bodenbildungen zwischen der Unteren Hochterrasse von Äpfingen und den Oberen Hochterrassen von Assmannshardt und Schemmerhofen keine Unterschiede, sodass anzunehmen ist, dass alle derselben Eiszeit angehören. Gemäß der Höhenlage können auch morphostratigraphisch alle drei Terrassen als Hochterrassen dem Doppelwall-Riss zugeordnet werden (Abb. 11). Demnach dürfte die Terrasse von Äpfingen nicht mehr mit dem Jungriß zu verknüpfen sein. Dabei wird davon ausgegangen, dass Jungriß keine eigenständige Vergletscherung darstellt. Dieses bekundet wohl eine interne, stadiale

**Quartärgeologisches Sammelprofil der Kiesgrube  
Bittelschiess/Krauchenwies südlich Sigmaringen**  
nicht maßstäblich      Grundlage Bibus & Kösel 1996

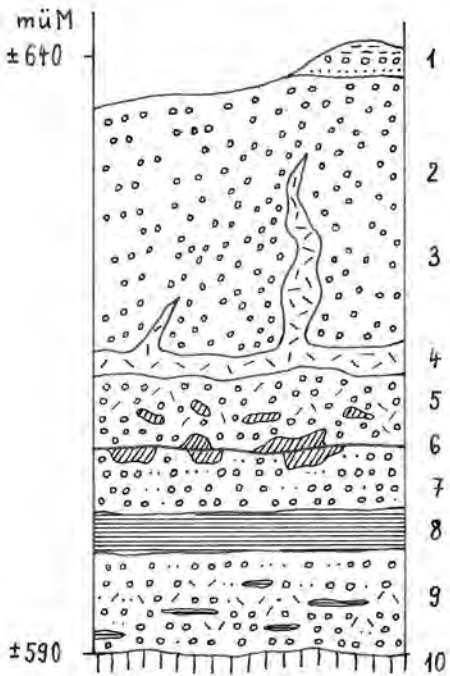


Abb. 12: Geologische Abfolge in der Kiesgrube Bittelschiess im Randbereich der Riss-Vergletscherung südöstlich Sigmaringen (umgezeichnet nach BIBUS & KÖSEL 1996). Auswertung siehe Tabelle.

Fig. 12: Geological record of the Bittelschiess gravel pit near the margin of the Riss glaciation southeast of Sigmaringen (re-drawn after BIBUS & KÖSEL 1996). Analysis see table.

Eisrandlage des Doppelwall-Riss. Riss wird in dieser Arbeit generell als ein einziges Grossglazial aufgefasst, indem zwischen Zungenriss und Doppelwall-Riss sowie zwischen Doppelwall-Riss und Jungriß Interstadiale angenommen werden (SCHREINER 1992). Von Interglazialen, wozu keine Nachweise vorhanden sind, wird abgesehen.

Wie Schemmerhofen und Assmannshardt wird die Baltringer Terrasse (Abb. 11) von SCHREINER (1996) morphostratigraphisch dem Doppelwall-Riss als Obere Hochterrasse zugeordnet. Da wie oben dargelegt die Äpfinger Terrasse (13 m-Terrasse) als Obere Hochterrasse aufgefasst werden kann, wird die Baltringer Terrasse um einen Glazialzyklus älter. Diese Auffassung wird durch die Untersuchungen von BIBUS & KÖSEL (1996, 2001) sowie von MIARA et al. (1996) bestätigt, indem zwei fossile Böden, repetitive ein fossiler Boden und eine Kiesverwitterung übereinander bestimmt werden konnten. Bei Baltringen kann unter Annahme von zwei Paläoböden der obere als Eem-zeitlich, der untere als um ein Interglazial älter angesehen werden. Der Schotterkörper müsste dementsprechend eine Eiszeit älter sein als Riss, wobei aber dazu keine Eisrandlage im Rissstal bekannt ist. Das ältere Riss scheidet als stadialer Eisrand von Riss und nicht eigenständiges Glazial aus.

Auffallend ist, dass gemäß der geologischen Übersichtskarte des Iller-Riss-Gebiets (WEIDENBACH et al. 1988) nördlich von Baltringen keine oberen Hochterrassen vorkommen, hingegen die 13 m-Terrasse des Jungriß bis Ulm deutlich zu verfolgen ist. Würde diese Terrasse dem Doppelwall-Riss zugeordnet, wie oben dargelegt, ergäbe sich eine der Mächtigkeit und Bedeutung des Doppelwall-Riss entsprechende Sander-Schüttung. Baltringen wäre dann ein Rest der nicht vollständig ausgeräumten oberen Hochterrasse eines um eine Eiszeit älteren Glazials.

Die zugehörige Vergletscherung hat offenbar die Über-

**Auswertung Profil KG Bittelschiess [Abb. 12]**

Lithologie	Genetische Interpretation	Glazialchronologie gemäß BIBUS & KÖSEL 1996 ELLWANGER et al. 2011a	Glazialchronologie gemäß Autor
1 Rinnenkies, Feinsand, Silt	Toteisloch-Füllung, Formumkehr		Riss-Spätglazial
2 Schotter, z. T. gestaucht	Eisrandnahe Schotter, glazial-tektonisch gestört	Doppelwall-Riss [Innenwall]	Riss-Glazial, jüngerer Teil [Innenwall-Riss?]
3 in Kiese eingearbeitete Diamikte	durch Eisdruk hochgepresste Moräne	Paulter Schwankung	
4 Moräne, Diamikt	basale Moräne, Eisüberfahrung	Doppelwall-Riss [Außenwall]	Riss-Glazial, älterer Teil [Außenwall-Riss?]
5 Schotter mit Bodenfetzen und Diamikten	eisrandnah, eingearbeitete Bodenteile und Diamikte		Vorstoß Riss-Gletscher
6 Diskordanz mit Paläobodenresten	Bodenrelikt, diskordant abgeschnitten		IG Meikirch
7 Schotter und Sande	Proglaziale, eisferne Schüttung	Älteres Riss	Schotter Habsburg-Glazial
8 Warvenartige Beckentone	Beckensedimente, warmzeital. Flora	IG Holstein	IG Holstein
9 Schotter mit eingearbeiteten Diamikten und Lehmen	Basale Ablagerungen bei Gletscherpräsenz	Hosskirch-Glazial	GRG Mindel [Größtes Rheinisches Glazial]
10 Molasse, USM	Glazial bearbeiteter Felsboden		Felsüberprägung im GRG Mindel

laufschwelle aus dem Bodenseebecken zur Donau nicht überschritten, hingegen könnten Schmelzwässer nach Norden durch das Risstal abgeflossen sein (Kap. 5.1). Dabei wäre es zur Schüttung eines Hochterrassensystems gekommen, dessen von späterer Erosion verschonter Rest sich in der Hochterrasse von Baltringen erhalten hat (Abb. 11). Diese drittletzte Eiszeit hätte gemäß den Erkenntnissen im Raum Schaffhausen (GRAF 2009a, KELLER & KRAYSS 2010) in etwa die Ausmaße von Würm erreicht und könnte als die diskutierte Habsburg-Vergletscherung angesehen werden. Da sie den Beckenrand nicht überschritten und ihre glazialen Bildungen von den nachfolgenden Riss-Gletschern weitflächig überfahren wurden, konnte sie im nördlichen und östlichen Rheingletschergebiet bisher nirgends direkt erkannt und nachgewiesen werden. In der Nordschweiz hingegen ist sie fassbar und in ihren Frontlagen rekonstruierbar (Abb. 10). Ihr nachgeschaltet ist das Interglazial von Meikirch anzunehmen (PREUSSER et al. 2005), dem der untere Boden von Baltringen zugewiesen werden könnte.

Im Biberach-Rissgebiet müsste gemäß diesen Erkenntnissen und Überlegungen folgende Glazial-Gliederung angenommen werden (Abb. 11):

<u>Bisher</u>	<u>Neu</u>	<u>Terrassenstratigraphie</u>	<u>Interglaziale</u>
Würm	Würm	Niederterrasse	
Riss: Jungriss Doppelwall-Riss Zungenriss	Riss	Untere Hochterrasse: 13 m-Terrasse Äpfingen sowie Obere Hochterr., z. B. Schemmerhofen	Eem: Paläoböden von Äpfingen und Schemmerhofen, oberer von Baltringen
---	Habsburg	Obere Hochterrasse: Terrasse von Baltringen	Meikirch: Unterer Paläo- boden von Baltringen

### Krauchenwies/Bittelschiess

Die große Kiesgrube Bittelschiess bietet seit Jahrzehnten Einblicke in eine sehr differenzierte Sedimentabfolge bei einer Abbautiefe von über 50 m. Sie wurde insbesondere von ELLWANGER (1990), ELLWANGER et al. (1995, 1999) und BIBUS & KÖSEL (1996, 2001) eingehend untersucht. In ihren Publikationen kamen die Bearbeiter zum Schluss, dass sich in den Ablagerungen die Mehrphasigkeit von Riss, untergliedert durch Interglaziale oder Interstadiale manifestiere. Aus Untersuchungen von Bludau (schriftl. Mitt. in BIBUS & KÖSEL 1996) geht hervor, dass das kräftige Band der Beckentone ein vollständiges Interglazial umfasst, gekennzeichnet durch *Pterocarya* und *Buxus*.

### Diskussion und Interpretation

Das in BIBUS & KÖSEL (1996) in ihrer Abb. 10 dargestellte Gesamtprofil kann aufgrund der Einführung des bisher im nördlichen Bodenseeraum nicht festgestellten Habsburg-Glazials sowie des Meikirch-Interglazials (KELLER & KRAYSS 2010) neu interpretiert werden (Abb. 12).

Das in den Beckentonnen identifizierte Interglazial ist mit Holstein gleichzusetzen, weshalb die liegenden Kiese und Diamikte älter sein müssen, das heißt sie sind nach den Erkenntnissen in der Nordschweiz dem GRG zuzuordnen. Auch ELLWANGER et al. (2011a) vertreten die Zuordnung zum größten Glazial, das sie als Hosskirch bezeichnen (Kap. 4.1).

Davon ausgehend sind die über den Beckentonnen liegenden Schotter als jünger zu betrachten, wobei auffällt, dass in diesem Paket keine Diamikte vorhanden sind, also wohl keine Eisüberfahrt erfolgt ist (Abb. 12). Die in der Nordschweiz erkannte Habsburg-Vergletscherung, die auf das Holstein-Interglazial folgte (KELLER & KRAYSS 2010), erreichte höchstens die räumlichen Ausmaße wie Würm. Daher kann auch für Bittelschiess damit gerechnet werden, dass in diesem Glazial höchstens Schmelzwässer aus dem Raum Pfullendorf zur Donau übergelaufen sind und den besagten Schotter zur Ablagerung gebracht haben (Abb. 10).

Entlang der darüber folgenden Diskordanz finden sich Reste eines Paläobodens, der ein nächstes Interglazial ausweist. Dieses dürfte das Meikirch-Interglazial repräsentieren, nicht aber das Eem, denn die hangenden, mächtigen Schotter, die zum Teil Moräne enthalten, können in dieser geographi-

schen und topographischen Lage nicht Würm sein. Die bis 40 m umfassenden oberen Schotter mit teils hochgepresster Moräne sind dem Riss-Glazial zuzuordnen, deren Gletscher bis an die Donau vorstießen.

Differenziertere Erklärungen zu den Sedimentabfolgen und Bewertungen der komplexen Verhältnisse je nach Standort innerhalb des mächtigen Aufschlusses geben ELLWANGER et al. (2011a).

### 5.3 Intraglazialbereich des nördlichen Bodenseebeckens

#### Hosskircher Becken

Aus dem hauptsächlich nordgerichteten Schussenbecken zweigt das Nebenbecken von Hosskirch nach Nordwesten ab und zielt Richtung Ostrach, dem Übergang und Überlauf zum Donaugebiet. Etliche Tiefbohrungen wurden zur Erkundung der Beckenstruktur und der Sedimentfüllung niedergebracht. Anlass war die Suche nach geeigneten Zonen für Deponiestandorte. Die Auswertungen im Hinblick auf die

Lithologie und Chronologie der Quartärsedimente sind publiziert in ELLWANGER (1990, 1995), ELLWANGER et al. (1995, 1999). Es ergab sich eine mehrphasige, teils diamiktische, teils kiesig-sandige Abfolge mit eingeschalteten warmzeitlichen Bildungen. Nachgewiesen wurden aufgrund der Pollenanalyse von Bludau (zitiert in ELLWANGER et al. 1995) eine Buchen-Warmzeit, ein weiteres Interglazial, das jünger als Holstein, aber älter als Eem ist, sowie das Holstein-Interglazial. ELLWANGER konnte auch zeigen, dass das Hosskirch-Becken quer zu einem Strang der jüngeren, tieferen Deckenschotter angelegt ist und somit als solches jünger sein muss. In seiner jüngsten Publikation korrigiert Ellwanger (ELLWANGER et al. 2011a) die Pfefferbichl-Warmzeit in Eem und das ältere Riss in Hosskirch (Abb. 13, Auswertung).

### Diskussion und Interpretation

Der Vergleich des Hosskirch-Beckens mit den Nordschweizer Becken (KELLER & KRAYSS 2010) ergibt einen gleichartigen lithostratigraphischen Aufbau, der eine Korrelation mit der dort erkannten Chronostratigraphie ermöglicht. Im Hosskirch-Becken, dessen Sedimente sehr genau untersucht worden sind (ELLWANGER 1990, 1995, ELLWANGER et al. 2011a), sind die Indizien für die postulierte Habsburg-Vergletscherung besonders überzeugend. Die Basis-Diamikte direkt über dem Beckenboden sind der Größten Vergletscherung zuzuordnen, die im Zuge der Beckenausschürfung zum Absatz kamen, was gemäss ELLWANGER et al. (2011b) „Hosskirch“ entspricht. Die darüber anschließenden Feinsedimente enthalten nach Bludau (zitiert in ELLWANGER et al. 2011a) das Holstein-Interglazial. Im Hangenden folgt ein Diamikt, der das Habsburg-Glazial widerspiegeln dürfte, dessen Gletscher das Hosskirch-Becken zwar noch überfahren, jedoch das Donau-Hochgebiet nicht mehr erreicht haben (Abb. 10). In den überlagernden Feinsedimenten findet sich gemäss Bludau ein nicht klar definierbares Interglazial, das das Meikirch-Interglazial repräsentieren dürfte. Im Hangenden folgt Moräne, die das gesamte Riss-Glazial widerspiegelt, indem Riss im Gegensatz zu ELLWANGER et. al. (1999) als eine einzige Großvergletscherung aufgefasst wird (siehe Abschnitt Risstal-Biberach). Zwischen die liegende und die hangende, oberste Moräne greifen Feinsedimente ein, in denen durch Bludau die Buchen-Warmzeit festgestellt wurde. Sie kann als eine post-Eem-Warmzeit stellvertretend für das Eem angesehen werden, das hier in der typischen Ausprägung offenbar fehlt. Die abschließenden, die Oberfläche bildenden Moränen sind Teil der würmzeitlichen Gletscherfront.

### Taubenried bei Pfullendorf

Ausstrahlend vom Pfrunger Ried erstreckt sich östlich Pfullendorf ein kleines Zweigbecken nach Nordwesten, das Taubenried. Es unterscheidet den Außenmoränenkranz der Würm-Maximalvergletscherung. Dieses Becken ist in seiner Tiefe und in seiner Sedimentfüllung anhand von Bohrungen, die von ELLWANGER (1990) ausgewertet worden sind, bekannt geworden. ELLWANGER erkennt darin drei glaziale Sequenzen, die er dem Doppelwall-Riss, dem Jungriß und dem Würm zuweist, wobei er die Beckenausräumung im Unteren Riss sieht (Abb. 14, Auswertung).

### Diskussion und Interpretation

Das wenig westlich von Hosskirch gelegene Taubenried-Be-

### Quartärgeologisches Profil durch das Hosskirch-Becken südöstlich Saulgau aufgezeichnet nach Ellwanger 1995, 2011a Pollenanalyse Bludau

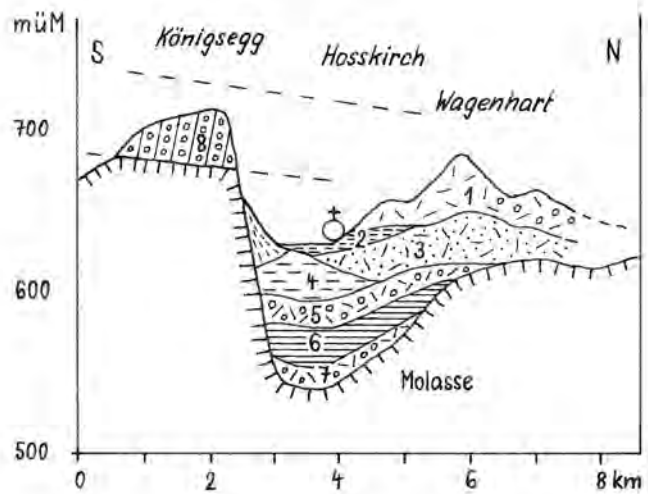


Abb. 13: Geologischer Querschnitt durch das Becken von Hosskirch bei Saulgau (nach ELLWANGER 2011a). Auswertung siehe Tabelle.

Fig. 13: Geological cross section through the Hosskirch basin near Saulgau (based on ELLWANGER 2011a). Analysis see table.

cken kann entsprechend zu dort interpretiert werden, wobei allerdings infolge Mangels an Zeitmarken (Bodenbildungen, Pollenanalyse) Spielraum für Zuweisungen offenbleibt. Die Beckenausräumung ist wie vielenorts im Zusammenhang mit der Größten Vergletscherung GRG zu sehen. Die basalen Sande können als vermutlich eisfreie Periode dem Holstein-Interglazial entsprechen. Darüber anschließende Schotter (Vorstoßschotter) werden von Moräne überlagert. Diese Sequenz könnte im Habsburg-Glazial eingestuft werden, da in dieser mit Hosskirch vergleichbaren geographischen Lage diese Vergletscherung das Becken noch überfahren haben müsste (Abb. 10).

Die über 20 m mächtigen, hangenden OSM-Sande scheinen, wie es von ELLWANGER (1990) angenommen wird, eine bedeutende Zeitspanne mit Eisfreiheit auszuweisen, was dem Meikirch-Interglazial entsprechen würde. Darüber abgelagerte Diamikte und Schotter enthalten wahrscheinlich die gesamte Riss-Eiszeit, deren Eisrandlagen (Doppelwall-Riss, aber auch Jungriß) weiter nördlich zu finden sind. In der östlicheren Bohrung angetroffene Verwitterungslehme sind entsprechend Ellwanger Indizien für das nächst jüngere Interglazial Eem. Sie werden überdeckt von Seesedimenten als Übergang zum folgenden Glazial, das durch Moräne belegt ist, die ihrerseits als Würm-Ablagerungen anzusprechen sind. Die westliche Bohrung liegt bereits ausserhalb der würmmaximalen Frontwälle und durchstösst die Sanderkieße der Niederterrasse.

### Wattenweiler östlich Schussenried

Unterstützt von einer Profildarstellung beschreibt ELLWANGER (1995) eine Bohrung bei Wattenweiler, die knapp innerhalb der Wälle des Würm-Maximums abgeteuft wurde. Er stellt über einem markanten Hiatus zuerst Schotter und da-

### Auswertung Profil Hosskirch [Abb. 13]

Lithologie	Genetische Interpretation	Glazialchronologie gemäß ELLWANGER 1990 (2011a)	Glazialchronologie gemäß Autor
1 Moräne und Kiese	Frontaler Moränenwall	Würm-Eiszeit, LGM	Würm-Glazial
2 Feinsedimente mit warmzeitlicher Flora	Interglazial; gemäß Bludau „Buchen-Warmzeit“	IG „Buchen-Warmzeit“	IG [Eem fehlt]
3 Diamikte, Grundmoräne	Moränendecke, Eisüberfahrung	Jungriss-Vergletscherung	gesamtes Riss-Glazial
4 Feinsande und Silte, warmzeitliche Flora	Älteres Interglazial, jünger als Holstein gemäß Bludau	Warmzeit Typ „Pfefferbichl“ [oder Eem-Interglazial?]	IG Meikirch
5 Konsolidierte Diamikte	Moräne eines Gletschervorstoßes	Doppelwall-Riss	Habsburg-Glazial
6 Feinsedimente mit warmzeitlicher Flora	Älteres Interglazial vom Typ Holstein	Samerberg-Holstein-Warmzeit	IG Holstein
7 stark konsolidierte Diamikte	Vergletscherung mit Beckenbildung und basaler Moräne	Älteres Riss [Hosskirch]	GRG [Größtes Rheinisches Glazial]
8 Verkittete Schotter	Tieferer Deckenschotter	Mindel-Deckenschotter	Jüngstes DS-Glazial

über mehrere Diamiktserien fest, die er gesamthaft einem Eisvorstoß der frühen Würm-Eiszeit zuordnet. Darüber lagern Feinsedimente mit einer warmzeitlichen Flora (Buchenwaldzeit gemäß Bludau zitiert in ELLWANGER 1995). Erst im Hangenden nimmt Ellwanger das Hochwürm an, repräsentiert durch Diamikte, Kiese und Sande (Abb. 15).

Unter dem Hiatus finden sich Diamikte unterlagert von Feinsedimenten, in denen Bludau eine Warmzeit vom Typ Samerberg-Holstein nachweisen konnte. Schliesslich folgen im Liegenden um die 30 m Diamikte bis zur anstehenden Molasse. Diese gesamte Sequenz positioniert Ellwanger im älteren und im Doppelwall-Riss, wobei er Riss in zwei eigenständige Eiszeiten, getrennt durch ein Interglazial, unterteilt.

### Diskussion und Interpretation

Für die Beckenbildung und die basalen Diamikte ist die Vergletscherung des GRG = Hosskirch anzunehmen, folgt doch darüber das Holstein-Interglazial (Abb. 15). Die hangenden Diamikte sind dann Zeugen eines nächst jüngeren Glazials, das als Habsburg anzusprechen wäre, ausgehend von der Erkenntnis, dass diese Vergletscherung ausdehnungsmässig in etwa dem Würm entspricht und damit Wattenweiler noch erreicht haben müsste (Abb. 10). Der Hiatus dürfte dem vor dem nächsten glazialen Zyklus fehlenden Interglazial Meikirch entsprechen. Die Schotter und Diamikte über dem Hiatus sind somit ins Riss zu stellen, das mehrere Eisrandlagen mit wohl größeren Oszillationen aufweist, die sich in den verschiedenen Diamikten äußern.

Es sind zwar ein, eventuell zwei Frühwürm-Gletschervorstoße bekannt (SCHLÜCHTER et al. 1987, WINISTORF 1987, KELLER & KRAYSS 1998, PREUSSER 1999), die aber bedeutend geringere Ausmasse hatten als die Hochwürm-Vergletscherung. Wattenweiler in Frontnähe des Würm-Maximums wurde jedenfalls nicht erreicht. Die von ELLWANGER (1995) dem älteren Würm zugeschriebenen Moränenablagerungen über dem Hiatus sind demzufolge als risszeitlich anzusehen. Die in den darüber folgenden Feinsedimenten festgestellte Buchenwarmzeit ersetzt hier das fehlende typische Eem.

In den hangenden Sedimenten inklusive Diamikte ist die Würm-Vergletscherung dokumentiert.

### Singener Becken

Das Singener Becken, die Tiefzone des Hegaus, ist von mittel- und spätpleistozänen Sedimenten erfüllt und umgeben von eisrandlichen Ablagerungen und Wallformen, die überwiegend der Würm-Eiszeit angehören (ERB 1934, SCHREINER 1974). Unter Einbezug von Bohrungen gibt SCHREINER (1992, Abb. 93) eine Übersicht zu den spätpleistozänen, würmzeitlichen Ablagerungen am und im Singener Becken.

Mit einer Serie von Bohrungen wurden in den 1990er Jahren die Teilbecken und deren Füllungen des gesamten Singener Beckens erforscht. SZENKLER & BOCK (1999) untersuchten die Bohrprofile und zeigten auf, dass das Großbecken sich in zahlreiche Teilbecken aufgliedert. Als typisches Beispiel wurde die Kernbohrung 1/1997 Rielasingen-Worblingen litho- und chronostratigraphisch interpretiert (Abb. 16). Es wurden dabei vier Glaziale aufgrund der Diamiklagen ausgeschieden und vier Eiszeiten zugeordnet, wobei Doppelwall-Riss und Jungriss als eigenständige Glaziale aufgefasst werden. In einer anderen Bohrung wurden basal umgelagerte Pollen eines älteren Interglazials (süddeutsches Cromer) gefunden. In den Basissedimenten einer weiteren Bohrung konnten für die Warmzeit vom Typ Samerberg-Holstein charakteristische Pollen identifiziert werden (SZENKLER & BOCK 1999, mündl. Mitt. Bludau).

### Diskussion und Interpretation

In Übereinstimmung mit SZENKLER & BOCK (1999) wird die Beckenbildung zusammen mit dem basalen Till in die Größte Vergletscherung = Hosskirch gestellt, gestützt auf die Pollenfunde (mündl. Mitt. Bludau). Hingegen können die zwei nahe beieinander liegenden, über einem Sand-Kies-Horizont folgenden Moränenhorizonte (Till) zwangslässig in die Habsburg-Eiszeit eingestuft werden, umso mehr als darüber eine durch Sande und Silte ausgewiesene Seenphase anschließt, die für das Spät- und Post-Habsburg charakteristisch ist.

# Quartärgeol. Profil Taubenried östl. Pfullendorf

nach Ellwanger 1990

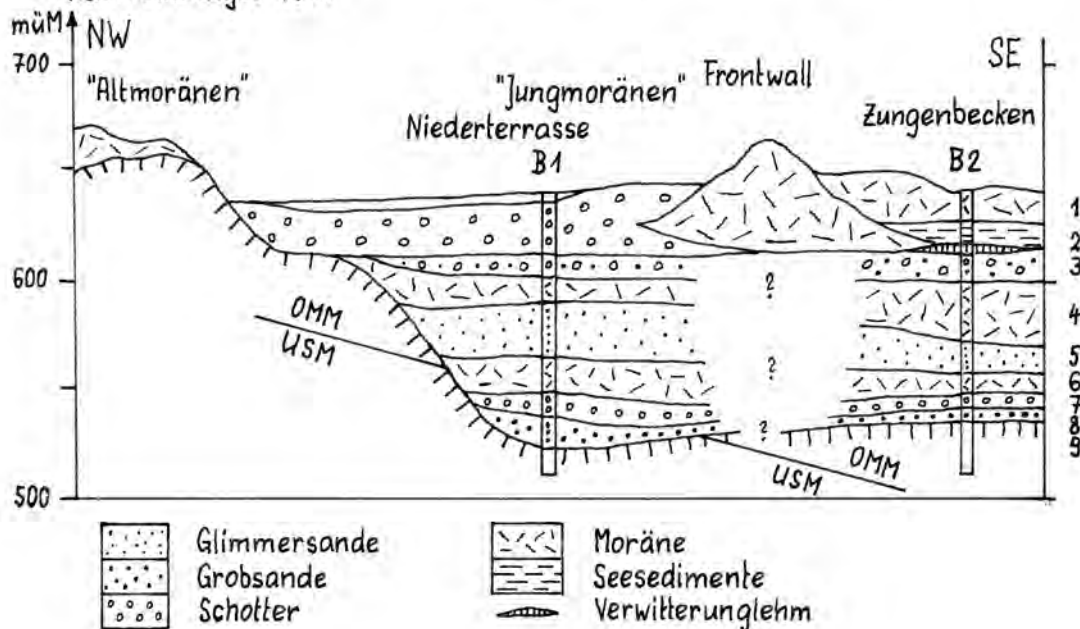


Abb. 14: Geologischer Querschnitt durch das Taubenried-Becken östlich Pfullendorf (nach ELLWANGER 1990). Auswertung siehe Tabelle.

Fig. 14: Geological cross section through the Taubenried basin in the east of Pfullendorf (based on ELLWANGER 1990). Analysis see table.

## Auswertung Profil Taubenried (Abb. 14)

Lithologie	Genetische Interpretation	Glazialchronologie gemäss ELLWANGER 1990	Glazialchronologie gemäss Autor
1 Diamikt, Moräne, im W Kiese	Grund- und Obermoräne, Gletscherfront, im W Sander	Würm-Eiszeit, Maximalstand	Würm-Glazial, Würm-Maximum
2 Feinsedimente, Verwitterungslehm	Stillwasser-Sedimente, basal Verwitterung warmzeitlich	Warmzeit, Eem	IG Eem
3 Grobsande, Kiese	Aufschüttung nach Eisfreigabe	Rückschmelz-Sequenz	Spättriss
4 Diamikt	Grundmoräne einer Eisüberfahrung	Jungriss-Vergletscherung	Riss-Glazial
5 Glimmersande	umgelagerte Sande, eisfreie Periode	eisfrei, Warmzeit	IG Meikirch
6 Diamikt	Grundmoräne, Eisüberfahrung	Mittelriss-Vergletscherung	Habsburg-Glazial
7 Kiese	Vorstossschotter	Vorstoss Riss-Gletscher	Vorstoss Habsburg-Gletscher
8 Sande und Grobsande	Stillwasser-Sedimente	eisfreie Periode	Warmzeit, IG Holstein
9 Molasse-Felsbett	Exariertes Glazialbecken	Beckenbildung im Älteren Riss	Beckenausschürfung im GRG

(KELLER & KRAYSS 2010). Damit sind die mehrfachen Diamikte des mittleren Profilabschnittes nicht nur Jungriss, sondern dürften das gesamte Riss umfassen. Dabei wird davon ausgegangen, dass, wie oben gezeigt, der gesamte Riss-Komplex ein einziges Glazial darstellt. Abschließend folgen noch unzweifelhafte Würm-Moränen.

## 5.4 Ausblick zum Illergletscher

Wenn das Habsburg-Glazial in der Nordschweiz als gesichert

gelten kann (GRAF 2009a, KELLER & KRAYSS 2010) und nun auch im nördlichen Rheingletschergebiet eine Reihe Indizien dafür spricht, so müssen auch beim östlichen Nachbarn des Rheingletschers, beim Illergletscher, Hinweise für ein Glazial, das sich zwischen das größte Glazial, hier Mindel, und die Riss-Eiszeit einschiebt, zu finden sein.

Penck (PENCK & BRÜCKNER 1909) hat im Illergletscher-Vorland aufgrund der Höhenlagen der Schotterfelder Riss und Würm morphostratigraphisch erfasst und definiert. Dabei erkannte er zwar die ungleichen Niveaus des Hitzenho-

## Bohrprofil Wattenweiler östl. Schussenried umgezeichneter Auszug aus Ellwanger 1995

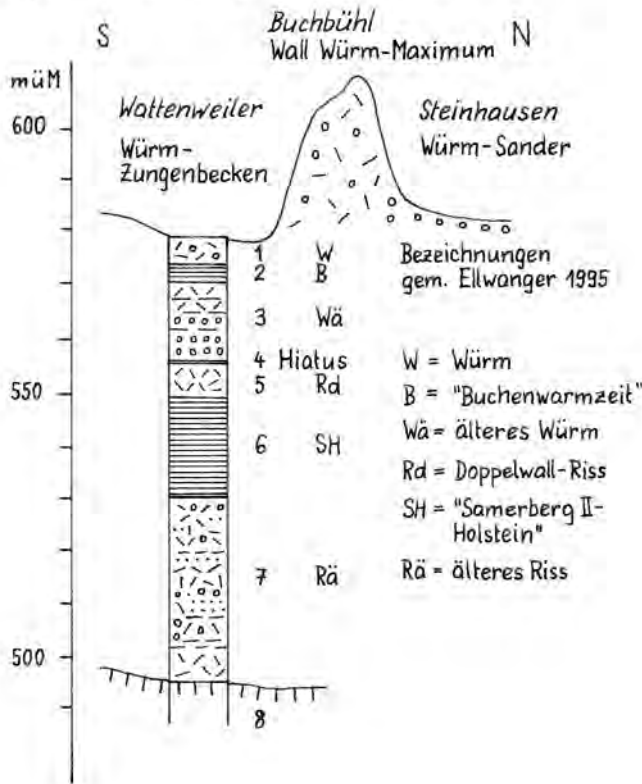


Abb. 15: Geologisches Profil der Bohrung Wattenweiler östlich Schussenried (umgezeichnet nach ELLWANGER et al. 1995). Auswertung siehe Tabelle.

Fig. 15: Geological profile of the Wattenweiler drilling in the east of Schussenried (re-drawn after ELLWANGER et al. 1995). Analysis see table.

fer Feldes und des Zeller-Hawanger Feldes (Abb. 17) sowie die verschiedenen Abflussbahnen aus dem Vergletscherungsraum über diese Schotterfelder. Er wies aber beide Systeme derselben Eiszeit, der Riss-Eiszeit zu. RÖGNER (1998) unterschied im Raum Memmingen vier Felder, die er entsprechend auch vier Eiszeiten zuordnete.

Auf dem Hitzenhofer Feld (Abb. 17) wurde von BIBUS (1995) bei drei Höfen je ein fossiler Boden erkannt, wobei beim Hof Baltes unter dem ersten fossilen Boden eine direkt folgende Kiesverwitterung als unsicherer zweiter fossiler Boden beschrieben wird. Hingegen weist das Hawanger Feld nach BIBUS an zwei Stellen je zwei fossile Böden über einander auf.

### Diskussion und Interpretation

Aufgrund von Penck's Konzept der treppenweisen Eintiefung und Einschachtelung der jüngeren Schotterfelder jeder Eiszeit in die älteren müsste dem Zeller-Hawanger Feld eine eigene Eiszeit zugewiesen werden (Vergleiche auch ELLWANGER 1988).

Aufgrund der Befunde bei den Nordschweizer Gletschern sowie beim Rheingletscher kann die Aussengrenze einer Habsburg-Vergletscherung auch beim Illergletscher maximal die Ausdehnung von Würm erreicht haben. Darauf basierend erklärt sich das Fehlen eines Endmoränensystems, an dem das Zeller-Hawanger Feld wurzelt, zwangslös, wenn von einer Vergletscherung ausgegangen wird, die intern im Illerbecken endete und deren Zeugen von den nachfolgenden Riss- und Würmgletschern ausgemerzt oder eingedeckt wurden sind (Abb. 9).

Für das Hitzenhofer Feld ergibt sich gemäß BIBUS (1995) an drei Lokalitäten je ein sicherer fossiler Boden, was für die Bildung der Terrassenkiese in der zweitletzten Eiszeit Riss

### Auswertung Bohrung Wattenweiler (Abb. 15)

Lithologie	Genetische Interpretation	Glazialchronologie gemäß ELLWANGER 1995	Glazialchronologie gemäß Autor
1 Diamikte, darin eingebettet Kiese und Sande	Eisrandnahe Grund- und Ober-Moräne mit Schottern und Sanden	Würm-Eiszeit, nahe Würm-Maximum	Würm-Glazial: Würm-Maximum
2 Feinsedimente mit Warmzeitlicher Flora	Interglaziale Seesedimente mit „Buchenwarmzeit“	Buchenwarmzeit als Frühwürm-Interstadial	Warmzeit; Eem fehlt
3 Schotter, darüber mehrere Diamikt-Horizonte	Vorstosschotter, überlagert mit Moränen und Schotterlagen; Eisüberfahrung	Eisvorstoß im frühen Würm: „Älteres Würm“	Riss-Glazial: gesamtes Riss mit Interstadialen
4 Hiatus, Diskordanz	durch Eisvorstoß abgescherte Sedimente? Vermutlich Warmzeit	Hiatus	Diskordanz. Vermutlich IG Meikirch erodiert
5 Diamikte, stark konsolidiert	Grundmoräne einer Gletscher-Überfahrung; konsolidiert infolge Überlagerung und Eisdruk	Gletscher-Vorstoß von Doppelwall-Riss als eigenständiges Glazial	Habsburg-Glazial
6 Feinsedimente, Silte, Ton	Mächtige Seesedimente, Beckenfüllung; Interglaziale Flora vom Typ Holstein mit <i>Pterocarya</i>	Holstein- Interglazial, trennt Älteres Riss vom Doppelwall-Riss	IG Holstein
7 Diamikte, stark konsolidiert, mit Einbettung von Sanden, Silten, Kieslagen	Wechsellagerung von Grundmoräne und kiesigen Horizonten; durch Überlagerung konsolidiert	Gletscher-Vorstoß des Älteren Riss als eigenständiges Glazial	Basale Glazialsedimente des GRG
8 Molassefels der USM	Exariertes glaziales Becken	Becken-Ausschüpfung im Älteren Riss	Beckenausschüpfung durch GRG-Gletscher

spricht. Die Schüttung des Hawanger Feldes mit zwei fossilen Böden übereinander ist in die drittletzte Eiszeit zu legen, nach bisheriger Meinung die Riss 1-Vergletscherung. Nach der hier vertretenen Ansicht, die nur von einer einzigen Riss-Eiszeit ausgeht (siehe Risstal-Biberach, Kap. 5.2), kann dieses drittletzte Glazial der postulierten Habsburg-Vergletscherung entsprechen, die sich mit dem unteren fossilen Boden als Interglazial-Zeuge klar von Riss absetzt. Damit ist das Zeller-Hawanger Feld nicht in das gleiche Glazial einzustufen wie das Riss-zeitliche Hitzenhofer Feld, vielmehr ist anzunehmen, dass es der nächst älteren Eiszeit, dem Habsburg-Glazial mit dem Status eines eigenständigen Glaziels, angehört.

## 6 Charakteristik der Glaziale im nördlichen Rheingletschergebiet

Die folgende Kurzbeschreibung geht von den vorstehend dargelegten Befunden und Indizien für vier mittel- und spätpleistozäne Glaziale aus. Einerseits wird ein Größtes Rheinisches Glazial GRG, nach ELLWANGER (2003) MEG, nach VILLINGER (2011) Hosskirch, das älter als Riss, aber jünger als die jüngeren Deckenschotter einzustufen ist, angenommen (Kap. 4). Anderseits wird bei Akzeptanz der Indizien ein selbständiges Habsburg-Glazial eingeführt, das sich zwischen GRG = Hosskirch und Riss einschiebt (Kap. 5).

### Größtes Rheinisches Glazial GRG = Hosskirch

Eiszeit,

- deren Gletscher in einer „Eisüberflutung“ die größte Ausdehnung aller Vergletscherungen erreichten;
- die für die Ausschürfung des Bodensee-Hauptbeckens und der meisten Nebenbecken verantwortlich ist;
- die auf breiter Front die Donau zwischen Sigmaringen und Riedlingen noch überschritt und zwischen Bussen, Biberach und Aitrach die äußersten Wallmoränen schuf;
- die die einstigen Donauläufe von Sigmaringen bis Riedlingen verschüttete und den heutigen südlicheren Lauf induzierte.

### Habsburg-Glazial

Eiszeit,

- deren Gletscherfront die Wasserscheide Rhein-Donau knapp erreichte, aber nicht mehr überfuhr;
- deren frontale Eisrandbildungen durch die nachfolgenden Eiszeiten überfahren und/oder zerstört wurden;
- deren glaziale Sedimente in den Bodensee-nahen Becken teilweise erhalten blieben oder später ausgeräumt wurden;
- deren Schmelzwässer nebst der Rheinachse nach Westen höchstens während der Maximalvereisung wenige Abflussbahnen zur Donau fanden.

### Riss-Glazial

Eiszeit,

- deren Eisströme über die Rhein-Donau-Wasserscheide hinweg sich ausbreiteten, zwischen Mengen und Riedlingen bis an die Donau reichten und im Raum Riss-Aitrach markante parallele Wälle (Doppelwall-Riss) hinterliessen;
- die innerhalb ihrer Außengrenze umfangreiche glaziale Sedimente zur Ablagerung brachte;
- die verantwortlich ist für den Durchbruch der Aitrach aus dem Leutkircher Becken zur Iller.

## Bohrprofil Rielasingen-Worblingen umgezeichnet nach Szenkler & Bock 1999

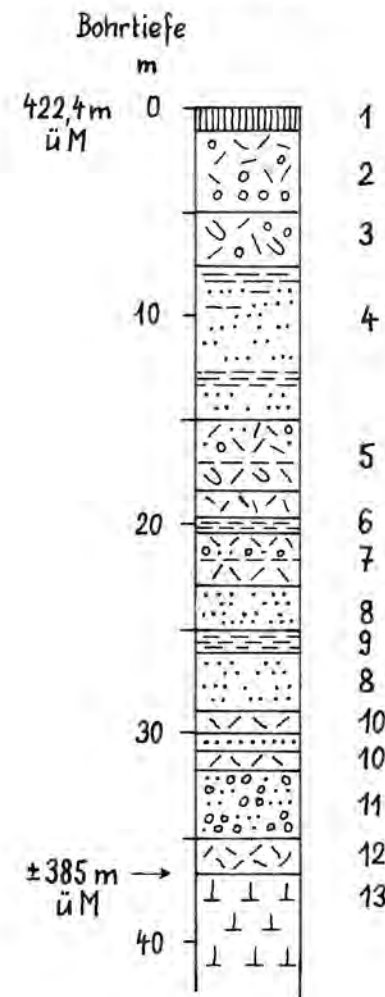


Abb. 16: Geologische Abfolge in der Bohrung Rielasingen-Worblingen, westliches Bodenseebecken (umgezeichnet nach SZENKLER & BOCK 1999). Auswertung siehe Tabelle.

Fig. 16: Geological record of the Rielasingen-Worblingen drilling, western part of the Lake Constance basin (re-drawn after SZENKLER & BOCK 1999). Analysis see table.

- deren Sander im Norden (Donau) und im Nordosten (Riss-Iller) als Hochterrasse in zahlreichen Relikten erhalten sind.

### Würm-Glazial

Eiszeit,

- deren äußerste Zungen bis auf die Wasserscheide Rhein-Donau vorrückten und dort teils mächtige Frontmoränenwälle anhäuften;
- die sich in den Becken in gut erhaltenen Diamikten manifestiert;
- deren Schmelzwässer über zahlreiche Schwellen zwischen Homburg (westlich Messkirch) und Adelegg nordwärts zur Donau und ostwärts zur Iller abflossen;
- in deren Entwässerungsbahnen die Niederterrassen eingeschüttet wurden;
- deren zentraler Eisstrom das Bodenseebecken großenteils ausräumte und beim Abschmelzen den Bodensee entstehen liess.

#### Auswertung Bohrprofil Rielasingen-Worblingen (Abb. 16)

	Lithologie	Genetische Interpretation	Glazialchronologie gemäß SZENKLER & BOCK 1999	Glazialchronologie gemäß Autor
1	Anthropogen			
2	Diamikt und Schotter	Gletscher-Überfahrung begrenztes Rückschmelzen	Last Glacial Termination	Würm-Glazial [Stein a/Rh-Stadial?]
3	Diamikt mit Umlagerung	Gletscher-Vorstoß und Überfahrung	Last Glacial Maximum	Würm-Glazial [Maximum]
4	Feinsedimente, Sande	See-Sedimente	eisfreie Periode	IG Eem, Seenphase
5	Diamikt Diamikt-Umlagerung	Gletscher-Vorstoß mit Oszillationen	Jungriss	gesamtes Riss-Glazial
6	Ton, Silt			
7	Diamikte			
8	Sande	Stillwassersedimente	eisfreie Periode	IG Meikirch?
9	tonige Feinsedimente	Seesedimente		[ausgeprägte Seenphase]
8	Sande			
10	Till	Gletscher-Vorstoß mit Oszillation	Doppelwall-Riss	Habsburg-Glazial
11	Sande und Kiese	Rückschmelz-Sedimente	eisfrei	IG Holstein? [Hinweise aus anderer Bohrung]
12	Till	Moräne, Eisüberfahrung	Most Extensive Glaciation	GRG [Größtes Rheinisches Glazial]
13	OSM	Molasse-Felsbett		Beckenbildung im GRG

## 7 Schlussfolgerungen und Chronostratigraphie

Aus den in den vorstehenden Kapiteln dargelegten Befunden ergeben sich gute Hinweise darauf, dass im nördlichen Bodenseegebiet für das Mittel- und Spätpleistozän nebst den bekannten Eiszeiten Riss und Würm höchst wahrscheinlich zwei weitere Glaziale anzunehmen sind. Der Zeitraum dieser vier Glaziale beginnt nach der Ablagerung der Tiefenreichen Deckenschotter mit der Umlenkung des Alpenrheins von der Donau zum Oberrhein und der damit verbundenen starken und tiefen Durchtalung im Bodenseeraum und in der Nordschweiz. Die daran anschließenden Eiszeiten führten zur charakteristischen Beckenbildung und zu übertiefen Trögen im Randalpengebiet und im Vorland. Sie können deshalb im Gegensatz zu den Deckenschotter-Eiszeiten als Becken-Eiszeiten bezeichnet werden. Die erste und älteste dieser Eiszeiten und gleichzeitig diejenige mit der größten Ausdehnung ist das Größte Rheinische Glazial GRG, für das in LGRB (2003) die Bezeichnung Hosskirch eingeführt wurde. Für das nächstfolgende Glazial, das im nördlichen Bodenseeraum bis jetzt unbekannt war, in der Nordschweiz aber nachgewiesen ist, das Habsburg-Glazial (GRAF 2009a; KELLER & KRAYSS 2010), konnte eine Reihe von Indizien gefunden werden. Erst daran anschliessend folgen die Riss- und die Würm-Eiszeit.

Die Untersuchungen und Nachforschungen führten zur Erkenntnis, dass im gesamten nördlichen Bodenseeraum eine und dieselbe Vergletscherung die äußerste Grenze der Glazialrelikte hinterlassen hat, die postulierte Vergletscherung des **Größten Rheinischen Glazials GRG** (Kapitel 4).

Sie muss älter sein als Riss, denn es finden sich an einigen Stellen Schotter und glaziale Diamikte liegend unter Ablagerungen der Riss-Eiszeit. Im Nordwesten des Bodenseebeckens wurde bis vor kurzem Riss (Riss nach traditioneller Auffassung) als größte Vergletscherung betrachtet. In Übereinstimmung mit ELLWANGER (2003) und ELLWANGER et al. (2011a) kann gezeigt werden, dass die Riss-Vergletscherungsgrenze, morphologisch und sedimentär begründet, zwischen Homburg (NW Stockach)–Messkirch–Riedlingen deutlich intern der über die Donau hinausreichenden, äußersten Vergletscherungszeugen des GRG liegt.

Der mehrfache Nachweis des Holstein-Interglazials in Sedimenten im Hangenden derjenigen des GRG = Hosskirch, aber im Liegenden der Riss-Ablagerungen, respektive der als Habsburg angesprochenen Sedimente, ermöglicht die Trennung der Glaziale.

Im Nordosten und Osten des Bodenseebeckens sind die externsten Moränendecken und niedrigen Moränenwälle sowie die dazugehörigen Entwässerungsbahnen bisher in die Mindel-Eiszeit gestellt worden. Da diese Vergletscherungszeuge wie im Nordwesten eine ausgedehntere und ältere Eiszeit als Riss belegen, ist auch hier von der Zugehörigkeit zum Größten Rheinischen Glazial GRG auszugehen. Sie weisen zudem dieselben morphologischen Charakteristika auf wie jene. Im Weiteren ergibt die Eiskörper-Rekonstruktion des GRG (Abb. 4) ein plausibles dreidimensionales Bild.

Das Postulat von GRG = Hosskirch im östlichen Rheingletschergebiet als ausgedehnteste Vergletscherung dürfte hier „Mindel“ ablösen mit gravierenden Konsequenzen:

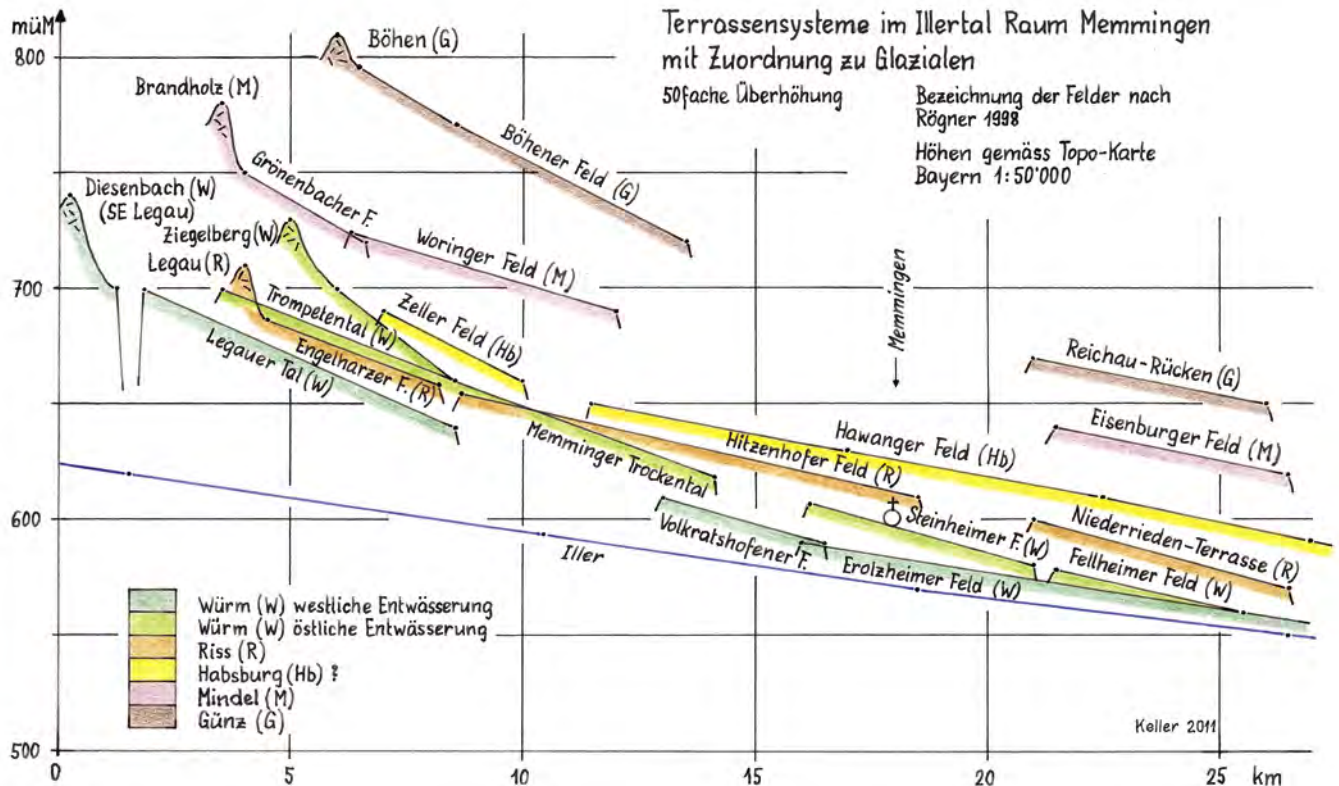


Abb. 17: Abfolge der Sander-Terrassen des Illergletschers im Raum Memmingen; S-N-Projektion.

Fig. 17: Succession of the outwash terraces of the Iller Glacier in the region of Memmingen; S-N-projection.

1. Im Nordosten und Osten des Rheingletscher-Ausbreitungsbereichs würden die als Mindel bekannten Moränen nicht mehr in die Zeit der Deckenschotter fallen, sondern sie wären dem Größten Rheinischen Glazial GRG = Hosskirch als älteste Becken-Eiszeit zuzuweisen.
2. Die bisher mit Mindel verknüpften Schotterstränge zwischen Aitrach und Riss würden zu Sandern des GRG und wären damit nicht mehr Deckenschotter im traditionellen Sinn.
3. Die Haslach-zeitlichen Ablagerungen blieben weiterhin Deckenschotter und zwar wie bisher jüngere Deckenschotter.

Neu ergibt sich folgende zeitlich relative Entwicklung für das Rheingletschergebiet:#

jünger	Größtes Rheinisches Glazial GRG = Hosskirch: Ausschürfung der meisten tiefen Becken, ausgedehnteste Vergletscherung, im NW ehemals Riss, im NE bisher Mindel.  Umlenkung des Alpenrheins und tiefe fluviale Durchtalung
	Jüngerer, (tieferer) Deckenschotter = Haslach-Eiszeit
älter	(Mindel entfällt als Deckenschotter)

Ausgehend vom Nachweis des Habsburg-Glazials in der Nordschweiz (KELLER & KRAYSS 2010; PREUSSER et al. 2011) wurde für das nördliche Bodenseebecken das „Modell eines

Habsburg-Glazials“ aufgestellt mit dem Ziel, stichhaltige Hinweise für diese Eiszeit zu finden (Kapitel 5). Da die räumlichen Ausmaße dieser Vergletscherung in der Nordschweiz in etwa mit denjenigen der Würm-Eiszeit übereinstimmen, wurde für den nördlichen Bodenseeraum eine entsprechende Bandbreite für ein solches Glazial angenommen (Abb. 10), in welchem vorrangig Anzeichen für diese Eiszeit gesucht wurden. Morphologisch in Erscheinung tretende Eisrandbildungen sind nicht zu finden, denn die nachfolgende, weiter reichende Riss-Vergletscherung hat diese überfahren und zerstört oder eingedeckt. Hingegen ergab die Auswertung der bearbeiteten und diskutierten Schlüsselstellen gute Indizien für die angenommene Habsburg-Vergletscherung. Dabei wird von der Akzeptanz einer einzigen Riss-Eiszeit ausgegangen, in der Älteres Riss und Jungriss keine eigenständigen Glaziale sind.

Aus lithostratigraphischen Befunden resultiert die chronologische Einordnung des postulierten Habsburg-Glazials nach dem Größten Rheinischen Glazial GRG = Hosskirch, aber vor der Riss-Eiszeit. Abgesichert wird dies durch die stratigraphische Lage von Paläoböden sowie durch den Nachweis von pollenanalytisch erfassten Interglazialen. Im Liegenden der als Habsburg angesprochenen Sedimente findet sich verschiedentlich das Holstein-Interglazial, im Hangenden ein nicht genauer definierbares Interglazial, das dem Meikirch-Interglazial entsprechen dürfte.

Nachdem zahlreiche lithostratigraphische und/oder morphostratigraphische Indizien und Argumente vorliegen, die im ganzen Rheingletschergebiet das GRG = Hosskirch als ausgedehnteste Vergletscherung und als älteste Becken-Eiszeit ausweisen, die Existenz des Habsburg-Glazials als

# Chronostratigraphie des Mittel- und Spätpleistozäns für die Nordschweiz und das Rheingletschergebiet

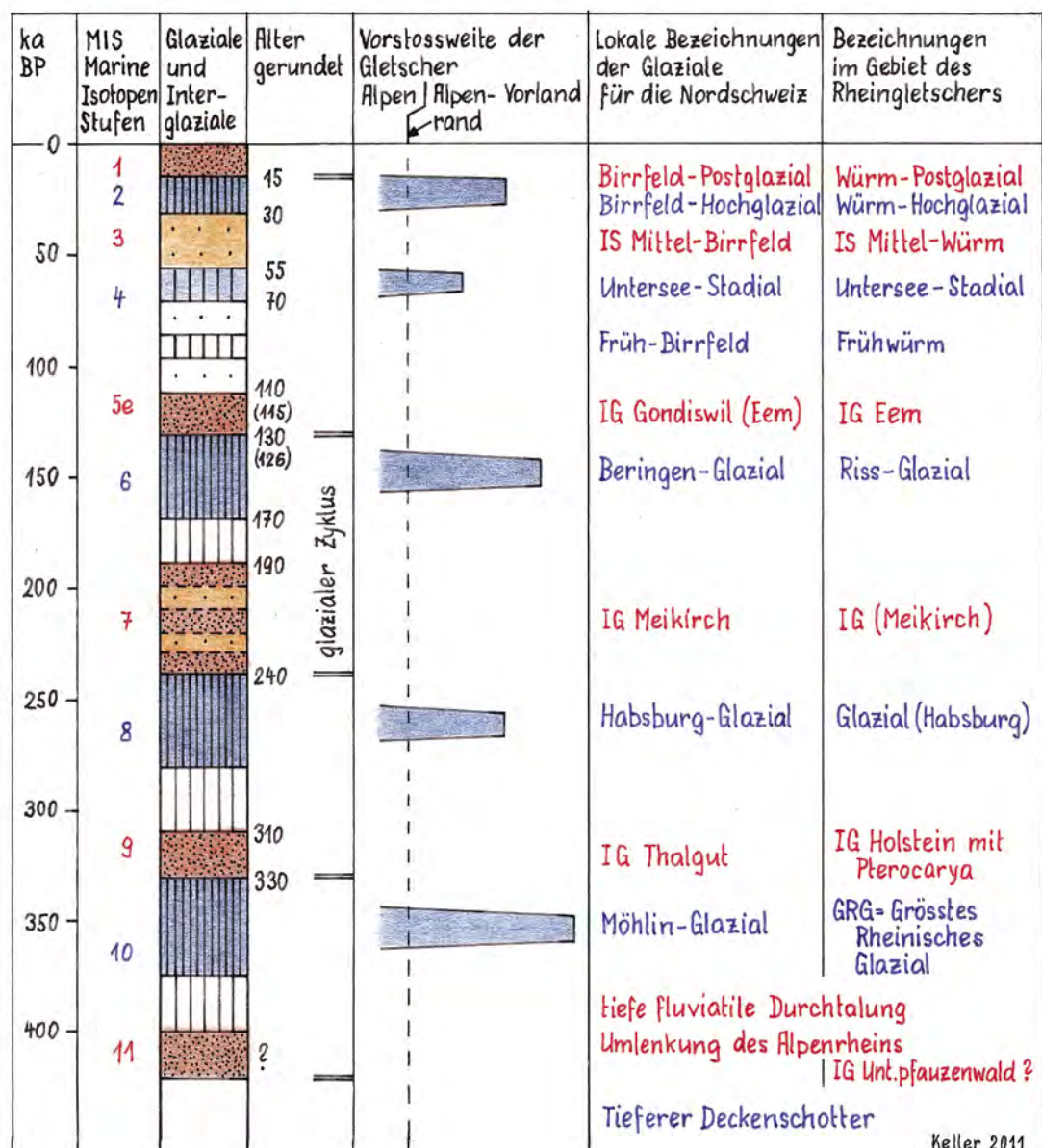


Abb. 18: Chronostratigraphie des Mittel- und Spätpleistozäns der Nordschweiz und des Rheingletschers. Marine Isotopenstufen und Zeitmarken nach LITT et al. (2007) und PREUSSER (2010).

Fig. 18: Chronostratigraphy of the Middle and the Late Pleistocene of Northern Switzerland and of the Rhine Glacier. Marine isotope stages and time marks after LITT et al. (2007) and PREUSSER (2010).

wahrscheinlich erscheinen lassen und die Einstufung dieser Eiszeiten vor der Riss-Eiszeit erfordern, fehlt noch eine Chronostratigraphie. Ausschlaggebend für eine zeitlich absolute Einstufung sind die die Glaziale trennenden Interglaziale. Zeitlich fixiert ist seit längerem das Eem mit 126–110 ka BP, während für das Holstein, noch mit Unsicherheiten behaftet, 320–310 ka BP anzunehmen sind (LITT et al. 2002, 2007). Beide Warmzeiten sind in den Sedimentabfolgen des nördlichen Rheingletschergebiets verschiedentlich nachgewiesen. Das dazwischen liegende Interglazial, das ebenfalls erfasst ist, dürfte dem Meikirch-Interglazial entsprechen, das mit 240–185 ka BP datiert ist (PREUSSER 2010).

Mit diesen Zeitmarken können die Eiszeiten des Mittel- und Spätpleistozäns im nördlichen Bodenseeraum in diesel-

be chronostratigraphische Abfolge eingefügt werden, wie sie in KELLER & KRAYSS (2010) für die Nordschweiz aufgestellt wurde. Sie wird hier in der Abb. 18 nochmals aufgeführt. Demnach erfolgten die Großvergletscherungen der Becken-Eiszeiten während den als Kaltzeiten ausgewiesenen marinen Isotopenstufen: das Größte Rheinische Glazial GRG in der MIS 10, Habsburg in der MIS 8, Riss in der MIS 6 und das Würm-Hochglazial in der MIS 2.

## Danksagung

Der Autor dankt Edgar Krayss für die langjährige intensive Zusammenarbeit, insbesondere für die zahlreichen zu dieser Arbeit eingebrachten wichtigen Beiträge und für die anre-

genden, problembezogenen „Streitgespräche“. Er bedauert, dass E. Krayss, altershalber begründet, von der abschliessenden Mitarbeit Abstand nahm. Besten Dank gebührt auch Dietrich Ellwanger für die fruchtbaren Gespräche und klärenden Diskussionen zum Rheingletscher.

## Literaturverzeichnis

- BENZ, C. (2003): Der würmeiszeitliche Maximalstand. Digitale Rekonstruktion, Modellierung und Analyse mit einem Geographischen Informationssystem. – Dissertation Geographisches Institut Universität Zürich, 180 S.
- BIBUS, E. (1995): Äolische Deckschichten, Paläoböden und Mindestalter der Terrassen in der Iller-Lech-Platte. – *Geologica Bavaria*, 99: 135–164.
- BIBUS, E. & KÖSEL, M. (1996): Paläopedologische Klimazeugen zur Untergliederung des Risseiszeiten Komplexes im Rheingletschergebiet. – Eiszeitalter und Gegenwart, 46: 65–90.
- BIBUS, E. & KÖSEL, M. (2001): Paläoböden von Neufra, Bittelschiess, Baltringen und Rosna. – Unpublizierte Manuskripte der Arbeitsgemeinschaft Alpenvorlandquartär (AGAQ), Tübingen, 7 S.
- DOPPLER, G., KROEMER, E., RÖGNER, K., WALLNER, J., JERZ, H. & GROTENTHALER, W. (2011): Quaternary Stratigraphy of Southern Bavaria. – *E&G Quaternary Science Journal*, 60/2–3: 329–365.
- ELLWANGER, D. (1988): Würmeiszeitliche Rinnen und Schotter bei Leutkirch/Memmingen. – Jahresheft geologisches Landesamt Baden-Württemberg, 30: 207–229.
- ELLWANGER, D. (1990): Zur Riss-Stratigraphie im Andelsbach-Gebiet (Baden-Württemberg). – Jahresheft geologisches Landesamt Baden-Württemberg, 32: 235–245.
- ELLWANGER, D. (2003): Eine landschaftsübergreifende Lockergesteinsgliederung vom Alpenrand zum Hochrhein. – In: SCHIRMER, W. (Ed.): Landschaftsgeschichte im europäischen Rheinland. – *GeoArchäo Rhein*, 4: 81–124.
- ELLWANGER, D., BIBUS, E., BLUDAU, W., KÖSEL, M. & MERKT, J. (1995): Alpenvorland: Oberschwaben, Bodensee und Hochrhein. – In: BENDA, L. (Ed.): Das Quartär Deutschlands. – Deutsche Quartärvereinigung: 258–271.
- ELLWANGER, D., FIEBIG, M. & HEINZ, J. (Pollenanalyse BLUDAU, W.) (1999): Quartärgeologie des mittleren Rheingletschergebietes (Bittelschiess, Höchsten, Hosskirch, Ostrach). – Jahresberichte und Mitteilungen des Oberrheinischen Geologischen Vereins, N.F. 81: 217–230.
- ELLWANGER, D., KIMMIG, B., SIMON, T. & WIELANDT-SCHUSTER, U. (2011a): Quartärgeologie des Rheingletschergebietes (Exkursion I am 29. April 2011). – Jahresberichte und Mitteilungen des Oberrheinischen Geologischen Vereins, N.F. 93: 387–417.
- ELLWANGER, D., WIELANDT-SCHUSTER, U., FRANZ, M. & SIMON, T. (2011b): The Quaternary of the southwest German Alpine Foreland (Bodensee, Oberschwaben, Baden-Württemberg, Southwest Germany). – *E&G Quaternary Science Journal*, 60/2–3: 306–328.
- ERB, L. (1934): Erläuterungen zu Blatt Überlingen und Reichenau. – Geologische Spezialkarte von Baden, 120 S.
- GÖTTLICH, K. & WERNER, J. (1974): Vorrisszeitliche Interglazialvorkommen in der Altmorena des östlichen Rheingletschergebietes. – *Geologisches Jahrbuch*, A18: 49–79.
- GRAF, H. R. (1993): Die Deckenschotter der Zentralen Nordschweiz. – Dissertation ETH Zürich, 151 S.
- GRAF, H. R. (2009a): Stratigraphie von Mittel- und Spätpleistozän in der Nordschweiz. Beiträge zur Geologischen Karte der Schweiz, 168. – Bundesamt für Landestopografie swisstopo; 3084 Wabern.
- GRAF, H. R. (2009b): Stratigraphie und Morphogenese von frühpleistozänen Ablagerungen zwischen Bodensee und Klettgau. – *E&G Quaternary Science Journal*, 58/1: 12–53.
- GRÜGER, E. & SCHREINER, A. (1993): Riss/Würm- und würmzeitliche Ablagerungen im Wurzacher Becken (Rheingletschergebiet). – *N. Jahrbuch Geologie und Paläontologie*, 189: 81–117.
- HAAG, T. (1982): Das Mindelglazial des nördlichen Rheingletschergebietes zwischen Riss und Iller. – Jahresberichte und Mitteilungen des Oberrheinischen Geologischen Vereins, N.F. 64: 225–266.
- HOFMANN, F. (1994): Beobachtungen zur Quartärgeologie des Schaffhauser Klettgaus (Schweiz). – *Eclogae geologicae Helvetiae*, 87/1: 241–263.
- JEANNET, A. (1923): Les charbons feuilletés de la vallée de la Linth entre les lacs de Zurich et de Walenstadt. – In: BAUMBERGER, E., GERBER, E., JEANNET, A. & WEBER, J.: Die diluvialen Schieferkohlen der Schweiz. – Beiträge zur Geologie der Schweiz, geotechnische Serie VIII: 106–370.
- KELLER, O. (1994): Entstehung und Entwicklung des Bodebensees – ein geologischer Lebenslauf. – In: Maurer, H. (Ed.): Umweltwandel am Bodensee. – UVK: 33–92; St. Gallen.
- KELLER, O. (2009): Als der Alpenrhein sich von der Donau zum Oberrhein wandte. – *Schriften des Vereins für Geschichte des Bodensees und seiner Umgebung*, 127: 193–208.
- KELLER, O. & KRAYSS, E. (1982): Methoden zur Rekonstruktion eiszeitlicher Vorland- und Talglatscher. – *Physische Geographie, Geographisches Institut Universität Zürich*, 1: 127–136.
- KELLER, O. & KRAYSS, E. (1993): The Rhine-Linth-Glacier in the Upper Wurm: A model of the last alpine Glaciation. – *Quaternary International*, 18: 15–27.
- KELLER, O. & KRAYSS, E. (1998): Datenlage und Modell einer Rhein-Linth-Vorlandvergletscherung zwischen Eem-Interglazial und Hochwürm: – *GeoArcheoRhein* 2: 121–138; Münster.
- KELLER, O. & KRAYSS, E. (1999): Quartär und Landschaftsgeschichte. – Erläuterungen zur Geologischen Übersichtskarte des Kantons Thurgau. – *Mitteilungen der Thurgauischen Naturforschenden Gesellschaft*, 55: 39–67.
- KELLER, O. & KRAYSS, E. (2005): Der Rhein-Linth-Gletscher im letzten Hochglazial. – *Vierteljahrsschrift der Naturforschenden Gesellschaft in Zürich*, 150/1–2: 19–32 und 150/3–4: 69–85.
- KELLER, O. & KRAYSS, E. (2010): Mittel- und spätpleistozäne Stratigraphie und Morphogenese in Schlüsselregionen der Nordschweiz. – *E&G Quaternary Science Journal*, 59/1–2: 88–119.
- LGRB (2003) (Bearbeiter: VILLINGER, E.): Quartär in Baden-Württemberg, Klima/lithostratigraphisches Übersichtsschema. – Landesamt für Geologie, Rohstoffe und Bergbau Baden-Württemberg; Freiburg i. Br.
- LGRB (2005) (Bearbeiter: ELLWANGER, D. & VILLINGER, E.): Quartär in Baden-Württemberg, Klima/lithostratigraphisches Übersichtsschema. – Landesamt für Geologie, Rohstoffe und Bergbau Baden-Württemberg; Freiburg i. Br.
- LITT, T., ELLWANGER, D., VILLINGER, E. & WANSA, S. (2002): Das Quartär in der Stratigraphischen Tabelle von Deutschland 2002. – *Newsletter Stratigraphie* 41: 385–399.
- LITT, T., BEHRE, K. E., MEYER, K. D., STEPHAN, H. J. & WANSA, S. (2007): Stratigraphische Begriffe für das Quartär des norddeutschen Vereisungsbietes. – Eiszeitalter und Gegenwart, 56/1–2: 7–65.
- MIARA, S., ZÖLLER, L., RÖGNER, K. & ROUSSEAU, D. (1996): Quartäraufschlüsse bei Baltringen/Riss und Gliederung des Riss-Komplexes – neue stratigraphische, pedologische und geochronologische Aspekte. – *Zeitschrift für Geomorphologie*, N.F. 40: 209–226.
- PENCK, A. (1939): Klettgauer Pforte und Bodensee. – *Schriften des Vereins für Geschichte des Bodensees und seiner Umgebung*, 66: 117–139.
- PENCK, A. & BRÜCKNER, E. (1909): Die Alpen im Eiszeitalter, 1999 S. – Leipzig (Tauchnitz).
- PREUSSER, F. (1999): Luminescence dating of fluvial sediments and overbank deposits from Gossau, Switzerland: fine grain dating. – *Quaternary Science Reviews* 18: 217–222.
- PREUSSER, F. (2010): Stratigraphische Gliederung des Eiszeitalters in der Schweiz (Exkursion E am 8. April 2010). – Jahresberichte und Mitteilungen des Oberrheinischen Geologischen Vereins, N.F. 92: 83–98.
- PREUSSER, F., DRESCHER-SCHNEIDER, R., FIEBIG, M. & SCHLÜCHTER, C. (2005): Re-interpretation of the Meikirch pollen record, Swiss Alpine Foreland, and implications for Middle Pleistocene chronostratigraphy. – *Journal of Quaternary Science*, 20: 607–620.
- PREUSSER, F., GRAF, H. R., KELLER, O., KRAYSS, E. & SCHLÜCHTER, C. (2011): Quaternary glaciation history of northern Switzerland. – *E&G Quaternary Science Journal*, 60/2–3: 282–305.
- RÖGNER, K. (1998): Die vier Felder von Memmingen. – *Münchner Geographische Abhandlungen*, Reihe A, Band A49: 15–26.
- SCHINDLER, C. (1985): Geologisch-geotechnische Verhältnisse in Schaffhausen und Umgebung. – Beiträge zur Geologie der Schweiz, Kleinere Mitteilungen, 74, ETH Zürich: 119 S.
- SCHINDLER, C. (2004): Zum Quartär des Linthgebietes zwischen Luchsingen, dem Walensee und dem Zürcher Obersee. – Beiträge zur Geologischen Karte der Schweiz, 159 S. – Bundesamt für Landestopografie swisstopo; 3084 Wabern.
- SCHLÜCHTER, C. (1988): A non-classical summary of Quaternary stratigraphy in the northern alpine Foreland of Switzerland. – *Bulletin de la Société neuchâteloise de géographie*, 32: 143–157.
- SCHLÜCHTER, C. (1989): Thal gut: Ein umfassendes eiszeitstratigraphisches Referenzprofil im nördlichen Alpenvorland. – *Eclogae geologicae Helveticae*, 82: 277–284.
- SCHLÜCHTER, C., MAISCH, M., SUTER, J., FITZE, P., KELLER, W.A., BURGA, C.A. & WINSTORF, E. (1987): Das Schieferkohlenprofil von Gossau

- (Kanton Zürich) und seine stratigraphische Stellung innerhalb der letzten Eiszeit. – Vierteljahrsschrift der Naturforschenden Gesellschaft in Zürich, 132/2: 135–174.
- SCHREINER, A. (1974): Erläuterungen zur Geologischen Karte des Landkreises Konstanz mit Umgebung, 286 S. – Geologisches Landesamt Baden-Württemberg; Freiburg i. Br.
- SCHREINER, A. (1980): Zur Quartärgeologie in der Umgebung des Eem-Interglazials von Krumbach/Saulgau (Baden-Württemberg). – Geologisches Jahrbuch, A56: 5–43.
- SCHREINER, A. (1985): Erläuterungen zu Blatt 7824 Biberach Nord. – Geologische Karte Baden-Württemberg 1:25'000: 1–76.
- SCHREINER, A. (1989): Zur Stratigraphie der Risseiszeit im östlichen Rheingletschergebiet (Baden-Württemberg). – Jahresheft geologisches Landesamt Baden-Württemberg, 31: 183–196.
- SCHREINER, A. (1992): Einführung in die Quartärgeologie. – Schweizerbart Stuttgart: 257 S.
- SCHREINER, A. (1996): Die Einführung der Haslacheiszeit und die 3-Teilung der Risseiszeit im östlichen Rheingletschergebiet (SW-Deutschland). – Eclogae geologicae Helvetiae, 89/3: 991–1005.
- SCHREINER, A. & EBEL, R. (1981): Quartärgeologische Untersuchungen in der Umgebung von Interglazialvorkommen im östlichen Rheingletschergebiet (Baden-Württemberg). – Geologisches Jahrbuch A59: 3–64.
- SCHREINER, A. & HAAG, T. (1982): Zur Gliederung der Risseiszeit im östlichen Rheingletschergebiet (Baden-Württemberg). – Eiszeitalter und Gegenwart, 32: 137–161.
- SZENKLER, C. & BOCK, H. (1999): Quartärgeologie und Rohstoffgeologie im Singener Beckenkomplex – westliches Rheingletschergebiet (Hegau, Landkreis Konstanz). – Jahresberichte und Mitteilungen des Oberrheinischen Geologischen Vereins, N.F. 81: 183–216.
- VILLINGER, E. (1985): Geologie und Hydrogeologie der pleistozänen Donaurinnen im Raum Sigmaringen-Riedlingen. – Abhandlungen geologisches Landesamt Baden-Württemberg, 11: 166–174.
- VILLINGER, E. (2003): Zur Paläogeographie von Alpenrhein und oberer Donau. – Zeitschrift der Deutschen Geologischen Gesellschaft, 154/2–3: 193–253.
- VILLINGER, E. (2011): Geologische Übersichts- und Schulkarte von Baden-Württemberg 1 : 1'000'000. – Landesamt für Geologie, Rohstoffe und Bergbau LGRB, Freiburg i. Br.
- WEIDENBACH, F. mit Beiträgen von GRAUL, H., KIDERLEN, H., SCHREINER, A., HAAG, T. (1988): Geologische Übersichtskarte des Iller-Rissgebiets. – Geologisches Landesamt Baden-Württemberg.
- WELTEN, M. (1982): Pollenanalytische Untersuchungen im Jüngeren Quartär des nördlichen Alpenvorlandes der Schweiz. – Beiträge zur Geologischen Karte der Schweiz, 156: 1–174. – Bundesamt für Landestopografie swisstopo; 3084 Wabern.
- WENNINGER, A. (1994): Erläuterungen zu Blatt 8126 Leutkirch im Allgäu-Ost, 1. Auflage. – Geologische Karte Baden-Württemberg 1:25'000, 147 S.
- WERNER, J. (1975): Erläuterungen zu Blatt 8020 Messkirch, 1. Auflage. – Geologische Karte Baden-Württemberg 1:25'000, 209 S.
- WERNER, J. (1994): Erläuterungen zu Blatt 8020 Messkirch, 2. überarbeitete Auflage. – Geologische Karte Baden-Württemberg 1:25'000, 214 S.
- WINSTORF, E. (1987): Das Schieferkohlenprofil von Gossau (Kanton Zürich) und seine stratigraphische Stellung innerhalb der letzten Eiszeit. – Vierteljahrsschrift der Naturforschenden Gesellschaft in Zürich, 132: 135–174.

# Ice-Rafted Erratics and Bergmounds from Pleistocene Outburst Floods, Rattlesnake Mountain, Washington, USA

Bruce N. Bjornstad

**How to cite:** BJORNSTAD, B. N. (2014): Ice-Rafted Erratics and Bergmounds from Pleistocene Outburst Floods, Rattlesnake Mountain, Washington, USA. – E&G Quaternary Science Journal, 63 (1): 44–59. DOI: 10.3285/eg.63.1.03

**Abstract:** Exotic ice-rafted debris from the breakup of ice-dammed glacial lakes Missoula and Columbia is common in slackwater areas along the 1,100-km route for outburst floods in the northwestern US. A detailed analysis was performed at Rattlesnake Mountain, which lay beyond the limit of the former ice sheet, where an exceptionally high concentration of ice-rafted debris exists midway along the floods' path. Here floodwaters temporarily rose to 380 m elevation (forming short-lived Lake Lewis) behind the first substantial hydraulic constriction for the outburst floods near Wallula Gap. Within the 60 km<sup>2</sup> study area more than 2,100 erratic isolates and clusters, as well as bergmounds were recorded. Three quarters of erratic boulders are of an exotic granitic composition, which stand in stark contrast to dark Columbia River basalt, the sole bedrock in the region. Other exotics include Proterozoic quartzite and argillite as well as gneiss, diorite, schist and gabbro, all once in direct contact with the Cordilleran Ice Sheet to the north. Most ice-rafted debris is concentrated between 200 and 300 m elevation. Far fewer erratics and bergmounds lie above 300 m elevation because of the preponderance of less-than-maximum floods. Plus, larger deep-rooted icebergs were forced to ground farther away from the ancient shorelines of transient Lake Lewis. As floodwaters moved across the uneven surface of Rattlesnake Mountain, many erratic-bearing icebergs congregated into pre-existing gullies that trend crosswise to flood flow.

**Eisverfrachtete Findlinge und Bergmounds aus Ausbruchsfutwellen im Pleistozän, Rattlesnake Mountain, Washington, USA**

**Kurzfassung:** Eisverfrachteter Schutt findet sich häufig im Stauwasserbereich der 1.100 km weit reichenden gigantischen Ausbruchsfutwellen aus den eiszeitlichen Missoula- und Columbia-Seen im Nordwesten der USA. Eine detaillierte Analyse erfolgte am Rattlesnake Mountain. Dort ist eine außergewöhnlich hohe Konzentration dieses Schutts in der Mitte des Gerinnebettbodens zu finden. Zeitweilig bildete der Flaschenhals des Wallula Gap die erste wesentliche hydraulische Verengung und ließ die Gletscherflut vorübergehend auf 380 m Seehöhe ansteigen, wodurch kurzzeitig der Lewis See gebildet wurde. Auf einer Fläche von 60 km<sup>2</sup> wurden mehr als 2.100 Findlinge, Ansammlungen von erratischen Felsbrocken und Bergmounds registriert. Im Gegensatz zum lokal vorkommenden dunklen Columbia River Basalt bestehen drei Viertel der Findlinge aus granitartigem Material. Auch Schutt von dem ehemals im Norden verlaufenden Eisgebirgszug wie sedimentärer Quarzit aus dem Proterozoikum, Tonschiefer, Gneisgestein, Diorit, Schiefer und Paulitfels wurden hier gefunden. Ein Großteil des eis-verfrachteten Schutts befindet sich auf 200–300 m Seehöhe. Weit weniger Findlinge und Bergmounds sind über 300 m Seehöhe anzutreffen, da es überwiegend Fluten von sub-maximalen Ausmaßen gab. Außerdem liefern größere Eisberge aufgrund ihres Tiefgangs weit von der Küstenlinie des vorübergehend bestehenden Lake Lewis auf Grund. Bei der Flutbewegung über den unebenen Untergrund des Rattlesnake Mountain blieben viele Findlinge in bereits vorhandenen, quer zur Flutrichtung verlaufenden Wasserrinnen hängen.

**Keywords:** *ice-rafted debris, erratic, bergmound, Missoula floods, Wallula Gap, Lake Lewis, glacial Lake Missoula, Wisconsin Glaciation, Columbia River basalt*

**Address of author:** Bruce N. Bjornstad, P.O. Box 999, MSIN K6-81, Pacific Northwest National Laboratory, Richland, Washington 99354. E-Mail: bruce.bjornstad@pnnl.gov

## 1 Introduction and Background

Characteristics and distribution patterns of ice-rafted debris (erratics and bergmounds) can provide insight into the flow dynamics as well as possible source(s), timing, and frequency of Ice Age flood events. Erratics in the Pacific Northwest have long been recognized in areas downstream of the maximum extent of glacial ice (BRETZ 1919, 1923a, 1923b, 1930, 1969; ALLISON 1933, 1935; BRETZ et al. 1956; FECHT & TALLMAN 1978; MINERVINI et al. 2003). Multiple cataclysmic outburst floods, mostly from ice-dammed glacial Lake Missoula (Figure 1), are now generally accepted as the source for erratics beyond the limits of the Cordilleran

Ice Sheet (BRETZ et al. 1956; BRETZ 1969; BAKER 1978; BAKER & BUNKER 1985; ALLEN et al. 2009; SMITH 1993; WAITT 1980, 1985). Other sources for Ice Age floods in the area include at least one flood from ice-dammed glacial Lake Columbia (ATWATER 1987; WAITT 1994; WAITT et al. 2009), Lake Bonneville (O'CONNOR 1993) and possibly from one or more subglacial outbursts from beneath the Cordilleran Ice Sheet itself (SHAW et al. 1999). The Cordilleran Ice Sheet never advanced south into the mid-Columbia Basin where much ice-rafted debris came to rest. Therefore, the only plausible explanation for high-elevation erratic debris beyond the ice front is from floating icebergs carried during outburst-flood events.

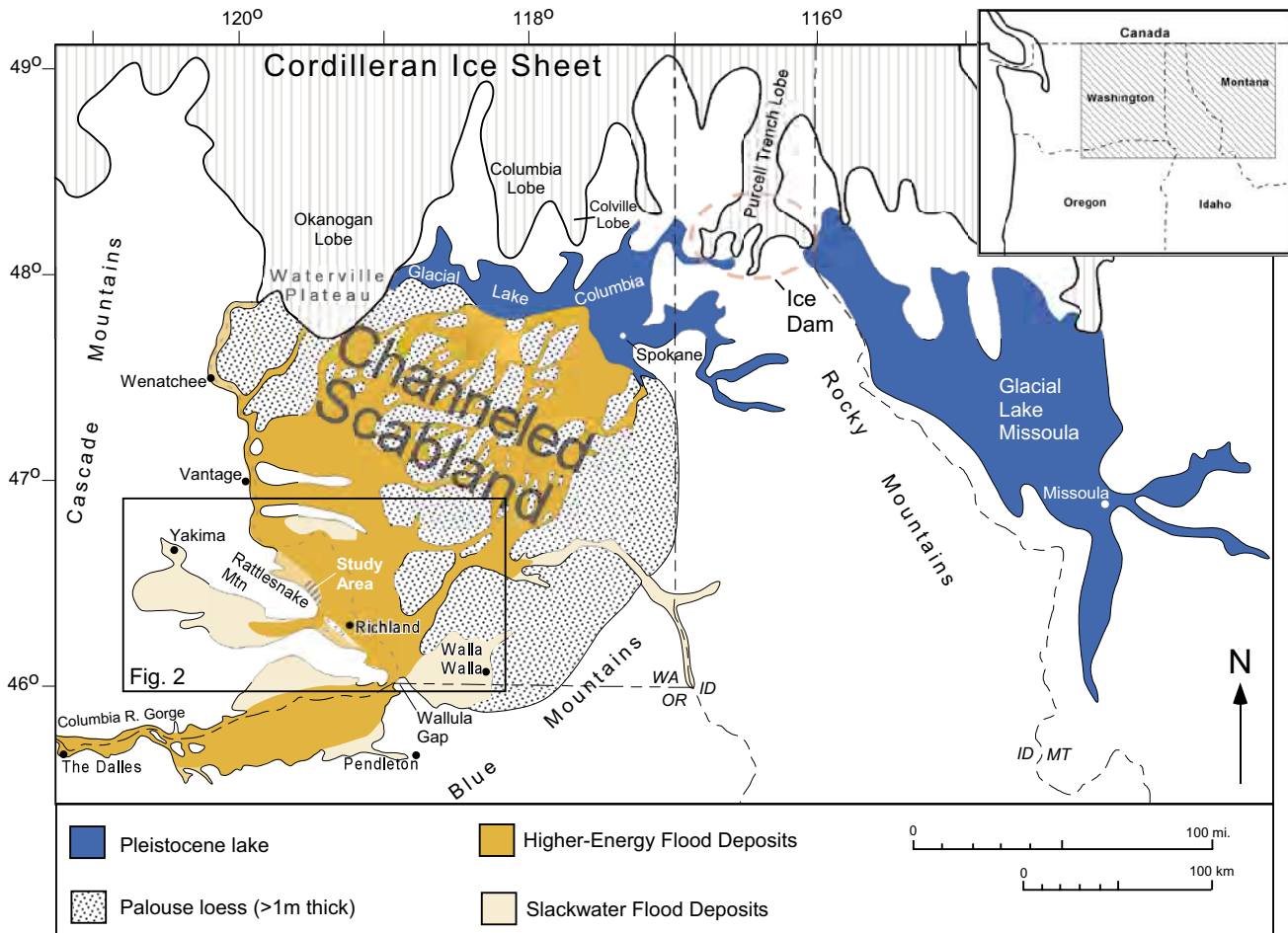


Fig. 1: Ice Age glacial and flood features over a portion of the northwestern United States.

Abb. 1: Eigenschaften von Gletschern und Gletscherläufen im Nordwesten der USA.

Although the largest Missoula floods drained within several days, up to three weeks were required for the floodwaters to completely pass through several hydraulic constrictions along route (WATTT et al. 2009; DENLINGER & O'CONNELL 2010). The first major constriction for the outburst floods was at Wallula Gap where, after spreading out across a 160 km-wide tract of the Channeled Scabland, floodwaters were forced through a single, narrow opening only 3 km wide (BJORNSTAD et al. 2007). During the largest floods Wallula Gap and the Columbia River Gorge downstream could transmit only a portion ( $10 \pm 2.5$  million m<sup>3</sup>/sec) of all the floodwater entering the Pasco Basin (O'CONNOR & BAKER 1992; BENITO & O'CONNOR 2003). Subsequently, a huge temporary lake (Lake Lewis shown in Figure 2) backed up to a maximum elevation of ~380 m (1,250 feet) behind this bedrock constriction (BRETZ 1923a). Ice-raftered debris floating in Lake Lewis was sequestered in slackwater areas along basin margins and backflooded valleys (Figures 2 and 3). The stranded icebergs eventually melted, forever leaving behind their payloads of exotic detritus (Figures 4 and 5).

Maximum heights for the floods are indicated by strandlines, scarped hills, ice-raftered erratics, and divide crossings (BAKER 1978). The upper limit of the ice-raftered debris descends downstream in a stair-step fashion as floodwaters passed through a series of constrictions en route (BAKER 1978; BENITO & O'CONNOR 2003). Water-surface profiles of floods were relatively flat within basins but steepened in

bedrock-constrained reaches between basins like Wallula Gap and the Columbia River Gorge (Figure 1).

The earliest floods occurred during one of many previous glacial cycles  $\geq 780,000$  yr ago in the early Pleistocene (PATTON & BAKER 1978; BJORNSTAD et al. 2001; PLUHAR et al. 2006; BJORNSTAD 2006). The last period of flooding occurred during the Late Wisconsin Glaciation between 20,000–15,000 cal years BP (O'CONNOR & BENITO 2009) when as many as 100 discrete flood events may have occurred (ATWATER 1986; WATTT et al. 2009). Many of these floods were proportionally small (a few million m<sup>3</sup>/sec) relative to discharge for the largest ( $>17.5$  million m<sup>3</sup>/sec) Late Wisconsin outburst flood(s) from glacial Lake Missoula (O'CONNOR & BAKER 1992).

The majority of erratics, which consist of light-colored plutonic and metamorphic rocks, stand out in sharp contrast to the dark, Miocene, Columbia River Basalt Group – the only bedrock native to southeastern Washington State (Figure 6). Most ice-raftered debris appears derived from the breakup of the Purcell Trench Lobe of the Cordilleran Ice Sheet that temporarily dammed glacial Lake Missoula (Figure 1). Ice-raftered debris may also be associated with the final breakup of the Okanogan Lobe that blocked glacial Lake Columbia until the end of the Wisconsin Glaciation.

The detailed study of the nature and distribution of ice-raftered erratics and bergmounds provides valuable data sets to test various hypotheses regarding the history and rela-

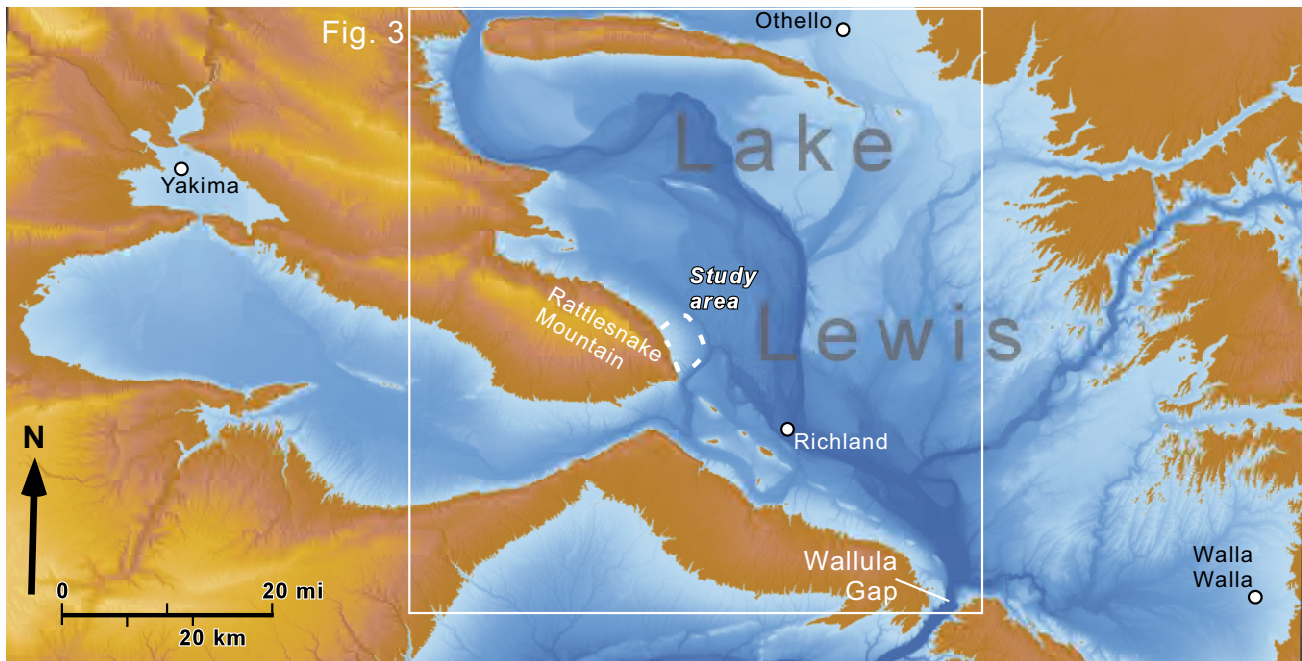


Fig. 2: Maximum extent (up to 380 m elevation) of back flooding (Lake Lewis in blue) behind hydraulic constriction at Wallula Gap during the largest outburst flood(s).

Abb. 2: Maximale Ausdehnung der Rückstauflut (bis zu 380 m Seehöhe) hinter der hydraulischen Verengung des Wallula Gap (blaue Markierung: Lewis-See).

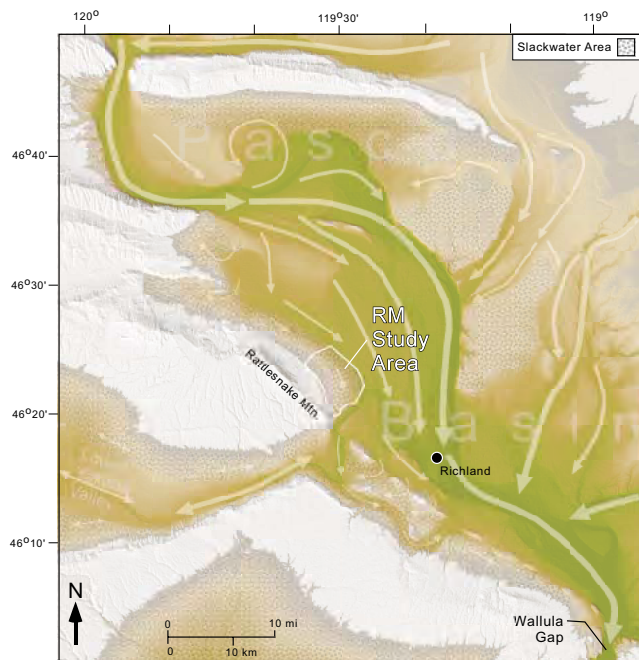


Fig. 3: Shaded-relief map showing variable flow of floodwaters through the Pasco Basin. White areas were above maximum flood level (> 380 m elevation). Sizes of arrows are approximately proportional to flow velocity. Stippled pattern signifies slackwater areas that received the greatest quantities of ice-rafted debris. The Rattlesnake Mountain study area is located at center.

Abb. 3: Schattierte Reliefkarte zur Darstellung der Flussvariablen der Fluten im Pasco-Becken. Weiße Bereiche zeigen maximalen Wasserstand (> 380 m Seehöhe). Das Pfeilmaß ändert sich proportional zur Strömungsgeschwindigkeit. Diagonale Linien bezeichnen Stauwasserbereiche mit den größten Mengen von eisverfrachtetem Schutt. Das Untersuchungsgebiet Rattlesnake Mountain befindet sich im Zentrum.

tive sizes of Ice Age floods. Only a few previous studies exist for erratics emplaced by outburst floods. These include a study by ALLISON (1935) within the Portland Basin and later expanded upon by MINERVINI et al. (2003). Another study by KARLSON (2006) was performed in the Ginkgo Petrified Forest State Park, located 80 km northwest of Rattlesnake Mountain near Vantage. The present study gathered an exhaustive set of data including lithology, size, roundness, shape, and weathering characteristics of more than 2,000 individual erratics, along with their locations and elevations (BJORNSTAD et al. 2007).

## 2 Study Area

A comprehensive analysis of ice-raftered debris was performed in a 60 km<sup>2</sup> area along the north flank of Rattlesnake Mountain – the tallest segment of an elongated northwest-southeast trending anticlinal ridge (Yakima Fold) of Columbia River basalt (Figure 6) that rises to 1,075 m elevation. During the largest outburst floods, water rose to within 700 m of the summit, making Rattlesnake Mountain a long peninsular land body during flooding (Figure 2). The study area is located along the low-relief northeastern flank of the ridge where floodwater flowed from the northwest to the southeast (Figure 3). The upper third of the study area consists of a gentle (~2°), northeast-dipping surface (Iowa Flats) that reflects the surface on the underlying basalt bedrock. Only a few metres of relief exist within small gullies across Iowa Flats. Downslope of Iowa Flats ephemeral streams are more entrenched into the basalt displaying as much as 25 m relief between the tops and bottoms of gullies. Although basalt may be exposed at the bottoms of gullies, inter-fluvial areas are covered with up to several metres of mostly massive, fine-grained deposits of Quaternary-age loess, slope-wash, or slackwater-flood sediment.

Most of the study area lies within a long-protected ecology preserve, now part of the Hanford Reach National Monument managed by the United States Fish and Wildlife Service (BJORNSTAD 2006; BJORNSTAD et al. 2007). Closed to the public for the last 60 yr, this area is ideally suited to the study of ice-raftered debris because it has escaped widespread anthropogenic disturbances common to other parts of the region. Furthermore, light-colored erratic boulders stand out in stark contrast to indigenous black Columbia River basalt and the pale-brown blanket of fine-grained Quaternary sediments. These attributes, along with the low, sparse, shrub-steppe vegetation facilitate the identification and mapping of ice-raftered debris. Last, the gentle yet uneven slopes provide an opportunity to examine subtle changes in flood-flow dynamics reflected in the distribution of ice-raftered debris.

### 3 Ice-Rafted Debris

BRETZ (1923a: 605) accurately noted: “A widespread submergence of the lower Columbia Valley is known to have occurred during the Wisconsin glaciation. It is recorded by berg-floated erratic boulders, some of great size, scattered widely in the Columbia Valley below the present altitude of

about 1,250 feet [380 m] above tide.” Bretz and others, however, categorized ice-raftered debris into two classes: erratics or bergmounds. The present study distinguishes an important third category of ice-raftered debris – erratic clusters. Examples of the three types of ice-raftered debris are shown in Figure 4. Isolated erratics (Figure 4A) generally consist of a solitary boulder while clusters (Figure 4B and 5) represent a close grouping of several or more erratics. Bergmounds (Figure 4C) consist of distinct, low-relief mounds covered with ice-raftered debris, up to 30 m or more in diameter and several meters tall (BRETZ 1930; ALLISON 1933; FECHT & TALLMAN 1978; CHAMNESS 1993). In general, bergmounds are distinguished from erratic clusters by the presence of a conical mound displaying recognizable topographic relief. Individual clusters and bergmounds may contain a single rock type, but more are represented by multiple lithologies (ALLISON 1935; FECHT & TALLMAN 1978). The areal distribution for all three different types of ice-raftered debris is shown over a portion of Rattlesnake Mountain on Figure 7.

### 4 Methods

The 60-km<sup>2</sup> Rattlesnake Mountain study area was field map-



*Fig. 4: Types of ice-raftered debris on Rattlesnake Mountain. (A) Isolated granodiorite erratic boulder at (183 m elevation) in basalt-floored gully. (B) Cluster of granodiorite erratics at 335 m elevation. (C) Pair of bergmounds (~245 m elevation); notice granitic erratic atop left bergmound (encircled). Looking north into the expansive Pasco Basin.*

*Abb. 4: Typen von eisverfrachtetem Schutt am Rattlesnake Mountain. (A) Vereinzelte erratische Gesteinsblöcke aus Granodiorit in basaltgrundiger Schlucht-rinne (auf 183 m Seehöhe). (B) Anhäufung von erratischen Gesteinsblöcken aus Granodiorit Findlingen (auf 335 m Seehöhe). (C) Pärchen von Bergmounds (~245 m Seehöhe); man beachte den Granitfindling (eingekreist) oben auf dem linken Hügel. Blick nach Norden in das weitläufige Pasco-Becken.*



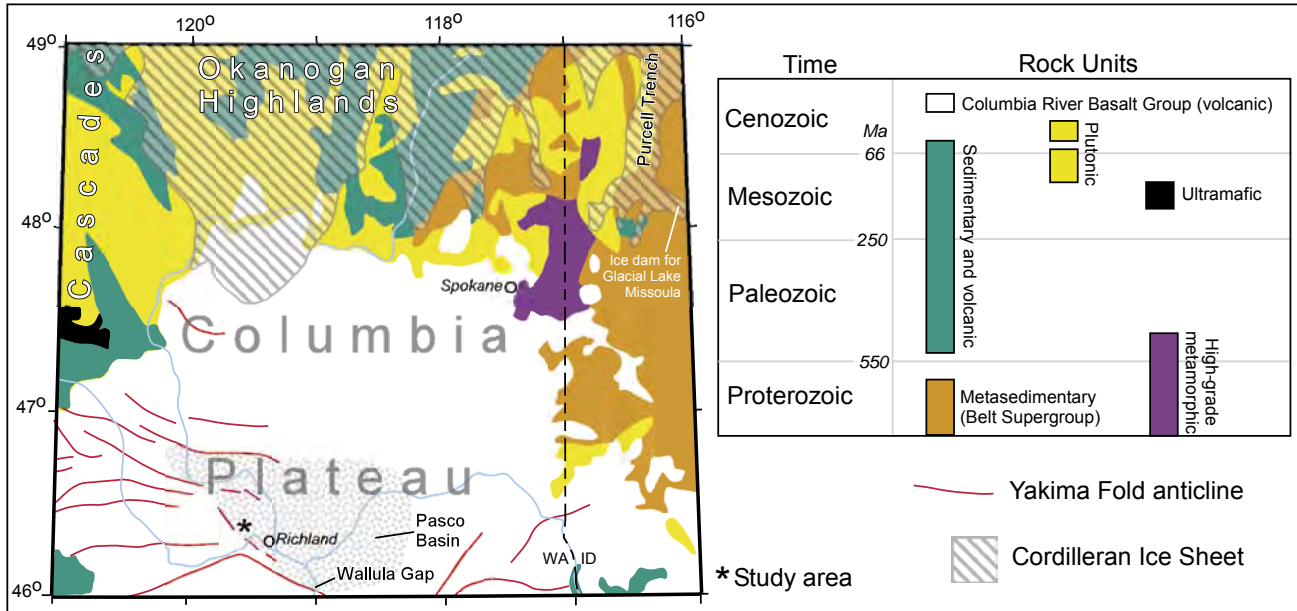
*Fig. 5: Cluster of moderately weathered, banded argillite boulders at 244 m elevation on Iowa Flats along the north flank of Rattlesnake Mountain. The largest erratic boulder is about three metres long. Argillite is derived from the Proterozoic Belt Supergroup once in contact with the ice dam for glacial Lake Missoula in northern Idaho ~650 km to the northeast. Note that the erratics in this cluster are partially buried in an unknown quantity of Quaternary loess, slopewash and slackwater flood deposits.*

*Abb. 5: Haufen von mäßig verwitterten Gesteinsbrocken aus gestreiftem Argilit (auf 244 m Seehöhe) auf den Iowa-Untiefen entlang der Nordflanke des Rattlesnake Mountain. Der größte Findling links der Bildmitte ist etwa drei Meter lang. Argilit (Tonschiefer) entstammt dem Gürtel der Übergruppe aus dem Proterozoikum, der einst mit dem Eisdamm des ca. 650 km nordöstlich entfernten Gletschers von Lake Missoula in Nord-Idaho in Verbindung stand. Man beachte, dass die Findlingsblöcke dieser Gruppe teilweise unter unbestimmten Mengen von Löss-, Ausspülungs- und Stauwasser-Ablagerungen aus dem Quartär begraben sind.*

ped in a series of roughly parallel to diagonal, up-down transects. The transects traversed gullies as well as the inter-fluvial areas, usually spaced 100 m or more apart. All observed ice-rafted debris >0.093 m<sup>2</sup> maximum exposed cross sectional area was located using a hand-held GPS receiver unit. An arbitrary cut-off value of 0.093 m<sup>2</sup> was chosen because that was near the minimum size readily observed in the field. Depending on location, erratics can be partially to almost totally buried by Quaternary-age fine-grained loess, slopewash, or slackwater flood deposits. For this reason it was not possible to determine the true volume of most erratics and the size reported here represents only the maximum exposed cross-sectional area observed in the field. For data manageability, because many erratic clusters and bergmounds contain dozens or more individual erratics, specific information was recorded only for the largest erratic in each cluster or bergmound grouping.

Horizontal accuracy of handheld GPS units is generally within 3 m while the measured vertical accuracy is much less precise. For this reason, instead of the elevation recorded by the GPS, elevations were obtained from a topographic map after location coordinates were entered into National Geographic's TOPO!® program. Because there is wide spacing of contour lines in the generally low relief of the study area, recorded elevations are believed to be accurate to within at least half of the contour interval (12.2 m), or about 6 m vertical distance.

In addition to location and elevation, data were collected on lithology, roundness, shape, and surface characteristics, such as degree of weathering, wind polish, and striations. Because rates of weathering and roundness vary with lithology, these parameters were compared for only the dominant rock type (i.e., granitic). Granitic erratics classified as un-



*Fig. 6: Distribution of major rock units in eastern Washington and northern Idaho. Most ice-rafted erratics found on Rattlesnake Mountain can be traced to granitic (plutonic) and Belt Supergroup metasedimentary rocks once in contact with the Cordilleran Ice Sheet north and east of the Columbia Plateau. To the south, Yakima Folds strongly influenced the flow of floodwater into and out of the Pasco Basin.*

*Abb. 6: Verteilung größerer Felseinheiten im östlichen Washington und Nord-Idaho. Der Ursprung der meisten eisverfrachteten Findlingen auf Rattlesnake Mountain kann zu den granitartigen (plutonischen) und metasedimentären Felsen des Gürtels der Übergruppe zurückverfolgt werden, die einst in Verbindung mit dem Cordillerischen Eisschild nördlich und östlich des Columbia Plateau standen. Im Süden hatten die Falten der Yakima Senke starken Einfluss auf den Fluss der Flutwasser in das Pasco-Becken hinein und hinaus.*

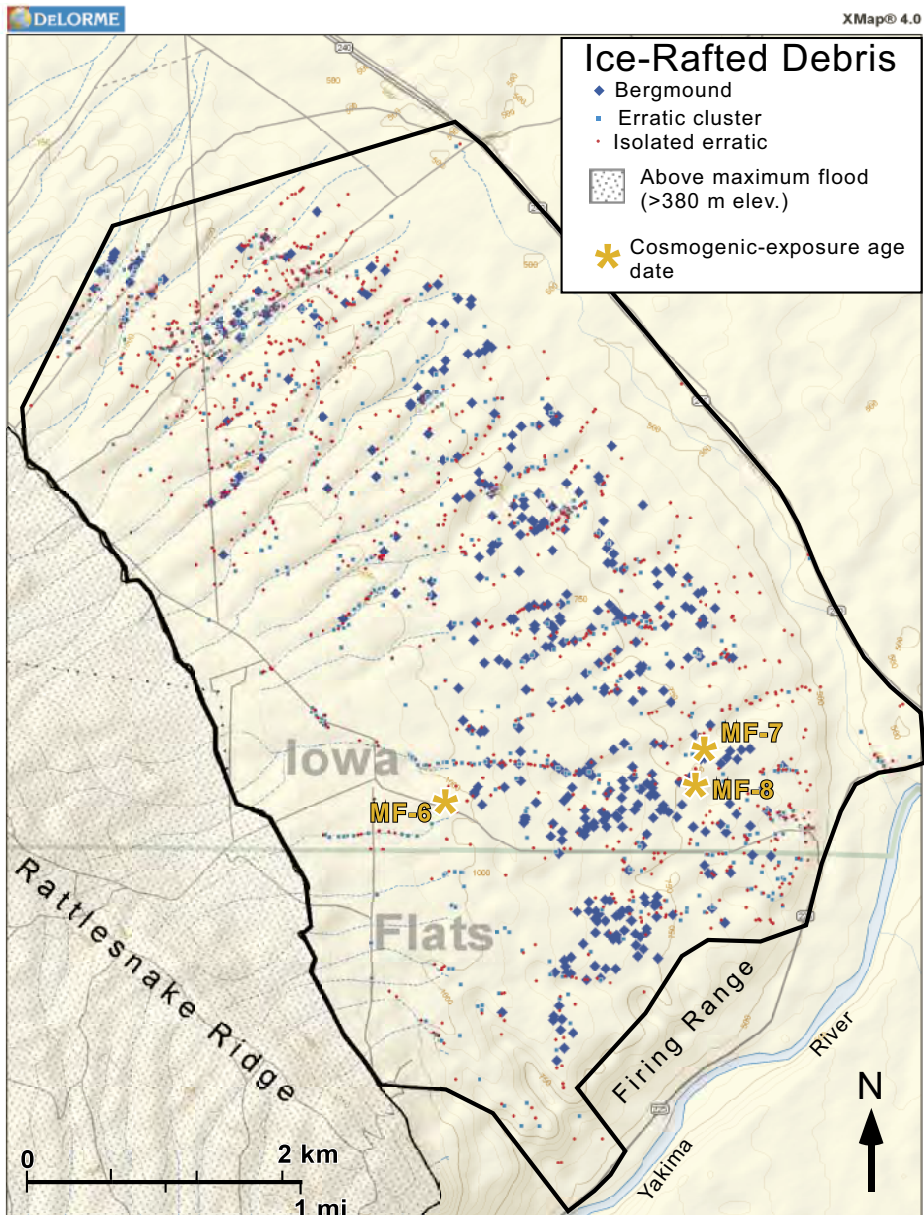


Fig. 7: Distribution of the three different types of ice-rafted debris across the study area. Details on the three erratics sampled for cosmogenic-nuclide exposure dating are listed in Table 1.

Abb. 7: Drei verschiedene Typen von eisverfrachteten Schutt sind ungleichmäßig im Untersuchungsgebiet verteilt. Einzelinformationen zu drei Findlingen, die für die Radionuklidmessung des Betrahlungsalters ausgewählt wurden in Tabelle 1 aufgelistet.

weathered are bright white and show no surficial oxidation or mineral decomposition. In contrast, strongly weathered granitic erratics displayed advanced stages of mineral decomposition and surface roughness, often with deep reddish brown or dark varnished surfaces. Slightly weathered to moderately weathered erratics displayed intermediate stages of roughness, oxidation and mineral decomposition (Figure 8).

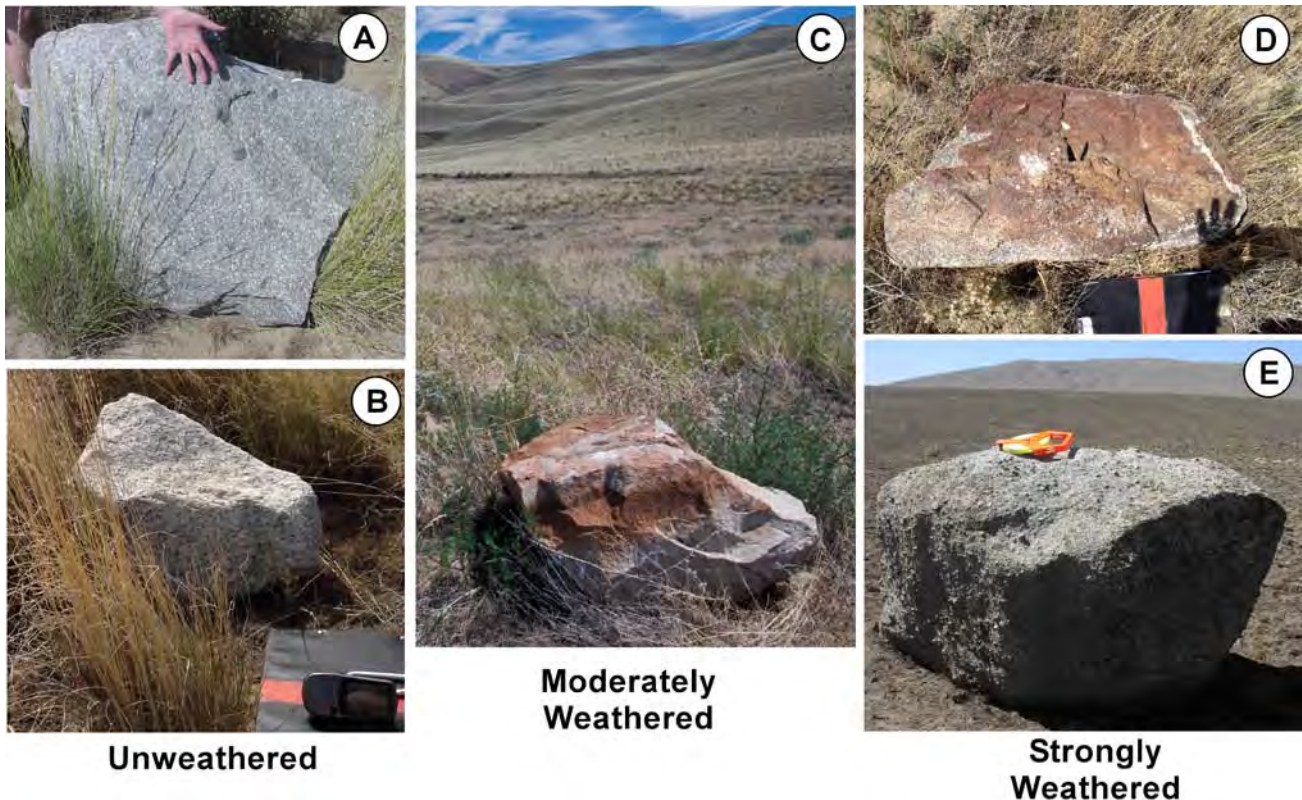
Cosmogenic  $^{36}\text{Cl}$  exposure-age dates were obtained from three large, dispersed, ice-rafted erratics reported in KESZTHELYI et al. (2009) and represented in Figure 7 and Table 1. Two of the analyses were performed on granitic boulders; the third was performed on an ice-rafted boulder of basalt. Because basalt is the only indigenous rock type and completely underlies the study area and crops out in the steep slopes of Rattlesnake Mountain to the southwest, special care is needed to positively identify basalt erratics. Some might argue that basalt does not qualify as a true “erratic” since it makes up the underlying bedrock at Rattlesnake Mountain, however, in this paper basalt is included as an erratic when it clearly has an ice-rafted origin. Accordingly, only basalt

boulders that were: 1) well beyond the limits where rocks could have rolled or moved down from higher elevations via mass movement, and (2) had several metres or more of fine-textured post-basalt sediment between basalt boulders and underlying bedrock were classified as erratics.

## 5 Results and Observations

On Rattlesnake Mountain, isolated erratics (52% of all ice-rafted debris) far outnumber erratic clusters (29%), which exceed bergmounds (19%). However, because many erratics smaller than a metre may be concealed beneath a cover of vegetation, the true proportions of isolated erratics and clusters may be greater than that indicated above. The highest concentration of ice-rafted debris lies near 210 m with a general decrease above and below this elevation (Figure 9). As previously noted by BRETZ (1930) bergmounds are mostly concentrated below 260 m elevation, and generally absent above 300 m (Figures 7 and 9).

As discussed above, mapping of erratics on Rattlesnake Mountain was limited to only those with an exposed cross-



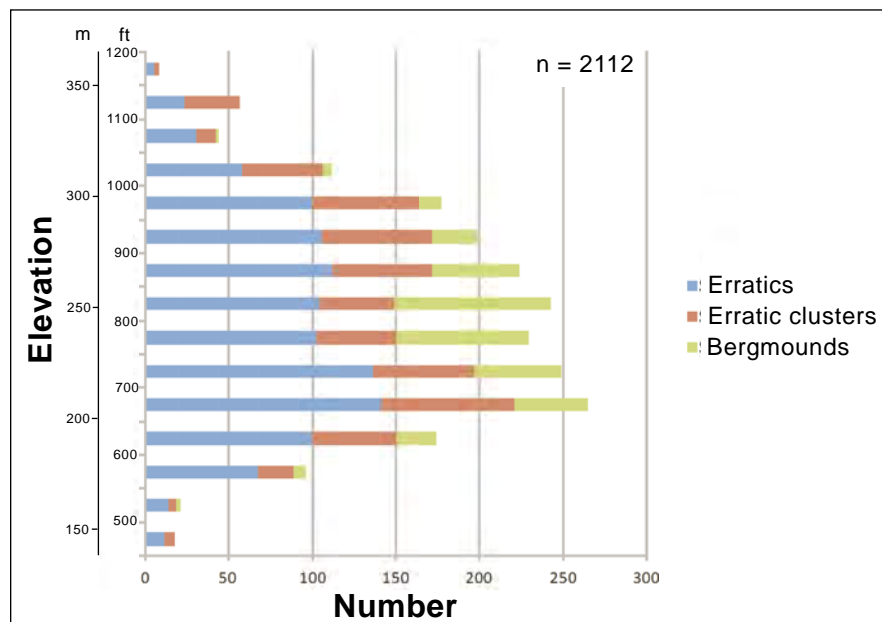
*Fig. 8: Stages of weathering generally indicated by degree of surface roughness and amount of iron oxidation. All erratics are granitic except for the diorite boulder at upper left (A). Note advanced stage of surface roughness in photo E whereby the more-stable feldspar phenocrysts stand out in relief due to differential weathering of mineral grains.*

*Abb. 8: Verwitterungsphasen werden im Allgemeinen durch den Grad der Oberflächenrauhheit und den Umfang der Eisen-Oxidation gekennzeichnet. Alle Findlinge sind Granite – mit Ausnahme des Diorit-Findlingsbrockens oben links (A). Man beachte das fortgeschrittene Stadium der Oberflächenrauhheit in Foto E, Aufgrund unterschiedlichen Witterungsverhaltens der Mineralbestandteile treten die stabileren Feldspat-Phänokristalle reliefartig hervor.*

sectional area  $\geq 0.093 \text{ m}^2$ . The majority (60%) were  $< 0.37 \text{ m}^2$ , while less than 1% were larger than  $6.0 \text{ m}^2$  (Figure 10A). The largest erratic ( $12.5 \text{ m}^2$ ) found in the study area occurred as an isolate at a relatively high elevation (310 m).

The distribution of erratics by lithology is shown in Figure 11. More than 95% of erratics consist of rocks that are very different from indigenous, dark-colored basalt (Figure

12). The majority (~75%) are light-colored granitic, crystalline rocks (Figures 10B) like those shown in Figures 4A, 4B, and 8. However, the number of mapped erratics may be biased in favor of light-colored granitic rocks because they are more visible in the field. Most granitic erratics consist of granodiorite but also include true granites. Granitic rocks are 10 times more abundant than the next most common



*Fig 9: Concentration of ice rafted debris vs. elevation.*

*Abb. 9: Konzentration von eisverfrachtetem Schutt in Bezug zur Höhenlage.*

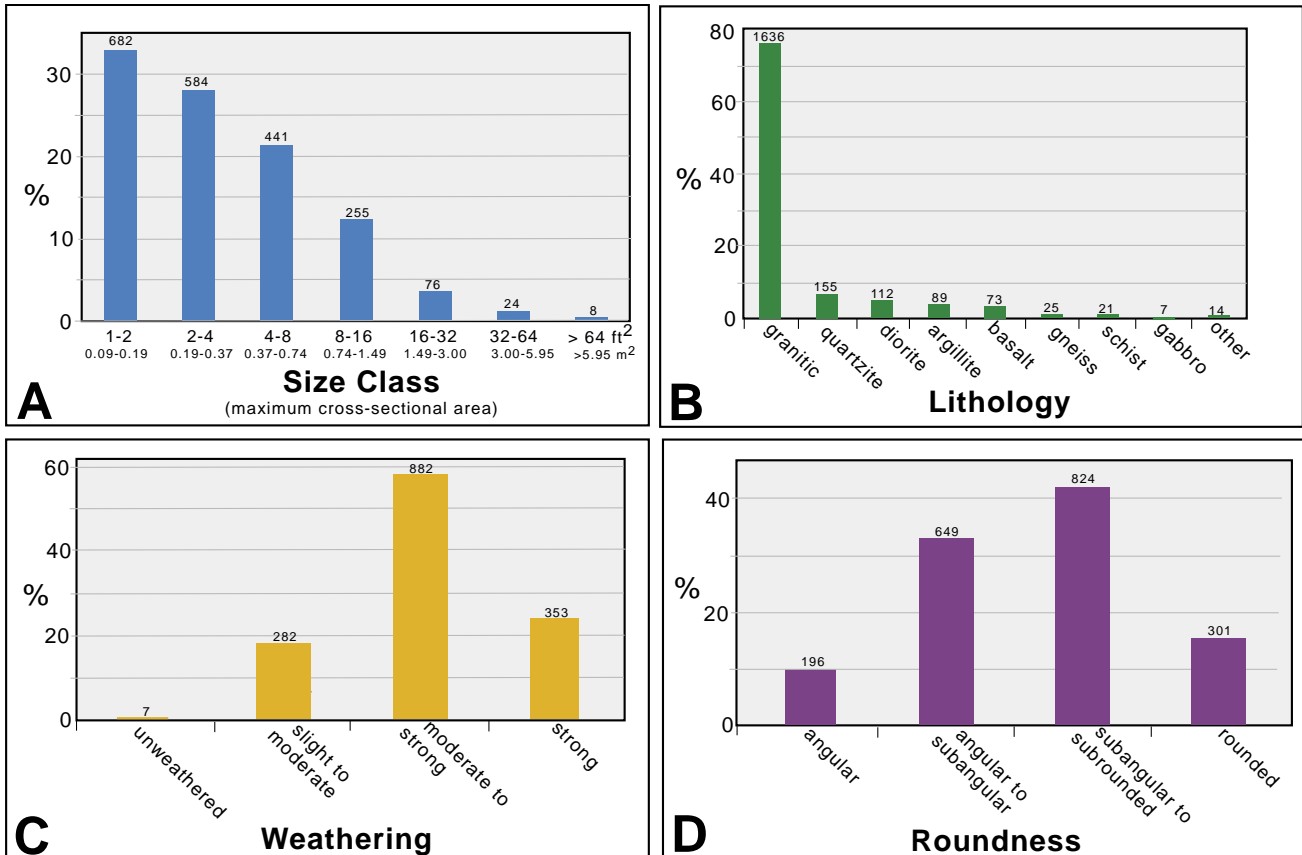


Fig. 10: Frequency distributions of Rattlesnake Mountain erratics by: (A) size, (B) lithology, (C) weathering, and (D) roundness. Weathering and roundness pertain only to erratics of granitic composition for reasons explained in the text.

Abb. 10: Dichte der Findlingsverteilung am Rattlesnake Mountain unterteilt in: (A) Größe, (B) Lithologie, (C) Verwitterung und (D) Rundheit. Verwitterungsgrad und Rundheit beziehen sich ausschließlich auf granitartige Findlinge, (Begründung im Text).

rock type within the study area – quartzite. Quartzites occur in a wide variety of colors, including pastel shades of blue, green, yellow, pink, and orange as well as white and gray. Diorite, an intrusive igneous rock containing about equal amounts of speckled light and dark minerals, is the third most common rock type. Next most abundant is argillite, an extremely hard, siliceous, dull gray to reddish brown rock that weathers and parts evenly along distinctive bedding planes (Figures 5 and 12). The fifth most common erratic type is Columbia River basalt. Other, less-common erratic lithologies include gneiss, schist, and gabbro.

The most notable surface characteristic on erratics is degree of weathering, which includes wind polish, mineral

decomposition, and oxidation rinds. Many strongly weathered granitic erratics show either a reddish-brown oxidative coating or occasionally a spalled, high-relief surface (Figure 8E). Because different lithologies weather at different rates, a comparison of weathering reported here was only performed on only the most common rock type (granitic), which makes up three quarters of all erratics (Figure 10B). More than 80% of the granitic erratics appear moderately to strongly weathered (Figure 10C). Striations and grooves, presumably derived from glacial abrasion at their places of origin, were also occasionally observed on surfaces of ice rafted boulders.

The surface roundness of erratic clasts varies from angu-

Table 1: Characteristics and <sup>36</sup>Cl-exposure ages for three, scattered, ice rafted erratics on Rattlesnake Mountain. See Figure 7 for relative locations within the study area.

Tabelle 1: Charakteristika und Ergebnisse der <sup>36</sup>Cl-Altersbestimmung von drei verstreut liegenden, eisverfrachteten Findlingen am Rattlesnake Mountain. Jeweilige Position im Untersuchungsgebiet: siehe Abbildung 7.

Field ID	Sample No.*	Cl-36 Age*	Latitude (north)	Longitude (west)	Elevation in m (ft)	Maximum Exposed Area in m <sup>2</sup> (ft <sup>2</sup> )	Roundness	Lithology	Shape	Weathering
E-223	M F-6	16,930	46.37878	-119.50037	310 (1,016)	12.5 (135)	subrounded	granite	elongate	strong
E-276	M F-7	16,170	46.38400	-119.46353	209 (686)	5.1 (55)	rounded	granite	equant	strong
M ERYK1	M F-8	16,740	46.38093	-119.46473	214 (702)	1.1 (12)	subrounded	basalt	irregular	moderate

\* from Keszthelyi et al. (2009)

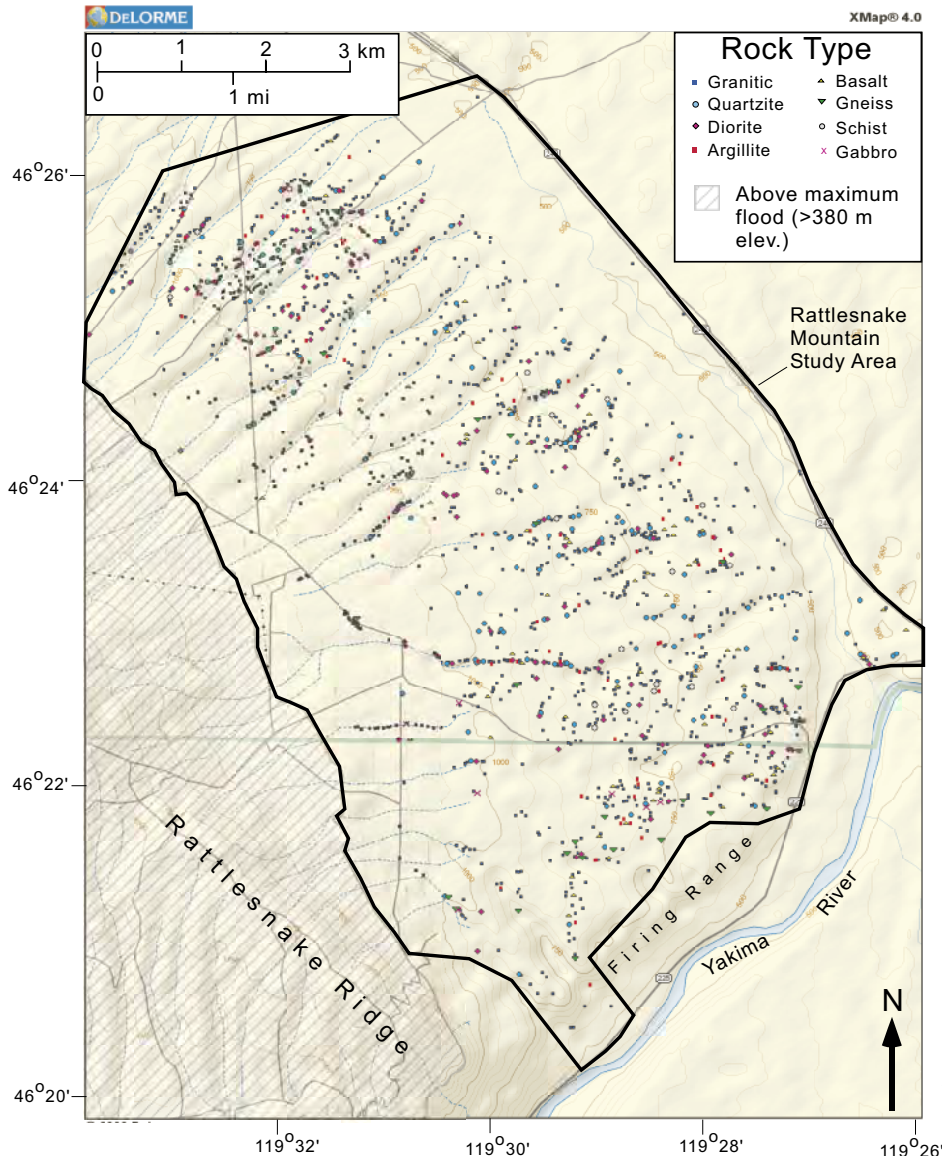


Fig. 11: Distribution of erratics by lithology.  
Abb. 11: Verteilung von Findlingen gemäß Lithologie.

lar to rounded (Figure 10D). However, the majority of erratics were classified as subangular to subrounded. Shapes of angular to subangular boulders, argillites for example, often part along parallel bedding planes, leaving them flat to tabular, or rectangular. Plutonic crystalline rocks, on the other hand, are overall more equi-dimensional to elongate, often forming a pyramid shape. In general, the shape of over one-third of all the erratics is irregular.

Cosmogenic-exposure ages on three Rattlesnake Mountain erratics (Table 1) fall into a relatively narrow range between 16,000 to 17,000 cal yrs BP (KESZTHELYI et al. 2009). These ages fall within the range (15,000 to 20,000 calendar years) for Late Wisconsin Missoula floods reported elsewhere (O'CONNOR & BENITO 2009).

The distribution patterns of ice rafted debris offer important clues to the way the debris was deposited. Summarized here:

- 1.) The highest observed erratic found within the study area lies at an elevation of ~362 m.
- 2.) Most ice rafted debris within the study area is distributed along a broad band at the base of Rattlesnake Mountain

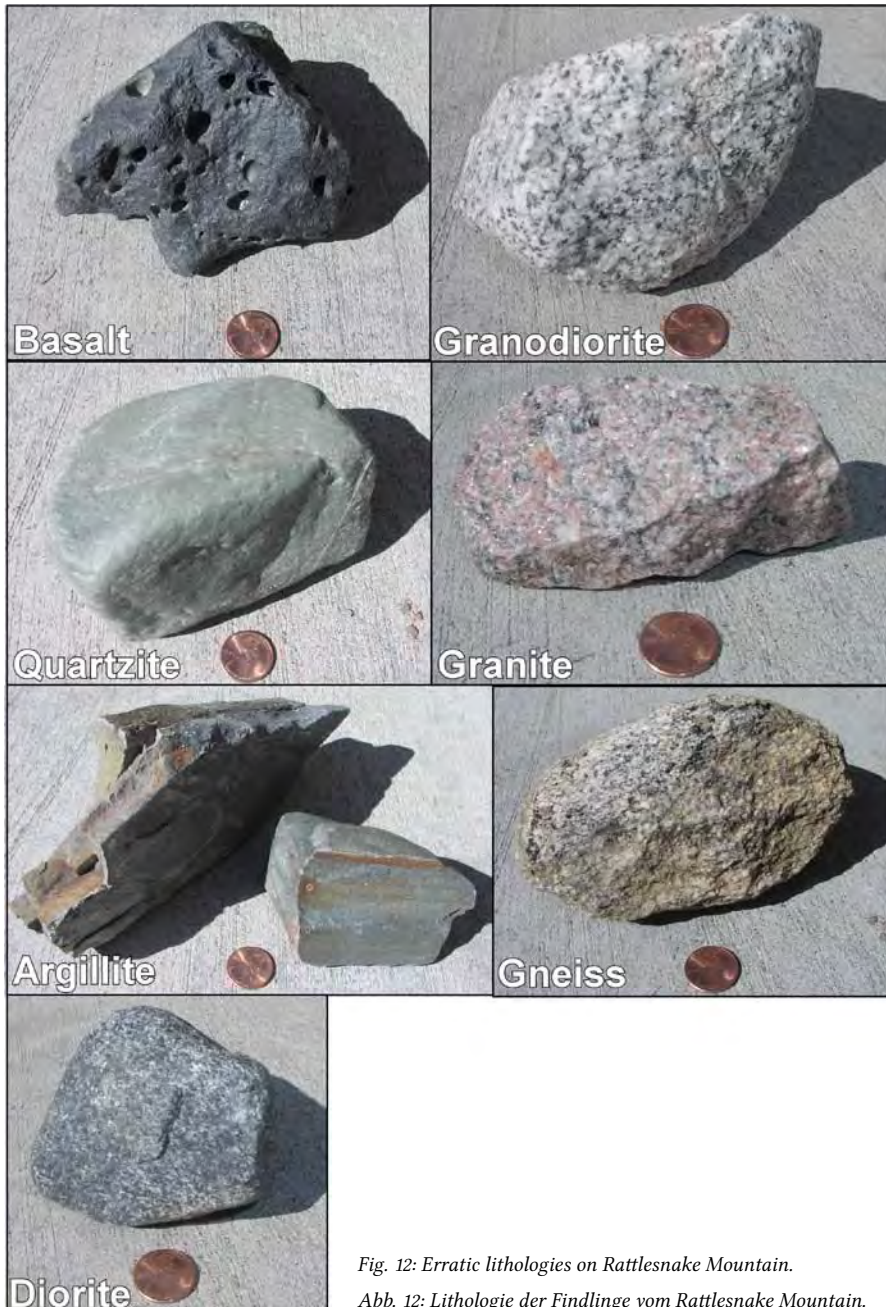
that lies between 200 to 300 m elevation (Figures 7 and 9). Fewer erratics and very few bergmounds lie above 300 m, despite the fact that the largest floods rose up to 80 m higher.

- 3.) Many isolated erratics and erratic clusters are aligned with gullies (Figure 7). At higher elevations erratics lie at the bottoms of low-relief gullies. In contrast, at lower elevations erratics are usually perched onto the north (up-current) sides of the higher-relief gullies.
- 4.) A higher concentration of erratics lies along roadways.
- 5.) Lithology of erratics versus elevation appears random (Figure 11), as does the distribution of erratic size (Figure 13).

## 6 Discussion

### **Concentrations of Ice-Rafted Debris**

Different processes are likely responsible for erratics, erratic clusters and bergmounds. Isolated erratic boulders represent either dropstones from free-floating icebergs, or from



*Fig. 12: Erratic lithologies on Rattlesnake Mountain.*

*Abb. 12: Lithologie der Findlinge vom Rattlesnake Mountain.*

smaller, relatively “clean”, grounded icebergs. Erratic clusters likely melted out of small to moderate-sized, grounded icebergs, while bergmounds are probably associated with especially large, sediment-laden and grounded icebergs (BRETZ 1930).

The results of this study support BRETZ et al. (1956) who believed the north flank of Rattlesnake Mountain displayed the greatest concentration of berg rafted debris anywhere within the area impacted by outburst floods. This appears to apply to both erratics as well as bergmounds, which are rarely reported outside the Pasco Basin (ALLISON 1933). More bergmounds and erratics accumulated here due to floodwaters that backflooded and pooled behind Wallula Gap, the first major constriction along the route of the floods beyond the Channeled Scabland. In the Pasco Basin, flow expansion and rising floodwaters behind Wallula Gap caused a temporary slowing of floodwaters (BJORNSTAD 2006). The slowing currents naturally directed icebergs to the quieter margins of

the basin like Rattlesnake Mountain and backflooded valleys such as the Yakima and Walla Walla valleys (Figures 1 and 2), especially during the waxing stages of flooding (BAKER et al. 1991). Far fewer erratics occur in unrestricted, higher-gradient reaches of the floods, like Wallula Gap, because of higher flow velocities that kept icebergs moving through the system.

Iceberg-deposited erratics occur downstream of Wallula Gap but are much less concentrated than on Rattlesnake Mountain. In the backflooded Willamette Valley (south of Portland, Oregon), for example, only about 1.9 erratics/km<sup>2</sup> were identified by MINERVINI et al. (2003), compared to almost 38.6 erratics+bergmounds/km<sup>2</sup> within the Rattlesnake Mountain study area. However, it is acknowledged that the concentration of erratics may be somewhat biased in favor of Rattlesnake Mountain because rafted debris is more visible in the semi-arid, low shrub-steppe of eastern Washington, compared to the more humid and densely vegetated

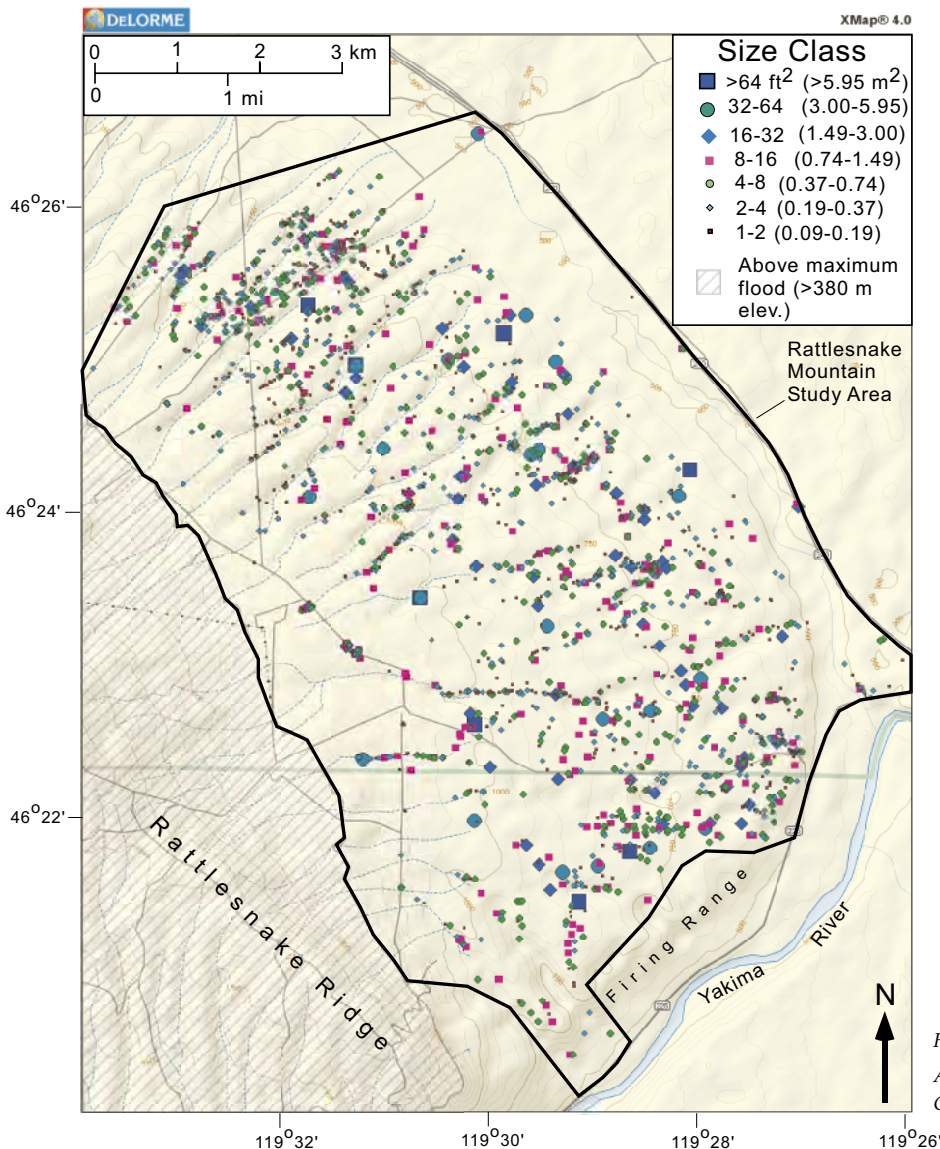


Fig. 13: Distribution of erratics by size.

Abb. 13: Verteilung von Findlingen gemäss Größe.

Willamette Valley. Although many erratics of the Willamette Valley could be buried within or beneath a cover of Quaternary sediments so too are many of the erratics on Rattlesnake Mountain.

As illustrated in Figures 7 and 9 the highest concentrations of erratic debris lies partway up the slopes of Rattlesnake Mountain between 200- and 300 m elevation. The decrease in erratic debris at lower elevations may be explained by increased flow velocity that developed across the lower slopes as the last of the floodwaters in Lake Lewis drained from the basin. Accordingly, the faster flows were sufficient enough to prevent iceberg stagnation. Another possibility is more erratics lie buried beneath a cover of Holocene-age eolian, slopewash or fluvial sediment at lower elevations. The decrease in erratic debris above 300 m is consistent with what is known about the sizes of the many dozens or more outburst floods, only a limited number of which were extremely large (BENITO & O'CONNOR 2003). The peak discharges for many of the floods were relatively small (<1 million m<sup>3</sup>/sec) compared to the largest flood(s) estimated at 17.5 million m<sup>3</sup>/sec (O'CONNOR & BAKER 1992). Naturally, smaller outburst floods would not pond as deep behind hydraulic constrictions at Wallula Gap and the Columbia River Gorge.

Erratic debris was observed up to an elevation of 362 m on Rattlesnake Mountain. Elsewhere in the Pasco Basin the author has observed erratics up to an elevation of 366 m on Red Mountain (N46.301, W119.448). This height is close to 372 m – the base elevation of a high flood-spillover channel along the east side of Wallula Gap (N46.0327, W118.9186) that is incised to an elevation of 378 m. Thus, two independent lines of evidence appear to place the highest level for outburst flooding in the Pasco Basin and upper Wallula Gap to at least 366 m and perhaps as high as 380 m shown in Figures 2 and 3. Highest floodwater indicators downstream of Wallula Gap are only about 335 m elevation, therefore it appears that some hydraulic gradient still existed between the upper and lower ends of Wallula Gap during the largest floods, although the flow was later impeded by ponding that shifted downstream into the constricted reaches of the Columbia River Gorge (BENITO & O'CONNOR 2003). These constrictions facilitated the high water levels observed in Wallula Gap – especially during waning stages of flooding.

#### *Size of Erratics*

The size of erratics appears to be random with respect to elevation (Figure 13) (i.e., erratics of variable size exist up

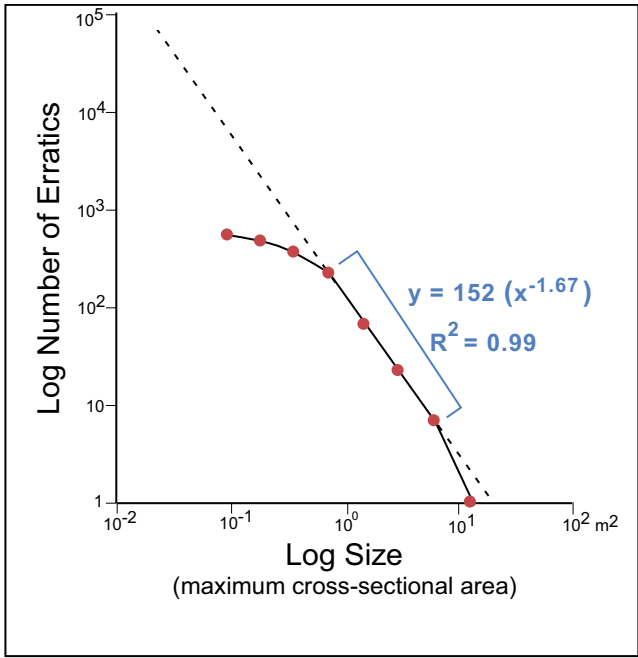


Fig. 14: Log-log plot of size vs. number of erratics measured on Rattlesnake Mountain. A linear log-log distribution may exist for erratics larger than  $0.75 \text{ m}^2$  in area. The straight-line equation and correlation coefficient ( $R^2 = 0.99$ ) are based on the number of erratics mapped between the  $0.75 \text{ m}^2$  and  $6 \text{ m}^2$  size classes.

Abb. 14: Log-Log plot (Anmerkung: zweidimensionale grafische Darstellung von Daten auf Logarithmenbasis): Größe vs. Anzahl ausgemessener Findlinge auf Rattlesnake Mountain. Eine lineare Log-Log Verteilung existiert möglicherweise für Findlinge größer als  $0,75 \text{ m}^2$  im Untersuchungsgebiet. Die Geradengleichung und der Korrelationskoeffizient ( $R^2 = 0,98$ ) beruhen auf der Zahl der Findlinge in den Größenklassen von  $0,75 \text{ m}^2$  sowie  $6 \text{ m}^2$ .

to 362 m elevation). The number of erratics, distributed over seven different size classes, is shown in Figures 10A and 14. The log-log trend of smaller erratics appears to drop off around  $<0.75 \text{ m}^2$ , which may be due to sampling bias. Erratics larger than  $0.7 \text{ m}^2$  are more likely to extend above the low shrub-steppe vegetation rendering them more visible and mappable. Smaller erratics, on the other hand, are less conspicuous and more likely to be overlooked, especially if located between survey transects.

In general, considerable amounts of erratic debris smaller than  $0.09 \text{ m}^2$  were observed to litter the surface, often multiple clasts per square metre, especially below 300 m elevation within the study area. Even though it was not practical to map debris of this size, it might be possible to estimate the abundance of the  $<0.09 \text{ m}^2$  size class based on the log-log plot illustrated in Figure 14. Accordingly, the number of larger erratics ( $0.7 \text{ m}^2$  to  $6 \text{ m}^2$ ) appear to plot along a generally straight-line, log-log function for the number of erratics versus size expressed as:

$$N = 152 A^{-1.67}$$

where  $N$  = number of erratics, and  $A$  = maximum exposed cross-sectional area in  $\text{m}^2$ .

Assuming erratics  $<0.75 \text{ m}^2$  follow a similar straight-line log function, the actual number of erratics in the  $0.1$ – $0.2 \text{ m}^2$  size range might be on the order of several thousand, which is considerably more than the 682 actually observed within the study area (Figure 10A). Accordingly, the total number of even less-visible erratic clasts down to the next smaller size class ( $0.01 \text{ m}^2$ ) may exceed 300,000 based on the above equation. However, while it is possible the above equation

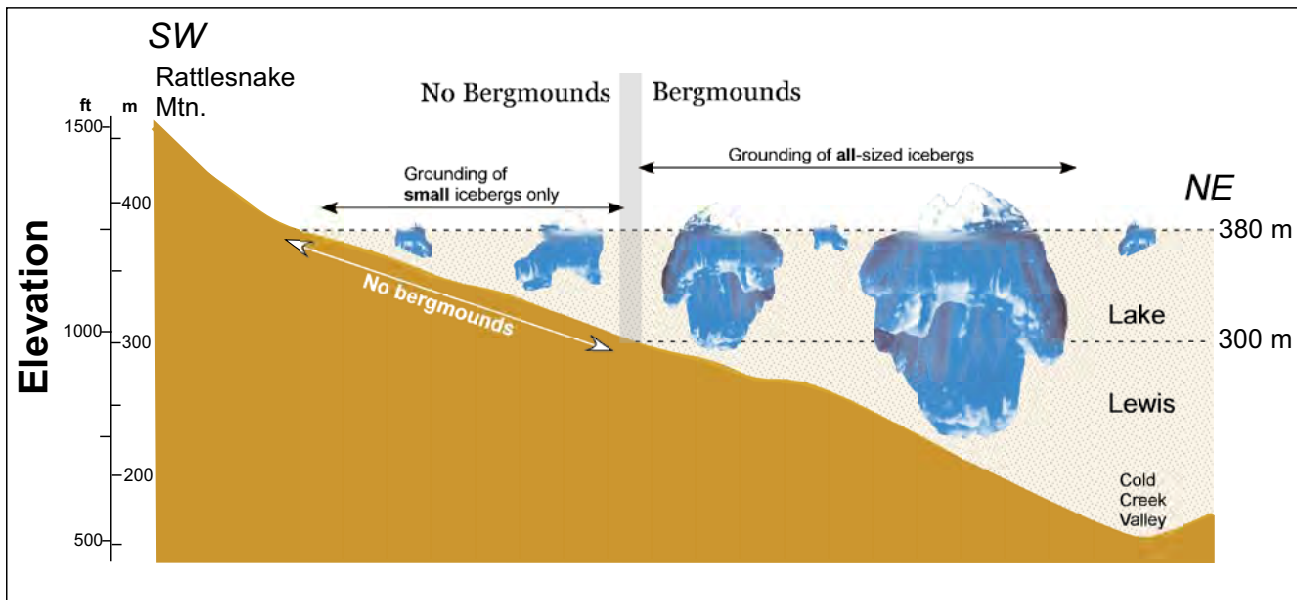


Fig. 15: A diagram to illustrate elevation-limited distribution of bergmounds on Rattlesnake Mountain. The largest icebergs were grounded on the gently sloping lake bottom, further from the ancient shores of short-lived Lake Lewis. Few well-developed bergmounds are observed above ~300 m elevation, even though floodwaters extended up to 380 m. Apparently, during the largest flood(s) all bergmound-producing icebergs became grounded below 75 vertical metres of maximum lake level because of their greater size.

Abb. 15: Diagramm zur höhenbegrenzten Verteilung von Bergmounds auf Rattlesnake Mountain. Die größten Eisberge liegen weit entfernt von der alten Uferlinie von Lake Lewis auf der sanft abfallenden Seesohle auf Grund. Obwohl der See bis auf 380 m Seehöhe anstieg wurden nur wenige gut entwickelte Bergmounds oberhalb von 300 m Seehöhe gefunden. Während der größten Fluten liegen offenbar alle Bergmound erzeugenden Eisberge aufgrund ihrer Größe unterhalb von 75 Höhenmeter unter dem maximalen Seespiegel auf Grund.



Fig. 16: Diagram showing variable flow and speed of floodwater across a portion of the study area. Where floodwaters were deeper to the right, eddy currents caused icebergs to collect and ground on upstream sides of gullies while in shallower more-restrictive waters (left side) icebergs tended to ground along the bottoms of gullies. Elevations in this standard USGS topographic map are in feet (conversion to metres = 0.3048).

Abb. 16: Diagramm zur unterschiedlichen Ablaufmenge und Geschwindigkeit von Flutwassers in einem Teil des Untersuchungsgebietes. Wo die Flutwasser auf der rechten Seite tiefer waren, verursachten Foucaultsche Wirbelströme („eddy currents“), so dass sich Eisberge stromaufwärts an den Seiten der Ablaufrinnen staute und auf Grund liefen, während in flacherem, eingegrenzterem Wasser (auf der linken Seite) die Eisberge eher auf dem Grund der Ablaufrinnen strandeten. Topographische Höhe in Fuß (Umrechnung in Meter = 0.3048).

may not accurately reflect the true number of erratics for different size classes, the known bias introduced in size versus visibility suggests a log-log distribution may in fact represent a reasonable estimate.

#### Sources of Erratic Debris

The lithology of erratics is consistent with an origin from areas once in contact with the Cordilleran Ice Sheet. Argillite is closely associated with quartzite; both are meta-sedimentary rocks derived from the Proterozoic Belt Supergroup (ORR & ORR 1996). These rocks crop out along the eastern side of the Purcell Trench at the site of the ice dam for glacial Lake Missoula (MILLER et al. 1999; BJORNSTAD & KIVER, 2012). Other erratics include Cretaceous and Eocene plutonic rocks such as granite and granodiorite and high-grade metamorphics (i.e., gneiss, schist), which crop out along the western side of the Purcell Trench and in northern Washington (STOFFEL et al. 1991) (Figure 6).

Some basalt, while indigenous to the area, was also entrapped in glacial ice and carried along with outburst floodwaters. Although Columbia River basalt did not come in direct contact with the ice dam for Lake Missoula, there are other places downstream where the ice sheet overrode basalt: 1) Okanogan lobe where it extended across Waterville

Plateau (Figure 1), and 2) the Colville Valley (Figures 1 and 6). Thus, ice rafted basalt may be derived from: 1) icebergs that calved off the Okanogan Lobe (and possibly the Colville Lobe) into glacial Lake Columbia, or 2) a final flood associated with the breakup of Lake Columbia several centuries after the last Missoula flood (ATWATER 1987; WAITT 1994; WAITT et al. 2009).

#### Surficial Weathering and Roundness of Erratics

The majority of erratics (especially granitic) on the surface show some degree of roundness and weathering (Figure 8). Yet the spatial distribution of surface weathering and rounding appeared random with respect to elevation and location within the study area. Because ice rafted erratics undergo little or no abrasion during ice transport, the rounding must have occurred either before or after melting out of icebergs. Like erratics on Rattlesnake Mountain, many glacial erratics observed today near the former Cordilleran Ice Sheet show some degree of rounding, either inherited from their place of origin prior to ice transport, or due to in-situ weathering since the end of the Pleistocene.

Although it may be tempting to attribute weathering and roundness to in-situ weathering (via exfoliation and spalling) since iceberg emplacement, this does not appear to

be the case based on a limited number of cosmogenic-exposure ages on erratics (KESZTHELYI et al. 2009). Three dated erratics shown in Table 1 are variably weathered (two of the three strongly weathered), yet their exposure ages fall into a narrow range of time. All three erratics are associated with the last cycle (Late Wisconsin) glaciation between 16 and 17 thousand years. This amount of time appears insufficient to produce a strongly weathered erratic surface especially considering some granitic erratics on Rattlesnake Mountain show little or no weathering. Therefore, the degree of weathering and rounding of granitic erratics does not appear to be a reliable indicator of age since grounding of erratics and suggests at least some weathering and roundness of erratics is inherited from their place of origin, prior to being ice rafted to Rattlesnake Mountain.

Because of the extremely limited number of dated erratics, however, the possibility still exists that other, undated erratics could have undergone strong weathering in situ. Outburst floods from previous glacial cycles going back to Early Pleistocene (>780 ka) are known to have occurred in eastern Washington (PATTON AND BAKER 1978; BJORNSTAD et al. 2001; PLUHAR et al. 2006). Erratics associated with these earlier flood events would be expected to display strong weathering if continuously exposed at the ground surface. On the other hand, those erratics derived from pre-Wisconsin floods that lie buried beneath an aggrading mantle of post-basalt Pleistocene sediments may have escaped surficial weathering.

### **Origin of Bergmounds**

Although it seems logical to ascribe bergmounds (Figure 4C) entirely to the buildup of ice-rafterd debris from large, sediment-laden icebergs, the model for bergmound development may be more complicated. Not all topographic relief observed on bergmounds is necessarily constructional. Some of the relief may also be the result of increased erosion around the flanks of the bergmound, which occurred during or since flooding. This is suggested from trenching studies of bergmounds, which reveal at least some of the interiors are composed of mostly fine-grained sediments, which are not necessarily derived from ice-rafterd debris (FECHT & TALLMAN 1978; CHAMNESS 1993, 1994). Thus, coarser ice-rafterd debris may merely blanket bergmounds creating a lag-gravel cap that acts to armor and protect the underlying finer-grained sediments. Areas between bergmounds, lacking a coarse, armored cap, then were more susceptible to erosion by either: 1) receding floodwaters, or 2) post-flood eolian deflation. However, problematic is the almost perfectly symmetrical and conical shape of bergmounds that show little or no sign of streamlining, which might be expected if subsequently eroded by either moving floodwater or wind.

### **Distribution of Ice-Rafted Debris**

BRETZ et al. (1956) noted two populations of ice-rafterd debris along Rattlesnake Mountain. They reported bergmounds up to an elevation of 260 m; while single erratics or groups of erratics extended up to 335 m elevation they speculated the two populations were the result of two separate flood events. However, knowing there were at least dozens (WAITT 1980) to perhaps hundreds of separate flood events (BJORNSTAD 2006) of various magnitudes, a different explanation for

the distribution of ice-rafterd debris shown in Figure 7 seems warranted.

Based on Archimedes' principle the minimum size of an iceberg needed to float a boulder of granite composition (average density ~2.70 g/cm<sup>3</sup>) is estimated at about 20 times the volume of the erratic boulder. In marine waters only the upper one-eighth of icebergs rise above water level (BRUNEAU 2004). However, due to higher sediment loads and densities of continental floodwaters, it is likely icebergs were even more buoyant and floated higher when compared to marine water containing little or no suspended sediment. Nevertheless, the bulk of floating icebergs lie underwater and protrude well below the waterline. Essentially, the larger the iceberg the deeper it extended into temporary Lake Lewis (Figure 15). It follows then that larger icebergs would become grounded well away from the ancient shores of Lake Lewis. This would explain why far fewer bergmounds lie above 300 m elevation. Furthermore, the greater concentration of ice-rafterd debris at lower elevations (Figure 7) is consistent with evidence to indicate there were many more smaller floods versus large floods toward the end of the Wisconsin Glaciation (WAITT 1980; BENITO & O'CONNOR 2003).

### **Flow Dynamics**

A notable pattern, illustrated in Figure 7, is the alignment of many erratics and erratic clusters along gullies. At lower elevations, erratics are concentrated along the south-facing (upstream) slopes of gullies. At higher elevations, erratics lie mostly along the bases of these same gullies. The pattern of concentration for erratics along gullies is attributed to eddy currents set up by floodwaters flowing at slightly different velocities across the uneven surface of Rattlesnake Mountain. It is envisioned that, as floodwater levels rapidly lowered, icebergs were trapped in eddies that circulated in the deep and slower moving water within the gullies. At higher elevations where the lake was shallower, deep-rooted icebergs migrated to the deeper water overlying the bottoms of gullies. At lower elevations icebergs were less constrained because of deeper water and therefore more likely to become grounded on the high margins to the upstream side of gullies where eddy circulation concentrated their movement (Figure 16).

Erratics are also more concentrated along roadways within the study area; this concentration suggests exhumation during road construction from fine-textured, post-basalt sediments. Furthermore, cisterns dug by early 20th century settlers in this older loose, fine sediment often produced erratic boulders. These observations indicate: 1) many erratics from older floods lie buried within the post-basalt sediment cover, and 2) there are far more erratic boulders on Rattlesnake Mountain than those currently exposed at the surface. Some of these buried boulders could be associated with older, pre-Wisconsin (>120 ka) outburst floods (PATTON & BAKER 1978; BJORNSTAD et al. 2001).

### **7 Conclusions**

Ice-rafterd debris accumulated in slackwater areas up to an elevation of ~365 m within south-central Washington during repeated Pleistocene cataclysmic floods. Erosion by floods along the basin outlet at Wallula Gap indicates maximum

flood depths approached 380 m. Floodwaters impounded behind Wallula Gap temporarily created Lake Lewis and deposited ice rafted erratics and bergmounds along the gentle slopes of Rattlesnake Mountain. Ice rafted debris is of three types: 1) isolated erratics, 2) erratic clusters, and 3) bergmounds. Unlike erratics and clusters, bergmounds display topographic relief in the form of scattered, low-relief, conical mounds.

The present study of ice rafted debris was performed in a long-protected, sparsely vegetated, 60 km<sup>2</sup> area on the northeastern flank of Rattlesnake Mountain. More than 2,100 locations of erratics >0.09 m<sup>2</sup> and bergmounds were recorded with a GPS unit. Additional information was gathered on 1) elevation, 2) lithology, 3) size, 4) roundness, 5) shape, and 6) surface characteristics of erratics. All but a few percent of erratics consist of rocks other than indigenous basalt; approximately 75% are of granitic composition. Other lithologies, in order of decreasing abundance, are quartzite, diorite, argillite, basalt, gneiss, schist, and gabbro.

<sup>36</sup>Cl-exposure ages on three, widely dispersed erratics were 16–17 ka, suggesting all were emplaced during the last glacial cycle (i.e., Late Wisconsin). Most erratics are either subrounded or rounded, followed by subangular; angular clasts are least common. Greater than three quarters of erratics are moderately to strongly weathered, but a wide range of weathering and roundness was observed on the cosmogenically-dated erratics suggesting these features are likely inherited from their place of origin.

The distribution of ice rafted debris is non-uniform; maximum concentration is around 200 m elevation. Bergmounds are mostly restricted to a band between 200- and 300 m elevation; especially large icebergs that produced bergmounds could not approach the shores of the ancient shoaling lake, which extended up to 80 m higher. As floodwaters moved across an uneven surface backwater eddies concentrated icebergs and their entrapped erratics along the upstream sides of northeast-trending gullies within the study area. This study affirms that the north slope of Rattlesnake Mountain likely contains the most prolific erratic and bergmound population of anywhere along the route for glacial-outburst floods in the northwestern US.

## Acknowledgements

Special thanks go to Elysia Jennet, Bronwyn Ryan, and Rick Edwards who each spent a summer diligently collecting field data. Jenna Gaston of the U.S. Fish and Wildlife Service assisted with the special-use permit to access the restricted Fitzner/Eberhardt Arid Lands Ecology Reserve Unit of the Hanford Reach National Monument. Also appreciated is the support of Gary Kleinknecht and Ivar Husa and helpful reviews of earlier drafts of the manuscript by Jim O'Connor and Jim Knox. Reviews by colleagues at the Pacific Northwest National Laboratory, including Mickie Chamness, George Last and Christopher Murray, further improved the manuscript. Appreciated is an editorial review by Andrea Currie and translations by Nik Foster. Vic Baker and Marek Zreda provided <sup>36</sup>Cl-exposure age dates for Rattlesnake Mountain erratics. Lastly, helpful reviews by Leszek Marks and Jim Rose greatly improved the quality of the manuscript.

## References

- ALLEN, J.E., BURNS, M. & BURNS, S. (2009): Cataclysms on the Columbia. – 205 p.; Second Edition, Portland, Oregon (Ooligan Press).
- ALLISON, I.S. (1933): New version of the Spokane flood. – Bulletin of the Geological Society of America, 44: 675–722.
- ALLISON, I.S. (1935): Glacial erratics in the Willamette Valley. – Bulletin of the Geological Society of America, 46: 605–632.
- ATWATER, B.F. (1986): Pleistocene glacial-lake deposits of the Sanpoil River valley, northeastern Washington. – USGS Bulletin 1661, U.S. Geological Survey.
- ATWATER, B.F. (1987): Status of glacial Lake Columbia during the last floods from glacial Lake Missoula. – Quaternary Research, 27: 182–201.
- BAKER, V.R. (1978): Paleohydraulics and hydrodynamics of the Scabland Floods. – In: BAKER, V.R., NUMMEDAL, D. (eds.): The Channeled Scabland. – Washington D.C. (National Aeronautics and Space Administration), 59–79.
- BAKER, V.R. & BUNKER, R.C. (1985): Cataclysmic Late Pleistocene flooding from glacial Lake Missoula: A review. – Quaternary Science Reviews, 4: 1–41.
- BAKER, V.R., BJORNSTAD, B.N., BUSACCA, A.J., FECHT, K.R., KIVER, E.P., MOODY, U.L., RIGBY, J.G., STRADLING, D.F. & TALLMAN, A.M. (1991): Quaternary geology of the Columbia Plateau. – In: MORRISON, R.B. (ed.), Quaternary Nonglacial Geology, Conterminous U.S., DNAG [Decade of North American Geology], Geology of North America, Boulder, Colorado (Geological Society of America), v. K-2, 215–250.
- BENITO, G. & O'CONNOR, J.E. (2003): Number and size of last-glacial Missoula floods in the Columbia River valley between Pasco Basin, Washington, and Portland, Oregon. – Bulletin of the Geological Society of America, 115: 624–638.
- BJORNSTAD, B. N., FECHT, K.R. & PLUHAR, C.J. (2001): Long history of pre-Wisconsin, Ice-Age floods: Evidence from southeastern Washington State. – Journal of Geology, 109: 695–713.
- BJORNSTAD, B.N. (2006): On the Trail of the Ice-Age Floods: Guide to the Mid-Columbia Basin. – 307 p.; Sandpoint, Idaho (Keokee).
- BJORNSTAD, B.N. & E.P. KIVER (2012): On the Trail of the Ice Age Floods: The Northern Reaches. – 432 p.; Sandpoint, Idaho (Keokee).
- BJORNSTAD, B.N., BABCOCK, R.S. & LAST, G.V. (2007): Flood basalts and Ice age floods: Repeated late Cenozoic cataclysms of southeastern Washington. – In: STELLING, P. & TUCKER, D.S., (eds.), Floods, Faults and Fire: Geological Field Trips in Washington State and Southwest British Columbia. – Geological Society of America Field Guide 9, 209–255, doi: 10.1130/2007.fld009 (10).
- BRETZ, J.H. (1919): The late Pleistocene submergence in the Columbia valley of Oregon and Washington. – Journal of Geology, 27: 489–506.
- BRETZ, J.H. (1923a): Glacial drainage on the Columbia Plateau. – Bulletin of the Geological Society of America, 34: 573–608.
- BRETZ, J.H. (1923b): The Channeled Scabland of the Columbia Plateau. – Journal of Geology, 31: 617–649.
- BRETZ, J.H. (1930): Valley deposits immediately west of the Channeled Scabland. – Journal of Geology, 38: 385–422.
- BRETZ, J.H., SMITH, H.T.U. & NEFF, G.E. (1956): Channeled Scabland of Washington: New data and interpretations. – Bulletin of the Geological Society of America, 67: 957–1049.
- BRETZ, J.H. (1969): The Lake Missoula floods and the Channeled Scabland. – Journal of Geology, 77: 505–543.
- BRUNEAU, S.E. (2004): Icebergs of Newfoundland and Labrador. – 64 p.; St. Johns, Newfoundland, (Flanker Press).
- CHAMNESS, M.A. (1993): An investigation of bergmounds as analogs to erosion control factors on protective barriers. PNL-8841, Pacific Northwest Laboratory, Richland, Washington.
- CHAMNESS, M.A. (1994): Bergmounds: A depositional or erosional feature? – Geological Society of America, Abstracts with Programs 26: A-307.
- DENLINGER, R.P. & O'CONNELL, D.R.H. (2010): Simulation of cataclysmic outburst floods from Pleistocene glacial Lake Missoula. – Bulletin of the Geological Society of America, 122: 678–689. DOI: 10.1130/B26454.1.
- FECHT, K.R. & TALLMAN, A.M. (1978): Bergmounds along the western margin of the Channeled Scablands, south-central Washington. – RHO-BWI-SA-11, Rockwell Hanford Operations, Richland, Washington.
- KARLSON, R.C. (2006): Investigation of Ice Age flood geomorphology and stratigraphy in Ginkgo Petrified Forest State Park, Washington: Implications for park interpretation. – Master of Science Thesis, Central Washington University, Ellensburg, Washington, 146 p.
- KESZTHELYI, L.P., BAKER, V.R., JAEGER, W.L., GAYLORD, D.R., BJORNSTAD, B.N., GREENBAUM, N., SELF, S., THORDARSON, T., PORAT, N. & ZREDA,

- M.G. (2009): Floods of water and lava in the Columbia River Basin: Analogs for Mars. – In: O'CONNOR, J.E., DORSEY, R.J. & MADIN, I.P., (eds.), Volcanoes to Vineyards: Geologic Field Trips Through the Dynamic Landscape of the Pacific Northwest. – Geological Society of America Field Guide 15, 845–874, doi: 10.1130/2009.fld015 (34).
- MILLER, F.K., BURMESTER, R.F., MILLER, D.M., POWELL, R.E. & DERKEY, P.M. (1999): Digital geologic map of the Sandpoint 1- by 2-degree quadrangle, Washington, Idaho, and Montana. – Open-File Report 99-144, U.S. Geological Survey, Menlo Park, California.
- MINERVINI, J., O'CONNOR, J.E. & WELLS, R.E. (2003): Inundation map, ice rafted erratics, and deposits of Late Pleistocene Missoula floods in the Portland Basin and Willamette Valley, Oregon and Washington. – Geological Society of America, Abstracts with Programs, 34: 335.
- O'CONNOR, J.E. (1993): Hydrology, hydraulics, and geomorphology of the Bonneville Flood. – GSA Special Paper 274, Geological Society of America, Boulder, Colorado, 83 p.
- O'CONNOR, J.E. & BAKER, V.R. (1992): Magnitudes and implications of peak discharges from glacial Lake Missoula. – Bulletin of the Geological Society of America, 104: 267–279.
- O'Connor, J.E. & Benito, G. (2009): Late Pleistocene Missoula floods – 15,000–20,000 calendar years before present from radiocarbon dating. – Geological Society of America, Abstracts with Programs, 41: 169.
- ORR, E.L. & ORR, W.N. (1996): Geology of the Pacific Northwest. – 409 p.; New York (McGraw-Hill).
- PATTON, P.C. & Baker, V.R. (1978): New evidence of pre-Wisconsin flooding in the channeled scabland of eastern Washington. – Geology, 6: 567–571.
- PLUHAR, C.J., BJORNSTAD, B.N., REIDEL, S.P., COE, R.S. & NELSON, P.B. (2006): Magnetostratigraphic evidence from the Cold Creek bar for onset of ice-age cataclysmic floods in eastern Washington during the Early Pleistocene. – Quaternary Research, 65: 123–135.
- SHAW, J., MUNRO-STASUIK, M., SAWYER, B., BEANEY, C., LESEMANN, J.-E., MUSACCIO, A., RAINS, B. & YOUNG, R.R. (1999): The Channeled Scabland: Back to Bretz. – Geology, 27: 605–608.
- SMITH, G.A. (1993): Missoula flood dynamics and magnitudes inferred from sedimentology of slack-water deposits on the Columbia Plateau. – Bulletin of the Geological Society of America, 105: 77–100.
- STOFFEL, K.L., JOSEPH, N.L., WAGGONER, S.Z., GULICK, C.W., KOROSEC, M.A. & BUNNING, B.B. (1991): Geologic Map of Washington – Northeast Quadrant. – Geologic Map GM-39, Washington Division of Geology and Earth Resources, Olympia, Washington.
- WAITT, R.B. (1980): About forty last-glacial Lake Missoula jökulhlaups through southern Washington. – Journal of Geology, 88: 653–679.
- WAITT, R.B. (1985): Case for periodic, colossal jökulhlaups from Pleistocene glacial Lake Missoula. – Bulletin of the Geological Society of America, 96: 1271–1286.
- WAITT, R.B. (1994): Scores of gigantic, successively smaller Lake Missoula floods through Channeled Scabland and Columbia Valley. – In: SWANSON D.A. & HAUGERUD, R.A. (eds.): Geologic Field Trips in the Pacific Northwest, Chapter 1K. – Geological Society of America, Boulder, Colorado, pp. 1K-1 to 1K-88.
- WAITT, R.B., DENLINGER, R.P. & O'CONNOR, J.E. (2009): Many Monstrous Missoula floods down Channeled Scabland and Columbia Valley. – In: O'CONNOR, J.E., DORSEY, R.J., & MADIN, I.P. (eds.): Volcanoes to Vineyards: Geologic Field Trips through Dynamic Landscape of the Pacific Northwest. – Geological Society of America Field Guide 15: 775–844, doi: 10.1130/2009.ftd015(33).

# Driving mechanisms of Holocene lagoon development and barrier accretion in Northern Elis, Peloponnese, inferred from the sedimentary record of the Kotychi Lagoon

Elke Haenssler, Ingmar Unkel, Walter Dörfler, Marie-Josée Nadeau

**How to cite:**

HAENSSLER, E., UNKEL, I., DÖRFLER, W. & NADEAU, M.-J. (2014): Driving mechanisms of Holocene lagoon development and barrier accretion in Northern Elis, Peloponnese, inferred from the sedimentary record of the Kotychi Lagoon. – E&G Quaternary Science Journal, 63 (1): 60–77. DOI: 10.3285/eg.63.1.04

**Abstract:**

As part of the lagoon barrier accretions plain characterizing the NW coast of the Peloponnese, the Kotychi Lagoon is believed to have formed in the prograding delta of the Palaeo-Peneus River over 7000 years ago. Geochemical/sedimentological proxies-data (XRF, grain size, OC-, IC-, C/N-analysis) combined with Bayesian age-depth-modeling revealed that from 8500 to 8000 cal BP marine conditions were prevailing. Around 8000 cal BP, a short-lived sequence of coastline progradation and barrier accretion created lagoonal conditions. Thus, the first chronological control for the onset of lagoon formation in coastal Elis is presented. Pronounced lagoonal conditions developed approximately 6300 cal BP, simultaneously to the period of circum-Mediterranean lagoon formation. A rapidly varying sedimentary record indicates a phase of geomorphological instability between 5200 and 3500 cal BP terminating with the erosional unconformity of a river channel. This evolution reflects a two-phase development: (1) Early Holocene morphology was controlled by the postglacial sea level rise; (2) with receding of the ice sheets by mid-Holocene, the preeminent role of the eustatic signal was overwhelmed giving local and regional processes, such as human-induced soil erosion and climatic forcing an accentuated role. Thus, the evolution of the Elean coastline shows analogies to circum-Mediterranean lagoon formation.

**Mechanismen Holozäner Lagunenentwicklung und Küstenwachstum in der nördlichen Elis [Peloponnes, Griechenland], abgeleitet aus dem Sedimentarchiv der Kotychi Lagune**

**Kurzfassung:**

Die Kotychi Lagune liegt im Nordwesten der Peloponnes und hatte ihren Ursprung vor mehr als 7000 Jahren im progradierenden Delta des Paläo-Peneus. Anhand geochemischer und sedimentologischer Proxydaten (XRF, Korngröße, OC, IC, CN) kombiniert mit bayesianischer Alters-Tiefen-Modellierung wurden für den Zeitraum von 8500 bis 8000 cal BP marine Verhältnisse nachgewiesen. Eine erste Phase der Küstenprogradation um 8000 cal BP führte zu kurzlebiger Lagunenbildung, womit zum ersten Mal das Einsetzen der *lagunären* Bedingungen chronologisch erfasst wurde. Die Lagune manifestierte sich nachhaltig um 6300 cal BP, zeitgleich zu einer Phase weitverbreiteter Lagunenbildung im Mittelmeerraum. Zwischen 5200 und 3500 cal BP deutet eine rasche Abfolge variierender Sedimentationsbedingungen auf eine Phase geomorphologischer Instabilität. Abgeschlossen wird die sedimentäre Abfolge um 3500 cal BP mit der Erosionsdiskordanz eines Flusslaufes. Die rekonstruierte Entstehungsgeschichte der Kotychi Lagune lässt sich in zwei Phasen unterteilen: Die frühholozäne Küstenentwicklung wurde durch den postglazialen Meeresspiegelanstieg dominiert. Mit dem Abschmelzen der Eiskappen verlangsamte sich der Anstieg im mittleren Holozän. Dadurch schwächte die dominierende Wirkung des Meeresspiegels ab und lokale und regionale Faktoren wie klimatisch oder anthropogen induzierte Bodenerosion prägten die Küstenmorphologie durch ihren Beitrag zum Sedimentbudget. Somit zeigt die Genese der Kotychi Lagune Parallelen zu vielen Lagunen im Mittelmeerraum.

**Keywords:**

Greece, Holocene coastal evolution, XRF, geochemistry, lagoon, sea level change

**Addresses of authors:** Elke Haenssler, Ingmar Unkel\*, Institute for Ecosystem Research, Kiel University, Olshausenstr. 75, 24118 Kiel, Germany. Walter Dörfler, Institute for Pre- and Proto-history, Kiel University, Johanna-Mestorf-Straße 2–6, 24118 Kiel, Germany. Marie-Josée Nadeau, Leibniz-Laboratory for Radiometric Dating and Isotope Research, Max-Eyth-Str. 11-13, 24118 Kiel, Germany. All authors, Graduate School “Human Development in Landscapes”, Kiel University, Leibnizstr. 3, 24118 Kiel, Germany. \*corresponding author E-mail: iunkel@ecology.uni-kiel.de, Phone: +49 431 880-5241

## 1 Introduction

Situated at the dynamic interface between land and sea, coasts are transient landscapes shaped by the interplay between macroscale (sea-level changes, climate, and tectonic stability) and microscale processes (sediment supply, topographical inheritance, wave energy, and tidal range (BAO et al., 2007)). Any change in the power of these controlling factors directly translates into morphological adjustment of the

coast (COOPER, 1994; BAO et al., 2007). Where rivers enter the sea, hinterland sediment supply associated with natural climate fluctuations or anthropogenic activity provides a significant contribution to the gross sediment budget and thus forms the coast. If the rate of sediments supplied by rivers exceeds the combined ability of waves and tides to carry away the sediment, a delta forms at the mouth of the river. Delivered to the delta front, sediments may be re-deposited to block the river mouth and shape the coast by forming

barriers, lagoons or marshes (McMANUS, 2002; KRAFT et al., 2005; DINIS et al., 2006). In this context, sea level has an exceptional role as it serves as the ultimate base level (PLATER & KIRBY, 2011).

During the Holocene, sea level exhibited significant fluctuations, mostly responding to the advance and retreat of the continental ice sheets (LAMBECK et al., 2010). In general, two distinct periods of sea level rise can be distinguished. An early period of rapid sea level rise spanning from 18000 to 6000 BP contrasts with a period of near stability from 6000 BP to the present. During the early phase, coastal evolution was predominantly controlled by the post-glacial sea-level, while by 6000 BP local and regional factors (isostasy, subsidence, sediment supply, anthropic activity) overwhelmed the power of attenuated sea level rise (BAO, FREITAS & ANDRADE, 1999; FREITAS et al., 2003; DINIS et al., 2006). This mid-Holocene sea level stabilization had major influence on fluvial sedimentation in coastal regions and triggering delta progradation on a global scale (STANLEY & WARNE, 1993). The formation of many Mediterranean lagoons for example on the Thessaloniki plain, Greece (FOUACHE et al., 2008), on the Iberian Peninsula (FREITAS et al., 2003; BAO et al., 2007; COSTAS et al., 2009), at the coastal plain of Marathon, Greece (PAVLOPOULOS et al., 2006) or on the northern Peloponnese, Greece (KONTOPOULOS & AVRAMIDIS, 2003) can be traced back to this period.

To understand coastal evolution and the driving mechanism, the sedimentary record of lagoons has great potential. As a net area of deposition, lagoons preserve the sedimentary signature of multiple processes acting upon the coastline and thus offer the possibility to trace spatio-temporal coastline migration and its causes.

The present study addresses the Holocene coastal evolution of the northern Elis, Northwest Peloponnese, Greece. It focuses on the coastal stripe between the limestone headlands of the Mavra Vouna (Black Mountains) in the north and Cape Kyllini in the south both connected by a crescentic beach isolating a coast parallel sequence of lagoons and marshes (Fig. 1). Out of these lagoons, the Kotychi Lagoon, serves as a geoarchive. Previous studies indicate a series of lagoons fringing the Elean coast for at least 7000 years (KRAFT et al., 2005; KONTOPOULOS & KOUTSIOS, 2010). However, there is no evidence about the onset of barrier-lagoon accretion in Elis. Research at the Elean coast extends back to RAPHAEL (1973, 1978) who combined geomorphological and archaeological evidence to identify cycles of coastal pro- and retrogradation from the late Holocene until Turkish Times. Likewise, a synthesis of geomorphology, literary sources and drill cores allowed KRAFT et al. (2005) to reconstruct mid-Holocene evolution of the Elean coastline. The authors identified a sequence of ancient lagoons and barrier islands resulting from the interplay of varying sediment fluxes and sea level rise. Recent studies at the Kotychi Lagoon focused on a local palaeogeographic reconstruction by pollen analyses of sediment cores (LAZAROVA, KOUTSIOS, & KONTOPOULOS, 2012) and the analysis of microfossil assemblage and sedimentology (KONTOPOULOS & KOUTSIOS, 2010).

The aim of this study is to decipher coastal morphogenesis of northern coastal Elis during the Holocene and to put the evolution into a general, circum Mediterranean context. Special emphasis is placed on the driving mechanisms of coastal

evolution and the role of post glacial sea level rise as one potential driver of change. In order to achieve these aims, high resolution XRF-data is combined with grain size and C/N analyses from a sediment core retrieved at the shore of the Kotychi Lagoon. As XRF-analysis is mostly applied to limnic or deep sea environments, this study is one of few using XRF-data to reconstruct coastline evolution.

## 2 Regional Setting

### 2.1 Geography and Geology

The study area comprises a coastal stripe in the northwestern part of the Peloponnese, which belongs to the northern part of the prefecture of Elis (Fig. 1).

The convergence of the African and the Eurasian plate which culminated in the Alpine orogeny is crucial for present geology and tectonic activity in the western Peloponnese because geological basement and major fault systems are related to this compressional regime. Located in the direct vicinity to the Hellenic arc, the center of subduction since Miocene times (23–7 Ma BP), the study area is part of one of the most tectonically and seismically active regions in Greece (FOUNTOULIS et al., 2011). A detailed earthquake catalogue spanning the twentieth century is summarized by BURTONA et al. (2004). In the study area, Miocene diapirism caused by Triassic evaporates of the Alpine basement contributes to complicated tectonic deformation and high seismicity (UNDERHILL, 1988; MAROUKIAN et al., 2000). According to FOUNTOULIS et al. (2011), major faults form neotectonic blocks which exhibit diverging trends of vertical movement. While uplift rates between 0.16 and 0.67 mm/year characterize the hinterland, the coastal strip is subsiding (FOUNTOULIS et al., 2011).

The area is characterized by a broad coastal plain where the limestone headlands of Cape Kyllini, Cape Kunupeli and the Mavra Vouna are the only relicts of the Alpine formations. They comprise series of white to light brown limestones (geological map of Greece, sheet Amalias, sheet Nea Manolas, scale 1:50,000, IGME (1977); JACOBSHAGEN, 1986). Further remains of the alpine basement in this area are covered by Neogene to Pleistocene marine sandstones, sandy clays and clayey marls which intercalate with Holocene terrestrial and torrential clayey and sandy deposits to the east (geological map of Greece, sheet Amalias, sheet Nea Manolas, scale 1:50,000, IGME (1977); JACOBSHAGEN, 1986; MAROUKIAN et al., 2000). The latter represent the most extensive Quaternary alluvial deposits in the Peloponnese (RAPHAEL, 1978; Poulos et al., 2002). Primarily responsible for the accumulation of these deposits is the Peneus River, originating to the east in the Arcadian Mountains and currently entering the Ionian Sea south of Cape Kyllini. However, the palaeo-delta of the Peneus River is believed to have been located north of Cape Kyllini giving rise to a sequence of lagoons and marshes embedded in the prograding delta and fed by sediments from the Elean uplands. As a relic of this past river course, a system of ancient levees depicted in historic maps (cf. CURTIUS, 1851) has been detected a few kilometers south of the Kotychi Lagoon (Fig. 1) (PHILIPPSON, 1959; RAPHAEL, 1978; KRAFT et al., 2005; FOUNTOULIS et al., 2011). An anthropogenic or natural (tectonic) diversion of the Peneus River is still subject of discussion but is believed

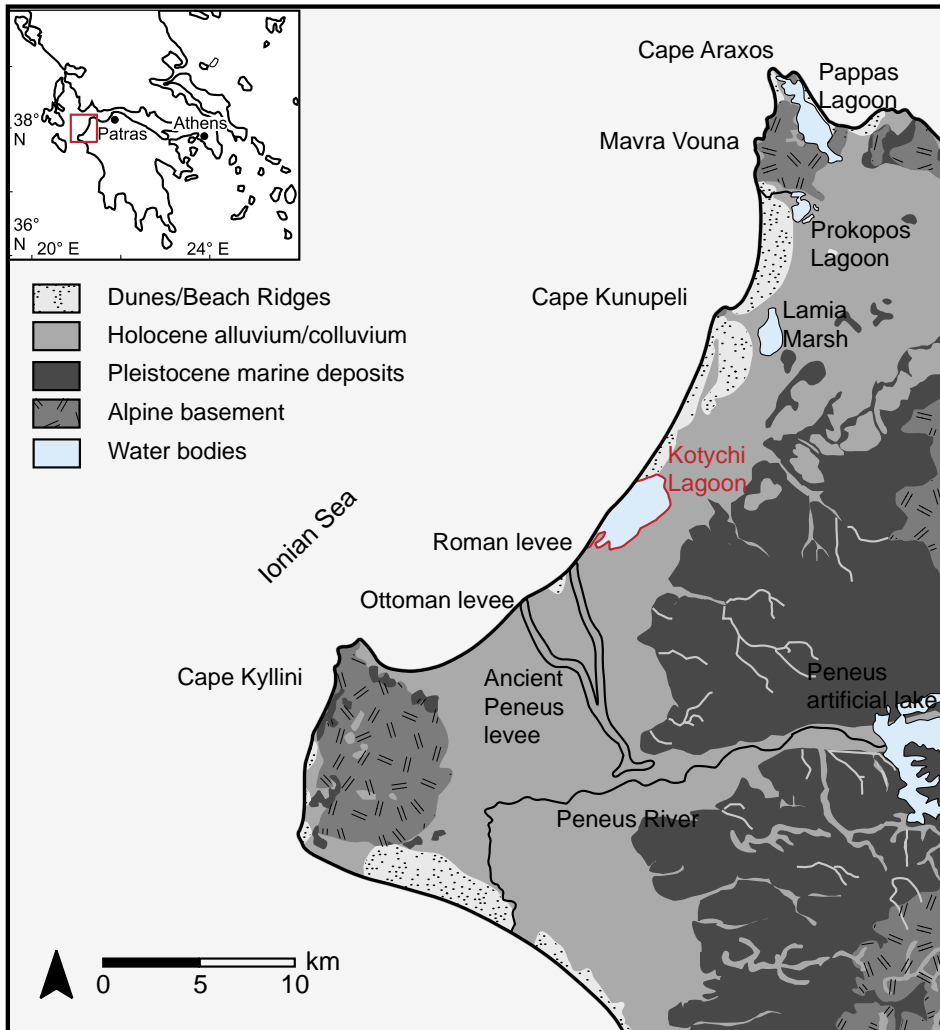


Fig. 1: The study area (modified after FOUNTOULIS et al., 2011).

Abb. 1: Das Untersuchungsgebiet (nach FOUNTOULIS et al., 2011, verändert).

to have occurred in the 17th century AD (KRAFT et al., 2005; KONTOPOULOS & KOUTSIOS, 2010; FOUNTOULIS et al., 2011). Starved of its sediment supply, erosion has dominated the north Elean ever since (KRAFT et al., 2005).

The high seismicity accompanied by gradual as well as episodically crustal displacement limits the utilization of a uniform sea level curve. The relative sea level data for the Elis coastal plain varied between 0.5 m/ka (VÖTT, 2007) and 0.95 m/ka (KONTOPOULOS & KOUTSIOS, 2010) from approximately 5000 cal BC to roughly 1000 cal BC and since then, increased to values of 0.7 m /ka (VÖTT, 2007) up to 1.2 m/ka (KONTOPOULOS & KOUTSIOS, 2010).

## 2.2 Lagoonal settings

As part of the coastal lagoon barrier accretions plain which characterizes the NW part of the Peloponnese, the Kotychi Lagoon is believed to have formed in the prograding delta of the Palaeo-Peneus River more than 7000 years ago (KRAFT et al., 2005; KONTOPOULOS & KOUTSIOS, 2010). The lagoon is bound to a gentle basin structure (Avramidis pers. comm.) and is separated from the wave dominated and microtidal coast of the Ionian Sea by a low relief barrier, dissected by a small channel. On the eastern, landward shore, small deltas prograde into the lagoon and intertidal/supratidal mud flats covered with halophytic vegetation are prevailing (Fig. 2) (AVRAMIDIS et al., 2008; LAZAROVA, KOUTSIOS, & KONTOPOU-

LOS, 2012). With a maximum depth of 2.5 m and an average depth of 0.5 m the Kotychi Lagoon is considerably shallow (KONTOPOULOS & KOUTSIOS, 2010). During the wet season in winter, salinity values range from 8‰ and 17‰, whereas during the dry summer month, restricted runoff and enhanced evaporation lead to salinity from 20‰ to 37‰ (KONTOPOULOS & KOUTSIOS, 2010). Six main streams and a few torrential rivers mostly originating in the foothills of the Arcadian Mountains characterize the hydrological network. Fluvial sediments supplied by the streams are the major constituent of sediments deposited in the lagoon whereas autochthonous shell fragments are of minor importance. Aeolian sands, suspended sands eroded on tidal flats, or sand washed into the lagoon by washover fans are negligible (AVRAMIDIS et al., 2008). The torrential discharge regime of the rivers results in a seasonal expansion of the water body between 710 and 850 ha (DOUKAKIS, 2003).

## 2.3 Climate

Meteorological data from the nearby Araxos station (38°08'N/21°23.5'E; 12 m above sea level) reflects a typical Mediterranean climate. In the period from 1965 to 2003, the mean annual temperature was 17.8 °C with a relative humidity of 69.4%. The mean annual precipitation between 1948 and 2007 was 669 mm with a pronounced winter maximum between September/October and March/April. This season-

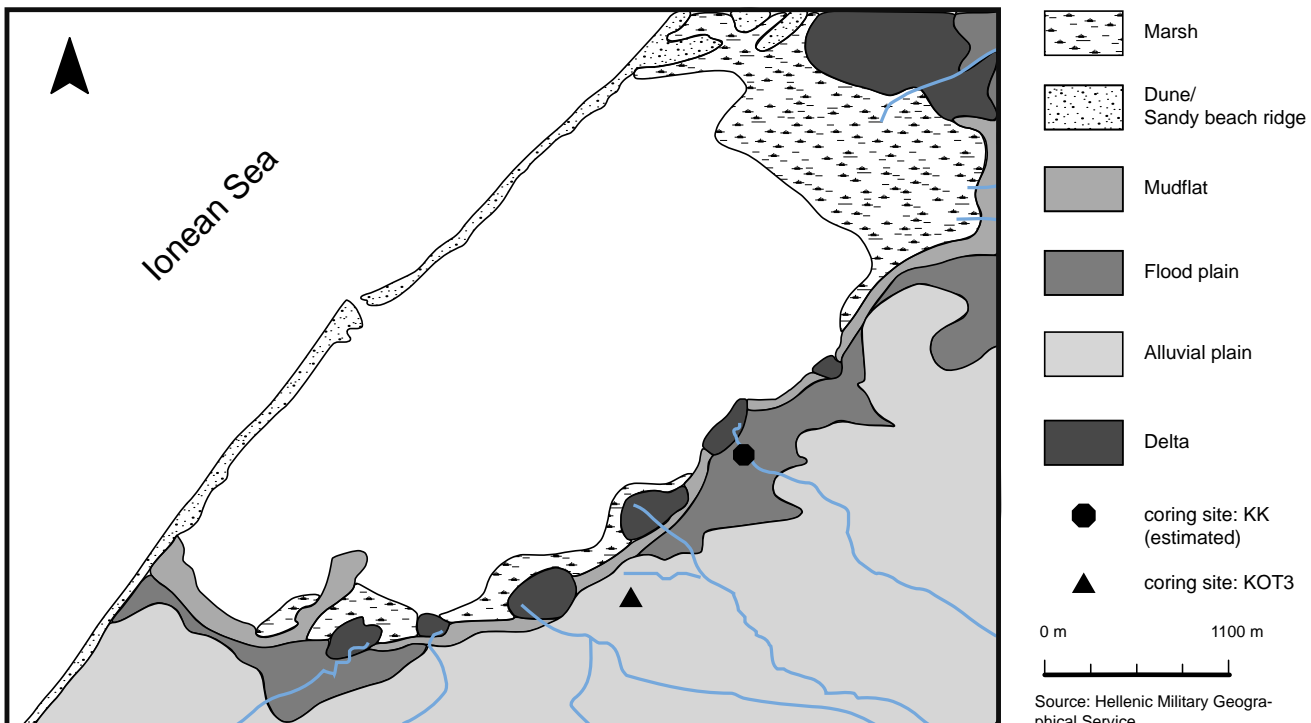


Fig. 2: Lagoonal settings (modified after AVRAMIDIS et al., 2008).

Abb. 2: Die Kotychi Lagune (nach AVRAMIDIS et al., 2008, verändert).

ality is reflected by cyclic sediment fluxes within the year. They are highest at the beginning of the wet season removing easily erodible soils barely vegetated and desiccated during the summer (POULOS et al., 2002).

### 3 Material and Methods

#### 3.1 Field and Laboratory Methods

In April 2011, the two parallel sediment cores KOT3A and KOT3B ( $37^{\circ}59,752\text{N}$  /  $21^{\circ}18,133\text{E}$ , Fig. 2) were retrieved on the alluvial plain at the eastern shore of the Kotychi Lagoon using a high-precision rod-operated piston corer (Usinger-System) (MINGRAM et al., 2007). With a total length of 980 cm, KOT3A comprises 10 segments each approximately one meter in length.

The sediments in the uppermost centimeter of each core segment might be disturbed during the coring process, which introduces gaps to the sedimentary sequence. Further, a sand layer in KOT3A at depth from 85 to 123 cm could not be recovered. To overcome these gaps, the parallel core KOT3B comprising 940 cm split into 10 segments was retrieved in a distance of about 2 m from KOT3A.

All sediment cores were transported to Kiel University in densely packed plastic inliners, where they were opened, split lengthwise in the lab and stored in a core repository at  $4^{\circ}\text{C}$ . One half of each core was used for non-destructive scanning methods and subsequently archived. The other half of the core served for different material-consuming analyses such as grain size analysis and CN-analysis.

Prior to any analytical procedures, macroscopic components, sediment structures and sediment texture were documented on split and cleaned sediment surfaces. Sediment color was determined according to Munsell Soil Color Charts.

The archive halves of all cores were scanned at 1 cm resolution for major elements with an Avaatech X-ray Fluorescence (XRF) core scanner equipped with a Rhodium tube (RICHTER et al., 2006). The results of the scans are displayed as element counts per seconds (cps) at each measuring point. For elements with lower atomic number (Al, Si, P, S, Cl, K, Ca, Ti, Mn, Fe) generator settings of 10 kV and 1000  $\mu\text{A}$  with an exposure time of 10 seconds were used. For elements with higher atomic number (Br, Rb, Sr, Zr) setting of 30 kV and 2000  $\mu\text{A}$  with an exposure time of 20 second were chosen. At each measuring point, element counts were normalized to the total element counts (cf. CUVEN, FRANCUS & LAMOUREUX, 2011) to avoid possible bias caused by non-linear absorption (matrix effects) or by dilution of elements outside the measuring range of the spectrometer (closed-sum effect) (RICHTER et al., 2006; LÖWEMARK et al., 2011; CUVEN, FRANCUS & LAMOUREUX, 2011). Furthermore, ratios of selected elements were established and used as geochemical proxies (cf. chapter 6.1).

The XRF-data was used to support the visual correlation of the parallel cores KOT3A and KOT3B. By matching distinct peaks in both core profiles, the respective gaps of KOT3A could be completed with data from KOT3B to obtain the continuous, undisturbed sedimentary sequence KOT3. Due to inhomogeneous sediment surface with abundant sharp shells, XRF-scanning between 313 and 330 cm was not possible. Hence, this section was excluded from further interpretation.

To assess the degree of association between chemical elements, Pearson's correlation coefficients were calculated for the major elements and plotted in a correlation matrix (Fig. 4) using the corrgram package in the statistics software R version 2.13.2 (R DEVELOPMENT CORE TEAM, 2011; WRIGHT, 2011). A strong positive correlation between chemical ele-

ments suggests a common driving force whereas negative values imply an inverse association of elements.

All samples for destructive analyses were solely extracted from KOT3A.

The concentrations of total nitrogen (TN), total organic carbon (TOC) and inorganic carbon (IC) were determined on 86 dried, grinded and homogenized samples through combustion in an elemental analyzer (Euro EA, Elementanalyzer). To quantify the relative abundance of terrestrially and aquatically organic matter C/N (TOC/TN) ratios were calculated (MEYERS & LALLIER-VERGÈS, 1999).

The grain size distribution of the sediments <1.8 mm was determined using a laser-particle-analyzer (Mastersizer 2000, Malvern). 78 samples (~0.5 g) were taken and successively treated with Hydrogen Peroxide until all organics were removed. Prior to measurements, rinsed samples were suspended in 10 ml of distilled water and 0.5 ml 0.1 M Sodium Pyrophosphat to prevent coagulation. Final grain-size distribution/histograms is the mean of 12 runs with a measuring time of 60 seconds for each sample run.

### 3.2 Proxy Interpretation

Depending on the environmental conditions in a water body or its catchment, geochemical and sedimentological proxies can be interpreted in multiple ways. The grain size distribution in limnic or lagoonal sediments is an indicator for horizontal as well as vertical distance to the shoreline and hence water level fluctuations. In close proximity to the shoreline a greater proportion of coarse grains is deposited while the amount of fine sediments increase with vertical transport distance to the shoreline (BURNETT et al., 2011). However, the grain size distribution can also be a signal of catchment erosion, either reflecting shifts from mainly physical to more chemical weathering or enhanced precipitation and depositions of coarse sediments (KOINING et al., 2003).

In lagoonal systems, organic matter is a binary mixture of terrestrial and aquatic sources. The origin of organic matter can be distinguished by a characteristic C/N-ratio. Aquatic organic matter generally has C/N-ratios between 4 and 10 in contrast to cellulose-rich and protein-poor vascular land plants which have C/N-ratios higher than 20 (MEYERS & LALLIER-VERGÈS, 1999; BERTRAND et al., 2010). Understanding the temporal changes in the origin of sedimentary organic matter may help identifying periods of enhanced terrestrial input versus autochthonous algal productivity, which in turn sheds light on palaeoenvironmental conditions.

Chemical elements may play various roles within an ecosystem. In near coastal environments, Br and Cl act as geochemical markers that record marine influence. Diverging elemental profiles observed in the sedimentary record can result from a large affinity of Br to organic compounds or from a terrestrial source of Cl as a common constituent of sedimentary rocks (BOYLE, 2001; SCHOFIELD et al., 2010).

It is assumed that the amount of Ca and Sr represents the carbonate fraction which can have both an allochthonous as well as an autochthonous origin (COHEN, 2003). Autochthonous carbonate precipitation with co-precipitation of Sr-CO<sub>3</sub> occurs during the summer months when the water is saturated with respect to carbonate due to increased evaporation accompanied by lake level fluctuation and/or algal

photosynthesis in the epilimnion (COHEN, 2003). When the relationship between Ca and Sr is out of phase and one, or both chemical profiles follow the immobile, clastic fraction, the detrital contribution controlled by weathering in the catchment must be considered (LAST, 1994; COHEN, 2003). A likely source for Sr may be silicates, particularly plagioclase feldspars (KYLANDER et al., 2011). To assess the amount of detrital and biogenic carbonate the Ca/Sr ratio can be used. Biogenic calcite precipitated from microorganism is more enriched in Sr than inorganically precipitated calicit/dolomite. Thus, Ca/Sr is high when the contribution of detrital carbonate is elevated and the biogenic component is low (HODELL et al., 2008). To visualize layers rich in biogenic carbonate, opposed to those composed of detrital silicate minerals, the Si/Sr ration is common tool. The presence of detrital rich layers is inferred from a high Si/Sr (HODELL et al., 2008).

The amount of clastic material in the sediment is generally inferred from the signal of Al, Si, K, Ti, Fe, Rb and Zr reflecting weathering, runoff, erosion, and/or aeolian activity within the catchment (MÜGLER et al., 2010). However, diverging chemical profiles of the clastic elements may be the response of superimposing signals. Si, for example, has a detrital component representing aluminosilicate minerals but also has an autochthonous biogenic component influenced by the abundance of diatom frustules (KYLANDER et al., 2011.). Some chemical proxies are strongly correlated with the grain size of clastic sediments. Ti, Rb and K are usually concentrated in clay minerals and mica, while the distribution of Zr and Si is linked to their association with the medium to coarse silt fraction (KOINING et al., 2003; KYLANDER et al., 2011). Hence, sorting during sedimentation has an influence on the chemical record and the Zr/Rb ratio is often used as a proxy for changes in grain size distribution. Lower values point to fine-grained sediments rich in Rb while higher values indicating coarse-grained material rich in Zr (DYPVIK & HARRIS, 2001).

Mn and Fe both have an exceptional position. They are associated with the lithogenic fraction but unlike the stable, immobile components, their concentration is strongly controlled by redox remobilization. Under anoxic conditions, the reduced, mobilized Fe<sup>2+</sup> is less stable in the water column than Mn<sup>2+</sup> and may re-precipitate as FeCO<sub>3</sub> or more frequently as FeS. Hence, during periods of anoxia Mn/Fe ratio is low. Mn<sup>2+</sup> will primarily precipitate as MnCO<sub>3</sub> and hence, the reaction is strongly pH-dependent and will most likely occur under anoxic conditions with high pH (EUSTERHUES et al., 2002; KOINING et al., 2003).

When associated with Fe, S may also indicate anoxic conditions but generally, it is present in inorganic S-complexes reacting with organic matter and therefore, reflects the organic content of sediments. S-retention can also be linked to gypsum deposition when correlated with Ca (COHEN, 2003; STRIEWSKI et al., 2009).

### 4 Chronology

Two bulk samples and three shell samples from KOT3A were processed and radiocarbon dated at the Leibniz Laboratory, Kiel, Germany (Tab. 1). To minimize the risk of dating redeposited shells, only intact valves in growth position were sampled. Another four <sup>14</sup>C samples dated at Beta Analytics

were available from the core KK retrieved in the direct vicinity of KOT3 by KONTOPOULOS and KOUTSIOS (2010). The five samples from KOT3 taken in between 318 and 908 cm below sediment surface (b.s.s.) cover an age range of 4500–19900  $^{14}\text{C}$ -years uncalibrated.

The four shell-samples from the core KK were taken between 355.5 and 737 cm b.s.s. providing ages in stratigraphical order between 2800 and 6400  $^{14}\text{C}$ -years uncalibrated.

While the shell samples of KOT3 are in good stratigraphical agreement with the previously published ages from KK, the bulk samples (KIA45677 and KIA45678, Tab. 1) appear to be unusually old.

Most likely, the two bulk samples contain a considerable amount of re-worked, old carbon, derived from the catchment of the lagoon. Hence, the two bulk samples were treated as outliers (BRONK RAMSEY, 2009) and only the shell samples were included in the age depth model.

As neither shell samples nor macro-remains could be retrieved from KOT3 below 375 cm, the two lowermost  $^{14}\text{C}$  dates of the core KK (Beta-194653 and Beta-194654, Tab.1) were included in the age depth model to build a chronology for the entire sedimentary sequence. Based on the lithology, it is assumed that the lower part of both cores was deposited simultaneously under the same lagoonal conditions, while the cores show a different sedimentary evolution in the upper part, which is strongly influenced by fluvial processes such as channel formation.

All  $^{14}\text{C}$  ages were calibrated using Oxcal 4.1. (BRONK RAMSEY, 2001, 2008, 2009) with respect to the IntCal04 calibration curve (REIMER et al., 2004) and are reported with a 1-sigma (68.2%) probability range. Calibrated years are

denoted as “cal BP” (before AD 1950) according to Mook & VAN DER PLICHT (1999). For all samples a marine/brackish environment was assumed and a marine reservoir correction of  $390 \pm 85$  BP as suggested by SIANI et al. (2000) was applied. An age-depth-model based on 5 shell samples from KOT3 and KK was calculated applying the *P-Sequence model* of OxCal, which assumes random deposition (BRONK RAMSEY, 2008). The resulting age-depth polygon was directly extracted from Oxcal, returning maximal and minimal ages for every centimeter (Fig.3). A curve based on mean age values –  $(\text{age}_{\max} + \text{age}_{\min})/2$  – was then used to plot the proxy data.

While the GPS coordinates of the two core sites are known, the exact elevation above sea level could not be determined for neither site. Thus, correlating the depths of the respective  $^{14}\text{C}$  samples introduces an additional uncertainty to the age-depth-model. Due to all these challenges in dating, the paper aims at a general chronological context and ages reported here are rounded to the nearest hundred.

## 5 Results

### 5.1 Lithology

Based on sediment color, grains size distribution, and distinct changes in geochemistry, the sediment core KOT3 is subdivided into 16 units. A detailed description is presented in table 2.

On average, the sedimentation rate is around 0.17 cm/a with a maximum of 0.2 cm/a and a minimum of 0.02 cm/a. As the age-depth-model and thus the sedimentation rate is result of a core synthesis, only average rates are given.

Tab. 1: List of radiocarbon samples taken from KOT3 and KK (Kotih 2-8) (KONTOPOULOS & KOUTSIOS, 2010) from the Kotyhi Lagoon.

b.s.s. = below sediment surface.

\* = ages in cal BP, based on REIMER et al. (2004).

\*\* = samples integrated in the OxCal-Model, calibrated using OxCal 4.1. Ages are in  $1\sigma$  range. For all samples a marine reservoir correction of  $390 \pm 85$  a, based on SIANI et al. (2000) was applied.

Samples from KK are published in KONTOPOULOS & KOUTSIOS (2010).

Tab. 1: Liste der Radiokarbon-Alter von KOT3 und KK (Kotih 2-8) (KONTOPOULOS & KOUTSIOS, 2010) von der Kotyhi Lagune.

b.s.s. = below sediment surface (unterhalb der Sedimentoberfläche)

\* = Alter in cal BP, nach REIMER et al. (2004).

\*\* = Radiokarbon-Proben die in das OxCal-Modell integriert wurden. Alter wurden mit OxCal 4.1 kalibriert und sind im  $1\sigma$ -Bereich angegeben. Eine Reservoir-Korrektur nach SIANI et al. (2000) von  $390 \pm 85$  Jahren wurde für alle Proben vorgenommen. Radionkarbon-Alter vom Kern KK sind in KONTOPOULOS & KOUTSIOS (2010) publiziert.

sample No.	analysis No.	sample material	$^{14}\text{C}$ age [BP]	$1\sigma$ error [BP]	IntCal04*	depth [cm b.s.s.]
KOT3A318**	KIA48442	<i>Spisula</i> sp. valve	4625	40	4880-4790	318
KOT3A355**	KIA48443	<i>Spisula</i> sp. valve	5140	40	5130-5050	355
KOT3A375**	KIA48444	<i>Cerastoderma</i> valve	5285	40	5230-5160	375
KOT3-565	KIA45677	Bulk sample	11330	50	12940-12770	565
KOT3-908	KIA45678	Bulk sample	19930	100	23680-23300	908
Kotih 2	Beta-194651	<i>Cerastoderma</i> valve	2830	40	2690-2500	355.5
Kotih 4	Beta-194652	<i>Cerastoderma</i> valve	3860	40	3990-3780	397.80
Kotih 6**	Beta-194653	<i>Cerastoderma</i> valve	5490	40	6360-6250	604.80
Kotih 8**	Beta-194654	<i>Cerastoderma</i> valve	6410	40	7110-6960	737.00

Tab. 2: Summarized lithostratigraphy of KOT3. Fig. 3 is the graphical version of this table. UB = upper boundary.

Tab. 2: Zusammenfassende Lithostratigraphie von KOT3. Abb. 3 ist die graphische Version der Tabelle. UB = upper boundary (obere Grenze).

Unit #	Depth [cm]	Lithologic description
16	0-73	Recent soil, very dark brown [10YR 2/1] at the top to yellowish brown [10YR 5/4] at the medium sandy bottom, finer layer with charcoal between 68-73, edgy chert fragments, few snails
15	73-85	Sandy clayey silt coarsening upward, brown [10YR3/4], gravel at the top, few charcoal fragments, UB: sharp
14	85-123	Core loss
13	138-179	Clayey silt, greenish grey [Gley2 5/10G] with abundant yellowish brown [10YR 5/6] striae almost entirely brown [10YR 4/3] at the top, intercalated silt layers [cm-mm scale], charcoal-rich at the top [123-138], UB: sharp
12c	179-197	Strong clayey silt, greenish grey [Gley2 5/10G] with abundant yellowish brown [10YR 5/6] striae, few shell fragments, UB: sharp, bright, carbonate-rich laye
12b	197-215	Strong clayey silt, greenish black [Gley2 2.5/10BG], homogenous, UB: gradational
12a	215-235	Strong clayey silt, greenish grey [Gley2 5/10G] with yellowish brown [10YR 5/6] striae, homogenous. UB: gradational
11	235-307	Strong clayey silt, greenish grey [Gley2 5/10G], abundant shell fragments (up to several mm), several organic-rich layers [e.g. 239-244], UB: gradational
10	307-329	Silty clay, dark greenish grey [Gley2 3/5BG], lower boundary is marked by a shell detritus layer [329-326], several shells (up to 3 cm) and shell fragments [mm-cm] especially at the bottom, UB: gradational
9	329-354	Strong silty sand, dark greenish grey [Gley2 3/10BG], homogenous, UB: sharp [shell detritus layer]
8	354-383	Strong clayey silt, black [2.5Y 2.5/1], abundant shell fragments [mm-scale] especially at the bottom, few shells [cm] at the bottom, UB: sharp
7a	383-470	Clayey silt, greenish grey [Gley2 5/10G], few yellowish brown [10YR 5/6] striae/layers, carbonate concretions between 440 and 418, UB: undulating [root channel/bioturbation?]
7b	470-515	Sandy silt, greenish grey [Gley2 5/10G], homogenous,
7a	470-534	Clayey silt, greenish grey [Gley2 5/10G], few yellowish brown [10YR 5/6] striae/layers
6	534-554	Strong clayey silt, yellowish brown [10YR 5/6] striae increasing upward until sediment is entirely yellowish brown, homogeneous, UB: gradational
5	554-599	Clayey silt, decreasing clay content to the top, greenish grey [Gley2 5/10G], organic detritus, few shell fragments at 558, silt-dominated layers at 560-62 and 567, UB: gradational
4	599-705	Alternating, homogenous sequences (10-20 cm) of sandy silt to silty sand, greenish grey [Gley2 5/10G], UB: sharp/undulating
3	705-863	Weak clayey silt to medium clayey silt, heterogeneous lamination of dark greenish grey [Gley2 4/10G] silty and greenish grey [Gley2 5/10G] clay layers of varying thickness [mm-cm], sometimes silt or organic-rich and/or bright, light greenish grey [Gley2 7/10G] layers intersect fine lamination especially in the upper part, abundant organic fragments, silt-filled root channels, 744 - 728: sandy silt layer fining upwards, 823-818: sandy silt layer, UB: sharp
2	863-909	Silty clay, greenish grey [Gley2 5/10G], sometimes intersected by yellowish brown [10YR 5/4] and organic-rich layers up to 0.5 cm thick, UB: gradational
1c	909-920	Silty clay, abundant shell fragments, dark greenish grey [Gley2 4/10G], UB: sharp
1b	920-930	Medium sand, increasing silt content, greenish black [Gley2 2.5/10BG]
1a	930-980	Medium sand, slightly fining upward, greenish black [Gley2 2.5/10BG], gravel fragments at the bottom

## 5.2 Laboratory analysis

When deciphering processes within the lagoon, relative changes and altering trends of elemental concentrations throughout the profile should be interpreted rather than absolute values (KYLANDER et al., 2011). Positive correlations among elements (Fig. 4) confirm the common classification into the following three geochemical groups (cf. chapter 6.1): the marine fraction (Cl, Br), the carbonate fraction (Ca, Sr), and the detrital fraction (Al, Si, K, Ti, Rb). Mn and Fe both have an exceptional position and only partially follow the trend of the detrital fraction. S shows no continuous correlation with the other elements. It sometimes tracks the marine indicators or the organic content but is obviously involved in different lagoonal processes (Fig. 5). Zr is decoupled from the detrital fraction but is vaguely correlated ( $r_{Zr-Cl}=0.41$ ) with Cl. It is further associated with the coarse silt/sand fraction (Fig. 5 and 7). As additional proxies, elemental ratios such as

Mn/Fe, Zr/Rb and Si/Sr were analyzed (cf. chapter 6.1).

The chemical composition of the sand-dominated sediment in unit 1 is controlled by the marine indicators (Cl, Br) and the carbonate fraction (Sr, Ca). Linked to the latter one, IC is at its maximum (3.9%). Mn/Fe, Zr/Rb and sulfur also display high values while OC and the C/N-ratio are at their minimum (Fig. 7).

With the transition to unit 1b, a gradual increase in terrestrial elements is accompanied by decreasing Zr/Rb and an enrichment of silt and clay which culminates in unit 2. Most proxies show a significant change at the transition to unit 2 (8000–7800 cal BP). It is characterized by an abrupt increase of the terrestrial fraction and Si/Sr mirroring the declining trend of the IC, the carbonate fraction, the salinity indicators, and Mn/Fe. In contrast, the OC rises of up to 2%.

Throughout units 3 and 4, terrestrial elements exhibit a gradual decreasing trend, however, not synchronously. Si is decoupled from the terrestrial fraction. Zr in fact follows the

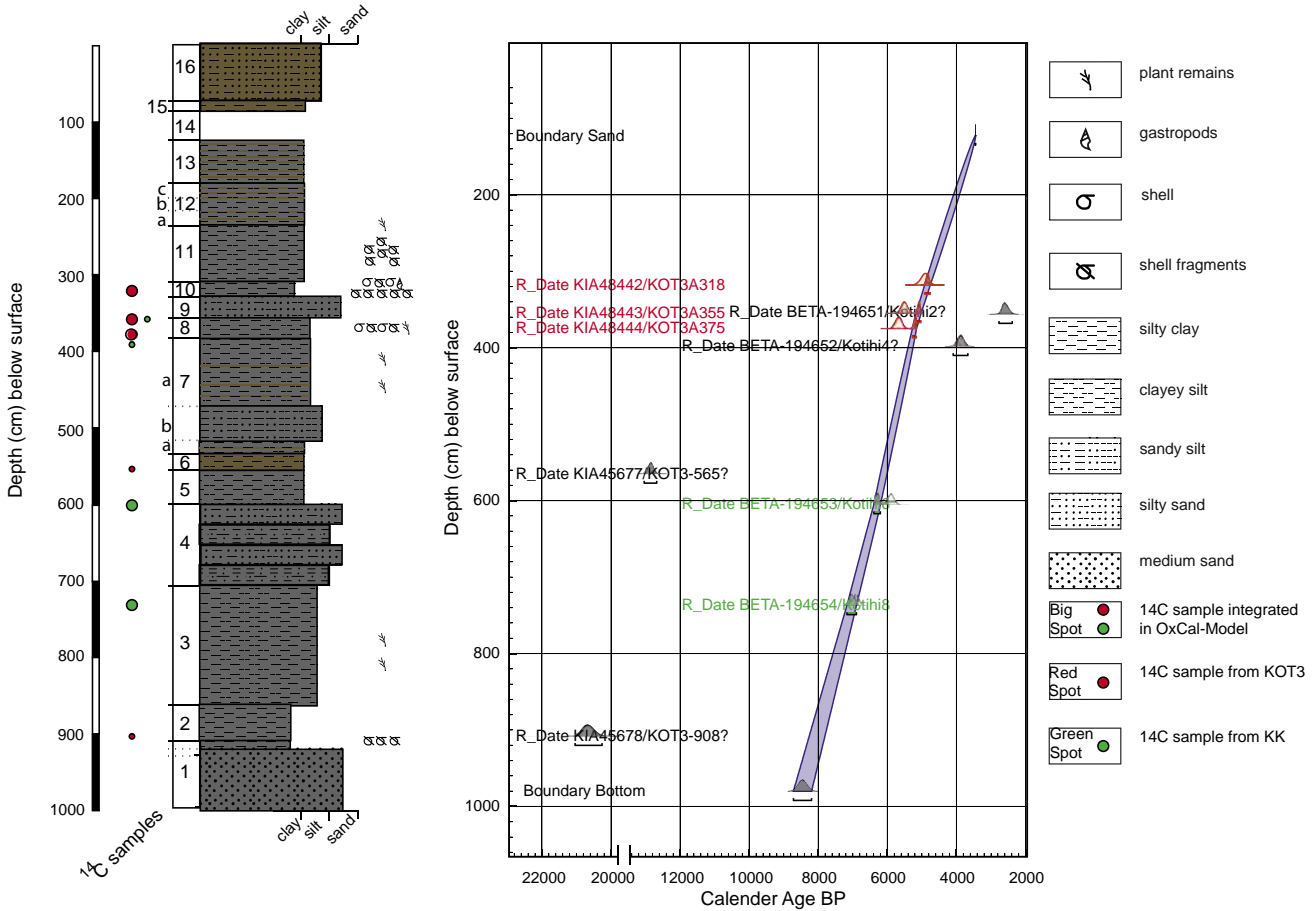


Fig. 3: Lithological units of KOT3 and radiocarbon dates of KOT3 (red) and KK (green) (KONTOPOULOS & KOUTSIOS, 2010). Radiocarbon dates used for the establishment of the chronology are marked with big spots. The resulting age-depth-model was calculated with OxCal 4.1.

Abb. 3: Lithologische Units von KOT3 und Radiokarbon-Alter von KOT3 (rot) und KK (grün) (KONTOPOULOS & KOUTSIOS, 2010).  $^{14}\text{C}$ -Datierungen, die in die Chronologie integriert wurden sind mit einem großen Punkt markiert. Das resultierende Alters-Tiefen-Modell wurde mit der Kalibrations Software OxCal 4.1 erstellt.

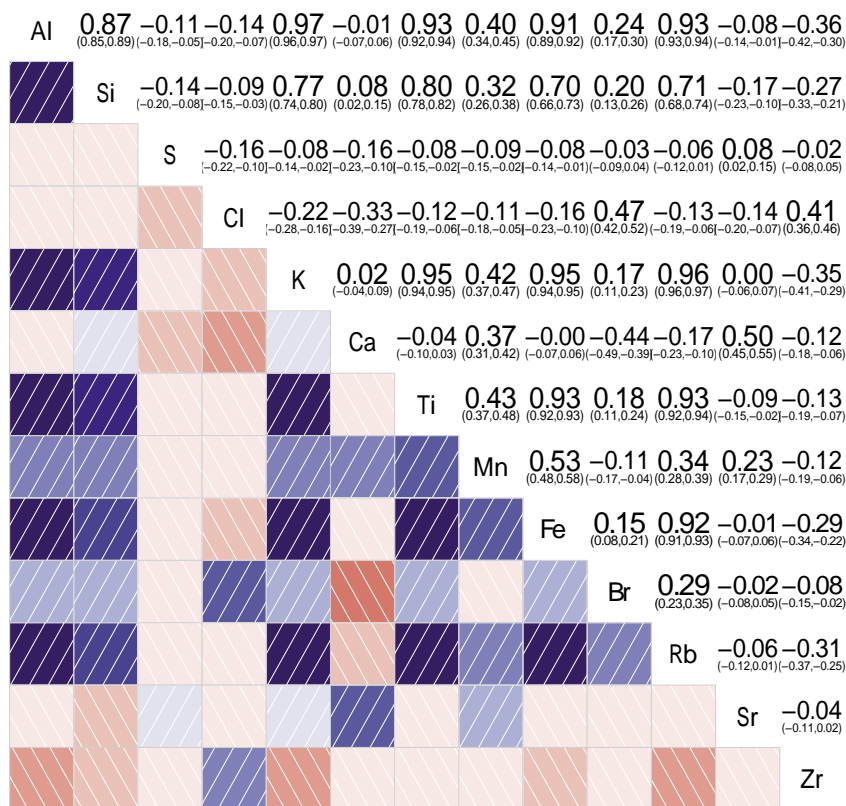


Fig. 4: Correlogram for KOT3 based on Pearson's correlation coefficients. Blue colors and rising line pattern indicate a positive correlation whereas red colors and falling line pattern indicate negative values. The strength of correlation or anticorrelation increases with color shades. A strong positive correlation between chemical elements suggests a mutual driving mechanism.

Abb. 4: Korrelationsmatrix für KOT3 basierend auf Pearson's Korrelationskoeffizienten. Blaue Kästchen und aufsteigende Linien stehen für eine positive Korrelation und rote Kästchen mit absteigenden Linien zeigen eine negative Assoziation. Der Grad der Korrelation oder Antikorrelation steigt und fällt mit Intensität der Farbe. Ein stark positiver Zusammenhang zwischen chemischen Elementen impliziert, dass die Elementenhäufigkeiten vom selben Prozess gesteuert werden.

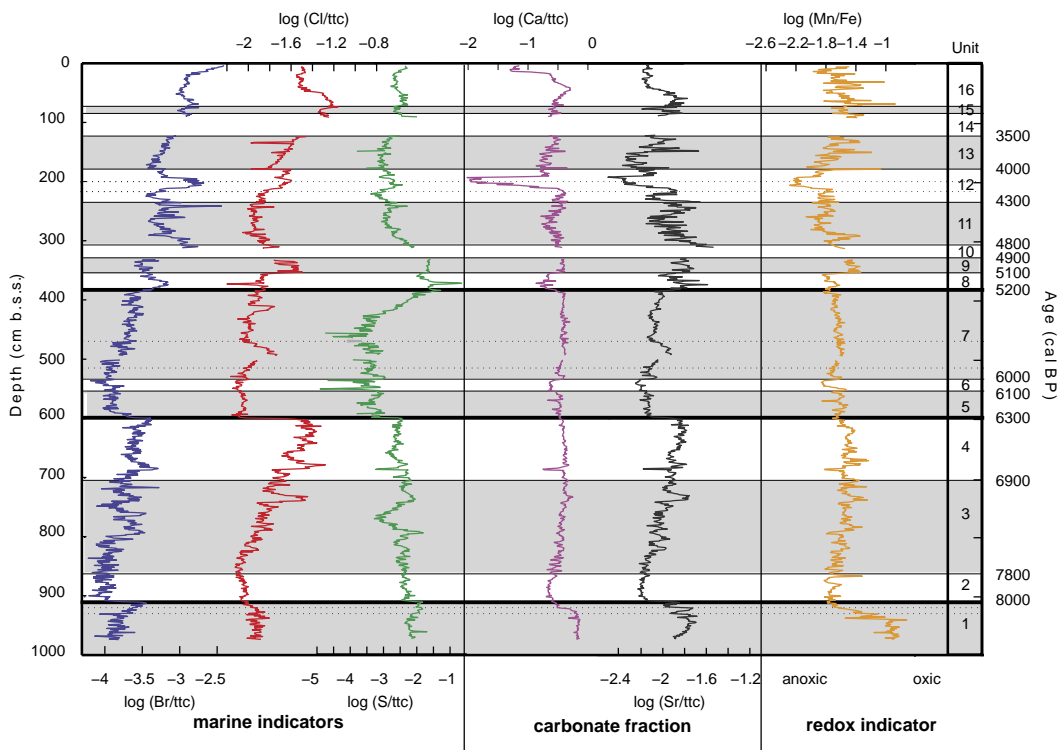


Fig. 5: Geochemical XRF-profiles of the marine fraction, the carbonate fraction, and Mn/Fe (redox-indicator) plotted against depth. Sulphur is often considered a marine indicator but in this case shows a mixed signal. Grouping of elements is based on Pearson's correlation coefficients (Fig. 3). Elemental profiles obtained in cps (counts per second) by XRF are normalized by the total number of counts. The solid black line separates different evolutionary stages.

Abb. 5: Geochemische XRF Profile (in counts per second, cps) von der marinens Fraktion, der Karbonat Fraktion und Mn/Fe (redox Indikatoren). Schwefel zählt generell zu den marinens Indikatoren, zeigt in diesem Fall aber eine Signalüberlagerung, gesteuert von verschiedenen Prozessen. Die Gruppierung der Elemente basiert auf Pearson's Korrelationskoeffizienten. Die geochemischen XRF Profile wurden gegen totale Anzahl der Element-counts normalisiert. Schwarze Linien unterteilen verschiedene Entwicklungsstufen der Lagune.

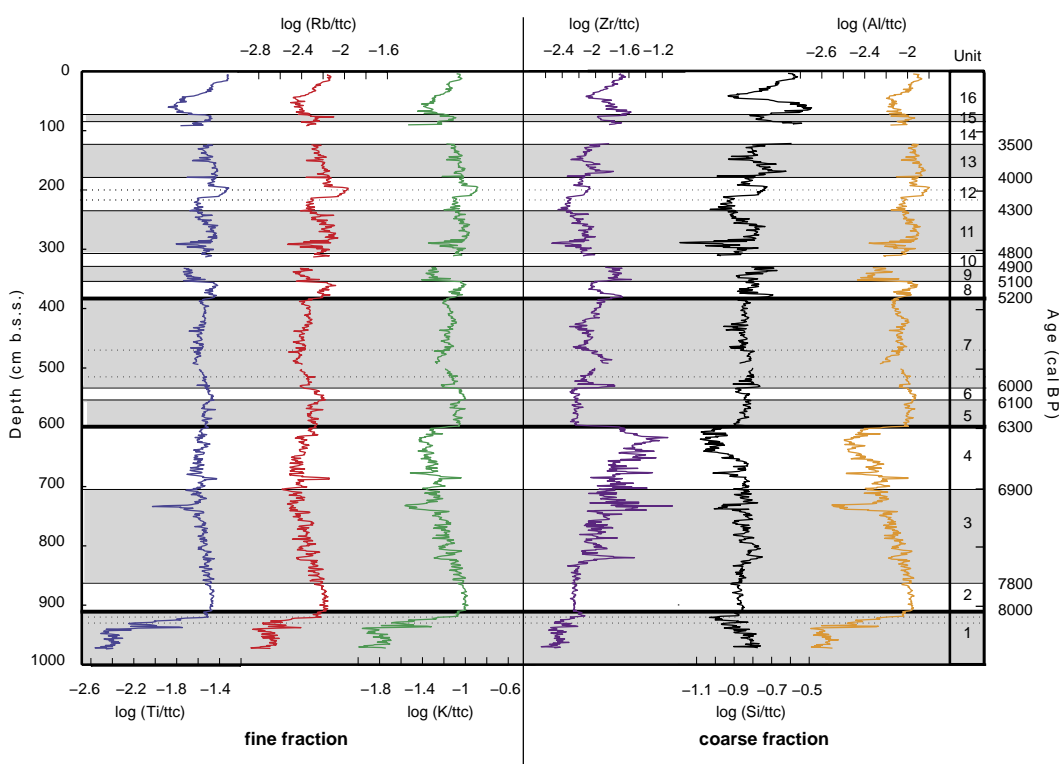


Fig. 6: Geochemical profiles of the terrestrial fraction subdivided into elements predominately associated with fine and coarse-grained minerals. Elemental profiles obtained in cps (counts per second) by XRF are normalized by the total number of counts (ttc). The solid black line separates different evolutionary stages.

Abb. 6: Geochemische XRF Profile (in counts per second, cps) der terrestrischen Fraktion unterteilt nach Elementen, die an grob- und feinkörnige Minerale gebunden sind. Die geochemischen XRF Profile wurden gegen totale Anzahl der Element-counts normalisiert. Schwarze Linien unterteilen verschiedene Entwicklungsstufen der Lagune.

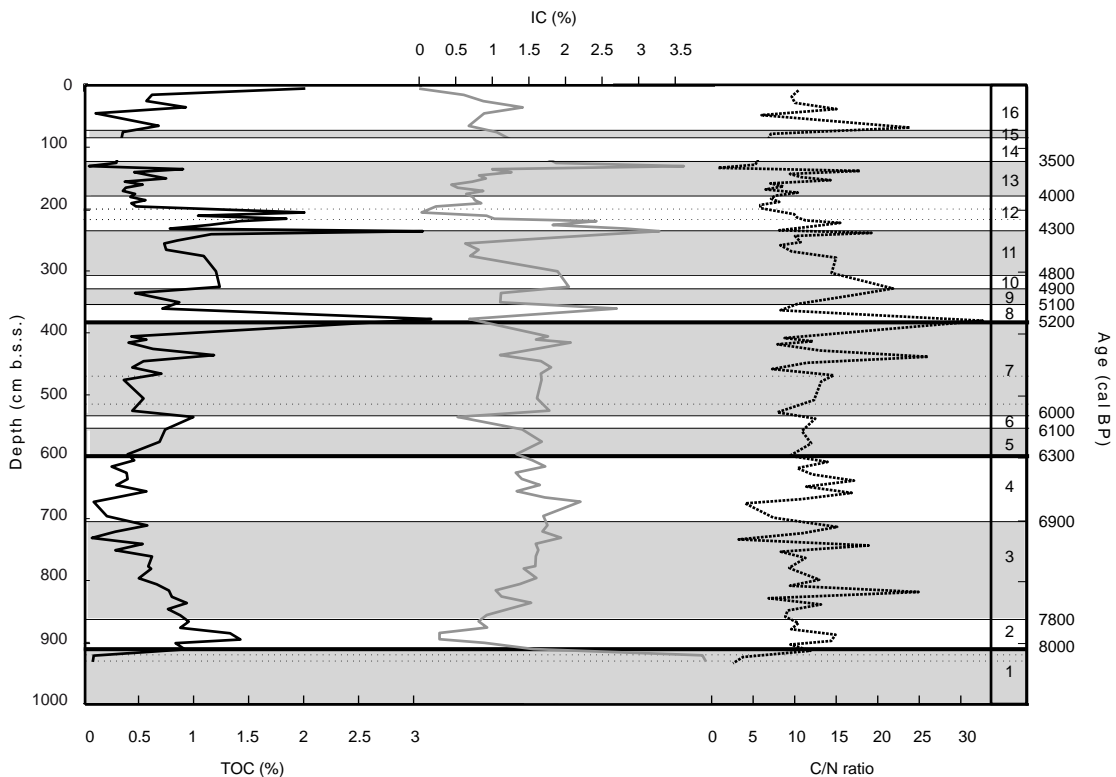


Fig. 7: Inorganic carbon (IC), organic carbon (OC) and C/N-ratio of KOT3 plotted against depth. The solid black line separates different evolutionary stages.

Abb. 7: Inorganischer Kohlenstoff (IC), organischer Kohlenstoff (OC) das C/N-Verhältnis. Schwarze Linien unterteilen verschiedene Entwicklungsstufen der Lagune.

increase of the marine indicators and the carbonate fraction which is also reflected by an increased contribution of the sand and silt fraction at the expanse of clay. High amplitude fluctuations of the sand and silt fraction reflect rhythmically, alternating sequences of the prevailing homogenous sediment in unit 4. The silt content varies between 21 and 71% generally mirroring to the trend of the sand fraction. Sporadically, the C/N-ratio reaches values of 15 (7900 cal BP), 13 (7600 cal BP) and 25 (7500 cal BP) but shows no pronounced trend in the entire profile.

A considerable change reflected by almost every proxy occurs at the transition to unit 5 (6300 cal BP). The geochemical salinity indicators, Sulphur, and the carbonate fraction abruptly decrease whereas terrestrial elements show elevated values, especially K, Al and Si. The changing chemical composition is accompanied by a pronounced shift towards the clay and silt fraction reflected by a decreasing Zr/Rb ratio. A change in the carbonate sedimentation is indicated by increasing Si/Sr and Ca/Sr ratios.

Until the end of unit 7 (5200 cal BP) elemental profiles remain relatively stable. The sediment is dominated by silt (up to 90%) while the contribution of the sand fraction remains negligible (< 1%) despite a peak of 13% around 5700 cal BP which is reflected by the marine proxies.

With the onset of unit 8 (5200 cal BP), proxies start to show short-lived fluctuations, well documented by an oscillating Si/Sr ratio. The marine proxies are increasing again. However, around 5200 cal BP, parallel to a maximum in S, OC (3.7%) and C/N-ratio (32), Br increases more significantly than Cl which is explained by the large affinity of Br to organic compounds. In unit 9, the elements are in phase again and exhibit high values corresponding to a peak in the sand fraction (13%) and Zr/Rb. In contrast, in unit 11 the terres-

trial proxies show slightly elevated values and the sediment is enriched in clay. High values of OC (3.6%), IC (3.2%) and a high C/N-ratio mark the transition to unit 12 where the marine influence is temporally re-established around 4100 cal BP. At the same time, a peak in OC (2.3%) corresponds to a high C/N-ratio (10), a low Mn/Fe and minimum values of IC (~0%) and the carbonate fraction. Si/Sr is high, mirroring the decline in Ca/Sr. Together with a rising C/N-ratio, the marine proxies, the carbonate fraction and Mn/Fe increase gradually in unit 13. Terrestrial elements especially those enriched in the fine grained fraction are decreasing. The sedimentary record terminates with an erosional unconformity at the upper boundary of unit 13. Parts of unit 14 where lost during coring and the uppermost meter of the core is transformed by anthropogenic activities.

In summary, in coarse sediments (high Zr/Rb) the chemical composition is generally rich in marine proxies and the carbonate fraction while fine grained sediments (low Zr/Rb) show a high concentration of terrestrial proxies.

## 6 Discussion

### 6.1 Shoreline evolution

Inferred from simultaneous changes in proxy data, the sedimentary sequence can be subdivided into four evolutionary stages: Stage 1 (8500–8000 cal BP) is characterized by coarse, marine influenced elements. Stage 2 (8000–6300 cal BP) comprises an enhanced concentration of fine grained sediments enriched in terrestrial elements which are progressively replaced by coarse marine influenced sediments. Stage 3 (6300–5200 cal BP) is controlled by silt-dominated, terrestrial sediments with only sporadic traces of marine proxies. Stage 4 (5200 cal BP–present), in contrast shows oscillating

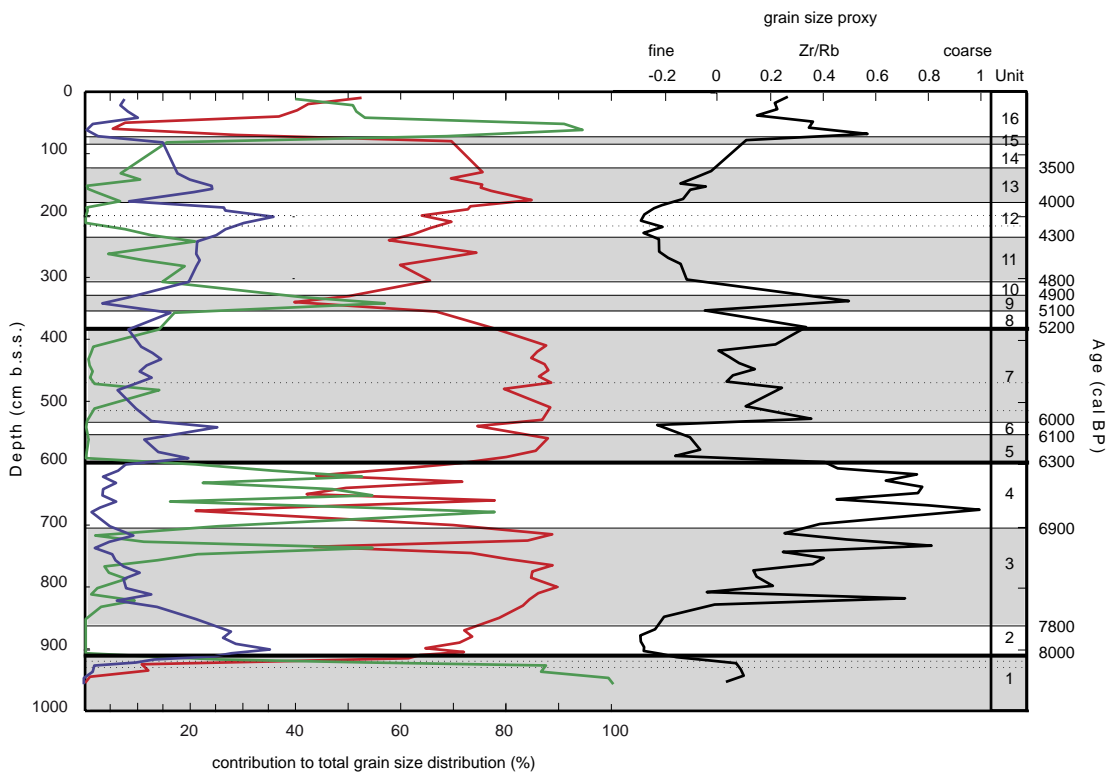


Fig. 8: Percental contribution of clay (blue), silt (red) and sand (green) to the total grain size distribution in comparison with  $\log(\text{Zr}/\text{Rb})$  (grain size proxy). The solid black line separates different evolutionary stages.

Abb. 8: Prozentualer Anteil von Ton (blau), Schluff (rot) und Sand (grün) an der gesamten Korngrößenverteilung in Vergleich zu  $\log(\text{Zr}/\text{Rb})$  (Korngrößenproxy). Schwarze Linien unterteilen verschiedene Entwicklungsstufen der Lagune.

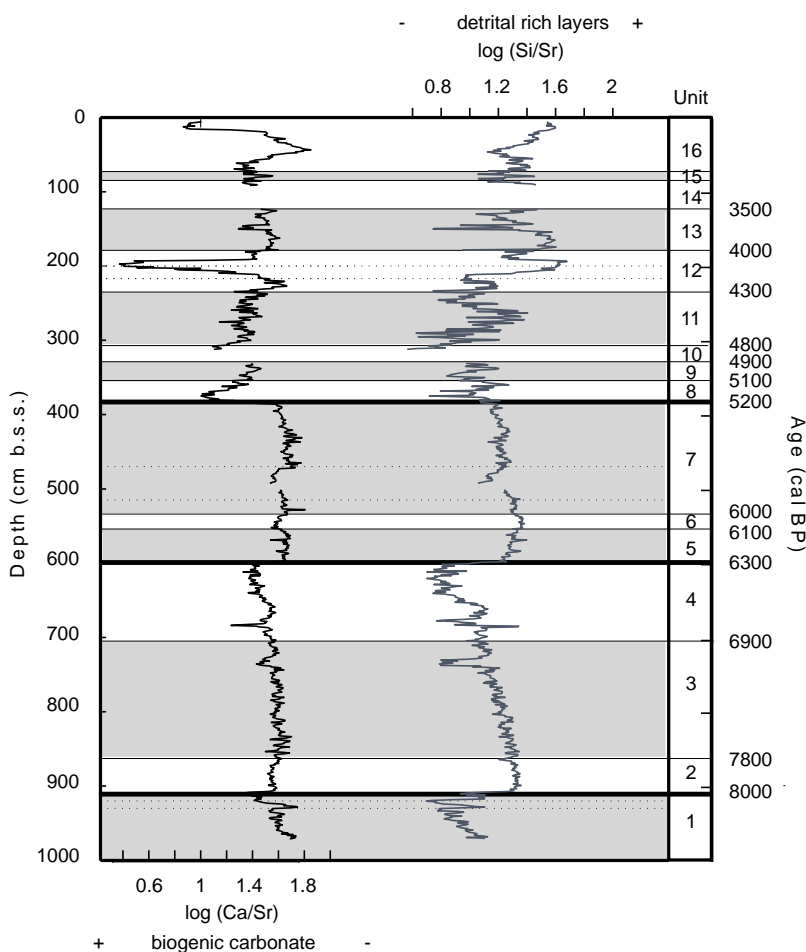


Fig. 9: Si/Sr and Ca/Sr.

Abb. 9: Si/Sr und Ca/Sr.

profiles with successive phases of both, terrestrial and marine dominance. These four evolutionary stages document the palaeoenvironmental evolution of the Kotychi Lagoon.

Stage 1, comprising only unit 1, represents the marine phase of the sedimentary succession which is characterized by coarse carbonate-rich sediments high in Cl and Br deposited in a well oxygenated environment (high Mn/Fe ratio) with low bio productivity (almost lowest OC in the profile). Based on the low C/N-ratio the contribution of terrestrial organic matter rich in cellulose and lignin is negligible.

Based on this data, it is assumed that the palaeoshoreline was located several km east of its present position, which confirms the assumptions of KRAFT et al. (2005). The slowly increasing silt content and the simultaneously increasing signal of the detrital fraction gradually starting around 8200 cal BP (Unit 1b) indicate the gradual development of a back barrier environment where fluvial sediments from the hinterland start to accumulate. Abundant shell fragments indicate the transition to ecologically favorable conditions.

With the onset of stage 2, comprising units 2, 3, and 4, lagoonal conditions have developed. A tenfold increase of the sedimentation rate supports the hypothesis of a sediment trap in the back barrier environment. Clayey sediments (low Zr/Rb) enriched in terrestrial elements point to a quiescent deposition environment were sediments derived from the hinterland accumulate. Peaks in C/N-ratio indicated a binary mixture of terrestrial and aquatic organic matter which confirms the terrestrial sediment source. It is assumed that in the stagnating water vertical mixing was restricted and in the oxygen depleted environment (low Mn/Fe) productivity was still extremely low (low OC). The greyish color of the sediments confirms that no oxygen was available for the oxidation of  $\text{Fe}^{2+}$ . The drop of the IC content reflects the absence of marine Ca-rich sand and a rising Si/Sr points to enhanced detrital silicate deposition. This indicates the transition to a restricted marine influence.

The continuing sediment supply from the hinterland throughout stage 2 lead to further accumulation of fine grained terrestrial sediments (high amount of detrital fraction and low Zr/Rb) in the back barrier environment, and promoted the growth of the barrier island. Hence, the lagoon was perfectly sheltered favoring the development and preservation of finely laminated sediments (Unit 3), characteristic for a quiescent, oxygen-poor environment with limited bioproductivity (low Mn/Fe and low OC) and no bioturbation of higher organisms which would destroy the lamination.

A decoupling of Al and Si between 822 and 660 cm (7500 and 6600 cal BP) suggests an increased deposition of biogenic silicate possibly associated with diatom productivity. However, this hypothesis needs further verification. Additionally, rising IC indicate carbonate precipitation in the lagoonal environment most likely associated with light colored layers in the laminated sediments (higher IC). They probably reflect an annual cycle. During spring/summer, enhanced biological activity of microorganism such as diatoms results in  $\text{CO}_2$  consumption leading to autochthonous, biochemical precipitation of whitish calcite layers. In winter, surface run off and creeks draining the lagoon provide clastic sediments from the catchment and build up a layer composed of mineral grains, reworked carbonate, shell fragments and organic

detritus (BRAUER, 2004). However, the poor state of preservation of the laminae hampers detailed interpretations.

In unit 3, layers of sand for example at 731 cm (7000 cal BP) correlating with peaks in Cl and Br, with rising IC, and higher Zr/Rb imply marine intrusion into the lagoonal environment.

Marine intrusion into coastal water bodies is often ascribed to high-energy transport associated with extreme wave events such as tsunamis or storms. Several authors believe to have found evidence for the occurrence of tsunamis in coastal environments all around the world (GOFF et al., 2012). It is even hypothesized that the ancient city of Olympia approximately 50 km southeast of Kotychi was destroyed by a tsunami (VÖTTI et al., 2011).

However, due to the homogenous nature of the marine sediments in KOT3 deposition associated with high-energy transport is neglected. Sediment structures like muddy intraclasts, were not detected as well as fining upward sequences including abundant faunal remains of marine origin which are often associated with extreme wave events like tsunamis or severe storms (MORTON et al., 2007; GOFF et al., 2012).

By 6900 cal BP (unit 4) the barrier, which entrapped the lagoon, was at least partially flooded as indicated by high Cl and Br and a reduction of the terrestrial fraction. Homogenous, marine sandy silt was deposited and saltwater intrusion initiated bottom ventilation as suggested by a slightly increasing trend of Mn/Fe.

Based on this evidence, stage 2 is assumed to represent a first, short-lived episode of shoreline progradation and barrier island accretion, which isolated the shallow lagoon but successively the coastline retreated. So far, the existence of a sequence of lagoons fringing the Elean coast for at least 7000 years has only been postulated (RAPHAEL, 1973, 1978; KRAFT, 2005; KONTOPOULOS & KOUTSIOS, 2010). With an age of 8000 cal BP, the sedimentary evidence from KOT3 for the first time presents chronological control for the onset of barrier accretion and lagoon development.

A distinct change in sedimentation occurred around 6300 cal BP and marks the beginning of stage 3 encompassing units 5, 6, and 7. The marine influence (Cl, Br and S) abruptly ceases and an increase in terrestrial sediments dominated by clayey silt (low Zr/Rb) implies that riverine outflow to the sea is blocked again and a sediment trap developed behind a barrier. The shift towards a terrestrial sediment accumulation is again well documented by the elevated Si/Sr pointing to a detrital dominated sedimentation at the expense of carbonates.

Around 6000 cal BP, shell fragments and altering layers of grey and brown shades rich in clay (Tab. 2) indicate an alternation of waterlogged phases and drier conditions allowing the oxidation of ferric compounds. A high concentration of terrestrial elements (Rb, Ti, K) linked to the fine fraction opposed to low values of Cl and Br is enriched in unit 6 implying terrestrial condition at this time. The decline of Mn/Fe seems to reflect a lowering of the pH due to oxygenation of the sediments, a process often contributing to soil acidification. A minimum of IC caused by carbonate dissolution in the acid environment supports this hypothesis.

Isolated brown, mm-scale layers in unit 7 result from episodic drought but are rapidly succeeded by lagoonal deposits indicating a low water table susceptible to a changing

hydrological regime. The precipitation of carbonate concretions between 440 and 418 cm (verified by a strong response to HCl) confirms an increased trend towards aridity around 5500–5400 cal BP.

As stage 3 is interpreted to represent the terrestrial/marginal part of the lagoon, the lagoon itself and hence the shoreline must have been located further west or the lagoon has been silted up by progradation of the fluvial influences facies. However, the presence of marine layers associated with homogenous, coarse sediments high in Cl, Br and S deposited in an oxygenated (rising Mn/Fe) environment 7b (515–470 cm; 5800–5700 cal BP) suggest short-lived marine intrusion and the return to marine influenced conditions in the lagoon.

Stage 4 including units 8 to 16 is characterized by pronounced, short-lived fluctuation of many proxies. A sharp undulating contact between unit 7 and 8 (383 cm; 5200 cal BP) marks the transition to stage 4. Abundant shell fragments and shells like *Cerastoderma sp.* and *Spisula sp.*, some of them in growth position, indicate the return of lagoonal conditions which is also confirmed by the marine proxies Br and Cl. The decoupling of Cl and Br coincides with a maximum in OC indicating that the opposing trend may be explained by a large affinity of Br to organic compounds. Likewise, the correlation of S and OC implies that S in this unit is also bound to organic complexes. Terrestrial elements linked to the fine-grained fraction are dominating in the strong clayey silt (low Zr/Rb) derived from the hinterland.

The opposing trends of Ca and Sr are attributed to a changing composition of the carbonate source. The decline in Ca seems to be connected to the dissolution of IC which might be attributed to the partial decomposition of enriched OC. A subsequent release of CO<sub>2</sub> lowers the pH to favor carbonate dissolution (DEAN, 1999). However, the carbonate available in the sediment seems to be dominated by Sr-rich, biogenic carbonate as inferred from low Ca/Sr. Keeping in mind high OC values, the undulating sharp lower contact to unit 7 may either be interpreted as a consequence of bioturbation or represents a sediment-filled root channel.

With another sharp transition towards unit 9 around 4900 cal BP, the lagoonal sediments are replaced by homogeneous, strong silty sand showing the typical marine signature characterized by coarse sediments high in Cl and Br and the Ca fraction. The apparent decrease of Br compared to unit 8 can be ascribed to a decline of the OC no longer fixing Br. The sharp contact indicates an event of erosion. However, the homogenous sediments represent an episode of sea level rise rather than an extreme wave event. In contrast, a layer of fragmented shells unconformably overlaying the marine deposits could be attributed to an extreme wave event around 4900 cal BP. The sharp, erosional contact indicates high-energy transport and the distinct degree of fragmentation of shells results from deposition under turbulent conditions. Following the marine influenced deposition, there was a return to quiescent, lagoonal conditions characterized by the abundance of shells; *Cerastoderma sp.* reaches up to 3 cm.

The gradual decrease of shells in growth position, OC, and the geochemical proxies indication marine influence imply the termination of the fully lagoonal conditions between 4100 and 4300 cal BP (unit 11). A slight coarsening of the sediments towards clayey silt may be the result of seaward

progradation of the profundal zone of the lagoon. However, the grey color typical for reduced mineral compounds due to an oxygen-depleted environment indicates still waterlogged conditions. Numerous shell fragments indicate ecologically favorable condition and the presence of wave action required for their fragmentation and deposition. The high OC towards the end of unit 11 results from a combined contribution of aquatic and terrestrial matter (C/N-ratio: 19) and supports the hypothesis of ecologically favorable condition.

The appearance of brown shades in unit 12 indicates lowering of the water level, which allowed bottom ventilation and subsequent oxidization of ferric compounds giving the sediment its characteristic color. The environment progressively changed from a fully lagoonal to a lagoonal/marginal environment. However, this trend is interrupted by a short-lived episode of lagoonal predominance around 4100–4000 cal BP. High values of Cl, Br, and S associated with the black color of the sediments suggest the return of water-saturated, anoxic conditions (lowest Mn/Fe). The abrupt decrease of both, Sr and Ca seems to be related to IC dissolution (low IC).

Towards the end of unit 12, around 4000 cal BP the water level has dropped and oxygenated conditions (slightly rising Mn/Fe) returned. The marine influence is declining and a light colored horizon at 179 cm (3900 cal BP) strongly responding to diluted HCl indicates carbonate precipitation possibly as a result of dry conditions.

Around 3900 cal BP, the lagoonal/marginal part has further prograded seaward and the sedimentary evidence of unit 13 (3500–3900 cal BP) documents the coexistence of stream channel and adjacent flooded areas characteristic for a floodplain. During periods of high discharge, coarse sediments are deposited in episodically activated stream channels (silt layers unit 13), which are partly cutting the floodplain. The brownish color of the sediments implies the presence of oxygen supported by rising Mn/Fe. Elevated Cl and Br values suggest periodic flooding but charcoal accumulation at the top of the unit clearly points to a terrestrial provenance of the sediments.

The coarse material of unit 14 (85–123 cm) unconformably overlaying unit 13 could not be recovered. Judging from a small sample that could be retained in the field, the grain size, the fragmented, redeposited shells (> 2mm) and the incorporated, sharp edged gravel seem to reflect high energy deposits probably associated with a river channel crossing the floodplain and discharging into the lagoon. A temporal onset for the river activity cannot be given based on the age-depth-model as it has to be assumed that the river deeply cut in to the floodplain introducing a non quantifiable erosional gap and hence uncertainty into the age-depth-model. Accordingly, the interpretation of the sedimentary succession terminates with the lower, erosive boundary of the sand layer around 3500 cal BP. The sediments overlying this fluvial deposit are subject to soil formation and intensive agriculture and can therefore not be interpreted in a palaeoenvironmental context.

Based on proxy evidence, it can be assumed that stage four is characterized by a rapid succession of lagoonal and terrestrial deposition milieus, which points to unstable environmental conditions.

Stage	Proxy evidence	Palaeoenvironmental Interpretation	Driving mechanism
4	Oscillating proxy profiles	Phase of geomorphological instability indicated by a rapid succession of marine, lagoonal and marginal environments	Influence of post glacial sea level rise is influenced by local and regional processes (climate, sediment supply, topography, bathymetry, wave regime.....)
3	Marine proxies: low Silty sediments, brownish, mottled	Second, pronounced period of lagoon/barrier formation, shallow lagoon in the back barrier environment, temporal termination of waterlogging	Mid-Holocene cessation of sea level rise
2	Lower part: clayey sediments rich in OC and terrestrial proxies, high CN, greyish sediments partly laminated Upper part: coarse, homogeneous layers enriched in carbonate and marine proxies increase	First episode of barrier/lagoon formation and subsequent barrier breaching -> reestablishment of marine conditions	First, short-lived episode of a deceleration of sea level rise
1	Coarse greyish sediments Marine/carbonate proxies: high OC: low	Marine phase	Controlled by post glacial sea level rise

Fig. 10: Summary of proxy evidence and palaeoenvironmental interpretation.

Abb. 10: Zusammenfassung der Proxies und ihre umweltgeschichtliche Interpretation.

## 6.2 Regional Synthesis

The data presented in this study provide evidence for the existence and yet the temporal onset for the development of a Holocene coastal lagoon as proposed by KRAFT et al. (2005), RAPHAEL (1973, 1978) and KONTOPOULOS & KOUTSIOS (2010). However, RAPHAEL (1973, 1978) assumed an early phase of coastal progradation during Hellenistic Times, and KONTOPOULOS & KOUTSIOS (2010) suggested an age of 4000 BP, results from this study provide evidence for a period of pronounced, coastal progradation starting 6300 cal BP (stage 3) and an early but only short-lived phase around 8000 cal BP (stage 2). The latter is approximately in accordance with the oldest proposed barrier accretion cycles proposed by KRAFT et al. (2005) during Late Mesolithic to Neolithic Times.

Further, KRAFT et al. (2005) present evidence for major sediment surges in the Early Helladic (3000–2000 cal BC), in Early Mycenaean times (1700–1400 cal BC), and from Classical (500–323 cal BC) to modern times.

The pronounced period of coastal progradation starting 6300 cal BP (stage 3) is not in accordance with the evidence presented by KRAFT et al. (2005). However, enhanced sediment supply in the Early Helladic and Early Mycenaean Times can also be inferred from the sedimentary record of the Kotychi Lagoon (unit 11 and unit 13). A certain time lag can be attributed to a site-specific evolution or is a result of restricted dating accuracy, which cannot be neglected in coastal environments where <sup>14</sup>C dating is limited by a hardly quantifiable marine reservoir correction.

Evidence for three major sediment surges during Hellenistic (323–30 cal BC), Roman (30 cal BC – 330 cal AD) and early Medieval times (330 cal AD – 1453 cal AD) proposed by RAPHAEL (1973, 1978) could not be supported by this study because the sedimentary record of the past 3500 years is not

preserved in KOT3. The river channel producing the erosional gap further hampers a comparison to the palaeoenvironmental interpretation of KONTOPOULOS & KOUTSIOS (2010) derived from the same lagoon. KONTOPOULOS & KOUTSIOS (2010) distinguished three evolutionary stages from lagoonal (earlier than 7000–3810 cal BP) towards a terrestrial period (3810–1400 cal BP) followed by a transgressive phase (1400 cal BP–present). Whereas the basal part of the cores show a similar evolution, the mid-Holocene phase of coastal progradation corresponding to stage 3 in KOT3 is not identified by KONTOPOULOS and KOUTSIOS (2010). In contrast, in KK lagoonal bottom facies interrupted by an episode of stream channel influence in a depth of 440–470 cm are prevailing (KONTOPOULOS & KOUTSIOS, 2010). This probably introduced the erosional gap in KK much earlier than in KOT3 and is held responsible for the evolutionary discrepancy of the cores in the upper part.

## 6.3 Driving forces of coastal pro- and retrogradation

On a local scale, coastal morphology is highly susceptible to terrestrial sediment supply. Terrestrial environments play a profound role controlling sediment dynamics as material is eroded from the hinterland, transported by rivers, and entrained in littoral currents to shape the coast by creating barriers, lagoons, marshes or deltas. However, the sea level acts as a baseline to which a broad spectrum of processes adjusts. Hence, it controls the long profile of rivers, which influences sedimentation and erosion in the lowlands. Consequential, in the transitional zone where rivers and the sea merge barrier migration is the morphological response to the relation of sediment supply rates and the rate of sea level rise. A disequilibrium results in an adjustment of process and form (COSTAS et al., 2009; PLATER & KIRBY, 2011).

As causes for the perturbation of this disequilibrium and the balancing processes initiating shoreline migration, either changing sea level rates associated with the decay of the continental ice sheets and changes the ocean volume or varying sediment fluxes can be considered (LAMBECK & PURCELL, 2005; COSTAS et al., 2009). The latter one can be a composite of both, naturally induced soil erosion or anthropogenically enforced hinterland exploitation and soil degradation that translates into sedimentation in the lowlands (RAPHAEL 1973, 1978; KRAFT et al., 2005; DINIS et al., 2006).

Of course, local tectonic processes can influence the interplay of seal level rise and sediment supply. It controls the nature of the coastal environment either by gradual uplift or subsidence or by a sudden, impulsive vertical displacement. In this context, tectonic activity in the coastal area itself as well as in the hinterland has to be considered because it controls relief energy and hence sediment delivery. However, the quantification of tectonic control over geological time-scales is difficult (PLATER & KIRBY, 2011).

Further, short-term processes as extreme wave events can create an episodic disturbance. COSTAS & ALEJO (2007) for example report sporadic barrier breaching associated with increased wave energy striking the barrier during periods of increased storminess. After the initial disturbance, the coastal system needs a certain time to readjust and adapt to the boundary conditions.

With regard to the diverse driving factors of coastal evolution in the Kotychi area, stage 1 is influenced by the aftermath of the melt down of the continental ice sheets, which initiated ocean volume expansion and subsequently rapid sea level rise. Until 8000 cal BP the shoreline was located several km landward of its present position.

With vanishing of the ice sheets ocean volume remained constant attenuating the rate of sea level rise and allowing local signals to overcompensate the eustatic signal (FREITAS et al., 2003; BAO et al., 2007; COSTAS et al., 2009). In the Mediterranean, widespread evidence for a weakening of the eustatic signal and the development of lagoon barrier systems clusters around 5500–6500 BP (DINIS et al., 2006; BAO et al., 2007; COSTAS et al., 2009). However, stage two starting around 8000 cal BP seems to represents an early phase the mid-Holocene cessation of sea level rise which gives local factors such as sediment availability an accentuated role.

This early stage sea level deceleration reflects the hypothesis of STANLEY & WARNE (1994), who postulate worldwide delta progradation as a result of fluvial sediment input overcompensating the declining rate of sea level rise between 8500 and 6500 BP. On a regional scale the hypothesis of a stabilization of the sea level shows analogies to the results KRAFT et al. (2005) and it approximately confirms the results of AVRAMIDIS et al. (2012) who described sand barrier evolution and brackish/lagoonal back barrier conditions around 8540 cal BP in the Alykes Lagoon on Zakynthos Island 30–40 km west of Kotychi Lagoon.

Human induced soil erosion creating a surplus of sediments must also be considered. An array of studies evaluated and summarized by DUSAR et al. (2011) proposes a causal relationship between anthropogenic landscapes modification and enhanced sediment dynamics in the Mediterranean. It is common assumption that deforestation in the Mediterranean dates back to the Neolithic (KRAFT et al., 2005). Indeed, there is evidence for Early Neolithic human activity in

the study area (RAPHAEL, 1973; WILLIAMS, 2004). However, their ecological footprint is considered to have been small as indicated by pollen data (LAZAROVA, KOUTSIOS, & KONTOPOULOS, 2012) and so far no anthropogenically induced sediment surges have been reported in the region during Neolithic Times (RAPHAEL, 1973, 1978; KRAFT et al., 2005; KONTOPOULOS & KOUTSIOS, 2010). Hence, human induced soil erosion can be neglected as a source for the perturbation of the balance between sea level rise and sediment supply around 8000 cal BP. In fact, hinterland erosion and sedimentation in the Kotychi area appears to have been on a moderate level inferred from the finely laminated sediments representing a quiescent, low-energy sedimentation regime and further from an immature, semipermeable sand barrier which was flooded by a slower but after all rising sea level around 6600 cal BP.

Accordingly, temporal analogies of circum-Mediterranean lagoon formation indicate that an early stage of sea level deceleration led to a surplus of sediments in the transitional area where the Peneus River and the Ionian Sea merge which, initiated barrier formation in the prograding delta. Hence, an attenuation of the eustatic signal was the driving force of coastal progradation around 8000 cal BP. The gradual, subsequent flooding of the barrier environment is ascribed to a slower but after all rising sea level. However, an episode of subsidence, lowering the overflow threshold of the barrier could also be possible but is hard to prove.

A shift toward terrestrial marginal conditions either associated with a seaward migration of the lagoon or silting up of the back barrier environment characterize stage 3 and indicate an additional imbalance between sea level rise and sediment supply. The beginning of this stage coincides with circum Mediterranean lagoon formation and the traditionally mentioned cessation of the post-glacial sea level rise around 6500 and 5500 BP (LAMBECK & PURCELL, 2005; DINIS et al., 2006). For this period, FOUACHE et al. (2008) report a complex of coastal barriers encompassing the Thessaloniki plain, on the Iberian Peninsula COSTAS et al. (2009), BAO et al. (2007) and FREITAS et al. (2003) just to name a few, postulate lagoon and wetland formation. At the coastal plain of Marathon, Greece, PAVLOPOULOS et al. (2006) ascribe a sequence of lagoonal deposits to the stabilization of sea level rise just as KONTOPOULOS & AVRAMIDIS (2003) at the Aliki Lagoon, north Peloponnese.

However, the deceleration of sea level rise and a subsequent surplus of sediments must not be the sole reason for the cessation of the waterlogged conditions during stage 3. In the mid-Holocene, a trend towards a general aridification is inferred from  $\delta^{18}\text{O}$  and  $\delta^{13}\text{C}$  records of speleothems in Israel (BAR-MATTHEWS et al., 2003), or by geochemistry and pollen data from crater-lake sediments in central Turkey (Roberts et al., 2001). However, the transition towards aridity shows spatial variability throughout the Mediterranean (cf. LESPEZ, 2003; JALUT et al., 2009; DUSAR et al., 2011; FINNÉ et al., 2011). In a comprehensive synopsis of Holocene climate in the eastern Mediterranean, FINNÉ et al. (2011) propose a transition towards increased aridity gradually starting 5400 BP, which could have triggered climatically induced water table oscillation. The appearance of carbonate concretions in the Kotychi record around 5500–5400 cal BP supports the hypothesis and implies dry conditions in the Kotychi area during this time.

Anthropogenic induced soil erosion in stage 3, coinciding with the Late Neolithic is still considered to be on a moderate level and hence, appears to be a minor factor initiating enhanced sediment supply.

Consequently, prevalent temporal analogies of lagoon formation justify the hypothesis that at the beginning of stage 3 a widespread attenuation of the eustatic signal resulted in delta progradation of the Palaeo-Peneus River delta. Entrained in littoral currents the surplus sediments were redistributed and reorganized to form a lagoonal back barrier environment. The cessation of the waterlogged conditions might have been a composite of an attenuated sea level rise amplified by climate forcing which with diminishing dominance of the eustatic signal is able to exert influence on coastal morphology.

Stage 4 is characterized by a comparable rapid succession of varying deposition environments indicating reoccurring fluctuation in the sediment budget. After the pronounced period of coastal progradation (stage 3), lagoonal conditions are returning again indicating an episode of barrier breakdown around 5200 cal BP. It seems that hinterland sediment supply was restricted. With a still moderate level of human activity in the Elean uplands and climate conditions obviously not favoring enhanced sediment fluxes, a slower but nevertheless rising Ionian Sea flooded the lagoon. Apparently starved of continuous sediment supply, the barrier became progressively impermeable allowing marine intrusion (unit 9) and it was of course not mature enough to withstand extreme wave events (shell fragments unit 10).

Starting 4700 BP, lagoonal/marginal conditions are prevailing passing into progressive terrestrial conditions around 4300 BP indicating that the profundal zone must have migrated seaward or has been silted up. At least a slight increase in sediment supply must have occurred which could be attributed to gradually increasing human activity with the onset of the Early Helladic (5000 BP) (WILLIAMS, 2004). A short lived phase of lagoonal predominance between 4000 and 4100 cal BP could be the result of a proposed climate anomaly around 4200 BP creating cool and dry conditions (Mayewski et al., 2004) and hence hampering sediment dynamics and the consolidation of the barrier allowing salt water intrusion. However, the event-like character of the so-called 4.2 ka event is controversial (FINNÉ et al., 2011). The reestablishment of marginal conditions and the gradual transition to fully terrestrial conditions starts around 4000 cal BP contemporaneously to the onset of the Middle Helladic (2000 cal BC). In this period, the first peak of settlement activity was reached as verified by an increased number of sites (WILLIAMS, 2004). A palynological signal of anthropogenic landscape modification displaying peaks in indicators of agriculture and stockbreeding appears in the Kotychi area in early Helladic times and thereby supports the archaeological evidence of increased human activity. The cultivation of *Olea* assigned to 3810 cal BP is an additional indicator for progressive human interference into nature (LAZAROVA, KOUTSIOS & KONTOPOULOS, 2012). Further, abundant charcoal fragments clustering between 3500 and 3600 cal BP might indicate human induced fire activity in the hinterland but could also be the result of natural fire activity. However, apparently rising demographic pressure resulted in forest clearing and overgrazing irrevocably destroying endemic vegetation. Devoid of its natural, protective cover, the soil

was susceptible to erosion, which translated in silting up of lowlands (*cf.* Dusar et al., 2011) and the development of a broad floodplain prograding into the lagoon (unit 13). Hence, it must be considered that the cessation of the waterlogged conditions at the end of stage 4 is attributed to human induced soil erosion providing a surplus of sediments.

The erosional force of a meandering river channel deeply incised into the floodplain eroded the sedimentary evidence deposited after 3500 cal BP. Accordingly, no statements about this period can be derived from the sedimentary sequence KOT3.

In summary, it is hypothesized that after the deceleration of sea level rise the influence on coastal evolution of variables such as anthropogenic induced hinterland erosion or climatic factors became more important. With a multiplicity of factors acting upon coastal morphology unstable environmental conditions in the coastal area prevailed.

## 7 Summary and conclusion

---

The sedimentary sequence of KOT3 provides insights into the evolution of the north Elean coastline from around 8500–3500 cal BP. Combining geochemical and sedimentological methods (XRF, grain size, OC, IC, and C/N analysis) with Bayesian age-depth-modeling, four evolutionary stages documenting the transition from a marine to a marginal lagoonal environment could be identified. With regards to the driving forces of Holocene coastal evolution, this study demonstrates that Elis shows a two-phase development as reported from lagoons throughout the Mediterranean. Temporal analogies in coastal evolution across the Mediterranean indicate that early Holocene morphology results from the global aftermath of postglacial sea level rise. With vanishing of the ice sheets, the so far preeminent role of the eustatic signal was overwhelmed giving local and regional processes an accentuated role. Geomorphological instability in the coastal area indicates that a multiplicity of factors is acting upon morphology demanding constant adjustment. Hence, in mid to late Holocene natural and/or anthropogenically controlled sediment supply which translated in rapid morphological adjustment of the coastline was the driving force of coastal evolution.

In this study the application of the fast, non-destructive, high-resolution XRF-analysis technique proved to be a powerful tool providing a general overview of the chemical composition and altering element concentrations in a sedimentary sequence. The XRF-technique is a low-cost approach to discriminate marine and terrestrial environments and is especially useful when the concentration/preservation of indicative microorganism is poor or too time-consuming (*e.g.* CUNDY et al., 2006). However, the semi-quantitative nature of the XRF-results needs to be kept in mind to avoid overinterpretation of the element concentrations.

Despite its potential to answer an array of palaeoenvironmental questions, deciphering sedimentary sequences in coastal environments presents certain pitfalls. Disentangling the superimposing, driving forces of coastal evolution is challenging and requires an independent chronology of involved processes to support their identification in the sedimentary sequence. Using neighboring cores as validation is restricted due to the rapid re-deposition and reorganization of unconsolidated sediments in the transitional zone where

rivers and the sea merge. Another crucial point when studying lagoonal environments is the accuracy of radiocarbon dating, which is limited by a hardly quantifiable reservoir correction and re-deposited organic material. Chronological control is additionally hindered in tectonic active regions, where crustal movement might introduce uncertainties in age depth relation of the sediments.

Hence, the interplay of tectonic, sea level changes, human and natural induced changes of sediment budgets presents a challenge when deciphering sedimentary sequences in tectonic active coastal regions. Despite all that, the present study successfully demonstrate that Holocene coastal evolution of the North Elean coast shows significant analogies to circum-Mediterranean lagoon formation during the Holocene.

## Acknowledgements

Special thanks are given to our colleagues from the Geological Institute of the University of Patras (Pavlos Avramidis, Kimon Christanis, Eleni Zagana) for their precious help. Thanks to Manfred Beckers and Sophia Dazert for help with lab and preparation work and further to Mathias Bahns, Görkem Oskay, Giorgos Savalas, Giorgos Floros, and Stavros Vrachliotis for great assistance during fieldwork. This project was founded by the Graduate School Human Development in Landscapes, Kiel University.

## References

- AVRAMIDIS, P., BOUZOS, D., ANTONIOU, V. & KONTOPOULOS, N. (2008): Application of grain size trend analysis and spatio-temporal changes of sedimentation, a tool or lagoon management. Case study: the Kotychi lagoon (western Greece). – *Geologica Carpathica*, 59 (3): 261–268.
- AVRAMIDIS, P., GERAGA, M., LAZAROVA, M. & KONTOPOULOS, N. (2012): Holocene record of environmental changes and palaeoclimatic implications in Alykes Lagoon, Zakynthos Island, western Greece, Mediterranean Sea. – *Quaternary International*. DOI:10.1016/j.quaint.2012.04.026
- BAO, R., FREITAS, M.C. & ANDRADE, C. (1999): Separating eustatic from local environmental effects: a Late Holocene record of coastal change in Albufeira Lagoon, Portugal. – *The Holocene*, 9: 341–352.
- BAO, R., ALONSO, A., DELGADO, C. & PAGES, J.L. (2007): Identification of the main driving mechanisms in the evolution of a small coastal wetland (Traba, Galicia, NW Spain) since its origin 5700 cal yr BP. – *Palaeogeography, Palaeoclimatology, Palaeoecology*, 247: 296–312.
- BAR-MATTHEWS, M., AYALON, A., GILMOUR, M., MATTHEWS, A. & HAWKESWORTH, C.J. (2003): Sea-land oxygen isotopic relationships from planktonic foraminifera and speleothems in the Eastern Mediterranean region and their implication for paleorainfall during interglacial intervals. – *Geochimica et Cosmochimica Acta*, 67: 3181–3199.
- BERTRAND, S., STERKEN, M., VARGAS-RAMIREZ, L., DE BATIST, M., VYVERMAN, W., LEPOINT, G. & FAGEL, N. (2010): Bulk organic geochemistry of sediments from Puyehue Lake and its watershed (Chile, 40°S): Implications for paleoenvironmental reconstructions. – *Palaeogeography, Palaeoclimatology, Palaeoecology*, 294: 56–71.
- BOYLE, J.F. (2001): Inorganic geochemical methods in paleolimnology. – In: LAST, W.M. & SMOL, J.P. (eds.): *Tracking Environmental Change Using Lake Sediments*, Vol. 2, Physical and Geochemical Methods: 83–142; Dordrecht (Kluwer Academic Publishers).
- BRAUER, A. (2004): Annually laminated lake sediments and their palaeoclimate relevance. – In: FISCHER, H., KUMKE, T., LOHMANN, G., FLÖSER, G., MILLER, H., VON STORCH, H. & NEGENDANK, J.F.W. (eds.): *The Climate in Historical Times. Towards a Synthesis of Holocene Proxy Data and Climate Models*: 109–128; Berlin (Springer Verlag).
- BRONK RAMSEY, C. (2001): Development of the radicocarbon calibration program. – *Radiocarbon*, 43: 355–363.
- BRONK RAMSEY, C. (2008): Deposition models for chronological records. – *Quaternary Science Reviews*, 27: 42–60.
- BRONK RAMSEY, C. (2009): Dealing with outliers and offset in radiocarbon dating. – *Radiocarbon*, 51 (3): 1023–1045.
- BURNETT, A.P., SOREGHAN, M.J., SCHOLZ, C.A. & BROWN, E.T. (2011): Tropical East African climate change and its relation to global climate: A record from Lake Tanganyika, Tropical East Africa, over the past 90+ kyr. – *Palaeogeography, Palaeoclimatology, Palaeoecology*, 303: 155–167.
- BURTONA P.W., XUA Y., QINA C., TSELENTIS G. & SOKOS E. (2004): A catalogue of seismicity in Greece and the adjacent areas for the twentieth century. – *Tectonophysics*, 390: 117–127.
- COHEN, A.S. (2003): *Paleolimnology. The History and Evolution of Lake Systems*. – Oxford University Press, Oxford.
- COOPER, J.A.G. (1994): Lagoons and microtidal coasts. – In: CARTER, R.W.G. & WOODROFFE, C.D. (eds.): *Coastal Evolution. Late Quaternary Shoreline Morphodynamics*: 219–265; Cambridge (Cambridge University Press).
- COSTAS, S. & ALEJO, I. (2007): Local and global influences on the evolution of a transgressive sand barrier: Cíes Barrier, Northwest Spain. – *Journal of Coastal Research*, 50: 1121–1125.
- COSTAS, S., MUÑOZ SOBRINO, C., ALEJO, I. & PÉREZ-ARLUCEA, M. (2009): Holocene evolution of a rock-bounded barrier-lagoon system, Cíes Islands, NW Iberia. – *Earth Surface Processes and Landforms*, 34: 1575–1586.
- CUNDY, A.B., SPRAGUE, D., HOPKINSON, L., MAROUKIAN, H., GAKI-PAPANASTASSIOU, K., PAPANASTASSIOU, D., FROGLEY, M.R. (2006): Geochemical and stratigraphic indicators of late Holocene coastal evolution in the Gythio area, southern Peloponnese, Greece. – *Marine Geology*, 230 (3–4): 161–177.
- CURTIUS, E. (1851): *Peloponnesos: eine historisch-geographische Beschreibung der Halbinsel*, Band 1. – 495 p.; Gotha.
- CUVEN, S., FRANCUS, P. & LAMOUREUX, S. (2011): Mid to Late Holocene hydroclimatic and geochemical records from the varved sediments of East Lake, Cape Bounty, Canadian High Arctic. – *Quaternary Science Reviews*, 30: 2651–2665.
- DEAN, W. (1999): The carbon cycle and biochemical dynamics in lake sediments. – *Journal of Paleolimnology*, 21: 375–393.
- DINIS, J., HENRIQUES, V., FREITAS, M., ANDRADE, C. & COSTA, P. (2006): Natural to anthropogenic forcing in the Holocene evolution of three coastal lagoons (Caldas da Rainha valley, western Portugal). – *Quaternary International*, 150: 41–51.
- DOUKAKIS, E. (2003): The potential consequences of climate change on Kotychi Lagoon. – In: LEKKAS, T.D. (ed.): *Proceedings of the 8th International Conference on Environmental Science and Technology*. Lemnos Island, Greece, 8 – 10 September 2003. Full paper Vol A: 170–175.
- DUSAR, B., VERSTRAETEN, G., NOTEBAERT, B. & BAKKER, J. (2011): Holocene environmental change and its impact on sediment dynamics in the Eastern Mediterranean. – *Earth Science Reviews*, 108: 137–157.
- DYPVIK, H. & HARRIS, N.B. (2001): Geochemical facies analysis of fine-grained siliciclastics using Th/U, Zr/Rb and (Zr+Rb)/Sr ratios. – *Chemical Geology*, 181: 131–146.
- EUSTERHUES, K., LECHTERBECK, J., SCHNEIDER, J. & WOLF-BROZIO, U. (2002): Late- and Post-Glacial evolution of Lake Steisslingen (I). Sedimentary history, palynological record and inorganic geochemical indicators. – *Palaeogeography, Palaeoclimatology, Palaeoecology*, 187 (3–4): 341–371.
- FINNÉ, M., HOLMGREN, K., SUNDQVIST, H.S., WEIBERG, E. & LINDBLOM, M. (2011): Climate in the eastern Mediterranean regions, during the past 6000 years a review. – *Journal of Archaeological Science*, 38: 3153–3173.
- FREITAS, M.C., ANDRADE, C., ROCHA, F., TASSINARI, C., MUNHÁ, J.M., CRUCES, A., VIDINHA, J. & DA SILVA, C.M. (2003): Lateglacial and Holocene environmental changes in Portuguese coastal lagoons 1: the sedimentological and geochemical records of the Santo André coastal area. – *The Holocene*, 13: 433–446.
- FOUACHE, E., GHILARDI, M., VOULALDIS, K., SYRIDES, G., STYLAS, M., KUNESCH, S. & STIROS, S. (2008): Contribution on the Holocene Reconstruction of Thessaloniki Coastal Plain, Greece. – *Journal of Coastal Research*, 24: 1161–1173.
- FOUNTOULIS, I., VASSILAKIS, E., MAVROULIS, S., ALEXOPOULOS, J. & ERKEKI, A. (2011): Quantification of river valley major diversion impact at Kylini coastal area (W. Peloponnesus, Greece) with remote sensing techniques. – In: GRÜTZNER, C., PÉREZ-LÓPEZ, R., FERNÁNDEZ STEEGER, T., PAPANIKOLAOU, I., REICHERTER, K., SILVA, P.G. & VÖTT, A. (eds.): *Earthquake Geology and Archaeology. Science, Society and Critical Facilities*: 42–45; Proceedings Vol. 2, 2nd INQUA-IGCP 567 International Workshop on Active Tectonics, Earthquake Geology, Archaeology and Engineering, 19.–24.09.2011, Corinth (Greece).
- GOFF, J., CHAGUÉ-GOFF, C., NICHOL, S., JAFFE, B. & DOMINEY-HOWES, D. (2012): Progress in palaeotsunami research. – *Sedimentary Geology*, 243–244: 70–88.

- HODELL, D. A., CHANNELL, J. E. T., CURTIS, J. H., ROMERO, O. E. & RÖHL, U. (2008): Onset of "Hudson Strait" Heinrich events in the eastern North Atlantic at the end of the middle Pleistocene transition (640 ka)? – *Paleoceanography*, 23: PA4218. DOI:4210.1029/2008PA001591.
- INSTITUTE OF GEOLOGY AND MINERAL EXPLORATION (IGME) (1977): Geological Map of Greece, sheet Nea Manolas, scale 1: 50,000, Athens, Greece.
- INSTITUTE OF GEOLOGY AND MINERAL EXPLORATION (IGME) (1977): Geological Map of Greece, sheet Amalias, scale 1: 50,000, Athens, Greece.
- JACOBSHAGEN, V. (1986): *Geologie von Griechenland*. – Berlin (Gebrüder Borntraeger).
- JALUT, G., DEDOUBAT, J.J., FONTUGNE, M. & OTTO, T. (2009): Holocene circum-Mediterranean vegetation changes: climate forcing and human impact. – *Quaternary International*, 200: 4–18.
- KOINIG, K.A., SHOTYK, W., LOTTER, A.F., OHLENDORF, C. & STURM, S. (2003): 9000 years of geochemical evolution of lithogenic major and trace elements in the sediment of an alpine lake: the role of climate, vegetation, and land-use history. – *Journal of Paleolimnology*, 30: 307–320.
- KONTOPOULOS, N. & AVRAMIDIS, P. (2003): A late Holocene record of environmental changes from the Aliki lagoon, Egion, North Peloponnesus, Greece. – *Quaternary International*, 111: 75–90.
- KONTOPOULOS, N. & KOUTSIOS, A. (2010): A late Holocene record of environmental changes from Kotihi lagoon, Elis, northwest Peloponnesus, Greece. – *Quaternary International*, 225: 191–198.
- KRAFT, J.C., RAPP, G., GIFFORD, J.A. & ASCHENBRENNER, S.E. (2005): Coastal change and Archaeological setting in Elis. – *Hesperia*, 74: 1–39.
- KYLANDER, M.E., AMPEL, L., VERES, D. & WOHLFARTH, B. (2011): High-Resolution XRF Core Scanning Analysis of Les Echtes (France) Sedimentary Sequence: New Insights from Chemical Proxies. – *Journal of Quaternary Science*, 26: 109–117.
- LAMBECK, K. & PURCELL, A. (2005): Sea-level change in the Mediterranean Sea since the LGM: model predictions for tectonically stable areas. – *Quaternary Science Reviews*, 24: 1969–1988.
- LAMBECK, K., WOODROFFE, C.D., ANTONIOLI, F., ANZIDEI, M., ROLAND, W., LABOREL, J. & WRIGHT, A.J. (2010): Paleoenvironmental Records, Geophysical Modeling, and Reconstruction of Sea-Level Trends and Variability on Centennial and Longer Timescales. – In: CHURCH, J. A., WOODWORTH, P.L., AARUP, T. & WILSON, W.S. (Eds.): *Understanding Sea-Level Rise and Variability*. – 61–121; Oxford UK (Wiley-Blackwell).
- LAST, W.M. (1994): Deep-water evaporate mineral formation in lakes of Western Canada. – In: RENAULT, R.W. & LAST, W.M. (eds.): *Sedimentology and Geochemistry of Modern and Ancient Saline Lakes*: 51–59; Society for Sedimentary Geology, Special Publication, 50.
- LAZAROVA, M., KOUTSIOS, A. & KONTOPOULOS, N. (2012): Holocene vegetation history of the Kotihi lagoon (northwest Peloponnesus, Greece). – *Quaternary International*, 261: 138–145.
- LESPEZ, L. (2003): Geomorphic responses to long-term land use changes in eastern Macedonia (Greece). – *Catena*, 51: 181–208.
- LÖWEMARK, L., CHEN, H.-F., YANG, T.-N., KYLANDER, M., YU, E.-F., HSU, Y.-W., LEE, T.-Q., SONG, S.-R. & JARVIS, S. (2011): Normalizing XRF-scanner data: A cautionary note on the interpretation of high-resolution records from organic-rich lakes. – *Journal of Asian Earth Sciences*, 40 (6): 1250–1256.
- MAROUKIAN, H., GAKI-PAPANASTASSIOU, K., PAPANASTASSIOU, D. & PALYVOS, N. (2000): Geomorphological observations in the coastal zone of the Kyllini Peninsula, western Peloponnesus, Greece and their relation to the seismotectonic regime of the area. – *Journal of Coastal Research*, 16 (3): 853–863.
- MCMANUS, J. (2002): Deltaic response to changes in river regimes. – *Marine Chemistry*, 79: 155–170.
- MEYERS, P.A. & LALLIER-VERGÈS, E. (1999): Lacustrine sedimentary organic matter records of Late Quaternary paleoclimates. – *Journal of Paleolimnology*, 21: 345–372.
- MINGRAM, J., NEGENDANK, J., BRAUER, A., BERGER, D., HENDRICH, A., KÖHLER, M. & USINGER, H. (2007): Long cores from small lakes – recovering up to 100 m-long lake sediment sequences with a high-precision rod-operated piston corer (Usinger-corer). – *Journal of Paleolimnology*, 37: 517–528.
- MOOK, W.G., & VAN DER PLICHT, J. (1999): Reporting <sup>14</sup>C activities and concentrations. – *Radiocarbon*, 41: 227–239.
- MORTON, R.A., GELFENBAUM, G. & JAFFE, B.E. (2007): Physical criteria for distinguishing sandy tsunami and storm deposits using modern examples. – *Sedimentary Geology*, 200: 184–207.
- MÜGLER, I., GLEIXNER, G., GÜNTHER, F., MÄUSBACHER, R., DAUT, G., SCHÜTT, B., BERKING, J., SCHWALB, A., SCHWARK, L., XU, B., YAO, T., ZHU, L. & YI, C. (2010): A multi-proxy approach to reconstruct hydrological changes and Holocene climate development of Nam Co, Central Tibet. – *Journal of Paleolimnology*, 43 (4): 625–648.
- PAVLOPOULOS, K., KARKANAS, P., TRIANTAPHYLLOU, M., KARYMBALIS, E., TSOUROU, T. & PALYVOS, N. (2006): Palaeoenvironmental evolution of the coastal plain of Marathon, Greece, during the Late Holocene: Deposition environment, climate and sea-level changes. – *Journal of Coastal Research*, 22 (2): 424–438.
- PHILIPPSON, A. (1959): *Die griechischen Landschaften: Der Peloponnes, Band 2, Der Westen und Süden der Halbinsel*. – Frankfurt (Klostermann).
- PLATER, A.J. & KIRBY, J.R. (2011): Sea-Level Change and Coastal Geomorphic Response. – In: WOLANSKI, E. & McLUSKY, D.S. (eds.): *Treatise on Estuarine and Coastal Science*: 39–72; Waltham (Elsevier Academic Press).
- POULOS, S.E., VOULGARIS, G., KAPSIMALIS, V., COLLINS, M. & EVANS, G. (2002): Sediment fluxes and the evolution of a riverine-supplied tectonically-active coastal system: Kyparissiakos Gulf, Ionian Sea (eastern Mediterranean). – In: LONES, S.J. & FROSTICK, L.E. (eds.): *Sediment Flux to Basins: Causes, Controls and Consequences*: 247–266; Geological Society, London, Special Publications 191.
- R DEVELOPMENT CORE TEAM (2011): R: A Language and Environment for Statistical Computing, Version 2.13.2. R Foundation for Statistical Computing, ISBN 3-900051-07-0.
- RAPHAEL, C.N. (1973): Late Quaternary changes in coastal Elis, Greece. – *Geographical Review*, 63: 73–89.
- RAPHAEL, C.N. (1978): The erosional history of the plain of Elis in the Peloponnesus. – In: BRICE, W.C. (ed.): *The Environmental History of the Near and Middle East since the Last Ice Age*: 51–66; London (Academic Press).
- REIMER, P.J., BAILLIE, M.G.L., BARD, E., BAYLISS, A., BECK, J.W., BERTRAND, C.J.H., BLACKWELL, P.G., BUCK, C.E., BURR, G.S., CUTLER, K.B., DAMON, P.E., EDWARDS, R.L., FAIRBANKS, R.G., FRIEDRICH, M., GUILDERSON, T.P., HOGG, A.G., HUGHEN, K.A., KROMER, B., McCORMAC, G., MANNING, S.W., RAMSEY, C.B., REIMER, R.W., REMMELE, S., SOUTHON, J.R., STUIVER, M., TALAMO, S., TAYLOR, C.B., PLICHT, J.V.D. & WEYHENMEYER, C.E. (2004): IntCal04 terrestrial radiocarbon age calibration, 0–26 cal kyr BP. – *Radiocarbon*, 46 (3): 1029–1058.
- RICHTER, T.O., VAN DER GAAS, S., KOSTER, B., VAARS, A., GIELES, R., DE STIGTER, H.C., DE HAAS, H. & VAN WEERING T.C.E. (2006): The Avaatech XRF Core Scanner Technical description and applications to NE Atlantic sediments. – In: ROTHWELL, R.G. (ed.): *New Techniques in Sediment Core Analysis*: 39–50; Special Publication Geological Society, 267.
- ROBERTS, N., REED, J.M., LENG, M.J., KUZUCUOGLU, C., FONTUGNE, M., BERTAUX, J., WOLDRING, H., BOTTEMA, S., BLACK, S., HUNT, E. & KARABIYIKOGLU, M. (2001): The tempo of Holocene climatic change in the eastern Mediterranean region: new high-resolution crater-lake sediment data from central Turkey. – *The Holocene*, 11: 721–736.
- SCHOFIELD, J.E., EDWARDS, K.J., MIGHALL, T.M., MARTÍNEZ CORTIZAS, A., RODRÍGUEZ-RACEDO, J. & COOK, G. (2010): An integrated geochemical and palynological study of human impacts, soil erosion and storminess from southern Greenland since c. AD 1000. – *Palaeogeography, Palaeoclimatology, Palaeoecology*, 295: 19–30.
- SIANI, G., PATERNE, M., ARNOLD, M., BARD, E., MÉTIVIER, B., TISNERAT, N. & BASSINOT, F. (2000): Radiocarbon reservoir ages in the Mediterranean Sea and Black Sea. – *Radiocarbon*, 42 (2): 271–280.
- STANLEY, D.J. & WARNE, A.G. (1994): Worldwide initiation of holocene marine deltas by deceleration of sea-level rise. – *Science*, 265: 228–31.
- STRIEWSKI, B., MAYR, C., FLENLEY, J., NAUMANN, R., TURNER, G. & LÜCKE, A. (2009): Multi-proxy evidence of late Holocene human-induced environmental changes at Lake Pupuke, Auckland (New Zealand). – *Quaternary International*, 202: 69–93.
- UNDERHILL, J. (1988): Triassic evaporites and Plio-Quaternary diapirism in western Greece. – *Journal of the Geological Society of London*, 145: 269–282.
- VÖTT, A. (2007): Relative sea level changes and regional tectonic evolution of seven coastal areas in NW Greece since the mid-Holocene. – *Quaternary Science Reviews*, 26 (7–8): 894–919.
- VÖTT, A., FISCHER, P., HADLER, H., HANDEL, M., LANG, F., NTAGERETZIS, K. & WILLERSHÄUSER, T. (2011): Sedimentary burial of ancient Olympia (Peloponnese, Greece) by high-energy flood deposits – The Olympia Tsunami Hypothesis. – In: GRÜTZNER, C., PÉREZ-LOPEZ, R., FERNÁNDEZ STEEGER, T., PAPANIKOLAOU, I., REICHERTER, K., SILVA, P.G. & VÖTT, A. (eds.): *Earthquake Geology and Archaeology: Science, Society and Critical facilities. Proceedings of the 2 nd INQUA-IGCP 567 International Workshop on Active Tectonics, Earthquake Geology, Archaeology and Engineering*, 19–24 September 2011, Corinth (Greece): 259–262.
- WILLIAMS, E.L. (2004): *Archaeological Explorations in Elis. A Diachronic Study of the Alpheios River Valley with a Catalogue of Material From Jerome Sperling's 1939 Survey*. Master's Thesis. University of Cincinnati.
- WRIGHT, K. (2011): Corrgram Package, Version 1.1.

# Holotype skulls, stratigraphy, bone taphonomy and excavation history in the Zoolithen Cave and new theory about Esper's "great deluge"

Cajus Diedrich

**How to cite:** DIEDRICH, C. (2014): Holotype skulls, stratigraphy, bone taphonomy and excavation history in the Zoolithen Cave and new theory about Esper's "great deluge". – E&G Quaternary Science Journal, 63 (1): 78–98. DOI: 10.3285/eg.63.1.05

**Abstract:** The Zoolithen Cave, in the Wiesent River Valley of Upper Franconia, Bavaria, South Germany, has a very long excavation history. The site is of international paleobiological importance as the Type site for five Pleistocene top predators (cave bear, Ice Age hyena, lion, wolf, dhole). This large cave system has developed in three elevations and preserves three fluvial sedimentary sequences including two speleothem genesis phases representing changing ponor, dry and wet stages from the Oligocene/Miocene (Neogene), over the Pliocene/Early Pleistocene to Late Pleistocene. The cave bear *Ursus deningeri* used the cave as den during the MIS 6–9 (Holsteinian interglacial-Saalian glacial). Single P4 tooth and skull shape analyses ("= cave bear clock") date different cave bear species (*U. spelaeus eremus/spelaeus*, *U. ingressus*) within the Late Pleistocene (MIS 3–5d). Finally the bones of other Pleistocene megamammals were washed from two former cave entrances at elevations of about 455 m a.s.l. up to 30 meters deep into lower elevation cave parts, during the Last Glacial Maximum (Post-*U. deningeri* times or Postglacial), -historically believed to be the result of the "great deluge". The young "river terrace dolomite gravels" which occur as relic sediments at elevations of about 455 a.s.l in several caves around Muggendorf cannot be explained by natural erosion/river terrace stratigraphy, and must relate to an uncertain glacial context. Finally Iron Age (La Tène) humans left secondary burials (human skulls and long bones with pottery and after-life food animal donations) only in the first deep vertical shaft (Aufzugsschacht) similar to the situation in the nearby Esper's Cave.

## Holotypen-Schädel, Stratigraphie, Knochen-Taphonomie und Ausgrabungs-Historie in der Zoolithenhöhle und eine neue Theorie über Esper's „biblische Sintflut“

**Kurzfassung:** Kurzfassung: Die Zoolithenhöhle liegt entlang des Wiesenttals (Oberfranken, Bayern, Süd-Deutschland) und hat eine lange „Spatenforschungs“-Historie. Die Fundstelle ist von internationaler Bedeutung aufgrund ihrer fünf validen Holotypen-Eiszeittier-Schädeln des „Höhlenbären“ sowie Top-Prädatoren (Eiszeit-Löwe, -Hyäne, -Wolf und -Rotwolf). Das große Höhlensystem entwickelte sich auf drei Etagen und hat drei fluviatile Haupt-Sedimentsequenzen inklusive zwei Haupt-Speleothem-Genesephasen unter wechselnden Ponor-, Trocken- und Nassphasen während des Oligozän/Miozän (Neogen) über das Pliozän/Frühpleistozän bis hin zum Spät-Pleistozän. Die ersten Höhlenbären-Populationen Oberfrankens mit *Ursus deningeri* nutzen die Höhle als Horst bereits im MIS 6–8 (Holstein-Interglazial/Saale-Glazial). Isolierte P4 Zahn- sowie die Schädelmorphotypen (= „Höhlenbären-Uhr“) datieren verschiedene Höhlenbären-Arten/Unterarten (*U. spelaeus eremus/spelaeus*, *U. ingressus*) in das Spät-Pleistozän (MIS 3–5d). Ihre Knochen wurden in etlichen Fällen zuerst durch Top-Prädatoren beschädigt. Letztendlich wurden die Knochen aller pleistozänen Großsäuger während des Hochglazials (= Last Glacial Maximum, Post-*U. deningeri*-Zeit oder Postglazial) von zwei ehemaligen Eingangsbereichen in Höhenlagen um 455 m NHN bis zu 30 Meter in tieferen Höhlenbereiche besonders über die Vertikalschäfte durch Hochflutereignisse verschwemmt. Dieses wurde in historischer Zeit als „biblische Sintflut“ interpretiert. Die jüngsten „Flussterrassen-Dolomitkiese“ in Höhenlagen um 455 m NHN werden als Reliktsedimente in verschiedenen Höhlen um Muggendorf angetroffen und können in solchen extremen Höhenlagen 130 Meter über der heutigen Wiesen nicht mehr mit „natürlicher Erosion/Flussterrassenstratigraphie“ erklärt werden. Sie müssen im noch unklaren glazialen Kontext stehen. Letztendlich hinterließen Eisenzeit-La Tène-Menschen Sekundärbestattungen (Schädel, Langknochen, Keramik und Jenseits-Nahrungs-Haustier-Beigaben) nur im ersten tiefen Vertikalschaft (= Aufzugsschacht), ähnlich wie in der nahegelegenen Esperhöhle.

**Keywords:** Holotype skulls, stratigraphy, bone taphonomy, excavation history of the Zoolithen Cave, new theory about Esper's "great deluge"

**Address of author:** C. Diedrich, PaleoLogic Research Institute, Petra Bezruce 96, CZ-26751 Zdice, Czech Republic, www.paleologic.eu, cdiedri@gmx.net

## 1 Introduction

The Franconian Karst in Germany is one of the most important regions for megafaunal and palaeoclimatic research of the Middle/Late Pleistocene in Europe due to its multiple archaeo-biological-archives. The extremely Pleistocene bone-rich caves, which also contain important sedimentary sequences, allow landscape and erosion modeling which is potentially important for comparisons within other regions of central Europe.

Upper Franconia (Bavaria) along the Wiesent and tributary valleys has the highest density of caves in the Franconian Alb (e.g. KAULICH & SCHAAF 1993, GROISS et al. 1998) and is one of the most cave-rich regions of Europe, worthy of "speleopark" designation in the future. The caves are eroded into the massive Upper Jurassic reef and lagoon/inter-reef dolomites (MEYER & SCHMIDT-KALER 1992, GROISS et al. 1998), which additionally are famous climbing areas. Most of the caves are only small clefts or cavities, with only a few larger caves are present.

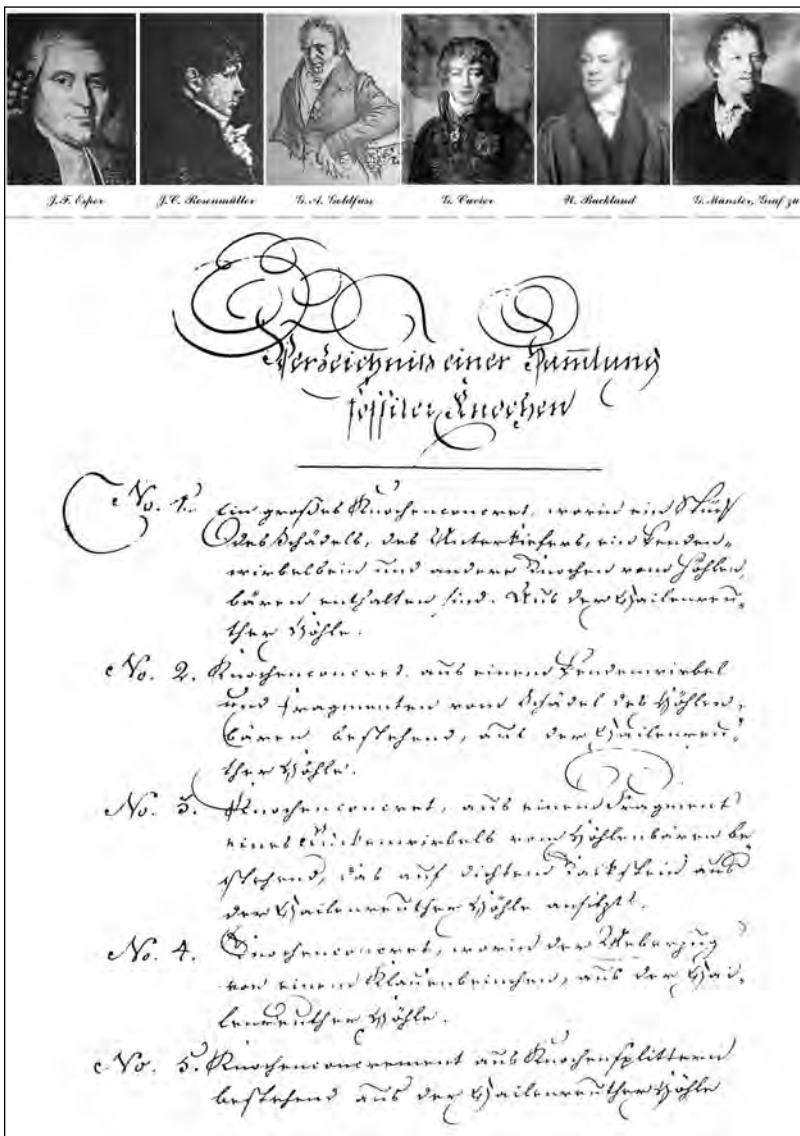


Fig. 1: The first Zoolithen Cave researchers of the „early spade research time“: J.F. ESPER, J.C. ROSEN-MÜLLER, A. GOLDFUSS, G. CUVIER, W. BUCKLAND and Graf zu MÜNSTER. Below: First page of the catalogue of the selling contract of the Rosenmüller-1794 collection (former times Preußische Geologische Reichsanstalt Berlin, today Naturkundemuseum der Humboldt-Universität Berlin).

Abb. 1: Die ersten Zoolithenhöhlen-Erforscher während der „frühen Spatenforschungszeit“, J.F. ESPER, J.C. ROSEN-MÜLLER, A. GOLDFUSS, G. CUVIER, W. BUCKLAND und Graf zu MÜNSTER. Unten: Erste Seite der Kataloges des Kaufvertrages der Rosenmüller-1794-Sammlung (damals Preußische Geologische Reichsanstalt Berlin, heute Naturkundemuseum der Humboldt-Universität Berlin).

Those caves, and especially the Zoolithen Cave, was one of the first and most famously targeted fossil cave bear localities, where many famous German, French and English pioneering researchers excavated or studied material, including ESPER, ROSENmüller, GOLDFUSS, CUVIER, BUCKLAND & Graf zu MÜNSTER (Fig. 1). The most famous and largest fossil collection assembled by ROSENmüller (labeled in 1797) that contains several of the famous skulls, was thought to be lost, but has been relocated by the current author, in the Preußische Geologische Landesanstalt (see ROSENmüller catalogue, Fig. 1). During the DDR socialist Republic times this collection was forgotten but is now recognized to be of international importance. Further important researchers included GOLDFUSS & BUCKLAND who provided the first illustrations of the cave and excavation areas (Fig. 2A). Sadly, in more recent times (after the Second World War), large newly discovered parts and old areas were emptied with old-style methods by GROISS (Fig. 2B).

Mainly cave bear remains have been found from the Pleistocene layers in the Zoolithen Cave as the first and most well-known and one of the richest cave bear bone site of Europe (ESPER 1774, ROSENmüller 1794, GOLDFUSS 1810, 1818, 1821, 1823, BUCKLAND 1823), which herein estimated has/had

a half million of remains. This and other larger bone-rich caves in Upper Franconia (Fig. 3A) are all in higher elevations between 550 to 400 m a.s.l. (Zoolithen Cave former entrance 455 m NHN, Sophie's and Große Teufels Cave former entrances 410 m NHN) and contain mainly Late Pleistocene megafaunas in the Große Teufels Cave, Sophie's Cave, or Geisloch Cave such as the herein discussed Zoolithen Cave, which will be demonstrated to have been used by early cave bears even earlier already in the Middle Pleistocene. At minimum four larger Pleistocene cave bear dens are known today (Fig. 3A). Smaller and fewer cave bear remain containing caves are the Zahnloch Cave, Neideck Cave, Moggaster Cave, König-Ludwigs-Cave, Wunder Cave and Esper Cave (DIEDRICH 2013a, Fig. 3B).

#### 1774–1794 – ESPER to ROSENmüller – “surface collecting times”

The reports of HELLER (1972) do contain a compilation of the history, but do not reflect the real situation. After the first reports of the cave fauna by ESPER (1774), he collected, described and figured “bones of extinct animals” (= cave bears and others) from the Zoolithen Cave. These bones were not found in the Entrance Hall (455 a.s.l.), but in the area of the

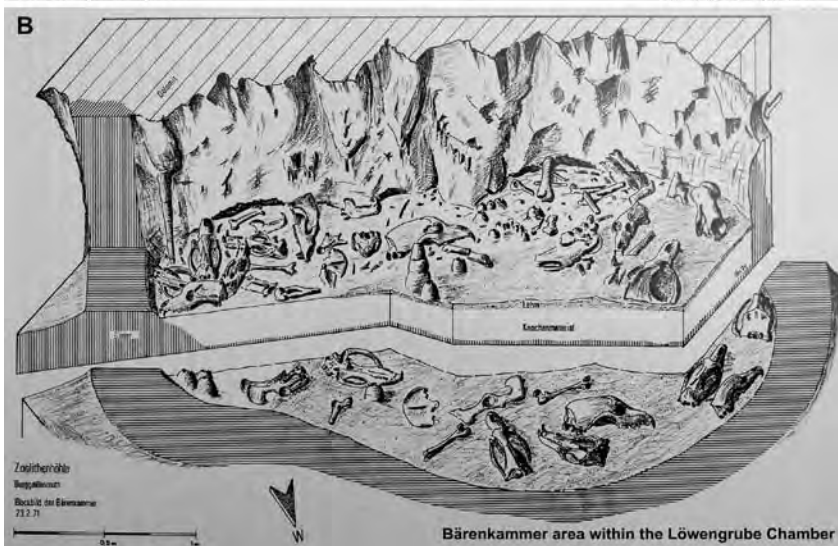
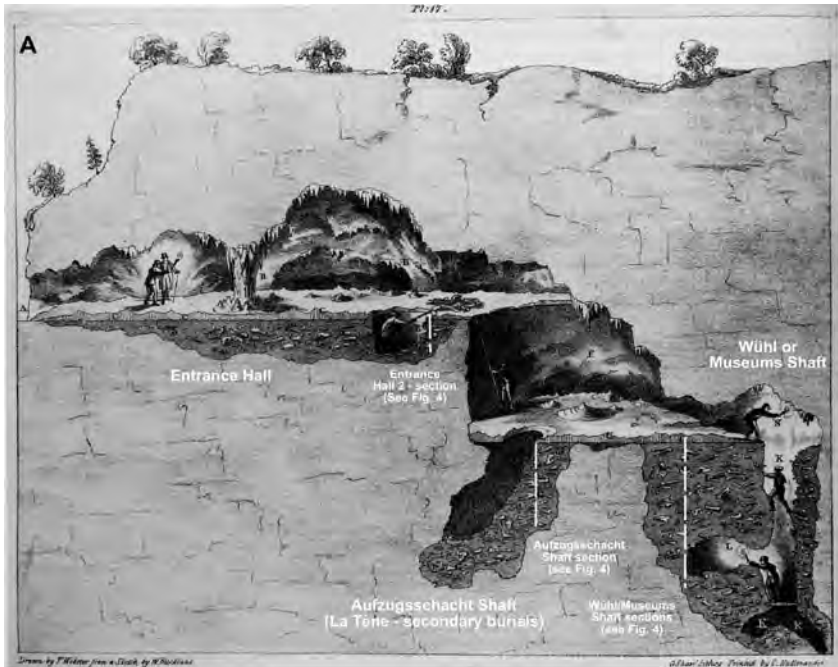


Fig. 2: A. Cross section of the historical excavation areas of W. BUCKLAND (from BUCKLAND 1823). This section Dieser Aufriss-Querschnitt shows the historic discoveries of the anterior cave parts and excavation areas in the Entrance Hall, Wühlshacht Shaft (= Iron Age secondary burials) and the Aufzugs-/Museumsschacht Shafts (sections cf. Fig. 4) of the “early spade research time”. In the Museumsschacht-Shaft partly the herein illustrated wooden planks of the ladders are preserved until today in the Museumsschacht Saft.. B. Not time-adequate and sadly useless “finding map sketch” of the bonebed surface in the „Bärenkammer“ of the Löwengruben Hall of the “late spade research time” (from GROISS 1971). The removed material can not be relocated today anymore to the places (lacking documentation due to quick-emptying action), nor were the nones osteologically determined.

Abb. 2: A. Querschnitt der historischen Grabungsbereiche von W. Buckland (aus BUCKLAND 1823). Dieser Aufriss-Querschnitt zeigt die damaligen Entdeckungen des vorderen Höhlenbereiches und Grabungsstellen in der Eingangshalle, dem Wühlshacht (= eisenzeitlicher Sekundär-Bestattungsschacht) und dem Aufzugs-/Museumsschacht (Profile vgl. Abb. 4) in der „frühen Spatenforschungszeit“. Im Museumsschacht sind noch heute Balken der Leitern vorhanden, die hier teilweise eingezzeichnet sind. B. Nicht zeitgemäße unbrauchbare „Befundplan-Skizze“ der Bonebed-Oberfläche in der „Bärenkammer“ der Löwengruben-Halle in der „späten Spatenforschungszeit“ (aus GROISS 1971). Die geborgenen Funde können heute weder zugeordnet werden (fehlende Dokumentation aufgrund einer Schnell-Entleerungs-Aktion), noch sind die Knochen osteologisch bestimmt worden.

“Aufzugsschacht”, which was a 2 m bone filled shaft, described as resulting from a “biblical flooding event” (ESPER 1774). Initially, bones were easy to collect from the surfaces, starting in the Aufzugsschacht Shaft area. The cave bear, lion and dhole holotype skulls must have been collected by ROSENmüller from the surfaces in those first two larger shafts in the cave system before 1797, because the other cave parts (2/3 of the today’s known cave) behind the Aufzugsschacht had not been discovered at that time (cf. ROSENmüller 1794, BUCKLAND 1823, NIGGEMEYER & SCHUBERT 1972).

#### 1810–1823 – GOLDFUSS to BUCKLAND – “first excavation period”

The sketch of BUCKLAND (Fig. 2B) demonstrates the main bone excavation areas around 1823. GROISS (1979) believed this illustration not to be correct, but it is (see reidentifications in Fig. 2A), even the last shaft can be demonstrated to be the Museumsschacht (after illustrations with two speleothem layers, old ladder material and dump) and not the Wühlshacht. Even today preserved historical ladder material and dumps in the last shaft (Museumsschacht) prove the

deep and extensive excavations at that time, being well figured by BUCKLAND (1823). Those areas can be seen well until today in the cave. Buckland’s excavations began in the Entrance Hall, which can be seen in his illustrations (BUCKLAND 1823, Fig. 2B). The bones are there in primary positions (not water transported) in a silty medium brown and dolomite ash sediment (cf. section in Fig. 4), which minerals gave the bones a typical medium-to dark brown colour. Two preservation and bone colour types GOLDFUSS (1823) are known, the brown form and the more abundant “white yellowish” form. This old excavation area was partly reopened during the own studies (Fig. 4) and some bones (large proportions) and teeth (multiconed enamel surfaces) of *U. ingressus* were found, which are important for dating. The Entrance Hall was not – as wrongly believed – fully excavated, because the sections demonstrate autochthonous and dark-brown coloured cave bear bones, which form a loose bonebed. Furthermore larger speleothems still cover most of the hall, which is only overlain by few Iron Age period and Holocene sediments (Fig. 4). This Hall was less of interest, because in the first shafts (Wühlshacht/Aufzugsschacht/

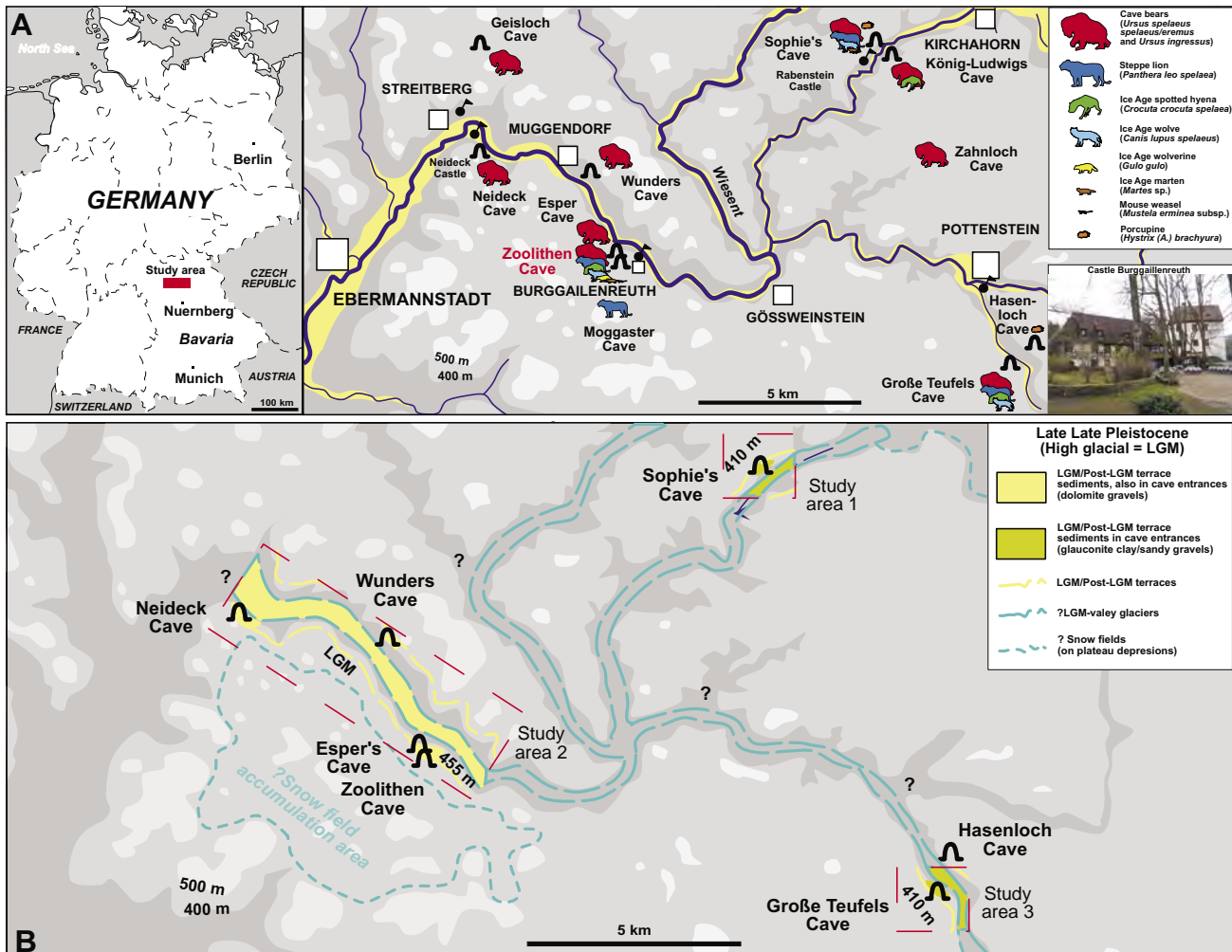


Fig. 3: A. Late Pleistocene cave bear, hyena, wolf, marten and weasel den cave sites in Upper Franconia (northern Bavaria). B. Three sedimentological studied areas in Upper Franconia (Große Teufels Cave, Sophie's Cave and Zoolithen Cave) with questionable “valley glacier situation” explaining best the high elevation of the Wiesent River terrace on 455 a.s.l. elevations and large gorges along during the late Late Pleistocene (high glacial) and terrace relict sediments (especially glauconite till sediments) explaining the possibilities of the flooding situation. The problem is the correlation of the different elevated Sophie's/Große Teufels caves (410 m a.s.l.) elevation and similar old different terrace sediments in the Muggendorf area (Neideck/Wunders/Zoolithen caves about 455 m a.s.l.).

Abb. 3: A. Spät-Pleistozäne Höhlenbären, Hyänen, Wolf, Marder und Wiesel-Horst-Höhlen in Oberfranken (Nord-Bayern). B. Drei sedimentologisch untersuchte Regionen in Oberfranken (Große Teufelshöhle, Sophienhöhle und Zoolithenhöhle) mit fraglicher „Tal-Vergletscherungs-Situation“, die am besten die hohe Wiesent-Flussterrassenlage auf 455 m ü. NHN und tiefen Schluchten während des späteren Ober-Pleistozäns (Hochglazial) und Terrassen-Reliktsedimente (besonders Glaukonit-Tillsedimente) und Flutung der Zoolithenhöhle erklären könnte. Das Problem ist die Korrelation der unterschiedlich hoch gelegenen Sophien-/Großen Teufelshöhle (410 m NHN) und gleichaltrige unterschiedliche Terrassensedimente in der Muggendorf-Region (Neideck-/Wunders-/Zoolithenhöhle ca. 455 m NHN).

Museumsschacht) the bone beds were extremely dense and material was easy to obtain. The material was found in the “bonebed breccias” (= cemented doloash sand-dolomite pebble layers cemented by speleothems) below the upper speleothem layer. Also Graf zu MÜNSTER collected there in the 19<sup>th</sup> century (WEISS 1937), with his collections now curated in the Urweltmuseum Oberfranken Bayreuth. The sediment of those excavations and further ones of the 19<sup>th</sup> century was back-filled into the Wühlenschacht (pers. com. M. CONRAD). This shaft was closed again after 1823 already historically with reworked sediments. These first discovered areas of the anterior cave separated for long the deeper cave parts which were discovered in 1971 after removal of the sediments (cf. NIGGEMEYER & SCHUBERT 1972). The many hundreds of cubic meters of material protected the deeper parts of the cave and were reworked 25–20 years ago (pers. com. M. CONRAD).

#### 1971 – “second research period”

The second chimney (Wühlenschacht) was also filled up with densely packed bones and was the key to today’s much larger known cave system, the middle part of which was discovered in 1971 (cf. GROISS 1971, 1979). After the reopening of the Wühlenschacht about 25 years ago, a new cave part and thousands (e.g. the University Erlangen collection of 100,000 bones) of untouched bonebeds were quickly removed. Those bones were taken without adequate documentation in the Knochenschacht and partly in the Bärenkammer (cf. Fig. 2B). The Guloloch and Wolfskammer shafts produced mainly cave bear bones, and many new skulls, but also other Pleistocene carnivore faunal remains (cf. GROISS 1979). From those excavations a perfectly preserved hyena skull subsequently became a paratype skull (DIEDRICH 2011a, 2014). Some thousands of other bones have been dumped after

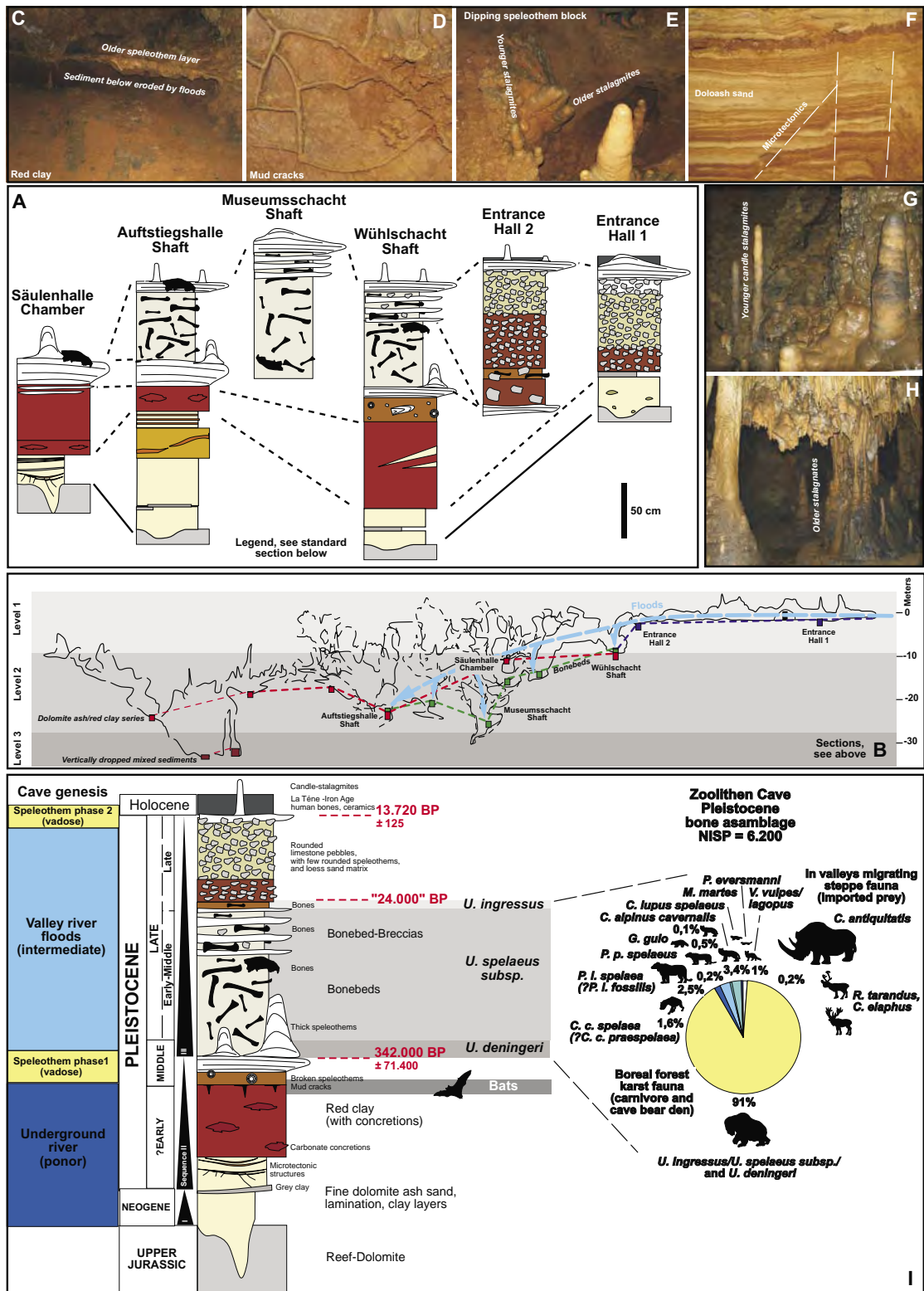


Fig. 4: Sections in the Zoolithen Cave, dating and interpretation of main sedimentary fluvial (underground river and valley river) series (absolute data from KEMPE et al. 2002, ROSENDAHL & KEMPE 2004). A. Important sections. B. Cave levels and similar elevated sedimentary sequences. C. Collapsed main speleothem layer, below eroded clay and present red clay of the sequence 2 in the Lehmhalle. D. Mud-crack negatives on the base of the main speleothem layer in the Löwengrube. E. Tipping speleothem layer in a vertical shaft, which moved downwards, and on which candle stalagmites with different angles developed. F. Dolomite ash sands/red clay layers of the sequence 2 with microtectonic horst structures. G. Candle stalagmites of the Alleröd humid phase (second speleothem generation) in the Löwengrube. H. Large stalagnates from the first speleothem phase in the Säulenhalle. I. Compiled generalized section, and faunal composition of the Late Pleistocene bonebeds.

Abb. 4: Profile in der Zoolithenhöhle, Datierung und Interpretation von fluvialen (Untergrundfluss und Talfloss) sedimentären Hauptzyklen (Absolut-Daten nach KEMPE et al. 2002, ROSENDAHL & KEMPE 2004). A. Wichtige Profile. B. Höhlen-Etagen und in gleichen Höhenlagen vorhandene Sediment-Sequenzen. C. Eingestürzte Sinterdecke, unterhalb erodierter Lehm und vorhandener roter Lehm der Sequenz 2 in der Lehmhalle. D. Trockenriss-Negative auf der Unterseite der ersten Hauptspeläothem-Lage in der Löwengrube. E. In einem Vertikalschacht verkippte Sinterdecke, die sich gravitativ nach unten bewegte und auf der sich mehrere Kerzenstalagmiten-Generationen mit unterschiedlichen Winkeln entwickelten. F. Dolomite-Aschen/rote Lehm-Lagen der Sequenz 2 mit Mikrotектonik-Horststrukturen. G. Kerzenstalagmiten der humiden Alleröd-Zeit (zweite Speläothem-Generation) in der Löwengrube. H. Große Stalagnaten der ersten Speläothem-Generation in der Säulenhalle. I. Generalisiertes Gesamtprofil und Faunenkomposition der spätpleistozänen Bonebeds.

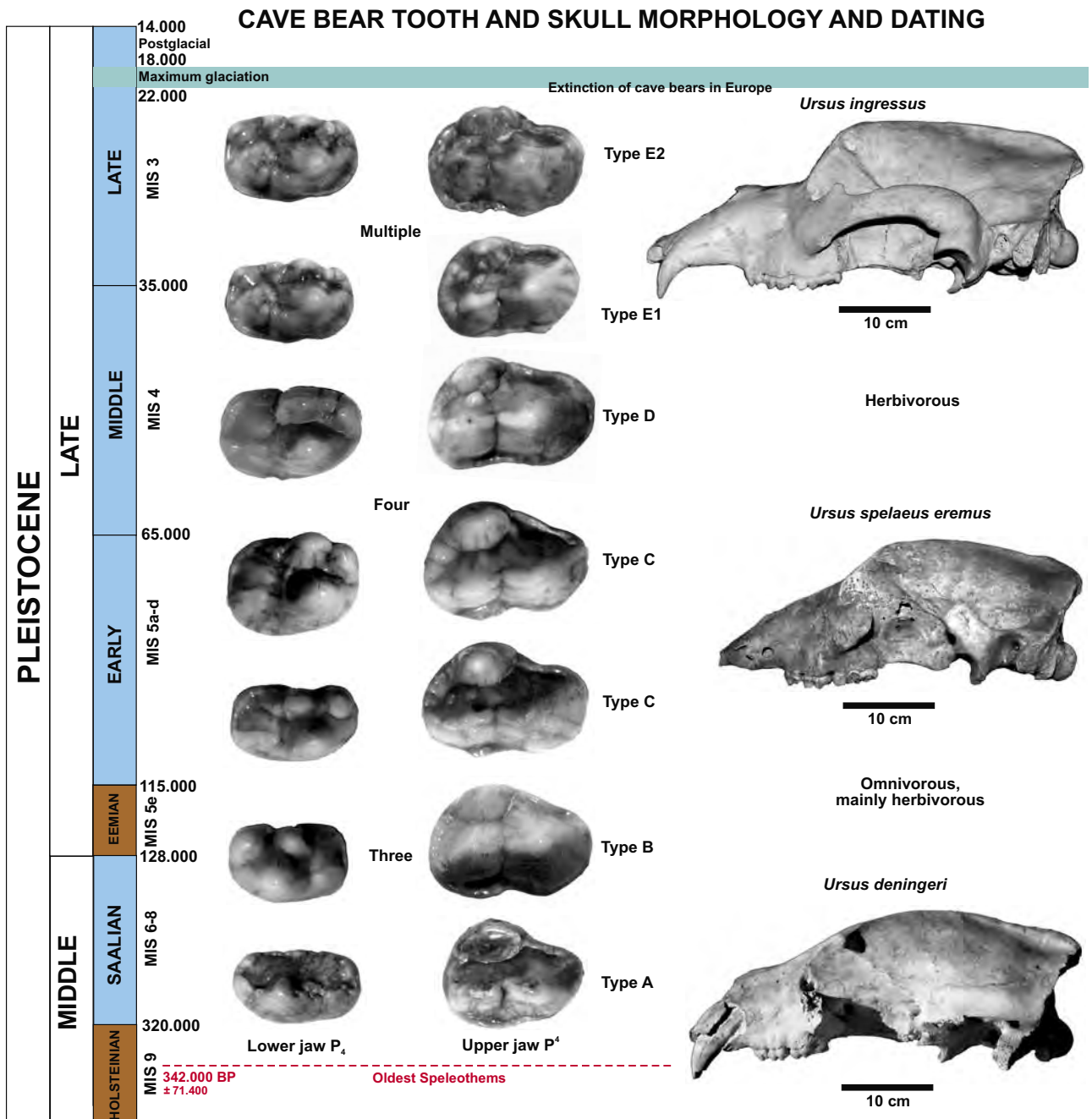


Fig. 5: "Cave bear clock" – dating the cave bears by P<sub>4</sub> and skull shape morphologies. The tooth material is from the dump in front of the cave but demonstrate a cross-section through all primitive deningeri to ingressus cave bear tooth morphotypes sensu RABEDER (1999). All teeth in occlusal view. U. ingressus skull Graf zu Münster-coll. Urweltmuseum Oberfranken Bayreuth; U. spelaeus eremus skull Buchhaupt-coll.; U. deningeri skull ROSENmüller 1794-coll. MB).

Abb. 5: „Höhlenbären-Uhr“ – Datierung der Höhlenbären mit Hilfe der P<sub>4</sub> und Schädel-Morphotypen. Das Zahnmaterial stammt aus der Halde vor der Höhle, zeigt aber den Querschnitt durch alle primitiven deningeri bis ingressus-Höhlenbärenzahn-Morphotypen sensu RABEDER (1999). Alle Zähne in Occlusalansicht. U. ingressus-Schädel Graf zu Münster-Slg. Urweltmuseum Oberfranken Bayreuth; U. spelaeus eremus-Schädel Buchhaupt-Slg.; U. deningeri-Schädel ROSENmüller 1794 Slg. MB).

1971 due to the continuing excavations (FHKF = Forschungsgruppe Höhle und Karst Franken e.V., Nürnberg) in the "Museum" in the cave, and still remain there. This bone material is from the approximately two meter thick bonebeds of Aufzugsschacht/Wühlschacht and the Museumsschacht vertical shafts. Most of the sediment was simply transported in front of the cave, whereas the teeth were taken by the spelunkers, who dumped the "bad bones" in the Museums area. The new "old" reworked bone material is still of high importance in the reconstruction of the exact locations of lion and hyena

remains (Fig. 14), to the understanding of the cave bear bone taphonomy, and to the compilation of the rare non-cave bear skeletons necessary to obtain complete faunal accounts.

#### 2000–2010 – Modern Research

The descriptions of HELLER (1966) do not fit this cave or other caves, where he believed, that those sites were "emptied". After the new discoveries of untouched bonebeds which are luckily still intact in at least some areas (Fig. 15), the cave was explored further in the past decade leading to the dis-

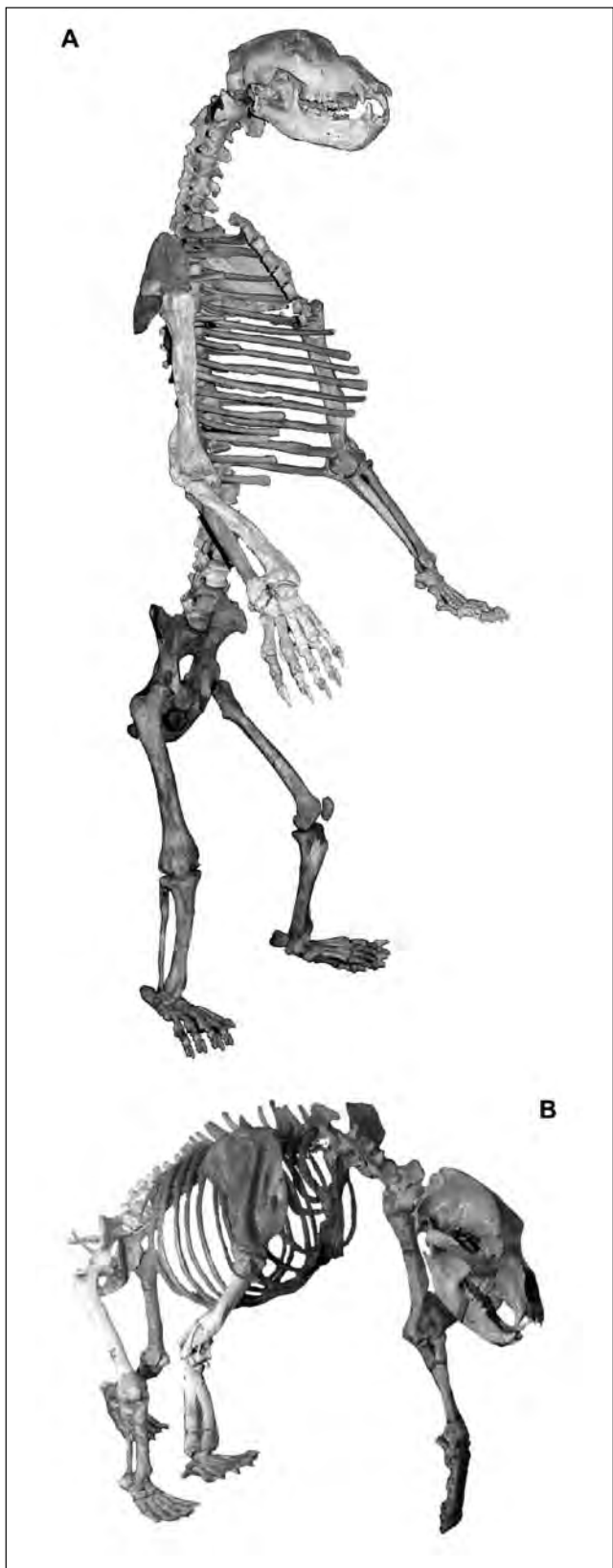


Fig. 6: A. Compiled cave bear skeleton of different individual remains and species of the Zoolithen Cave (exhibition of the Museum für Ur- und Ortsgeschichte Bottrop). B. Compiled cave bear skeleton of different individual remains of the Zoolithen Cave (skeleton exhibition of the Museum Tüchersfeld).

Abb. 6: A. Höhlenbären-Skelett-Komposit verschiedener Individuen und Arten aus der Zoolithenhöhle (Skelette-Ausstellung Museum für Ur- und Ortsgeschichte Bottrop). B. Höhlenbären-Skelett-Komposit verschiedener Individuen aus der Zoolithenhöhle (Ausstellung Museum Tüchersfeld).

covery of another extension to the south (= Dreyerhalle area, pers. com. M. CONRAD, Fig. 14). Also, a few more bones and skulls were found even deeper in the cave system, obviously in secondary (carnivore caused scattering) or even third (floods, gravity-driven transport) positions. The Museums area dump was sorted by the author in 2010. During this preliminary collections management, all non-cave bear material was extracted (together with human remains, and pottery, and Holocene fauna). The hyenas and lion material has already been published, together with the accessible historical finds (cf. DIEDRICH 2011a/b, 2014).

#### **The international important forgotten Pleistocene holotype skull collection**

Two “cave bear” skeletons were compiled of bones from different individuals and even cave bear subspecies/species as known today (Fig. 5, 6A-B). In total five Pleistocene species (Figs. 7–13) were named based on the Zoolithen Cave skulls – which make this site to the most important Pleistocene cave megafauna locality in Europe. Today only five of the six holotype skulls remain as valid Pleistocene species. The holotype of the “cave bear *Ursus spelaeus*” described by ROSENmüLLER (1794) was identified in his collection (DIEDRICH 2009, Fig. 7). Newly identified here is the *Ursus deningeri* REICHENAU 1904 skull (Fig. 8) of the ROSENmüLLER collection, which was historically believed to represent a “brown bear”. A larger bone collection including most of the known large lions remains and the holotype of *Panthera leo spelaea* (GOLDFUSS 1810) (Fig. 9) from the Zoolithen Cave was collected/excavated by ROSENmüLLER himself since the end of the 18<sup>th</sup> century. Also the rediscovered hyena *Crocuta crocuta spelaea* (GOLDFUSS 1823) (Fig. 10) holotype skull (DIEDRICH 2008, 2014), revalidated wolf *Canis lupus spelaeus* (GOLDFUSS 1823) (Fig. 11), the new rediscovered dhole skull of *Cuon alpinus cavernalis* (ROSENmüLLER 1797) (Fig. 12), and the subsequently invalidated *Gulo gulo spelaea* (GOLDFUSS 1818) (Fig. 13) must have been found in the first two vertical shafts (Aufzugs-/Wühlenschacht). However, the invalid “cave tiger *Panthera tigris spelaea* (GOLDFUSS)” holotype material described by GROISS (1996) was revised to represent subadult individual remains of *P. l. spelaea* (cf. DIEDRICH 2011b).

#### **2 Material and methods**

To understand the cave bear bone taphonomy and distribution of the “bone breccias” (= bone beds), and to document two articulated skeletons (Fig. 14), a new cave survey was made in spring of 2010, in parallel with a History Channel film project. Open sections in the cave, that resulted from historical digs (cf. BUCKLAND 1823, Fig. 2B) and also the digs of the FHKF since 1971, were studied sedimentologically and stratigraphically to allow the presentation of a generalized overview section for the currently known cave system (Fig. 4). The most complete Middle to Late Pleistocene (MIS 3–9) section was found in the “Aufzugsschacht”. Some thinner sections at other places allow the reconstruction of three main fluvial sedimentary cave filling sequences and two main speleothem genetic phases in three cave levels (Fig. 4). The bone material in the “Museum” (= sorted bones from the 1971 and later reworked sediments from FHKF activities)

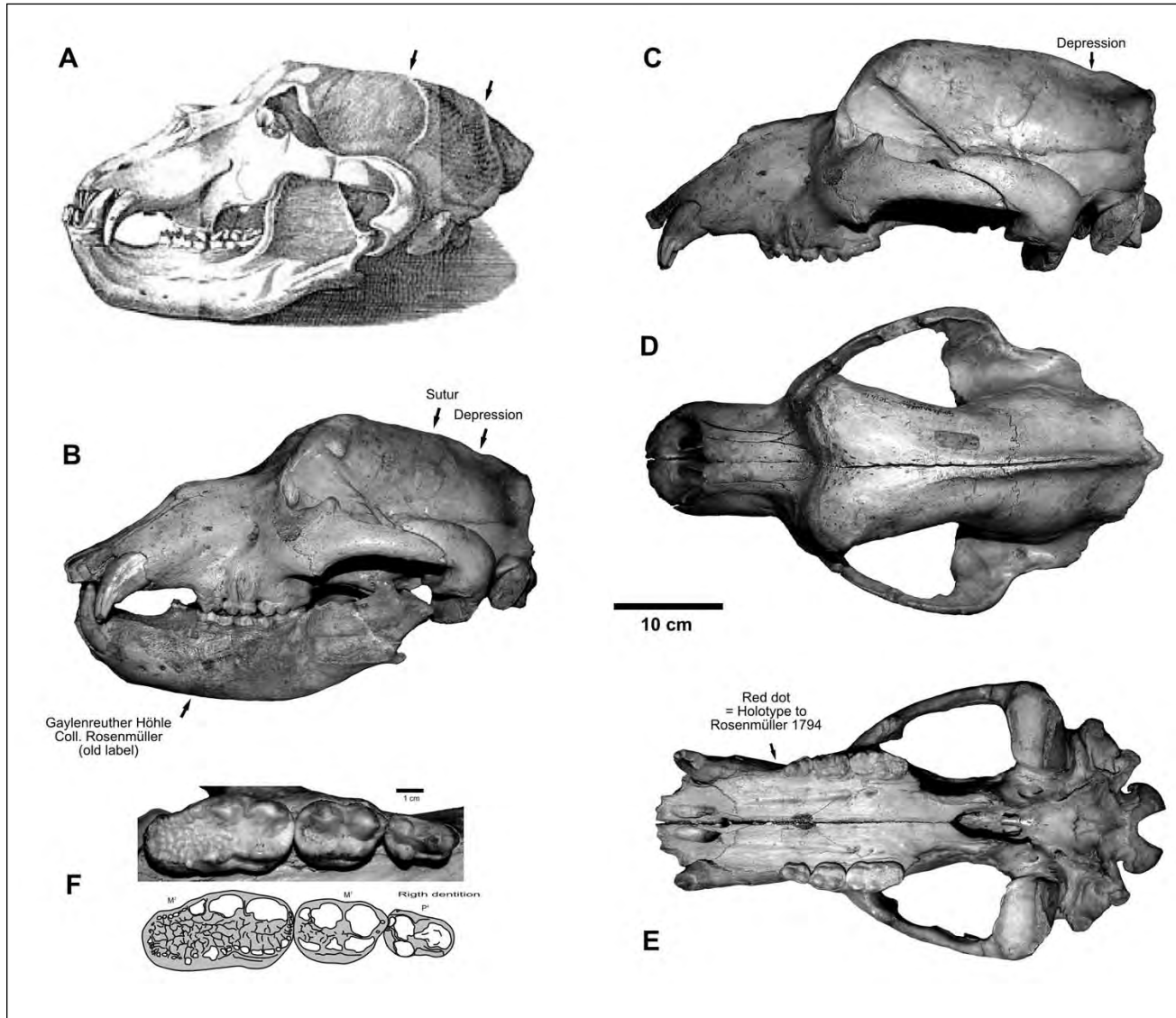


Fig. 7: *Ursus ingressus* RABEDER & HOFREITER 2004 holotype skull of “the cave bear *Ursus spelaeus*” of an early adult male. Latest Late Pleistocene (which seems to be a subadult *Ursus ingressus*; coll. MB, from DIEDRICH 2009).

Abb. 7: *Ursus ingressus* RABEDER & HOFREITER 2004 Holotyp-Schädel „des Höhlenbären *Ursus spelaeus*“ eines frühadulten männlichen Bären, späteres Spät-Pleistozän (*Ursus spelaeus spelaeus* RABEDER & HOFREITER 2004, vermutlich ein subadulter *Ursus ingressus*; Slg MB, aus DIEDRICH 2009).

was sorted and protected against further trampling damage by spelunkers. Non-cave bear bone material was extracted (Pleistocene carnivores, Holocene fauna, human bones). About 2,000 bones remain until today there behind a locked door. Furthermore the dump in front of the cave was checked for its contents with a smaller trench. From this about 1,500 finds (Pleistocene bones, pottery and human teeth) were rescued from the illegal excavation activities of private collectors.

The 1971 and later excavated and already twice redeposited bones and fragments of the non-cave bears are in the ZIEGLER-collection (former owner of the cave at that time) of the Forschungsgruppe Höhle und Karst Franken e.V., Nürnberg (= FHKF). The collection of ESPER cannot be relocated. The most famous and largest collection, that of ROSENMÜLLER, who labelled the site as “Gaylenreuther Höhle, 1797” (cf. Fig. 1B) was formerly stored in the collection of the “Preußische Geologische Landesanstalt”, and then in the “Bundesanstalt für Geowissenschaften und Rohstoffe”,

Berlin (= BGR). These collections were recently moved to the “Museum für Naturkunde der Humboldt-Universität Berlin” (= MB). The Goldfuss collection, which was taken from the cave between 1810–1823, is partially housed in the GOLDFUSS-Museum Bonn (e.g. hyena holotype skull, possibly also “lost wolf skull” there). The Graf zu Münster collection which containing well preserved hyena, lion and wolf material is in the Urweltmuseum Oberfranken Bayreuth (= U-OB). A composite skeleton was studied in the Museum Ur- und Ortsgeschichte Bottrop (= MUOB), and the Museum in Tüchersfeld (= MT). One hyena skull and several cave bear skulls are in the British Museum (Natural History), London (= BMNH). The Buckland collection was not relocated in Oxford in the University Museum after requests, but might be hidden somewhere. The largest collection (estimated at 100,000 bones after pers. com. Ministry of Culture of Bavaria) is housed in the University Erlangen (= UE, 1971 GROISS “excavations” = cave owner property of R. ZIEGLER until today).

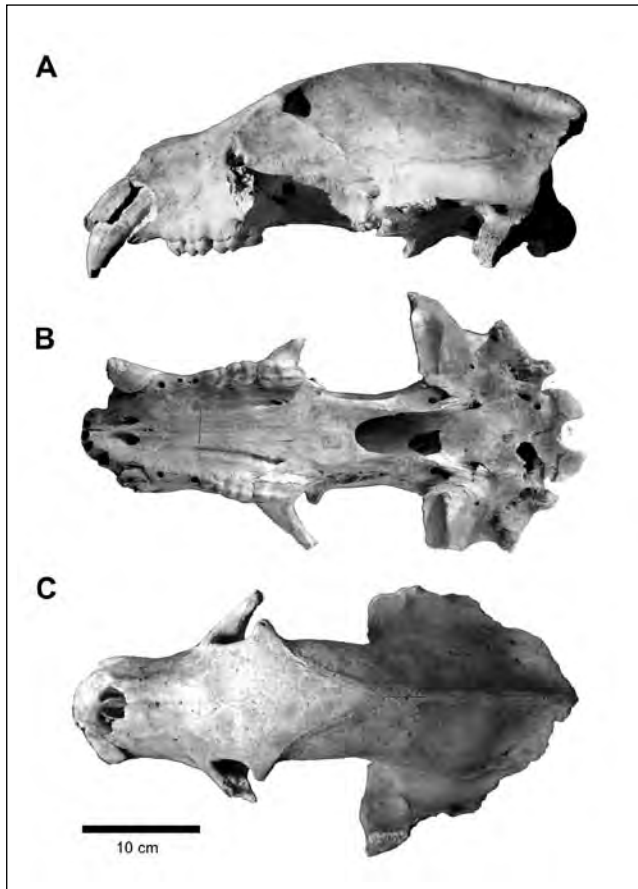


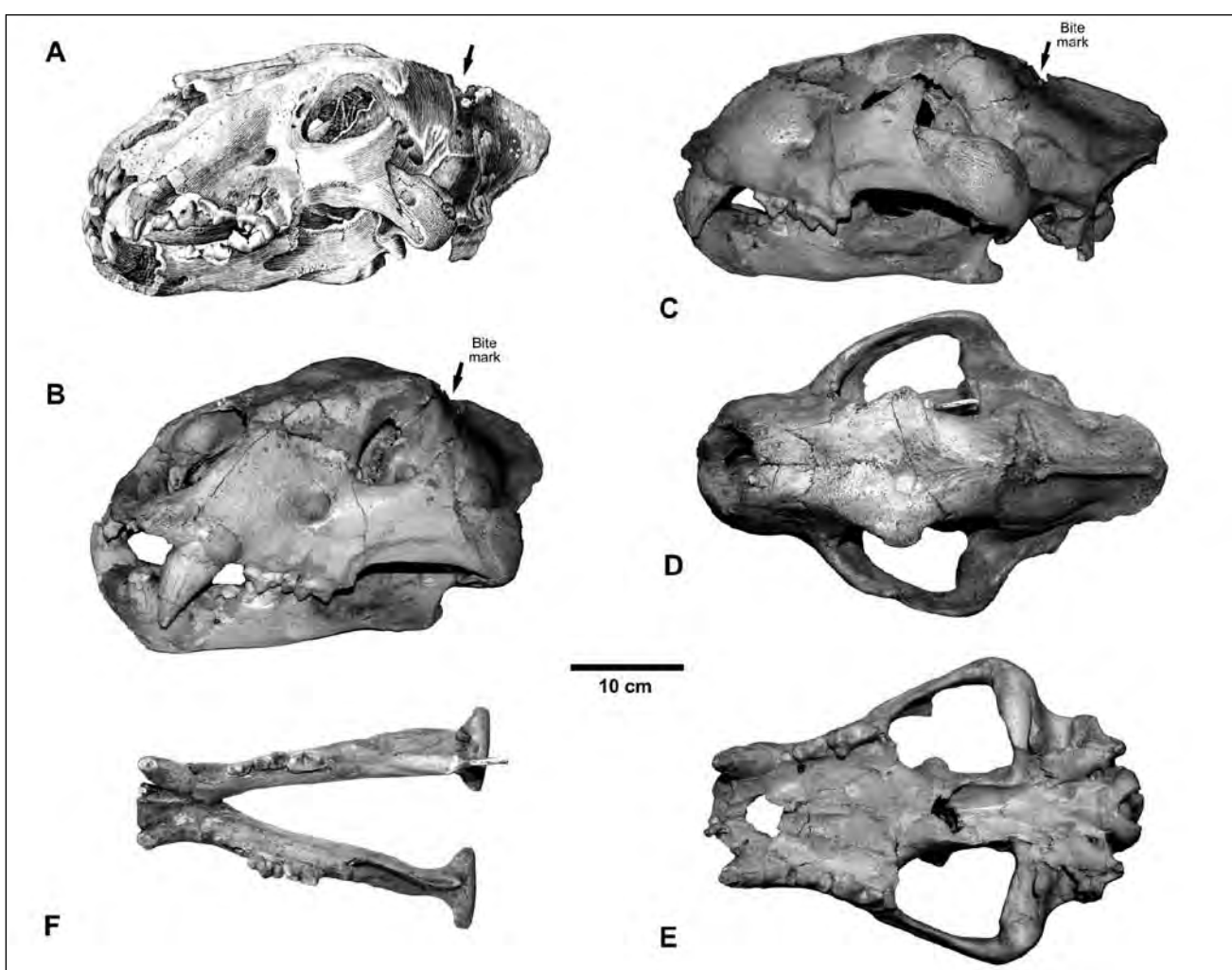
Fig. 8: A-E. Early Deninger cave bear *Ursus deningeri* REICHENAU 1904 skull, Middle Pleistocene ("*Ursus arctoideus*" in the ROSENMÜLLER 1794-coll. MB).

Abb. 8: A-E. Früher Deninger-Höhlenbär *Ursus deningeri* REICHENAU 1904 Schädel "*Ursus arctoideus*", Mittel-Pleistozän ("*Ursus arctoideus*" ROSEN-MÜLLER 1794-coll. MB).



Fig. 9: A-E. Steppe lion *Panthera leo spelaea* (GOLDFUSS 1810) holotype skull "*Felis spelaeus*", Late Pleistocene (ROSENMÜLLER 1794-coll. MB, drawing from GOLDFUSS 1810, original from DIEDRICH 2011b).

Abb. 9: A-E. Steppenlöwe *Panthera leo spelaea* (GOLDFUSS 1810) Holotyp-Schädel "*Felis spelaeus*", Spät-Pleistozän (ROSENMÜLLER 1794-Slg. MB, Zeichnung aus GOLDFUSS 1810, Original aus DIEDRICH 2011b).



### 3 Results and discussion

#### River terrace relicts in caves and valley genesis in Upper Franconia

NEISCHL (1904) remarked first, that sediments in caves along Upper Franconia river valleys are important for the landscape and glacial dewatering system reconstruction. The first identifications of river terraces and their possible elevations were discussed by SPÖKER (1952) for the Franconia Pegnitz valley. Problems of the valley genesis and dating including micromammal fauna containing caves (e.g. BRUNNER 1933, 1954) were reviewed (HABBE 1989). Only coarse karst evolution models were presented, especially for the earlier “Cretaceous to Tertiary” periods, but not in detail for the Pleistocene valley genesis (cf. GROISS et al. 1998). A new discussion about Plio-/Pleistocene river terraces in the valleys of Upper Franconia appeared with the new sedimentological research at Sophie’s Cave of the Ahorn Valley (DIEDRICH 2013a). At Zoolithen Cave along the Wiesent Valley, the entrance is 130 m above modern river level and must have been flooded postglacially in the Late Pleistocene, as dated by cave bear tooth morphology and stratigraphy (DIEDRICH 2011a, 2013a; Fig. 2). This presented a new idea in the understanding of the much more rapid valley genesis which is

further discussed here, but can be completed only with further studies of the many caves along the river valleys. A first model for the Wiesent Valley branching Ahorn Valley has already demonstrated the exact elevation estimates of Middle (one terrace) to Late Pleistocene (three terraces, DIEDRICH 2013a) Ailsbach River terraces, whereas the different cave bear species/subspecies are highly important for the sediment dating. Those cave sections cannot yet be correlated herein simply to the Wiesent Valley terraces, but both have similar sedimentary sequences in the Late Pleistocene. Important for the understanding of the valley genesis in Upper Franconia are the bonebeds (and different cave bear species/subspecies) and faunal remains in general with their taphonomic record, found especially in caves along the valleys.

#### Cave genesis, refill stages and animal den use

After a new systematic exploration of the cave in the spring of 2010, its sedimentology/morphology, cave history and geology can be reconstructed including former speleothem and micromammal age determinations, starting with its development in the Tertiary, when the cave was eroded into Upper Jurassic massive dolomites (cf. GROISS et al. 1998, MEYER & SCHMIDT-KALER 1992). The lower cave areas and the upper parts whose levels developed under phreatic underground

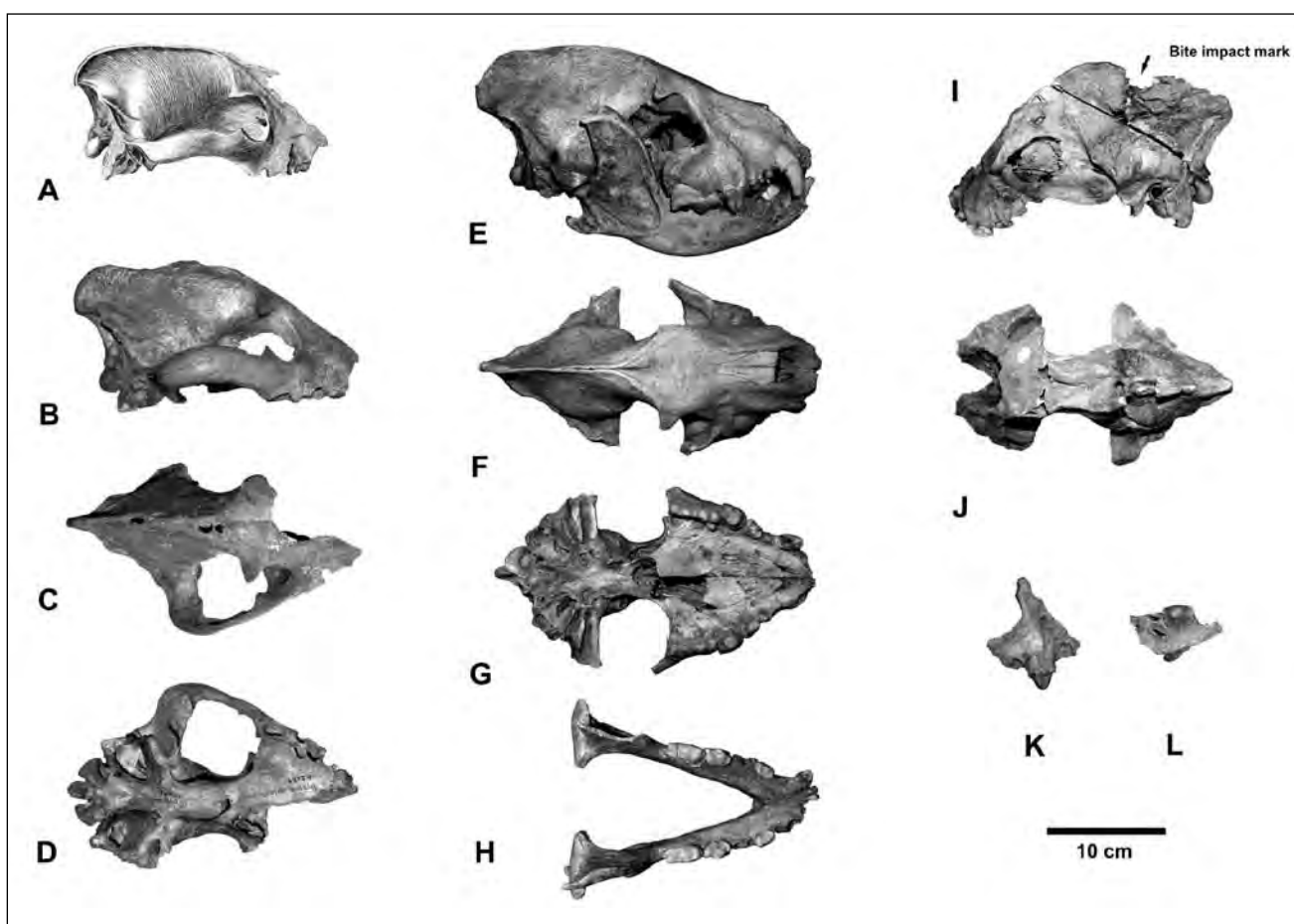


Fig. 10: A-D. *Hyena Crocuta crocuta spelaea* (GOLDFUSS 1823) holotype skull “*Hyaena spelaea*”, mirrored, Late Pleistocene (GOLDFUSS -coll. GMB, drawing from GOLDFUSS 1823), E-H. New paratype skull (ZIEGLER-coll UE, from DIEDRICH 2011a), I-J. Skull with bite damage, original of SOEMMERING, 1828 (from DIEDRICH 2011a), K-L. Maxillary, original of CUVIER, 1822 (coll. GZG).

Abb. 10: *Hyäne Crocuta crocuta spelaea* (GOLDFUSS 1823) Holotyp-Schädel „*Hyaena spelaea*“, gespiegelt, Spät-Pleistozän (GOLDFUSS-Slg. GMB, Zeichnung aus GOLDFUSS 1823), E-H. Neuer Paratyp-Schädel (ZIEGLER-Slg. UE, aus DIEDRICH 2011a), I-J. Schädel mit Bissverletzung, Original von SOEMMERING, 1828 (aus DIEDRICH 2011a), K-L. Maxillare, Original von CUVIER 1822 (coll. GZG).

river conditions seem to have been connected by vadose speleogenesis, following the cleft system (cf. POLL 1972), which explains the often small and vertical partly-branched shafts which connect the three known cave levels (Fig. 2). There must be a deeper active system, resulting in gravity movements in vertical shafts deeper than the lowermost level (about 30 m).

#### A. Initial ponor cave (“Oligocene/Miocene”)

The 550 a.s.l. high elevated Franconian Moggaster Cave was filled during the Early to Middle Palaeogene (= Palaeocene - Eocene, GROISS et al. 1998). The Zoolithen Cave (455 a.s.l.) is intermediate in elevation between Moggaster Cave (550 a.s.l., Palaeocene/Eocene genesis) and Sophie’s Cave (410 a.s.l., Pliocene genesis, cf. DIEDRICH 2013A) and seem to have been filled with their first sediments no earlier than the Neogene. Here an Oligocene/Miocene age for Zoolithen Cave is expected based on the elevations and dated refill history of Moggaster and Sophie’s caves (cf. GROISS et al. 1998, DIEDRICH 2013e). The first fluvial sedimentary cycle of the Zoo-

lithen Cave is the so-called “dolomite residuum/grey clay sequence” (sequence 1, Fig. 2), whereas those dolomitic sands and silts are typical products of dolomite weathering and fluvial erosion (BURGER 1989). This series was deposited in level 1 in the Entrance Hall (Fig. 2) by an underground river of a Neogene Upper Frankonian Plateau landscape origin, which seem to have been present until the Pliocene (DIEDRICH 2013a).

#### B. Final ponor cave (Pliocene-Early Pleistocene)

In the Zoolithen Cave, the underground river continued creating two deeper ponor cave levels reaching 25 m deep. Typical scallops (cf. JENNING 1985) on the cave walls are best visible and preserved (i.e. without vadose overprint) in then lowermost level 3 (Fig. 2) in the newest discovered last third of the cave system (branching horizontal parts around the “Siebenschläfer” chamber). The dolomite sands are overlain by up to several meters of red homogenous clay, which contains up to 20 cm large caliche-like concretions in some areas. Those clays are sometimes covered by mud cracks on the

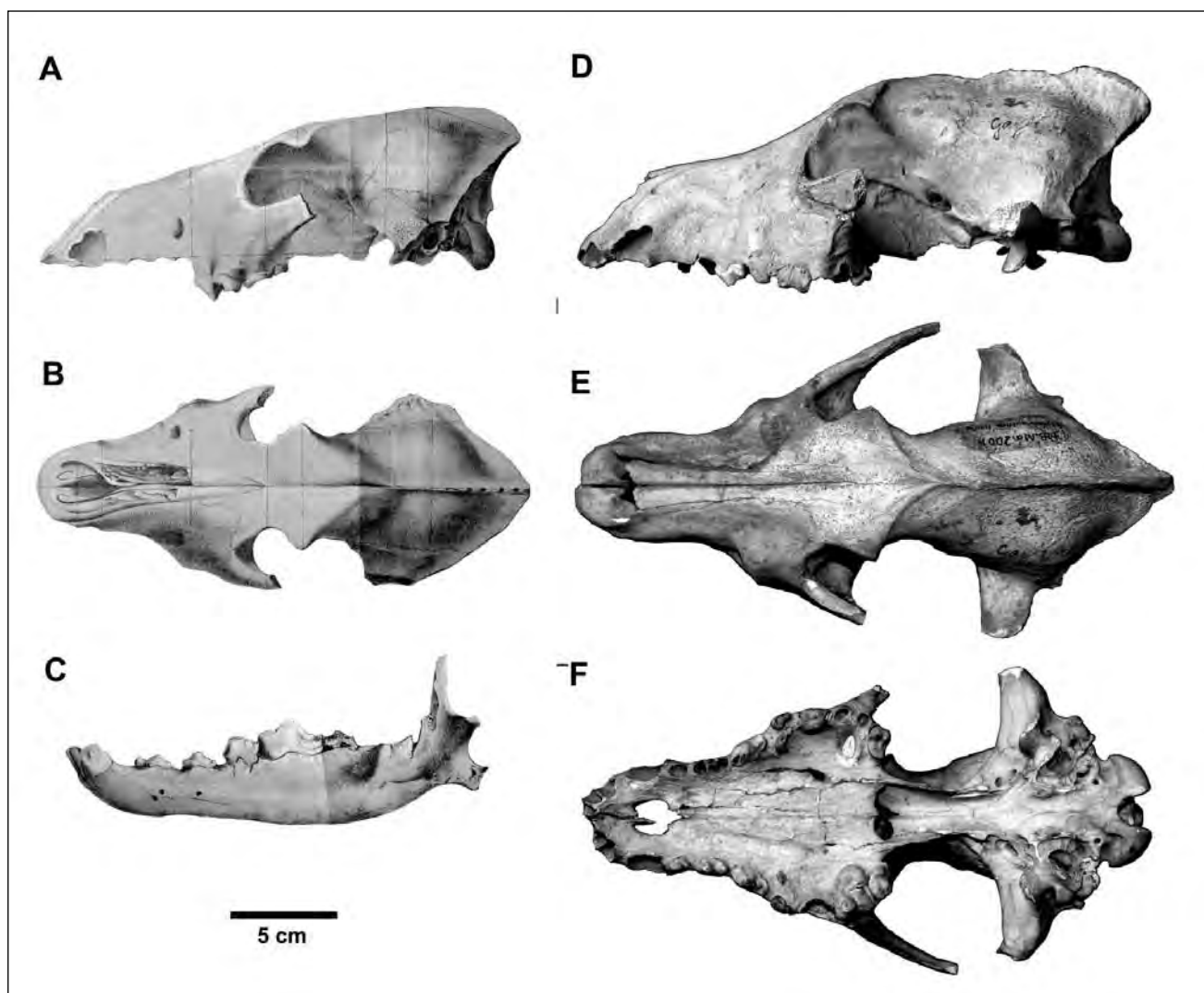


Fig. 11: A-C. Wolf *Canis lupus spelaeus* (GOLDFUSS 1823) lost holotype skull “*Canis spelaeus*” of a cub and mandible of an adult wolf (from GOLDFUSS, 1823). D-F. New lectotype skull (ROSENmüLLER 1794-coll. MB).

Abb. 11: A-C Wolf *Canis lupus spelaeus* (GOLDFUSS 1823) Verlorener Holotyp-Schädel „*Canis spelaeus*“ eines Jungtieres und Unterkiefer eines adulten Wolfes (aus GOLDFUSS, 1823). D-F. Neuer Lectotyp-Schädel (ROSENmüLLER 1794-Slg. MB).

uppermost surfaces (Fig. 2) which might date into Pliocene/Early Pleistocene. Absolute dating is not yet available, but a comparison to the Pliocene/Early Pleistocene similar fluvial dolomite sand/clay sequence series sediments of the Sophie's Cave (DIEDRICH 2013e) and the Bing Cave (BRAND 2006) underground river sediments permits a coarse preliminary dating. In the Zoolithen Cave those fluvial series are at higher elevations of about 445–420 a.s.l. (Fig. 2, therefore expected to be older) and in Sophie's Cave at an elevation of 410–400 a.s.l. (expected to be younger). The elevation of this sediment series is even different within the Zoolithen Cave, and sediments are found undisturbed below speleothem layers only in the “second cave level” (Fig. 2), which is some meters deeper than the sedimentary series of the Neogene (level 1 = Entrance Hall). First gravitational vertical transport below the massive speleothem layer (well seen in the Lehmgrube and Siebenschläferkammer, Fig. 2) of those sediments or even possibly earthquakes are documented by micro-horst structures (branch of Säulenhalle, Fig. 2) within the yellowish-white silt/fine sand layers. Such earthquake signs in caves are also reported for the “Middle Pleistocene” of Franconia by SPÖKER (1952) and DIEDRICH (2013a), which would indicate an uplift of Franconia even in the Ice Age, which explains fractured speleothems, or speleothem fragment layers (e.g. in Zoolithen Cave layer below first speleothem phase in the Aufzugsschacht, Fig. 2).

#### C. Vadose Cave (Middle Pleistocene – first speleothem deposition)

The red and mud-cracked clays demonstrate the drying of the cave, followed by a humid warm period. During this time the main (thickest) Middle Pleistocene speleothem layer developed, and also formed the larger stalagmites/stalactites in the cave. A stalagmite age determination (sample ZooH-Si2; first speleothem generation) is reported around 342,050 ± 71,400 years for samples of the Aufzugsschacht section (cf. KEMPE et al. 2002) which corresponds to the MIS 9 interglacial period after the Holstein Interglacial at the early Saalian of the Late Middle Pleistocene (cf. GIBBARD & COHEN 2008). After the speleothem deposition at the end of the Middle Pleistocene gravitational sediment transport happened all over the cave and more extensively later in the Late Pleistocene, whereas at many places today spaces between the clay surface and speleothem layer are between 0.5 to 2 meters. Damages like shedding on cracked and healed stalagmites (Fig. 2), seem to result from such earthquakes or gravity movements on the clay sediments, and are not to interpret as signs of an “Ice Cave”.

#### D. Dry cave – cave bear, hyena, wolf den (Early-Middle Late Pleistocene)

One articulated early-adult male cave bear skeleton and one skeleton of a cub, still being present in-situ, were mapped in the central but high elevation cave area (“Säulenhalde” and “Zaunikhalle”, Fig. 14). These are important to understand the cave bear bone taphonomy and possible original hibernation areas, and the flood directions. Those are in areas which are difficult to access, and isolated by vertical shafts. Their positions would fit to the theory that cave bears hibernated as deep in caves as possible to protect themselves against top predators, especially lions (DIEDRICH 2011b). The

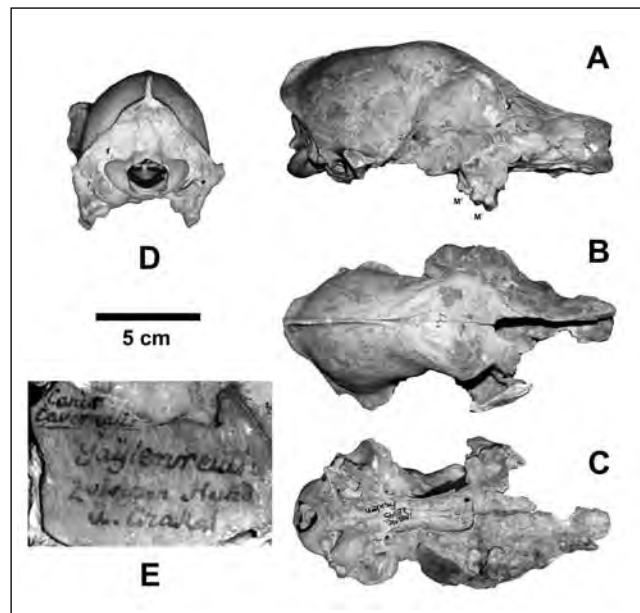


Fig. 12: Dole *Cuon alpinus cavernalis* (ROSENmüLLER 1794). A. Holotype skull “*Canis cavernalis*” of an early adult, Middle or Late Pleistocene (ROSENmüLLER 1794-coll. MB).

Abb. 12: Rotwolf *Cuon alpinus cavernalis* (ROSENmüLLER 1794). A. Holotyp-Schädel “*Canis cavernalis*” eines subadulten Tieres, Mittel- oder Spät-Pleistozän (ROSENmüLLER 1794-Slg. MB).

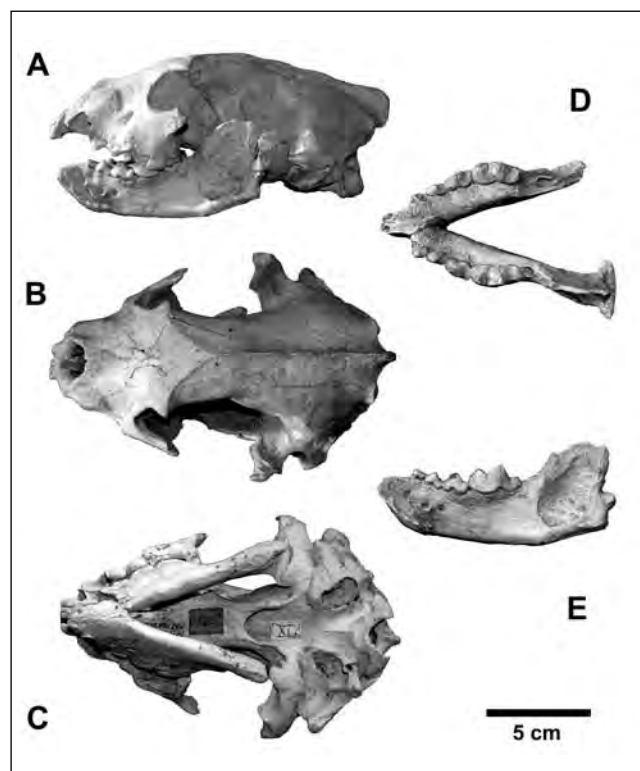


Fig. 13: Wolverine *Gulo gulo spelaea* (GOLDFUSS 1818) holotype skull (coll. MB), today attributed to *Gulo gulo* Linnaeus, 1758 (therefore no longer valid holotype).

Abb. 13: Vielfraß *Gulo gulo spelaea* (GOLDFUSS 1818) Holotyp-Schädel (Slg. MB), heute zu *Gulo gulo* Linnaeus, 1758 gestellt (daher kein valider Holotyp).

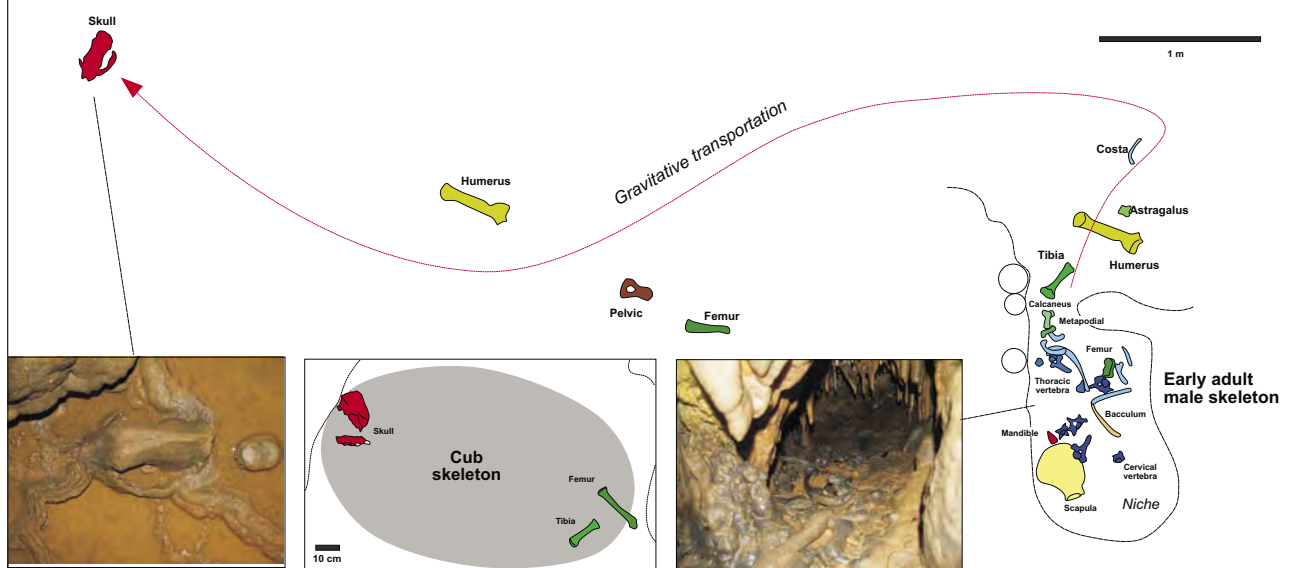
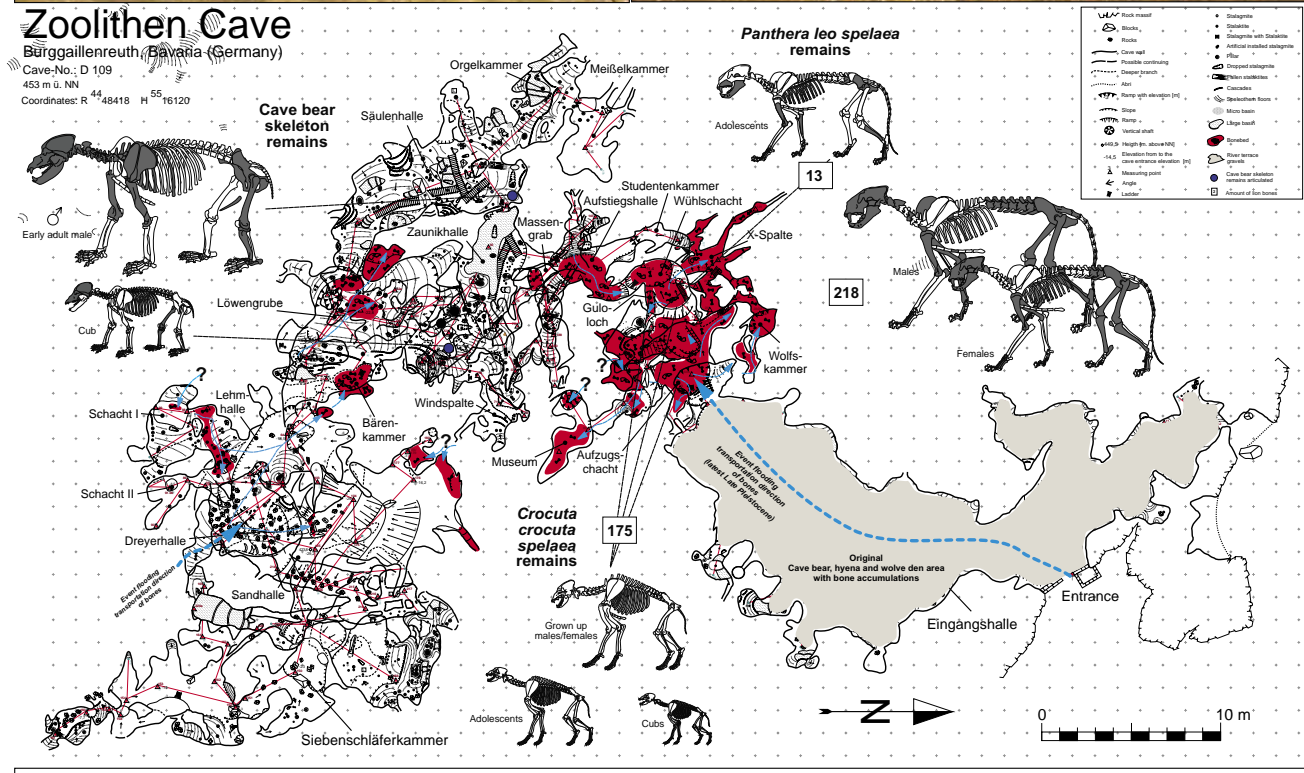
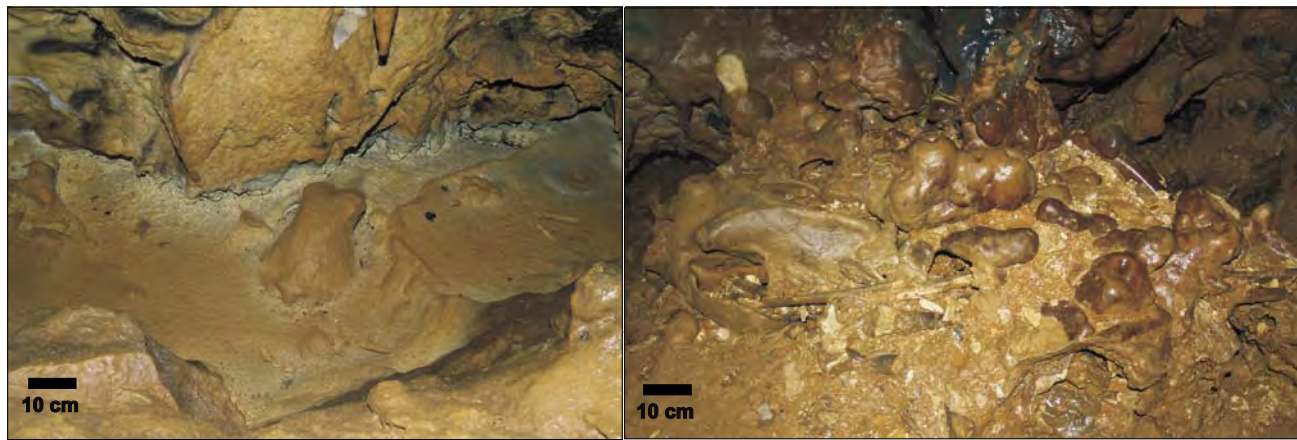


Fig. 14: Different cave bear taphonomy in Zoolithen Cave. Bones redeposited by floods accumulated in bonebeds (red) and two more or less articulated skeletons of a cub and early adult male, which skeleton parts are still in place.

Abb. 14: Unterschiedliche Höhlenbären-Taphonomie in der Zoolithenhöhle. Durch Flutung umgelagerte Knochen, akkumuliert in Bonebeds (rot), und zwei mehr oder weniger artikulierte Skelettreste eines Jungtieres und eines frähdulden Bären, die *in situ* liegen.

two incomplete skeletons were found on the “upper cave level”, where the Late Pleistocene floods obviously had no impact at all, so it remains unclear how those bears could have reached the “Säulenhalle” and “Zaunikhalle”. The vertical shafts surrounding those are deep and nearly impossible to climb. The early adult male skeleton is most probably of an *U. ingressus* species (skull shape and large bone proportions, covered and fixed by speleothem layer) in a niche – which was his hibernation “nesting area” (Fig. 14), and shows well the slow gravitational movement on speleothem surfaces in chambers. First the skull and larger bones such as the limb bones or the pelvic drifted downwards, through the action of dripping waters.

The hyena and lion remains in the cave bear bonebeds must have accumulated by primary deposition most probably over some thousands of years, from several hyena populations over many generations during the early to beginning of the late Late Pleistocene (DIEDRICH 2011a/b). Already in the Entrance Hall, most probably cannibalistic chewed hyena bones (Figs. 16) indicate carcass movements and damages of the material. Cave bear, hyena or lion bones themselves have sometimes well-preserved irregular chewed margins (= zigzag margins) and bite marks (Fig. 16) resulting from large carnivore activities (resulting from the breaking/scissor dentition). Similar bone bed taphonomic studies have been recently performed at Sophie’s Cave, where cave bear scavenging was convincingly proven on partly articulated vertebral columns of individual skeletons which were found with many other scattered and often bite-damaged bones or articulated body parts (DIEDRICH 2013e). Fragmentation and damage of cave bear bones must have resulted mainly from the well-known hyena scavenging activities (especially bone crushing, Fig. 16, DIEDRICH 2011a), and also by a few lion predatory activities (only joint chewing) and finally by wolf scavenging activities (cf. DIEDRICH 2013b). The Zoolithen Cave taphonomic study and model (Fig. 17) of the “historically non-collected” incomplete cave bear bones shows the same incomplete bone preservations that is being reported from many European caves (DIEDRICH 2009, 2013a/b/c), if incomplete material is included in the studies in such cave bear dens. The new interpretation of scavenging activities by hyenas, and the specialization in middle mountainous boreal forest regions of cave bears as a result of the absence or scarcity of steppe megafauna prey animals (especially mammoth, rhinoceros and steppe bison) in the Zoolithen Cave was recently proven by the large hyena population and den use as a cub raising and commuting den type (DIEDRICH 2011a), and also the very large lion population (DIEDRICH 2011b).

#### ***Skull pathologies – Neanderthal or animal conflicts?***

GROISS (1978) believed the figured frontal holes and damages to adult cave bear skulls (two different species: *U. speleae* subsp., *U. ingressus*, Fig. 17) were the result of “Palaeolithic human hunters” (i.e. cave bear hunting and “spear attack” signs), but in the surrounding cave not one stone tool or Palaeolithic site is known. The only two small Middle Palaeolithic cave sites in the area are near Große Teufels Cave (DIEDRICH 2013a). The incomplete bear skulls are obviously in a hyena and lion predatory context and have damage to each left frontal; in one case the deep penetration is nearly healed, whereas in the other skull the hole is still open



Fig. 15: Cave bear bone taphonomy in the “Massengrab Chamber” of Zoolithen Cave with untouched and still on-place preserved non-sediment containing packed and loose cave bear bonebeds (Photos H. Schabdach, FHKF).

Abb. 15: Höhlenbären-Knochentaphonomie im „Massengrab-Raum“ der Zoolithenhöhle mit unangetasteten und noch Original ohne Sediment dicht gepackten und lose erhaltenen Höhlenbären-Knochenschichten (Photos H. Schabdach, FHKF).

and only the surrounding bone shows an early stage of the healing process (Fig. 17). The interpretation here is different in presenting a cave use model including all three large carnivores (lions, hyenas and wolves) and herbivorous cave bears (Fig. 17). There, mainly lions and possibly hyenas and wolves produced osteological damage during their attacks on the cave bears, although mostly during scavenging activities. Overlooked completely by GROISS (1971, 1978) are bite wounds on the sagittal crests of the steppe lion holotype skull from the Zoolithen Cave (DIEDRICH 2008, 2011b). The most famous hyena skull with a really deep sagittal bite wound (SOEMMERING VON 1828; DIEDRICH 2011a) is another excellent case of a skull with bite damage from Zoolithen Cave. All three specimens have canine tooth bites damage in the areas of the skull where carnivores/bears typically inflict damage during predatory or defensive attacks – the head is the main focus of attack – as in modern hyena/lion conflicts (DIEDRICH 2011c, ROTHSCHILD & DIEDRICH 2012).

#### ***Ursus ingressus or Ursus spelaeus spelaeus – what is the holotype skull?***

Whereas the systematics of all the bears of the Zoolithen

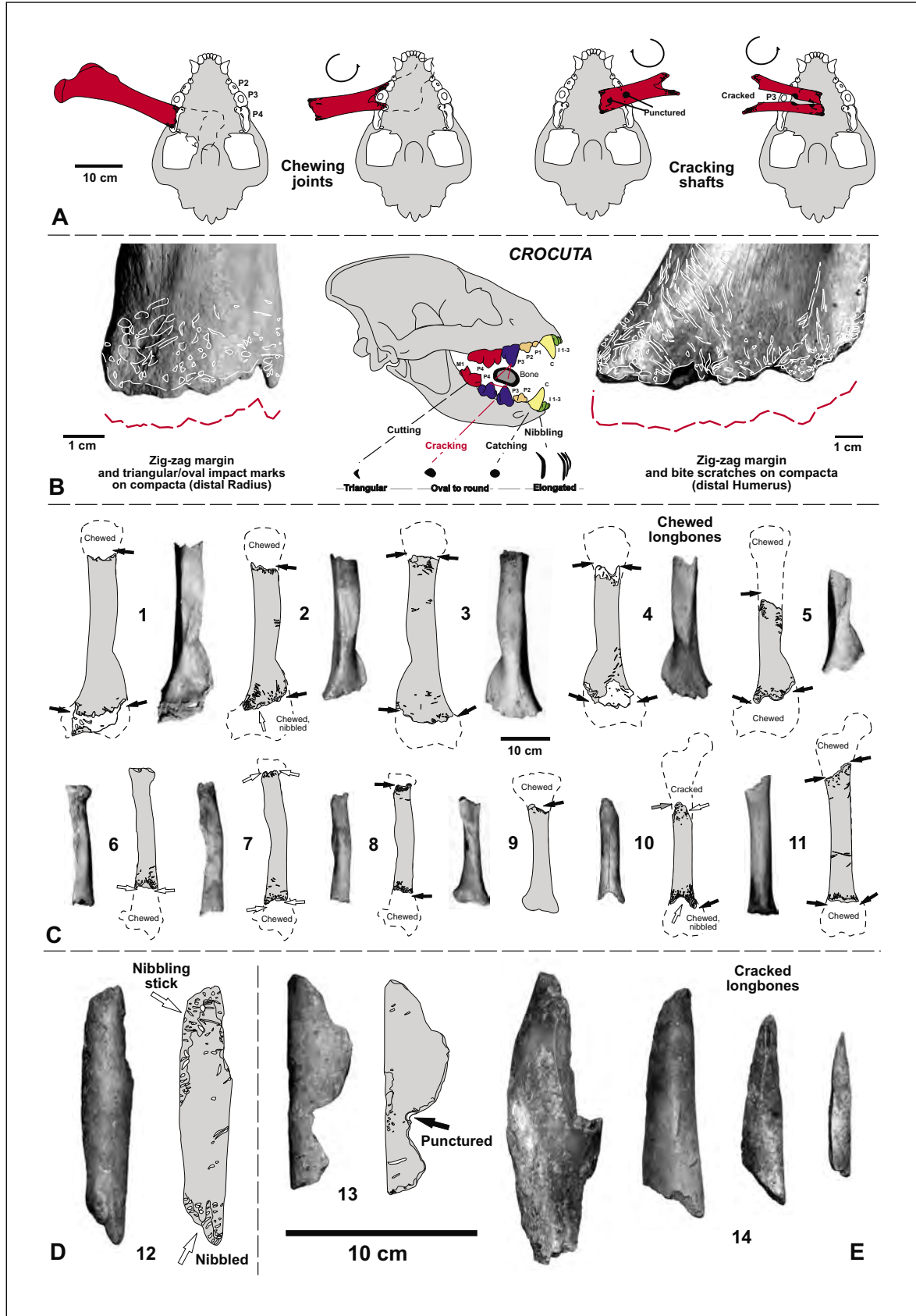


Fig. 16: Postcranial cave bear bones from the Zoolithen Cave and damage history by chew, bite and crush damages (mainly caused by Ice Age spotted hyenas). A. Damaging of a cave bear cub femur. B. Typical triangular, oval and elongated bite marks resulting of different teeth on distally chewed longbone shafts. C. Selected samples of chewed cave bear longbones. D. “Nibbling stick” – a bone fragment used mainly by hyena cubs for teething purposes. E. Fragments of cracked cave bear longbones.

Abb. 16: Postcraniale Höhlenbären-Knochen aus der Zoolithenhöhle und Zerstörungsgeschichte durch Abschneiden, Verbeißen und Zerknacken (primär verursacht durch eiszeitliche Fleckenhyänen). A. Zerstörungsgeschichte eines Jungbären-Femurs. B. Typische triangulare, ovale und längliche Bissspuren, die von unterschiedlichen Zähnen der Hyänen herrühren und an den distalen abgefressenen Langnochenschäften zu finden sind. D. „Knabberstück“ – ein Knochenfragment, das besonders von Junghyänen zum Abzähnen verwendet wurde. E. Langknochenfragmente zerknackter Höhlenbärenknochen.

Cave has not yet been completely solved, the most recent DNA-analysis of cave bears distinguished at least two different species/subspecies, with *Ursus spelaeus spelaeus* (RABEDER & HOFREITER 2004), and *U. ingressus* (RABEDER & HOFREITER 2004) extant during the Late Pleistocene. The „cave bear“ holotype (Fig. 3C) seems to belong to the latter species/subspecies. Similar results have been published for the Sophie's Cave cave bears (DIEDRICH 2013). Finally, even *Ursus arctos* (Holocene) and another brown bear type of the Late Pleistocene seem to be represented in Zoolithen Cave.

#### Dating of the cave bears and species taxonomy

Some cave bear teeth in the bonebeds (*Ursus spelaeus spelaeus sensu* HOFREITER et al. 2001) were dated by radiocarbon reaching nearly the limit of this method (around 40,484 BP, HOFREITER et al. 2001) suggesting cave bears have used the cave as a den until the early Late Pleistocene. Other direct and indirect dating methods, which have to be verified with new methods, dated all bonebed material within the early to late Late Pleistocene between “72,000–24,000” BP (cf. GROISS et al. 1998). ROSENDAHL & KEMPE (2004) dated with modern methods some speleothems at the bottom of the cave (Aufzugsschacht) and suggested a mixed bonebed-fauna to range from the MIS 3–8 (late Middle Pleistocene, late Saalian to late Late Pleistocene). However, the megafauna was present already as herein now corrected by the rediscovery of a nearly complete *Ursus deningeri* skull (Fig. 8), which was misidentified as “*Ursus arctoides* REICHENAU 1904” (brown bear, after ROSENmüLLER 1794). This skull is securely dated as MIS 6–8 (late Holsteinian interglacial or late Saalian glacial). Also the P4 tooth morphotypes (Type A) newly presented here after first studies by RABEDER (1999), that are intermediate between deningeroid and speleoid cave bears (see also Fig. 5) support the view that older cave bear populations were present. The Zoolithen Cave is the earliest known cave bear den in Upper Franconia, starting with cave bear denning in the cave during MIS 8–9 (Holsteinian-beginning of Saalian, Fig. 5). Using cave bear skull morphotypes (cf. the new compiled “cave bear clock” in DIEDRICH 2013b), cave bears seem to have established peak populations during the Eemian interglacial (126,000 BP). These smaller classical cave bears (most P4 are of Type C–D) of *Ursus spelaeus eremus/spelaeus* (cf. Fig. 5) occupied the cave during the early to middle Late Pleistocene (MIS 3–5d), whereas *U. ingressus* forms seem to have used the Entrance Hall during the late Late Pleistocene (32–25,000 BP), but also seem to have climbed deeper into the “Säulenhalle” (cf. Fig. 14). The cave use by carnivore and cave bear megamammals ended with the glacial peak around 25,000 BP, following climate change, flood events and cave entrance collapses.

#### E. River terrace floods (early post glacial peak of the Latest Pleistocene)

In the largest room of the cave, the Entrance Hall, the section starts above a speleothem layer with a medium-brown, large, well-rounded, limestone pebble layer (Fig. 4). In this ~60 cm thick layer, a few cave bear bones or teeth (also P4) have been found only in the lower part, all dark brown (iron/manganese mineral impregnation) in their color. Above those gravels a dark-brown, medium-sized, dense-packed

gravel layer (including rounded reworked speleothem gravels) is similar, but the yellowish, loess-like, one meter thick gravel sediment, is without any bone records. Those gravels are isochronous to the bone beds. The Late Pleistocene sedimentary fluvial cycle continues with the bone beds which vary in thickness as a result of their occurrence mainly in the vertical shafts and its branches (Fig. 4, 14, DIEDRICH 2011a). The sediment between the densely-packed bones (Fig. 15) is coarse grey-greenish mixed dolomite silt/sand, often consisting of very small white speleothem pieces. All the bones are in secondary positions (GROISS 1979), and must have been washed at some places up to 30 m deep (e.g. Wolfskammer). They are in most cases non-rounded and even chewing marks are well preserved (Fig. 16), indicating only short-distance and rapid redeposition within the cave. In total, on all the megafaunal and hyena bones fluvial damage or polishing of edges is rarely observed, which supports the idea of rapid transport of bones, not of “animals and carcasses as described by the “great deluge flood scenario” by ESPER (1774), but who was correct in the general idea of “floods”. The bone material was washed from two different areas and directions of the cave into its central parts (Fig. 14). Most material must have been transported from the Entrance Hall to the central vertical and diagonal shafts (= Aufzugsschacht, Wühlschacht, Guloschacht, Museumsschacht, Wolfsschacht areas, Fig. 14). In the Entrance Hall, the original bone-layers were nearly completely replaced by the river terrace gravels, which were deposited only in the upper layers also in the first vertical shaft, the Aufzugsschacht, but not deeper. The other flooding direction was estimated to have washed bones from their primary deposition site in the Dreyer Hall area into the Löwengrube Chamber and other parts of the western cave (Fig. 14), but there, the river gravels are absent. Nearly all the bones must have been transported in the final Upper Pleistocene (LGM/early Postglacial) into the middle cave part by floods due to a highly elevated Wiesent River terrace and braided Pre-Wiesent River system which must have risen enormously to an elevation of 455 a.s.l. – today’s entrance level is now 130 above the today’s Wiesent River valley elevation (DIEDRICH 2011a), which cannot be explained by natural river terrace stratigraphy, and only by glaciation models. The floods and river gravels being present only as “Pre-Wiesent River terrace relicts” in only the Entrance Hall area can be dated indirectly into the high to early post high glacial period with cave bear remains which were found below the river terrace gravels in the Entrance Hall (Fig. 3). Those large cave bears (bones brown in colour) are of *U. ingressus* which existed about 32,000–25,000 BP in Europe (HOFREITER 2002, PACHER & STUART 2008, STILLER et al. 2010, MÜNZEL et al. 2011). In similar elevated caves (e.g. Oswald Cave, opposite Wiesent Valley side) similar river terrace dolomite gravels are preserved again in relicts, and are absent along the steep valley margins. The final Late Pleistocene flooding events caused further gravitational vertical transport which caused speleothem collapses and sliding of those fragments into the vertical shafts. Different speleothem generations with different growth angles (well seen in the Lehmgrube, Fig. 4) on such moving speleothem slabs prove long-term mass-movement activity.

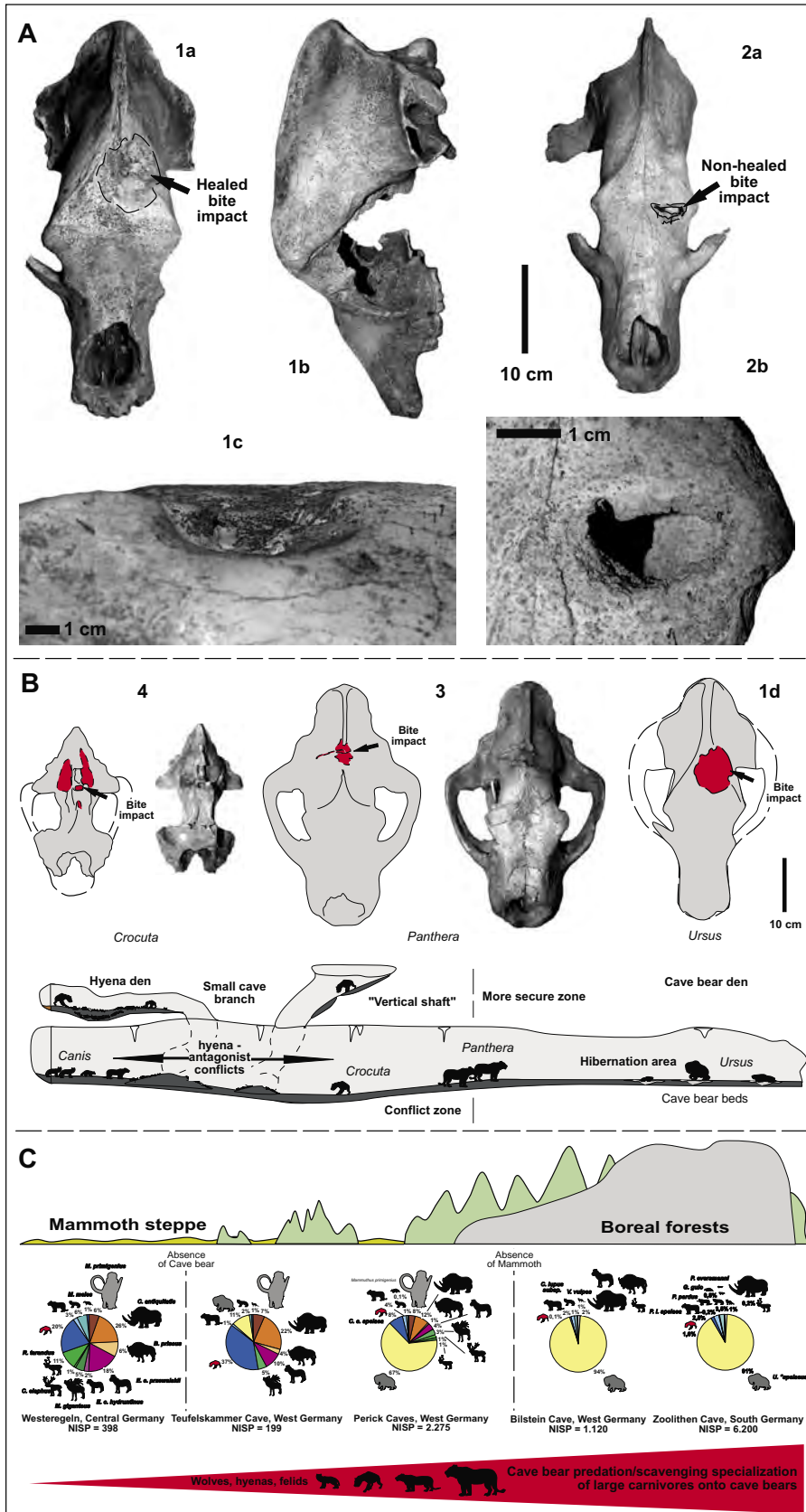


Fig. 17: Bite pathologies on skulls and conflict model for the Zoolithen Cave. A. 1. Senile male cave bear skull (*Ursus ingressus*) with bite damage in the frontal being partly healed (UE no. 142), 2. Early adult cave bear skull (*Ursus spelaeus* subsp.) with non-healed bite damage in the frontal (UE no. 132). B. 3. Lion *Panthera leo spelaea* holotype skull with bite scratch on the sagittal crest (original to GOLDFUSS 1810). 4. Hyena *Crocuta crocuta spelaea* skull with massive bite damage on the sagittal crest (original to SOEMMERING 1828). Cave model with conflict zones and antagonism between all three large predators (lions, hyenas, wolves) and herbivorous cave bears hibernating as deep as possible in their den to protect against the carnivores. C. Cave bear hunt/scavenging specialization in boreal forest mountainous regions (modified after DIEDRICH 2011a).

Abb. 17: Bissverletzungen an Schädeln und Konfliktmodell für die Zoolithenhöhle. A. 1. Seniler männlicher Höhlenbären-Schädel (*Ursus ingressus*) mit teilverheilter Bissverletzung im Frontalbereich (UE no. 142), 2. Frühadulter Höhlenbärenschädel (*Ursus spelaeus* subsp.) mit unverheilter Bissverletzung im Frontalbereich (UE no. 132). B. 3. Löwen *Panthera leo spelaea* Holotyp-Schädel mit Biss auf dem Scheitelkamm (Original von GOLDFUSS 1810). 4. Hyäne *Crocuta crocuta spelaea*-Schädel mit massivem Bisseschaden auf dem Scheitelkamm (Original von SOEMMERING 1828). Höhlen-Modell mit Konfliktzonen und Antagonismus zwischen allen drei großen Prädatoren (Löwen, Hyänen, Wölfe) und herbivoren Höhlenbären, die tief in Höhlen zum Schutz gegen die Raubtiere überwinteren. C. Spezialisierung auf Höhlenbären-Jagd/Fressen in borealen Nadelwald-Gebirgsgebieten (verändert aus DIEDRICH 2011a).

#### F. The Alleröd (second speleothem genesis and humid cave)

Loose limestone gravels in the Entrance Hall area on the top of the river gravels which are partly cemented by the younger speleothem generation indicate a final Late Pleistocene frost impact. Speleothem dates (uranium/thorium)

of a candle stalagmite (last speleothem generation) on the bone breccias (Aufzugsschacht) give ages on the upper and last speleothem layer of about  $11,720 \pm 125$  BP (older data from 1950, see POLL 1972), which is calibrated now  $13,720 \pm 125$  BP. Those final Upper Pleistocene aged thin candle-like stalagmites are typical throughout the cave system (Fig. 4).

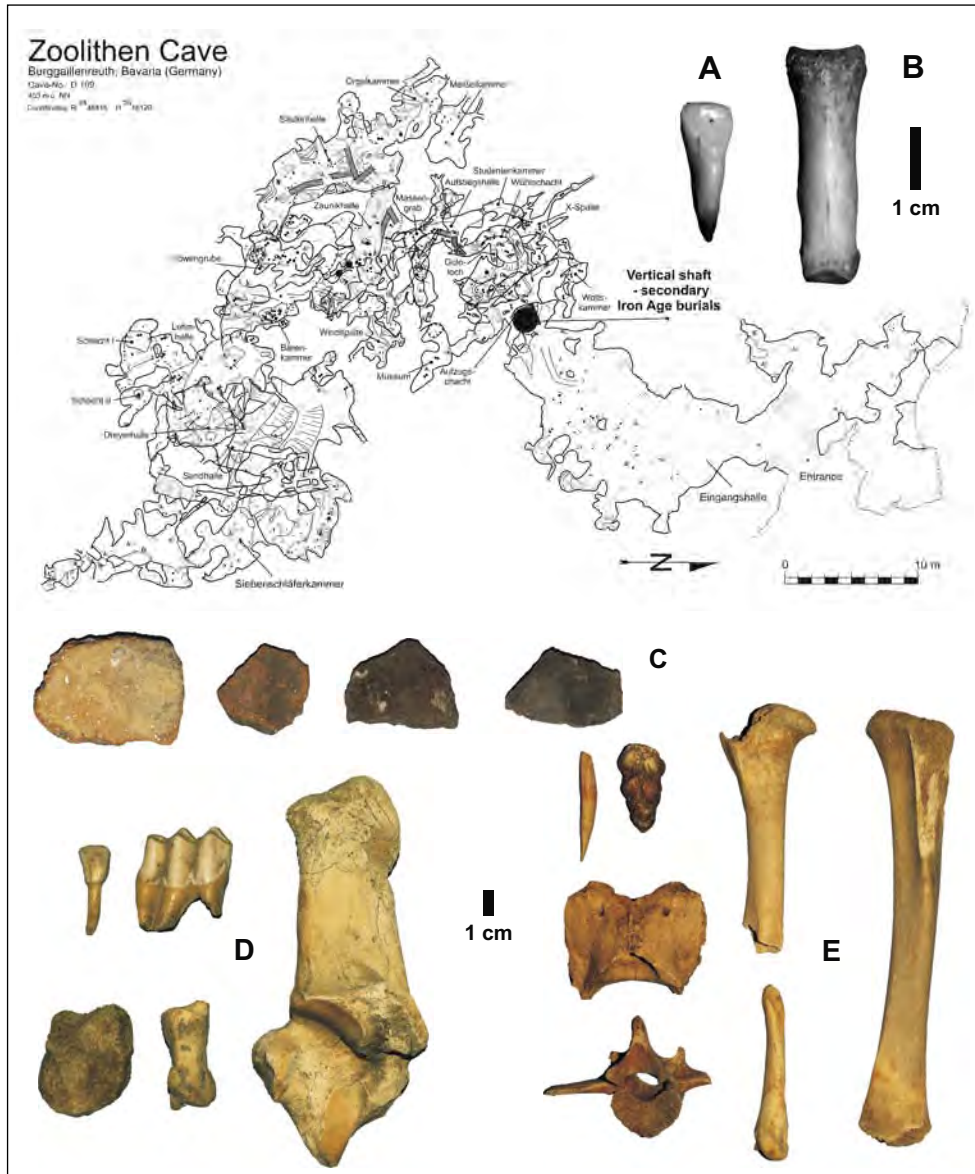


Fig. 18: Iron Age (La Tène) and Holocene bone finds – from the dump in front of the cave (originating from the Wühlschacht which was secondary burial place). A. Human incisor tooth and B. Human hand phalanx I. C. Some selected pottery shards. D. Domestic small cattle teeth and bones. E. Domestic or wild pig teeth and bones.

Abb. 18: Eisenzeit (La Tène) und Holozän-Knochenfunde – aus der Halde vor der Höhle (ursprünglich aus dem Aufzugsschacht der Sekundärbestattungsort war). A. Menschen-Incisor-Zahn und B. Menschen-Hand-Phalanx I. C. Einige selektierte Keramikscherben. D. Kleines Haustrind, Zähne und Knochen. E. Haus- oder Wildschwein, Zähne und Knochen.

These seem to be the result of the latest Upper Pleistocene Alleröd climatic change to a warmer period (13,500–12,700 BP; cf. KEMPE et al. 2002). At this time, higher vadose water activity resulted the last speleothem generation all over the Zoolithen Cave. This represents the end period of the massive Pre-Wiesent River terrace erosion in the Pre-Wiesent Valley, now at 130 m lower elevation (measured from Entrance Hall level). As demonstrated for Upper Franconia during the end of the Alleröd Epipalaeolithic, human reindeer hunters had already settled on rock shelters few meters above the today's river valley elevations (e.g. Ahorn and Wiesent Valleys, DIEDRICH 2013a). Possibly the bone beds also moved further downwards by gravity in some vertical shafts, and must have dropped at some places up to 30 m deep (e.g. Wolfskammer).

#### G. Holocene – Iron Age

The Holocene material was not well distinguished at all from the Pleistocene bones by GROISS (1971, 1979) giving an incorrect view of the “Pleistocene forest fauna” because it included domestic or Holocene wild animal remains (cf. Fig. 18). The Holocene bones were imported mainly by badgers, foxes

and martens (*Meles*, *Vulpes*, *Martes*) to their cave den with different animals (*Felis*, *Lepus*, *Cervus*, *Capreolus*, *Sus*). Also Iron Age humans deposited domestic animal bones (*Bos*, *Sus*, *Ovis/Capra*, *Canis*), which were left in the Aufzugsschacht together with human bones (juvenile and adult longbones, mainly) and pottery (Fig. 18). Also in the Entrance Hall remains of the already known La Tène (Iron Age) culture (cf. SOMMER 2006) are still present in the black sediments.

#### Conclusions

The sedimentological research gives a first overview of 12 accessible sections in the Zoolithen Cave along the Wiesent River Valley (Bavaria, Upper Franconia Karst, south-Germany). The cave has three main fluvial (two underground river, one valley river) sedimentary sequences, and two main speleothem phases. The first Neogene (Oligocene/Miocene) sediments are only found in the uppermost level of the Entrance Hall and consist of dolomitic sand/grey clay beds resulting from the early ponor cave stage and underground river. The second and third levels, up to 25 m deeper, formed in further underground rivers, which left facets and a second sediment-

tary series with a yellow dolomite sand/red clay series, being most probably of Pliocene/Early Pleistocene in age. Micro-tectonic structures in dolomite silt/sand layers and clay beds document tectonic activities, such as fractured stalagmites or a speleothem fragment layer. The top of the several meters thick red clay has mud cracks on the surface, and bat remains, indicating a dry cave stage. This changed to a vadose cave in which the first massive speleothem layer developed, dated about  $342,050 \pm 71,400$  in the late Middle Pleistocene warm MIS 9 zone. From this time the oldest Upper Franconian cave bears, of *Ursus deningeri*, used the cave during MIS 6–8 as a den site, especially during the dry late Saalian period. The cave continued to be dry and was used mainly during the Eemian to late Late Pleistocene (MIS 3–5e) by cave bears for hibernation. P4 tooth morphology and skull shapes allow the separation of three species/subspecies during the Late Pleistocene: smaller *U. spelaeus eremus/spelaeus* and large *U. ingressus*. Two incomplete skeletons are still in place in the middle of the cave, indicating hibernation as deep as possible to protect against top predator attacks. Hyena clans used the Entrance Hall periodically as a cub-raising and commuting den, and are mainly responsible for the cave bear bone damage resulting from a scavenging specialization in boreal mountain forests regions. A large steppe lion population indicates also those lions to have specialized on cave bears, but with active hunts deep in the caves. Wolves must have also sporadically used the entrance area as den site, and must have fed on cave bears, too, as has been well demonstrated at the nearby Sophie's Cave. All megafaunal bones are of a boreal forest assemblage accumulated mainly in the Entrance and Dreyer Hall areas. At the High Glacial (= LGM, about 20,000 BP), a possible valley glacier situation model is presented here using three cave sites and sedimentary sequences around Muggendorf, Pottenstein and Kirchahorn. The Pre-Wiesent River valley was filled only at Muggendorf and the terrace built at 455 a.s.l. In the other areas, glauconitic sandy clays/gravels were found only at 410 a.s.l. elevation (Sophie's Cave, Große Teufels Cave), which makes correlations difficult. The dewatering direction might also have been opposite of the today's direction but more cave sections are needed to develop a more detailed model. The dolomite gravels are found today only as relicts in the caves on both valley sides around Muggendorf. In the Zoolithen Cave, the gravels replaced at least parts of the bone beds in the Entrance Hall, when the bones were washed by flood events into the middle part of the cave and, also from another side of a today's blocked entrance close to Dreyer Hall. This bone material was transported into the Löwengrube, Bärenkammer, and other parts surrounding the Lehnhalle and contains nearly no hyena, lion or wolf remains – those mainly used the Entrance Hall area. Stronger corrosion on speleothems (especially well below Dreyer Hall) and collapsed speleothem plateaus underline the massive flood impact at the end of the Ice Age (around LGM/Postglacial). Most of the bones were redeposited quickly by those floods (glacier melting waters and seasonally in spring time) in some cave parts and accumulated mainly in the vertical shafts and branching areas where they built up into bone beds several meters thick. With such an unexpected high river terrace position (if those gravels are river terrace layers and not side moraine till deposits flooded over glaciers

into the caves), and high ground water level at the LGM, the “great deluge theory” of ESPER becomes nearly “true” – he was right about the floods, but not with the transport of “live animals and complete carcasses” – indeed only animal bones were washed into the deeper parts of the cave.

There are no “Ice Age human” (Neanderthal or Cromagnons: Middle to Late Palaeolithics) records from the cave. After the floods the river terrace moved rapidly down (also demonstrated at Sophie's and Große Teufels caves – 50 meters deep erosion LGM/Post LGM) which can only be explained by the presence of valley glacier. Water masses from these valley glaciers caused the steep valley morphology and 130 m of lowering within only about 10,000 years. Finally at the end of the Ice Age in the in the Alleröd humid phase, another speleothem generation with typical candle-like speleothems developed in the Zoolithen Cave around  $13,720 \pm 125$  BP. During the Holocene, in the first and second vertical shafts (Aufzugsschacht), Iron Age La Tène humans left numerous secondary burials (skulls and long bones with pottery and after-life food animal donations), but those were thrown only into the first deep vertical shaft. Many new finds of human bones including children and old persons found between the old excavation bone dumps, prove the use of this cave and surrounding caves (e.g. Esper Cave), as burial places – but only in the vertical shafts, this being typical for that time.

#### **Remarks to the future – problems of cave protection and fossil collection**

In the dump in front of the cave today, visitors are able to take “souvenirs”, whereas professionals are prevented from saving remaining small bones and teeth by the “Archaeological Monument Survey of Bavaria” legislation. These remains are potentially important for the “region” (local museums project) and an international Natural Monument and potential UNESCO-world fossil heritage site designation. The cave is still in private hands and under control of the FHKF (rented the cave from recent owner). The public collections of the University Erlangen and Urweltmuseum Oberfranken or the Museum Tüchersfeld remain difficult to access, even for professionals, whereas even the Ministry of Culture and Education does not act at all positively. More positively, the Bavarian Landtag recently discussed the problems of collection accessibility in Bavarian Museums and Universities, the protection of the excavation spoil dump and the proposal of the author to make a “paleontological/archaeological” monument by purchasing the cave by the province and thereby preserving Europe's most famous Pleistocene cave fossil site (protection rejected by the Bavarian Landtag Petition no. HO.0594.16).

#### **Acknowledgements**

Access to the historic ROSENmüller collection of the Museum für Naturkunde Berlin of the Humboldt University was possible due to PD Dr. O. Hampe. Dr. B. Hilpert supported the study of the GROISS material from 1971 in the University Erlangen. The material study in the GOLDFUSS-Museum of the Rheinische Wilhelms University Bonn of the GOLDFUSS collection was possible by Dr. G. HEUMANN. The curator A. Currant of the Pleistocene collection in the British Museum

of Natural History London gave access to the material from the Zoolithen Cave. Bone material was studied with support of T. RATHGEBER in the Staatliches Naturhistorisches Museum Stuttgart. Dr. R. RABOLD supported the work on the Graf zu Muenster collection in the Urweltmuseum Oberfranken in Bayreuth. H. BUCHHAUPT allowed to the author to figure material from his private collection. I thank especially J. and M. CONRAD, B. NERRETER, H. SCHABDACH, M. HARDER, and others of the Forschungsgruppe Höhle und Karst Franken e.V. Nürnberg for the new exploration and cave survey support and collection access, and also when History Channel was filming the “lions of the Zoolithen Cave” there in 2010. Furthermore I thank Dr. F. KNOLLE and D. MOL for their critical and helpful reviews of the first manuscript draft such as Prof Dr. D. MFARLANE for a spell-check and comment support of the final version. Final supporting comments were made by PD Dr. H. FREUND.

## References

---

- BRAND, F. (2006): Was können wir aus lehmigen Ablagerungen der Binghöhle ablesen? – In: BRAND, F., ILLMANN, R., LEJA, F., PREU, D. & SCHABDACH, H. (eds.), Die Binghöhle bei Streitberg – Auf den Spuren eines unterirdischen Flusses: 28–34.
- BRUNNER, G. (1933): Eine präglaziale Fauna aus dem Windloch bei Sackdilling (Oberpfalz). – Neues Jahrbuch für Mineralogie Geologie und Paläontologie, B 71: 303–328.
- BRUNNER, G. (1954): Das Fuchsloch bei Siegmansbrunn (Oberfr.), eine mediterrane Riss-Würm-Fauna. – Neues Jahrbuch für Geologie und Paläontologie Abhandlungen, 100: 83–118.
- BUCKLAND, W. (1823): Reliquiae Diluvianae, or observations on the organic remains contained in caves, fissures, and diluvial gravel, and other geological phenomena, attesting the action of an universal deluge. – 303 pp.; London (Murray).
- BURGER, D. (1989): Dolomite weathering and micromorphology of paleosoils in the Frankonian Jura. – Catena Supplementaria, 15: 261–267.
- DIEDRICH, C. (2008): The holotypes of the upper Pleistocene *Crocuta crocuta spelaea* (GOLDFUSS 1823: Hyaenidae) and *Panthera leo spelaea* (GOLDFUSS 1810: Felidae) of the Zoolithen Cave hyena den (South Germany) and their palaeo-ecological interpretation. – Zoological Journal of the Linnean Society London, 154: 822–831.
- DIEDRICH, C. (2009): The rediscovered cave bear “*Ursus spelaeus* ROSEN-MÜLLER 1794” holotype of the Zoolithen Cave (Germany) from the historic Rosenmüller collection. – Acta Carsologica Slovacia, 47 (1): 25–32.
- DIEDRICH, C. (2011a): The late Pleistocene spotted hyena *Crocuta crocuta spelaea* (GOLDFUSS 1823) with its type specimens from the Zoolithen Cave at Gailenreuth (Bavaria, South Germany): a hyena cub rising den of specialised cave bear scavengers in boreal forest environments of Central Europe. – Historical Biology, 23(4): 335–367.
- DIEDRICH, C. (2011b): The largest European lion *Panthera leo spelaea* (GOLDFUSS) population from the Zoolithen Cave, Germany – specialized cave bear predators of Europe. – Historical Biology, 23 (2–3): 271–311.
- DIEDRICH, C. (2011c): Cave bear killers and scavengers from the last ice age of central Europe: Feeding specializations in response to the absence of mammoth steppe fauna from mountainous regions. – Quaternary International, 255: 59–78.
- DIEDRICH, C. (2011d): The Late Pleistocene *Panthera leo spelaea* (GOLDFUSS 1810) skeletons from the Sloup and Srbsko Caves in Czech Republic (central Europe) and contribution to steppe lion cranial pathologies and postmortally damages as results of interspecies fights, hyena antagonism and cave bear attacks. – Bulletin of Geosciences, 86(4): 817–840.
- DIEDRICH, C. (2013a): Ice Age geomorphological Ahorn Valley and Ailsbach River terrace evolution – and its importance for the cave use possibilities by cave bears, top predators (hyenas, wolves and lions) and humans (Late Magdalénians) in the Frankonia Karst – case studies in the Sophie’s Cave near Kirchahorn, Bavaria. – E&G Quaternary Science Journal, 62(2): 162–174.
- DIEDRICH, C. (2013b): Evolution, Horste, Taphonomie und Prädatoren der Rübeländer Höhlenbären, Harz (Norddeutschland). – Mitteilungen des Verbandes der deutschen Höhlen- und Karstforscher, 59(1): 4–29.
- DIEDRICH, C. (2013c): Late Ice Age wolves as cave bear scavengers in the Sophie’s Cave of Germany – extinctions of cave bears as result of climate/habitat change and large carnivore predation stress in Europe. – ISRN Zoology 2013: 1–25.
- DIEDRICH, C. (2014): Palaeopopulations of Late Pleistocene top predators in Europe: Ice Age spotted hyenas and steppe lions in battle and competition about prey. – Paleontology Journal, 2014: 1–34.
- ESPER, J.F. (1774): Ausführliche Nachricht von neu entdeckten Zoolithen unbekannter vierfüssiger Thiere und denen sie enthalten, so wie verschiedenen andern, denkwürdigen Gründen der Obergebürgischen Lande des Markgraftums Bayreuth. – 148 pp.; Nürnberg.
- GIBBARD, P.L., & COHEN, K.M. (2009): Global Chronostratigraphical correlation table for the last 2.7 million years. – Episodes, 31(2): 243–247.
- GOLDFUSS, G.A. (1810): Die Umgebungen von Muggendorf. Ein Taschenbuch für Freunde der Natur und Altertumskunde. – 351 pp.; Erlangen.
- GOLDFUSS, G.A. (1818): Beschreibung eines fossilen Vielfrassschädels aus der Geilenreuther Höhle. – Nova Acta Physico-Medica Academiae Caesareae Leopoldino-Carolinae Naturae Curiosorum, 11: 313–322.
- GOLDFUSS, G.A. (1821): Osteologische Beiträge zur Kenntnis verschiedener Säugetiere der Vorwelt: IV. – Ueber den Schädel des Hoehlenloewen. Verhandlungen der kaiserlichen leopoldinischen carolinaeischen Akademie der Naturfreunde. 10(2): 489–494.
- GOLDFUSS, G.A. (1823): Osteologische Beiträge zur Kenntnis verschiedener Säugetiere der Vorwelt. VI. Ueber die Hölen-Hyäne (*Hyaena spelaea*). – Nova Acta Physico-Medica Academiae Caesareae Leopoldino-Carolinae Naturae Curiosorum, 3(2): 456–490.
- GROISS, J.T. (1971): Paläontologische Untersuchungen in der Zoolithenhöhle bei Burggailenreuth – ein vorläufiger Bericht. – Erlanger Forschungen Reihe B Naturwissenschaften, 5: 79–93.
- GROISS, J.T. (1978): Über pathologische Bildungen an Skelettresten jungquartärer Säugetiere aus der Zoolithenhöhle bei Burggailenreuth. – Geologische Blätter NO-Bayern, 28(1): 1–21.
- GROISS, J.T. (1979): Geologische und paläontologische Untersuchungen in der Zoolithenhöhle. – Geologische Blätter NO-Bayern, 29(1): 26–50.
- GROISS, J.T. (1996): Der Höhlentiger *Panthera tigris spelaea* (GOLDFUSS). – Neues Jahrbuch für Geologie und Paläontologie Monatshefte 1996(7): 399–414.
- GROISS, J.T., KAMPHAUSEN, D., MICHEL, U. (1998): Höhlen der nördlichen Fränkischen Alb: Entwicklung, Fauna, Karst-Hydrologie. – Erlanger geologische Abhandlungen, Sonderband 2: 161–168.
- HABBE, K.-A. (1989): Der Karst der Fränkischen Alb – Formen, Prozesse, Datierungsprobleme. Die Fränkische Alb. – Schriften des Zentralen Instituts für fränkische Landeskunde Universität Erlangen, 28: 35–69.
- HELLER, F. (1966): Die berühmten Knochenhöhlen des fränkischen Jura und das Schicksal ihres Fundinhaltes. Nach zeitgenössischen Berichten und Quellen. – Berichte der Naturwissenschaftlichen Gesellschaft Bayreuth, 12: 5–20.
- HELLER, F. (1972): Die Forschungen in der Zoolithenhöhle bei Burggailenreuth von ESPER bis zur Gegenwart. – Erlanger Forschungen B Naturwissenschaften, 5: 7–56.
- HOFREITER, M., JAENICKE, V., SERRE, D., HAESELER AV. A. & PÄÄBO, S. (2001): DNA sequences from multiple amplifications reveal artefacts induced by cytosine deamination in ancient DNA. – Nucleic Acids Research, 29: 4793–4799.
- HOFREITER, M. (2002): Genetic stability and replacement in late Pleistocene cave bear populations. – Abhandlungen zur Karst- und Höhlenkunde, 34: 64–67.
- JENNINGS, J.N. (1985): Karst Geomorphology. – 293 pp.; Oxford (Blackwell).
- KAULICH, B. & SCHAAF, H. (1993): Kleiner Führer zu den Höhlen um Muggendorf. – 125 pp.; Nürnberg.
- KEMPE, S., ROSENDAHL, W., WIEGAND, B. & EISENHAUER, A. (2002): New speleothem dates from caves in Germany and their importance for the Middle and Upper Pleistocene climate reconstruction. – Acta Geologica Polonica, 52(1): 55–61.
- NEISCHL, A. (1904): Die Höhlen der Fränkischen Schweiz und ihre Bedeutung für die Entstehung der dortigen Täler. – 95 pp.; Nürnberg (Schrag).
- NIGGEMEYER, B. & SCHUBERT, D. (1972): Neuentdeckungen in der Zoolithenhöhle bei Burggailenreuth. – Erlanger Forschungen B Naturwissenschaften, 5: 57–62.
- MEYER, R.K.F. & SCHMIDT-KALER, H. (1992): Wanderungen in die Erdgeschichte (5). Durch die Fränkische Schweiz. – 167 pp.; München (Pfeil-Verlag).
- MÜNZEL, S.C., STILLER, M., HOFREITER, M., MITTNIK, A., CONARD, N.J., BOCHERENS, H. (2011): Pleistocene bears in the Swabian Jura (Germany): Genetic replacement, ecological displacement, extinctions and survival. – Quaternary International, 245(2): 225–237.

- PACHER, M. & STUART, A.J. (2008): Extinction chronology and palaeobiology of the cave bear (*Ursus spelaeus*). – *Boreas*, 38(2): 189–206.
- POLL, K.G. (1972): Die Zoolithenhöhle bei Burggaillenreuth und ihre Beziehung zum fränkischen Höhlen- und Kluftsystem. – *Erlanger Forschungen B Naturwissenschaften*, 5: 63–76.
- RABEDER, G. (1999): Die Evolution des Höhlenbärgebisses. – Mitteilung der Kommission für Quartärforschung der Österreichischen Akademie der Wissenschaften, 11: 1–102.
- RABEDER, G. & HOFREITER, M. (2004): Der neue Stammbaum der Höhlenbären. – *Die Höhle*, 55: 1–19.
- ROSENDAHL, W. & KEMPE, S. (2004): New geological and palaeontological investigations in the Zoolithen Cave, southern Germany. – *Cahiers scientifiques Muséum Lyon*, 2: 69–74.
- ROSENmüLLER, J.C. (1794): *Quedam de ossibus fossilibus animalis cuiusdam, historiam eius et cognitionem accuratiorem illustrantia, dissertatione, quam d. 22. Octob. 1794 ad disputandum proposuit Ioannes Christ. Rosenmüller Heßberga-Francus, LL.AA.M. in Theatro anatomico Lipsiensi Prosector assumto socio Io. Chr. Aug. Heinroth Lips. Med. Stud. Cum tabula aenea. – 1–34; Leipzig.*
- ROTHSCHILD, B.M. & DIEDRICH, C. (2012): Comparison of pathologies in the extinct Pleistocene Eurasian steppe lion *Panthera leo spelaea* (GOLDFUSS 1810) to those in the modern lion, *Panthera leo* – Results of fights with hyenas, bears and lions and other ecological stress. – *International Journal of Paleopathology*, (in press) DOI: 0.1016/j.ijpp.2012.09.004
- STILLER, M., BARYSHNIKOV, G., BOCHERENS, H., GRANDAL D'ANGLADE, A., HILPERT, B., MUNZEL, S.C., PINHASI, R., RABEDER, G., ROSENDAHL, W., TRINKAUS, E., HOFREITER, M., KNAPP, M. (2010): Withering away – 25,000 years of genetic decline preceded cave bear extinction. – *Molecular Biology and Evolution*, 27(5): 975–978.
- SOEMMERRING, S.T. VON (1828): Über die geheilte Verletzung eines fossilen Hyänenenschädels. – *Nova Acta physico-medica Academiae Caesar Leopoldiana*, 14: 1–44.
- SOMMER, C.S. (2006): Archäologie in Bayern – Fenster zur Vergangenheit. Zusammengestellt von C. Sebastian Sommer 25 Jahre nach Gründung der Gesellschaft für Archäologie in Bayern. – 336 pp.; Regensburg (Verlag Friedrich Pustet).
- SPÖCKER, R.G. (1952): Zur Landschafts-Entwicklung im Karst des oberen und mittleren Pegnitz-Gebietes. – 60 pp.; Remagen (Verlag des Amtes für Landeskunde).
- STILLER, M., BARYSHNIKOV, G., BOCHERENS, H., GRANDAL D'ANGLADE, A., HILPERT, B., MUNZEL, S.C., PINHASI, R., RABEDER, G., ROSENDAHL, W., TRINKAUS, E., HOFREITER, M. & KNAPP, M. (2010): Withering away – 25,000 years of genetic decline preceded cave bear extinction. – *Molecular Biology and Evolution*, 27(5): 975–978.
- WEISS, G.W. (1937): Bayreuth als Stätte alter erdgeschichtlicher Entdeckungen. – 48 pp.; Bayreuth (Gauverlag Bayerische Ostmark).
- WHITE, W.B. (2007): Cave sediments and paleoclimate. – *Journal of Cave and Karst Studies*, 69(1): 76–93.

# Radiocarbon Dating with Accuracy and Precision



**BETA**

**Beta Analytic**  
Radiocarbon Dating  
[www.radiocarbon.com](http://www.radiocarbon.com)

*Beta Analytic Provides:*

- ISO 17025 accredited measurements
- Quality assurance reports
- Over 30 years of experience

**Results in as little as 2-3 days**

Australia   Brazil   China   India   Japan   Korea   UK   USA

# Instruction to Authors

Basically the manuscript shall be submitted in electronic form and has to include the name and the address of the first author. Please use a standard word processor in .rtf, .odt or .doc-format (LaTeX files on request). As character set please use the standard fonts Times Roman, Helvetica or Courier with 1.5 line spacing.

For the submission please use our online system at [www.quaternary-science.net](http://www.quaternary-science.net). After the login you can upload your manuscript as well as separate figures and tables.

## Manuscript style

The acceptable languages are English and German. Manuscripts in German have to contain an English subtitle, an abstract in English and English keywords. The rules of the new German spelling reform apply to German texts.

Manuscripts should be arranged in the following order:

- I Short but concise title
- II Full names, full address and e-mail
- III 5 to 10 keywords that describe the contents of your paper
- VI An abstract of up to 200 words in German and English.  
The translated abstract should carry the translated title in square brackets,
- V Clearly structured text. For chapter numbering use Arabic numerals.
- VI The reference list has to be arranged alphabetically and should be conform to the examples given below.

References have to be insert in the text as brief quotations, the name of the author has to be set in small CAPITALS, the year of publication in brackets e.g. MÜLLER (2006). If more than one publication of the same author in the same year is cited, identify each citation as follows: MÜLLER (2006a, 2006b). Where three or more authors are listed in the reference list, please cite in the text as MÜLLER et al. (2006). Papers with up to three authors should be cited as MÜLLER & MEYER (2006) or MÜLLER, MEYER & SCHULZ (2006). If a special page or figure of a paper should be cited, use following citation style: MÜLLER (2006: 14) or MÜLLER (2006, Fig. 14).

Scientific names of flora and fauna (*gender, sub-gender, species, sub-species*) have to be written in *italics*. Use small CAPITALS for the author (*Armeria maritima* WILLD.)

Do not justify your text, use a ragged left alignment.  
Do not use automatic hyphenation.  
Do not use any automatic formatting.  
Do not use pagination.

Do not insert images, tables and photos into the text, it should be added as separate files. Captions of figures and tables in German and English should be placed at the end of the manuscript.

## Illustrations

Supply each figure as a separate file with the name of the author. Illustrations should be reducible to a column width (8.4 cm) or type area (17.2 x 26 cm). The lettering has to be easy readable after reduction. Where a key of symbols is required, include this in the figure, not in the caption of the figure. Avoid fine lines (hairlines) and grey-shading/halftones. All figures may be colored. There are no additional costs.

For printing all illustrations have to be supplied electronically. Please use for pixel-based images (photos) the .tif-format with a resolution of at least 450 dpi and for vector-based illustrations (graphs, maps, tables) the .eps-format. Greatly reduced .jpg-files or .pdf-files or figures included in word-documents are not accepted.

## References [examples]

### Papers:

- SCHWARZBACH, M. (1968): Neue Eiszeithypothesen. – Eisezeitalter und Gegenwart, 19: 250–261.
- EISSMANN, L. & MÜLLER, A. (1979): Leitlinien der Quartärenentwicklung im norddeutschen Tiefland. – Zeitschrift für Geologische Wissenschaften, 7: 451–462.
- ZAGWIJN, W.H. (1996): The Cromerian Complex Stage of the Netherlands and correlation with other areas in Europe. – In: TURNER, C. (ed.): The Middle Pleistocene in Europe: 145–172; Rotterdam (Balkema).
- MAGNY, M. & HAAS, J.N. (2004): A major widespread climatic change around 5300 cal. yr BP at the time of the Alpine Iceman. – Journal of Quaternary Science, 19: 423–430. DOI: 10.1002/jqs.850

### Books:

- EHLERS, J. (1994): Allgemeine und historische Quartärgeologie. – 358 S.; Stuttgart (Enke).

Please do not use abbreviations of the journal names.

## Specimen copies

Authors receive no printed specimen copies. The electronic version is available as download free.

For further questions about the submission of manuscripts please contact the production editor (imprint).

Das Manuskript ist grundsätzlich in elektronischer Form einzureichen und muss mit Namen und Adresse des Erstautoren versehen sein. Bitte benutzen Sie eine Standard-Textverarbeitung im .rtf, .odt oder .doc-Format (LaTeX-Dateien auf Anfrage). Als Zeichensatz verwenden Sie bitte die Standard-Fonts Times Roman, Helvetica oder Courier mit einem 1,5-fachen Zeilenabstand.

Zur Einreichung nutzen Sie bitte unser Online Submission System unter [www.quaternary-science.net](http://www.quaternary-science.net). Nach dem Login steht Ihnen hier eine Upload-Funktion für das Manuskript und die Abbildungs-Dateien zur Verfügung.

## Manuskriptform

Als Publikationssprachen sind Englisch und Deutsch zugelassen. Manuskripte in deutscher Sprache müssen einen englischen Untertitel tragen sowie eine englische Kurzfassung und englische Keywords beinhalten. Für die deutschen Texte gelten die Regeln der neuen Rechtschreibreform.

Die Manuskripte sollen folgendem Aufbau entsprechen:

- I Kurze, aber prägnante Überschrift
- II Ausgeschriebener Vor- und Nachname, Post- und E-Mail-Adresse
- III 5 bis 10 englische Keywords, die den Inhalt des Manuskriptes widerspiegeln.
- IV Deutsche und englische Kurzfassung des Textes mit einer Länge von bis zu 200 Wörtern. Der englische Untertitel des Manuskriptes ist der englischen Kurzfassung in eckigen Klammern voranzustellen.
- V Klar gegliederter Text. Kapitelnummernierungen sind mit arabischen Ziffern zu versehen.
- VI Alphabetisch geordnete Literaturliste. Die Zitierweise muss der unten angegebenen Form entsprechen.

Im fortlaufenden Text sind Literaturhinweise als Kurzzitate einzufügen, der oder die Autorennamen sind in KAPITÄLCHEN-Schrift zu setzen, das Erscheinungsjahr in Klammern, z. B. MÜLLER (2006). Werden von einem Autor mehrere Arbeiten aus einem Jahr zitiert, so sind diese durch Buchstaben zu unterscheiden: MÜLLER (2006a, 2006b). Bei mehr als drei Autoren kann et al. verwendet werden: MÜLLER et al. (2006). Arbeiten mit bis zu drei Autoren werden folgendermaßen zitiert: MÜLLER & MEYER (2006) oder MÜLLER, MEYER & SCHULZ (2006). Sind mit der Zitierung bestimmte Seiten oder Abbildungen gemeint, müssen diese genau angegeben werden: MÜLLER (2006: 14) oder MÜLLER (2006: Fig. 14).

Die wissenschaftlichen Namen von Pflanzen und Tieren (*Gattungen, Untergattungen, Arten, Unterarten*) sind kursiv zu schreiben. Die den biologischen Namen folgenden Autoren werden in KAPITÄLCHEN gesetzt (*Armeria maritima* WILLD.).

Bitte keinen Blocksatz verwenden, sondern linksbündigen Satz.  
Bitte keine automatische Silbentrennung verwenden.

Bitte alle automatischen Formatierungen in Ihrer Textbearbeitung deaktivieren.

Bitte keine Seitenzählung.

Abbildungen, Tabellen und Fotos nicht in den Text einbauen, sondern separat als Datei beifügen. Abbildungsunterschriften in Deutsch und Englisch am Ende des Manuskripttextes platzieren.

## Abbildungen

Bitte fügen Sie jede Abbildung als separate Datei mit einem eindeutigen Namen bei. Alle Grafiken müssen eine Verkleinerung auf Spaltenbreite (= 8,4 cm) oder Satzspiegel (= 17,2 x 26 cm) zulassen. Die Beschriftung muss nach der Verkleinerung noch gut lesbar sein. Sollte eine Legende nötig sein, so binden Sie diese in die Abbildung ein. Bitte vermeiden Sie Haarlinien oder Grauwerte. Alle Abbildungen können farbig sein. Es entstehen keine Mehrkosten.

Für die Drucklegung müssen alle Abbildungen in elektronischer Form eingereicht werden. Bitte verwenden Sie für pixelbasierte Abbildungen (Fotos) das .tif-Format mit einer Auflösung von mindestens 450 dpi und für vektorbasierte Abbildungen (Diagramme, Maps, Tabellen) das .eps-Format. Stark reduzierte .jpg oder .pdf-Dateien sowie in Text-Dokumente eingebundene Abbildungen werden nicht akzeptiert.

## Zitierweise (Beispiele)

### Aufsätze:

SCHWARZBACH, M. (1968): Neue Eiszeithypothesen. – Eiszeitalter und Gegenwart, 19: 250–261.  
EISSMANN, L. & MÜLLER, A. (1979): Leitlinien der Quartär-entwicklung im norddeutschen Tiefland. – Zeitschrift für Geologische Wissenschaften, 7: 451–462.

ZAGWIJN, W.H. (1996): The Cromerian Complex Stage of the Netherlands and correlation with other areas in Europe. – In: TURNER, C. (ed.): The Middle Pleistocene in Europe: 145–172; Rotterdam (Balkema).

MAGNY, M. & HAAS, J.N. (2004): A major widespread climatic change around 5300 cal. yr BP at the time of the Alpine Iceman. – Journal of Quaternary Science, 19: 423–430. DOI: 10.1002/jqs.850

### Monographische Werke, Bücher:

EHLERS, J. (1994): Allgemeine und historische Quartärgeologie. – 358 S.; Stuttgart (Enke).

Bitte keine Abkürzungen der Zeitschriftentitel verwenden.

## Belegexemplare

Es werden keine gedruckten Belegexemplare verschickt. Die elektronische Version steht zum kostenlosen Download zur Verfügung.

Bei weiteren Fragen zur Manuskriteinreichung wenden Sie sich bitte an die technische Redaktion (s. Impressum)

## German Quaternary Association

The German Quaternary Association (DEUQUA) eV is an association of German-speaking Quaternary Scientists. The aim of the association is to promote the Quaternary Science, to represent it in public, to intensify the contact to applied science as well as to advice public and political boards in quaternary issues.

Furthermore, the association has set itself the task of operating the contacts between the Quaternary Scientists and related organizations at home and abroad.

The DEUQUA published annually several editions of "E&G – Quaternary Science Journal". In that journal research results from the field of Quaternary Science are published. In addition, developments in the DEUQUA are announced in the "Geoscience messages" (GMIT). GMIT is published quarterly.

Every two years, the German Quaternary Association held the DEUQUA-Conference. At this conference the latest research results of the Quaternary Science are presented and discussed.

## Committee / Vorstand



### PRESIDENT / PRÄSIDENTIN

MARGOT BÖSE  
Freie Universität Berlin  
Malteserstr. 74-100  
D-12249 Berlin, Germany  
Tel.: +49 [0]30-838-70 37 3  
E-Mail: m.boese [at] fu-berlin.de

### VICE PRESIDENTS / VIZEPRÄSIDENTEN

CHRISTOPH SPÖTL  
Institut für Geologie und Paläontologie  
Universität Innsbruck  
Innrain 52  
A-6020 Innsbruck, Austria  
Tel.: +43 [0]512-507-5593  
Fax: +43 [0]512-507-2914  
E-Mail: christoph.spoetl [at] uibk.ac.at

LUDWIG ZÖLLER  
Fakultät II – Lehrstuhl für Geomorphologie  
Universität Bayreuth  
Universitätsstraße 30  
D-95440 Bayreuth, Germany  
Tel.: +49 [0]921-55 2266  
Fax: +49 [0]921-55 2314  
E-Mail: ludwig.zoeller [at] uni-bayreuth.de

### TREASURER / SCHATZMEISTER

JÖRG ELBRACHT  
Landesamt für Bergbau, Energie und Geologie  
Stilleweg 2  
D-30655 Hannover, Germany  
Tel.: +49 [0]511-643-36 13  
E-Mail: joerg.elbracht [at] lbg.niedersachsen.de

### EDITOR-IN-CHIEF / SCHRIFTLEITUNG (E&G)

HOLGER FREUND  
ICBM – Geoecology  
Carl-von-Ossietzky Universitaet Oldenburg  
Schleusenstr. 1  
D-26382 Wilhelmshaven, Germany  
Tel.: +49 [0]4421-94 42 00  
E-Mail: holger.freund [at] uni-oldenburg.de

### ARCHIVIST / ARCHIVAR

STEFAN WANSA  
Landesamt für Geologie und Bergwesen  
Sachsen-Anhalt  
Postfach 156  
D- 06035 Halle, Germany  
Tel. +49 [0]345-5212-12 7  
E-Mail: wansa [at] lagb.mw.sachsen-anhalt.de

### ADVISORY BOARD / BEIRAT

CHRISTIAN HOSELMANN  
Hessisches Landesamt für Umwelt und Geologie  
Postfach 3209  
D-65022 Wiesbaden, Germany  
Tel.: +49 [0]611-69 39 92 8  
E-Mail: christian.hoselmann [at] hlug.hessen.de

### DANIELA SAUER

Institut für Bodenkunde und Standortslehre  
Universität Hohenheim  
Emil-Wolff-Str. 27  
D-70593 Stuttgart, Germany  
Tel.: +49 [0]711-459-22 93 5  
E-Mail: d-sauer [at] uni-hohenheim.de

### FRANK PREUSSER

Department of Physical Geography and  
Quaternary Geology  
Stockholm University  
10961 Stockholm, Sweden  
Tel. +46 8 674 7590  
E-Mail: frank.preusser@natgeo.su.se

### REINHARD LAMPE

Institut für Geographie und Geologie  
Ernst-Moritz-Arndt-Universität Greifswald  
Friedrich-Ludwig-Jahn-Straße 16  
D-17487 Greifswald, Germany  
Tel.: +49 [0]3834-86-45 21  
E-Mail: lampe [at] uni-greifswald.de

### BIRGIT TERHORST

Geographisches Institut  
Universität Würzburg  
Am Hubland  
D-97074 Würzburg, Germany  
Deutschland  
Tel. +49 [0]931-88 85 58 5  
E-Mail: birgit.terhorst [at] uni-wuerzburg.de

## Deutsche Quartärvereinigung

Die Deutsche Quartärvereinigung (DEUQUA) e.V. ist ein Zusammenschluss deutschsprachiger Quartärwissenschaftler und wurde 1949 gegründet. Der Verein hat zum Ziel, die Quartärwissenschaft zu fördern, sie in der Öffentlichkeit zu vertreten, den Kontakt zu angewandter Wissenschaft zu intensivieren sowie öffentliche und politische Gremien in quartärwissenschaftlichen Fragestellungen zu beraten. Des Weiteren hat der Verein sich zur Aufgabe gemacht, die Kontaktpflege der Quartärforscher untereinander und zu verwandten Organisationen im In- und Ausland zu betreiben.

Die DEUQUA veröffentlicht jährlich mehrere Ausgaben von „E&G – Quaternary Science Journal“. Dort werden Forschungsergebnisse aus dem Bereich der Quartärwissenschaft publiziert. Zusätzlich werden Entwicklungen in der DEUQUA vierteljährlich in den Geowissenschaftlichen Mitteilungen (GMIT) bekannt gemacht.

Im zweijährigen Turnus veranstaltet die Deutsche Quartärvereinigung e.V. die DEUQUA-Tagung. Diese bietet ein Forum, in welchem aktuelle Forschungsergebnisse aus dem Bereich der Quartärwissenschaften vorgestellt und diskutiert werden.

## Reorder / Nachbestellung

Prices are understood plus shipping costs. VAT is included. The complete content is searchable at [www.quaternary-science.net](http://www.quaternary-science.net)

### 1951–2006

Vol. 6–7, 11–17, 19–28, 30–55 each volume 10,- €

2007	Topics	Price
Vol. 56 No 1–2	Special issue: Stratigraphie von Deutschland – Quartär	54,- €
Vol. 56 No 3	Pfälzerwald, pollen types and taxa, Oberösterreich, Riß-Iller, Schatthausen	27,- €
Vol. 56 No 4	Nußloch, Rangsdorfer See, Lieth/Elmshorn, Gardno Endmoräne/Debina Cliff	27,- €

2008	Topics	Price
Vol. 57 No 1–2	Special issue: Recent progress in Quaternary dating methods	54,- €
Vol. 57 No 3–4	Special issue: The Heidelberg Basin Drilling Project	54,- €

2009	Topics	Price
Vol. 58 No 1	Surface Exposure Dating, Bodensee, Living Fossil, Hochgebirgsböden	27,- €
Vol. 58 No 2	Special issue: Changing environments – Yesterday, Today, Tomorrow	27,- €

2010	Topics	Price
Vol. 59 No 1–2	Baltic Sea Coast, Rodderberg Crater, Geiseltal, Wettersteingebirge, Møn, Argentina	54,- €

2011	Topics	Price
Vol. 60 No 1	Special issue: Loess in Europe	27,- €
Vol. 60 No 2–3	Special issue: Glaciations and periglacial features in Central Europe	54,- €
Vol. 60 No 4	Special issue: Quaternary landscape evolution in the Peribaltic region	27,- €

2012	Topics	Price
Vol. 61 No 1	Calcareous Alps Austria, Löss, Holzreste Schweiz, Rinnen-Strukturen, Permafrost carbon	27,- €
Vol. 61 No 2	Rivers, Lakes and Peatlands NE Germany, Lavrado Region Brazil, Terna River Basin India	27,- €

2013	Topics	Price
Vol. 62 No 1	Special issue: Middle to Upper Pleistocene paleosols in Austria	27,- €
Vol. 62 No 2	Special issue: Environment – Man – Geohazards in the Quaternary	27,- €

## Subscription / Abonnement

Title: E&G – Quaternary Science Journal

Print-ISSN: 0424-7116

Issues per volume: 2

### Prices [EUR] print per volume

End customers: 50,46 € (Free for DEUQUA-Members)

Wholesalers, booksellers: 32,80 €

Scientific libraries: 47,94 €

VAT is not included.

### Postage [EUR] per volume

within Germany: 2,50 €

World (Surface): 6,80 €

World (Airmail): 7,70 €

### Special offer

Libraries which subscribe our journal can receive the volumes 1951–2006 for free. Only shipping costs have to be paid.

### Order address

Geozon Science Media

Pettenkoferstr. 16-18

10247 Berlin

Germany

tel.: +49 (0)30-20 23 83 19-0

fax: +49 (0)30-20 23 83 19-9

e-mail: info (at) geozon.net

web: www.geozon.net

## Contents

DOI 10.3285/eg.63.1.01

- 3 **Climato-stratigraphic subdivision of the Pleistocene in Schleswig-Holstein, Germany and adjoining areas – status and problems**  
*Hans-Jürgen Stephan*

DOI 10.3285/eg.63.1.02

- 19 **Erwägungen zur Korrelation mittelpleistozäner Relikte des Rheingletschers mit der Nord-schweizer Stratigraphie**  
*Oskar Keller*

DOI 10.3285/eg.63.1.03

- 44 **Ice-Rafted Erratics and Bergmounds from Pleistocene Outburst Floods, Rattlesnake Mountain, Washington, USA**  
*Bruce N. Bjornstad*

DOI 10.3285/eg.63.1.04

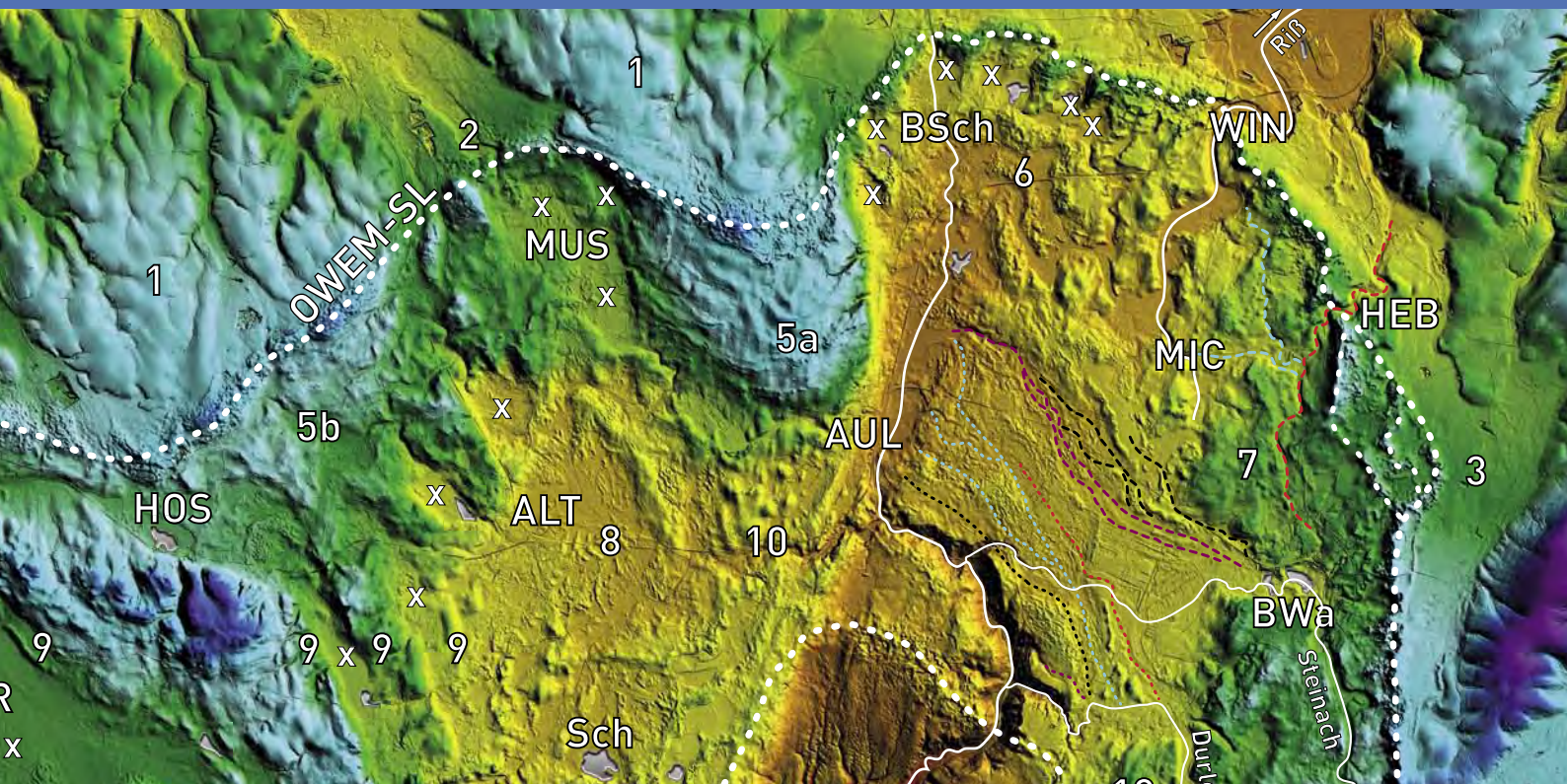
- 60 **Driving mechanisms of Holocene lagoon development and barrier accretion in Northern Elis, Peloponnese, inferred from the sedimentary record of the Kotychi Lagoon**  
*Elke Haenssler, Ingmar Unkel, Walter Dörfler, Marie-Josée Nadeau*

DOI 10.3285/eg.63.1.05

- 78 **Holotype skulls, stratigraphy, bone taphonomy and excavation history in the Zoolithen Cave and new theory about Esper's "great deluge"**  
*Cajus Diedrich*

# E&G

Eiszeitalter und Gegenwart  
Quaternary Science Journal



Vol. 63  
No 2  
2014

POTENTIAL OF A HIGH-RESOLUTION DTM WITH LARGE SPATIAL COVERAGE FOR  
VISUALIZATION, IDENTIFICATION AND INTERPRETATION OF YOUNG [WÜRMIAN]  
GLACIAL GEOMORPHOLOGY, OBERSCHWABEN [Germany]

DIE SPÄTGLAZIALE VEGETATIONSGESCHICHTE IM OBEREN ILLERGEBIET, ALLGÄU/  
BAYERN [Germany]

# E&G

## Eiszeitalter und Gegenwart Quaternary Science Journal

Volume 63 / Number 2 / 2014 / DOI: 10.3285/eg.63.2 / ISSN 0424-7116 / www.quaternary-science.net / Founded in 1951

### EDITOR

DEUQUA  
Deutsche Quartärvereinigung e.V.  
Office  
Stilleweg 2  
D-30655 Hannover  
Germany  
Tel: +49 (0)511-643 36 13  
E-Mail: info [at] deuqua.de  
www.deuqua.org

### PRODUCTION EDITOR

SABINE HELMS  
Geozon Science Media  
Pettenkoferstr. 16-18  
D-10247 Berlin  
Germany  
Tel. +49 (0)30-20 23 83 19 0  
E-Mail: helms [at] geozon.net  
www.geozon.net

### EDITOR-IN-CHIEF

HOLGER FREUND  
ICBM – Geoeontology  
Carl-von-Ossietzky Universität Oldenburg  
Schleusenstr. 1  
D-26382 Wilhelmshaven  
Germany  
Tel.: +49 (0)4421-94 42 00  
Fax: +49 (0)4421-94 42 99  
E-Mail: holger.freund [at] uni-oldenburg.de

### ASSOCIATE EDITORS

PIERRE ANTOINE, Laboratoire de Géographie Physique, Université Paris i Panthéon-Sorbonne, France  
JÜRGEN EHLERS, Wittenberg, Germany  
MARKUS FUCHS, Department of Geography, Justus-Liebig-University Giessen, Germany  
RALF-DIETRICH KAHLKE, Senckenberg Research Institute, Research Station of Quaternary Palaeontology Weimar, Germany  
THOMAS LITT, Steinmann-Institute of Geology, Mineralogy and Paleontology, University of Bonn, Germany  
LESZEK MARKS, Institute of Geology, University of Warsaw, Poland  
HENK J. T. WEERTS, Physical Geography Group, Cultural Heritage Agency Amersfoort, The Netherlands

### FORMER EDITORS-IN-CHIEF

PAUL WOLDSTEDT (1951–1966)  
MARTIN SCHWARZBACH (1963–1966)  
ERNST SCHÖNHALS (1968–1978)  
REINHOLD HUCKRIEDE (1968–1978)  
HANS DIETRICH LANG (1980–1990)  
JOSEF KLOSTERMANN (1991–1999)  
WOLFGANG SCHIRMER (2000)  
ERNST BRUNOTTE (2001–2005)

### ADVISORY EDITORIAL BOARD

FLAVIO ANSELMETTI, Department of Surface Waters, Eawag (Swiss Federal Institute of Aquatic Science & Technology), Dübendorf, Switzerland  
KARL-ERNST BEHRE, Lower Saxonian Institute of Historical Coastal Research, Wilhelmshaven, Germany  
PHILIP GIBBARD, Department of Geography, University of Cambridge, Great Britain  
VOLLI E. KALM, Institute of Ecology and Earth Sciences, University of Tartu, Estonia  
CESARE RAVAZZI, Institute for the Dynamics of Environmental Processes, National Research Council of Italy, Italy  
JAMES ROSE, Department of Geography, Royal Holloway University of London, Great Britain  
CHRISTIAN SCHLÜCHTER, Institute of Geological Sciences, University of Bern, Switzerland  
DIRK VAN HUSEN, Altmünster, Austria  
JEF VANDENBERGHE, Faculty of Earth and Life Sciences, VU University Amsterdam, The Netherlands  
ANDREAS VÖTT, Institute of Geography, Johannes Gutenberg-Universität Mainz, Germany

### AIMS & SCOPE

The *Quaternary Science Journal* publishes original articles of quaternary geology, geography, palaeontology, soil science, archaeology, climatology etc.; special issues with main topics and articles of lectures of several scientific events.

### MANUSCRIPT SUBMISSION

Please upload your manuscript at the online submission system at our journal site [www.quaternary-science.net](http://www.quaternary-science.net). Please note the instructions for authors before.

### FREQUENCY

2 numbers per year

### SUBSCRIPTION

Free for DEUQUA-Members! Prices for standing order: single number 27,- Euro; double number 54,- Euro; plus shipping costs. We offer discounts for libraries and bookstores. Please subscribe to the journal at the publisher *Geozon Science Media*.

### JOURNAL EXCHANGE

If you are interested in exchange your journal with the *Quaternary Science Journal*, please contact: Universitätsbibliothek Halle Tauschstelle, Frau Winther August-Bebel-Straße 13 06108 Halle (Saale), Germany

### PRINT

Printed in Germany on 100% recycled paper climate neutral produced



### COVER FIGURE

Ice wastage deposits produced between the outer and the inner Würmian (Fig. p. 115)

### RIGHTS

Copyright for articles by the authors

### LICENSE

Distributed under a Creative Commons Attribution License 3.0 <http://creativecommons.org/licenses/by/3.0/>



# Potential of a high-resolution DTM with large spatial coverage for visualization, identification and interpretation of young (Würmian) glacial geomorphology

a case study from Oberschwaben [southern Germany]

Elena Beckenbach, Thomas Müller, Hartmut Seyfried, Theo Simon

**How to cite:**

BECKENBACH, E., MÜLLER, TH., SEYFRIED, H. & SIMON, Th. (2014): Potential of a high-resolution DTM with large spatial coverage for visualization, identification and interpretation of young (Würmian) glacial geomorphology – a case study from Oberschwaben (southern Germany). – E&G Quaternary Science Journal, 63 (2): 107–129. DOI: 10.3285/eg.63.2.01

**Abstract:**

The German state of Baden-Württemberg has created a LiDAR-based digital terrain model (DTM) covering 36000 km<sup>2</sup> with a horizontal and vertical precision of 1 m and 0.15 m, respectively. This model is ideally suited for systematic geomorphological analyses as it is extremely accurate and allows reliable large-distance correlation of geological and geomorphological phenomena. Until recently, no available software could handle this amount of data in real time. One of us (T.M.) has developed a software (TerrainView) which allows the visualization of and navigation within the entire data set in nine levels of detail (in ortho and perspective view), while simultaneously offering effective tools for geomorphological and morphometric analyses. We present our first geomorphological studies based on this data set focussing on late Pleistocene glacial and proglacial/periglacial landforms in the Lake Constance/Oberschwaben area in southern Baden-Württemberg. In our study area we could identify and map a large variety of phenomena related to the last (Würmian) glaciation, including: subglacial basins with a wide variety of dimensions, outwash plains, moraines (end moraines, fragmentary moraines, kettled and hummocky moraines, micromoraines), subglacial and ice-marginal meltwater channels, eskers, drumlins and recessional terraces. Some of these features have been reported previously in literature, but others have not (or only partly) been recognized as such. Micromoraines might turn out an emerging new category of glacial features which typically are discovered at first in the DEM and subsequently verified in the field. The advantage of a geomorphological interpretation on the basis of a high-resolution DTM with large spatial coverage lies in the accurate identification of glacial and post-glacial morphological features and their correlation across large areas.

**Visualisierung und Erkennung junger (würmeiszeitlicher) glazialer Landformen im großflächigen, hochauflösenden DGM: eine Fallstudie aus Oberschwaben [Süddeutschland]****Kurzfassung:**

Das Land Baden-Württemberg verfügt über ein flächendeckendes digitales Geländemodell (DGM) auf der Grundlage von LiDAR-Daten mit einer Genauigkeit von 1 m in der Horizontalen, 0,15 m in der Vertikalen und einem Gesamtumfang von 1 TB (\*.txt). Dieses Modell ist für systematische geomorphologische Analysen hervorragend geeignet, doch scheiterte seine integrale Nutzung bisher an der Leistungsfähigkeit der verfügbaren Software, die ab Datenmengen von 50 GB stark abfällt. T. Müller hat eine Software entwickelt (TerrainView), die es ermöglicht, im gesamten Datensatz beliebig zu navigieren und Szenen in neun Auflösungsstufen verzögerungsfrei als Ortho- und Perspektivansicht zu visualisieren; geomorphologische und morphometrische Analysen können simultan durchgeführt werden. Wir stellen in dieser Studie erste Ergebnisse zu eiszeitlich überprägten Geländeformen im Raum Oberschwaben vor. Besonders im Verbreitungsgebiet des würmeiszeitlichen Rheingletschers ist es im DGM möglich, zahlreiche Ablagerungsformen zu identifizieren, mit hoher Präzision zu kartieren und teilweise auch geologisch zu interpretieren. Dazu gehören Zungenbecken verschiedenster Dimension, Aufschotterungsebenen, Endmoränen und Teilmoränen der Rückschmelzstadien in unterschiedlichem Erhaltungszustand, Mikromoränen, Esker, subglaziale und eisrandparallele Täler, Drumlins und Terrassenschachteln spät- bis postglazialer Flusssysteme. Manche dieser Erscheinungen sind aus der Literatur bekannt, doch ergeben sich durch die Möglichkeit, über große Entfernung zu korrelieren, teilweise völlig neue Perspektiven in der geologischen Erkundung glazialer, periglazialer und postglazialer Landformen. Einige Phänomene wie zum Beispiel Mikromoränen konnten überhaupt erst im DGM als solche erkannt und dann nachträglich im Gelände verifiziert werden.

**Keywords:**

airborne LiDAR, high-resolution DTM, Würmian, glaciation, glacial landforms, Rhine glacier

**Addresses of authors:** Elena Beckenbach, Institut für Planetologie, Universität Stuttgart, Herdweg 51, 70174 Stuttgart, E-Mail: elena.beckenbach@ip.uni-stuttgart.de; Thomas Müller, Visualisierungsinstitut der Universität Stuttgart, Allmandring 19, 70569 Stuttgart, E-Mail: thomas.mueller@vis.uni-stuttgart.de; Hartmut Seyfried, Institut für Planetologie, Universität Stuttgart, Herdweg 51, 70174 Stuttgart, E-Mail: hartmut.seyfried@ip.uni-stuttgart.de; Theo Simon, Gehrenhalde 42, 74427 Fichtenberg, E-Mail: simon-fichtenberg@gmx.de

## 1 Introduction

The LiDAR-based digital terrain model (DTM) of Baden-Württemberg (“Geobasisdatenmodell”<sup>1</sup>, provided by Landesamt für Geoinformation und Landentwicklung (LGL, Stuttgart) has a resolution of 1 m in horizontal and 0.15 m in vertical direction covering 36000 km<sup>2</sup>. This model is ideally suited for systematic geomorphological analyses as it is extremely accurate and allows reliable large-distance correlation of geological and geomorphological phenomena.

Comparable data sets are offered by a growing number of institutions. EVANS (2012: 96) provides a selective overview of nationwide laser-based DEMs: 1 m resolution for parts of Austria; 2 to 5 m resolution for Belgium, the Netherlands and Alberta. LiDAR-based nationwide DTMs are offered by the National Land Survey of Finland (2x2 m grid, 14 cm vertical ground resolution; SUTINEN, HYVÖNEN & KUKKONEN 2013) and by the Geological Survey of Switzerland (swissALTI3D). Due to large differences in altitude, the DTM of Switzerland is based on a combination of LiDAR data, aerial photographs and stereo-correlation resulting in non-uniform resolution depending on the altitude (<2000 m: resolution 50 cm; >2000 m: resolution 1 to 3 m; WIEDERKEHR & MÖRI 2013). Most of the German states offer LiDAR-based DEMs with up to 1 m grids ([www.geodatenzentrum.de/iso/info/iso\\_rahmen.iso\\_div](http://www.geodatenzentrum.de/iso/info/iso_rahmen.iso_div)).

Geologic field work supported by high-resolution ( $\leq 1$  m) large-area ( $>10000$  km<sup>2</sup>) digital geomorphological exploration may benefit from this development but until now data processing and handling is slowed down or made impossible by the capacity of the currently available software. The main requirement for a software to cross this gap is instant processing of all types of visualization and morphometric analysis on all scales desired. An optimal working base would be a) a high-resolution DTM created from remote sensing procedures to identify a large range of phenomena, and b) a large area to follow these features tracing their real geological distribution.

To meet this requirement we developed TerrainView, a software designed to cope with the huge dataset covered by the LiDAR-based DTM of the state of Baden-Württemberg in south-western Germany. This study offers the results from a first test for geomorphic applications using glacial and proglacial/periglacial landforms produced during and after the Last Glacial Maximum (Würmian glaciation). In the process we discovered that in the special case of Würmian glacial phenomena the combination of high resolution and large area results in three advantages: 1) digital geomorphological mapping is at least as accurate as (and in some cases even surpasses) traditional field-based geomorphological mapping; 2) it is extremely fast, reliable and needs considerably

less ground checks; 3) in the Oberschwaben area it allows recognition of additional glaciogenic phenomena hitherto not described in literature.

In the following we provide a brief description of the working features of TerrainView and present a state-of-the-art overview of the landforms related to the last glaciation in Baden-Württemberg. The potential offered by TerrainView is then explored in a series of case studies covering known features related to the Würmian glaciation as well as some new phenomena recognized from scrutinizing the DTM.

## 2 Data source and software development

The digital terrain model of Baden-Württemberg (“Geobasisdatenmodell”) is based on airborne LiDAR data and delivered as 1001 x 1001 m<sup>2</sup> tiles consisting of Gauss-Krüger coordinates and height values stored in text format (\*.1m), where each data entry (easting, northing, height) covers 26 characters (26 Bytes). The complete dataset with 37676 tiles needs about 1 TB of disk space.

Commercial tools for DEM processing (e.g. ArcGIS, Rivertools, SCOP++) are able to handle only a limited subset of the dataset at once (roughly up to about 50 GB). For larger datasets, the performance decreases dramatically. Hence, interactive explorations and morphological studies for large areas, where the complete dataset must be available to ensure detailed height information throughout, become cumbersome.

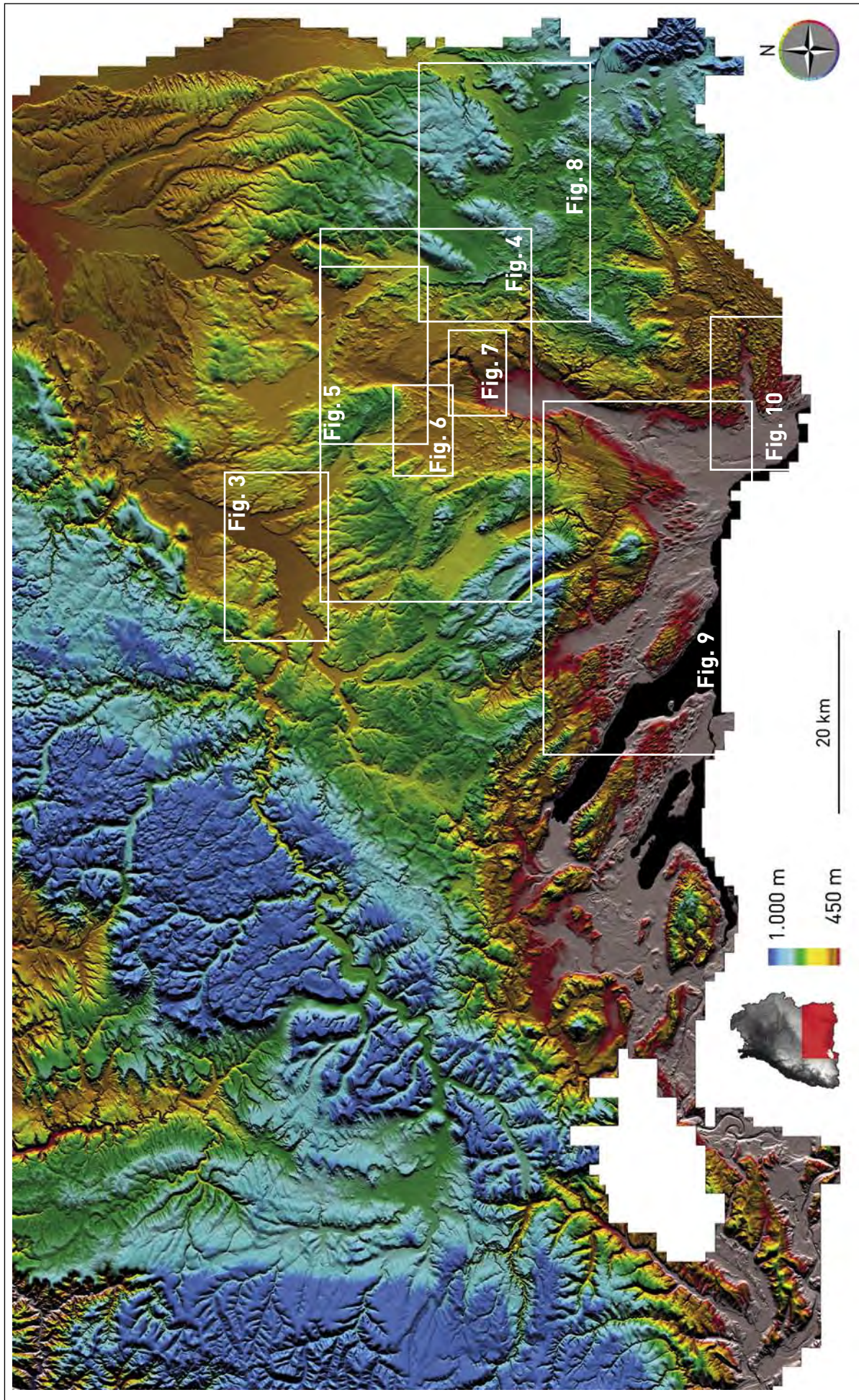
For this reason we developed ‘TerrainView’ – an Open Graphics Library (OpenGL)-based platform for visualizing DTMs in orthographic and perspective projection with interactive navigation on large datasets and special tools for geomorphological analysis (<http://go.visus.uni-stuttgart.de/terrainview>). The key concept to master the huge dataset is to reformat it into a quadtree data structure with nine levels of detail (LOD) that decomposes the spatial domain recursively into uniform quads (tiles). Each quad has the same pixel resolution but a different pixel-size depending on the level of detail (LOD). The user can navigate among these levels of detail without delay. Memory usage is minimized as only these tiles that are currently visible and those that will become visible next are effectively loaded. This dynamic loading is thread-based to prevent jerking while navigating. Levels of detail are as follows: LOD 0: 256 m/pixel; LOD 1: 128 m/pixel; LOD 2: 64 m/pixel; LOD 3: 32 m/pixel; LOD 4: 16 m/pixel; LOD 5: 8 m/pixel; LOD 6: 4 m/pixel; LOD 7: 2 m/pixel; LOD 8: 1 m/pixel.

Reformatting into a quadtree data structure has to be done only once in a pre-processing step. We first set the base length of each tile to be 1024 x 1024 pixels. The root tile of the quadtree (LOD 0) encompasses the entire area of Baden-Württemberg (resolution: 256 m/pixel). The quadtree is built top-down; at level 8, each height value of the raw dataset

<sup>1</sup> [http://www.lgl-bw.de/lgl-internet/opencms/de/07\\_Produkte\\_und\\_Dienstleistungen/Geodaten/](http://www.lgl-bw.de/lgl-internet/opencms/de/07_Produkte_und_Dienstleistungen/Geodaten/); accessed 24.03.2014

Fig. 1: Z-code coloured shaded relief of the study area. Geographic information and outlines of prominent glaciogenic features are compiled in complementary Fig. 2. White rectangles: positions of case studies areas. Black area: Lake Constance. Inset lower left: position in Germany and in Baden-Württemberg. Orthoview; illumination: 90/33; vertical exaggeration: x 4; pixel size: 64 m.

Abb. 1: Farbhöhen codiertes Schummerungsmodell des Untersuchungsgebietes. Geographische Orientierungsmerkmale und die wichtigsten glaziogenen Strukturen sind in der komplementären Abb. 2 zusammengefasst. Weiße Rechtecke: Lage der nachfolgenden Abbildungen. Schwarz: Teile des Bodensees. Lage in Deutschland und Baden-Württemberg: siehe Übersicht unten links; Farbhöhen codierung: unten Mitte; Orthoprojektion; Beleuchtung: 90/33; vertikale Überhöhung: x 4; Pixelgröße: 64 m.



with corresponding easting-northing coordinates must be inserted into the correct tile. As this coordinate pair can be reconstructed from the quadtree structure, it is only necessary to store the height value. We use single precision floating point numbers (4 Byte) for the height value reducing the size of the dataset to about a sixth. Each lower level of the quadtree follows from the higher level by integrating 4 neighbouring height values until ending up at the root level. Despite an overhead through storing lower resolutions the entire dataset finally reduced to 189 GB in binary format.

Terrain visualization in orthographic and perspective projection is realized directly on the graphics board using OpenGL<sup>2</sup> shading language (GLSL). Colour coding, relief shading and other visualization features are calculated at interactive frame rates without any additional preprocessing steps. Light direction and vertical exaggeration can be instantly adapted to produce optimal shading and relief effects. Gradients are available in normal and inverse mode and can be exaggerated to enhance steepness; contours can be spaced on individual criteria and draped as overlays on all types of view. Morphometric data (longitudinal sections, cross-sections) can be derived placing polygons and/or serial sections.

TerrainView is based on Qt<sup>3</sup> and thus is platform-independent. All parameters of a chosen scene can be saved as Qt scripts for rapid reproducibility; all types of views can be exported as high resolution PNG images.

### 3 Outline of glaciations and glacial landforms in Baden-Württemberg

In Baden-Württemberg the Lake Constance/Oberschwaben region is particularly well suited for testing the visualization and mapping potential of Pleistocene landforms in a large

<sup>2</sup> <http://www.opengl.org/>; accessed 24.03.2014

<sup>3</sup> <http://qt-project.org/>; accessed 24.03.2014

DTM. Pleistocene landforms have been overprinted by advances of the Alpine Rhine glacier into the foreland. According to ELLWANGER et al. (2011b) the earliest glaciations occurred during the Middle Pleistocene (Hoßkirch glaciation, Riß glaciation). They extended far beyond the borders of the late Pleistocene (Würmian) Rhine glacier (ELLWANGER et al. 2011b, fig. 1). The Würmian glaciation episode (Birrfeld glaciation in Switzerland; GRAF 2009, KELLER & KRAYSS 2010), originally defined by PENCK & BRÜCKNER (1909), lasted from 115 ka to 11.6 ka (MENNING & DSK 2002, LITT et al. 2005) and consisted of three pulses of glacier advance centred around 105, 65, and 25 ka (PREUSSER et al. 2011). The last advance was strongest producing an ice sheet extending more than 60 km into the north Alpine foreland (EHLERS & GIBBARD 2004). According to PREUSSER et al. (2011) in the area of the present study the ice cover lasted from 26 to 17.5 ka. In Bavaria, piedmont glaciers had vanished around 16 to 15 ka (REUTHER et al. 2011). We present our first geomorphic studies based on the “Geobasisdaten” set focussing on Würmian glacial (HABBE et al. 2007) and proglacial/periglacial (FRENCH 2007) phenomena as only these youngest features are clearly recognizable in the DTM. With few exceptions (see chapters 4.1 and 4.8), morphologic features from older glaciations cannot be recognized in the model.

In the north Alpine foreland a comprehensive study by SALCHER, HINSCH & WAGREICH (2010) analysed glacial landforms based on LiDAR imagery in an area of 15 x 10 km corresponding to the frontal parts of the latest Pleistocene (Würmian) Salzach glacier 20 km north of Salzburg (Austria). According to these authors glacial landforms recognizable in a high-resolution DTM comprise the following phenomena: subglacial basins, outwash plains, continuous moraines, fragmentary recessional moraines, kettled and hummocky moraines, eskers, kames, kame terraces, subglacial channels, drumlins, and recessional terraces. In the following, usage of these terms is based on definitions present-

Fig. 2: Shaded relief of same scene as in Fig. 1 with geographic information and outlines or locations of prominent glaciogenic features. Inset lower left: position within Baden-Württemberg. Light blue: Lake Constance. Numbering follows palaeogeographic belts from distal to proximal (North to South) and internally from West to East.

**Moraines:** Dotted yellow lines: end moraines clearly discernible in DTM. REM: relic of Riß end moraine; OWEM: outer Würmian end moraine. BiBi: Binzen bifurcation, overlap of the northern Schussen lobe (OWEM-SL) on the eastern Leutkirch lobe (OWEM-LL) of the Rhine glacier shows that the Schussen lobe persisted longer than the Leutkirch lobe; IWEM: inner Würmian end moraine; KS (“Konstanzer Stadium“): last stationary episode during glacial retreat marked by erosional features or fragmentary moraines.

**Subglacial basins and outwash plains:** Riedlingen plain (1), Federsee plain (2), Laupheim plain (3), Wurzacher Ried (4), Bibertal (5), Pfrunger Ried (6), Altsachsen basin (7), Upper Schussen basin (8), Aach plain (9), Zeller See (10), Überlinger See (11), Salem valley (12), Föhrenried (14), Lower Schussen basin (15).

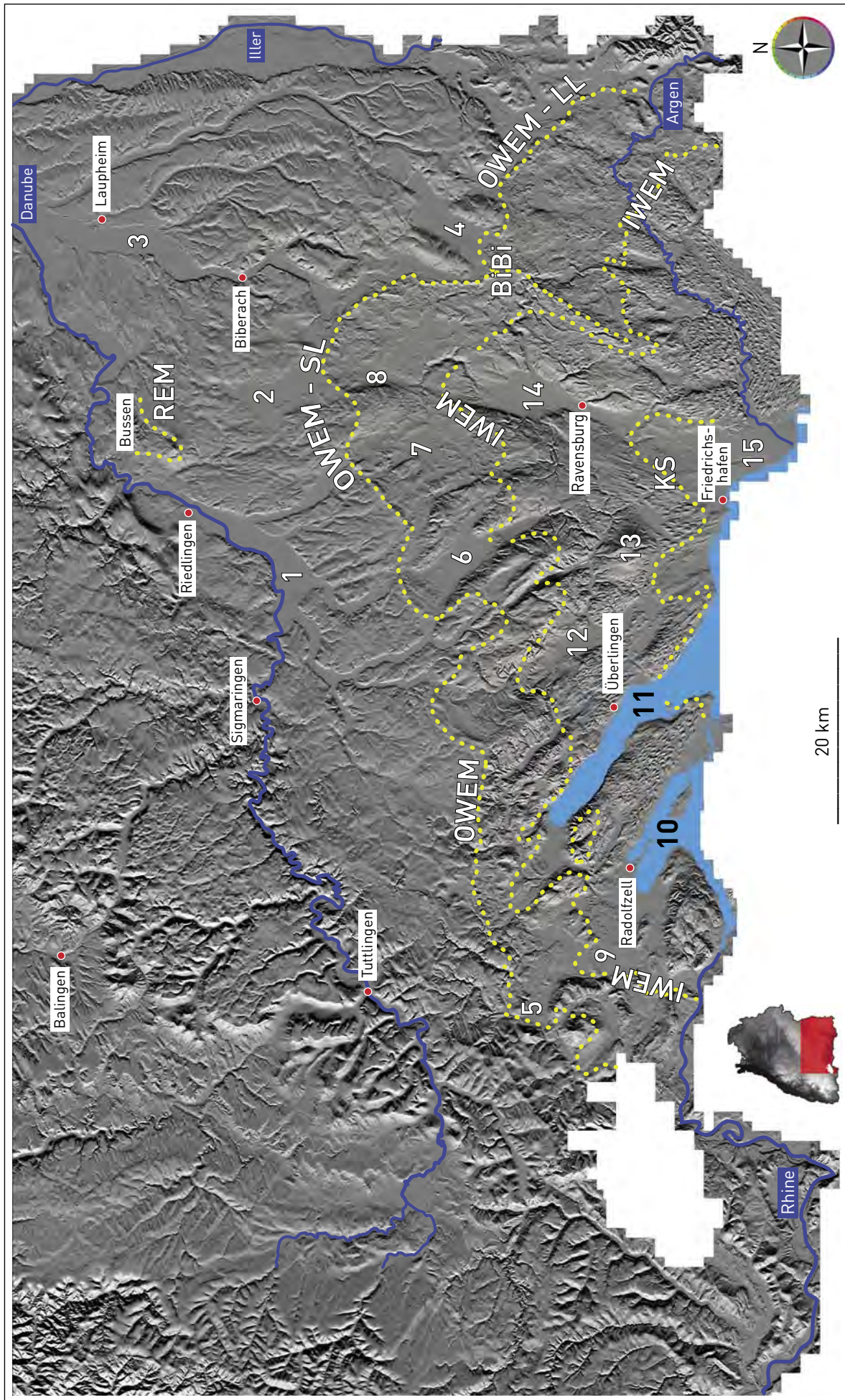
**Drumlins and other glacial to periglacial features:** The area between the inner Würmian end moraine (IWEM) and the “Konstanzer Stadium” (KS) is a domain of radially elongated high-convexity drumlins locally (west of Ravensburg) grading into low-convexity equivalents. The Gehrenberg hill (13) is an abraded buttress of late Miocene Upper Freshwater Molasse rocks. Recessional terraces are best preserved in the Lower Argen Valley.

Abb. 2: Schummerungsmodell derselben Szene wie in Abb. 1 mit geographischen Orientierungsmerkmalen und wichtigen glaziogenen Strukturen. Lage in Baden-Württemberg: siehe Übersicht unten links. Hellblau: Teile des Bodensees. Die Nummerierung folgt den paläogeographischen Gürteln von distal zu proximal (Nord nach Süd) und innerhalb dieser Gürtel von West nach Ost. In diesem Maßstab sind folgende glaziale Landschaftsformen deutlich zu erkennen:

**Moränen:** Endmoränen (gelbe punktierte Linien): Rißendmoräne (REM); Äußere Würmendmoräne (OWEM); Bifurkation von Binzen (BiBi): der Überschneidungskontakt zwischen der Endmoräne des nördlichen Schussen-Lobus (OWEM-SL) und dem östlichen Leutkirch-Lobus (OWEM-LL) belegt, dass der Schussen-Lobus länger aktiv war als der Leutkirch-Lobus; Innere Würmendmoräne (IWEM); Endmoräne des „Konstanzer Stadiums“ (KS).

**Subglaziale Becken und Schotterebenen:** Riedlinger Ebene (1), Federsee-Ebene (2), Laupheimer Ebene (3), Wurzacher Ried (4), Bibertal (5), Pfrunger Ried (6), Altsachsenere Becken (7), Oberes Schussenbecken (8), Aach-Ebene (9), Zeller See (10), Überlinger See (11), Salemer Tal (12), Föhrenried (14), Unteres Schussenbecken (15).

**Drumlins und weitere glaziale bis periglaziale Strukturen:** Der Raum zwischen der Inneren Würmendmoräne (IWEM) und der Endmoräne des „Konstanzer Stadiums“ (KS) zeigt radial ausgerichtete, vorwiegend hochkonvexe Drumlins, die lokal (westlich von Ravensburg) in flache, stark ausgelängte Drumlins übergehen. Der Gehrenberg (13) ist ein vom Gletscher überschliffener Ausbiss von spätmiocäner Oberer Süßwassermolasse. Spätglaziale Terrassenschachteln sind im unteren Argental sehr gut erhalten.



ed by BRODZIKOWSKI & VAN LOON (1991), SCHAEFER (1995), MENZIES (1996), EHLERS (1996) and BENN & EVANS (1998). In comparison to DTMs, conventional topographic maps do not provide sufficient information to identify such features without ground check.

However, after more than a century of research the distribution of most of these units is well known from geological mapping although there has been a certain tendency to highlight moraines, drumlins, and outwash plains over other glacial phenomena. For the area of south-western Germany and adjoining areas PENCK & BRÜCKNER (1909), HANTKE (1978, 1980), SCHREINER (1974, 1992a, 1992b), ELLWANGER et al. (1995), JERZ (1995), SCHAEFER (1995), EBERLE et al. (2007), ZAUGG et al. (2008), DOPPLER et al. (2011), ELLWANGER et al. (2011a, 2011b), HANTKE (2011), PREUSSER et al. (2011) and VAN HUSEN & REITNER (2011) have presented contemporary state-of-the-art compilations. Information on the extent and amount of the glaciation of Switzerland during the Last Glacial Maximum is provided in great detail by the map published by BINI et al. (2009), which also covers adjacent areas in south-western Germany. Similar maps exist for the reconstruction of the ice surface geometry and flowlines in the Central Swiss Alps (FLORINETH & SCHLÜCHTER 1998) and for the Eastern Alps during the last glaciation (VAN HUSEN 1987, DE GRAAFF, DE JONG & SEIJMONSBERGEN 2007, RUPP, LINNER & MANDL 2011).

General information on the study area is condensed in Figs. 1 and 2. Fig. 1 gives an overview in coloured shaded relief while Fig. 2 provides corresponding geographic data and the outlines of major late Pleistocene landform units on the background of a grey shaded relief map. In the following, a series of case studies demonstrates the potential of high-resolution digital mapping.

#### 4 Case studies of Würmian glacial landforms identified from the DTM

The wealth of observations on Würmian glacial landforms is such that neither a systematic nor a thematic approach is apt for presentation in an overview. We therefore decided to show our results in nine case studies highlighting important features. Thus, the order of subchapters tracks a path through the DTM starting in the North and ending in the South. For a geographical overview and positions of case studies see Fig. 1.

*Fig. 3: South-western part of the Danubian meander plain upstream of Riedlingen (for position, see # 1 in Fig. 2). During initial ice retreat valley filling was dominated through braided outwash (1) from the Andelsbach (2), Ostrach (3), Wagenhauser Bach (4) and Schwarzach (5) valleys which today are only occupied by small rivulets. After ice retreat behind the drainage divide Danube/Rhine the Danube started to rework the northern part of the alluvium through randomly migrating point bars (6). The change in sedimentary regime is a result of the lower gradient and discharge of the Danube. Blue line: present course of the Danube; ERT: Ertingen; HER: Herbertingen; HOH: Hohentengen; MEN: Mengen; SCH: Scheer; Relic Drumlin: relics of drumlins from the previous (Riß) glaciation smoothed by multiple solifluction processes. Orthoview; illumination: 135/35; vertical exaggeration: x 10; pixel size: 8 m.*

*Abb. 3: Südwestlicher Teil der Schwemmebene der Donau (blau) flussaufwärts von Riedlingen (zur Lage siehe #1 in Abb. 2). Während des beginnenden Abschmelzprozesses dominierte ein verflochtenes Flusssystem (1), gespeist vom Andelsbach (2), der Ostrach (3), dem Wagenhauser Bach (4) und der Schwarzach (5), die heute nur noch kleine Bäche sind. Nachdem die Eisfront nach Süden hinter die Wasserscheide Donau/Rhein zurückwich, begann die Donau, den nördlichen Teil der Schwemmebene mit einem System von Mäanderschlingen umzugestalten (6). Der Wechsel im sedimentären Regime ist eine Folge des vermindernten Gradienten und der geringeren Abflussmenge. ERT: Ertingen; HER: Herbertingen; HOH: Hohentengen; MEN: Mengen; SCH: Scheer; Relic Drumlin: Relikte von Drumlins aus der älteren Riß-Vergletscherung, die durch mehrfache Solifluktionsprozesse morphologisch degradiert sind. Orthoprojektion; Beleuchtung: 135/35; vertikale Überhöhung: x 10; Pixelgröße: 8 m.*

#### 4.1 Continuous major moraines

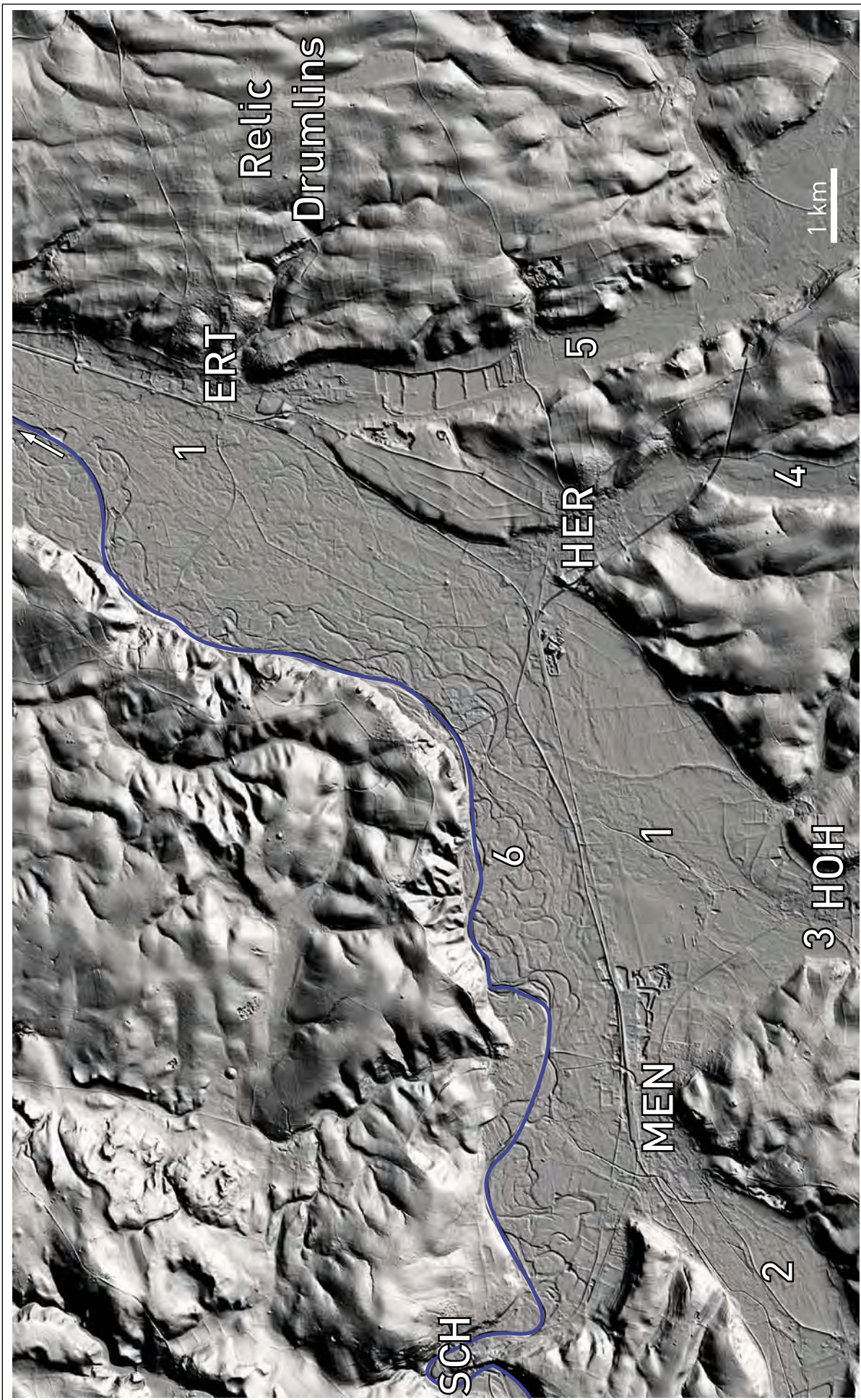
Continuous end moraines are well defined from geological mapping on scale 1:25000. The oldest end moraines (Riß glaciation and older) cannot unambiguously be identified in the DTM (with the exception of a Rissian end moraine relic flanking the Bussen hill near Riedlingen labelled "REM" in Fig. 2). In contrast, moraines corresponding to the Last Glacial Maximum (outer Würmian end moraine, label OWEM in Fig. 2) can be recognized and mapped in detail, especially in the north-eastern sector of the study area. Accuracy of delineation equals or surpasses geological mapping on the scale of 1:25000. In the western part of the study area end moraines are less well preserved but still can be traced throughout the DTM. The same applies for the inner Würmian end moraine (label IWEM in Fig. 2). Supposedly this difference in preservation is a result from steeper gradients at the outer margins of subglacial branch basins (compare Fig. 1).

The outer Würmian end moraine possesses a conspicuous bifurcation located at the hamlet of Binzen (BiBi in Fig. 2). There, the outer Würmian end moraine of the northern Schussen lobe (label OWEM-SL in Fig. 2) of the Rhine glacier crosscuts the end moraine of the eastern Leutkirch lobe (label OWEM-LL in Fig. 2) thus indicating a longer ice activity of the northern Schussen lobe (OWEM-SL); details are explained in Fig. 8.

Prior to final glacier retreat into the main Lake Constance tongue basin a short-term stationary episode ("Konstanzer Stadium" sensu SCHREINER 1974; label KS in Fig. 2) produced erosional scarps. These can be traced throughout the DTM as a boundary between well-preserved (north of KS line) and partly truncated (south of KS line) drumlins. In the area of the Lower Schussen basin (# 15 in Fig. 2) erosional scarps are substituted by moraines (for details, see Fig. 9).

#### 4.2 Subglacial basins and related outwash plains

In the DTM we observe four km-sized plains outside the outer Würmian end moraine. The plains of Riedlingen, Federsee, Laupheim, and Wurzacher Ried (# 1, 2, 3, 4 in Fig. 2) show well preserved relics of braided stream deposits. SCHREINER (1992b) and ELLWANGER et al. (2011b) considered them late (Würmian) outwash plains resting on older (Rissian) subglacial basins fed from outlets initially starting at the northern tips of local lobes of the glacier producing the outer Würmian end moraine. Consequently, they rest upon older (Rissian



or even older) outwash plain deposits which in turn already have been filling up ancient subglacial basins excavated as far North as Laupheim. Once Würmian ice had retreated behind the drainage divide Danube/Rhine runoff on outwash plains outside the outer Würmian end moraine (# 1, 2, 4 in Fig. 2) dwindled to the size of rivulets. In some basins, such as the Riedlingen basin (# 1 in Fig. 2), in the DTM it is possible to differentiate between remnants of the braided proglacial system and a Holocene meandering fluvial pattern (Fig. 3). As a consequence of its lower gradient the Danube reworked the northern part of the alluvium through randomly migrating point bars.

Inside the outer Würmian end moraine the DTM shows several radially oriented branch basins developed at different altitudes (# 5 to 12, 14 and 15 in Fig. 2). The branching arrangement of basins has been outlined by ELLWANGER et al. (2011a, 2011b). Fig. 2 shows that these basins shallow towards the perimeter of glaciation; extension is slightly inferior to the plains located outside the outer Würmian end moraine. Just inside the outer Würmian end moraine of the Schussen lobe (label OWEM-SL in Fig. 2) a series of kilometre-sized elliptical troughs are the smallest basins found in the study area; details are shown in Figs. 4 and 5 ("x" marks). Outwash plains # 5, 6, 12, and 14 show undercutting of former slightly

*Fig. 4: Ice wastage deposits produced between the outer and the inner Würmian end moraine during glacial retreat of the Schussen lobe of the Rhine glacier (areas 6, 7, 8 in Fig. 2). Description and numbering is from North to South and West to East.*

**Older (Russian) drumlin fields overprinted by multiple solifluction processes:** (1).

**Outwash plains fed from breaches through the outer Würmian end moraine:** Saulgau plain (2), Riedtal plain (3), Haidgauer Heide (4).

**Schussen lobe of the outer Würmian end moraine:** white dotted line (OWEM-SL); strongly kettled in the western and northern sector, crested in the eastern sector. Inside the outer Würmian end moraine numerous kilometre-sized frontal basins can be clearly recognized (marked with "x"). For a view in higher resolution, compare Fig. 5.

**Fragmentary moraines inside the outer Würmian end moraine:** well defined in the northwestern sector (5a, 5b); low ridges of hummocks and kettles in the uppermost Schussen valley (6); replacement by terrain of chaotic ice decay landforms with irregular hummocks and kettle holes in the eastern sector (7). For more details, compare Fig. 5.

**Esker relics:** (8); possible kame terraces: (9); possible relics of older (Russian) drumlins: (10).

**Channels parallel to the receding ice margin:** The Steinach valley probably originated as a channel parallel to the receding ice margin (upper course of the Steinach and prolongations as red and cyan dashed lines, respectively). After further ice retreat it changed into a braided stream flowing parallel to and migrating with the receding glacier (black and mauve dashed lines) shaping some scattered remains of hummocky moraines into streamlined relics. For a view in higher resolution, compare Fig. 5. The Durlesbach rivulet is a successor to the former Steinach stream. Initially it also drained towards the North firstly feeding the braided plains left by the disappearing Steinach stream (red and cyan dotted lines) then switching towards the main Schussen valley (black and mauve dotted lines).

**Inner Würmian end moraine:** white dotted line (IWEM); continuous ridge in the south-western sector, reduced to hummocks and kettles where it crosses the Schussen valley. Fragmentary moraines north of the inner Würmian end moraine are particularly well preserved around the Schreckensee lake area.

**Postglacial valley incision:** the steeply incised Schussentobel between Aulendorf and Mochenwangen became strongly overdeepened during glacial retreat towards the Föhrenried basin.

**Lettering (from North to South and West to East):** BSch: Bad Schussenried, WIN: Winterstettenstadt, MUS: Musbach, HEB: Hebershausen, MIC: Michelwinnaden, AUL: Aulendorf, HOS: Hofkirch, ALT: Altshausen, BWa: Bad Waldsee, PFR: Pfrunger Ried, SCH: Schreckensee lake, MOC: Mochenwangen, WIL: Wilhelmsdorf, BER: Bergatreute, FÖH: Föhrenried, WoAch: Wolfegger Ach.

**Shaded grey areas:** lakes. **Inset:** Position within Baden-Württemberg. Orthoview; illumination: 60/37; vertical exaggeration: x 6; pixel size: 16 m.

*Abb. 4: Eiszerfallslandschaft zwischen der Äußeren und der Inneren Würmendmoräne (Gebiete 6, 7, 8 in Abb. 2). Die Beschreibung und Nummerierung geht von Nord nach Süd und West nach Ost.*

**Ältere (rißzeitliche) Drumlinfelder, überprägt von mehrfachen Solifluktionsprozessen:** (1).

**Schotterebenen, gespeist von Durchbrüchen durch die Äußere Würmendmoräne:** Saulgauer Ebene (2), Riedtal-Ebene (3), Haidgauer Heide (4).

**Schussen-Lobus der Äußeren Würmendmoräne:** weiße punktierte Linie (OWEM-SL), im westlichen und nördlichen Bereich mit vielen Toteislöchern, scharf konturiert im östlichen Bereich. Am Innenrand der Äußeren Würmendmoräne liegen zahlreiche kilometergroße Zungenbecken (mit „x“ markiert); Abb. 5 zeigt Details in höherer Auflösung.

**Diskontinuierliche Bögen von lokalen Moränenrücken innerhalb der Äußeren Würmendmoräne sind im nordwestlichen Bereich gut zu erkennen** (5a, 5b); im obersten Schussental erscheinen sie als reliktische, flache Rücken mit zahlreichen Toteislöchern (6). Im östlichen Bereich sind es eher chaotische Eiszerfallsformen mit unregelmäßigen Hügeln und Toteislöchern (7). Abb. 5 zeigt Details in höherer Auflösung.

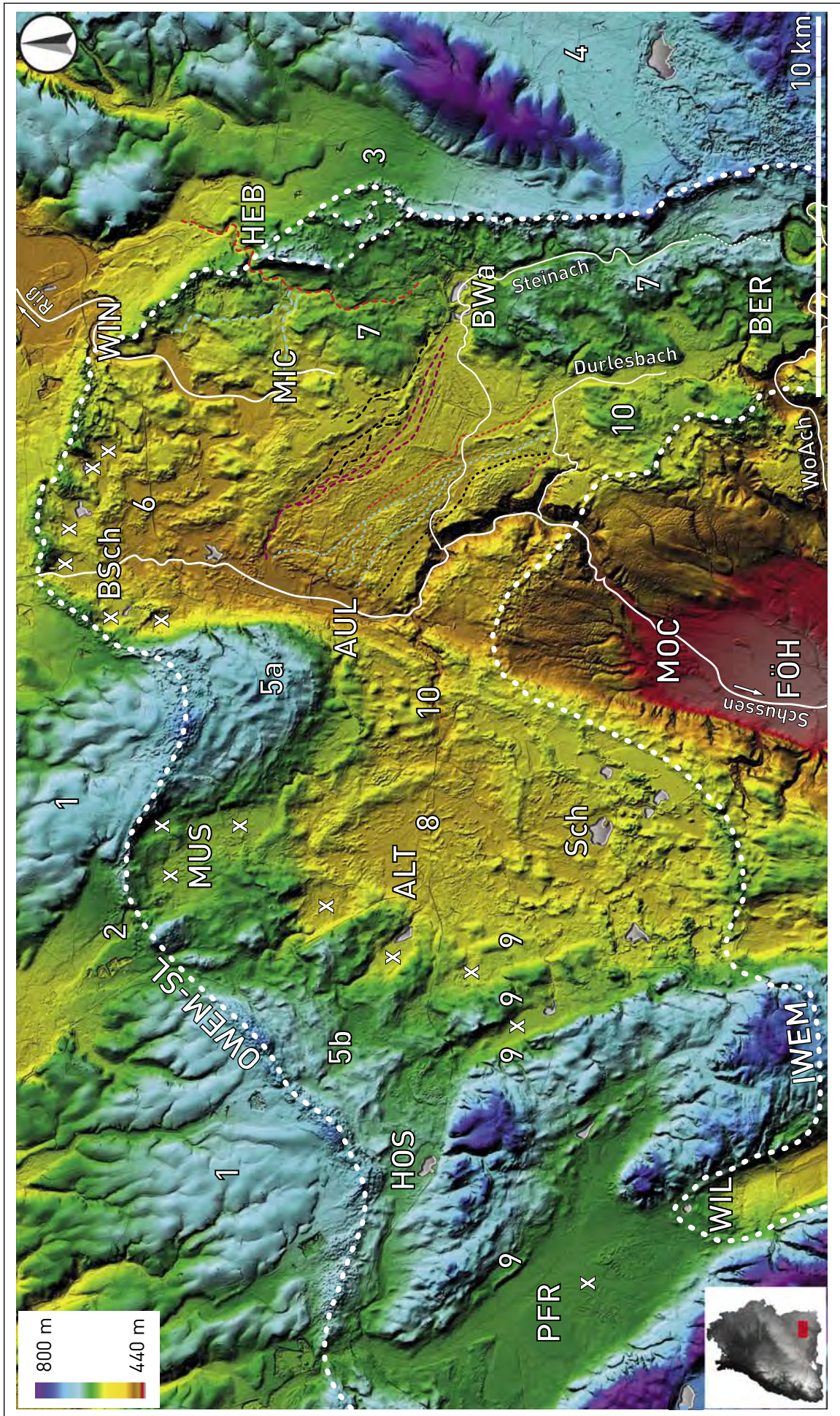
**Eskerrelikte:** (8); mögliche Kometerrassen: (9); mögliche Relikte älterer (rißzeitlicher) Drumlins: (10).

**Eisrandparallele Rinnen:** Das Steinachtal entstand wahrscheinlich als eisrandparallele Rinne (Oberlauf der Steinach und seine ursprüngliche Fortsetzung nach Norden; rote und türkisfarbene gestrichelte Linien). Mit fortschreitendem Eiszerfall entwickelte sich ein verflochtenes Rinnensystem, das dem schwindenden Eisrand folgte (schwarze und violette gestrichelte Linien) und einige lokale Moränenrelikte stromlinienartig überformte. Abb. 5 zeigt Details in höherer Auflösung. Der Durlesbach ist ein Nachfolger des Steinach-Systems und entwässerte ursprünglich ebenfalls nach Norden, wo er zunächst die Zopfstrom-Ebene speiste, welche die Steinach hinterließ (rote und türkisfarbene punktierte Linien), bis er schließlich in Richtung Schussental umgelenkt wurde (schwarze und violette punktierte Linien).

**Innere Würmendmoräne:** weiße punktierte Linie (IWEM), als durchgehender Rücken im südwestlichen Bereich, relikтив mit flachen Hügeln und Toteislöchern im Bereich des Schussentals. Diskontinuierliche Bögen von lokalen Moränenrücken nördlich der Inneren Würmendmoräne sind im Raum des Schreckensees gut erhalten.

**Postglaziale Flusseinschneidung:** die Übertiefung des Schussentobels zwischen Aulendorf und Mochenwangen begann nach dem Zurückweichen der Gletscherfront in das Föhrenried-Becken.

**Beschriftung von Nord nach Süd und West nach Ost:** BSch: Bad Schussenried, WIN: Winterstettenstadt, MUS: Musbach, HEB: Hebershausen, MIC: Michelwinnaden, AUL: Aulendorf, HOS: Hofkirch, ALT: Altshausen, BWa: Bad Waldsee, PFR: Pfrunger Ried, SCH: Schreckensee, MOC: Mochenwangen, WIL: Wilhelmsdorf, BER: Bergatreute, FÖH: Föhrenried, WoAch: Wolfegger Ach. Graue Flächen: Seen; Lage in Baden-Württemberg und Farbhöhencodierung: unten links; Orthoprojektion; Beleuchtung: 60/37; vertikale Überhöhung: x 6; Pixelgröße: 16 m.



north-dipping gravel plains by reversely flowing post-glacial (latest Pleistocene to Holocene) Rhenish waters indicating that infill is related to backfill with outwash during consecutive stages of glacial retreat (SCHREINER 1992b).

According to PREUSSER, REITNER & SCHLÜCHTER (2010) the main Lake Constance basin originated during the Last Glacial Maximum. In contrast, ELLWANGER et al. (2011b) suggested that excavation of this basin is a late event produced by the glacier producing the inner Würmian end moraine.

### 4.3 Fragmentary, kettled and hummocky moraines

Ice wastage products such as fragmentary, kettled, or hummocky moraines (DYKE & SAVELLE 2000, SALCHER, HINSCH & WAGREICH 2010) are typical features of the broad belt between the outer and the inner Würmian end moraine (OWEM and IWEM in Fig. 2). In the sector of the Schussen lobe of the Rhine glacier (OWEM-SL in Fig. 2), especially in the shallow basins of the Aulendorf/Altshausen area (# 7 and 8 in Fig. 2), an extremely well-preserved population of almost all types of ice wastage geomorphology documents ice retreat in great detail (Figs. 4 and 5). Good preservation is a consequence of the position near the present-day Danube/Rhine drainage divide, largely preventing these features from erosional deterioration. In the western part of the Lake Constance region numerous suites of fragmentary moraines covering all stages of ice retreat have been mapped by SCHREINER (1974, 1992a). In our entire study area fragmentary

moraines are locally common, but not systematically recognizable throughout. The term kettled moraine has been introduced by SALCHER, HINSCH & WAGREICH (2010) to describe morphological features produced by dead ice particularly well detectable in a high-resolution DTM. Hummocky moraines are irregular landforms resulting from ablation of detrital load resting on the ice (EVANS 2006, MUNRO-STASIUK & SJOGREN 2006). Most often, these accumulations are partly reworked by subglacial meltwater streams; laterally they might interfinger with eskers or kame terraces.

The outer Würmian end moraine (dotted line labelled OWEM-SL in Figs. 4 and 5) appears strongly kettled in the northern and north-western sector of Fig. 4, whereas it is sharply defined as a crested moraine in the eastern sector. Inside the outer Würmian end moraine a series of narrowly spaced (ca. 1 km) fragmentary recessional moraines can be traced parallel to the main ridge (WEIDENBACH 1975; # 5a, 5b in Fig. 4). On a larger scale (Fig. 5) up to six more or less concentric ridges can be identified. In places, these moraine fragments are reduced to low ridges of hummocks interspersed by kettles, in particular east and south-east of Bad Schussenried (# 6 in Fig. 4 and Fig. 5). In the eastern sector, the belt of recessional moraines is completely replaced by a terrain of chaotic ice decay landforms (# 7 in Fig. 4).

The inner Würmian end moraine (dotted line labelled IWEM in Fig. 4) forms an almost continuous ridge but appears reduced to hummocks and kettles where it crosses the Schussen valley. Fragmentary moraines north of the inner

*Fig. 5: Detailed preservation of glaciogenic features in the area of the northernmost arc of the Schussen lobe of the Rhine glacier. Position corresponds to the north-eastern quadrant of Fig. 4. Colour scale has been adapted to highlight (in red colours) the large and complex flat area of the drainage divide between Danube (via the Riß river) und Rhine (via the Schussen river). SUS: Schussenursprung outlet, WIN: Winterstettenstadt breach, BSch: Bad Schussenried, HEB: Hebershaus breach, MIC: Michelwinnaden, AUL: Aulendorf.*

**Outer Würmian end moraine:** dotted red line (OWEM-SL), clearly defined despite strong overprint by kettles. On the inside it is accompanied by elliptical frontal branch basins (marked with "x") and a series of up to 6 fragmentary moraines (dashed white lines).

**Subglacial channels:** The uppermost course of the Schussen valley may have started to form as a subglacial channel draining the small Upper Schussen basin (grey colour) towards the Schussenursprung (SUS) or neighbouring outlets. In a similar way but on minor dimensions the uppermost part of the Riß valley between Winterstettenstadt and Michelwinnaden also may have originated as a subglacial feature.

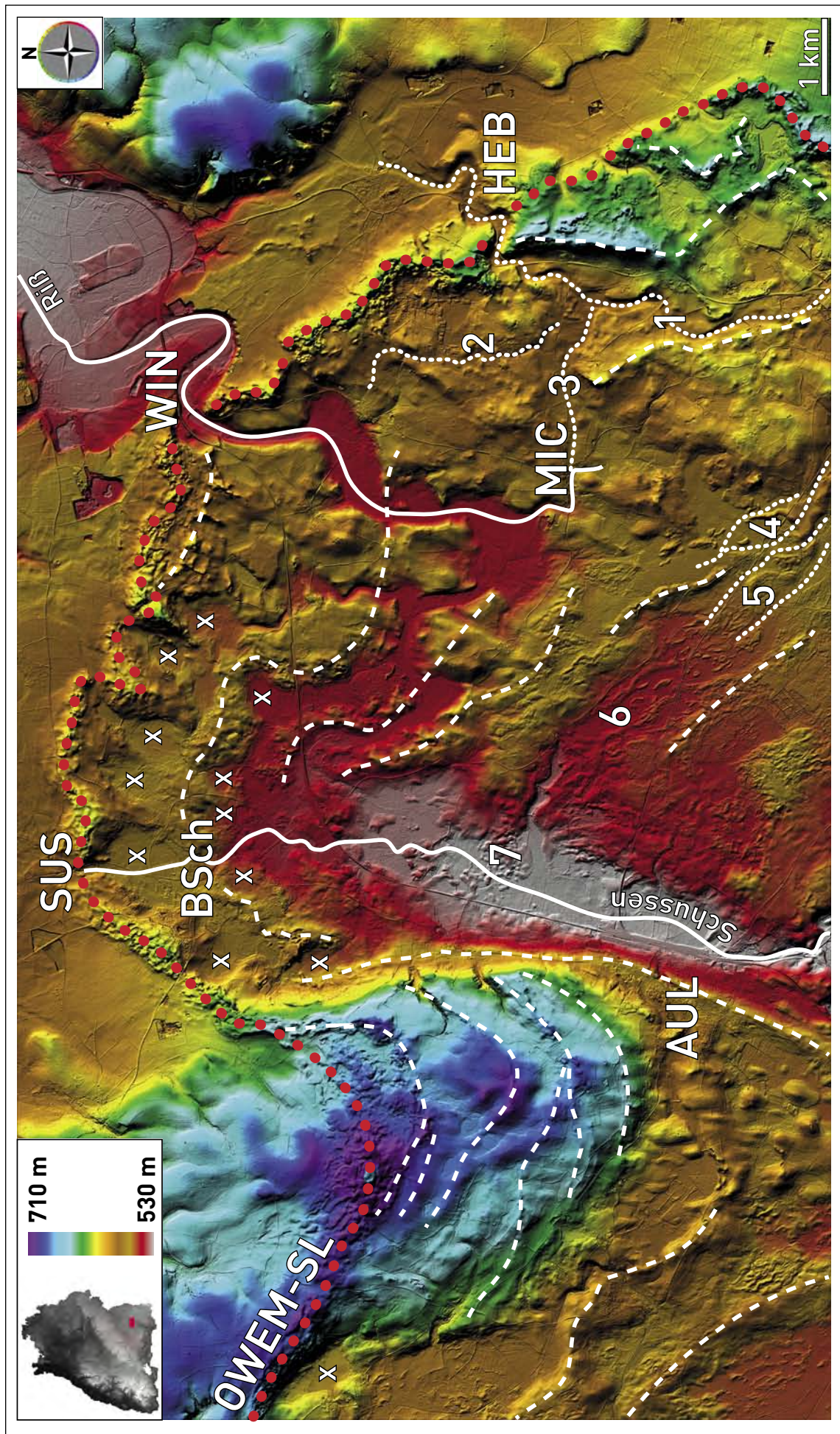
**Channels parallel to the receding ice margin:** The Steinach valley (1, dotted white line; compare Fig. 4 for the wider geographic context) initially may have formed as a channel parallel to outer Würmian end moraine which it eventually crossed at the Hebershaus breach. With further ice retreat it became deflected towards the West (2, 3, white dotted lines) temporarily using the Winterstettenstadt breach. When the retreating glacier front reached the southern rim of the area shown the Steinach changed into a braided stream pattern flowing parallel to and migrating with the receding ice margin (4, 5, white dotted lines). On the outflow plain (6) strong stream flow reworked previous morphological features into streamlined relics; together with a field of chaotic hummocks further downstream (7) this suggests an origin by sudden release of floods caused by breaching of an ice-walled lake. Inset upper left: position within Baden-Württemberg and colour scale. Orthoview; illumination: 60/34; vertical exaggeration: x 5; pixel size: 8 m.

*Abb. 5: Detailgenaue Überlieferung eiszeitlicher Landschaftsformen im Bereich der Wasserscheide Donau/Rhein (nördlicher Schussen-Lobus des Rheingletschers). Die Lage entspricht dem nordöstlichen Quadranten auf Abb. 4. Die Farbhöhenkodierung ist so angepasst, dass die weitläufige und komplexe Ebene im Bereich der Wasserscheide zwischen Donau (über die Riß) und Rhein (über die Schussen) in roten Farbtönen hervorgehoben ist. SUS: Schussenursprung-Durchbruch, WIN: Winterstettenstadt-Durchbruch, BSch: Bad Schussenried, HEB: Hebershausen-Durchbruch, MIC: Michelwinnaden, AUL: Aulendorf.*

**Äußere Würmendmoräne:** punktierte rote Linie (OWEM-SL), trotz zahlreicher Toteislöcher prägnant ausgebildet. Auf der Innenseite reihen sich zahlreiche kilometergroße elliptische Zungenbecken (mit „x“ markiert) und mehrere diskontinuierliche Bögen von lokalen Moränenrücken (gestrichelte weiße Linien).

**Subglaziale Rinnen:** Der Oberlauf des Schussentals könnte als subglaziale Rinne entstanden sein und das obere Schussenbecken (grau) in Richtung auf den Schussenursprung (SUS) oder benachbarte Durchlässe entwässert haben. Als subglaziales Tal, aber in etwas kleinerer Dimension, könnte auch der Oberlauf des Rißtals zwischen Winterstettenstadt und Michelwinnaden begonnen haben.

**Eisrandparallele Rinnen:** Das Tal der Steinach (1, weiße punktierte Linie; zur Lage vgl. Abb. 4) ist möglicherweise als Rinne entstanden, die zunächst parallel zur Äußeren Würmendmoräne verlief und schließlich im Durchbruch von Hebershausen die Moräne kreuzte. Beim Zurückweichen der Eisfront wurde der Fluss nach Westen umgelenkt (2,3, weiße punktierte Linien), wobei er vorübergehend den Durchbruch von Winterstettenstadt benutzte. Als die Gletscherfront den südlichen Teil dieses Gebiets erreichte, breitete sich die Steinach als verflochtenes System in die angrenzende Ebene aus und verlagerte sich mit dem schwindenden Eisrand nach Süden (4,5, weiße punktierte Linien). In der Schwemmebene (6) wurden vorher existierende morphologische Strukturen zu stromlinienförmigen Relikten umgeformt. Zusammen mit einer Ansammlung chaotischer Hügel weiter flussabwärts (7) deutet das auf eine Entstehung durch Schichtfluten, wie sie beispielsweise beim Bersten von Eisrandstausen auftreten. Lage in Baden-Württemberg und Farbhöhenkodierung: oben links; Höhenfarbkodierung; Orthoprojektion; Beleuchtung 60/34; vertikale Überhöhung: x 5. Pixelgröße: 8 m.



Würmian end moraine are preserved in the Altshausen basin. In shallow depressions between these fragments of moraines peat bogs have been developing since ice retreat and some small lakes such as the Schreckensee persist until today.

#### 4.4 Subglacial and ice-marginal meltwater channels

As a consequence of the position at the drainage divide between the Danube and the Rhine in the Aulendorf/Hebershausen/Bad Waldsee area (Figs. 4 and 5) an intricate pattern of channels parallel or perpendicular to the outer Würmian end moraine is preserved in great detail. The high-resolution DTM allows detailed morphometric analysis of these features resulting in a reconstruction of the glacio-fluvial history that elucidates the role of initial subglacial channels followed by complex sets of channels running parallel to the receding ice margin.

According to BENETT & GLASSER (2009) subglacial channels are oriented more or less perpendicularly to the ice margin and possess conspicuous convex-up or “humped” irregular long profiles interpreted as a consequence of their origin under pressurized flow. In the Alpine foreland SALCHER, HINSCH & WAGREICH (2010) described the main parameters of subglacial drainage valleys as follows: sinuous, convex-up long profiles, depths of up to 40 m, widths of up to 500 m, lengths in the order of kilometers; channels converge towards the outlet and there merge with proglacial outwash plains. In northern Germany the Weichselian glaciation produced subglacial valleys with dimensions that are an order of magnitude larger than in the Alpine foreland (STACKEBRANDT 2009).

The uppermost course of the Schussen river upstream of Aulendorf shallows and fades out towards the outer Würmian end moraine thus at least partly fulfilling the criteria for the recognition of subglacial valleys listed by BENETT & GLASSER (2009) and SALCHER, HINSCH & WAGREICH (2010). The Schussen river may have started to form as a subglacial valley excavated under pressurized flow draining the small Upper Schussen basin (Fig. 5). During the maximum extension of Würmian glaciation drainage should have crossed the Schussenursprung (SUS in Fig. 5) and neighbouring outlets feeding the adjacent Federsee outwash plain (# 2 in Fig. 2).

Channels parallel to the ice margin are described by GREENWOOD et al. (2007) and BENETT & GLASSER (2009) as systems that tend to form series of approximately straight stream beds parallel with contemporary contours and may possess sudden changes in direction. Inside the outer Würmian end moraine a complex set of channels parallel to the end moraine can be identified in the north-eastern quadrant of the area of Fig. 4.

In its upper course, the small Steinach valley follows the outline of the outer Würmian end moraine. In the DTM it becomes apparent that north of Bad Waldsee it initially

drained northward (red dashed line in Figs. 4 and 5) suggesting an origin as a channel parallel to the receding ice margin outflowing through the Hebershaus breach in the outer Würmian end moraine. With ongoing ice retreat this channel became deflected towards the West (cyan dashed lines in Fig. 4; in Fig. 5 white dashed lines numbered 1, 2, and 3). When the retreating glacier eventually reached the area of Bad Waldsee, the Steinach predecessor changed into a braided stream flowing parallel to and migrating with the receding ice margin (black and mauve dashed lines in Fig. 4; in Fig. 5 white dashed lines numbered 4 and 5) reshaping some scattered remains of hummocky moraines into streamlined relics (# 6 in Fig. 5). In the field these features are almost impossible to identify as they occur in an area now mostly covered by dense vegetation (Tannwald forest). The reshaping of hummocks within a large field of interwoven strings of braided stream deposits evokes the effects of spontaneous flooding as a result from breaching ice-walled lakes. A good candidate would be the Bad Waldsee trough which until today harbours two small lakes (Fig. 4).

The Durlesbach valley north of Bergatreute also initially drained towards the North firstly feeding the braided plains left by the disappearing Steinach stream (red and cyan dotted lines in Fig. 4) then switching towards the main Schussen valley which gradually deepened as ice receded (black and mauve dotted lines in Fig. 4).

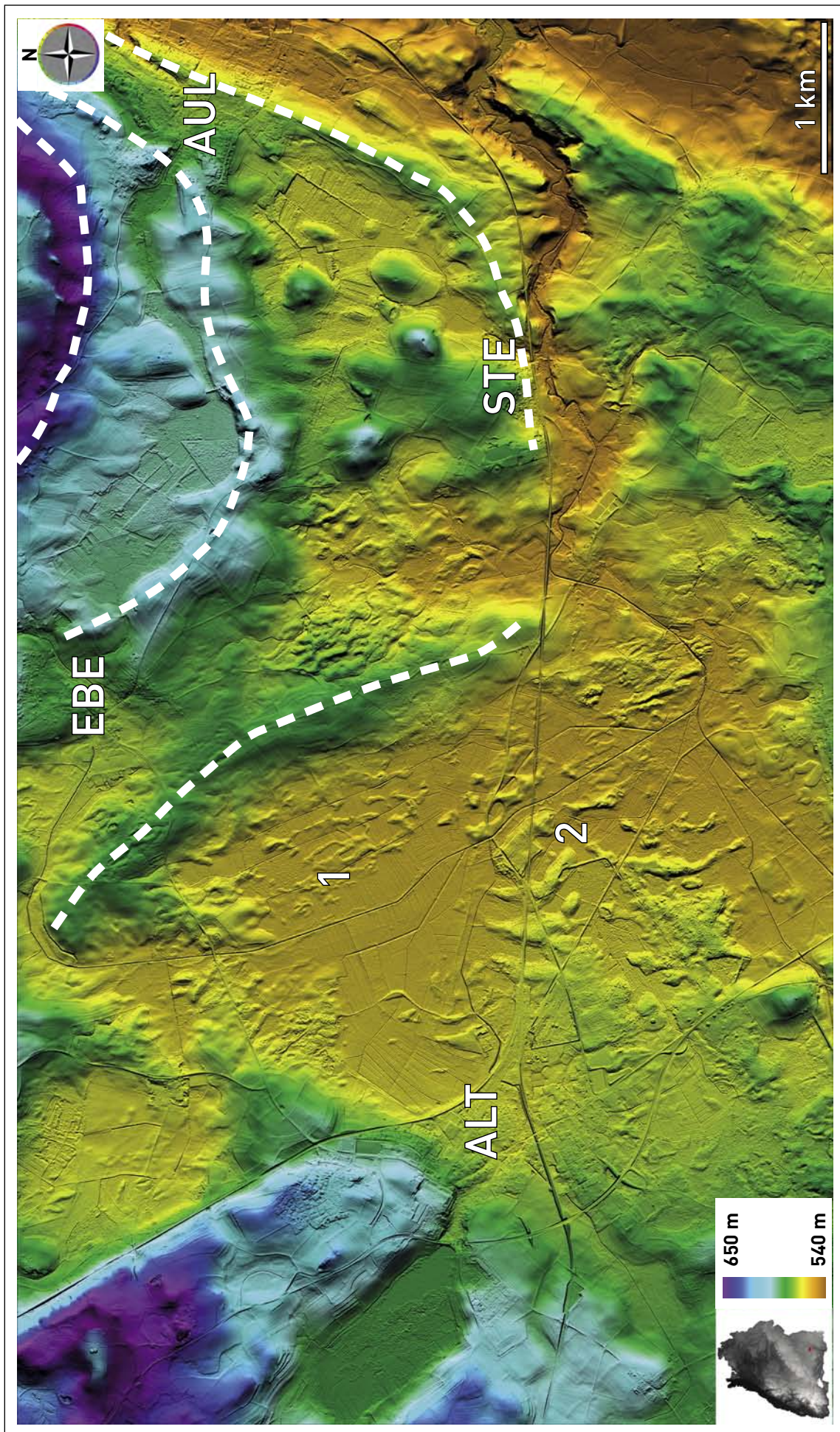
#### 4.5 Esker relics and possible kame terraces preserved in the Altshausen plain

Within our study area eskers are rarely observed. Best preservation again is given near the drainage divide Danube/Rhine, especially in the Altshausen plain (Figs. 2, 4 and 6). According to GRIPP (1978), STREHL (1998), GRUBE (2011) and BENETT & GLASSER (2009) eskers are sinuous subglacial ridges which may occur singly or in a braided pattern. Braided eskers are often associated with kame terraces, kettled topography and hummocky moraines (EVANS 2006, BENETT & GLASSER 2009). According to SALCHER et al. (2009) and BENETT & GLASSER (2009) kame terraces develop synchronously to ice wastage along the flanks of ice lobes. Common marks are the diamictitic rock texture and occasional Gilbert-type deltas of varying dimensions; they may occur singly or in parallel flights of terraces with heights of up to tens of meters.

The Altshausen plain appears to be a composite of several rather small branch basins filled with basal till as well as fragmentary and hummocky moraines (Fig. 6; for a view of the wider geographic context, compare Figs. 4 and 2). Conspicuous morphological features are elongated, up to 800 m long ridges standing between 1 and 5 m above the level of the surrounding basal till. Due to their low relief and the vegetation cover they are hard to recognize in the field and

Fig. 6: Esker relics preserved in the Altshausen plain. Eskers range in height from 1 m (1) to 5 m (2) and are up to 800 m long. Dashed white lines: fragmentary recessional moraines inside the outer Würmian end moraine. EBE: Ebersbach, AUL: Aulendorf, ALT: Altshausen, STE: Steinenbach. Inset lower left: position within Baden-Württemberg and colour scale. Orthoview; illumination: 90/35; vertical exaggeration: x 4; pixel size: 4 m.

Abb. 6: Relikte von Eskern in der Altshausener Ebene. Die Esker sind zwischen 1 m (1) und 5 m (2) hoch und bis 800 m lang. Gestrichelte weiße Linien: diskontinuierliche Bögen von lokalen Moränenrücken innerhalb der Äußeren Würmendmoräne. EBE: Ebersbach, AUL: Aulendorf, ALT: Altshausen, STE: Steinenbach. Lage in Baden-Württemberg und Farbhöhencodierung: unten links; Orthoprojektion; Beleuchtung: 90/35; vertikale Überhöhung: x 4; Pixelgröße: 4 m.



not mapped on scale 1:25000 (WEIDENBACH 1975) but are well recognizable in a vertically exaggerated DTM (# 8 in Fig. 4, # 1 and 2 in Fig. 6) and interpreted as eskers. Cross-sections are exposed along the railway line directly east of Altshausen station. The DTM also reveals markedly elongated ridges (# 9 in Fig. 4) partly bordering kilometre-sized branch basins ("x" in Fig. 4). Despite the lack of diagnostic field criteria such as delta deposits we tentatively interpret these structures as possible kame terraces.

#### 4.6 Micromoraines preserved in the Röschenwald forest

About 6 km south of Aulendorf string-like, more or less parallel ridges with heights only between 1 and 2 m and maximum lengths of 200 m are exquisitely preserved within a densely forested area named Röschenwald (approximately 20 to 30 km<sup>2</sup>) extending on both sides of the lower part of the Schussentobel (Fig. 7; compare Figs. 4 and 2 for the local context). In a densely forested area these structures would escape the attention of even an experienced geologist. However, after knowing from the DTM what to look for they can be recognized indeed, albeit only when following a tight search pattern ignoring obstacles. As far as we could realize during our ground checks these ridges probably consist of material comparable to reworked basal till although as a consequence from extremely poor outcrop conditions diagnostic criteria such as diamictitic till texture and striated boulders cannot be ascertained at the moment. These features are superimposed to the upper slope of the Föhrenried basin North of Ravensburg (# 14 in Fig. 2, compare also Fig. 4) forming a slightly inclined ramp dipping from 575 to 550 m over a distance of 5 km (gradient: 5 ‰). In the lower part of the slope (transition from brown to red colours in Fig. 7) these features gradually disappear being replaced by smooth basal till surfaces.

String-like moraines commonly are regarded products of intermittent episodes of backmelting and readvance of the glacier front (SCHREINER 1992b). Based on actualistic observations in Spitsbergen, however, STACKEBRANDT et al. (1997) pointed out that there are two alternatives to the common model of oscillatory movement of ice: a) push moraines and b) supraglacial moraines. *Push moraines* result from folding, imbrication and/or thrusting of proglacial material related to local surges during stationary episodes. Commonly they form concentric garland-like structures surrounding

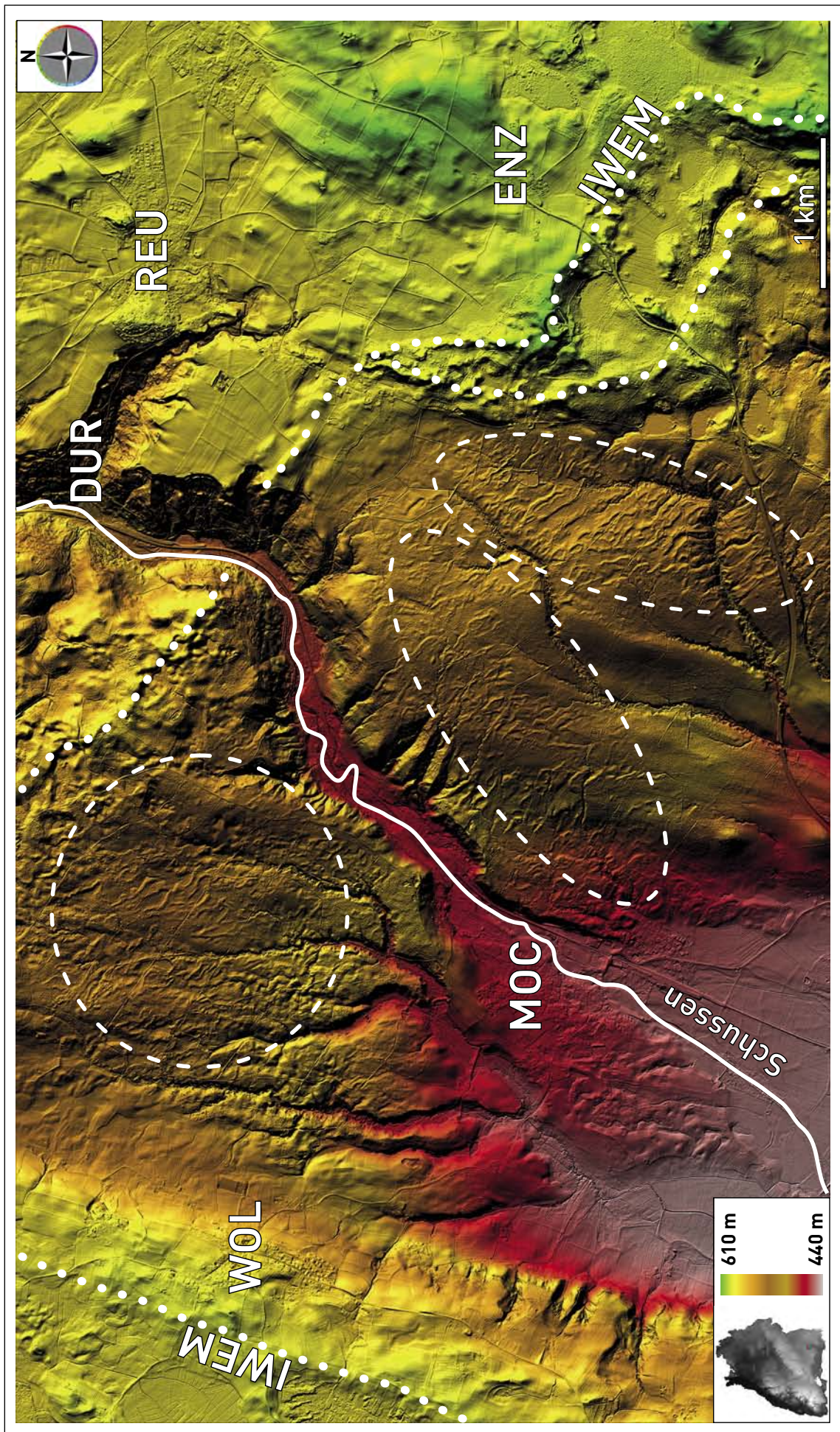
the snout of glaciers. From the petrographic point of view the decisive criterion for recognition is well-visible soft-sediment deformation affecting proglacial sediments only; subglacial material such as basal till and striated boulders is only marginally involved. A well-known example from northern Germany is the Muskauer Faltenbogen (KUPETZ 1996). However, the dimensions of such push moraines are an order of magnitude larger than the patterns observed.

Following STACKEBRANDT et al. (1997) and HÄTTESTRAND & JOHANSEN (2005) *supraglacial moraines* commonly are metre-thick ridges covering blue ice. They mainly result from transport of subglacial material along shear bands in areas of compressive ice flow (i.e., grounded glacier snouts); folding can occur locally and larger moraines may be pitted with sink holes. At the surface this debris accumulates as meltout till or sublimation till. Supraglacially entrained colluvium from surrounding slopes might be an additional source of material (HÄTTESTRAND & JOHANSEN 2005); petrographic distinction from push moraines is based on the dominance of angular clasts and the presence of diamictitic till texture and striated boulders. Dimensions and spacing of the ridges at the Röschenwald site might be in accordance with an interpretation as supraglacial moraines. These features do not occur elsewhere in the entire study area. The Röschenwald site is exceptional inasmuch as it is the only region forming an extended, slightly inclined ramp facing the ancient retreating glacier front. The observed ridges are distinctly smaller than continuous or fragmentary moraines and follow a much more regular pattern than hummocky moraines. Due to the extremely poor outcrop conditions, however, a supraglacial origin resulting from shearing in frontal parts of the glacier accompanied by entrainment of basal till cannot be confirmed so far. Therefore, we rather prefer the descriptive term *micromoraines* for the string-like ridges in the Röschenwald site, reaching heights between 1 and 2 m and maximum lengths of 200 m.

In the DTM, on the other hand, it is obvious that at the time of the formation of the micromoraines the glacier snout was facing the slightly south-dipping upper rim of the Föhrenried basin. Increased basal shear stress might indeed have resulted in extensive frontal shearing and overthrusting producing supraglacial meltout/sublimation moraines. Their gradual disappearance upon the lower part of the ramp might be interpreted as the consequence of accelerated ice retreat.

Fig. 7: Micromoraines (circled areas) on the forest-covered northern slope of the Föhrenried basin; the region corresponds to the south-central part of Fig. 4. The brown-coloured surfaces display a dense (roughly hundred-metre-spaced) succession of micromoraines with heights between 1 and 2 m and lengths in the order of 100 m interpreted to reflect valley glacier retreat upon the slightly inclined upper ramp of the Föhrenried basin. The deeply incised lower part of the Schussentobel between Durlesbach and Mochenwangen is a product of post-glacial erosion towards the base level of the Föhrenried basin. Dotted white line: inner Würmian end moraine (IWEM). DUR: Durlesbach, REU: Reute, WOL: Wolpertswende, ENZ: Enzisreute, MOC: Mochenwangen. Inset lower left: position within Baden-Württemberg and colour scale. Orthoview; illumination: 60/34; vertical exaggeration: x 5; pixel size: 4 m.

Abb. 7: Mikromoränen (eingekreiste Gebiete) auf der waldbedeckten nördlichen Böschung des Föhrenried-Beckens; das Gebiet entspricht dem mittleren südlichen Sektor von Abb. 4. Die bräunlichen Teile der Oberfläche zeigen eine dichte Abfolge von Mikromoränen (1 bis 2 m hoch, 100–200 m lang, Abstände im Bereich 100 m), die während des Rückschmelzens des Talgletschers auf der leicht nach Süden geneigten oberen Böschung des Föhrenried-Beckens entstanden sein müssen. Der tief eingeschnittene Schussentobel ist das Ergebnis postglazialer rückwärtiger Erosion auf das Niveau des Föhrenried-Beckenbodens. Punktierter weißer Linie: Innere Würmendmoräne (IWEM). DUR: Durlesbach, REU: Reute, WOL: Wolpertswende, ENZ: Enzisreute, MOC: Mochenwangen. Lage in Baden-Württemberg und Farbhöhenkodierung: unten links; Orthoprojektion; Beleuchtung: 60/34; vertikale Überhöhung: x 5; Pixelgröße: 4 m.



## 4.7 Complex landforms at the Binzen bifurcation of the outer Würmian end moraine

The region covered by Fig. 8 shows a remarkable example for complex pattern of intricately interwoven glacial landforms. The outer Würmian end moraine bifurcates at the hamlet of Binzen (BiBi in Figs. 2 and 8). Both branches of outer Würmian end moraines are clearly outlined. At the scale shown in Fig. 8 it becomes evident that the end moraine of the Schussen lobe (OWEM-SL) markedly crosscuts the adjacent end moraine of the Leutkirch lobe (OWEM-LL), indicating that the Schussen lobe had persisted longer than the Leutkirch lobe. This fact provides valuable arguments for the reconstruction of the glacial and post-glacial history of the area. Inside the Leutkirch lobe up to four fragmentary

recessional moraines are locally well defined (dashed lines in Fig. 8), which is also known from geologic mapping at a scale of 1:25000 (Szenkler & Ellwanger 1995, Szenkler & Ellwanger 1997).

Outflow from the Leutkirch lobe must have been strong because all surrounding ancient Rissian subglacial basins (Wurzacher Ried and Leutkircher Heide) are filled almost to the level of the Würmian end moraine. Main breaches were situated in the Rohrsee area and at Hünlishofen and Bettelhofen (# 1, 2, 3 in Fig. 8). A considerable part of the sediment supply to the Leutkircher Heide plain also came from the broad South-North-oriented Eschach valley paralleling the former ice margin.

Today the drainage divide between Danube and Rhine crosses the Gründlenried plain. This plain most probably

Fig. 8: Complex landforms at the Binzen bifurcation (BiBi) of the outer Würmian end moraine. Black lines: Danubian rivers; white lines: Rhenish rivers. Black patches: lakes. Lettering from North to South and West to East: BWa: Bad Waldsee, BWu: Bad Wurzach, LEU: Leutkirch, WOL: Wolfegg, KIS: Kiflegg. Outer Würmian end moraines (dotted white lines): End moraine of the Schussen lobe of the Rhine glacier: OWEM-SL; end moraine of the Leutkirch lobe of the Rhine glacier: OWEM-LL. Note that the end moraine of the Schussen lobe (OWEM-SL) crosscuts the end moraine of the Leutkirch lobe (OWEM-LL) meaning that the Schussen lobe had persisted longer than the Leutkirch lobe. Major breaches in the Leutkirch lobe end moraine: Rohrsee (1), Hünlishofen (2), Bettelhofen (3). Fragmentary moraines inside the Leutkirch lobe: dashed white lines.

**Fan of strongly reworked ice decay deposits:** Rohrsee Chaos (red-rimmed area); this fan is interpreted as a result of spontaneous flooding from the breaching of an ice-walled lake. As a consequence from subsequent incision of the Wolfegger Ach valley the apex of the fan and parts of the original feeding area are no longer preserved.

**Subglacial channels:** The uppermost course of the Wolfegger Ach in the Kiflegg area shows characteristics for an interpretation as a subglacial channel. Initially it should have drained reversely (northward) joining the lower Rot valley across the Gründlenried plain and eventually breaching the outer end moraine at the Hünlishofen outlet (2). At a higher level than today (cyan colours) the lower course of the Wolfegger Ach upstream of Wolfegg also may have started as a subglacial valley feeding the Wurzacher Ried plain. The last product of this high-level drainage system would have been the Rohrsee Chaos.

**Channel parallel to the receding OWEM-SL ice margin:** After its initial subglacial valley stage the Wolfegger Ach upstream of Wolfegg started to incise breaching the Schussen lobe end moraine (OWEM-SL) following the south-westerly receding ice margin creating a first channel which is the valley today occupied by the Steinach (compare Fig. 4 for the prolongation towards the North). Further incision of the Wolfegger Ach resulted in the formation and subsequent undercutting of the valley meander of Witschwende (4). Laterally this level corresponds to the early Durlesbach system (5) developing as a late channel parallel to the vanishing ice margin (compare Fig. 4 for the prolongation towards the North).

**Relics of drumlins:** In the Kiflegg sector a large fan of drumlins can be recognized, but in comparison with the pristine examples presented in Fig. 9 these drumlins appear rather deteriorated. We conclude that these features are relics of older Rissian drumlin fields that largely escaped Würmian glacial erosion as a result from reduced shear stress under a relatively thin ice sheet. Inset upper right: colour scale and position within Baden-Württemberg. Orthoview; illumination: 90/35; vertical exaggeration: x 4; pixel size: 16 m.

Abb. 8: Komplexe eiszeitliche Landschaftsformen im Bereich der Bifurkation von Binzen (BiBi, Äußere Würmendmoräne). Schwarze Linien: Donauzuflüsse; weiße Linien: Rheinzuflüsse. Schwarze Flächen: Seen. Beschriftung von Nord nach Süd und West nach Ost: BWa: Bad Waldsee, BWu: Bad Wurzach, LEU: Leutkirch, WOL: Wolfegg, KIS: Kiflegg.

**Äußere Würmendmoränen (punktierte weiße Linien):** Endmoräne vom Schussen-Lobus des Rheingletschers (OWEM-SL); Endmoräne vom Leutkirch-Lobus des Rheingletschers (OWEM-LL). Größere Durchbrüche durch die Endmoräne des Leutkirch-Lobus: Rohrsee-Pforte (1), Hünlishofen (2), Bettelhofen (3). Diskontinuierliche Bögen von lokalen Moränenrücken innerhalb des Leutkirch-Lobus: weiße gestrichelte Linien.

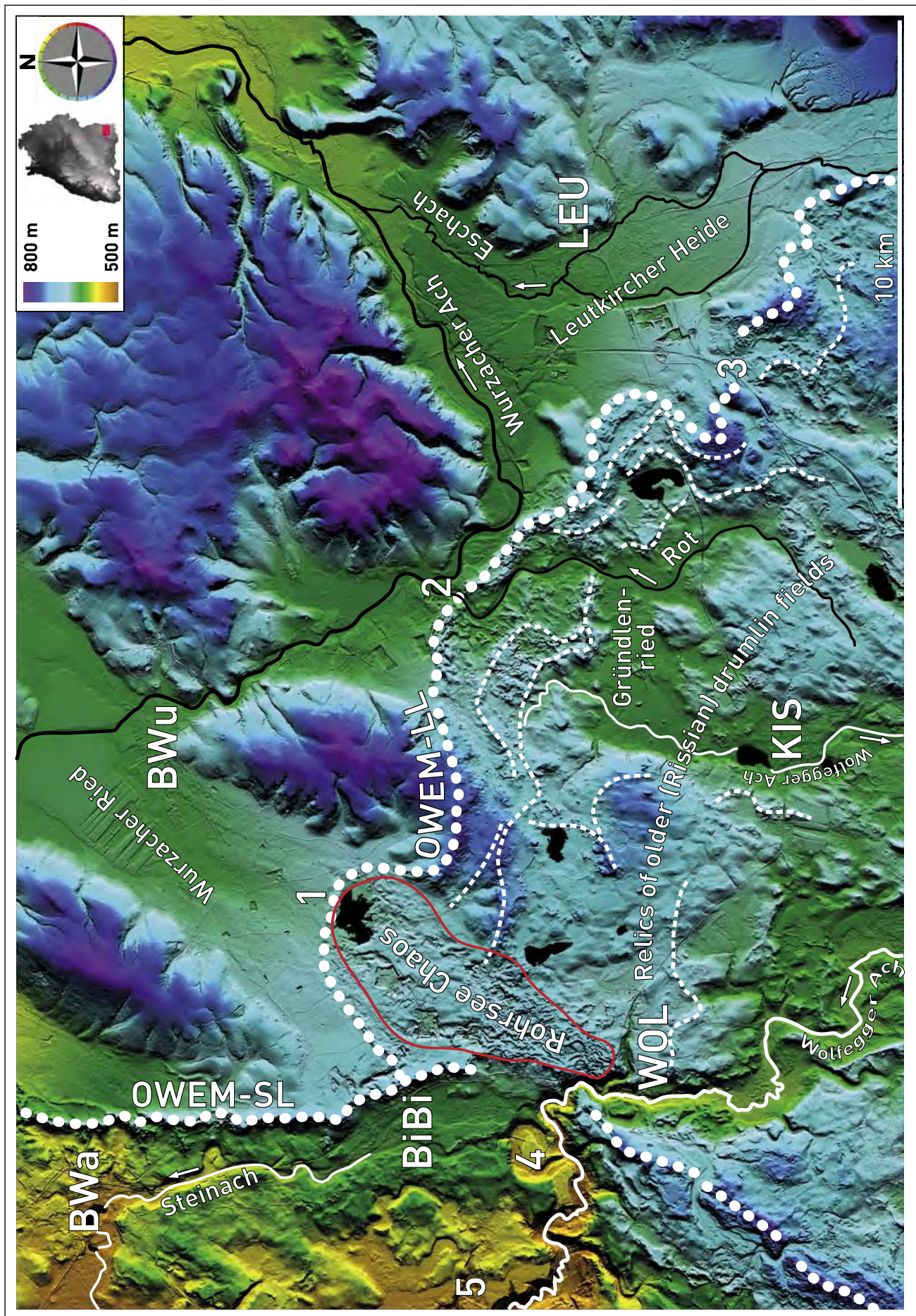
**Rohrsee-Chaos (rote Umrandung):** ein Fächer aus aufgearbeiteten Eiszerfallsablagerungen, interpretiert als Ergebnis einer Schichtflut aus einem beraustenden Eisrandstausee. Der Apex des Fächers und Teile des Zustromgebiets sind durch die postglaziale Übertiefung des Tals der Wolfegger Ach nicht mehr erhalten.

**Subglaziale Rinnen:** Im Raum Kiflegg zeigt der Oberlauf der Wolfegger Ach morphometrische Merkmale, die auf eine Entstehung als subglaziale Rinne deuten. Demnach hätte dieser Raum ursprünglich nach Norden entwässert und über die Ebene von Gründlenriet und das untere Rottal den Durchbruch von Hünlishofen (2) erreicht. Ebenso wahrscheinlich ist es, dass auch der Unterlauf der Wolfegger Ach stromauf von Wolfegg auf einem höheren Niveau als heute (Farbtön: türkis) als subglaziale Rinne begonnen hat und in die Ebene des Wurzacher Rieds entwässerte. Der jüngste und letzte Zeuge dieses relativ hochliegenden Drainagesystems dürfte das Rohrsee-Chaos sein.

**Eisrandparallele Rinnen:** Mit dem Zurückweichen des Schussen-Lobus begann die Wolfegger Ach, sich einzutiefen und durchbrach zunächst die Endmoräne nördlich von Wolfegg. Als erste eisrandparallele Rinne entwickelte sich dann das Tal, das heute in Teilen noch vom Oberlauf der Steinach eingenommen wird (vgl. Abb. 4 für die Fortsetzung nach Norden). Mit fortschreitender Eintiefung wurde die Steinach-Rinne deaktiviert und es entstand die Talschlange von Witschwende (4). Auch diese wurde durch ein weiteres kurzlebiges System unterschnitten, welches auf das Niveau des frühen Durlesbachs (5) ausgerichtet war (vgl. Abb. 4 für die Fortsetzung nach Norden).

**Drumlin-Relikte:** Im Raum Kiflegg ist ein großer Fächer von Drumlins zu erkennen, doch im Gegensatz zu den detailgenau erhaltenen Vorkommen von Abb. 9 sind diese Drumlins morphologisch degradiert. Wir halten die Strukturen für Relikte eiszeitlicher Drumlinfelder, die wegen der geringen Mächtigkeit des Leutkirch-Lobus während der Würmvereisung nur teilweise erodiert wurden.

Lage in Baden-Württemberg und Farbhöhencodierung: oben rechts; Orthoprojektion; Beleuchtung: 90/35; vertikale Überhöhung: x 4; Pixelgröße 16 m.



results from the filling of a small and shallow subglacial basin. It seems very probable that the uppermost course of the Wolfgenger Ach originated as a subglacial valley initially draining reversely, crossed the Gründlenried area, joined the lower Rot valley, and breached the outer end moraine at Hünlishofen. At a much higher level than today (cyan colours in Fig. 8) the Wolfgenger Ach upstream of Wolfegg most probably also started as a subglacial valley draining upon the outwash plain of the Wurzacher Ried. After ice retreat of the Leutkirch lobe to a line south of Wolfegg, the Schussen lobe must have persisted, deflecting the entire meltwater outflow of the Leutkirch lobe towards the Wurzacher Ried plain. From the occurrence of a fan-shaped field of chaotic deposits (named Rohrsee Chaos in Fig. 8) we conclude that an ice-walled lake must have existed temporarily in this area. The release of a large flood by breaching would explain the existence of this extraordinary morphological feature. Recently, and also on the basis of DEM analysis similar phenomena have been discovered in north-western Germany (WINSEMANN et al. 2011). In the field, however, it is hardly possible to identify any of the particular marks clearly visible in the DTM.

When the Schussen lobe eventually also started to melt back the Wolfgenger Ach breached the Schussen lobe end moraine creating at first a channel running parallel to the receding ice margin which is the valley today occupied by the Steinach running towards Bad Waldsee (Fig. 8; compare Fig. 4 for its prolongation towards the North). With ongoing ice retreat the Steinach system became replaced by the Durlesbach system developing at a lower level and slightly further West as a late channel parallel to the vanishing ice margin (Fig. 4 and # 5 in Fig. 8).

## 4.8 Drumlins

### *Würmian drumlins*

In the study area, on geological maps at a scale of 1:25000 (SCHMIDT & BRÄUHÄUSER 1913, BRÄUHÄUSER 1976, SCHMIDT & MÜNST 1978, SCHREINER 1978, ERB 1989, 1995, SZENKLER & ELLWANGER 1995, SCHMIDT 1998, JAUD, SZENKLER & ELLWANGER 2001) drumlins are identified with great accuracy. Length/width/height ratios have been noted accordingly but a clear distinction into separate fields of high- and low-

convexity drumlins has not been made so far. In the DTM the area between the inner Würmian end moraine and the last stationary (mainly erosional) episode during glacial retreat ("Konstanzer Stadium", label "KS" in Figs. 2 and 9) is a textbook example of the radial arrangement and lateral morphological variability of Würmian drumlins produced under a thick ice load during maximum extension of the glacier. Fig. 9 shows this fan-shaped arrangement of drumlins in the Überlingen - Friedrichshafen - Ravensburg triangle.

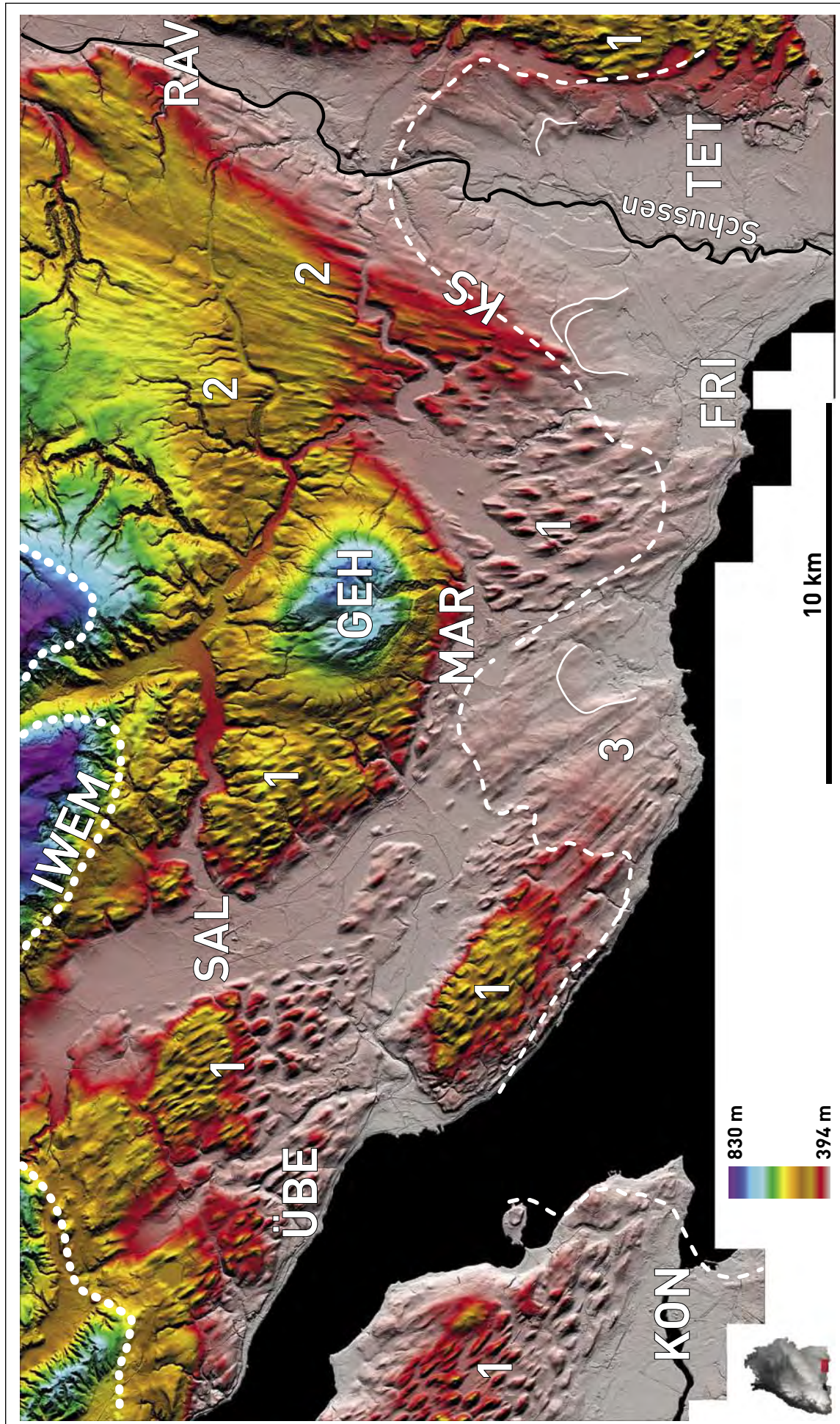
Within this domain, radially elongated high-convexity drumlins (CLARK et al. 2009: "classically-shaped drumlins") distally grade into low-convexity equivalents (CLARK et al. 2009: "spindle-shaped drumlins") fading out with distance (for an overview in regional context, compare Figs. 1 and 2). In the DTM high-convexity drumlins (# 1 in Fig. 9) are more or less elliptical in map view, possess lengths of up to 1 km, maximum heights of 60 m and often show a marked crest line. Low-convexity drumlins (# 2 in Fig. 9) are extremely elongated, streamlined hills with maximum lengths of 4 km and maximum heights of 20 m although the average elevation above the surrounding basal till surface is only around 5 m.

In the DTM (Figs. 1, 2, and 9) it appears that high-convexity drumlins are the common case in the region, whereas low-convexity drumlins are restricted to the western flank of the lower Schussen valley and an area south of Markdorf. SCHMIDT (1998) suggested that the shape of such hills depends on the gradient of the surface underneath the ice sheet. We observe that high-convexity drumlins occur where the local gradient is steeper and low-convexity drumlins occur where a broad ramp with a very low gradient exists, especially along the western side of the Lower Schussen basin. An obvious explanation would be that as a consequence from the low gradient ice flow rates were high enough to allow basal till material to be thoroughly smeared out rather than shaped into the classical sheep-back styled hills. In contrast, a slower ice motion on steeper ground would reduce shear stress at the base of the ice sheet resulting in drumlins of higher convexity.

It might be speculated whether the flat ramp that bears the low-convexity drumlins is an inheritance from Rissian times, e.g., a relic of the floor of a formerly much wider subglacial basin (predecessor of the Würmian Lower Schussen

Fig. 9: Drumlins in the Lake Constance (black) area. Black line: lower Schussen river; white dotted line: inner Würmian end moraine (IWEM); white dashed line: "Konstanzer Stadium" line (KS); thin white lines: fragmentary moraines inside the KS line. Lettering from North to South and West to East: RAV: Ravensburg, SAL: Salem, ÜBE: Überlingen, GEH: Gehrenberg, MAR: Markdorf, KON: Konstanz, FRI: Friedrichshafen, TET: Tettnang. Drumlins occur in the segment between the inner Würmian end moraine (IWEM) and the "Konstanzer Stadium" line (KS) forming a radially fanning belt. High-convexity drumlins (1) are abundant in the western part of this region. Low-convexity drumlins (2) are restricted to the western side of the Lower Schussen valley. Inside the "Konstanzer Stadium" line drumlins appear truncated (3) as a result from erosion underneath a shallow ice sheet during this last stationary episode. Inset lower left: position within Baden-Württemberg and colour scale. Orthoview; illumination: 90/38; vertical exaggeration: x 4; pixel size: 16 m.

Abb. 9: Drumlins im Gebiet des Bodensees (schwarz). Schwarze Linie: Schussen; weiße punktierte Linie: Innere Würmendmoräne (IWEM); weiß gestrichelt: Ausstrich von Endmoräne und lokalen kliffähnlichen Abschürfungsmerkmalen des „Konstanzer Stadiums“ (KS); dünne weiße Linien: Moränenrelikte innerhalb der Endmoräne des Konstanzer Stadiums. Beschriftung von Nord nach Süd und West nach Ost: RAV: Ravensburg, SAL: Salem, ÜBE: Überlingen, GEH: Gehrenberg, MAR: Markdorf, KON: Konstanz, FRI: Friedrichshafen, TET: Tettnang. Würmeiszeitliche Drumlins kommen vorwiegend im Segment zwischen der Inneren Würmendmoräne (IWEM) und der Endmoräne des „Konstanzer Stadiums“ (KS) vor und bilden dort einen radial aufgefächerten Gürtel. Hochkonvexe Drumlins (1) dominieren im Westen, niedrigkonvexe Drumlins (2) sind auf die Westflanke des unteren Schusselftals beschränkt. Innerhalb der Endmoräne des „Konstanzer Stadiums“ (KS) besitzen die Drumlins ein Aussehen, das auf Abschliff durch eine dünne Eisdecke deutet. Lage in Baden-Württemberg und Farbhöhencodierung: unten links; Orthoprojektion; Beleuchtung: 90/38; vertikale Überhöhung: x 4; Pixelgröße 16 m.



basin). In literature ( SCHMIDT & MÜNST 1978, SCHREINER 1978, ERB 1995, SCHMIDT 1998) there has also been some discussion on the question whether the drumlins themselves should be considered a Rissian inheritance. The pristine preservation clearly visible in the DTM, however, suggests that these drumlin fields are authentic Würmian phenomena. It also indicates that ice retreat between the inner Würmian end moraine and the KS line must have been so rapid as to leave the drumlins mostly unharmed by overprinting through processes of prolonged ice wastage.

Inside the “Konstanzer Stadium” (KS) line drumlins appear strongly flattened (# 3 in Fig. 9) and generally provide an abraded appearance. In our opinion this truncation could have occurred under a temporary shallow ice cover during this last stationary episode in ice retreat. A few fragments of moraines (white lines in Fig. 9) presumably are the youngest glacial features preserved in south-western Germany. There has been some debate as to whether a “Konstanzer Stadium” (SCHREINER 1974, 1992a, KELLER & KRAYSS 1994, 2000, GEYER, SCHOBER & GEYER 2003) did exist at all (ELLWANGER et al. 2011b). From the evidence provided by the DTM, however, there is no doubt that a stationary episode occurred indeed producing abrasional phenomena in the western part of the area of Fig. 9 and moraines in the Lower Schussen valley.

#### Rissian drumlins

Würmian drumlins are typically restricted to the area inside the inner Würmian end moraine (see Fig. 2). Outside (north of) the outer Würmian end moraine morphology is dominated by gentle undulating hills most probably representing older (Rissian) drumlin fields overprinted by multiple solifluction processes (# 1 in Fig. 4, SCHMIDT & MÜNST 1978, SCHREINER 1978, ERB 1995, SCHMIDT 1998).

In the space between the outer and inner Würmian end moraine the DTM reveals some probable relics of Rissian drumlins (# 10 in Fig. 4). In our opinion, an occurrence of drumlin-like structures within the belt between the outer and the inner Würmian end moraines rather points to an origin as older (Rissian) drumlins which in places escaped Würmian glacial abrasion.

Radially arranged, more or less deteriorated drumlins are an obvious landmark in the southern part of the region of Fig. 8. As in the Aulendorf area (Fig. 4) the occurrence of

drumlins in such a position is incongruous with their typical Würmian distribution (restriction to the belt between the inner Würmian end moraine and the “Konstanzer Stadium”, compare Figs. 2 and 9). We conclude that this more or less well preserved fan of drumlins is another relic of older (Rissian) drumlin fields that largely escaped Würmian glacial erosion as a result from reduced shear stress under a thin ice sheet. In addition, the almost complete lack of kettles in this sector suggests very rapid ice retreat which in turn would prevent the drumlin relics from prolonged overprint by ice wastage processes. In the corresponding geological map on scale 1:25000 (ELLWANGER et al. 2008) these features are interpreted as Rissian moraine sediments.

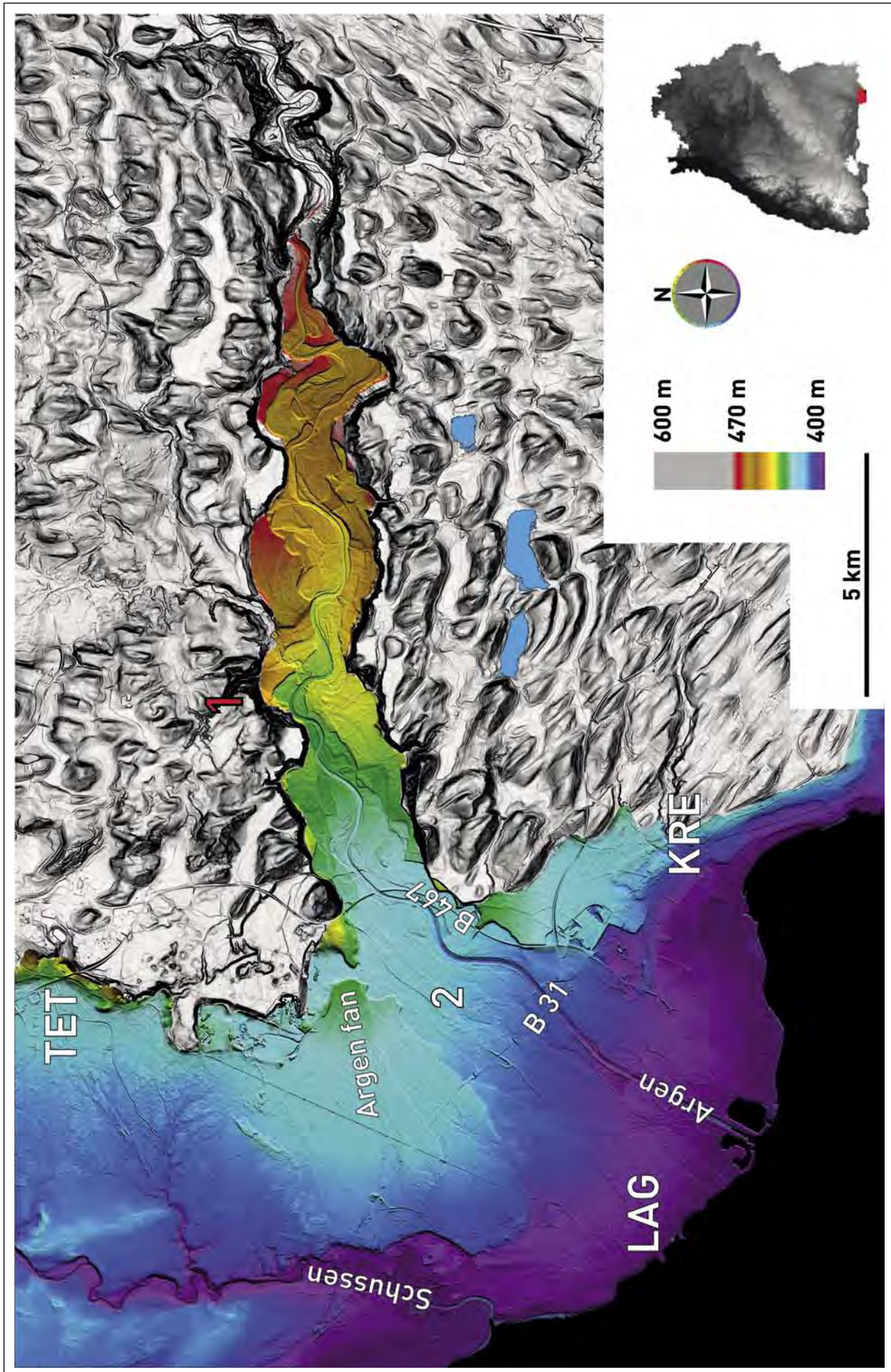
#### 4.9 Recessional terraces in the Argent valley

Within our study area the lower parts of the Argent valley display the best-preserved complex pattern of recessional terraces (Fig. 10). Five terraces are expressed in the DTM and also known from geological mapping at a scale of 1:25000 (SCHMIDT & MÜNST 1978). Incision among consecutive terraces ranges from 12 m (between old upper terraces) to 3.5 m (between young lower terraces). The valley crosscuts all previous glaciogenic deposits (in this area, almost exclusively high-convexity drumlins, SCHMIDT 1998). As elsewhere in the Alpine foreland, this type of post-glacial valley started to incise as a consequence of strong meltwater supply following the disappearance of piemont glaciers (FIEBIG 1992). Terraces resulted from rapid base level lowering during final glacier retreat towards the Alpenrhein valley. On the background of a dwindling meltwater outflow the valley became swamped with outwash gravel during colder episodes and incised during warmer time spans. In Bavaria, such late glacial terraces (“Spätglazialterrassen”) have been dated at 17/18 to 10.2 ka (DOPPLER et al. 2011). Gradients of older terraces merge towards the Argent Fan (Fig. 10) which in turn is undercut by late incision. For a terrace correlating with the Argent fan SCHREINER (1978) reported <sup>14</sup>C ages of 8455 and 8660 years before 1950 but it is to be expected that exposure dating of all terraces will result in a much wider age range for the formation of the fan comparable to the ages obtained in Bavaria.

Fig. 10: Post-glacial recessional terraces in the Argent valley; for the regional context, compare Figs. 1 and 2. The Argent incised into a terrain of high-relief drumlins (shown as a gradient map). Drumlins are interspersed with peat swamps or small lakes; basal till base level surrounding the drumlins dips from 540 m in the East to 470 m in the West. The oldest incision undercutting this level is a steep cliff along the valley flanks; where drumlins are dissected, cliff height reaches 80 m (1). The oldest terraces show undercutting in the order of 10 m; towards the younger terraces, undercutting decreases to 3.5 m. The oldest terraces merge towards the Argent Fan which in turn is undercut by late incision caused by a broad system of braided channels (2). The present-day course of the Argent is a single artificial channel. TET: Tettnang, LAG: Langenargen, KRE: Kreßbronn. B 37, B 467: Federal Highways. Black area: Lake Constance. Inset lower right: position within Baden-Württemberg and colour scale. Orthoview; illumination: 100/40; vertical exaggeration: x 8; pixel size: 8 m. Vertical enhancement of gradient map of drumlin fields: x3.

Abb. 10: Postglaziale Terrassenschachtel im Argental; zur geographischen Orientierung vgl. Abb. 1 und 2. Die Argent unterschneidet ein großes Feld hochkonvexer Drumlins (als Gradientenbild dargestellt). Zwischen den Drumlins liegen zahlreiche Torfmoore und Tümpel (blassblau); die Erosionsbasis der Grundmoräne neigt sich von 540 m im Osten auf 470 m im Westen. Die ältesten Terrassen belegen eine Übertiefe um etwa 10 m; bei den jüngeren Terrassen sinkt dieser Betrag auf 3,5 m. Die ältesten Terrassen korrespondieren mit der Oberfläche des Argent-Fächers, der selbst wiederum von einem späten verflochtenen Flusssystem unterschnitten wird (2). Die heutige Argent fließt in einem künstlichen Gerinne. TET: Tettnang, LAG: Langenargen, KRE: Kreßbronn; B 37, B 467: Bundesstraßen. Schwarz: Teil des Bodensees.

Lage in Baden-Württemberg und Farbhöhencodierung: unten rechts; Orthoprojektion; Beleuchtung: 100/40; vertikale Überhöhung: x 8; Pixelgröße 8 m; vertikale Überhöhung der Gradientenkarte des Drumlinfeldes: x 3.



## 5 Conclusions

The potential for recognition and correlation of young glacial landforms is very high in a large-area high-resolution DTM rivalling and in places surpassing conventional ground-based geological mapping. In our study area we could identify and map a large variety of phenomena related to the last (Würmian) glaciation. Some of these features are known from literature, but others have not (or only partly) been recognized as such. This is especially true for a) the distinction between crested and kettleled moraines, b) the visualization of fluvial facies in outwash plains, c) the recognition of complex suites of subglacial basins shallowing towards the former ice margin, d) the identification of several subglacial valleys and complex suites of channels parallel to the receding ice margin, e) micromoraines, f) the considerable differences observed in the shape of drumlins and g) the confirmation of fields of deteriorated Rissian drumlins within the area of Würmian glaciation. During our ground checks we realized that digital mapping of morphologic phenomena related to the last glaciation can be very accurate. In fact, as a consequence of comfortable large-distance correlation within the model it turned out that ideas to be tested rather grew from scrutinizing the DTM than out of traditional mapping. The identification of structures related to older glaciations, on the other hand, largely depends on geological field criteria. With the exception of a wide belt of gentle undulating hills most probably representing older (Rissian) drumlin fields overprinted by multiple solifluction processes there are in the DTM only a few morphological traces of older glaciations.

## Acknowledgements

E.B. acknowledges a grant from Landesgraduiertenförderung Baden-Württemberg. An early version of the manuscript benefited from the comments by Werner Stackebrandt (Potsdam), thank you so much. We are very grateful for the careful and detailed comments provided by two anonymous reviewers and Harold Lovell (University of London).

## References

- BENN, D.I. & EVANS, D.J.A. (1998): Glaciers and Glaciation. – 734 p.; London (Arnold).
- BENNETT, M.R. & GLASSER, N.F. (2009): Glacial Geology – Ice sheets and landforms (2nd ed.). – 385 p.; Chichester (Wiley-Blackwell).
- BINI, A., BUONCRISTIANI, J.-F., COUTERRAND, S., ELLWANGER, D., FELBER, M., FLORINETH, D., GRAF, H.R., KELLER, O., KELLY M., SCHLÜCHTER, C. & SCHOENEICH P. (2009): Die Schweiz während des letzteiszeitlichen Maximums (LGM), map 1:500000. – Wabern (Bundesamt für Landestopografie swisstopo).
- BRÄUHÄUSER, M. (1976): Erläuterungen zur Geologischen Karte von Baden-Württemberg 1:25000, Blatt 8322 Friedrichshafen (3rd ed.). – 153 p.; Stuttgart (Geologisches Landesamt und Landesvermessungsamt Baden-Württemberg).
- BRODZIKOWSKI, K. & VAN LOON, A.J. (1991): Glacigenic sediments. – Developments in Sedimentology, 49. – 674 p.; Amsterdam (Elsevier).
- CLARK, C.D., HUGHES, A.L.C., GREENWOOD, S.L., SPAGNOLO, M. & NG, F.S.L. (2009): Size and shape characteristics of drumlins, derived from a large sample, and associated scaling laws. – Quaternary Science Review, 28: 677–692. DOI: 10.1016/j.quascirev.2008.08.035
- DOPPLER, G., KROEMER, E., RÖGNER, K., WALLNER, J., JERZ, H. & GROTTENTHALER, W. (2011): Quaternary Stratigraphy of Southern Bavaria. – E&G Quaternary Science Journal, 60(2/3): 329–365. DOI: 10.3285/eg.60.2.3.08
- DYKE, A.S. & SAVELLE, J. M. (2000): Major end moraines of Younger Dryas age on Wollaston Peninsula, Victoria Island, Canadian Arctic: implications for palaeoclimate and for formation of hummocky-moraine. – Canadian Journal of Earth Sciences, 37: 601–619. DOI: 10.1139/e99-118
- EBERLE, J., EITEL, B., BLÜMEL, W.D. & WITTMANN, P. (2007): Deutschlands Süden vom Erdmittelalter zur Gegenwart. – 188 p.; Berlin, Heidelberg (Spektrum Akademischer Verlag).
- EHRLERS, J. (1996): Quaternary and Glacial Geology. – 578 p.; Chichester (Wiley).
- EHRLERS, J. & GIBBARD, P.L. (eds.), (2004): Quaternary Glaciations – Extent and Chronology, Part I: Europe. – 475 p.; Amsterdam (Elsevier).
- ELLWANGER, D., BIBUS, E., BLUDAU, W., KÖSEL, M. & MERKT, J. (1995): Baden-Württemberg. – In: BENDA, L. (ed.): Das Quartär Deutschlands. – 255–295; Berlin, Stuttgart (Borntraeger).
- ELLWANGER, D., NEEB, I., WEINSZIEHR, R. & SZENKLER, C. (2008): Geologische Karte von Baden-Württemberg 1:25000, Blatt 8225, Kißlegg. – Stuttgart (Landesamt für Geologie, Rohstoffe und Bergbau Baden-Württemberg).
- ELLWANGER, D., KIMMIG, B., SIMON, T. & WIELANDT-SCHUSTER, U. (2011a): Quartärgeologie des Rheingletschergebietes (Exkursion I am 29. April 2011). – Jahresberichte und Mitteilungen des oberrheinischen geologischen Vereins, N. F., 93: 387–417.
- ELLWANGER, D., WIELANDT-SCHUSTER, U., FRANZ, M. & SIMON, T. (2011b): The Quaternary of the southwest German Alpine Foreland (-Oberschwaben, Baden-Württemberg, Southwest Germany). – E&G Quaternary Science Journal, 60(2/3): 306–328. DOI: 10.3285/eg.60.2.3.07
- ERB, L. (1989), mit Beiträgen von SCHMIEDLE, M.: Erläuterungen zur Geologischen Karte von Baden-Württemberg 1:25 000, Blatt 8220, Überlingen-West und Blatt 8322, Konstanz-West (unveränderter Nachdruck von 1934). – 120 p.; Stuttgart (Geologisches Landesamt und Landesvermessungsamt Baden-Württemberg).
- ERB, L. (1995): Erläuterungen zur Geologischen Karte von Baden-Württemberg 1:25000, Blatt 8221, Überlingen-Ost (3. Ed.). – 83 p.; Freiburg i. Br., Stuttgart (Geologisches Landesamt Baden-Württemberg).
- EVANS, D.J.A. (2006): Glacial landsystems. – In: KNIGHT, P.L. (ed.): Glacier Science and Environmental Change. – 83–88; Malden, Oxford, Carlton (Blackwell Publishing).
- EVANS, I.S. (2012): Geomorphometry and landform mapping: What is a landform? – Geomorphology, 137: 94–106.
- FIEBIG, M. (1992): Quartärgeologische Untersuchungen entlang der Unteren Argen zwischen Isny und Kißlegg. – Jahreshefte des Geologischen Landesamtes Baden-Württemberg, 34: 343–366.
- FLORINETH, D. & SCHLÜCHTER, C. (1998): Reconstructing the Last Glacial Maximum ice surface geometry and flowlines in the Central Swiss Alps. – Eclogae geologicae Helvetiae, 91(3): 391–407.
- FRENCH, H.M. (2007): The Periglacial environment (3rd ed.). – 458 p.; West Sussex (Wiley).
- GEYER, O.F., SCHOBER, T. & GEYER, M. (2003): Die Hochrhein-Regionen zwischen Bodensee und Basel. – Sammlung geologischer Führer, 94. – 526 p.; Berlin, Stuttgart (Gebr. Borntraeger).
- GRAAFF, L.W.S. DE, DE JONG, M.G.G. & SEIJMONSERGEN, A.C. (2007): Landschaftsentwicklung und Quartär – In: FRIESE, J.G. (ed.): Geologie von Vorarlberg: 21–32; Wien (Geologische Bundesanstalt Österreich).
- GRAF, H.R. (2009): Stratigraphie von Mittel- und Spät-Pleistozän in der Nordschweiz – Beiträge zur Geologischen Karte der Schweiz. – 168 p.; Wabern (Bundesamt für Landestopografie swisstopo).
- GREENWOOD, S.L., CLARK, C.D. & HUGHES, A.L.C. (2007): Formalising an inversion methodology for reconstructing ice-sheet retreat patterns from meltwater channels: application to the British Ice Sheet. – Journal of Quaternary Science, 22: 637–645. DOI: 10.1002/jqs.1083
- GRIPP, K. (1978): Die Entstehung von Geröll-Osern (Esker). – Eiszeitalter und Gegenwart, 28(1): 92–108; Hannover. DOI: 10.3285/eg.28.1.08
- GRUBE, A. (2011): Zur Struktur von Eskern in Schleswig-Holstein, unter besonderer Berücksichtigung des „Esker-Kames-Systems Forst Steinberg“ in morphologischer Hochlage. – E&G Quaternary Science Journal, 60(4): 425–433. DOI: 10.3285/eg.60.4.03
- HABBE, K.A., in coop. ELLWANGER, D. & BECKER-HAUMANN, R. (2007): Stratigraphische Begriffe für das Quartär des süddeutschen Alpenvorlandes. – E&G Quaternary Science Journal, 56(1/2): 66–83. DOI: 10.3285/eg.56.1.2.03
- HAGEDORN, J. (1995): Late Quaternary and present-day fluvial processes in Central Europe. – Zeitschrift für Geomorphologie, Supplement 100, 204 p.; Stuttgart (Schweizerbart).
- HANTKE, R. (1978): Eiszeitalter, Band 1: Klima, Flora, Fauna, Mensch, Alt- und Mittel-Pleistozän, Vogesen, Schwarzwald, Schwäbische Alb. – 468 p.; Thun (Ott).
- HANTKE, R. (1980): Eiszeitalter, Band 2: Letzte Warmzeiten, Würm-Eiszeit,

- Eisabbau und Nacheiszeit der Alpen-Nordseite vom Rhein- zum Rhone-System. – 703 p.; Thun (Ott).
- HANTKE, R. (2011): Eiszeitalter – Kalt-/Warmzeit-Zyklen und Eistransport im alpinen und voralpinen Raum. – 570 p.; Bern (Ott).
- HÄTTESTRAND, C. & JOHANSEN, N. (2005): Supraglacial moraines in Scharffenbergbotnen, Heimefrontfjella, Dronning Maud Land, Antarctica – significance for reconstructing former blue ice areas. – *Antarctic Science*, 17(2): 225–236. DOI: 10.1017/S0954102005002634
- HUSEN, D. VAN (1987): Die Ostalpen und ihr Vorland in der letzten Eiszeit (Würm), map 1:500000. – In: VAN HUSEN, D. (ed.): Die Ostalpen in den Eiszeiten. – 24 p.; Wien (Geologische Bundesanstalt Österreich).
- HUSEN, D. VAN & REITNER, J.M. (2011): An Outline of the Quaternary Stratigraphy of Austria. – In: E&G *Quaternary Science Journal*, 60(2/3): 366–387. DOI: 10.3285/eg.60.2-3.09
- JAUD, T., SZENKLER, C. & ELLWANGER, D. (2001): Geologische Karte von Baden-Württemberg 1:25000, Vorläufige Ausgabe, Blatt 8222, Markdorf (2. ed.). – Freiburg i. Br. (Landesamt für Geologie, Rohstoffe und Bergbau Baden-Württemberg).
- JERZ, H. (1995): Bayern. – In: BENDA, L. (ed.): Das Quartär Deutschlands: 296–326; Berlin, Stuttgart (Borntraeger).
- KELLER, O. & KRAYSS, E. (1994): Die Vorlandvereisung des Rheingletschers im Konstanzer Stadium der letzten Eiszeit. – Berichte der sankt-gallischen naturwissenschaftlichen Gesellschaft, 87: 31–40.
- KELLER, O. & KRAYSS, E. (2000): Die Hydrographie des Raums in Vergangenheit und Gegenwart (Erläuterung zur Karte "Vorlandvereisung des -Rheingletschers in der Würmeiszeit"). – Berichte der sankt-gallischen naturwissenschaftlichen Gesellschaft, 89: 39–56.
- KELLER, O. & KRAYSS, E. (2010): Mittel- und spätpleistozäne Stratigraphie und Morphogenese in Schlüsselregionen der Nordschweiz. – E&G *Quaternary Science Journal*, 59(1/2): 88–119. DOI: 10.3285/eg.59.1-2.08
- KUPETZ, M. (1996): Der Muskauer Faltenbogen – ein Geotop von europäischer Bedeutung. – Brandenburgische Geowissenschaftliche Beiträge, 3: 125–136.
- LITT, T., ELLWANGER, D., VILLINGER, E. & WANSA, S. (2005): Das Quartär in der Stratigraphischen Tabelle von Deutschland. – *Newsletters on Stratigraphy*, 41: 385–399; Berlin, Stuttgart. DOI: 10.1127/0078-0421/2005/0041-0385
- MUNRO-STASIUK, MJ. & SJOGREN, D. (2006): The erosional origin of hummocky terrain, Alberta, Canada. – In: Knight, P.L.(ed.): *Glacier Science and Environmental Change*: 33–36; Malden, Oxford, Carlton (Blackwell Publishing).
- MENNING, M. & DEUTSCHE STRATIGRAPHISCHE KOMMISSION (2002): Eine geologische Zeitskala 2002. – Deutsche Stratigraphische Kommission (ed.), *Stratigraphische Tabelle von Deutschland 2002*.
- MENZIES, J. (1996): Sediments, forms and techniques. – *Glacial Environments*, 2: 598 p.; Oxford (Butterworth-Heinemann).
- PENCK, A. & BRÜCKNER, E. (1909): Die Alpen im Eiszeitalter. – 1199 p., (3 vol.); Leipzig (Tauchnitz).
- PREUSSER, F., REITNER, J.M. & SCHLÜCHTER, C. (2010): Distribution, geometry, age, and origin of overdeepened valleys and basins in the Alps and their foreland. – *Swiss Journal of Geosciences*, 103: 407–426. DOI: 10.1007/s00015-010-0044-y
- PREUSSER, F., GRAF, H.R., KELLER, O., KRAYSS, E. & SCHLÜCHTER, C. (2011): Quaternary glaciation history of northern Switzerland. – E&G *Quaternary Science Journal*, 60(2/3): 282–305. DOI: 10.3285/eg.60.2-3.06
- REUTHER, A.U., FIEBIG, M., IVY-OCHS, S., KUBIK, P.W., REITNER, J.M., JERZ, H. & HEINE, K. (2011): Deglaciation of a large piedmont lobe glacier in comparison with a small mountain glacier – new insight from surface exposure dating. Two studies from SE Germany. – E&G *Quaternary Science Journal*, 60(2/3): 282–305. DOI: 10.3285/eg.60.2-3.03
- RUPP, C., LINNER, M. & MANDL, G.W. (2011): Erläuterungen zur Geologischen Karte von Oberösterreich 1:200000. – Wien (Geologische Bundesanstalt Österreich).
- SALCHER, B.C., HINSCH, R. & WAGREICH, M. (2010): High-resolution mapping of glacial landforms in the North Alpine Foreland, Austria. – *Geomorphology*, 122: 283–293. DOI: 10.1016/j.geomorph.2009.09.037
- SCHAEFER, I. (1995): Das Alpenvorland im Zenit des Eiszeitalters. – 2 vol., 405 + 671 p.; Stuttgart (Steiner).
- SCHMIDT, M. & BRÄUHÄUSER, M. (1913): Blatt Neukirch (Nr. 181) – Erläuterungen der Geologischen Spezialkarte des Königreichs Württemberg. – 102 p.; Stuttgart (Königliche Württembergische Statistische Landesamt). [Unveränderter Nachdruck als Geologische Karte von Baden-Württemberg 1:25000, Blatt 8324, Wangen im Allgäu/West. – Stuttgart 1985, (Geologisches Landesamt und Landesvermessungsamt Baden-Württemberg)].
- SCHMIDT, A. & MÜNST, M. (1978): in coop. SCHMIDT, M.: Geologische Karte von Baden-Württemberg 1:25000, Blatt 8323, Tettnang (3. ed.). – Stuttgart (Geologisches Landesamt Baden-Württemberg).
- SCHMIDT, M. (1998): Erläuterungen zur Geologischen Karte von Baden-Württemberg 1:25000, Blatt 8223, Ravensburg (4. ed.). – 91 p.; Freiburg, Stuttgart (Geologisches Landesamt Baden-Württemberg).
- SCHREINER, A. (1974): Erläuterungen zur Geologischen Karte von Baden-Württemberg 1:50000, Landkreis Konstanz mit Umgebung. – 286 p.; Stuttgart (Geologisches Landesamt und Landesvermessungsamt Baden-Württemberg).
- SCHREINER, A. (1978): Erläuterungen zur Geologischen Karte von Baden-Württemberg 1:25000, Blatt 8323, Tettnang (3rd ed.) – 60 p.; Freiburg, Stuttgart (Geologisches Landesamt und Landesvermessungsamt Baden-Württemberg).
- SCHREINER, A. (1992a): Erläuterungen zur Geologischen Karte von Baden-Württemberg 1:50000, Blatt Hegau und westlicher Bodensee. – 290 p.; Freiburg, Stuttgart (Geologisches Landesamt und Landesvermessungsamt Baden-Württemberg).
- SCHREINER, A. (1992b): Einführung in die Quartärgeologie. – 277 p.; Stuttgart (Schweizerbart, Nägeli/Obermiller).
- STACKEBRANDT, W., THIEDIG, F., THIEKE, H.U. & HERMSDORF, N. (1997): Glazialdynamik und Moränengenese – aktuogeologische Beobachtungen in Spitzbergen (Svalbard). – Brandenburgische Geowissenschaftliche Beiträge, 4: 31–48.
- STACKEBRANDT, W. (2009): Subglacial channels of Northern Germany. – *Zeitschrift der Deutschen Gesellschaft für Geowissenschaften*, 160(3): 203–210. DOI: 10.1127/1860-1804/2009/0160-0203
- STREHL, E. (1998): Glazilimnische Kames in Schleswig-Holstein. – Eiszeitalter und Gegenwart, 48: 19–22. DOI: 10.3285/eg.48.1.02
- SUTINEN, R., HYVÖNEN, E. & KUKKONEN, I. (2013): LiDAR detection of palaeolandslides in the vicinity of the Susselkä postglacial fault, Finnish Lapland. – *International Journal of Applied Earth Observation and Geoinformation*, in press. DOI: 10.1016/j.bbr.2011.03.031
- SZENKLER, C. & ELLWANGER, D. (1995): Geologische Karte von Baden-Württemberg 1:25000, Vorläufige Ausgabe, Blatt 8121, Heiligenberg, Beiheft. – 20 p.; Freiburg i. Br. (Geologisches Landesamt Baden-Württemberg).
- SZENKLER, C. & ELLWANGER, D. (1997): Geologische Karte von Baden-Württemberg 1:25000, Vorläufige Ausgabe, Blatt 8124, Wolfegg. – Freiburg i. Br. (Geologisches Landesamt Baden-Württemberg).
- WEIDENBACH, F. (1975) in coop. MÜLLER, S., GöTTLICH, K., WERNER, J., SCHREINER, A., SCHWARZENHÖLZER, W.: Erläuterungen zur Geologischen Karte von Baden-Württemberg 1:25000, Blatt 8023, Aulendorf. – 126 p.; Stuttgart (Geologisches Landesamt und Landesvermessungsamt Baden-Württemberg).
- WIEDERKEHR, M. & MÖRI, A. (2013): swissALTI3D – a new tool for geological mapping. – *Swiss Bulletin for Applied Geology*, 18(1): 61–69.
- WINSEMAN, J., BRANDES, C., POLOM, U., WEBER, C. (2011): Depositional architecture and paleogeographic significance of middle Pleistocene glaciocustrine ice marginal deposits in northwestern Germany: a synoptic overview. – E&G *Quaternary Science Journal*, 60(2/3): 212–235. DOI: 10.3285/eg.60.2-3.01
- ZAUGG, A., GEYER, M., RAHN, M., WESSELS, M., SCHLICHTHERLE, H., HASENFRATZ & A., BURKHALTER, R. (2008): Erläuterungen zum Geologischen Atlas der Schweiz 1:25000, Blatt 1033 Steckborn (Südteil) mit SW-Anteil von 1034 Kreuzlingen. – 124 p.; Wabern (Bundesamt für Landestopografie swisstopo).

# Die spätglaziale Vegetationsgeschichte im oberen Illergebiet (Allgäu/Bayern)

Philipp Stojakowits, Arne Friedmann, Andrea Bull

**How to cite:** STOJAKOWITS, PH., FRIEDMANN, A., BULL, A. (2014): Die spätglaziale Vegetationsgeschichte im oberen Illergebiet (Allgäu/Bayern). – E&G Quaternary Science Journal, 63 (2): 130–142. DOI: 10.3285/eg.63.2.02

**Kurzfassung:** Anhand dreier  $^{14}\text{C}$ -datierter Pollendiagramme kann erstmals die spätglaziale Vegetationsentwicklung im ehemals vergletscherten südlichen Allgäu rekonstruiert werden. Die vorliegenden Pollendiagramme wurden mit anderen Untersuchungen aus dem Alpenvorland und den nördlichen Alpen verglichen und entsprechenden Biozonen zugeordnet. Im Bölling breitet sich in den tieferen Lagen *Pinus* aus und wird zur dominanten Baumart. In höheren Lagen findet die Ausbreitung verzögert statt. Die Warmphase des Alleröds führt im Vergleich zum Bölling zur Entwicklung dichterer Wälder. Die klimatische Abkühlung der Jüngeren Dryas zeigt sich in einer Auflichtung der Wälder. Des Weiteren konnten möglicherweise erstmals im Allgäu die Gerzensee-Schwankung im Alleröd und das Rammelbeek im Präboreal pollenanalytisch nachgewiesen werden.

## Lateglacial vegetation development in the upper Iller region [Allgäu/Bavaria]

**Abstract:** Three radiocarbon dated pollen diagrams for the first time reveal the full Lateglacial vegetation development in the formerly glaciated area of the Southern Allgäu. The presented pollen diagrams were compared with other investigations of the Alpine foreland and northern Alps and were assigned to corresponding biozones. In the Bölling *Pinus* immigrates in lower altitudes and becomes the dominant tree species. In higher altitudes the expansion is delayed. During the Alleröd denser pine forests evolve with an understorey of birches. The climatic cooling of the Younger Dryas leads to sparser forests. Furthermore it is likely, that two climatic oscillations were detected pollanalytically, the Gerzensee-depression in the Alleröd and the Rammelbeek-depression in the Preboreal.

**Keywords:** *Vegetation history, Lateglacial,  $^{14}\text{C}$ -dating, Climatic oscillations, Alps*

**Addresses of authors:** Philipp Stojakowits, Arne Friedmann, Andrea Bull, Arbeitsgruppe Biogeographie, Institut für Geographie, Universität Augsburg, Alter Postweg 118, D-86135 Augsburg, Germany. E-Mails: stojakowits@geo.uni-augsburg.de, friedmann@geo.uni-augsburg.de

## 1 Einleitung

Aus vielen Regionen des deutschen Alpenvorlandes existieren detaillierte pollenanalytische Untersuchungen zum Ablauf der spätglazialen Vegetationsgeschichte. Für die Bodenseeregion mit Oberschwaben wurden z.B. Untersuchungen von Göttlich (1955), Bertsch (1961), Lang (1952, 1962), Müller (1962), Mielke & Müller (1981), Rösch (1985, 1990) und Lechterbeck (2001) vorgelegt. Die Ammerseegegend wurde von Kleinmann (1995) bearbeitet. Aus dem südöstlichen Bayern seien die Analysen von Schmeidl (1971), Rausch (1975), Beug (1976) und Voigt (1996) genannt. Obwohl schon seit über 80 Jahren pollenanalytische Forschung im südwestbayerischen Alpenvorland betrieben wird – Paul & Ruoff (1932) als Pioniere – ist das Allgäu jedoch bisweilen ein weißer Fleck hinsichtlich der spätglazialen Vegetationsentwicklung. Lediglich von Küster (1988) wurde ein Pollendiagramm publiziert, welches das jüngere Spätglazial abdeckt.

Mit der vorliegenden Arbeit wird angestrebt, einen Teil dieser Lücke zu schließen. Es werden zwei Profile aus dem

oberen Illertal und eines aus dem angrenzenden Kleinwalsertal vorgestellt. Dabei finden zwei Diagramme aus einer nicht publizierten Dissertation von Dieffenbach-Fries (1981) ergänzend Berücksichtigung.

## 2 Untersuchungsgebiet

Die vorgestellten Archive liegen in Bayerisch-Schwaben im Landkreis Oberallgäu (Abb. 1). Die Niedersonthofener Seen, zu denen auch der Untere Inselsee (703 m ü. NN) gehört, sind in ein Mosaik aus Jungmoränen und Schichten der Faltenmolasse unweit des morphologischen Alpenrandes eingebettet. Das Profil Moorbad Oberstdorf ist im Illertalboden auf 830 m ü. NN lokalisiert und von den Gebirgszügen des Helvetikums, der Flyschzone und des Kalkalpins umgeben. Die Vermoorung am Gasthof Bergblick ist auf 1050 m ü. NN im angrenzenden Kleinwalsertal im Verzahnungsbereich von Flysch und Helvetikum auf einer Hangverebnung gelegen. Weiter südlich schließen ebenfalls kalkalpine Ablagerungen an.

Während der Würmeiszeit wurde das zuvor schon angelegte Illertal vom Illergletscher weiter glazial übertieft. Für

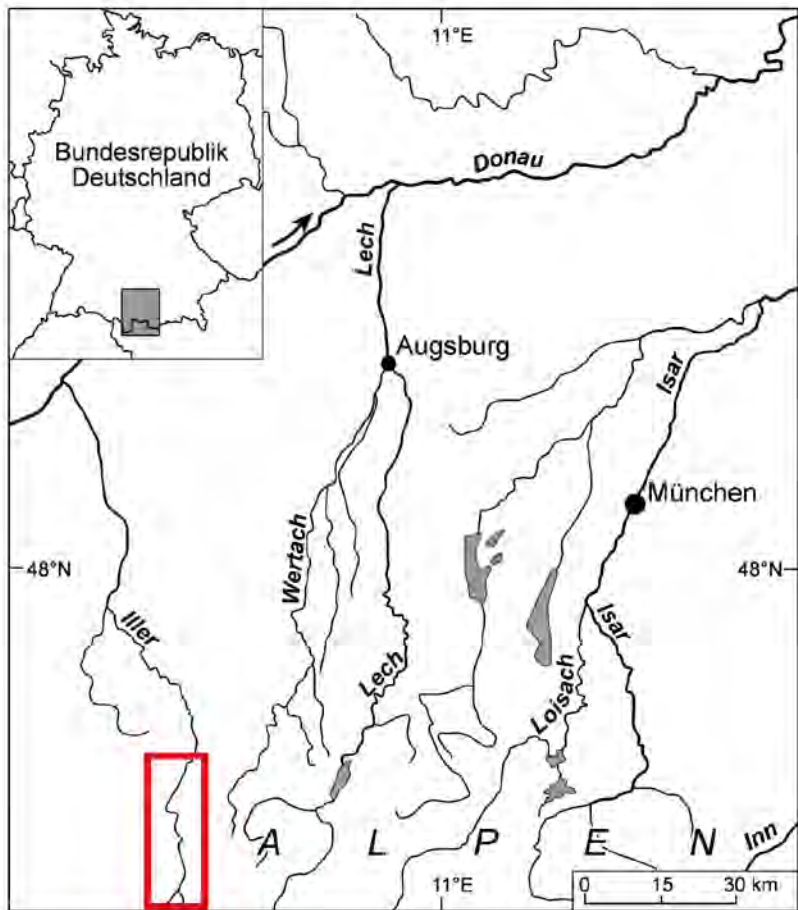


Abb. 1: Lage des Untersuchungsgebietes.

Fig. 1: Location of the study area.

den Höhepunkt der letzten Eiszeit werden für das Untersuchungsgebiet Eismächtigkeiten von 700 bis 800 m über dem heutigen Talboden angegeben (BADER & JERZ 1978: 29). Beim Niedertauen des Illergletschers wurden durch Glazialerosion vertiefte Becken freigegeben. In einem solchen Becken, welches im ausgehenden Würm-Hochglazial durch Toteis vor der Zusedimentierung bewahrt wurde, liegen auch die Niedersonthofener Seen (JERZ 1974: 72). Die Ausschürfung des Beckens wurde wohl durch eine Störungszone mit leichter erodierbaren Molasseschichten begünstigt (JERZ 1974: 81). Im Spätglazial sind der Illergletscher und seine Seitengletscher in die Hochlagen der Allgäuer Alpen zurückgeschmolzen (SCHOLZ 1995: 250). Zur Zeit des Bühl-Stadiums war das Moor am Gasthof Bergblick noch von Gletschereis bedeckt. In diesem und dem darauf folgenden Steinach-Stadium, welche beide jüngst als Phase des frühspätglazialen Eiszerfalls in die Literatur eingingen (REITNER 2007: 82 und IVY-OCHS et al.: Tab. 1), wurden am Gletschertalrand glazialakustrine Einstauseeschüttungen in Form von vier Deltaterrassenstufen abgelagert. Die unterste Terrassenstufe ist auf 1050 m ü. NN ausgebildet (VÖLK 2001: 67).

### 3 Methoden

Am Südwestufer des Unteren Inselsees wurde mit einem Russischen Kammerbohrer ein 7,20 m langer Bohrkern gewonnen. Für die Anreicherung der Pollenkörper im Probenmaterial kamen die gängigen Standardverfahren zur Anwendung (FÆGRI & IVERSEN 1989, MOORE, WEBB & COLLINSON 1991). Dem Bohrkern wurden alle zwei bis vier

cm Proben von einem cm<sup>3</sup> aus dem Kerninneren entnommen und mittels Salzsäure-, Natronlauge-, Flusssäure- und Acetylase-Behandlung aufbereitet. Abschließend wurde mit Hilfe eines Ultraschallbades das Feinmaterial (< 10 µ) ausgesiebt. Um die absolute Pollenkonzentration berechnen zu können, wurden den Proben jeweils zwei Tabletten mit einer definierten Menge *Lycopodium*-Sporen hinzugefügt (STOCKMARR 1971). Die aufbereiteten Proben wurden unter einem Durchlichtmikroskop mit Kreuztisch bei 400- bis 1000-facher Vergrößerung ausgezählt.

Zur sicheren Identifikation der Pollenkörper diente die einschlägige Bestimmungsliteratur (BEUG 1961, FÆGRI & IVERSEN 1989, MOORE, WEBB & COLLINSON 1991, REILLE 1998). Zusätzlich stand eine umfangreiche Vergleichssammlung rezenter Pollenkörper und Sporen aus Süddeutschland zur Verfügung. Die Nomenklatur der Pollentypen richtet sich nach BEUG (2004).

Die Ergebnisse der Pollenanalysen sind in drei Diagrammen dargestellt (Abb. 2 bis 4). Als Bezugssumme (=100 %) wurde der gesamte Gehölzpollen und Nichtbaumpollen unter Ausschluss der Sporen sowie der lokalen Moor- und Wasserpflanzen gewählt. Ausgeschlossen wurden neben Cyperaceen, *Botrychium*, *Caltha*, *Lemna*, *Menyanthes*, *Myriophyllum*, *Nuphar*, *Nymphaea*, *Parnassia*, *Polypodiaceae*, *Potamogeton*, *Selaginella selaginoides*, *Sparganium*, *Sphagnum* und *Typha*. Einige der in den Diagrammen enthaltenen Pollentypen wurden zusammengefasst (z.B. *Rosaceae spp.*). Die beiden von DIEFFENBACH-FRIES (1981) bearbeiteten Diagramme Moorbad Oberstdorf und Gasthof Bergblick enthielten ursprünglich Cyperaceen in der Bezugssumme, weswegen die-

# Unterer Inselsee (703 m ü. NN) - Prozentpollendiagramm ausgewählter Taxa

Analyse: A. Bull

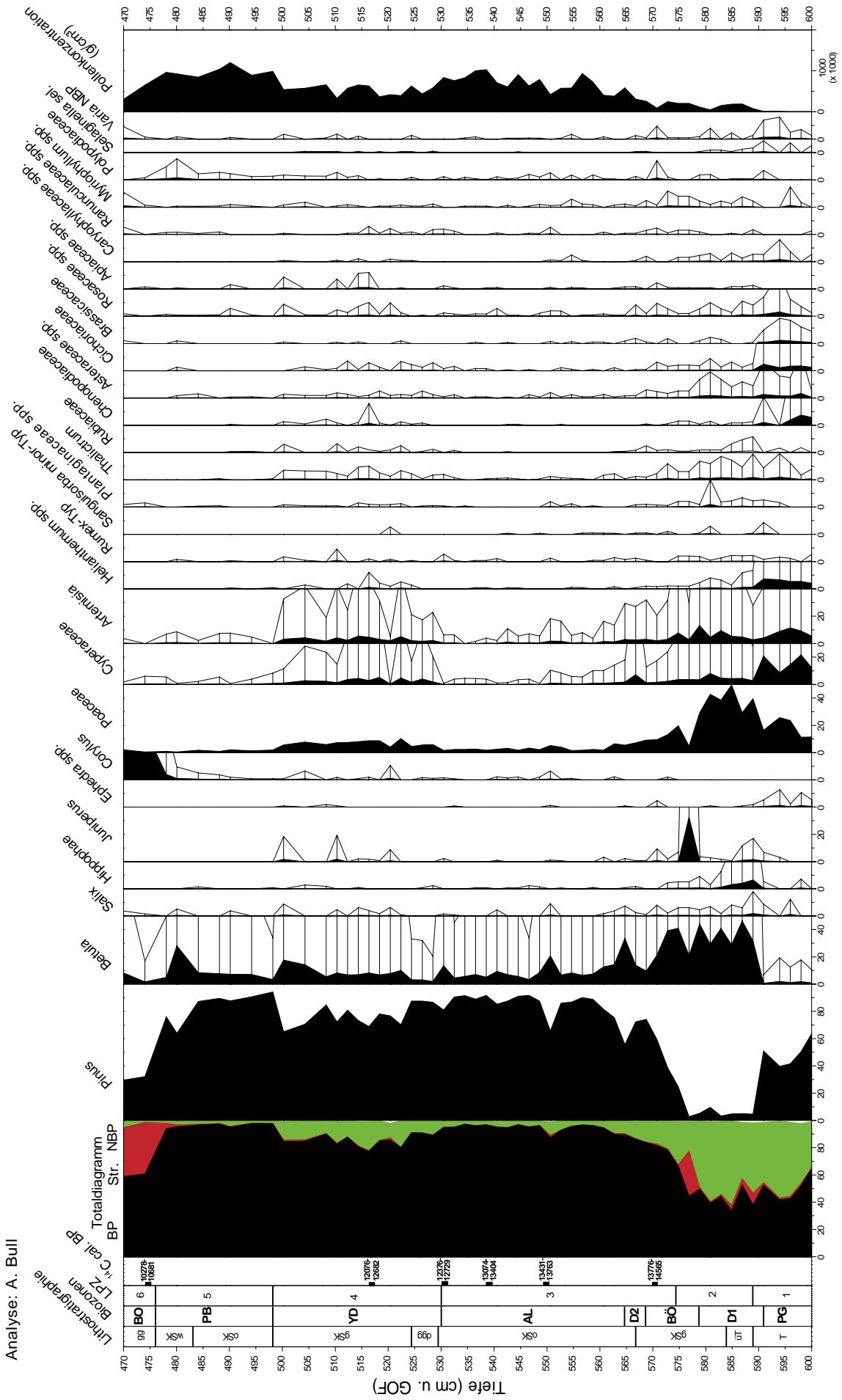


Abb. 2: Pollendiagramm Unterer Inselsee.

Fig. 2: Pollen diagram Unterer Inselsee.

# Moorbad Oberstdorf (830 m ü. NN) - Prozentpollendiagramm ausgewählter Taxa

Analyse: H. Dierffenbach-Fries

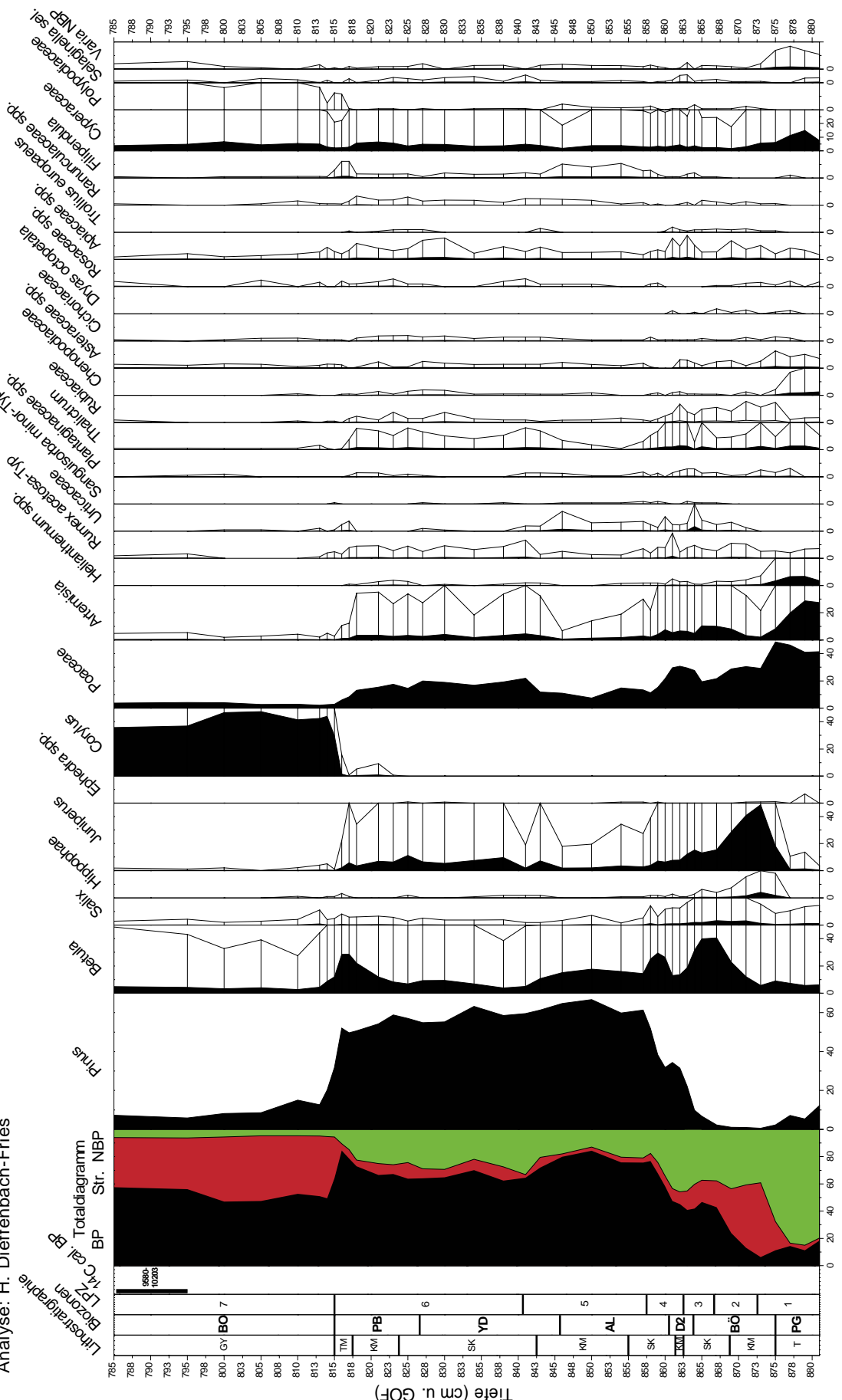


Abb. 3: Pollendiagramm Moorbad Oberstdorf.

Fig. 3: Pollen diagram Moorbad Oberstdorf.

## Moor am Gasthof Bergblick (1050 m ü. NN) - Prozentpollendiagramm ausgewählter Taxa

Analyse: H. Dieffenbach-Fries

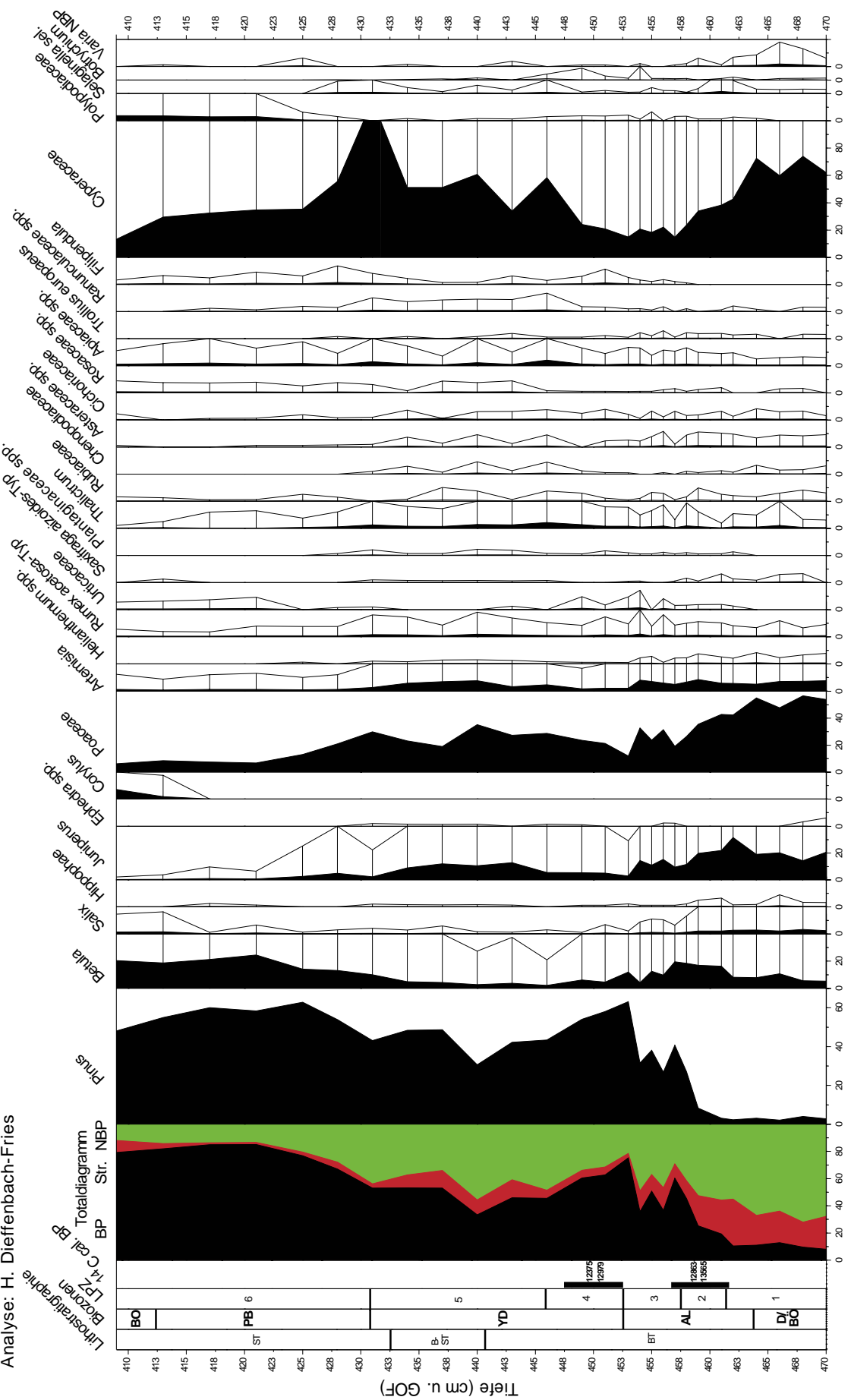


Abb. 4: Pollendiagramm Gasthof Bergblick.  
Fig. 4: Pollen diagram Gasthof Bergblick.

se Profile neu berechnet wurden. Abzüglich der ausgeschlossenen Palynomorphen wurden nahezu durchweg hohe Pollensummen ausgezählt. Im Profil Inselsee wurden abgesehen vom Pleniglazial und der frühen Ältesten Dryas (260–400 Pollenkörner) mindestens 600 Baumpollen- bzw. 1000 terrestrische Pollenkörner pro Probe erfasst. Die Bezugssumme des Profils Oberstdorf beinhaltet 600–900 Pollenkörner, nur nicht im Pleniglazial (300–500). Auf das Profil Bergblick entfallen bis auf eine Probe (= 492) jeweils 600–900 Palynomorphen. Die stratigraphischen Einheiten wurden im Gelände bohrbegleitend abgegrenzt. Eine genaue Farb- und Substratansprache erfolgte im Labor, welche durch Makrorestbefunde ergänzt wurde. An vegetationsgeschichtlich markanten Stellen wurde dem Bohrkern Material (bulkproben bei DIEFFENBACH-FRIES 1981) für Datierungszwecke entnommen und mittels AMS  $^{14}\text{C}$ -Messung datiert. Die kalibrierten  $^{14}\text{C}$ -Daten wurden mit dem Programm Calib 7.01 (STUIVER & REIMER 1993) berechnet und die wahrscheinlichste Alterszeitspanne mit 2 Sigma-Intervall angegeben. Dem Programm lag dabei der Datensatz IntCal13 (REIMER et al. 2013) zugrunde.

## 4 Ergebnisse

### 4.1 Stratigraphie

Die Stratigraphie ist in den Tabellen 1 bis 3 dargelegt.

### 4.2 Datierung

Die kalibrierten  $^{14}\text{C}$ -Daten sind in den Tabellen 4 und 5 dargestellt.

### 4.3. Lokale Pollenzonen der Profile

#### 4.3.1 Lokale Pollenzonen Diagramm Inselsee

##### LPZ 1 (600–588 cm): NBP-*Pinus*

Die Nichtbaumpollenanteile und die von *Pinus* schwanken jeweils zwischen ungefähr 40 und 60 %. Die wichtigsten Nichtbaumpollentypen sind nach absteigender Häufigkeit *Poaceae*, *Cyperaceae*, *Artemisia*, *Helianthemum* und *Chenopodiaceae*. Bei den Gehölzpollentypen sind Funde von *Ephedra* erwähnenswert. Insgesamt zeichnet sich der Abschnitt durch eine hohe Anzahl nachgewiesener Taxa aus.

##### LPZ 2 (588–574 cm): *Betula-Poaceae*

*Betula* und *Poaceae* sind über mehrere Proben hinweg mit wechselnden Dominanzverhältnissen repräsentiert. Die *Pinus*-Kurve ist auf ein Minimum abgesunken und nimmt erst gegen Ende des Abschnitts wieder zu. Kurz zuvor erreicht *Juniperus* einen Gipfel mit 30 % bei zugleich rückläufiger *Poaceae*-Kurve.

##### LPZ 3 (574–530 cm): *Pinus-Betula*

Die Nachweise der Nichtbaumpollentypen pendeln sich auf sehr niedrigerem Niveau ein und *Pinus* dominiert fortan das Pollenspektrum. Kurvenschwankungen dieses Taxons fallen mit erhöhten *Betula*-Werten und einer einmaligen Zunahme der Nichtbaumpollenfunde zusammen.

##### LPZ 4 (530–498 cm): *Pinus-NBP*

Die *Pinus*-Kurve sinkt ab und schwankt zwischen 60–80 %. *Betula* ist meist mit unter 10 % Anteil am Pollenspektrum

vertreten, nimmt jedoch am Abschnittsende kurzzeitig zu. Bei *Juniperus* und *Salix* treten kleinere Gipfel auf. Die Nichtbaumpollenwerte liegen bei bis zu 20 %, wobei besonders *Poaceae* und *Artemisia* hervortreten. Auch viele andere Nichtbaumpollentypen treten wieder deutlicher im Pollenspektrum hervor, wie z.B. *Thalictrum*, *Rubiaceae*, *Chenopodiaceae*, *Asteraceae* und *Cichoriaceae*.

##### LPZ 5 (498–476 cm): *Pinus*

Der Nichtbaumpollenanteil geht zurück, der von *Pinus* nimmt entsprechend zu. Gegen Ende der Pollenzone ist ein Anstieg der *Betula*-Kurve zu verzeichnen.

##### LPZ 6 (476–470 cm): *Corylus-EMW*

Diese Pollenzone ist durch ansteigende Werte der thermophilen Gehölze gekennzeichnet. Neben dominanter *Corylus* sind die sogenannten Eichenmischwaldgehölze *Ulmus*, *Tilia* und *Quercus* gehäuft nachgewiesen. *Pinus* ist nur noch mit Werten um die 20 % vertreten.

### 4.3.2 Lokale Pollenzonen Diagramm Oberstdorf

##### LPZ 1 (881–873 cm): *Poaceae-Artemisia*

In dieser Zone überwiegt der Nichtbaumpollenanteil. Hier von machen *Poaceae* 40 bis 50 % aus. *Artemisia* ist anfangs mit knapp 30 % vertreten, sinkt aber im Verlauf der Pollenzone auf 8 % ab. In etwa gegenläufig dazu verhält sich die *Juniperus*-Kurve am Ende des Abschnitts.

##### LPZ 2 (873–867 cm): *Juniperus-Poaceae-Betula*

*Juniperus* dominiert zwar durchweg den Polleninhalt, dessen Werte fallen jedoch von 49 auf 28 % ab bei zugleich steigenden *Betula*-Gehalten. Die *Poaceen*-Anteile sind bei um die 30 % stabil.

##### LPZ 3 (867–863 cm): *Betula-Poaceae-Juniperus*

In dieser Zone sind die Dominanzverhältnisse umgekehrt. *Betula* ist mit 31 bis 40 % am häufigsten nachgewiesen. *Juniperus* ist mit etwa 15 % deutlich seltener geworden. *Poaceae* erreichen 19 bis 28 %.

##### LPZ 4 (863–858 cm): *Pinus-Poaceae-Betula*

Die *Pinus*-Werte liegen anfangs bei rund 20 % und nehmen im Verlauf des Abschnitts bei kurzzeitiger Kodominanz mit *Poaceae* zu. Deren Nachweise gehen zum Zonenende hin zurück und neben *Pinus* ist *Betula* stärker im Pollenspektrum repräsentiert.

##### LPZ 5 (858–841 cm): *Pinus-Betula-Poaceae*

*Pinus* ist zum dominanten Taxon geworden bei Anteilen von 52 bis 67 %. *Poaceae* sind mit Werten um die 10 % vertreten und die *Betula*-Nachweise fallen von anfänglich 25 % auf etwa 15 % ab.

##### LPZ 6 (841–815 cm): *Pinus-Poaceae*

Das Pollenspektrum wird weiterhin von *Pinus* dominiert. Jedoch ist *Betula* – vom Abschnittsende einmal abgesehen – deutlich seltener und die *Poaceen*-Anteile sind deutlich erhöht. Ebenso sind andere Nichtbaumpollentypen (z.B. *Artemisia*, *Thalictrum*) wie auch *Juniperus* häufiger.

Tab. 1: Stratigraphie der Kernbohrung Unterer Inselsee.

Tab. 1: Stratigraphy of the Unterer Inselsee core.

Tiefe (in cm u. GOF)	Sediment/ Sedentat
470-476	Seekreide (gräulich gelb, Conchylien)
476-483	Seekreide (grau bis ockerfarben, Conchylien)
483-498	Seekreide (ockerfarben, Conchylien)
498-524	Seekreide (gräulich gelb)
524-529	Seekreide (dunkelgräulich gelb)
529-567	Seekreide (ockerfarben)
567-583	Seekreide (grau)
583-588	Carbonatreicher Beckenton bis tonige Seekreide
588-720	Carbonatreicher Beckenton

Tab. 2: Stratigraphie der Kernbohrung Moorbad Oberstdorf.

Tab. 2: Stratigraphy of the Moorbad Oberstdorf core.

Tiefe (in cm u. GOF)	Sediment/ Sedentat
785-815	Gyttja
815-818	Carbonatreiche Torfmudde (Gyttja)
818-824	Tonreiche Kalkmudde
824-843	Tonreiche Seekreide (sehr wenig Conchylien); <i>Pinus</i> -Spaltöffnungen
843-855	Kalkmudde (Conchylien); <i>Pinus</i> -Spaltöffnungen; 1 <i>Hippophaë</i> -Samen
855-862	Seekreide (Conchylien); <i>Pinus</i> -Spaltöffnungen
862-863	Kalkmudde
863-869	Seekreide (Conchylien)
869-875	Kalkmudde (wenig Conchylien); <i>Juniperus</i> -Spaltöffnungen
875-882	Carbonatreicher Seeton bis tonreiche Seekreide

Tab. 3: Stratigraphie der Kernbohrung Gasthof Bergblick.

Tab. 3: Stratigraphy of the Gasthof Bergblick core.

Tiefe (in cm u. GOF)	Sediment/ Sedentat
409-433	Seggentorf mit <i>Carex limosa</i> , <i>Carex flava</i> agg., <i>Carex pallescens</i> , <i>Potentilla erecta</i> , <i>Betula alba</i> s.l.-Nüsse
433-441	Braunmoos-Seggentorf mit <i>Calliergon trifarium</i> , <i>Carex limosa</i>
441-468	Braunmoostorf mit <i>Calliergon trifarium</i>
468-470	Tonhaltiger Braunmoostorf mit <i>Drepanocladus revolvens</i> , <i>Calliergon trifarium</i> , <i>Eleocharis cf. Palustris</i>

### **LPZ 7 (815–785 cm): *Corylus*-EMW**

Der Polleninhalt wird von *Corylus* mit Werten zwischen 30 und 47 % dominiert, gefolgt von *Ulmus* mit 12 bis 20 %. Andere nicht im Pollendiagramm dargestellte Laubgehölze (*Fraxinus*, *Quercus*, *Tilia cordata*, *Tilia platyphyllos*) überschreiten im Zonenverlauf 5 % und die *Pinus*-Nachweise gehen von 30 auf 7 % zurück. Nichtbaumpollentypen sind nur noch sehr spärlich vorhanden.

### **4.3.3 Lokale Pollenzonen Diagramm Bergblick**

#### **LPZ 1 (470–462 cm): *Cyperaceae-Poaceae-Juniperus***

Der Pollengehalt wird von Cyperaceen, Poaceen und *Juniperus* bestimmt, wobei die Cyperaceen-Nachweise zwischen 60 und knapp 75 % liegen. Poaceen sind mit Werten um die 50 % vertreten und *Juniperus* erreicht zwischen 15 und 20 %. Am nächst häufigen treten *Artemisia* und *Betula* hervor.

#### **LPZ 2 (462–458 cm): *Poaceae-Cyperaceae-Juniperus***

Mit dem Beginn der Zone fällt ein *Juniperus*-Gipfel zusammen. In deren Verlauf gehen die Anteile von Poaceen, Cyperaceen und *Juniperus* zurück, während die Werte von *Betula* und verzögert auch von *Pinus* zunehmen.

#### **LPZ 3 (458–453 cm): *Pinus-Poaceae-Cyperaceae-Betula***

Im Pollenspektrum dominieren *Pinus* und *Poaceae* bei schwankenden Verhältnissen. Mit absteigender Häufigkeit folgen *Cyperaceae*, *Betula* und *Juniperus*. Die *Artemisia*-Funde sind gegenüber den vorangegangenen Abschnitten nicht signifikant verändert.

#### **LPZ 4 (453–446 cm): *Pinus-Poaceae-Cyperaceae***

Diese Pollenzone ist durch die Vorherrschaft von *Pinus* gekennzeichnet. *Poaceae* und *Cyperaceae* sind mit steigenden Kurvenverläufen auf je 24 % repräsentiert. Die *Juniperus*- und auch *Betula*-Nachweise sind seltener geworden.

#### **LPZ 5 (446–431 cm): *Pinus-Cyperaceae-Poaceae***

Der Pollengehalt wird durch *Pinus* und *Cyperaceae* bestimmt, wobei *Pinus* an Bedeutung eingebüßt hat. Entsprechend treten *Poaceae*, *Juniperus* und *Artemisia* stärker hervor. Zudem häufen sich die Nachweise verschiedener Nichtbaumpollentypen (z.B. *Thalictrum* und *Apiaceae*).

#### **LPZ 6 (431–409 cm): *Pinus-Cyperaceae-Betula***

Am Beginn des Abschnitts ist ein Cyperaceen-Maximum mit 115 % Anteil bezogen auf die zugrunde gelegte Pollensumme zu verzeichnen. Die *Pinus*-Kurve pendelt sich auf deutlich höherem Niveau mit Werten zwischen 48 und 62 % ein. *Betula* gewinnt ebenfalls an Bedeutung im Polleninhalt. In der ersten Hälfte der Zone sinken die Cyperaceen- und Poaceen-Anteile deutlich ab und stabilisieren sich nachfolgend.

## **5 Diskussion**

### **5.1 Vegetationsgeschichtlicher Ablauf und die Zuordnung zu biostratigraphischen Phasen**

#### **5.1.1 Vegetationsgeschichte Diagramm Unterer Inselsee**

Im tiefsten Diagrammabschnitt (600–591 cm), der in das ausgehende Würm-Hochglazial gestellt wird, dominiert der

Gräser- und Kräuterpollenanteil. Dieser enthält relativ hohe Anteile an Pionierpflanzen und Heliophyten. Als häufigste Nichtbaumpollen finden sich *Poaceae*, *Cyperaceae*, *Artemisia*, *Helianthemum*, *Chenopodiaceae*, *Cichoriaceae*, *Thalictrum*, *Brassicaceae* und *Asteraceae*. Des Weiteren sind *Ephedra*, *Hippophaë* und *Salix* nachweisbar.

Die hohen *Pinus*-Werte (40–60 %) sind unter Offenlandbedingungen als Fernflug zu interpretieren (LANG 1994). Es ist von einer baumlosen Tundren-Vegetation auszugehen, die eine nicht geschlossene, lückenhafte Vegetationsdecke (sehr geringe Pollenkonzentration!) aus Pionierpflanzen und Steppenelementen aufweist. Je nach Definition wird in der Schweiz diese Phase ebenfalls in das ausgehende Pleniglazial oder davon abweichend in den frühesten Teil der Ältesten Dryas gestellt (AMMANN et al. 1994: 121).

Der nächste Diagrammabschnitt (591–578 cm) wird der Ältesten Dryas zugeordnet. Mit deren Einsetzen kommt es zu einer Erhöhung der *Betula*-, *Hippophaë*-, *Juniperus*- und *Salix*-Prozentwerte sowie der Pollenkonzentration. Gleichzeitig gehen die Fernflugeinträge von *Pinus* (< 8 %) und die *Cyperaceen*- und Kräuterpollenanteile (z.B. *Artemisia*) deutlich zurück. Dies deutet auf die Etablierung einer Strauchvegetation hin, obwohl der Nichtbaumpollentyp jedoch weiterhin hoch bleibt, da *Poaceen* an Bedeutung gewinnen. Die *Betula*-Kurve schwankt zwischen 30 und 40 %, was auf das Näherrücken der Arealgrenze hinweist, aber auch schon die Möglichkeit des vereinzelten Auftretens anderer *Betula*-Arten (außer *Betula nana*) einschließt. Verglichen mit den palynologischen Befunden aus der Schweiz (AMMANN et al. 1994: 121) könnte es sich hierbei um die sogenannte *Betula nana*-Subzone innerhalb der Ältesten Dryas handeln.

Mit Beginn des Bölling-Interstadials (578–568 cm) tritt der für das Alpenvorland charakteristische *Juniperus*-Gipfel auf. Dieser liegt bei 33 % der Bezugssumme. Bei entsprechend dichterer Auszählung könnten wohl Proben mit noch höheren *Juniperus*-Anteilen erfasst werden. So liegt das *Juniperus*-Maximum am Schleinsee bei über 70 % (MIELKE & MÜLLER 1981: Fig. 6.9). Nachfolgend kommt es zu einer deutlichen Zunahme der *Pinus*-Werte, was das Heranrücken der Arealgrenze anzeigen. Im Laufe dieses vegetationsgeschichtlichen Abschnitts wandert *Pinus* schließlich ein und die Offenlandanteile gehen leicht zurück. Dabei verlieren insbesondere Poaceen und *Artemisia* an Bedeutung. Der Rückgang der *Betula*-Kurve von 30 auf 10 % ist relativ zu sehen, da er auf die Zunahme der *Pinus*-Kurve zurückzuführen ist. Gegen Ende des Böllings bestimmt ein sehr lichter Kiefernwald mit mosaikartigen Offenlandbereichen das Landschaftsbild. Den Kiefernwäldern ist untergeordnet *Betula* beigemischt. Die Abgrenzung dieses vegetationsgeschichtlichen Abschnitts zum Liegenden hin ist allerdings nicht gesichert. Typischerweise ist für das frühe Bölling im südlichen Mitteleuropa ein ausgeprägtes *Juniperus*-Maximum zu verzeichnen, so im süddeutschen Alpenvorland (vgl. z.B. BERTSCH 1961, LECHTERBECK 2001, MIELKE & MÜLLER 1981 SCHMEIDL 1971) und in der Schweiz (vgl. z.B. AMMANN & LOTTER 1989, AMMANN et al. 2013, LOTTER et al. 1992). Mit den erhöhten *Juniperus*-Nachweisen im Verein ist auch *Hippophaë* verstärkt im Pollenspektrum repräsentiert, weswegen das frühe Bölling von BERTSCH (1961: 257) sowie von AMMANN et al. (1994: 121) und AMMANN et al. (2013: Fig. 7) als *Juniperus-Hippophaë*-Strauchphase bezeichnet wird. Folglich könnte im vorlie-

Tab. 4: AMS-<sup>14</sup>C-Daten aus dem Bohrkern Unterer Inselsee. Datierung durch Dr. W. A. Keller am Geogr. Institut der Univ. Zürich und dem Institut für Teilchenphysik der ETH-Hönggerberg (2003) sowie durch Dr. A. Scharf am AMS-Labor Erlangen des Physikalischen Instituts der Univ. Erlangen-N. (2011). Kalibriert (für cal. BP-Alter) mit Calib 7.01.

Tab. 4: AMS-<sup>14</sup>C-dates from the Unterer Inselsee core. Dated by Dr. W. A. Keller Geogr. Department Univ. Zürich and Department of Physics ETH-Hönggerberg (2003) and Dr. A. Scharf AMS-laboratory Erlangen of the Physics Department Univ. Erlangen-Nürnberg (2011). Calibrated (for cal. BP-ages) with Calib 7.01.

Labor-Nr.	Tiefe (cm u. GOF)	Probenmaterial	konv. <sup>14</sup> C- Alter BP	Kalib.-Alter cal. BP (2 σ)
UZ-4831	571	Holz	12210±95	13776-14565
UZ-4830	550	Holz	11760±90	13431-13763
UZ-4887	539	Holz	11380±90	13074-13404
UZ-4886	531	Kiefernnadel	10610±95	12376-12729
UZ-4885	517	Holz	10470±85	12076-12682
Erl-16266	474	Blattreste	9306±71	10278-10681

Tab. 5: <sup>14</sup>C-Daten aus den Bohrkernen Moorbad Oberstdorf und Gasthof Bergblick. Datierung durch Dr. M. Geyh. Kalibriert (für cal. BP-Alter) mit Calib 7.01.

Tab. 5: <sup>14</sup>C-dates from the Moorbad Oberstdorf and Gasthof Bergblick. Dated by Dr. M. Geyh. Calibrated (for cal. BP-ages) with Calib 7.01.

Labor-Nr.	Tiefe (cm u. GOF)	Proben- material	konv. <sup>14</sup> C- Alter BP	Kalib.-Alter cal. BP (2 σ)
Hv 10257 (Oberstdorf)	785-795	Torfbulk	8845±125	9580-10203
Hv 9986 (Bergblick)	457-462	Torfbulk	11390±175	12863-13565
Hv 10474 (Bergblick)	448-453	Torfbulk	10725±145	12375-12979

genden Diagramm der Beginn des Böllings auch schon bei 591 cm gezogen werden. Somit würde der *Juniperus*-Gipfel etwa ins mittlere Bölling datieren, was mit den palynologischen Befunden aus dem österreichischen Vorarlberg von VAN MOURIK et al. (2013: Fig. 6) übereinstimmen würde. Im Gegensatz dazu werden in anderen Profilen aus Österreich *Juniperus*-Maxima mitunter in die ausgehende Älteste Dryas gestellt (vgl. BORTENSCHLAGER 1984), bei WAHLMÜLLER (1985) an die Wende Älteste Dryas – Bölling.

Der kurze Abschnitt der Älteren Dryas (568–564 cm) zeichnet sich im Pollendiagramm nur schwach ab. Eine geringe Zunahme der *Betula*- und Nichtbaumpollen-Werte steht einem Einschnitt in der *Pinus*-Kurve gegenüber. Wie BLUDAU (1985: 156) anführt, könnte die Klimaverschlechterung der Älteren Dryas eine verringerte Blühfähigkeit von *Pinus* bewirkt haben. Für die Vegetationszusammensetzung lassen sich daraus jedoch keine Veränderungen gegenüber dem Bölling ableiten. Eine Verminderung der Pollenkonzentration ist ebenfalls nicht feststellbar. Lediglich gegen Ende des Bölling ist ein Einschnitt in der Pollendichte zu verzeichnen.

Mit dem Übergang zum Allerød (564–530 cm) nehmen die *Pinus*-Werte auf bis zu 90 % zu und die NBP-Anteile gehen deutlich zurück. Es ist von einem lichten Kiefernwald mit standortsbedingt stärkeren Birkenvorkommen auszugehen. Im mittleren Allerød ist vermutlich die von EICHER & SIEGENTHALER (1976) beschriebene Gerzensee-Schwankung erfasst. Deren Einsetzen konnte auf 13431–13763 cal. BP datiert werden. Im Pollendiagramm zeigt sich ein Rückgang der *Pinus*-Werte bei gleichzeitigem Anstieg der *Betula*, *Salix*- und NBP-Kurven. Diese Veränderungen deuten auf eine kurzzeitige Auflichtung der Kiefernwälder und erhöhte Offenlandanteile hin. Im weiteren Allerød gehen die NBP-Werte wieder zurück. Die Auswirkungen der Klimaschwankung finden aber laut LOTTER et al. (1992: 187) palynologisch keinen Niederschlag. Bei der von WICK (2000: Fig. 1) durchgeführten Untersuchung am *locus typicus* des Gerzensees sind während dieser Klimaoszillation die *Pinus*-Werte erhöht bei zugleich niedrigeren *Betula*-Anteilen. Die jüngst dort besorgte Pollenanalyse weist keine deutlichen Signale in den Kurvenverläufen von *Betula* und *Pinus* wie auch den Nichtbaumpollennachweisen auf (AMMANN et al. 2013: Fig. 2).

Mit dem Beginn der Jüngeren Dryas (530–498 cm) nehmen die NBP-Anteile (bis zu 20 %) sowie die *Salix*-, *Betula*- und *Juniperus*-Werte zu. Die *Pinus*-Kurve geht zurück und schwankt zwischen 60 und 80 %. Bei den Nichtbaumpollen sind wieder verstärkt *Artemisia*, *Helianthemum*, *Chenopodiaceae* und *Thalictrum* nachweisbar. Die Pollendichte pendelt sich gegenüber dem Allerød auf einem deutlich niedrigeren Niveau ein. Für den Abschnitt der Jüngeren Dryas ist somit von einer markanten Verschiebung der Wald-Offenlandanteile auszugehen. Ebenfalls ändert sich auch die Farbe der ausgefällten Seekreiden. Die ockerfarbenen Seekreiden des Alleröds gehen in dunkelgrau bis graue über.

Die Grenze zwischen Spätglazial und Holozän ist bei 498 cm zu ziehen. Mit Einsetzen des Präboreals (498–476 cm u. GOF) kommt es zu einem starken Rückgang der NBP-Werte und einem Anstieg der *Pinus*-Kurve auf 90 %. Die geschlossene *Corylus*-Kurve setzt ein und zeigt das Näherrücken der Arealgrenze an. Die Pollenkonzentration steigt auf die höchsten im Diagramm erfassten Werte. Mit der Erwärmung kommt es zur Ausbildung relativ geschlossener Kiefernwälder. Pionier- und Steppenelemente werden entsprechend zurückgedrängt. Bei 480 cm ist eine kurze Klimaverschlechterung erfasst. Hierbei handelt es sich vermutlich um die sog. Rammelbeek- bzw. Schlaten-Schwankung, welche von BEHRE (1978: Tab. 1 und Tab. 2) ins mittlere Präboreal gestellt wurde. Diese zeichnet sich im Pollendiagramm durch einen deutlichen Einbruch in der *Pinus*-Kurve und einen starken Anstieg der *Betula*-Werte ab. Untergeordnet sind auch die Nachweise von *Salix*, *Artemisia*, *Cichoriaceae* und *Brassicaceae* gehäuft. Das von RÖSCH (1990: 49) bearbeitete Durchenbergried enthält ebenfalls schwache palynologische Hinweise, welche auf diese Klimaschwankung hindeuten. Zudem ist dort der Glühverlust erniedrigt. Jedoch legen jüngere Untersuchungen (vgl. z.B. Bos et al. 2007) nahe, dass die Rammelbeek-Phase in Mitteleuropa keineswegs synchron verlaufen ist und entsprechende regionale Unterschiede zu konstatieren sind. Oft zeigt sich von palynologischer Seite kein deutlicher Niederschlag im Gegensatz zu den  $\delta^{18}\text{O}$ -Schwankungen (vgl. WICK 2000). Die im Diagramm Inselsee erhöhten *Betula*-Werte könnten nämlich auch durch eine Seespiegelschwankung mit eventuell einhergehendem Hiatus verursacht worden sein, wie es KLEINMANN (1995: z.B. 320 und 329) in Profilen des Ammersees aufzeigen konnte.

## 5.1.2 Vegetationsgeschichte Diagramm Oberstdorf

Das Profil setzt im Pleniglazial (881–875 cm) ein. Das Polenspektrum unterscheidet sich von demjenigen des Unteren Inselsees durch geringere *Pinus*-Fernflugeinträge bei zugleich höheren Poaceen- und *Artemisia*-Anteilen. *Helianthemum* ist in etwa gleich stark repräsentiert. Im Liegenden des Beckentons untersuchte tonig-schluffige Sedimente waren absolut pollenleer, im Hangenden liegt ein Hiatus vor.

Das Bölling (875–864 cm) beginnt mit einer *Juniperus-Hippophaë*-Strauchphase, in der vor allem *Artemisia* und *Helianthemum* entscheidend an Verbreitung verlieren. Darauf folgt die zögerliche und lückenhafte Wiederbewaldung mit *Betula*-Exemplaren.

Die nachfolgende Ältere Dryas (864–861 cm) ist durch höhere NBP-Werte repräsentiert. Infolge der Klimadepression kommt es zu einer Stillstandsphase der Waldausbreitung.

Eine stärkere Entwaldung ist aber nicht anzunehmen.

Im Allerød (861–846 cm) vollzieht sich die flächendeckende Wiederbewaldung der Tallagen. Die erfolgte Einwanderung von *Pinus* wird durch bei 857 cm identifizierten Stomata belegt. Die hohen NBP-Werte im Vergleich zum Profil Inselsee sind auf eingewehte Pollenkörner aus den umgebenden Gebirgszügen zurückzuführen.

Die Jüngere Dryas (846–827 cm) führt zu einer Auflichtung der Wälder. Zum Höhepunkt dieser Kaltphase beträgt der Baumpollenanteil nur noch 67 %. Damit ist der Grad der Auflichtung deutlich größer wie im Profil Inselsee. Vergleichsweise treten insbesondere rasenanzeigende Taxa wie *Poaceae* und *Thalictrum* stärker auf, was nicht nur mit den lichter werdenden Wäldern in Zusammenhang steht, sondern auch eine Absenkung der Waldgrenze im Gebiet widerspiegelt.

## 5.1.3 Vegetationsgeschichte Diagramm Bergblick

Der basale Diagrammabschnitt (470–464 cm) dürfte wohl dem Bölling und der Älteren Dryas zuzurechnen sein. Die *Juniperus*-Werte um 20 % bei gleichzeitig geringen BP-Werten deuten lockere Strauchgesellschaften an. Daneben ist von gehölzfreien Pioniergesellschaften auszugehen, die sich u.a. aus Offenlandzeigern wie *Helianthemum*, *Saxifraga aizoides*-Typ und *Selaginella selaginoides* zusammensetzen. Gemäß den Untersuchungen von WAHLMÜLLER (1985: Beilagendiagramme Mieminger See und Seefelder See) könnte dieser Abschnitt auch in die Älteste Dryas gestellt werden. In Konsequenz müsste dann der hier ins Allerød (464–453 cm) fallende kleinere *Juniperus*-Gipfel den Übergang zum Bölling markieren. Folglich wäre die ein allerödzeitliches Alter indizierende  $^{14}\text{C}$ -Datierung als falsch anzusehen. Die Verfasser wie auch DIEFFENBACH-FRIES (1981: 68) gehen aber von einer erst allerödzeitlichen Wiederbewaldung aus, welche durch eine birkenreiche Phase initiiert wird. Nachdem *Pinus* eingewandert war, treten im weiteren Allerød zwei markante Schwankungen in den Kurven von *Pinus* und *Betula* bei gleichzeitigem Anstieg von *Juniperus*, *Poaceen* und anderen Pollentypen auf. Hierbei könnte es sich zum einen um die Gerzensee-Schwankung und zum anderen um die Auswirkungen des Laacher-See-Ausbruchs handeln, obwohl Tuffablagerungen nicht vorhanden sind.

Die Jüngere Dryas (453–431 cm) bedingt ein deutliches Lichterwerden der *Pinus*-Bestände (bis zu 56 % NBP) in dieser Höhenlage, darüber werden Wald- und Baumgrenze um etwa 200 m herabgedrückt, wenn man die von BURGA & PERRET (1998: 629) ausgewerteten Makrorestbefunde aus vergleichbaren Gebirgsräumen der Schweizer Voralpen zugrunde legt. Gemäß IRMLER & SCHOLZ (2005: 97 und Fig. 5) könnte die errechnete Schneegrenzdepression während dieses Kälterückschlags in der Allgäuer Nagelfluhkette auf 1400 m ü. NN herabgereicht haben. Für diese rund 20 Kilometer weiter südlich gelegene Lokalität ergibt sich infolge des Massenerhebungseffekts eine ungefähre Schneegrenzlage von 1700 m ü. NN. Die infolge dessen deutlich erniedrigte Waldgrenze dürfte sich auch in der Zunahme der Cyperaceen-Anteile zeigen. Ein nicht quantifizierbarer Teil der gezählten Cyperaceen-Pollenkörner entstammt sicherlich einem damaligen Pendant heutiger Polsterseggenrasen (*Caricetum firmae* Lüdi 1921).

Tab. 6: Gegenüberstellung der Warvenchronologien und zugehörigen Biozonen vom Meerfelder Maar (LITT & STEBICH 1999, LITT et al. 2001) und vom Steißlinger See (EUSTERHUES et al. 2002) sowie der jüngst veröffentlichten Altersangaben aus der Schweiz (AMMANN et al. 2013).

Tab. 6: Comparison of the varve chronologies and related biozones from Meerfelder Maar (LITT & STEBICH 1999, LITT et al. 2001) and from Steißlinger See (EUSTERHUES et al. 2002) and most recent published dates from Switzerland (AMMANN et al. 2013).

Meerfelder Maar		Steißlinger See		Schweiz	
Warvenjahre vor heute	Biozonen	Warvenjahre vor heute	Biozonen	Alter kalibriert vor heute	Biozonen
11590 – 12680	Jüngere Dryas	11580 – 12690	Jüngere Dryas	ca. 11570 – 12710	Jüngere Dryas
12680 – 13350	Allerød	12690 – 13787	Allerød	ca. 12710 – 13835	Allerød
13350 – 13540	Ältere Dryas				
13540 – 13780*	Bølling				
13780 – 13910	Älteste Dryas	13787 – 14700**	Bølling	ca. 13835 – 14665	Bølling
13910 – ca. 14560 (interpoliert)	Meiendorf				
nicht gewarvt	Pleniglazial	14700 – 15500	Älteste Dryas	ca. 14665 – 15676***	Älteste Dryas

\*= Hiatus von 110 Jahren (vgl. STEBICH et al. 2009: Fig. 5), wodurch sich die älteren Biozonen analog nach hinten verschieben

\*\*= im ausgehenden Bølling wäre eine Ausgliederung durch einen von kleinen Kurvengipfeln von Poaceen, Helianthemum und Thalictrum gekennzeichneten Abschnitt möglich

\*\*\*= letztes Drittel der Ältesten Dryas (AMMANN et al. 2013: Fig. 7)

## 5.2 Gestaffelte *Pinus*-Ausbreitung und sich entwickelnde Höhenstufung im oberen Illertal

Sofern die besprochenen Diagramme korrekt abgegrenzt wurden und keine falschen Altersdatierungen vorliegen, ist von einer zeitlich verzögerten *Pinus*-Ausbreitung im oberen Illertal auszugehen, welche vom Alpenvorland her erfolgte. Makrorestbefunden zufolge fällt die Wiedereinwanderung von *Pinus sylvestris* im süddeutschen Alpenvorland in das späte Bølling (MIELKE & MÜLLER 1981: Fig. 6.9), wobei LANG (1952: Fig. 3) den ersten Nadelfund schon im frühen bis mittleren Bølling erbracht hat. Für die Lokalität Inselsee ist gemäß der Pollenstratigraphie eine im späten Bølling erfolgte *Pinus*-Immigration zu konstatieren, welche durch die <sup>14</sup>C-Datierung bei 571 cm mit einer Alterszeitspanne von 13776–14565 cal. BP nachgezeichnet wird. Im 25 Kilometer weiter südlich und 130 Meter höher gelegenen Raum Oberstdorf ereignet sich die *Pinus*-Einwanderung erst in der Älteren Dryas oder gar beginnenden Allerød, je nachdem welcher Prozentschwellenwert herangezogen wird. Die in einem südwestlich anschließenden Seitental befindliche Vermoorung am Gasthof Bergblick auf 1050 m ü. NN zeigt eine mittelallerödzeitliche Ansiedlung von *Pinus* an. Die an einer 5 cm mächtigen Torfbulkprobe niedergebrachte Radiokarbondatierung mit einem Alter von 12863–13565 cal. BP umgrenzt grob das Einwanderungsgeschehen. Ob im Allerød schon eine Höhenstufung mit *Pinus sylvestris* und darüber befindlicher *Pinus mugo* existiert hat, ist wie in der Schweiz (BURGA & PERRET 1998: 402) mangels aussagekräftiger Makrorestbelege nicht gesichert. So sind bei den von DIEFFENBACH-FRIES (1981: Tab. 21 und 22) an der Lokalität Bergblick durchgeführten Makrorestanalysen erst ab dem

Frühholozän nicht näher bestimmte *Pinus*-Großrestfunde belegt. Auch muss die Frage nach einer Beteiligung von *Pinus cembra* am Aufbau der Wald- und Baumgrenze offen bleiben, da eine Trennung in einen *Pinus sylvestris*-Typ und einen *Pinus cembra*-Typ in den vorliegenden Analysen nicht vorgenommen wurde. Im östlich angrenzenden Ammergebirge sind jedoch gemäß des Pollenbefundes frühholozäne Arvenbestände im Waldgrenzbereich zu vermuten (OBIDOWICZ & SCHOBER 1985: 157). Analog zu den Ausführungen von BURGA & PERRET (1998: 628) die Schweizer Voralpen betreffend könnte in den Allgäuer Alpen ab dem Allerød bis ins Frühholozän folgende Höhenstufung bestanden haben:

Höhenlagen bis ca. 1200 m ü. NN sind von Kiefernwäldern mit untergeordneter *Betula*-Partizipation eingenommen.

Lagen bis zur bei ca. 1600 m ü. NN lokalisierten Waldgrenze sind zusehends arvenreicher.

Darüber sind Krummholzbestände mit *Pinus mugo* zu vermuten, welche mit zunehmender Höhenlage von Rasengesellschaften und schließlich von Gesteinsschutt- und Felsspaltengesellschaften abgelöst werden.

Für den Kälterückschlag der Jüngeren Dryas ist die schon erwähnte Wald- und Baumgrenzdepression von jeweils etwa 200 m zu konstatieren.

## 5.3 Datierungen

Für <sup>14</sup>C-Datierungen am Bohrkern des Unteren Inselsees wurden ausschließlich terrestrische Makrofossilien verwendet. Die konventionellen Radiokarbondaten lassen sich gut mit einigen <sup>14</sup>C-Datierungen des Schleinsees (MIELKE & MÜLLER 1981: Fig. 6.9) parallelisieren. Vergleicht man die

kalibrierten Radiokarbondaten (Tab. 4) mit den aktuell existierenden Warvenchronologien vom Meerfelder Maar (LITT & STEBICH 1999, LITT et al. 2001) und vom Steißlinger See (EUSTERHUES et al. 2002) in Tabelle 6, passen die jüngeren <sup>14</sup>C-Alter gut in die Zeitschemen. So ergibt sich z.B. für die Grenze Allerød – Jüngere Dryas eine Alterszeitspanne von 12376–12729 cal. BP. Allerdings fällt der ermittelte Zeitraum für die einsetzende Gerzenseeschwankung mit 13431–13763 cal. BP schon deutlich zu alt aus, selbst wenn man allein die Gliederung von EUSTERHUES et al. (2002) betrachtet. Die bøllingzeitliche Datierung ist bei eben genanntem Zeitschema wiederum schlüssig. Der Grund für fehlerhafte <sup>14</sup>C-Datierungen in der Jungmoränenlandschaft und den nördlichen Kalkalpen ist meist in Hartwassereffekten zu suchen. RÖSCH (1990) kommt aufgrund von Vergleichen mit Datierungsergebnissen aus der Schweiz und der Tiefenlage des Laacher See-Tuffs zu dem Schluss, dass die spätglazialen <sup>14</sup>C-Daten im Bodenseeraum infolge von Hartwassereffekten um 400 bis 600 Jahre zu alt ausfallen. Datierungsfehler aufgrund von umgelagertem Material sind jedoch nicht gänzlich auszuschließen.

#### 5.4 Bemerkungen zum Meiendorf-Interstadial

Das Meiendorf wurde erstmals von MENKE (1968) in Schleswig-Holstein beschrieben und ist dort durch einen Anstieg von *Betula nana*, *Hippophaë* und *Artemisia* charakterisiert. Jüngere Arbeiten aus Nord- und Westdeutschland wie z.B. MERKT & MÜLLER (1999), SCHIRMER (1999) sowie STEBICH (1999) bestätigen diese sinnvolle Abgrenzung, da die letzte Eiszeit ja nicht mit einem erneuten Kälterückschlag (= Ältere Dryas) enden kann. Der Vergleich der Warvenchronologien vom Meerfelder Maar (LITT & STEBICH 1999, LITT et al. 2001) und vom Steißlinger See (EUSTERHUES et al. 2002) in Tabelle 6 lehrt jedoch, dass das Meiendorf in Nord- und Westdeutschland dem frühen Bølling bzw. der von BERTSCH (1961: 257) ausgeschiedenen *Juniperus-Hippophaë*-Strauphase in Süddeutschland entspricht. Die süddeutsche Gliederung stimmt mit derjenigen der Schweiz (z.B. AMMANN et al. 1994: 121 und AMMANN et al. 2013: Fig. 7) überein. Im österreichischen Alpenvorland wurde jüngst das Meiendorf das südliche Mitteleuropa betreffend erstmalig abgegrenzt (LAUTERBACH et al. 2011: Fig. 6). Den eben genannten Publikationen aus Süddeutschland (BERTSCH 1961) und der Schweiz (AMMANN et al. 1994, AMMANN et al. 2013) zufolge, welche die gültige Chronologie darstellen sollten, ist das Meiendorf größtenteils als Synonym zum ersten Teil des Bøllings zu sehen. Wie bei De KLERK (2004) treffend dargestellt, existieren insbesondere aufgrund von Korrelationsfehlern schon einige verwirrende Unterteilungen der spätglazialen Vegetationsabschnitte im nördlichen Mitteleuropa, welche nicht auch noch auf das südliche Mitteleuropa ausgedehnt werden sollten.

#### Danksagung

Wir möchten Herrn Prof. Dr. Hermann Jerz herzlich für dessen tatkräftige Hilfe bei der Wahl des optimalen Bohrpunktes im Gebiet des Unteren Inselsees danken. Zudem gebührt unser Dank den wertvollen Hinweisen der beiden Reviewer.

#### Literatur

- AMMANN, B. & LOTTER, A. (1989): Late-Glacial radiocarbon- and palynostigraphy on the Swiss Plateau. – *Boreas*, 18: 109–126.
- AMMANN, B., LOTTER, A., EICHER, U., GAILLARD, M.-J., WOHLFAHRT, B., HABERLI, W., LISTER, G., MAISCH, M., NIESSEN, F. & SCHLÜCHTER, CH. (1994): The Würmian Late-glacial in lowland Switzerland. – *Journal of Quaternary Science*, 9 (2): 119–125.
- AMMANN, B., VAN LEEUWEN, J., VAN DER KNAAP, W., LISCHKE, H., HEIRI, O. & TINNER, W. (2013): Vegetation responses to rapid warming and to minor climatic fluctuations during the Late-Glacial Interstadial (GI-1) at Gerzensee (Switzerland). – *Palaeogeography, Palaeoclimatology, Palaeoecology*, 391 (Part B): 40–59.
- BADER, K. & JERZ, H. (1978): Die glaziale Übertiefung im Iller- und Alpseetal (Oberes Allgäu). – *Geologisches Jahrbuch*, A46: 25–45.
- BEHRE, K.-E. (1978): Die Klimaschwankungen im europäischen Präboreal. – *Petermanns Geographische Mitteilungen*, 122 (2): 97–102.
- BERTSCH, A. (1961): Untersuchungen zur spätglazialen Vegetationsgeschichte Südwestdeutschlands. – *Flora*, 151: 243–280.
- BEUG, H.-J. (1961): Leitfaden der Pollenbestimmung für Mitteleuropa und angrenzende Gebiete. – 63 S.; Stuttgart (Fischer).
- BEUG, H.-J. (1976): Die spät- und frühpostglaziale Vegetationsgeschichte im Gebiet des ehemaligen Rosenheimer Sees (Oberbayern). – *Botanische Jahrbücher für Systematik*, 95: 373–400.
- BEUG, H.-J. (2004): Leitfaden der Pollenbestimmung für Mitteleuropa und angrenzende Gebiete. – 542 S.; München (Pfeil).
- BLUDAU, W. (1985): Zur Paläökologie des Ammergebirges im Spät- und Postglazial. – 363 S.; Rheinfelden (Schäuble).
- BORTENSCHLAGER, S. (1984): Beiträge zur Vegetationsgeschichte Tirols I. Inneres Ötztal und unteres Inntal. – *Berichte des Naturwissenschaftlich-Medizinischen Vereins in Innsbruck*, 71: 19–56.
- BOS, J., VAN GEEL, B., VAN DER PFLICHT, J. & BOHNCKE, S. (2007): Preboreal climate oscillations in Europe: Wiggle-match dating and synthesis of Dutch high-resolution multi-proxy records. – *Quaternary Science Reviews*, 26: 1927–1950.
- BURGA, C. & PERRET, R. (1998): Vegetation und Klima der Schweiz seit dem jüngeren Eiszeitalter. – 805 S.; Thun (Ott).
- DE KLERK, P. (2004): Confusing concepts in Lateglacial stratigraphy and geochronology: origin, consequences, conclusions (with special emphasis on the type locality Bøllingsø). – *Review of Palaeobotany and Palynology*, 129: 265–298.
- DIEFFENBACH-FRIES, H. (1981): Zur spät- und postglazialen Vegetationsentwicklung von Oberstdorf (Oberallgäu) und im Kleinwalsertal (Vorarlberg). Pollen- und makrofossilanalytische Untersuchungen an drei Mooren der montanen Stufe. – 154 S.; Dissertation am Fachbereich Biologie der Technischen Hochschule Darmstadt.
- EICHER, U. & SIEGENTHALER, U. (1976): Palynological and oxygen isotope investigations on Late-Glacial sediment cores from Swiss lakes. – *Boreas*, 5: 109–117.
- EUSTERHUES, K., LECHTERBECK, J., SCHNEIDER, J. & WOLF-BROZIO, U. (2002): Late- and Post-Glacial evolution of Lake Steisslingen (I). Sedimentary history, palynological record and inorganic geochemical indicators. – *Palaeogeography, Palaeoclimatology, Palaeoecology*, 187: 341–371.
- FÆGRI, K. & IVERSEN, J. (1989<sup>a</sup>): Textbook of Pollen Analysis. – 328 S.; Chichester (Wiley).
- GÖTTLICH, K. (1955): Ein Pollendiagramm ungestörter späteiszeitlicher Verlandungsschichten im Federseebecken. – *Beiträge zur naturkundlichen Forschung in Südwestdeutschland*, 14: 88–92.
- JERZ, H. (1974): Geologische Karte von Bayern 1:25000. Erläuterungen zum Blatt Nr. 8327, Buchenberg. – 181 S.; München (Bayerisches Geologisches Landesamt).
- IRMLER, R. & SCHOLZ, H. (2005): Bestätigt der Fund einer „Schieferkohle“ die spätglaziale Vergletscherung der Immenstädter Nagelfluhberge? – Eiszeitalter und Gegenwart, 55: 88–101.
- IVY-OCHS, S., KERSCHNER, H., REUTHER, A., PREUSSER, F., HEINE, K., MAISCH, M., KUBIK, P. & SCHLÜCHTER, C. (2008): Chronology of the last glacial cycle in the European Alps. – *Journal of Quaternary Science*, 23: 559–573.
- KLEINMANN, A. (1995): Seespiegelschwankungen am Ammersee. Ein Beitrag zur spät- und postglazialen Klimgeschichte Bayerns. – *Geologica Bavaria*, 99: 253–367.
- KÜSTER, H. (1988): Vom Werden einer Kulturlandschaft. Vegetationsgeschichtliche Studien am Auerberg (Südbayern). – 214 S.; Weinheim (Acta humaniora).
- LANG, G. (1952): Zur späteiszeitlichen Vegetations- und Floengeschichte Südwesterdeutschlands. – *Flora*, 139: 243–294.

- LANG, G. (1962): Vegetationsgeschichtliche Untersuchungen der Magdalenenstation an der Schussenquelle. – Veröffentlichungen des Geobotanischen Instituts der Eidg. Tech. Hochschule Zürich, 37: 129–154.
- LAUTERBACH, J. und mind. 9 weitere (2011): Environmental responses to Lateglacial climatic fluctuations recorded in the sediments of pre-Alpine Lake Mondsee (northeastern Alps). – *Journal of Quaternary Science*, 26 (3): 253–267.
- LECHTERBECK, J. (2001): „Human Impact“ oder „Climatic Change“? Zur Vegetationsgeschichte des Spätglazials und Holozäns in hochauflösenden Pollenanalysen laminierten Sedimenten des Steißlinger Sees (Südwestdeutschland). – *Tübinger Mikropaläontologische Mitteilungen*, 25: 1–101.
- LITT, T. & STEBICH, M. (1999): Bio- and chronostratigraphy in the Eifel region, Germany. – *Quaternary International*, 61: 5–16.
- LITT, T., BRAUER, A., GOSLAR, T., MERKT, J., BALAGA, K., MÜLLER, H., RALSKA-JASIEWICZOWA, M., STEBICH, M. & NEGENDANK, J. (2001): Correlation and synchronisation of Lateglacial continental sequences in northern central Europe based on annually laminated lacustrine sediment. – *Quaternary Science Reviews*, 20: 1233–1249.
- LOTTER, A., EICHER, U., SIEGENTHALER, U., & BIRKS, H.J.B. (1992): Late Glacial climatic oscillations as recorded in Swiss lake sediments. – *Journal of Quaternary Science*, 7 (3): 187–204.
- MERKT, J. & MÜLLER, H. (1999): Varve chronology and palynology of the Lateglacial in Northwest Germany from lacustrine sediments of Hämmelsee in Lower Saxony. – *Quaternary International*, 61: 41–59.
- MIELKE, K. & MÜLLER, H. (1981): Palynologie. – In: Bender, F. (ed.): *Angewandte Geowissenschaften* 1: 393–407; Stuttgart (Enke).
- MOORE, P., WEBB, J. & COLLINSON, M. (1991<sup>2</sup>): *Pollen Analysis*. – 216 S.; London (Blackwell)
- MÜLLER, H. (1962): Pollenanalytische Untersuchung eines Quartärprofils durch die spät- und nacheiszeitlichen Ablagerungen des Schleinsees (Südwestdeutschland). – *Geologisches Jahrbuch*, 79: 493–526.
- OBIDOWICZ, A. & SCHOBER, H. (1985): Moorkundliche und vegetationsgeschichtliche Untersuchungen des Sennalpenmoores im Trauchgauer Flysch (Ammergebirge). – *Berichte der Bayerischen Botanischen Gesellschaft*, 56: 147–165.
- PAUL, H. & RUOFF, S. (1932): Pollenstatistische und stratigraphische Mooruntersuchungen im südlichen Bayern. II. Teil. Moore in den Gebieten der Isar-, Allgäu- und Rheinvorlandgletscher. – *Berichte der Bayerischen Botanischen Gesellschaft*, 20: 1–264.
- RAUSCH, K. (1975): Untersuchungen zur spät- und nacheiszeitlichen Vegetationsgeschichte im Gebiet des ehemaligen Inn-Chiemseegletschers. – *Flora*, 164: 235–282.
- REILLE, M. (1998): Pollen et Spores d'Europe et d'Afrique du Nord. Supplement 2. – 521 S.; Marseille (Laboratoire de Botanique historique et Palynologie).
- REIMER, P.J. und 29 weitere (2013): IntCal13 and Marine13 radiocarbon age calibration curves, 0–50,000 years cal BP. – *Radiocarbon*, 55 (4): 1869–1187.
- REITNER, J. (2007): Glacial dynamics at the beginning of Termination I in the Eastern Alps and their stratigraphic implications. – *Quaternary International*, 164–165: 64–84.
- RÖSCH, M. (1985): Ein Pollenprofil aus dem Feuenried bei Überlingen am Ried: Stratigraphische und landschaftsgeschichtliche Bedeutung für das Holozän im Bodenseegebiet. – Materialhefte zur Vor- und Frühgeschichte in Baden-Württemberg, 7 (Berichte zu Ufer- und Moorsiedlungen Südwestdeutschlands 2): 43–79.
- RÖSCH, M. (1990): Vegetationsgeschichtliche Untersuchungen im Durchenbergried. – *Siedlungsarchäologie im Alpenvorland II*. – Forschungen und Berichte zur Vor- und Frühgeschichte in Baden-Württemberg, 37: 9–64.
- SCHMEIDL, H. (1971): Ein Beitrag zur spätglazialen Vegetations- und Waldentwicklung im westlichen Salzachgletschergebiet. – Eiszeitalter und Gegenwart, 22: 110–126.
- SCHIRMER, U. (1999): Pollenstratigraphische Gliederung des Spätglazials im Rheinland. – Eiszeitalter und Gegenwart, 49: 132–143.
- SCHOLZ, H. (1995<sup>3</sup>): *Bau und Werden der Allgäuer Landschaft*. – 305 S.; Stuttgart (Schweizerbart).
- STEBICH, M. (1999): Palynologische Untersuchungen zur Vegetationsgeschichte des Weichsel-Spätglazial und Frühholozän an jährlich geschichteten Sedimenten des Meerfelder Maares (Eifel). – *Dissertationes Botanicae*, 320: 1–127.
- STEBICH, M., MINGRAM, J., HAN, J. & LIU, J. (2009): Late Pleistocene spread of (cool-)temperate forests in Northeast China and climate changes synchronous with the North Atlantic region. – *Global and Planetary Change*, 65: 56–70.
- STOCKMARR, J. (1971): Tablets with spores used in absolute pollen analysis. – *Pollen et Spores*, 13: 615–621.
- STUIVER, M. & REIMER, P.J. (1993): Extended <sup>14</sup>C database and revised CALIB radiocarbon calibration program. – *Radiocarbon*, 35: 215–230.
- VAN MOURIK, J., SLOTBOOM, R., VAN DER PFLECHT, J., STREURMAN, H., KUIJPEN, W., HOEK, W. & DE GRAAF, L. (2013): Geochronology of *Betula* extensions in pollen diagrams of Alpine Late-glacial lake deposits: a case study of the Late-glacial deposits of the Gasserplatz soil archives (Vorarlberg, Austria). – *Quaternary International*, 306: 3–13.
- VÖLK, H. (2001): Geomorphologie des Kleinwalsertales und seiner Gebirgsrahmung. Landschaftsformen zur Eiszeit und Nacheiszeit unter Einbeziehung der geologischen Verhältnisse. – Vorarlberger Natur schau, 10: 7–95.
- VOIGT, R. (1996): Paläolimnologische und vegetationsgeschichtliche Untersuchungen an Sedimenten aus Fuschlseee und Chiemsee (Salzburg und Bayern). – *Dissertationes Botanicae*, 270: 1–303.
- WAHLMÜLLER, N. (1985): Beiträge zur Vegetationsgeschichte Tirols V: Nordtiroler Kalkalpen. – *Berichte des Naturwissenschaftlich-Medizinischen Vereins in Innsbruck*, 72: 101–144.
- WICK, L. (2000): Vegetational response to climatic changes recorded in Swiss Late Glacial lake sediments. – *Palaeogeography, Palaeoclimatology, Palaeoecology*, 159: 231–250.





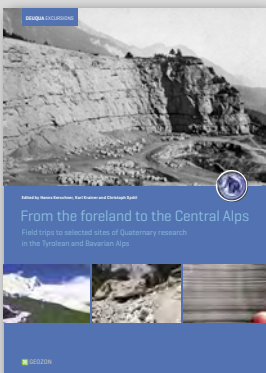






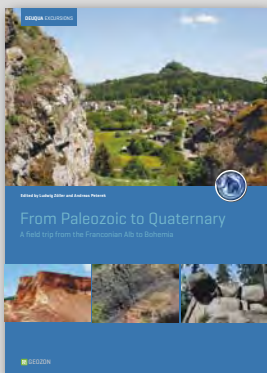


## DEUQUA EXKURSIONSFÜHRER



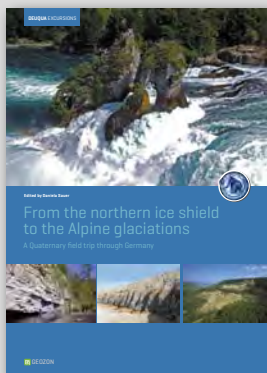
**From the foreland to the Central Alps – Field trips to selected sites of Quaternary research in the Tyrolean and Bavarian Alps**

ISBN 978-3-941971-10-3  
160 pp., A4, 34,- Euro



**From Paleozoic to Quaternary – A field trip from the Franconian Alb to Bohemia**

ISBN 978-3-941971-08-0  
120 pp., A4, 34,- Euro



**From the northern ice shield to the Alpine glaciations – A Quaternary field trip through Germany**

ISBN 978-3-941971-06-6  
88 pp., A4, 29,- Euro



**Eiszeitlandschaften in Mecklenburg-Vorpommern**

ISBN 978-3-941971-05-9  
164 pp., A4, 34,- Euro

## LANDSCHAFTSGESCHICHTE



**Zur jungquartären Landschaftsentwicklung der Mecklenburgischen Kleinseenplatte**

ISBN 978-3-941971-09-7  
78 pp., A4, 22,- Euro



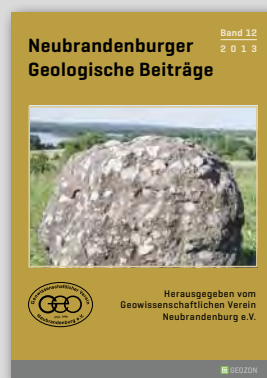
**Zur Landschafts- und Gewässer-geschichte der Müritz**

ISBN 978-3-941971-00-4  
94 pp., A4, 29,- Euro



**Neubrandenburger Geologische Beiträge 11**

ISSN 1616-959X  
88 pp., 17 x 24 cm, 8,50 Euro



**Neubrandenburger Geologische Beiträge 12**

ISSN 1616-959X  
72 pp., 17 x 24 cm, 8,50 Euro

Gerne unterstützen wir auch Sie bei Ihrer wissenschaftlichen Veröffentlichung. Wir publizieren print und digital:

- **Bücher** [Monographien, Reihen, Tagungsbände, Festschriften, Dissertationen etc.]
- **Zeitschriften** [Disziplinäre oder institutionelle Journals, Neugründung, Archivierung etc.]
- **Dokumente** [Artikel, Diskussionspapiere, Berichte, Protokolle, Karten, Daten etc.]



Geozon Science Media  
Pettenkoferstr. 16-18  
D-10247 Berlin  
Germany

Tel. 030-20 23 83 19-0  
Fax 030-20 23 83 19-9  
E-Mail: [info@geozon.net](mailto:info@geozon.net)  
Online: [www.geozon.net](http://www.geozon.net)





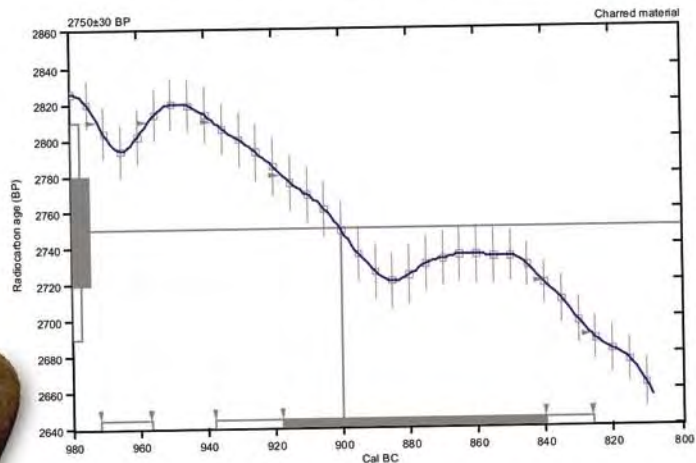
# Radiocarbon Dating Results While You're Still in the Field

## Radiocarbon Age Calibration

Laboratory number: Beta-317090

Conventional radiocarbon age:  $2750 \pm 30$  BP

2 Sigma calibrated results: Cal BC 970 to 960 (Cal BP 2920 to 2910) and  
(95% probability) Cal BC 940 to 830 (Cal BP 2890 to 2780)



- Results in as little as 2-3 days
- Online Access to Results

**BETA**

**Beta Analytic**  
Radiocarbon Dating  
[www.radiocarbon.com](http://www.radiocarbon.com)

# Instruction to Authors

Basically the manuscript shall be submitted in electronic form and has to include the name and the address of the first author. Please use a standard word processor in .rtf, .odt or .doc-format (LaTeX files on request). As character set please use the standard fonts Times Roman, Helvetica or Courier with 1.5 line spacing.

For the submission please use our online system at [www.quaternary-science.net](http://www.quaternary-science.net). After the login you can upload your manuscript as well as separate figures and tables.

## Manuscript style

The acceptable languages are English and German. Manuscripts in German have to contain an English subtitle, an abstract in English and English keywords. The rules of the new German spelling reform apply to German texts.

Manuscripts should be arranged in the following order:

- I Short but concise title
- II Full names, full address and e-mail
- III 5 to 10 keywords that describe the contents of your paper
- VI An abstract of up to 200 words in German and English.  
The translated abstract should carry the translated title in square brackets,
- V Clearly structured text. For chapter numbering use Arabic numerals.
- VI The reference list has to be arranged alphabetically and should be conform to the examples given below.

References have to be insert in the text as brief quotations, the name of the author has to be set in small CAPITALS, the year of publication in brackets e.g. MÜLLER (2006). If more than one publication of the same author in the same year is cited, identify each citation as follows: MÜLLER (2006a, 2006b). Where three or more authors are listed in the reference list, please cite in the text as MÜLLER et al. (2006). Papers with up to three authors should be cited as MÜLLER & MEYER (2006) or MÜLLER, MEYER & SCHULZ (2006). If a special page or figure of a paper should be cited, use following citation style: MÜLLER (2006: 14) or MÜLLER (2006, Fig. 14).

Scientific names of flora and fauna (*gender, sub-gender, species, sub-species*) have to be written in *italics*. Use small CAPITALS for the author (*Armeria maritima* WILLD.)

Do not justify your text, use a ragged left alignment.  
Do not use automatic hyphenation.  
Do not use any automatic formatting.  
Do not use pagination.

Do not insert images, tables and photos into the text, it should be added as separate files. Captions of figures and tables in German and English should be placed at the end of the manuscript.

## Illustrations

Supply each figure as a separate file with the name of the author. Illustrations should be reducible to a column width (8.4 cm) or type area (17.2 x 26 cm). The lettering has to be easy readable after reduction. Where a key of symbols is required, include this in the figure, not in the caption of the figure. Avoid fine lines (hairlines) and grey-shading/halftones. All figures may be colored. There are no additional costs.

For printing all illustrations have to be supplied electronically. Please use for pixel-based images (photos) the .tif-format with a resolution of at least 450 dpi and for vector-based illustrations (graphs, maps, tables) the .eps-format. Greatly reduced .jpg-files or .pdf-files or figures included in word-documents are not accepted.

## References [examples]

### Papers:

- SCHWARZBACH, M. (1968): Neue Eiszeithypothesen. – Eisezetalter und Gegenwart, 19: 250–261.
- EISSMANN, L. & MÜLLER, A. (1979): Leitlinien der Quartärenentwicklung im norddeutschen Tiefland. – Zeitschrift für Geologische Wissenschaften, 7: 451–462.
- ZAGWIJN, W.H. (1996): The Cromerian Complex Stage of the Netherlands and correlation with other areas in Europe. – In: TURNER, C. (ed.): The Middle Pleistocene in Europe: 145–172; Rotterdam (Balkema).
- MAGNY, M. & HAAS, J.N. (2004): A major widespread climatic change around 5300 cal. yr BP at the time of the Alpine Iceman. – Journal of Quaternary Science, 19: 423–430. DOI: 10.1002/jqs.850

### Books:

- EHLERS, J. (1994): Allgemeine und historische Quartärgeologie. – 358 S.; Stuttgart (Enke).

Please do not use abbreviations of the journal names.

## Specimen copies

Authors receive no printed specimen copies. The electronic version is available as download free.

For further questions about the submission of manuscripts please contact the production editor (imprint).

Das Manuskript ist grundsätzlich in elektronischer Form einzureichen und muss mit Namen und Adresse des Erstautoren versehen sein. Bitte benutzen Sie eine Standard-Textverarbeitung im .rtf, .odt oder .doc-Format (LaTeX-Dateien auf Anfrage). Als Zeichensatz verwenden Sie bitte die Standard-Fonts Times Roman, Helvetica oder Courier mit einem 1,5-fachen Zeilenabstand.

Zur Einreichung nutzen Sie bitte unser Online Submission System unter [www.quaternary-science.net](http://www.quaternary-science.net). Nach dem Login steht Ihnen hier eine Upload-Funktion für das Manuskript und die Abbildungs-Dateien zur Verfügung.

## Manuskriptform

Als Publikationssprachen sind Englisch und Deutsch zugelassen. Manuskripte in deutscher Sprache müssen einen englischen Untertitel tragen sowie eine englische Kurzfassung und englische Keywords beinhalten. Für die deutschen Texte gelten die Regeln der neuen Rechtschreibreform.

Die Manuskripte sollen folgendem Aufbau entsprechen:

- I Kurze, aber prägnante Überschrift
- II Ausgeschriebener Vor- und Nachname, Post- und E-Mail-Adresse
- III 5 bis 10 englische Keywords, die den Inhalt des Manuskriptes widerspiegeln.
- IV Deutsche und englische Kurzfassung des Textes mit einer Länge von bis zu 200 Wörtern. Der englische Untertitel des Manuskriptes ist der englischen Kurzfassung in eckigen Klammern voranzustellen.
- V Klar gegliederter Text. Kapitelnummernierungen sind mit arabischen Ziffern zu versehen.
- VI Alphabetisch geordnete Literaturliste. Die Zitierweise muss der unten angegebenen Form entsprechen.

Im fortlaufenden Text sind Literaturhinweise als Kurzzitate einzufügen, der oder die Autorennamen sind in KAPITÄLCHEN-Schrift zu setzen, das Erscheinungsjahr in Klammern, z. B. MÜLLER (2006). Werden von einem Autor mehrere Arbeiten aus einem Jahr zitiert, so sind diese durch Buchstaben zu unterscheiden: MÜLLER (2006a, 2006b). Bei mehr als drei Autoren kann et al. verwendet werden: MÜLLER et al. (2006). Arbeiten mit bis zu drei Autoren werden folgendermaßen zitiert: MÜLLER & MEYER (2006) oder MÜLLER, MEYER & SCHULZ (2006). Sind mit der Zitierung bestimmte Seiten oder Abbildungen gemeint, müssen diese genau angegeben werden: MÜLLER (2006: 14) oder MÜLLER (2006: Fig. 14).

Die wissenschaftlichen Namen von Pflanzen und Tieren (*Gattungen, Untergattungen, Arten, Unterarten*) sind kursiv zu schreiben. Die den biologischen Namen folgenden Autoren werden in KAPITÄLCHEN gesetzt (*Armeria maritima* WILLD.).

Bitte keinen Blocksatz verwenden, sondern linksbündigen Satz.  
Bitte keine automatische Silbentrennung verwenden.  
Bitte alle automatischen Formatierungen in Ihrer Textbearbeitung deaktivieren.  
Bitte keine Seitenzählung.

Abbildungen, Tabellen und Fotos nicht in den Text einbauen, sondern separat als Datei beifügen. Abbildungsunterschriften in Deutsch und Englisch am Ende des Manuskripttextes platzieren.

## Abbildungen

Bitte fügen Sie jede Abbildung als separate Datei mit einem eindeutigen Namen bei. Alle Grafiken müssen eine Verkleinerung auf Spaltenbreite (= 8,4 cm) oder Satzspiegel (= 17,2 x 26 cm) zulassen. Die Beschriftung muss nach der Verkleinerung noch gut lesbar sein. Sollte eine Legende nötig sein, so binden Sie diese in die Abbildung ein. Bitte vermeiden Sie Haarlinien oder Grauwerte. Alle Abbildungen können farbig sein. Es entstehen keine Mehrkosten.

Für die Drucklegung müssen alle Abbildungen in elektronischer Form eingereicht werden. Bitte verwenden Sie für pixelbasierte Abbildungen (Fotos) das .tif-Format mit einer Auflösung von mindestens 450 dpi und für vektorbasierte Abbildungen (Diagramme, Maps, Tabellen) das .eps-Format. Stark reduzierte .jpg oder .pdf-Dateien sowie in Text-Dokumente eingebundene Abbildungen werden nicht akzeptiert.

## Zitierweise (Beispiele)

### Aufsätze:

- SCHWARZBACH, M. (1968): Neue Eiszeithypothesen. – Eiszeitalter und Gegenwart, 19: 250–261.
- EISSMANN, L. & MÜLLER, A. (1979): Leitlinien der Quartärentwicklung im norddeutschen Tiefland. – Zeitschrift für Geologische Wissenschaften, 7: 451–462.
- ZAGWIJN, W.H. (1996): The Cromerian Complex Stage of the Netherlands and correlation with other areas in Europe. – In: TURNER, C. (ed.): The Middle Pleistocene in Europe: 145–172; Rotterdam (Balkema).
- MAGNY, M. & HAAS, J.N. (2004): A major widespread climatic change around 5300 cal. yr BP at the time of the Alpine Iceman. – Journal of Quaternary Science, 19: 423–430. DOI: 10.1002/jqs.850

### Monographische Werke, Bücher:

- EHLERS, J. (1994): Allgemeine und historische Quartärgeologie. – 358 S.; Stuttgart (Enke).

Bitte keine Abkürzungen der Zeitschriftentitel verwenden.

## Belegexemplare

Es werden keine gedruckten Belegexemplare verschickt. Die elektronische Version steht zum kostenlosen Download zur Verfügung.

Bei weiteren Fragen zur Manuskriteinreichung wenden Sie sich bitte an die technische Redaktion (s. Impressum)

## German Quaternary Association

The German Quaternary Association (DEUQUA) eV is an association of German-speaking Quaternary Scientists. The aim of the association is to promote the Quaternary Science, to represent it in public, to intensify the contact to applied science as well as to advice public and political boards in quaternary issues.

Furthermore, the association has set itself the task of operating the contacts between the Quaternary Scientists and related organizations at home and abroad.

The DEUQUA published annually several editions of "E&G – Quaternary Science Journal". In that journal research results from the field of Quaternary Science are published. In addition, developments in the DEUQUA are announced in the "Geoscience messages" (GMIT). GMIT is published quarterly.

Every two years, the German Quaternary Association held the DEUQUA-Conference. At this conference the latest research results of the Quaternary Science are presented and discussed.

## Committee / Vorstand



### PRESIDENT / PRÄSIDENTIN

MARGOT BÖSE  
Freie Universität Berlin  
Malteserstr. 74-100  
D-12249 Berlin, Germany  
Tel.: +49 [0]30-838-70 37 3  
E-Mail: m.boese [at] fu-berlin.de

### VICE PRESIDENTS / VIZEPRÄSIDENTEN

CHRISTOPH SPÖTL  
Institut für Geologie und Paläontologie  
Universität Innsbruck  
Innrain 52  
A-6020 Innsbruck, Austria  
Tel.: +43 [0]512-507-5593  
Fax: +43 [0]512-507-2914  
E-Mail: christoph.spoetl [at] uibk.ac.at

LUDWIG ZÖLLER  
Fakultät II – Lehrstuhl für Geomorphologie  
Universität Bayreuth  
Universitätsstraße 30  
D-95440 Bayreuth, Germany  
Tel.: +49 [0]921-55 2266  
Fax: +49 [0]921-55 2314  
E-Mail: ludwig.zoeller [at] uni-bayreuth.de

### TREASURER / SCHATZMEISTER

JÖRG ELBRACHT  
Landesamt für Bergbau, Energie und Geologie  
Stilleweg 2  
D-30655 Hannover, Germany  
Tel.: +49 [0]511-643-36 13  
E-Mail: joerg.elbracht [at] lbg.niedersachsen.de

### EDITOR-IN-CHIEF / SCHRIFTLEITUNG (E&G)

HOLGER FREUND  
ICBM – Geoecology  
Carl-von-Ossietzky Universitaet Oldenburg  
Schleusenstr. 1  
D-26382 Wilhelmshaven, Germany  
Tel.: +49 [0]4421-94 42 00  
E-Mail: holger.freund [at] uni-oldenburg.de

### ARCHIVIST / ARCHIVAR

STEFAN WANSA  
Landesamt für Geologie und Bergwesen  
Sachsen-Anhalt  
Postfach 156  
D- 06035 Halle, Germany  
Tel. +49 [0]345-5212-12 7  
E-Mail: wansa [at] lagb.mw.sachsen-anhalt.de

### ADVISORY BOARD / BEIRAT

CHRISTIAN HOSELMANN  
Hessisches Landesamt für Umwelt und Geologie  
Postfach 3209  
D-65022 Wiesbaden, Germany  
Tel.: +49 [0]611-69 39 92 8  
E-Mail: christian.hoselmann [at] hlug.hessen.de

## Deutsche Quartärvereinigung

Die Deutsche Quartärvereinigung (DEUQUA) e.V. ist ein Zusammenschluss deutschsprachiger Quartärwissenschaftler und wurde 1949 gegründet. Der Verein hat zum Ziel, die Quartärwissenschaft zu fördern, sie in der Öffentlichkeit zu vertreten, den Kontakt zu angewandter Wissenschaft zu intensivieren sowie öffentliche und politische Gremien in quartärwissenschaftlichen Fragestellungen zu beraten. Des Weiteren hat der Verein sich zur Aufgabe gemacht, die Kontaktpflege der Quartärforscher untereinander und zu verwandten Organisationen im In- und Ausland zu betreiben.

Die DEUQUA veröffentlicht jährlich mehrere Ausgaben von „E&G – Quaternary Science Journal“. Dort werden Forschungsergebnisse aus dem Bereich der Quartärwissenschaft publiziert. Zusätzlich werden Entwicklungen in der DEUQUA vierteljährlich in den Geowissenschaftlichen Mitteilungen (GMIT) bekannt gemacht.

Im zweijährigen Turnus veranstaltet die Deutsche Quartärvereinigung e.V. die DEUQUA-Tagung. Diese bietet ein Forum, in welchem aktuelle Forschungsergebnisse aus dem Bereich der Quartärwissenschaften vorgestellt und diskutiert werden.

### DANIELA SAUER

Institut für Bodenkunde und Standortslehre  
Universität Hohenheim  
Emil-Wolff-Str. 27  
D-70593 Stuttgart, Germany  
Tel.: +49 [0]711-459-22 93 5  
E-Mail: d-sauer [at] uni-hohenheim.de

### FRANK PREUSSER

Department of Physical Geography and  
Quaternary Geology  
Stockholm University  
10961 Stockholm, Sweden  
Tel. +46 8 674 7590  
E-Mail: frank.preusser@natgeo.su.se

### REINHARD LAMPE

Institut für Geographie und Geologie  
Ernst-Moritz-Arndt-Universität Greifswald  
Friedrich-Ludwig-Jahn-Straße 16  
D-17487 Greifswald, Germany  
Tel: +49 [0]3834-86-45 21  
E-Mail: lampe [at] uni-greifswald.de

### BIRGIT TERHORST

Geographisches Institut  
Universität Würzburg  
Am Hubland  
D-97074 Würzburg, Germany  
Deutschland  
Tel. +49 [0]931-88 85 58 5  
E-Mail: birgit.terhorst [at] uni-wuerzburg.de

## Reorder / Nachbestellung

Prices are understood plus shipping costs. VAT is included. The complete content is searchable at [www.quaternary-science.net](http://www.quaternary-science.net)

Year	Topics	Price
2007		
Vol. 56 No 1–2	Special issue: Stratigraphie von Deutschland – Quartär	54,- €
Vol. 56 No 3	Pfälzerwald, pollen types and taxa, Oberösterreich, Riß-Iller, Schatthausen	27,- €
Vol. 56 No 4	Nußloch, Rangsdorfer See, Lieth/Elmshorn, Gardno Endmoräne/Debina Cliff	27,- €
2008		
Vol. 57 No 1–2	Special issue: Recent progress in Quaternary dating methods	54,- €
Vol. 57 No 3–4	Special issue: The Heidelberg Basin Drilling Project	54,- €
2009		
Vol. 58 No 1	Surface Exposure Dating, Bodensee, Living Fossil, Hochgebirgsböden	27,- €
Vol. 58 No 2	Special issue: Changing environments – Yesterday, Today, Tomorrow	27,- €
2010		
Vol. 59 No 1–2	Baltic Sea Coast, Rodderberg Crater, Geiseltal, Wettersteingebirge, Møn, Argentina	54,- €
2011		
Vol. 60 No 1	Special issue: Loess in Europe	27,- €
Vol. 60 No 2–3	Special issue: Glaciations and periglacial features in Central Europe	54,- €
Vol. 60 No 4	Special issue: Quaternary landscape evolution in the Peribaltic region	27,- €
2012		
Vol. 61 No 1	Calcareous Alps Austria, Löss, Holzreste Schweiz, Rinnen-Strukturen, Permafrost carbon	27,- €
Vol. 61 No 2	Rivers, Lakes and Peatlands NE Germany, Lavrado Region Brazil, Terna River Basin India	27,- €
2013		
Vol. 62 No 1	Special issue: Middle to Upper Pleistocene paleosols in Austria	27,- €
Vol. 62 No 2	Special issue: Environment – Man – Geohazards in the Quaternary	27,- €
2014		
Vol. 63 No 1	Northern Switzerland, Schleswig-Holstein, Rattlesnake Mountain, Peloponnese	27,- €

## Subscription / Abonnement

Title: E&G – Quaternary Science Journal

Print-ISSN: 0424-7116

Issues per volume: 2

### Prices [EUR] print per volume

End customers: 50,46 € (Free for DEUQUA-Members)

Wholesalers, booksellers: 32,80 €

Scientific libraries: 47,94 €

VAT is not included.

### Postage [EUR] per volume

within Germany: 2,50 €

World (Surface): 6,80 €

World (Airmail): 7,70 €

### Special offer

Libraries which subscribe our journal can receive the volumes 1951–2006 for free. Only shipping costs have to be paid.

### Order address

Geozon Science Media

Pettenkoferstr. 16-18

10247 Berlin

Germany

tel.: +49 (0)30-20 23 83 19-0

fax: +49 (0)30-20 23 83 19-9

e-mail: info (at) geozon.net

web: [www.geozon.net](http://www.geozon.net)

## Contents

DOI 10.3285/eg.63.2.01

- 107 **Potential of a high-resolution DTM with large spatial coverage for visualization, identification and interpretation of young (Würmian) glacial geomorphology – a case study from Oberschwaben (southern Germany)**

*Elena Beckenbach, Thomas Müller, Hartmut Seyfried, Theo Simon*

DOI 10.3285/eg.63.2.02

- 130 **Die spätglaziale Vegetationsgeschichte im oberen Illergebiet (Allgäu/Bayern)**

*Philipp Stojakowits, Arne Friedmann, Andrea Bull*